



*Sirius*

~~Sci 685.40~~

Bound

KF 990

APR 4 1906



**Harvard College Library**

Wants this subject in

**HORACE ATLETON HAVEN,**

**OF FORESMOUTH, N. H.**

(HARVARD LIBRARY)















# SIRIUS

†

(1904)

1/10/10

# SIRIUS.



**Zeitschrift für populäre Astronomie.**

**Bestimmung für Freunde und Förderer der Wissenschaft.**

Herausgegeben unter Mitwirkung

**hervorragender Fachmänner und astronomischer Schriftsteller**

von

**Professor Dr. Hermann J. Klein**

**in Köln-Lindenthal**



**XXXVII. Band oder Neue Folge XXXII. Band.**

**1914**



**Edmund Heinrich Meyer**

*Verlagsbuchhandlung*

**LEIPZIG, Bolzplatz 18**

Sci 685.40

# Inhaltsverzeichnis.

## 1. Erde.

- Das Längsprofil der Erde auf der Nord-Pol-  
sternseite 45.  
Neue Bestimmungen des Längensmeridianales  
Potsdam—Greenwich 112.  
Die internationale Erdmessung 144.  
Das geographische, erweitert man in den Sommer-  
monaten die Luftdruckmessung sehr leicht 157.  
Längsprofilmessungen im Großen Ozean 304.  
Die internationale Erdmessung in Ecuador 349.  
Das Längsprofil und die neuen physikalischen  
Ansatzungen 365.

## 2. Planeten.

- Spektroskopische Bestimmung ausgewählter  
Merkurbahnen 14, 136.  
Vorbereitung der Radial-Geschwindigkeit von J.  
Neune 20.  
Durchschnittliche Bestimmung der Sterne auf der  
Fläche der Planeten Merkurbahn 21.  
Neue Doppelsterne 40.  
Vorbereitung zur Aufstellung einer Merkur-  
karte 126.  
Neuere Methoden zur Radialgeschwindigkeits-  
bestimmung der Planeten 144.  
Eine Karte des Merkurplaneten von S. S. S. 144.  
20 Sterne mit veränderlicher Radial-Geschwin-  
digkeit 157.  
Spektrum und Bahn von J. G. G. 159.  
Neue Bestimmung der Sterne der neuen Merkur-  
karte 172.  
Drehbewegung des spektroskopischen Doppel-  
sterns J. G. G. 178.  
Der spektroskopische Doppelstern J. G. G.  
179.  
Massenverhältnisse der Komponenten von J. G. G.  
181.  
Bestimmung der Radial-Geschwindigkeit von  
20 Planeten durch W. F. F. und W. A. A. 178.  
Der Merkur-Exposition nach der südlichen  
Himmelsrichtung 182.  
Die Position der Erde der Merkurkarte 183.

- Doppelsternbestimmung im Verlaufe der Jahre  
1900 und 1902 183.  
Das Spektrum der Merkur Karte und 1901  
bestimmt nach den photographischen Auf-  
nahmen in Göttingen 184.  
Messungen von 14 neuen Doppelsternen 187.

## 3. Kometen.

- Photographische Bestimmung der Kometen  
1901 (Kometen) 4, 12.  
Abweichung der Kometenbahn durch den Kometen  
1901 13.  
Die 1901 wandernde Kometen 14.  
Bestimmung der Kometenbahn 1901  
im 1901 15.  
Bestimmung der Kometen 1901 (Kometen) 16.  
Neue Karte 1901 17, 128.  
Die Kometenbahn im Jahre der letzten  
Wahrheit 1901.

## 4. Meteore u. Sternschnuppen.

- Die internationale Meteor 1.  
Glänzende Meteor 19, 197.  
Die Messung des Lichtintensitätswertes 1901 20.  
Höhenbestimmung von Meteoren der August-  
periode 1901 45.  
Der Meteor von Perseus 47.  
Teile der neuen Karte von Meteoren 100.  
Die Fokierung von J. A. A. 101.  
Der Meteor von J. F. F. 1901 107.  
Eine neue Gruppe der Meteoren 107.  
Die Meteorbestimmung der J. G. G. Universität  
in Berlin 108.  
Fokierung von J. G. G. 109.  
Der Meteorbestimmung 109.

## 5. Mond.

- Der photographische Mondatlas der Ferner  
Starnetz 10.  
Die Mondkarte der L. G. G. 11.  
Bestimmung der Erdmittelpunkt der räumlichen Lage  
bestimmung auf dem Nord- und S. 12.  
Der photographische Mondatlas mit Prof. W. W. W.  
13. Fokierung 108.



# 19. Vermischtes.

- Literatur: 31, 116.  
Die Hühner Expedition nach Oala 1, 47.  
Johann Koppes der Ueberspüler der neuen  
Astronomie: 16, 74, 75.  
Das Parado der Sonne 31.  
Der Stillstand der Sonne in Ocala 27.  
Der neue Ueberfall der Berliner Sternwarte 45.  
Die Kometenplaneten Sternwarte. Von Prof.  
Halswiler: 71.  
Kometenplaneten Von Otto Felt: 115.  
Die Sternwarte bei Hohen und Hohen: 145.  
Hohenwarteplaneten auf photographischen  
Platten: 145.  
Sternwarteplaneten durch Hohen: 145.  
Der Ueberfall der Sternwarte: 145.  
Thomson Sternwarte: 145.  
J. A. Felt: 145.  
Ueberfall der Sternwarte der Kometen Sternwarte  
durch Hohen: 145.  
Ein Sternwarteplaneten Hohen: 145.  
Das Sternwarte der Kometenplaneten Sternwarte  
145.  
Große astronomische Untersuchungen in  
Amerika: 115.  
Eine neue Auffassung des Weltalls: 115.  
Vermischung: Von Otto Felt: 115.  
Untersuchung astronomischer Untersuchungen:  
115.  
Die 16 Vermischung der astronomischen Geset-  
schaft in Lund: 141.  
Theorie und Praxis der Hohenwarteplaneten  
Sternwarte: 145.  
Theorie und Praxis der Hohenwarteplaneten Körper: 145.  
Hohenwarteplaneten Sternwarteplaneten nach Hohen  
der Erde des 17. Jahrhunderts: 145.  
Neues Verfahren astronomischer photographischer  
Sternwarteplaneten: 145.

Schicklichkeit des 3. Japhetianen mit Hohen  
Augen: 145.  
Anrechnung: 145.

## 13. Tafeln.

- I Photographische Aufnahme des Kometen  
1881 (Herschel) erhalten auf der Hohen-  
Sternwarte
- II Der Hohen in der Nacht vom 14. Jan  
15. Oktober 1900.
- III Neue Aufnahme von Prof. H. F. Hohen  
(Herschel 1881) photographisch  
auf der Hohenwarte in Ocala.
- IV Der Komet 1881 (Herschel) erhalten  
von Hohenwarte in Ocala.
- V Der Hohenwarteplaneten Hohenwarteplaneten  
photographische Aufnahme von Hohen auf der  
Hohenwarte in Ocala.
- VI Aufnahme des Kometen Hohen 1881 nach  
Zeichnungen von H. Lywell.
- VII Aufnahme des Hohen in Hohen 1881 nach  
Zeichnungen von W. F. Hohen.
- VIII Zeichnungen des Hohen 1881 von G. van  
Hohenwarte.
- IX Aufnahme des Kometenplaneten am 15. Jan  
1900.
- X Die Hohenwarteplaneten des Hohenwarteplaneten  
Sternwarteplaneten am 15. Jan 1900.
- XI Hohenwarteplaneten der Hohenwarteplaneten  
auf der Hohenwarte.
- XII Der große Hohenwarteplaneten 1900, photogra-  
phisch auf dem Lichte der Hohenwarte  
Kometenplaneten.
- XIII mit Hohen. Der Hohenwarteplaneten Hohenwarteplaneten  
nach Zeichnungen und photographischen  
Aufnahmen von Prof. Hohen H. Hohenwarte.





# SIRIUS

Zeitschrift für populäre Astronomie

Entworfen unter Mithilfe  
 hervorragender  
 Fachlehrer und wissenschaftlicher Schriftsteller  
 von  
**Prof. Dr. Hermann J. Klein in Elbo-Edenbach.**

— HANS KIMMEL, Leipzig —

**I. Heft.**



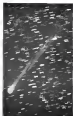
Verlag von  
**Edmund Heilmann Verlag**  
 Leipzig, Hauptplatz 11

# Inhalt des Ersten Heftes.

	Seite
Die astronomische Forschungs-Expedition . . . . .	1
Photographische Beobachtungen des Kometen 1893-a (Hertig). (Herrn Tafel I) . . . . .	4
Ein interessantes Meteor. (Herrn Tafel II) . . . . .	6
Die Veränderlichkeit der Helligkeit von Sternen im Laufe der Jahrhunderte . . . . .	7
Die jüngsten spektroskopischen Beobachtungen der Licht-Elementare an den neuen Sternen der letzten Jahre . . . . .	12
Spektroskopische Bestimmung der Geschwindigkeit ausgewählter Fernstern- sterne . . . . .	14
Johann Kappeler, der Gestirnsgeber der neueren Astronomie . . . . .	16
Vermischte Nachrichten . . . . .	17
Wichtige Untersuchungen über die Erscheinungen des Sonnenschwells. Der photographische Atlas des Mondes. Messung von Urion Plinius. Absorption des Sternlichtes durch den Kometen 1893-a. Glänzender Meteor. Der Meteor des Leonidensturmes 1893. Aber photographische Beobachtungen des Veränderlichen Algol. Veränderliche Rotationsgeschwindigkeit von $\alpha$ Scapuli. Die durchschnittliche Verteilung der Sterne auf den Platten der Potsdamer Himmelskarte Formeln für Foucaults Himmelsberechnung	
Literatur . . . . .	21
Erklärungen der Jupiter- und Saturnstürme . . . . .	22
Astronomischer Kalender für den Monat März 1894 . . . . .	23

LEIPZIG, Reipzig 16.

Edvard Heinrich Mayer,  
Verlagsbuchhandlung.



Juli 02, 10<sup>h</sup> 00' - 10<sup>h</sup> 10'



Juli 02, 10<sup>h</sup> 10' - 10<sup>h</sup> 20'



Juli 02, 10<sup>h</sup> 20' - 10<sup>h</sup> 30'



Juli 02, 10<sup>h</sup> 30' - 10<sup>h</sup> 40'

(Für das Bestehen!)

Seite 1004

Teil 1

Photographische Aufnahmen des Kometen 1900c (Borrelly)  
erhielten auf der Yahoo-Seite.

# SIRIUS.

Zeitschrift für populäre Astronomie.

Centralorgan für alle Freunde und Förderer der Himmelskunde.

Herausgegeben

unter Mitwirkung hervorragender Astronomen und astronomischer Schriftsteller

von Prof. Dr. Hermann J. Klink in Köln.

Januar 1904.

Wissen und Glauben sind die Freunde und die  
Berechtigung der Menschheit. Klink

Jeden Monat 1 Heft. — Jährlich 12 Mk.

Verlag von EDUARD HEINRICH MAYER in Leipzig.

**INHALT:** Die astronomische Forschungs-Expedition. S. 1. — Photographische Beobachtungen des Kometen 1893 (Donati). Merck, Tafel I. S. 4. — Der interessanteste Meteor. (Merck, Tafel II.) S. 4. — Die Verantwortlichkeit der Heiligkeit von Kometen im Laufe der Jahrhunderte. S. 5. — Die jüngste geotektonische Begleitungen der Erd-Bewegung in den neuen Stufen der Erd-Geschichte. S. 11. — Spektralanalytische Bestimmung der Geschwindigkeit ausgewählter Sternsysteme. S. 24. — Jährliche Kometen der Geschichte der neuen astronomie. S. 14. — Vermutliche Nachrichten. S. 17. — Literatur. S. 20. — Erörterungen der Jupiter- und Saturnmonde. S. 21. Astronomische Kalender. S. 22.

## Eine astronomische Forschungs-Expedition.

**A**us dem Hafen von San Francisco ist vor einiger Zeit eine astronomische Forschungs-Expedition nach der südlichen Erdhälfte ausgesandt, die sich ein Ziel von höchster wissenschaftlicher Bedeutung gesteckt hat. Es gilt der Erforschung des Weges, den die Sonne vom der Erde und dem ganzen Planetensystem durch den Weltraum zieht und die Bestimmung der Geschwindigkeit dieses geschnigen Zuges. In der Nähe von Santiago di Chile schlug die Expedition das Lager auf und hofft in ein paar Jahren ihre Aufgabe zu lösen. Die Kosten des Unternehmens, im Betrage von etwa 100000 Mk., hat ein alt erprobter Freund der Himmelsforschung, D. O. Mills in San Francisco, gespendet, und daher trägt das Unter-

nehmen mit Recht den Namen Mills-Expedition.

Wer nicht angewandt ist in die Mittel und Wege zur Lösung des Problems, das diese Expedition im Leben hat, wird sich wundern, daß die Bewegung der Sonne im Weltraum durch Beobachtungen in Chile ermittelt werden soll, und er wird fragen, ob diese Arbeit nicht an jedem anderen Ort ebenfalls ausgeführt werden könnte. Diese Frage ist berechtigt, und indem Sie ihre erste Beantwortung findet, werden die Leser des „Sirius“, die treulich mit der Sache vertraut sind, wenigstens über den heutigen Standpunkt der Forschung in Bezug auf dieses wichtige astronomische Problem sich unterrichten können. Wie jeder weiß, bildet die

Sonne den Mittelpunkt für die Umlaufbewegung unserer Erde, sowie zahlreicher Planeten und Kometen. Mit Bezug auf diese Umlaufbewegungen ist es aber den naturforsch. Zeitalter, über die selbst steht deshalb nicht still, sondern bewegt sich fortwährend auch durch den Weltraum. Eine von unbekannter Größe treibt die Sonne zu unvorhersehbarem Fluge, und auf ihrem Bahn müssen alle Planeten ihr folgen, die Erde samt dem Monde, nicht minder wie der trüffende Neptun. Es ist wirklich die ungeheurer Wanderung unser Sonnensystems durch den kosmischen Raum, die unermesslichen Jagen derselben nach einem unbekannten Ziele. Der große Wilhelm Herschel war der erste, der diese Weltbewegung des ganzen Sonnensystems erkannte und aus genaues Blick, vom Glück begünstigt, auch die Richtung kennzeichnet, in der das Planetensystem fortzueht. Es sind die Sternbilder des Herkules und der Lyra, gegen die unsere Sonnensystem-Lauf nimmt und deren Stern uns also näher und näher kommen. Um dem Laue vorfindlich zu machen, wie es möglich ist, diese Bewegung der Sonne durch den Weltraum zu erkennen, geht man gewöhnlich von der Annahme aus, die sterblichen Forsterer, durchs unentzifferlich keil und war die Sonne bewegt sich allein durch den starrverfüllten Raum. Denn ist klar, daß die Sterne, nach denen die Sonne ihren Lauf nimmt, mehr und mehr auseinanderzuehen werden, gleichsam, als wenn sie sich von dem Zeitpunkt der Sonnenbewegung allmählich entfernen, während die Sterne auf der entgegengekehrten Seite schärfbar zusammenzuehen. Wenn man also durch Beobachtungen die scheinbaren Bewegungen der Fixsterne in der Himmelskugel festgestellt hat, so wird es möglich sein, mittels Zeichnung oder Rechnung den Punkt herauszufinden, von dem die Sternbewegungen ausgehen scheinen, und dieser wird der Punkt sein, auf den die Sonne im Weltraum hinstrebt. In Wirklichkeit aber bewegen sich alle Sterne des Himmels

mehr oder weniger, keiner von ihnen steht still, dazu kommt, daß wir zu leicht wieder die wirkliche Richtung, nach die wahre Geschwindigkeit dieser Sternbewegungen kennen. Deshalb wird das Problem, aus diesem Gewimmel von Bewegungen den Teil herauszufinden, der durch die Sonnenbewegung im Weltraum verursacht wird, sehr schwierig und ist, wie besonders Prof. Arndt streng wissenschaftlich nachgewiesen hat, nur unter gewissen Voraussetzungen zu lösen. Wilhelm Herschel, der, wie bereits, vor etwa 100 Jahren sich zuerst damit beschäftigte, konnte nur von wenigen Sternen die scheinbaren Bewegungen in der Himmelskugel, und wenn er trotzdem ziemlich richtig den Punkt fand, gegen den sich die Sonne bewegt, so muß dies von guten Teile eines glücklichen Zufalls zu berichten werden. Seitdem hat man an der Hand eines weit reicheren Materials von beobachteten Sternbewegungen genauere Ergebnisse erhalten und besonders auch die Geschwindigkeit der Sonnenbewegung zu ermitteln versucht, allein inzwischen müssen dabei Vorsetzungen über die wirklichen Entfernungen der Sterne gemacht werden. In neuerer Zeit ist es bekanntlich auf Hilfe der Spektralanalyse möglich geworden, die wirklichen Geschwindigkeiten einer großen Zahl von Fixsterne zu ermitteln, und zwar denjenigen Teil dieser Geschwindigkeiten, der in die Richtung der Geradenlinie zur Erde fällt. Wir können also jetzt von diesen Sternen sagen: Dieser bewegt sich in gerader Linie so und so viele Kilometer in der Sekunde auf uns zu, jener um einen anderen Betrag, dieser hin und her von uns um eine gewisse Zahl von Kilometern in der Sekunde, jener um solche mehr oder weniger. Man ist entschlossen, daß, wenn die Sonne sich durch den Weltraum bewegt, die Sterne von ihrer Bahn durchschießend eine scheinbare Bewegung in der Richtung auf uns zu zeigen müssen als die tatsächliche Bahn. Wenn man

das von einer genügend großen Zahl Personen, die rings über den ganzen Himmel verstreut sind, die wahren Bewegungen in der Gesichtslinie zur Erde lesen, so kann man mit Hilfe der Rechnung daraus den Punkt am Himmel ablesen, gegen den hin die Bewegung der Sonne geschieht ist und ebenso die Geschwindigkeit dieser Bewegung pro Sekunde. Der erste, der eine solche Untersuchung veranstaltete, war Prof Vogel in Potsdam vor mehr als 10 Jahren, nachdem erst die Geschwindigkeiten von 50 Fixsternen spektroskopisch ermittelt worden waren. Denselben Ansatz ist zu danken, um gewisse Ergebnisse über die Zielpunkt der Sonnenbewegung zu liefern, über die Geschwindigkeit der Sonnenbewegung ergab sich mit ziemlicher Zuverlässigkeit zu etwa 13 km in der Sekunde, also um mehr als die Hälfte langsamer wie die Bewegung der Erde um die Sonne. Schöten und auf der Lick-Sternwarte in Nordamerika die photographischen Aufnahmen der Fixsternspektren und deren Auswertung zum Zweck der Bestimmung der Eigenbewegungen dieser Sterne mit neuen und sehr gewissen Hilfsmitteln tätig betrieblen wurden, besonders nachdem D. Q. Mills, der tüchtigste Förderer der damaligen astrophysikalischen Untersuchungen, die Mittel zu einem höchst genau arbeitenden Spektrographen gespendet hatte. So wurde es möglich, die Eigenbewegungen von fast 400 Sternen scharf zu ermitteln. Mit Hilfe dieses Materials berechnete Professor Campbell, daß der Punkt der Himmels, gegen den die Bewegung der Sonne geschieht ist, in 375° Rektaszension und 39° nördl. Deklination liegt, im Sternbild des Herkules, nicht allzuweit von dem Punkt, den Herschel einst beobachtet hatte. Für die Geschwindigkeit der Sonnenbewegung fand Campbell 19.9 km in der Sekunde, also ebenfalls viel weniger als die Geschwindigkeit der Erde um die Sonne. Dieses Ergebnis ist naturgemäß ziemlich sicher, da es sich auf eine größere Anzahl von

Sternen stützt, eines um Umstand benutzend, seine Genauigkeit nicht unerschütterlich. Es ist das, daß auf der Lick-Sternwarte nur Sterne bis höchstens 30° nördl. von Himmelsäquator untersucht werden können, also die Forderung einer möglichst gleichmäßigen Verteilung der zur Berechnung dienenden Sterne über den ganzen Himmel nicht erfüllt werden kann. Um eine völlig genügende Lösung des großen Problems zu gewinnen, ist erforderlich, daß auch die Sterne nördl. 30° nördl. Deklination, also die Sterne am nördlichen Himmel, auf ihrer Geschwindigkeit hin spektroskopisch untersucht werden. Die hohe Wichtigkeit dieser angestrebten Arbeit leuchtet ein, und nachdem Harry Mills von der Beschäftigung der Lick-Sternwarte, die Untersuchung durchzuführen, Kenntnis erlangte, erklärte er sofort, die dazu erforderlichen Geldmittel zu spenden. Infolgedessen ist als Hauptinstrument ein mächtiges Spiegelspektroskop zu photographischen Aufnahmen der Sternspektren hergestellt worden, auch als sonstiges hat nicht weiter zu besprechenden Vorrichtungen sind getroffen, um die möglichsten gesicherten Ergebnisse zu sichern. Es werden demnach gemäß der Eigenbewegungen von 300 oder 400 der hellsten stählernen Sterne bestimmt, in Chile jedoch nur die Aufnahmen gemacht, während der Spektrogramme selbst auf der Lick-Sternwarte aufgenommen werden. Als Leiter der Münchener Expedition ist William H. Wright von der Lick-Sternwarte tätig, der dort große Erfahrungen auf diesem Untersuchungsgebiete gewonnen hat, ihm zur Seite steht ein anderer erfahrener Astrophysiker, H. C. Palmer. Die chilenische Regierung hat sofort die möglichste Förderung des großen Unternehmens zugesagt, und so darf man mit Sicherheit auf das Gelingen desselben rechnen. In wenigen Jahren werden wir demnach gewissermaßen nach welcher Richtung der Lauf der Sonne mit ihren Planeten durch den

Welkum geht und welchen die Geschwindigkeit dieses kosmischen Zuges ist, wir werden sagen können, um wie viel uns die Stern- der Leyr und des Planeten- flächen näher kommen, und wenn diese Bestimmungen vollständig in geodätische Zeitbestimmungen überführt werden, so dürfte sich endlich auch das geheimnisvolle Zentrum erschließen, das den Sonnenball samt seinen Planeten und Kometen zum ruhelosen Laufe durch

den Raum zwingt. Gegenwärtig kann man wissenschaftlich noch durchaus nichts darüber aussagen, wo dieses Zentrum liegt und ob es durch einen gewöhnlichen Stern oder durch einen Sternhaufen dargestellt wird oder ob es nur der Schwerpunkt eines ganzes Sternsystems bildet. Letzteres ist wahrscheinlich als erstens, aber es könnte auch sein, daß die Verhältnisse ganz anders liegen.

## Photographische Beobachtungen des Kometen 1903 c (Borellij).

(Hesse, Tafel 1.)

**D**ieser Komet ist von Prof. E. E. Barnard auf der Yerkes-Sternwarte mit einer Parabollinse von 16 Zoll Öffnung und 4,5 Zoll Brennweite, die an dem 12zölligen Äquatorial angebracht worden, photographirt worden. Der Hauptzweck dieser Aufnahmen war, die grobe Position des Kometenschweifes festzulegen. Im Anschluß an diese Aufnahmen hat E. J. Wallace auf der Yerkes-Sternwarte mit der nämlichen Linse ebenfalls Aufnahmen des Kometen gemacht, wobei für verschiedene Daten der Komet von der beginnenden Dunkelheit bis zum Tagesanbruch aufgezogen worden ist. Im allgemeinen zeigen zwei Aufnahmen in der nämlichen Nacht keine erheblichen Veränderungen im Aussehen des Kometen. Nur in der Nacht vom 24 zum 25. Juli wurde eine deutliche Veränderung konstatiert, über welche Prof. Barnard näher berichtet.<sup>1)</sup>

Während der Dauer der Sichtbarkeit dieses Kometen für das bloße Auge traten er als dazwischen Stern zwischen 2 und 3 Größe, der schwache Spuren eines 4<sup>ten</sup> langen Schweifes zeigte. Die photographischen Aufnahmen mit der oben erwähnten Linse zeigten meistens

eine Ausdehnung des Schweifes bis zu 17<sup>te</sup>. Die Darstellung auf Tafel 1 gibt eine genaue Reproduktion der Originalaufnahmen in Lichtdruck. Da mehrere Stunden lang exponiert werden mußte, so wurde die Bewegung des photographierenden Fernrohrs derjenigen des Kometen gleich gemacht, um scharfe Bilder desselben zu erhalten. Infolgedessen haben natürlich die Fixsterne auf der Platte nicht unbewegliche, sondern zeigen sich als kleine Striche. Besonders Details wurden jedoch bei der Aufnahme nicht erhalten, bis am 24. Juli eine Erscheinung eintrat, welche einzig in ihrer Art ist. Zwischen 3<sup>ter</sup> bis 3<sup>ter</sup> vom Kopf des Kometen entfernt brach nämlich der Schweif nebeneinander in der Längsrichtung auf, der hintere Teil wurde gewissermaßen abgetrennt und blieb in paralleler Lage zu dem andern zurück. Die Aufnahme des Kometen durch Prof. Barnard geschah in jener Nacht von 11<sup>te</sup> 57<sup>te</sup> bis 17<sup>te</sup> 34<sup>te</sup>, und sie zeigt deutlich den Beginn der Abtrennung. Auf der weniger als eine halbe Stunde später begonnenen Aufnahme durch Wallace sieht man die Trennung schon vorüber, woraus folgt, daß dieser Vorgang mit ungeheurer Schnelligkeit stattgefunden haben muß, gewissermaßen, als ob das äußere Stück des Schweifes

<sup>1)</sup> Astrophys. Journal, 1903, Vol. 18, No. 5, S. 785.

beim Fortschreiten des Kometen durch den Weltraum plötzlich zurückgeblieben eine photographische Aufnahme vom 18. Juli zeigt noch keine Spur dieser Eigentümlichkeit, und ebenso ist dieselbe auf einer Photographie vom 25. Juli verschwunden. Der Vorgang war also auf wenige Stunden beschränkt. Diese Eigentümlichkeit richtung nicht richtiges Bildes völlig verursacht da, dass aus Prof. Barnard herrscht, zeigt eine der Photographien von Gutz's Komet (1894), die mit der Wyland-Linse auf der Lick-Sternwarte erhalten wurde, einen Malteser, wenigstens nicht so ausgesprochen deutlich.

Auf der Sternwarte zu Palermo hat F. Gualandini den Kometen bereits auch in der Nacht vom 24. zum 25. Juli 1902 photographiert, und zwar geschah die Aufnahme von  $19^{\circ} 6'$  bis  $12^{\circ} 0'$  nördl. Zt. von Greenwich, also  $4^{\text{h}} 35^{\text{m}}$  früher als diejenige von Prof. Barnard. Auch diese Aufnahme trägt den KX im Schwanz des Kometen, und derselbe wurde von Gualandini richtig bemerkt. Prof. Barnard hat auf seiner Photographie und auf den beiden der Yerkes-Sternwarte, Messungen der Entfernung des Kopfes der Abtrennung im Schwanz von Kopf des Kometen ausgeführt und findet, daß derselbe im Augenblick nämlich  $10^{\circ} 8'$  betrug. Daraus würde der Augenblick der beginnenden Abtrennung dieser Seiten des Schwanzes vom Kern oder Kopf des Kometen auf Jul 26  $2^{\text{h}} 30^{\text{m}}$  nördl. Zt. von Greenwich einsetzen sein. Unter Berücksichtigung der Entfernung des Kometen von der Erde und unter der Annahme, daß der Schwanz in der Verleugung des Radivertors des Kometen liegt, ergibt sich die wahre Geschwindigkeit, mit der die Trennung erfolgte, zu  $44^{\circ} 2$  km in der Sekunde. Ein großer Teil davon ist aber auf Rechnung der eigenen Bewegung des Kometen zu setzen, die in der Richtung zur Sonne  $18.5$  km betrug, wußt  $11.2$  km als wahre Geschwindigkeit verbleiben, mit der die Schwanzteile sich von der Sonne entfernen.

Dies liefert unmittelbar zu einer Erklärung der auf den Photographen gegebenen Erscheinung, wie man versteht, warum von durch eine plötzliche Veränderung in der Richtung, nach welcher vom Kern des Kometen aus die Materie des Schwanzes ausgeschleudert wurde. Der Vorgang hat nach den obigen Daten am 24. Juli zwischen 2 und 3 Uhr mittl. Greenwich Zt. stattgefunden. Wenn die Ausdehnung der Schwanzmaterie aus dem Kern des Kometen gleichzeitig plötzlich aufhörte, müßte der Schwanz körperlich vom Kometen zurückweichen, bis sich seine Materie im Raume zerstreute oder auflöste zu brechen. Angenommen aber, daß statt eine Zerlegung unterbrochen zu sein, die Ausdehnung nur ihre Richtung etwas änderte, so würde dies im Anschein des Schwanzes genau denselben Effekt hervorgebracht haben, wie er am 24. Juli beobachtet wurde. Nachdem der abgetrennte Teilchen der Schwanzmaterie am folgenden Tage unsichtbar geworden waren, mußte der sichtbare Schwanz natürlich wiederum sein normales Aussehen besitzen. Der Vorgang wird gut illustriert durch den Dampf, der aus einem Dampftrichter strömt. Sobald letzterer plötzlich etwas in seiner Richtung geändert wird, erscheint der als Dampfstrom von ihm abgetrennt und verschwindet dann, während der rest in etwas veränderter Richtung strömt. Die Tatsache, daß die Schwanzteile aus bestimmter Zeit nötig haben, um die Länge des Schwanzes zu durchwandern, beweist, daß der Schwanz sich als Ganzes bewegt, als die Stern fixer massenhaft Teil. Wenn dieser Strom auf ein bestimmtes Medium irgend welcher Art trifft, so wird er zerlegt oder aufgelöst, wie es bei dem Beobachten Kometen 1901 der Fall war.

Bei Erörterung jeder Bewegung, welche der Schwanzteil aus, ist nach ein Umstand in Betracht zu ziehen. Diese Teilchen bewegten sich, als sie sich ablösten, als Teile mit dem Kometen mit einer Geschwindigkeit von  $35.2$  km in der Sekunde in der Richtung gegen die





Philomenus beginnt sich schnell zu verändern. Der Ring erweitert sich und nimmt Durchmesser an. Das obere Spitzchen befindet sich im Camelopardales. Das Zentrum liegt noch immer im Lynx. Der rechte Arm geht nach E. von Capella und nimmt an Größe schnell ab. Der linke Arm erfährt eine Einbeugung, wobei er immer mehr der horizontalen Richtung zustrebt. Sehr deutlich zeigt es sich, daß der Ring nur die Projektion einer Spirale ist. Diese war links.

11<sup>h</sup>. Es scheint, daß die Helligkeit des linken Armes und der Spitze etwas zu intensiv geworden ist.

Dagegen hat sich der rechte Arm vollständig in wenigen Minuten aufgelöst.

Das Zentrum des Ringes befindet sich noch an der gleichen Stelle. Seine Gestalt ist dreieckig. Das obere Spitzchen steht westlich von Capella, aber ein wenig tiefer als diese.

Der linke Arm hat sich bedeutend nach W verlagert. Sein sehr schwaches Ende scheint sich wieder in vertikaler Richtung zu neigen.

11<sup>h</sup> 15<sup>m</sup>. Der Ring — noch immer an der nämlichen Stelle — hat die Gestalt eines D angenommen. Es lassen sich vier Punkte größter Helligkeit feststellen: drei, die des Systems des vorher gezeichneten Orions entsprechen, als viertes die Mitte des linken Armes.

Letzterer steht sich immer weiter nach W aus und geht über Cochab (Linas) hinaus! Bei. Sein Zusammenhang mit dem Ring scheint fast vollständig unterbrochen. Indem er über die Sterne des kleinen Bären verstreicht, lassen sich diese durch die Meteorastera besonders erkennen. Das Gleiche war übrigens immer der Fall, wenn das Band einen Stern bedeckte, wenigstens rückwärts der Sterne 2. Größe. Der Ring nimmt allgemein sehr schnell ab.

11<sup>h</sup> 30<sup>m</sup>. Der linke Arm ist völlig von dem Ring losgelöst und besteht noch aus einem schwachen Strahlen westlich vom kleinen Bären. Der Ring erweitert sich und verschwindet zunehmend.

12<sup>h</sup>. Von der ganzen Erscheinung ist nichts mehr zu sehen als ein Nebelfleck. Seine Lage entspricht dem rechten unteren Teile des Ringes. Nur mit äußerster Mühe läßt er sich noch erkennen.

Es ist möglich, daß durch unfertigste gleichzeitige Beobachtungen des Philomenus eine genaue Bestimmung seiner Lage und Höhe gelangt. Derartige Beobachtungen werden selbst unter der Adresse: Sr. Director del Observatorio del Colegio de Nra. Sra. del Recuerdo — Chamarín de la Rosa, Apartado 106 — Madrid. (Möglicherweise durch A. Bar & J. Barnwardt Vilmöng)

## Die Veränderlichkeit der Helligkeit von Sternen im Laufe der Jahrhunderte.

**E**ine Anzahl derjenigen Sterne, welche ihre Helligkeit in regelmäßigen oder unregelmäßigen Perioden verändern, hat in jüngerer Zeit sehr zugewachsen und wird wahrscheinlich noch fortwähren wachsen. Die meisten Perioden des Lichtwechsels sind kürzer als 400 Tage, einige wenige gehen über 100 Tage hinaus. Daß es aber auch Sterne geben kann, deren Lichtwechsel

mehrere Jahre anhalt, haben die Beobachtung von Müller und Kempf in Potsdam erwiesen, indem diese für den Stern 4+30<sup>h</sup> 141 der Sommer Durchmusterung eine Dauer des Übergangs geringer Lichtwechsels von 77 Jahren feststellten. Auch unsere Sonne ist, streng genommen, ein veränderlicher Stern, denn die Zahl und Größe der dunklen Sonnenflecken wechselt innerhalb

diese Zeiträume von durchschnittlich 111 Jahren, wenn auch die dadurch verursachte Schwankung der Lichtstrahlung der Sonne für unsere Hilfsmittel unmerklich gering bleibt. Da die Licht- und Wärmestrahlung der Fixsterne unverwundelt mit deren kosmischer Entwicklung aufs Innigste verknüpft ist, so kann man sich dann vorstellen, daß im Laufe sehr langer Zeiträume alle Sterne ihre Helligkeit ändern müssen, freilich dagegen nicht, ob solche Änderungen auch schon während der geschichtlichen Zeit eingetreten sind. In dieser Beziehung befinden wir uns gegenüber nach demals in großer Ungewißheit, weil aus älteren geschichtlichen Zeugnissen gar keine Helligkeitsbeobachtungen der Fixsterne vorliegen. Der älteste Sternkatalog, der auf uns gekommen, und in welchem die Fixsterne nach ihrer Helligkeit in 60 Größenklassen unterteilt sind, findet sich im Almagest des Ptolemäus. Wer diese Helligkeitsbeobachtungen ausgeführt hat, ist unbekannt, man nimmt an, daß sie von Hipparch herühren und etwa dem Anfang unserer Zeitrechnung entsprechen, jedenfalls sind sie nicht sehr genau, denn der wahrscheinlichste Fehler einer Angabe beträgt nach Prof. Pickering durchschnittlich 0,3 Größenklasse. Um die Mitte des 18. Jahrhunderts hat der genuesische Astronom Abbot-Romanzi Al-Sidi das Werk des Ptolemäus wieder aufgearbeitet und gibt ein Verzeichnis der Helligkeit von 1145 Sternen, dessen Angaben nach Pickering bis auf etwa  $\frac{1}{4}$  Größenklasse durchschnittlich genau sind. Obgleich im Zeitraum von etwa 2000 Jahren in der Entwicklungsgeschichte eines Sterns nur als sehr kurz betrachtet werden kann, so ist es doch von Wichtigkeit zu untersuchen, ob und wie die Helligkeitsänderungen der Fixsterne bei Ptolemäus und Al-Sidi im Einklang mit den heutigen Erkenntnissen, also ob bei einigen Sternen so große Abweichungen zwischen den alten und den heutigen Angaben vorzukommen, daß sie nicht durch Beobachtungsfehler erklärt

werden können. Für einige Sterne scheint dies ganz zweifellos der Fall zu sein, z. B. für  $\beta$  Leonis, der seit dem 10. Jahrhundert von der 1. auf die 2. Größe herabgemindert ist. Al-Sidi beschreibt ihn ausdrücklich mit den gleichen Worten wie den Stern  $\epsilon$  Crabae (Regulus, die des kleinen und großen Sterns 1. Größe). Auch  $\delta$  Eridani bezeichnet er als 1. Größe, während derselbe heute nur 3. Größe ist, doch ist es wenigstens nicht unmöglich, daß sich diese Angabe auf  $\alpha$  Eridani (Achernar) bezieht, der noch heute als Stern 1. Größe gilt. Wenigstens möchte man eher an eine Verwechslung dieser Art, selbst bei einem richtigen Beobachter wie Al-Sidi war, glauben, als an eine so rasche kosmische Entwicklung, die in einem Jahrtausend einen Stern 1. Größe plötzlich auf die Helligkeit eines solchen 3. Größe herabdrückt.

Ein kanarienscher Beobachter, der besonders auf dem Gebiet der Helligkeitsbeobachtungen der Fixsterne große Erfahrung besitzt, J. Elmer Gert in Dublin, hat eine sorgfältige Vergleichung der Helligkeitsangaben der Sterne bei Ptolemäus und Al-Sidi, mit den neueren ausgeführt<sup>1)</sup> und eine Anzahl von Sternen ermittelt, bei denen der Verdacht einer Helligkeitsänderung im Laufe der Jahrhunderte mehr oder weniger begründet ist. Diese Sterne sollen im nachfolgenden aufgeführt werden, vielleicht findet dies Freunden der Helligkeitsbeobachtung der Sterne Veranlassung, diesen ihre Aufmerksamkeit zuzuwenden. Zunächst folgt eine Aufzählung der Sterne, welche von dem Almagest wahrscheinlich an Helligkeit abgenommen haben.

$\alpha$  Herculis. Wird von Ptolemäus und Al-Sidi als 4. Größe angegeben. Angeland, beschreibt ihn als 4—5, Hers als 5—4, Hesselius als 5. Größe. Die Harvard-Photometrie gibt ihm die Größe 4,54, der Potsdamer photometrische Katalog die Größe 4,94. Das Spektrum gehört zum L. oder A-Typus

<sup>1)</sup> Observatory 1903, Nov., p. 408

Pickering's. Al-Soll bezeichnet  $\beta$  und  $\gamma$  Hercules beide als 4 Größe, heute aber ist der letztere bedeutend schwächer als der erstgenannte.

$\delta$  Ophiuchi. Von Ptolemäus und Al-Soll ist dieser Stern als 4 Größe angegeben, Argander, Heis und Houzeau geben ihm 5 Größe, die Harvard-Photometrie führt ihn als 4.61, die Potsdamer als 4.94 Größe auf. Spektrum wie beim vorhergehenden. Al-Soll bezeichnet ihn als von der gleichen Helligkeit wie  $\delta$  T, 70 und 72 Ophiuchi, aber heute ist der Stern beträchtlich schwächer als die beiden ersten und 1 Größenklasse schwächer als der letztere.

$\gamma$  Serpentis. Bei Ptolemäus 3 Gr., bei Al-Soll 3 bis 4, bei Argander und Heis 4 bis 3, bei Houzeau 4 Größe, Harvard hat dafür 3.66, Potsdam 4.67 Größe. Die Helligkeit wird also ausgesprochen geringer angegeben. Das Spektrum gehört zu Pickering's Klasse F & G.

$\beta$  Aquilae. Von Ptolemäus wird der Stern nur 3, von Al-Soll nur 3 bis 4, von Argander, Heis und Houzeau nur 5. Größenklasse genannt und damit stimmen auch die photometrischen Messungen zu Cambridge und Potsdam überein. Ptolemäus nennt  $\beta$  und  $\gamma$  Aquilae gleich hell und beide 3. Größe, heute ist aber  $\beta$  eine Größenklasse schwächer als  $\gamma$ . Die Araber nannten diesen Stern al-musla, die Woge wegen ihrer Stellung zu beiden Seiten des Sterns 1 Größe Altar.

$\gamma$  Arietis. Nach Ptolemäus 3, nach Al-Soll 3 bis 4, nach Argander und Heis 4 bis 3, nach Houzeau 4 bis 5 Größe. Die Harvard-Photometrie gibt dem Stern die Größenklasse 4.01, die Potsdamer 4.65 Pickering bezeichnet das Spektrum als „aquilähnlich“.

$\delta$  Arietis. Von Ptolemäus und Al-Soll als 4. Größe, von Argander und Heis als 5. Größe bezeichnet; Harvard-Photometrie gibt ihm die Größenklasse 5.20, der Potsdamer Photometrische Katalog 5.44 Größe. Al-Soll bezeichnet ihn als gleich hell wie  $\delta$  Arietis, heute ist er eine Größenklasse schwächer

als Cancri. Nach Ptolemäus und Al-Soll 4. bis 5., nach Argander 6. Größe, Heis gibt ihm 6 bis 5. Größe, Harvard-Photometrie 5.43 Größe, Potsdam 5.80 Größe. Al-Soll bezeichnet ihn als etwas schwächer wie  $\delta$  Cancri, heute ist er eine Größenklasse schwächer.

$\gamma$  Leonis. Nach Ptolemäus 3, nach Al-Soll 3 bis 4. Größe, Argander und Heis, sowie Houzeau geben ihm 4. Größe, Harvard-Photometrie 4.63, Potsdam 4.27. Größe. Al-Soll bezeichnet ihn als genau gleich hell wie  $\gamma$  H. Größe, heute ist er etwas schwächer.

$\beta$  Leonis. Wurde oben schon erwähnt. Seine Lichtabnahme seit der Zeit von Al-Soll ist unabweisbar.

$\alpha$  Librae. 4. Größe bei Ptolemäus und Al-Soll, 5. Größe bei Argander, Heis und Houzeau, 4.66 in der Harvard-Photometrie. Al-Soll macht ihn gleich hell wie  $\gamma$  Librae, heute ist er zwar eine Größenklasse schwächer. Al-Soll schätzte ihn 1 Größenklasse heller als 37 Librae, heute ist er dessen nach-lick gleich. Die Lichtabnahme von  $\alpha$  scheint ziemlich sicher und beträgt nahezu 1 Größenklasse.

$\alpha$  Aquarii. Nach Ptolemäus 4. Größe, nach Al-Soll 4 bis 5. Größe, nach Heis und Houzeau 5. Größe, 4.66 nach der Harvard-Photometrie. Al-Soll schätzte ihn eine Größenklasse heller als  $\delta$  Aquarii, heute sind beide Sterne gleich hell.

$\beta$  (83) Aquarii. Nach Ptolemäus 4. Größe, nach Al-Soll 4 bis 5., nach Argander und Heis 6 bis 5. Größe, in der Harvard-Photometrie 5.62 Größe, Ptolemäus und Al-Soll bezeichnen ihn als gleich hell wie  $\gamma$  Aquarii, heute ist er über eine Größenklasse schwächer als dieser.

$\gamma$  Aquarii. Nach Ptolemäus 4. Größe, nach der Neuen 5. Größe, in der Harvard-Photometrie 5.22 Größe. Ptolemäus und Al-Soll geben ihm gleiche Helligkeit mit  $\gamma$ , heute ist er bedeutend lichtschwächer als dieser Stern.

$\gamma$  (84) Piscium. Ptolemäus bezeichnet ihn als 4., Al-Soll als 4 bis

5 Größe, Argelander als 6, Hess als 6 bis 5, Houzeau als 5. Größe, die Harvard-Photometrie gibt ihm die Größe 5.36. Nach Ptolemäus und Al-Sufi war der Stern gleich hell wie  $\gamma$  Pictoris, heute ist er mehr als eine Größenklasse schwächer. Die Helligkeitsabnahme scheint schon.

$\gamma$  (R) Orionis. Nach Ptolemäus und Al-Sufi 4. Größe, nach Argelander und Hess 6. Größe, in der Harvard-Photometrie 5.18 Größe. Ptolemäus und Al-Sufi schätzen ihn gleich  $\alpha^2$  Orionis, während der Stern heute fast eine Größenklasse schwächer ist als dieser.

$\alpha^2$  (Q) Orionis. Nach Ptolemäus 3, nach Al-Sufi 4. Größe, Argelander und Hess schätzen ihn 3 bis 4. Größe, in der Harvard-Photometrie wird er als 4.73 Größe angegeben.

$\zeta$  Eridani. Von Ptolemäus als 3, von Al-Sufi als 4. Größe angegeben. Die Neuern und auch die Harvard-Photometrie finden ihn 5. Größe.

$\epsilon$  Eridani. Wurde oben schon erwähnt. Sein Spektrum gleicht dem von  $\rho$  Leonis.

$\gamma$  Argus (AR 97 268 = D — 48° 2', 1400). Bei Ptolemäus 2 bis 3. Größe, bei Al-Sufi 3, bei Houzeau 4 bis 5. Größe, in der Harvard-Photometrie 3.64. Größe.

$\gamma$  Hydus. 4. Größe bei Ptolemäus, 4 bis 5 bei Al-Sufi, 5. Größe bei Bayer, Argelander und Hess, 6 bei Houzeau, 5.36 in der Harvard-Photometrie. Al-Sufi schätzte ihn gleich hell wie  $\gamma$  Hydus, heute ist er eine Größenklasse schwächer.

$\beta$  Hydus. 3. Größe bei Ptolemäus und Al-Sufi, 4. Größe bei Argelander und Hess, 4.80 in der Harvard-Photometrie. Die Lichtabnahme scheint schon.

$\zeta$  Pictoris australis. Von Ptolemäus als 4, von Al-Sufi als 5 bis 6. Größe bezeichnet und ebenso von den neuen Beobachtern. Wären die Angaben von Ptolemäus daher, so könnte an der Lichtabnahme kein Zweifel bestehen,

aber die Schreibfehler bei Ptolemäus ist wahrscheinlich.

$\gamma$  Pictoris australis. Ptolemäus gibt dem Stern 4. Größe, Al-Sufi 5. Größe, Argelander und Hess haben 5 bis 6. Größe, Harvard-Photometrie 5.47. Größe.

$\epsilon$  Columbae. Nach Ptolemäus und Al-Sufi 4. Größe, nach Houzeau 5, in der Harvard-Photometrie 5.36. Größe.

$\gamma$  Centauri. Ptolemäus und Al-Sufi geben diesem Stern 4 bis 3. Größe, Houzeau findet ihn 4 bis 5. Größe, die Harvard-Photometrie 4.54. Größe. Sein Spektrum gehört zur Klasse B1.4 der Pickerspeichen Skala. Die Lichtabnahme mit dem Altertum scheint unbedeutend zu sein. Die Angaben von Al-Sufi und seine Helligkeitsvergleiche der benachbarten Sterne bezogen auf die Genauigkeit unserer Angaben.

$\alpha$  Persei. Nach Ptolemäus und Al-Sufi 3 bis 4. Größe, nach Argelander und Hess 4. Größe, in der Harvard-Photometrie 3.94, in der Potsdamer Photometrie 3.85 Größe. Auch bei diesem Stern ist die Lichtabnahme seit dem Altertum sehr, dass die Angaben von Al-Sufi und so unzufällig und genau, daß an denselben kein Zweifel bestehen kann.

Von Strass, die wahrscheinlich seit der Zeit Al-Sufis heller geworden sind, führt Coen folgende auf:

$\alpha$  Draconis. Bei Ptolemäus und Al-Sufi wird der Stern als 6. Größe aufgeführt, die Neuern geben ihm entsprechend 5. Größe.

$\gamma$  Cassiopeiae. 5. Größe nach Ptolemäus, Al-Sufi, Bayer, Houz und Flamsteed 5. Größe bei Argelander, 5 bis 4. Größe bei Hess, 4.85 Größe in der Harvard-Photometrie. Der Stern hat ein eigenartliches Spektrum (Pickering).

$\gamma$  Persei. Dieser Stern wird von allen bis zu Flamsteed als 5. Größe bezeichnet, Argelander, Hess und die Harvard-Photometrie geben ihm ebenso entsprechend 4. Größe. Er besitzt ein uninteressanteres Spektrum.

♂ Sagittae. Bei den Alten, einschließlich Flamsteed, 6 Größe, die Neunen mit Argander geben ihm 5 Größe.

♂ Sagittae. Der Stern ist 5 Größe bei Ptolemäus, Al-Sufi und Bayer, 4 bis 5. Größe bei Flamsteed, 4. Größe bei Argander, Hns und Houzeau, in der Harvard-Photometrie 378 Größe. Al-Sufi schätzte ihn gleich hell wie ♀ Sagittae, heute ist er heller.

♂ Cephraei. Von Ptolemäus nicht aufgeführt, bei Al-Sufi 6 Größe, bei Bayer, Hevel und Flamsteed und Argander 5 Größe, bei Hns und Houzeau 4 bis 5 Größe, in der Harvard-Photometrie 444 Größe.

♂ Scorpiae. Der Stern kommt bei Ptolemäus nicht vor, Al-Sufi gibt ihm 6 Größe, Argander, Hns und Houzeau bezeichnen ihn als 5 Größe, die Harvard-Photometrie als 480. Größe, Al-Sufi bezeichnet  $\alpha$  als 2 Größenklassen schwächer wie 68 Cephraei, heute sind beide gleich hell.

♂ Delphini. Von Ptolemäus und Al-Sufi als 5. Größe, von Tycho, Hevel und Flamsteed als 5. Größe, von Argander und Hns als 5 bis 4. Größe, von Houzeau als 4. bis 5. Größe, in der Harvard-Photometrie als 468 Größe bezeichnet.

♂ Tauri. 6 Größe bei Ptolemäus und Al-Sufi, 6 bis 5. Größe bei Argander und Hns, 5. Größe bei Houzeau, 460 Größe in der Harvard-Photometrie. Al-Sufi gibt den Stern als eine Größenklasse schwächer an wie  $\alpha$  (44) Tauri, heute ist er beträchtlich heller als dieser.

♂ Gemmarum. Bei Ptolemäus und Al-Sufi 3. Größe, bei Bayer und Hevel 2. Größe, bei Argander, Hns und Houzeau 2. bis 3. Größe, in der Harvard-Photometrie 193 Größe. Hiernach würde der Stern fast um eine Größenklasse heller gewesen sein.

♂ Scorpis. Der Stern ist bei Ptolemäus, Al-Sufi, Argander und Hns 3 Größe, bei Houzeau 2 bis 3 Größe, in der Harvard-Photometrie 171. Größe.

Al-Sufi bezeichnet ihn als gleich hell wie  $\alpha$  Scorpi, heute ist er mehr als eine Größenklasse heller.

♂ Scorpis. Bei Ptolemäus und Al-Sufi 3 Größe, bei Houzeau 3 bis 4. Größe, in der Harvard-Photometrie 284. Größe.

♂ Sagitari (AR 19<sup>h</sup> 34.5<sup>m</sup> D. = 18<sup>h</sup> 22<sup>m</sup>). Bei Ptolemäus und Al-Sufi 6 Größe, bei Argander und Hns 5. Größe, bei Houzeau 5 bis 6 Größe, in der Harvard-Photometrie 444 Größe. Al-Sufi bezeichnet ihn als eine Größenklasse schwächer als  $\alpha$  Sagittae, während diese beiden Sterne heute gleich hell sind.

♂ Capricornis. Bei Ptolemäus und allen übrigen Beobachtern 6 Größe, in der Harvard-Photometrie 5. Größe, bei Houzeau sogar 4. Größe.

♂ Canis majoris. Von Ptolemäus und Al-Sufi als Stern 3 Größe bezeichnet, von Argander und Hns als 3 bis 2. Größe, von Houzeau und der Harvard-Photometrie als 2. Größe. Nach Al-Sufi ist  $\alpha$  um Helligkeit gleich  $\gamma$  Canis majoris, heute über eine Größenklasse heller.

♂ Canis majoris. 3. Größe bei Ptolemäus und Al-Sufi, 2<sup>1/2</sup> Größe bei Flamsteed, 2 bis 1 bei Argander und Hns, 163 in der Harvard-Photometrie. Besitzt nach Fickering ein eigentliches Spätstern.

♂ Canis majoris. Bei Ptolemäus und Al-Sufi 3. Größe, bei Flamsteed 3 bis 2, bei Argander und Hns 2 bis 1. Größe, bei Houzeau 2. Größe, in der Harvard-Photometrie 163. Größe. Al-Sufi schätzte ihn gleich hell wie  $\gamma$ , heute ist er 1<sup>1/2</sup> Größenklasse heller.

♂ Canis minoris. 4. Größe bei Ptolemäus und Al-Sufi, 3 bei Bayer, Flamsteed, Argander und Hns, 192 in der Harvard-Photometrie.

108 Hercules. Kommt bei Ptolemäus nicht vor, Al-Sufi gibt ihm 6 bis 5. Größe, Argander und Hns bezeichnen ihn als 4. Größe, Harvard-Photometrie als 109. Größe.

♂ Eridani. Der Stern wird von

Polonium und Al-Säße als 4. Größe bezeichnet, von Argander und Hén als 3. Größe, in der Harvard-Photometrie als 2.92. Größe. Al-Säße schätzte ihn gleich hell wie 2. Erdsen, der nach Harvard-Photometrie 4.34. Größe ist, gegenwärtig ist er aber anderthalb Größenklassen heller als dieser. Die

Lichtabnahme seit der Zeit von Al-Säße scheint demnach sicher zu sein.

Diese liegt dem vorerwähnten Verzeichnis nicht bei, daß der Stern  $\gamma$  Teles, der Hauptstern der Plejaden weder von Polonium noch von Al-Säße erwähnt wird, selbst er möglicherweise erheblich heller geworden ist.

## Die jüngsten spektroskopischen Beobachtungen der Lick-Sternwarte an den neuen Sternen der letzten Jahre.

**D**ie in den letzten Jahren beobachtet gewordenen neuen Sterne sind die Novae im Fuhrmann, im Perseus und in den Zwillingen. Diese sterblichen Sterne sind mitteleuropäisch bereits sehr lichtschwach geworden, indem sie bis zur 12. Größe herabgesunken, also am Überhaupt gesehen zu werden schon sehr lichtstarke Ferngläser erfordern. Daß es unter solchen Umständen noch möglich war, das Spektrum dieser Sterne auf der Lick-Sternwarte zu photographieren, ist ein glänzender Beweis für die Kraft des dortigen Coudé-Reflektors, der mit einem spaltlosen Spektrophographen versehen, diese Aufnahmen liefert.<sup>1)</sup>

Der neue Stern im Fuhrmann (Nova Aurigae) wurde am 26. und 28. August 1903 spektroskopisch aufgenommen, bei Seeländigen Exposition der Platte. Das erhaltene Spektrum zeigt erhebliche Veränderungen seit der letzten Aufnahme durch Seelbörn 1902, Sept. 13. <sup>2)</sup> Daneben waren die Nebellinien, welche die Wellenlänge 4.581 betrieht und die Linien 4.482, 4.434 und H $\beta$  hell und von gleicher Intensität, auch war eine Spur des Bandes 4.374 im Spektrum zu erkennen. Gegenwärtig aber zeigen die Aufnahmen keine Spur der Linie 4.581, die andere oben genannten Linien sind dagegen noch vorhanden und von gleicher Helligkeit, aber im

Vergleich zu dem korbauerlichen Spektrum schwächer geworden. Das breite Band 4.374 scheint auch etwas veränderte zu sein. Die Nova war zur Zeit der Aufnahme nur 14. Größe. Ein Stern 11.5 Größe, der etwa 3' von der Nova entfernt steht, im Positionswinkel von 45°, zeigte ein Spektrum, welches denjenigen des Veränderlichen R Leonis außerordentlich ist und diesem dem Spektrum anderer Veränderlicher um die Zeit ihrer größten Helligkeit.

Die Nova Persei wurde am 30. Juli 1902 mit einer Belichtung der Platte von 2 Stunden 3 Min. spektroskopisch aufgenommen und diese Aufnahme zeigt auffällige Änderungen, die seit 1901 eingetretten haben, als Seelbörn, und 1902, als Palmer das Spektrum photographierten. Das korbauerliche Spektrum ist noch ziemlich hell, allein die hellen Linien haben erheblich an Intensität abgenommen, selbst die Linie H $\gamma$  kaum noch erkennbar ist, die Strahlungen der 4.424 und ebenfalls relativ schwächer geworden, H $\delta$  dagegen nur im Verhältnis der allgemeinen Lichtabnahme des korbauerlichen Spektrums. Die größten Veränderungen zeigen die Linien 4.339 und 4.346. Im Oktober 1901 war letztere die zweifelhafte des Spektrums und die andere auch recht hell; die Aufnahmen im Januar und März 1902 zeigten nur geringe relative Schwächen dieser Linie, die jüngsten Aufnahmen dagegen ergaben, daß die Linie 4.339 völlig verschwunden ist und 4.346

<sup>1)</sup> Lick-Observ., Bulletin, No. 46

<sup>2)</sup> Wright, Stern 1903 S. 123

nur als schwache Erleuchtung in dem kontinuierlichen Spektrum noch erkannt werden kann. Letzteres erstreckt sich bis zur Wellenlänge 2 134. Die Nebellinie  $\lambda$  501 scheint nur wenig in ihrer Helligkeit verändert zu sein. Die Nova selbst erschien dem Auge am 30. Juli als Sternchen 11.5 oder 12 Größe. Der neue Stern in den Zwillingen (Nova Geminae) wurde am 28. und 31. Aug. und am 2. Sept. spektroskopisch aufgenommen. Seit der Aufnahme am 11. Mai, also innerhalb eines Zeitraumes von 3½ Monaten waren bemerkenswerte Veränderungen im Spektrum dieses Sterns eingetreten. Zunächst hat es erheblich an Helligkeit abgenommen: die Nebellinie  $\lambda$  501 ist dagegen relativ stärker geworden, während H $\beta$  jetzt außerordentlich schwach erscheint, auch H $\delta$  ist schwach geworden. Die Linie  $\lambda$  434 ist nunmehr die hellste des Spektrums, weshalb infolge des Umstandes, daß die Linie  $\lambda$  435 bei der angewandten Dispersion des Spektroskops nicht mehr von der getrennt erscheint, die Linie  $\lambda$  445 ein viel breiter geworden und besteht wahrscheinlich aus mehreren Linien, die nicht getrennt werden können. Auf dem Hintergrund des kontinuierlichen Spektrums sind noch schwache Spuren der hellen Wasserstofflinien erkennbar. Infolge der größeren Transparenz der Luft am 28. und 31. August zeigen die Spektrogramme dieser Nächte ein offeneres Hervortreten des Ultraviolets, wie bei  $\lambda$  344 ein schwaches Helligkeitsmaximum erkennbar ist.

Die vorläufige Vergleichen der gesamten Reihe der am Cressley-Reflektor aufgenommenen Spektrogramme der Nova Geminae enthält einige Tabellen, die in Verbindung mit der Entwicklung der äußeren Ultravioletten Linien stehen. Die zwischen April 2 und 8 erhaltenen Aufnahmen zeigen ein Maximum der Helligkeit des kontinuierlichen Spektrums auf der Mittellinie bei  $\lambda$  350 und  $\lambda$  365. Die Aufnahme am 18. April zeigt davon keine Spur, die nächste am 26. April zeigt

dagegen ein Helligkeitsmaximum bei  $\lambda$  346, aber keine bei 350. Die Aufnahme am 11. Mai zeigt das Maximum bei  $\lambda$  346 unverändert und wiederum keine Spur eines solchen bei 350. Die Aufnahmen am 28. und 31. August zeigen ein Maximum von ähnlicher Intensität bei  $\lambda$  346. Hieraus scheint hervorzugehen, daß die helle Linie bei  $\lambda$  346 im Spektrum des Sterns in der Zeit zwischen April 18. und 26. aufgetaucht ist, und daß kurz vorher vorher eine helle Stelle im Spektrum verschwand. Von der Linie  $\lambda$  376, welche im Spektrum der Nova Persei sehr stark erschien, wurde keine Spur gesehen.

Es würde von großem Interesse sein, das Verhalten der ultravioletten Region im Spektrum der Nova Geminae vom 11. Mai bis 28. August zu kennen, leider aber machte die Stellung der Sonne und die Montierung des Reflektors Beobachtungen während dieser Zeit unmöglich. Am 2. September war die Luft ruhig und das Spektrum wurde mit dem Auge untersucht. Die Nebellinie  $\lambda$  501 zeigte sich sehr scharf und bestimmt und umfärbte daher das sichtbare Licht, welches das sichtbare Spektrum erfüllt. Im gelben Teile desselben wurde eine Linie vermehrt, aber nicht sicher erkannt. Die Helligkeit der Nova war während der letzten Beobachtungen etwa die eines Sterns 12. Größe.

Die möglichen Beobachtungen liefern wertvolle Ergänzungen unserer Kenntnisse und Vorstellungen von den physikalischen Verhältnissen der neuen Sterne. Die Linie  $\lambda$  346, welche wie Palmer nachgewiesen, auch im Spektrum einiger Nebellinien erscheint, wurde im Spektrum der Nova Geminae ungefähr gleichzeitig oder nur wenig später sichtbar wie die Nebellinie  $\lambda$  501. Andererseits ist die und die begleitende Linie  $\lambda$  376, obgleich sie zu den hellsten im Spektrum der Nova Persei zählt, nicht aus diesem verschwunden. In der Nova Aurigae, welche bis in eine weitere Entfernungsstufe verfolgt werden konnte als die Nova Geminae und



Perseus wurde das Verschwinden der Nebulline 1566 von 1900 beobachtet und ebenso eine größere Annäherung des Spektrums an den gewöhnlichen Typus der Sternspektre. Es kann kaum zweifelhaft sein, daß die Spektra der drei jüngsten neuen Sterne in ihren Veränderungen auf den gleichen Charakter, wie derjenige der großen Majorität dieser Sterne ist, hinausgehen und werden, wie Palmer gesagt, 1) der neue Stern im Schwanz (Nova Cygni) erreicht hat zunächst ein kontinuierliches Spektrum ohne helle Linien; ferner daß der ganze Zyklus von Veränderungen von

einem Zeitraum von wenigen Jahren umfaßt, selbst bei einem so großartigen Ausbruch als der Nova Perseus erkennbar darstellte. Soweit C. D. Perrine.

Dieser Bericht folgt H. D. Curtis noch strengere Observationsbeobachtungen des Spektrums der Nova Centaurum im 1600mm Refraktor bei. Dessen gemäß zeigte das Spektrum am 17., und ist Augen die drei Hauptwellenlinien H $\beta$  schwach, 1 4954 etwas stärker und 1 5000 relativ sehr intensiv. Auch ergab eine Linie ausserordentlich bei 24700, die Linien D und H $\alpha$  konnten nicht gesehen werden.

## Spektroskopische Bestimmung der Geschwindigkeit ausgewählter Normalsterne.

Im Jahre 1902 hat Prof. Edwin B. Frost von der Yerkes Sternwarte diese Vorrichtung gemacht, eine Anzahl Sterne vom Typus des Sonnenspektrums auszuwählen, und jährlich wenigstens dreimal spektrographisch zu beobachten. Der Zweck dieser, von allen Observatorien, welche sich mit spektrographischen Arbeiten beschäftigen, durchzuführenden Aufnahmen, ist nicht allein, möglichst genaue Werte für die in die Geschwindigkeit zur Erde fallenden (radialen) Geschwindigkeiten dieser Sterne zu erhalten, sondern vor allem durch Vergleichung der von den verschiedenen Observatorien erhaltenen Resultate miteinander ein sehr begründetes Urteil über den Grad der Genauigkeit dieser Art von Bestimmungen überhaupt zu gewinnen. Denn bei der ungewissen Schwelgerei und den mannigfachen möglichen Fehlerquellen dieser Bestimmungen ist die Über einstimmung der Ergebnisse an einem und demselben Observatorium kein unbedingt zuverlässiger Maßstab für die Richtigkeit der Resultate; man wird erst, wenn die gleichen Sterne auf verschiedenen Observatorien mit verschiedenen Instrumenten aufgenommen und unter verschiedenen

Verhältnissen untersucht wurden sind, aus dem Maße der Übereinstimmung der solcher Art erhaltenen Ergebnisse zuverlässig auf die Genauigkeit der letzteren schließen dürfen.

Als Normalsterne für diese Beobachtungen waren die folgenden gewählt worden:

• Arctus	• Betelgeuse
• Perseus	• Capricorn
• Lepus	• Aquila
• Coma Berenices	• Pegasus
• Crater	• Procyon

In der Zeit vom Juli 1902 bis zum Juni 1903 haben sich Prof. Frost und Walter S. Adams von der Yerkes Sternwarte diese Sterne regelmäßig (unterwacht) und zwar geschoben die Aufnahmen zu der Zeit, wo jeder Stern am Mitternacht im Meridian stand und 30 Tage früher, sowie 30 Tage später. Mit geringen Ausnahmen konnten diese Zeiten genau eingehalten werden. Die Aufnahmen geschahen mit dem Bruce-Spektrographen, der am großen Refraktor der Yerkes Sternwarte angebracht wurde unter allen Vorichtsmaßnahmen, welche die lange Erfahrung und der Scharfsinn der Beobachter an die Hand gaben. Die erlangten Aufnahmen und die Aus-

1) Lick-Observ., Bulletin No. 35

2) Astrophys. Journal, Vol. XVII, No. 4, p. 271

messungen der Platten sind daher von großer Zuverlässigkeit und die innere Überstimmung derselben läßt nichts zu wünschen übrig. Die Auswertungen der einzelnen Platten geschahen unabhängig von jedem der beiden Astrophysiker, um über die etwaigen persönlichen Eigentümlichkeiten in der Auflassung beim Messen der Spitzendifferenz Aufschluß zu erhalten. Es ergab sich ein kleiner Unterschied in dieser Beziehung und zwar so, daß nach den Messungen von Frost die Geschwindigkeiten des Sterns durchschnittlich 0.10 km größer ausfielen als nach diejenigen von Adams, doch ist zu berücksichtigen, ob diese geringe Differenz wirklich besteht, oder nur durch die verschiedene Auflassung bei einigen wenigen weniger scharfen Platten (mit dem Spektrum von  $\gamma$  Aquarii) bedingt ist.

Zur Kontrolle wurden auch die Spektren des Mondes sowie der Planeten Mars und Venus aufgenommen und die Linsenverstellung auf derselben zufolge ihrer Bewegung gemessen. Da diese Bewegungen bekannt sind, so mußte der Grad der Überstimmung dieser bekannten mit den neuen Spektrenaufnahmen hundertprozentig Bewegungen ein gutes Urteil über die Genauigkeit der Aufnahmen gestatten.

Es ergab sich, daß die Messungen und Rechnungen bis auf 0.1 km genau miteinander übereinstimmen, sodaß man also bei den Spektrographen keine systematischen Fehlerquellen voraussetzen kann und auch bezüglich der Fixierung des Messungsmaterialien die höchste Grad von Zuverlässigkeit anzunehmen ist.

Die Ergebnisse aus allen Platten sind für die Auswertungen beider Beobachter und in ihrer Mittelwertung folgende, wobei das Vorzeichen — die Annähern, + die Entfernung des Sterns von der Erde bedeutet und die Geschwindigkeiten in Kilometer pro Sekunde ausgedrückt sind:

$\alpha$ Arietis	— 117 km
$\alpha$ Persei	— 21 "
$\gamma$ Leporis	— 124 "

$\gamma$ Ophiocoron	+ 34
$\alpha$ Capiti	+ 45 "
$\alpha$ Boötis	— 48 "
$\gamma$ Ophiuchi	— 111 "
$\gamma$ Aquarii	— 18 "
$\gamma$ Pegasi	+ 82 "
$\gamma$ Persei	+ 119 "

Außer diesen Sternen haben die beiden Astrophysiker einen Wandausbruch von Procyon Delapolsky folgend, nach folgende 3 Sterne mit den beigefügten Ergebnissen aufgenommen und vermessen:

$\alpha$ Aurigae	+ 111 km
$\gamma$ Leporis	+ 55 "
$\gamma$ Capiti	+ 41 "

Der Wandausbruch für  $\alpha$  Leporis, welcher Stern am 3. Abende aufgenommen wurde, stimmten für jeden Abend untereinander sehr gut überein, ergaben aber für die verschiedenen Zeiten etwas verschiedene Werte der Geschwindigkeit (nämlich + 4.3, 4.6 und 5.4 km), sodaß möglicherweise dieser Stern eine veränderliche Radialgeschwindigkeit besitzt. Derselbe können jedoch erst weitere Beobachtungen die Entscheidung geben.

Von einigen der angestrichen Sterne haben schon früher verschiedene Astrophysiker ebenfalls Bestimmungen ihrer radialen Geschwindigkeit ausgeführt und es ist von Interesse diese mit den neuesten Ermittlungen von Frost und Adams auf der Yerkes-Sternwarte zu vergleichen.

Name des Sterns	Beobachter	Geschwindigkeit	$\frac{v}{c}$
$\alpha$ Arietis	Campbell	— 111 km	1906
	Adams	— 121 "	1908
	Nissen	— 143 "	1902
	Frost u. Adams	— 137 "	1902
$\alpha$ Persei	Campbell	— 24 "	1897
	Vogel	— 32 "	1904
	Nissen	— 38 "	1902
	Frost u. Adams	— 31 "	1902
$\alpha$ Boötis	Frost u. Adams	— 43 "	1902
	Nissen	— 54 "	1902
	Frost u. Adams	— 48 "	1902
$\gamma$ Pegasi	Campbell	+ 57 "	1899
	Frost u. Adams	+ 82 "	1902
$\gamma$ Leporis	Wright	+ 51 "	1908
	Adams	+ 55 "	1908
	Frost u. Adams	+ 53 "	1902

Die vorstehende kleine Tabelle gibt eine Zusammenstellung derselben nebst dem Namen der Beobachter mit Zuzügung der oben angegebenen neuesten Ermittlungen auf der Verkes-Sternkarte.

Diese Angaben stimmen im allgemeinen gut miteinander überein, nur bei  $\alpha$  Bootis ist der Unterschied der letzteren mit den neuesten Messungen

auf der Verkes-Sternkarte, obgleich nur 0,5 km betragend, etwas größer als man erwarten dürfte, da die Linsen im Spektrum dieses Sterns recht scharf erschienen. Vielleicht gehört  $\alpha$  Bootis zu den Sternen mit veränderlicher Eigenbewegung, wofür sich in wenigen Jahren ein solcher Entscheid wird herbeiführen lassen.

## Johann Keppler, der Gesetzgeber der neueren Astronomie.

**S**o ein Entdecker der drei Gesetze der Planetenbewegung gehört zu den populärsten Geisteskräften der Zeit großer Männer, welche im 16. Jahrhundert die neue Naturwissenschaft, besonders in ihrer Anwendung auf die Untersuchung des Himmels, begründeten. Nicht nur waren seine Forschungen bahnbrechend für die Nachfolger, sondern auch die Vorlesung seiner persönlichen Verhältnisse, der Gang seines Lebensschicksals, ist so eindrucksvoll, daß er auf empfindliche Gemüter immer wieder einwirkend wirkt. Sehr selten ist über Keppler, sein Leben und Wirken geschrieben worden. Fachmänner und Laien haben sich über diesen hohen Geist geäußert, ja die Geschichtsschreiber von der Bedeutung Schwabens stellt Keppler sogar über Newton. Solche Urteile berechnen, daß die wahre Bedeutung Kepplers und die richtige Schätzung seiner Arbeiten nur von einem astronomischen Fachmann erteilt werden kann. Gegenwärtig liegt uns eine neue Keppler-Biographie vor, aus der Feder von Paul Adolf Müller in Rom,<sup>1)</sup> auf die wir uns hier lieber an dieser Stelle kurz beziehen, als der Vollstem Thema nicht nur mit voller Sachkenntnis, sondern auch mit rühmend-würdiger Uebersichtlichkeit behandelt, dabei

manches Neue bringt und bereits Bekanntes in der richtigen Einschätzung setzt. Alles dies ist aber gerade bei einer Biographie Kepplers von größter Wichtigkeit, umso mehr als die Lebensbedeutung Kepplers, die Frucht vor einem Tausendjährigen in lateinischer Sprache gab, heute ziemlich veraltet erscheint.

Der Gesetzgeber der neuen Astronomie entstammte einem Geschlecht, das 1430 vom Kaiser Sigismund geadelt worden, aber mit der Zeit in ärztliche Verhältnisse geraten war. Sein Vater war ein Art lehrender Kriegermann und seine Mutter die Tochter des Wirtes und Bürgermeisters Gudemann aus dem Dorf Ellingen in Württemberg. Geboren wurde Johann Keppler am 27. December 1571 zu Wülfl der Stadt Ulm. Über die Schöpfung des Namens herrscht Willkür, der berühmte Tüftler desselben hat es selbst nicht sehr genau damit genommen, er schrieb sich lateinisch Kapuran, deutsch Keppler, auch kam man die Formen Kepelon, und Kepeler selbst Kepner vor. Das Kind genoss nur eine geringfügige Erziehung, war kräftlich und schwarz und muskeltüchtig dergestalt bei der Feldarbeit helfen. Sechzehnjährig kam der Knabe auf die deutsche Schule zu Leonberg, 1587 in die protestantische Grammatikschule zu Adelfang, wo er so gute Fortschritte in der lateinischen und griechischen Sprache machte, daß er am 4. Oct. 1588 in die (protestantische) Klosterschule zu

<sup>1)</sup> Johann Keppler, der Gesetzgeber der neueren Astronomie. Ein Lebensbild von Paul Adolf Müller S. 1. Prof. d. Anatomie an der Universität Gießen. In Bonn Freiburg 1900. Hirschwald's Verlagbuchh.

Maffione aufzuweisen verstanden. Horen wir nunmehr über die Studienjahre Kopplers Prof. Möllers Darstellung in stücker Schrift:

„Lateinische Stellungen“ sagt er, „Arithmetik, Historik und allgemeine Astronomie bildeten hier seine Hauptbeschäftigung. Sein frühes Interesse für die Sternkunde kommt sich bei Gelegenheit einer am 3. März 1568 beobachteten Mondfinsternis. Der junge Student mag da in sein Tagebuch ein, daß diese Finsternis sich ausfüllte von einer hellen unscheinbar, die er im Jahre 1580 gesehen hatte und zwar durch die fast vollständige Unsichtbarkeit des Mondes. Man sieht, welchen Eindruck das damalige Ereignis schon auf den empfänglichen Knaben gemacht hatte. Ja noch mehr, er erinnert sich als kleinen Knaben von kaum sechs Jahren einem Kometen gesehen zu haben, dem das seine Mutter von einer Anhöhe zusah.“

Nach Vollendung seiner Vorbereitungsstudien konnte Koppler daran denken, sich an der Tübinger Universität einem Fachstudium zu widmen. Schon am 25. September 1564 hatte er seine Baccalaureatsprüfung bestanden, und da er die Absicht hegte sich dem Studium der protestantischen Theologie zu widmen, so war es ihm nicht schwer, einer ziemlich günstigen Bedingung einen Freiplatz in Tübingen 564 zu erlangen. Am 25. September 1568 begann der „laudenfällige Stilling“ sein neues Leben. Außer der freien Kost erhielt er 6 R. Jahresgehalt, wiewo später noch die Zinsen eines Stipendiums seiner Vaterstadt hinzukamen, wozu der strebsame Jüngling seinerseits ohne Sorgen

sich ganz und gar dem Studium der Wissenschaften hingeben konnte.

Tübingen, ein Wittenberg im Süden, hatte damals in der philosophischen oder, wie man es nannte, „Artsien“-Fakultät einen tüchtigen Lehrstuhl. Die dortigen Professoren der Theologie, sowie die Vordiker des Stiftes waren als Männer bekannt, die für die Reinhaltung und Verberstung der streng lutherischen Lehre alles mögliche aufboten. So gab der damalige Stifts-Superintendent Stephan Gerlach auch als Möder, den griechischen Patriarchen von Konstantinopel für das Luthertum zu gewinnen. Sein Nachfolger im Amt, Mathias Hübner, überwachte mit nicht geringer Besorgnis die Eudung seiner Zöglinge, damit sie nicht von dem für einen orthodox gehaltenen lutherischen Glauben abwichen. Der junge Koppler selbst sollte bald einen Hauptpostenstand dieser Sorgen bilden.

Euchterlen hatte dieser sich nur mit der Philosophie zu beschäftigen. Vor allem sagte ihm dabei das Studium der Mathematik und der Sternkunde zu. Dem Hauptlehrer dieser Fächer, Michael Maestlin, bewährte er reichlichen an dankbaren Anderen. Von Heidelberg nach Tübingen um die Stelle des Philipp Apian berufen, hatte Maestlin kurz vorher (1558) ein gutes Lehrbuch der Astronomie veröffentlicht und sich durch preisgekrönte Beobachtungen an geistreichen Planeten, namentlich des neuen Sterns in der Kassiopea (1577), einen Namen als tapfer Sternforscher erworben. Zwar war in Tübingen wie in Wittenberg das kopernikanische Weltssystem verpöndet, allein Maestlin übte nicht so strenge Verurtheilungen seinen Anhängern. (Vergl. folg.)

## Vermischte Nachrichten.

**Wichtige Untersuchungen über die Erhebungen der Sonnenoberfläche und besonders auf der Vorderseite ausgeführt worden.** Es handelt sich dabei eigentlich um Fortsetzung

Sein 1904. Heft 1.

und Erweiterung der schon vor mehr als 12 Jahren von Prof. Hale begonnenen Arbeiten, welche das mit zwei beweglichen Spiegeln versehenen Spektroheliographen mit dem Lichte der Corona aus

2

H und K die Sonne zu photographieren. Der Vorles-Sternwarten ist gewöhnlich im Besitz des Rumford-Spektroheliographen, eines sehr vollkommenen Apparates, und dieser wurde von Prof. Hale mit großem Erfolge von Frühl. 1903 an seinen neuen Arbeiten benutzt.

Derselbe wurde an dem 48zölligen Refraktor der Sternwarte angebracht und lieferte große photographische Darstellungen der Verteilung der glühenden Dämpfe des Calciums über der ganzen Sonnenscheibe. Diese Erscheinungen sind auf keine andere Weise, weder mit bloßer Auge, noch mittels der gewöhnlichen photographischen Methoden, auf der Sonnenscheibe wahrzunehmen. Anfangs schien es, als wenn diese Regionen glühenden Calciumdampfes mit denjenigen der bekannten hellen Sonnenfaculae übereinstimmten; dies ist in der Tat während der Fall, aber sie sind nicht damit identisch. Prof. Hale, der die Untersuchung dieser Erscheinungen auf der Vorles-Sternwarte ausgeführt hat, gibt ihnen den Namen Flacculi, und sie sehen auf den Photographien bezüglich Weißlichkeits ähnlich. Ihre wirklichen Durchmesser betragen gemäß den Messungen auf den besten Platten hundert bis mehrere hundert deutsche Meilen, und man kann sie betrachten als Stellen glühenden Calciumdampfes, die über die Schicht der glühenden Dämpfe der Sonnenphotosphäre emporragen. Es ist sogar möglich geworden, mit dem Spektroheliographen die Ausbreitung der Flacculi in verschiedener Höhe über der Sonnenoberfläche zu studieren, wobei sich fand, daß sie in den höheren Schichten größere Flächen bedecken als in den tieferen. Das große Sonnenfleck vom 6. October 1903 zeigt in der photographischen Aufnahme den dicken Calciumdampf in den tieferen Schichten, gerade über der Sonnenphotosphäre. Derselbe bedeckt hier nur sehr wenig die dunkle Umrandung des Fleckes (die sogenannte Penumbra); in einer zweiten Aufnahme, die eine Woche später stattfand und

nach auf ein höheres Niveau bezogen, und der Calciumdampf schon beträchtlich ausgebleicht, und in einem noch höheren Niveau erscheint der Penumbra fast völlig von dem Calciumdampf überdeckt. Der „Sonne“ wird in einem der nächsten Hefen Reproduktionen dieser wirklich prachtvollen Aufnahmen bringen. Was die Schnelligkeit der ausströmenden Bewegung dieser Dämpfe betrifft, so ergab sie sich zu etwa 1 km in der Sekunde. Auch oberfläch. Bildungen (Flacculi) desgl. über den Wasserstoff konnten mit dem Spektroheliographen nachgewiesen werden, und zwar erschienen dieselben im allgemeinen dunkel, konnten aber auch in sehr energiegel. Regionen der Sonnenoberfläche, gewöhnlich in der Nähe von Flacculi, hell. Die Wichtigkeit dieser Untersuchungen für eine genaue Kenntnis der Sonnenbeschaffenheit ist einleuchtend, und die vorliegenden ersten Aufzüge erscheinen überaus verlockend. Die Untersuchungen müssen aber, wie Prof. Hale betont, in erweitertem Maße fortgesetzt und, möglichst gleichzeitig, Aufnahmen mit dem Spektroheliographen, gewöhnliche photographische Aufnahmen der Sonnenphotosphäre und der Flecken in größerem Maßstabe, Aufnahmen des Spektrums der untersuchten Region, besonders in der Gegend von Sonnenflecken, ausgeführt werden, deren vergleichender Studium dann über die dort stattfindenden Bewegungsvorgänge Aufschluß geben würde. Endlich müssen diese Aufnahmen während der Dauer einer ganzen Sonnenfleckenperiode (von 11 Jahren) stattfinden. Es erhebt sich hier die ganz neue Aufgabe der Untersuchung, die der wichtigsten Aufschlüsse wertvoll, auch deshalb, weil es sich um den für die Erde bedeutungsvollsten aller Himmelskörper handelt.

Der photographische Atlas der Monde, der unter Leitung der Direktion der Pariser Sternwarte H. M. Loewy und H. P. Puiggeny herausgegeben wird, ist bis zur Ausgabe der 6. Lieferung fort-

geordnet.<sup>7)</sup> Diese Lickung enthält aller dem Teil und einer Phosoritate (vergrößerte Heliographien nach Aufnahmen aus den Jahren 1897, 98 und 1901). Es ist unweifelhaft, daß diese Studien alle anderen nicht damit besonderten Mundartenungen völlig überflüssig machen. Wenn Arbeiten, die in den verschiedenen Seiten im Detail hingehen, können sich nur auf einen Kern beziehen. Die Heliographen können in dem erläuterten Teil zu den einzelnen Plänen zu dem Ergebnis, daß die Nordoberfläche, wie sie uns erscheint, das Ergebnis einer bestimmten Entwicklungsreihe ist, die durch Intervalle von Ruhe in stetige Phasen abgetrennt wird. Nach dieser Beschreibung ergibt die Umgebung des Nördens des Mondes, eines der frühesten Zustände nach der Entstehung der Oberfläche. Dagegen dehnen die Meere der equatorialen Regionen aus weit jüngerer Epoche. Die großen ringförmigen Formationen sind viel älter als die Meere, nur wenige folgen nach diesem entstanden sein, die eruptiven Kerne der jüngsten Zeit haben nur kleine und lokale Formationen geschaffen, die jenseits des indischen Ozeans ähnlich sind. Wie dem Mond Helligkeit aus eigener Anschauung kommt, kann durch Schattengebietungen wohl zustimmen.

**Nummerierung von kleinen Planeten.** Prof. J. Baeschinger macht über die definitive Nummerierung einer Anzahl entdeckter kleiner Planeten folgende Angaben:<sup>7)</sup>

(547) 1903 LC, entdeckt von Dugan in Heidelberg-Königsstuhl 1903 Febr. 19, der Planet ist identisch mit dem bereits 1898 Dec. 31 von Charlois entdeckten, der wegen ungenügenden Materials nicht nummeriert 1899 DE.

(548) 1903 LQ, entdeckt von Dugan in Heidelberg-Königsstuhl 1903 April 20

(508) 1903 LR, entdeckt von Wolf in Heidelberg-Königsstuhl 1903 April 28,  
(510) 1903 LT, entdeckt von Dugan in Heidelberg-Königsstuhl 1903 Mai 20,  
(511) 1903 LU, entdeckt von Dugan in Heidelberg-Königsstuhl 1903 Mai 30,  
(512) 1903 LV, entdeckt von Wolf in Heidelberg-Königsstuhl 1903 Juni 28.

Der Planet 1903 LP hat sich als identisch mit (486) [1895 CB] herausgestellt, von LS, LW, LX konnten wegen unzureichenden Materials Befunde nicht gemacht werden.

Der Planet 1903 JO, der bisher die Nummer (489) getragen hat, hat sich nach den Rechnungen von Prof. Kreutz jetzt als sicher identisch mit (478) Kohn herausgestellt. Die damit her werdende Nummer (489) wird dem einen Tag später entdeckten Planeten 1903 JM zugelegt, für den eine allerdings unvollständige alphanische Reihe vorliegt.

**Absorption des Lichtes durch den Kometen 1895-o.** Prof. Wolf in Heidelberg ist durch eine neue Prüfung seiner im Sommer gemachten photographischen Aufnahmen des Kometen in dem Ergebnis gelangt, daß dessen Komma in mittlerem Maße das Licht eines Sterns 8.5 Größe absorbierte.<sup>7)</sup> Bei Olbers stellte, daß eine Lichtbrechung durch die Nebelhülle eines Kometen nicht nachgewiesen werden konnte, seit seiner Zeit Mitchell im Jahr 1847 einen Stern 5. Größe nahe dem Kern eines Kometen ohne Lichtschwächung gesehen sah und Young am 1. Dec. 1871 einen Stern 9. Größe ohne Lichtbrechung central durch den Rückstrahl des Kometen beobachtete, erschien es angemessen, daß die Hülle des Kometen sich im Zustand so großer Verdünnung befindet, daß eine wahrnehmbare Ablenkung oder Absorption ausgeschlossen erschien.

Die Entdeckung von Prof. Wolf ist daher sehr merkwürdig und er läßt sie in folgende Reihe zusammen:

<sup>7)</sup> Anna photographique de la Lune, tirée par l'intermédiaire de Paris par M. R. Lohry et M. P. Ponsard Paris 6 Mars 1903.

<sup>7)</sup> Ann. Naut. No. 2048

<sup>7)</sup> Ann. Naut. No. 2048

1. Der Komet 1903c zeigte vom Unterteil von dem Kometen 1903 III eine starke Absorption des Sternlichtes.

2. Es maß die Absorption durch die Kernteile des Kometen 1903c eine schiefe Grenze, also durch Gas verursacht werden war.

3. Die hauptsächlichsten Absorptionsbanden lagen nicht zwischen F und G gelbes, sondern an anderen Stellen des Spektrums.

4. Die Absorption wurde hauptsächlich durch besondere Teile der Hülle hervorgerufen, welche sich 52 ausgehoben, nach dem Schwefel hinneigte.

5. Eine Ablenkung der Lichtstrahlen konnte nicht nachgewiesen werden.

**Glänzendes Meteor.** Am 5. November gelang es mir zufällig, ein auf fallendes Meteorerscheinung unter sehr günstigen Verhältnissen zu beobachten. Ich sah gerade mit einem Chronometer für mittleren Zeit in der Hand, zum Himmel auf, als ein helles Meteor im Sternbild des Fuhrmanns, südlich von Capella, erschien. Ich merkte mir sofort die Zeit, die ich auf einige Sekunden genau angeben kann. 9h 17m 45s mittlerer Zeit Königsberg. Das Meteor ging in der Richtung von NW nach SO etwa über den südlichen Teil unseres Horizonts und verschwand in ungefähr 20 bis 25° Höhe über dem Horizont. Die Dauer der Erscheinung schätzte ich auf 15 Sekunden. Die Farbe war bläulich-grünlich-weiß, am Ende glaubte ich etwas etwas dunklere grüne Rand wahrzunehmen, was vielleicht auf einer optischen Täuschung beruht. Es lag, aus mehreren Stücken bestehend, etwas schwaches, rötliches Schweiß nach sich, der sehr schnell verfliehe. Ohne Deformation setzte es sich am Ende seiner etwas gekrümmten Bahn in ein graues Wölkchen aufzulösen.

Königsberg i. Pr.

O. Braun, stud. astron.

Die Meteore des Leoniden-  
schwärmes 1904 sind in den Morgen-

stunden des 16. November nach den Beobachtungen von W. F. Denning bei Bristol sehr zahlreich aufgetreten. Die stündliche Zahl nahm von Mitternacht bis 6 Uhr früh für einen Beobachter von 16 bis auf 140 zu. Das Maximum der Häufigkeit trat zwischen 5h 30m und 5h 45m ein, in welchem Zeitraum 42 Meteore auftraten, etwa drei in der Minute, und diese Zahl nahm gegen 6 Uhr hin noch zu bis die Morgen-  
dämmerung den Beobachtungen ein Ziel setzte. Der Mittelpunkt des Schwärmes, aus dem diese Meteore kamen, lag bei AR 151° D + 25°. Eine Anzahl dieser Meteore war so hell wie Jupiter, einige wie Venus und diese ergaben helle Striche in ihrem Lauf.

**Ältere photometrische Beobachtungen des Veränderlichen Algol.** Im Jahr 1860 bis 71 hat Prof. Vogel mit dem Zeilernschen Photometer der Leipziger Sternwarte eine Reihe von Helligkeitsbestimmungen des Algol angestellt, die, weil sie Messungen und nicht Schätzungen der Helligkeit sind, von hohem Wert erschienen. H. Landstöff hat jetzt eine Bearbeitung derselben angefertigt<sup>1)</sup> und die Lichtkurve Algol daraus abgeleitet. Als Ergebnis dieser Untersuchung kam die Tatsache heraus, daß die Lichtkurve dieses Veränderlichen um das Jahr 1870 mit sehr großer Annäherung dieselbe gewesen ist, wie zur Zeit der Beobachtungen von Prof. Müller, 1878 bis 81.

**Veränderliche Radialgeschwindigkeit von  $\beta$  Scorpii.** Auf der Lowell-Sternwarte hat V. M. Skjellerup auch spektrophotische Aufnahmen und Messungen in der Zeit vom 5. Juni bis 24. Aug. 1903 nachgewiesen, daß der Stern  $\beta$  Scorpii, dessen Spektrum zu dem Oriontypus gehört, eine veränderliche Eigenbewegung in der Gleichförmigkeit zur Erde besitzt, die zwischen  $-42$  km und  $+35$  km schwankte.<sup>2)</sup>

<sup>1)</sup> Ann. Nacht. No. 300.

<sup>2)</sup> Lowell Obs., Bulletin No. 4.

Die durchschnittliche Verteilung der Sterne auf den Platten der Potsdamer Himmelskarte haben G. Eberhard und H. Ludendorff untersucht<sup>1)</sup>. Turner<sup>2)</sup> hat anläßlich Untersuchungen über die relative Anzahl der Sterne auf verschiedenen Teilen der Platten, welche für das Himmelkartenunternehmen aufgenommen worden sind, veröffentlicht, und zwar hat er die Katalogplatten von Oxford und die Kartenaufnahmen von Paris, Algier, Toulouse und San Fernando diskutiert. Die interessanten Resultate Turners lassen es wünschenswert erscheinen, auch die Potsdamer Katalogplatten einer ähnlichen Bearbeitung zu unterziehen und die oben genannten Astronomen haben daher auf Anregung von Gellibrich Vagel diese Arbeit unternommen. Da für eine derartige Untersuchung ein möglichst reiches Material unumgänglich notwendig ist, haben sie von den bisher gemachten 250 Platten 230 mit nahezu 43000 Sternen verwendet und unter Benützung der die Messungen enthaltenden Originalhefte die Sterne in dem einseitigen Güterquadranten dreifach abgelesen. Die Resultate dieser sehr mühsamen Arbeit sind in einer umfangreichen Tabelle von den genannten zusammengestellt worden.

<sup>1)</sup> Ann. Nacht. No. 3813.

<sup>2)</sup> Monthly Notices, Vol. 62, p. 438ss., 1902, vgl. auch Stern 1902, S. 399.

Nach den Zahlen der Tabelle ist dann eine Kurve gezeichnet worden. Derselbe läßt sehr deutlich erkennen, daß das Maximum der Sternendichtigkeit nicht in der Mitte der Platten liegt, sondern am etwa 5.5 Öffnungsweite (28') von der Mitte entfernt ist. Eine entsprechende Erhebung fand Turner für die Aufnahmen von Oxford, Paris, Algier, Toulouse. Die Erklärung derselben findet Turner darin, daß die Platte die Fokalfäche des Fernrohrobjektivs vertritt, wendernachsteht, und auf der Schnittlinie das Maximum der Sternendichtigkeit liegt. Bei den Potsdamer Aufnahmen ist diese Schnittlinie im Kreise von 28 Radius. Die Sternzahl im Perimeter des Maximums (= 100%) ist in der Mitte der Platten = 91%, in 30' Abstand davon = 89%, in 60' Abstand = 77%, in 90' Abstand = 59%.

**Fernrohr für Freunde der Himmelsbeobachtung.** Aus dem Lesezettel des „Stern“ wird zur weiteren großen und kleinen sehr gut erhaltenen Fernrohr zum Verkauf angeboten. Freunde der Himmelsbeobachtung, welche die Anschaffung eines solchen Instrumentes beabsichtigen und sich darüberhinaus zu sich wenden, bin ich zu jeder gewünschten Auskunft gern bereit. Dr. Klein.

## Literatur.

Grundriß der theoretischen Astronomie oder der Geschichte der Himmelsmechanik von Dr. Johannes Pringshauß. 2. verbesserte Auflage. Leipzig 1903. Verlag von Wilhelm Engelmann. Preis 3. —.

Kahner hat wiederholt Gelegenheit gehabt, Freunde der astronomischen Astronomie auf die erste von Dr. Pringshauß herausgegebene kleine Handbuchschen: Erfindlich ist es, daß von diesem Werke jetzt eine zweite verbesserte Auflage erscheint. Der Hauptteil derselben, die Celestik und die Behandlung der Himmels-

bewegungen, ist unbedeutend geändert. dagegen ist der Anfang bedeutend erweitert worden. Das Buch hat einen elementaren Charakter (außer in der letzten Abteilung der mechanischen Teil von der Herleitung der Bewegung der Erde) in Anwendung bringt, doch will derjenige, welcher darüber ein Urteil gesprochen will, in den Lehren der Trigonometrie und analytischen Geometrie wohl zu Hause sein, das ist aber auch Grundriss des geringen, was man von jemandem erwarten muß, der sich mit Selbstbildung von Platon und Aristoteles befaßt will. R.





# Astronomischer Kalender für den Monat März 1904.

Sonne				Mond			
Mittlere Berliner Zeit.				Mittlere Berliner Zeit.			
Tag	Zeit M. Z. — W. Z.	Rechnung	Declination	Rechnung	Declination	Mond im Meridian	
h m s	h m s	h m s	° ' "	h m s	° ' "	h m	m
1	+ 22 26 28	12 47 30 56	— 0 56 42 1	22 9 27 46	+ 4 07 18 3	12 18	
2	26 28 23	22 51 30 45	— 1 18 4 3	21 9 18 36	+ 4 38 59 8	12 16 6	
3	29 28 20	22 55 28 44	— 1 42 5 8	20 9 9 27	+ 5 11 12 6	12 15 6	
4	32 27 17	22 59 27 00	— 2 06 7 2	19 9 0 75	+ 5 44 56 8	12 14 6	
5	35 26 14	23 3 27 00	— 2 30 12 8	18 8 51 80	+ 6 18 52 7	12 13 6	
6	38 25 11	23 6 26 70	— 2 54 18 7	17 8 42 77	+ 6 53 48 6	12 12 6	
7	41 24 08	23 9 26 00	— 3 18 24 1	16 8 33 48	+ 7 28 44 9	12 11 6	
8	44 23 05	23 12 25 50	— 3 42 30 0	15 8 24 54	+ 8 03 40 8	12 10 6	
9	47 22 02	23 15 25 44	— 4 06 35 9	14 8 16 00	+ 8 38 36 7	12 9 6	
10	50 20 59	23 18 25 38	— 4 30 41 8	13 8 7 06	+ 9 13 32 6	12 8 6	
11	53 19 56	23 21 25 32	— 4 54 47 7	12 8 0 12	+ 9 48 28 5	12 7 6	
12	56 18 53	23 24 25 26	— 5 18 53 6	11 7 51 18	+ 10 23 24 4	12 6 6	
13	59 17 50	23 27 25 20	— 5 42 59 5	10 7 42 24	+ 10 58 20 3	12 5 6	
14	62 16 47	23 30 25 14	— 6 06 6 4	9 7 33 30	+ 11 33 16 2	12 4 6	
15	65 15 44	23 33 25 08	— 6 30 12 3	8 7 24 36	+ 12 08 12 1	12 3 6	
16	68 14 41	23 36 24 52	— 6 53 18 2	7 7 15 42	+ 12 43 08 0	12 2 6	
17	71 13 38	23 39 24 46	— 7 16 24 1	6 7 6 48	+ 13 18 03 9	12 1 6	
18	74 12 35	23 42 24 40	— 7 39 30 0	5 6 57 54	+ 13 52 59 8	12 0 6	
19	77 11 32	23 45 24 34	— 8 02 35 9	4 6 49 00	+ 14 27 55 7	11 59 6	
20	80 10 29	23 48 24 28	— 8 25 41 8	3 6 40 06	+ 15 02 51 6	11 58 6	
21	83 9 26	23 51 24 22	— 8 48 47 7	2 6 31 12	+ 15 47 47 5	11 57 6	
22	86 8 23	23 54 24 16	— 9 11 53 6	1 6 22 18	+ 16 22 43 4	11 56 6	
23	89 7 20	23 57 24 10	— 9 34 59 5	0 6 13 24	+ 16 57 39 3	11 55 6	
24	92 6 17	24 0 24 04	— 9 58 6 4	0 6 4 30	+ 17 32 35 2	11 54 6	
25	95 5 14	24 3 23 98	— 10 21 12 3	0 5 55 36	+ 18 07 31 1	11 53 6	
26	98 4 11	24 6 23 92	— 10 44 18 2	0 5 46 42	+ 18 42 27 0	11 52 6	
27	101 3 8	24 9 23 86	— 11 7 24 1	0 5 37 48	+ 19 17 22 9	11 51 6	
28	104 2 5	24 12 23 80	— 11 30 30 0	0 5 28 54	+ 19 52 18 8	11 50 6	
29	107 1 2	24 15 23 74	— 11 53 35 9	0 5 19 60	+ 20 27 14 7	11 49 6	
30	110 0 0	24 18 23 68	— 12 16 41 8	0 5 10 66	+ 21 02 10 6	11 48 6	

## Flut- und Gezeitenzeiten 1904.

März	Tag	Zeit	Flut	Gezeiten
1	12	12 18	Vorm. in Neap. mit Sonn. Vorm. 2° 30' nördlich.	
2	13	12	Neap. in Springtiden in Rektascension mit dem Monde.	
3	14	12	Vorm. in Konjunktion in Erdfernen mit dem Monde.	
4	15	12	Merkur in großer südlicher heliocentrischer Länge.	
5	16	12	Merkur in Konjunktion in Rektascension mit dem Monde.	
6	17	12	Generalfinsternis.	
7	18	12	Jupiter in Konjunktion in Rektascension mit dem Monde.	
8	19	12	Mars in Konjunktion in Rektascension mit dem Monde.	
9	20	12	Uranus in Opposition mit der Sonne.	
10	21	12	Sonne tritt in das Zeichen des Widder, Frühlingsanfang.	
11	22	12	in Teufel mit dem Monde in Konjunktion, Bedeckung.	
12	23	12	Neptun in Opposition mit der Sonne.	
13	24	12	Merkur in kleiner Konjunktion mit der Sonne.	
14	25	12	Merkur in Neap. mit Jupiter, Merkur 2° 1' nördlich.	
15	26	12	Jupiter in Konjunktion mit der Sonne.	



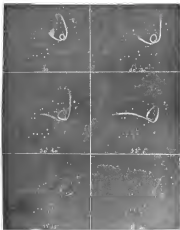


Bild 1005

Tafel 10

Der Mond in der Nacht vom 10. zum 15. Oktober 1903

# Carl Zeiss • Optische Werkstätte • Jena



empfehle folgende Baukonstruktionen für astronomischen  
**Abteilung:**

Zerstahl **apochromatische**  
Forschungsobjektive, ohne  
schwerfbares Spektrum,  
für visuelle Zwecke. Öffnungs-  
verhältnis 4 : 17 bis 1 : 30

Dreistufige photo - visuelle  
Objektive ohne schwer-  
fbares Spektrum und ohne  
Fokaldifferenz, Mittelsch-  
wächung in Photography.  
Öffnungsverhältnis 1 : 10 bis 1 : 15

**Apochromat, Aplanat** mit  
verminderten sekundären Spek-  
trum für **Astraphotogra-  
phie**. **Achromatische**  
Okulare mit grossem  
Augenbeobachtend. **Fer-  
suchsobjektive** aus gewöhn-  
lichen Gläsern. **Objektiv-  
gruppen, Okulare** mit  
starken prismatischen Hilfs-  
apparate.

Complete  
**Forschungsanordnungen**  
in jeder Grösse und Konstruktions-

Man verlange Katalog No. 103.

Verlag von Edward Belserich Meyer, Leipzig.

✧ SIRIUS ✧

Zeitschrift für populäre Astronomie

## Contributors



allen Freunden und Förderern der Himmelskunde.

100

### Environmental and Molecular Microbiology

Fachblätter und astronomischer Schriftstellers



Prof. Dr. Hermann J. Klein in Tals-Linderthal

[illegible]

Die Arbeit des Unternehmens ohne Selbstfinanzierung als nicht zu finanzieren bezeichnet werden, und die zahlreichen Unternehmen, welche dem Herausgeber seit Jahren von Anleihen anfragen, werden ihm, daß er in einem entsprechenden Bereich, den Fortschritt der größten Industrie auszu Gleichgewicht zu führen, der Anwesenheit eines Fortschritts notwendig, und dass wichtige Werte bei

Der KATZ-Asphalt ist gold-mangelsicheres Öl aus Frak. von 20—40° pro Sekunde, bei Erwärmung 20—170° pro Maß, und ist durch alle Erdölqualitäten und Umwandlungen zu kriechen.

Probestoffe sind durch jede Nachhandlung zu beziehen; die  
Handlung selbst hat keinerlei Bedeutung, ganz gleich, ob sie

# SIRIUS

Zeitschrift für populäre Astronomie

Herausgegeben unter Mitwirkung  
herausgegeben

Fachlehrer und wissenschaftlicher Schriftsteller

Prof. Dr. Hermann J. Klein in Köln-Glondenthal

— BAND XXXVII —

E. Hoff.



Verlag H. Hoffmann Meyer  
Köln-Glondenthal  
LIPSI, Ausgabe 18



## Inhalt des zweiten Heftes.

(Fortsetzung)

	Seite
Barnard's Beobachtungen über die scheinbare Polarzone des Mars. (Fortsetzung)	
Tafel III)	25
Die Mondkarten des Langrenus	27
Ein neuer Katalog der veränderlichen Sterne	30
Das Fackeln der Fixsterne	37
Alvan Kappler, der Entsetzliche der neuen Astronomie	39
Vermischte Nachrichten	43
Eine Höhenbestimmung korrespondirender Meeres der Angestperiode 1877.	
Der Meteor von Perseida.	
Die 1904 wiederkehrenden periodischen Kometen.	
Formeln für Formeln der Himmelsberechnung	
Astronomischer Kalender für den Monat April 1904	45
Stellungen der Jupitermonde im April 1904	47
Erhebungen der Jupitermonde	49
Stellungen der Saturnmonde	49

LEIPZIG, Neßplatz 16.

**Eduard Heinrich Mayer,**  
 Verlagsbuchhandlung.



# SIRIUS.

Zeitschrift für populäre Astronomie.



Zentralorgan für alle Freunde und Förderer der Himmelskunde.

Herausgegeben

unter Mitwirkung hervorragender Fachkollegen und renommierter Schriftsteller

von Prof. Dr. Hermann A. Klotz in Köln

Februar 1904.

„Wissen und Erleben und die Freude an der  
Beschäftigung der Menschheit.“ Klotz

Jeden Monat 1 Heft. — Jährlich 12 Hef.

Verlag von EDUARD HEINRICH MEYER in Leipzig.

INHALT: Barnards Beobachtungen über die südliche Polarkrone des Mars. (Hierzu Tafel II.) S. 25. — Die Mondkarten des Langens. S. 27. — Ein neuer Katalog der nebularischen Sterne. S. 29. — Das Pulsar der Pleiaden. S. 35. — Johann Nepper, der Vorgänger der modernen Astronomie. (Fortsetzung) S. 39. — Fernstudien Australiens. S. 43. — Unwetter-Kalender. S. 45. — Störungen der Jupitermonde im April 1904. S. 47. — Störungen der Jupitermonde im April 1904. S. 49. — Störungen der Saturnmonde im April 1904. S. 51.

## Barnards Beobachtungen über die südliche Polarkrone des Mars.

Hierzu Tafel III.

In dem Jahre 1892 und 1894 hat Prof. E. E. Barnard am 34-jährigen mit einem am 12-jährigen Sohn in Los-Angeles die südliche Polarkrone des Mars, die um bei der großen Neigungen des Mars zur Zeit von ihrer Opposition, sehr günstig zu Gesicht kommt, genauer beobachtet. Obwohl sagt dieser berühmte Beobachter in dem Bericht über diese Untersuchungen<sup>1)</sup>, die allgemeinen Details in Marsbeobachtungen wenigstens in Hinsicht auf die Beobachtung der südlichen Polarkrone, einfache wie komplizierte, nur Illusionen sein mögen,

so sind die beiden Polarkronen doch dieser allgemeinen Flut von Unsicherheit und Selbsttäuschung entgangen. Sie bilden für die Aussicht, mag ihre Beschaffenheit sein welche sie wolle. Die südliche Polarkrone hat seit den ersten teleskopischen Beobachtungen derselben, Veränderungen ihrer Ausdehnung gezeigt, welche schon früh auf die Vermutung führten, daß diese durch Anhebung von Schnee im Winter und durch Schmelzung desselben im Sommer der südlichen Marskugelsphäre entstehen. Der Verlauf dieser Änderungen in der Größe der Polarkrone ist bisher aber wohl nur an Zeichnungen skizziert worden, die bloß nach dem Augensinn entworfen waren, und Prof. Barnard

<sup>1)</sup> Astrophys. Journal, 1900 Vol. XVII, No. 1, pag. 246.

Febr. 1904. Heft 2.

beobachtet, deshalb, die Ausdehnung des südlichen Polarflecks durch Messungen mittels des Mikrometers. Beistehenden Dittus Aufgabe hat er während der Oppositionen des Mars in den Jahren 1892 und 1894 an dem großen Instrument der Lick-Sternwarte durchgeführt und auch eine Reihe von Zeichnungen des Aussehens des Planeten erhalten, die er aber bisher noch nicht veröffentlichte. Die Messungen begannen im 12stündigen Refraktor im Jahre 1892 am 3. Juli, 102 Tage vor dem Sommeranfang auf der südlichen Hämischphäre, und wurden fortgesetzt bis zum 6. November, 74 Tage nach dem Sommeranfang für die nördliche Halbkugel des Mars. Im Jahre 1894 wurde der 36 stündige Refraktor benutzt und die Messungen begannen am 26. Mai (100 Tage vor dem Sommeranfang der süd. Mars-Halbkugel) und endigten am 11. November (71 Tage nach dem Sommerantritt der Süd-hemischphäre des Planeten). Die Untersuchung ergibt, daß die Abnahme der Ausdehnung des weißen Polarflecks in beiden Jahren völlig übereinstimmend erfolgte, und ferner, daß die Abnahme über den Tag des Sommeranfangs hinaus noch fortwähre, also über die Zeit der größten Erwärmung durch die Sonne. Dem entspricht durchaus den Verhältnissen auf der Erde, wo die höchste Lufttemperatur erst einige Zeit nach der stärksten Sonnenbestrahlung eintritt und speziell sehr für das Vorhandensein einer Atmosphäre auf dem Mars. Denselbe scheint zwar sehr viel weniger stark zu sein als unsere irdische Luftstrafe, allein es ist dennoch hinreichend, um die Erscheinungen der Kondensation und Verdunstung der Feuchtigkeit herbeizuführen und ebenso, wenigstens selten, Wolkenbildungen zu erzeugen.

Es wäre von Interesse, auch die Zunahme der südlichen Schneekappe beim Herannahen des Winters beobachten zu verfolgen, allein dies scheint nach Lage der Verhältnisse unmöglich. Obgleich Mars im Jahre 1894 sorgfältig

beobachtet wurde, so war doch nach dem 19. November keine Spur der südlichen weißen Kälte zu sehen, sondern völlig verschwunden zu sein. Bei verschiedenen Gelegenheiten wurde Teil der Oberseite des weißen Polarflecks vorzeitig verdeckt, indem Medium bedeckt, welches zu anderen Zeiten verschwunden war, und das man mit guten Gründen für wolkenartiger Natur halten kann. Im Mai 1894 bedeckte der Polarfleck eine Fläche von etwa 950000 qkm, aber Ende November war derselbe völlig verschwunden, mindestens weggeschwunden. Die rasche Abnahme des Flecks scheint anzudeuten, daß wenn er am Schatz besteht, dieser nicht in dünnen Schichtenauflagen kann, sondern nur als dünner Überzug besteht. Schnee, der auf der Erde nicht schon bei 5 mittlere Breitengrade leicht sich auflöst und dann in wenigen Tagen schmilzt, würde von der Venus aus gesehen eine ähnliche rasche Veränderung in der Ausdehnung der irdischen Polkappen hervorrufen.

Die äußere Begrenzung der Polkappe des Mars trachten oft unregelmäßig. Häufig konnte Prof. Raman auf der Oberfläche derselben helle Flecke, helle helle Linsen und wechselnde dunkle Flecke erkennen. Ein großer, teilweise dunkler Fleck war nahe in der Mitte der Polkappe sowohl 1892 als 1894 sichtbar, um die Zeit, wo die Ausdehnung der weißen Kappe am größten trachten, er schien zu verschwinden, wenn leicht abnahm. Einmal zeigte sich dieser dunkle Fleck von rothlicher Farbe, ähnlich derjenigen der ungleichen Oberfläche des Mars und zu verschiedenen Malen erschien die Kappe deutlich doppelt. Die merkwürdigste Erscheinung aber war die Auftreten einer spärlichen Hervorhebung am Rande der weißen Kälte und zwar an der südlichen Stelle 1892 und 1894. Diese Hervorhebung blieb als heller Punkt bestehen, nachdem die weiße Kälte schon merklich zusammenzuschnitten war, und offenbar wird sie

auch wieder eine Eigenständigkeit der Oberfläche des Mars an jener Stelle verursacht. Man kann vermuten, daß sich darauf eine große Bergkette befindet, auf deren Gipfel der Schnee noch liegen bleibt, wenn er ringsherum am Fuße schon geschmolzen ist. Auf solche Weise erfüllt uns wahrscheinlich die Schneeschmelze auf dem Mars das Verlangen nach dortiger Gebirge, die Mars sonst unerschwingbar bleiben würden. Im Durchsicht der älteren Marsbeschreibungen fand Prof. Bernard, daß schon 1845 Mitchell in Chocoma (mit einem 18", seitigen Refraktor) diese weiße Hervorragung an der nördlichen Seite des Mars gesehen hat und zweifellos meinte sie in jenen Planeten wieder, schied die Schmelzlage sich genügend zusammengezogen hat. Der Schieber ist gegen etwa 60 Tage vor dem Sonnenanfang der nördlichen Marshemisphäre und durchläuft ihre Veränderungen während des Zeitraums von etwa einem Monat. Prof. Bernard macht sich darauf aufmerksam, daß schon H. E. Gress bei seinen Marsbeobachtungen auf Madras im Jahre 1877 jene weiße Spitze gesehen und einer Bergkette auf dem Mars zugeschrieben hat. Gress gab einem der hellen Flecke den Namen Märket-Berg.

Im Jahre 1885 war der nördliche Polarzoo am 6. Mai deutlich und bestimmt zu sehen, sparsame glaubte Prof. Bernard zwischen mehreren Monate früher erkannt zu haben. So bemerkte er am 21. December 1884 eine starke blä-

ulichen Glanz am Nordrande der Marscheibe und dieser wurde später wiederholt wiederholt, bis endlich die deutliche Spur der weißen Zone am Rande sichtbar wurde. Um einige Eigenständlichkeiten, welche die nördliche Polarzone darstellte, vorzuführen, hat Prof. Bernard 5 Zeichnungen aus den Jahren 1892 und 1894 ausgewählt und reproduziert, aber ohne die Details der umgebenen dunklen Teile des Planeten. Sie sind auf Tafel III wiedergegeben. Rechts und links sind die Zonen besprochen, für welche die Zeichnungen gelten und hierher bezeichnet 1 den Meridian der Mondkarte, der zu dieser Zeit gerade auf der Mitte der Scheibe stand. Die Zeichnungen von 1892 sind aus 12seitigen, diejenigen von 1894 aus 36seitigen Refraktoren erhalten worden. Als Probe der Details, welche der 36seitige Refraktor 1894 auf dem Mars ergab, hat Prof. Bernard eine Zeichnung veröffentlicht, die er am 2. September jenes Jahres aufgenommen hat. Sie ist auf Tafel IV ebenfalls reproduziert. Prof. Bernard bemerkt noch, daß während jener Opposition bei glänzenden Luftverhältnissen die Details auf der Marscheibe so reich und kompliziert waren, besonders in den dunklen Regionen des Planeten, daß es unmöglich wurde, sie genau zu zeichnen. Von dem Netzwerk der freien Kanäle, welches auch und wieder erfahren Beobachter schon mit 6seitigen Fernrohren gesehen haben wollen, hat Bernard ein großes Licht-Refraktor nicht aufgenommen.

## Die Mondkarten des Langrenus.

In einem der Straßburger Universitätsbibliothek angehängten Exemplar der alten Herculischen Selenographia (aus Plinius Amdorf in Leoben) eine Mondkarte am Schluß anhängen, die offenbar nicht in dieses Werk gehört. Er vermutete, es sei eine Mondkarte des Langrenus, und das ver-

zeichnet Prof. Walter F. Whittow in Hamburg die Ursprung der Karte nachzusehen. Er hat darüber in der Bibliotheca Mathematica<sup>1)</sup> berichtet.

«Marius Wierow, sagt es, gibt es nur zwei Mondkarten, die vorher von

<sup>1)</sup> Bd. Folge II.

Langrenus (in derger Nickel Florzst von Langren) benützte, die eine behandelte sich in Form in der Bibliotheksnationale, die andere in Brüssel in den Archives de l'université privé und zwar in den Atlas, welche die Beschreibung tragen: «De Geographicae artis delineatione 1643». Das Pariser Exemplar ist von Houtsman in den Bulletin de l'Académie royale de Belgique kurz beschrieben, während L. Houtsman das Brüsseler Exemplar in der Zeitschrift *Ged. et Tere* (1883) nicht nur besprochen, sondern auch in verkleinertem Maßstabe abgebildet hat. Mit dieser Abbildung hat die Straßburger Wandkarte wenig Ähnlichkeit, selbst alles auf eine Vergleichung mit der Pariser Karte ankommen. Da dasselbe aber der Schönheit wegen nicht vorzuziehen wird, so ließ Herr Direktor Lowey in Paris dasselbe auf seine Bitte in etwas verkleinertem Maßstabe photographieren. Die nachfolgenden Besprechungen des Pariser und Brüsseler Exemplars stützen sich auf diese photographische Reproduktion und die von L. Houtsman veröffentlichte Nachbildung.

Die Pariser Mondkarte des Langrenus ist ein in Kupfer gestochenes Blatt von 303 cm Höhe und 393 cm Breite, auf welchem die Mondoberfläche innerhalb einer vollkommenen schwarzen Kreislina von 35 cm Durchmesser abgebildet ist. Den unteren Teil des Blattes nimmt das Bogenkreisfeld ein, während die dem Mond angehörenden Teile durch freie Linien hervortreten innerhalb dieser schraffierten Partien befindet sich folgende Inschriften: Über der Tiael: «Mundus hinc usque philippus», darunter in viel kleinerer Schriftart: «Limbos borealis», dann am unteren Mondrande die Angabe: «Limbos australis», am rechten und linken der «Limbos occidentalis» und «Limbos orientalis» entsprechen. In den Ecken, welche in der äußeren quadratischen Umrahmung von der Mondoberfläche freigelassen werden, finden sich lateinische Zitate von auf

den Mond bezüglichen Stellen aus Theophrastus, Plinius, Cicero, Aristoteles, Tacitus und Seneca, während dicht unter dem Wortes «Limbos australis» in der Mitte die Zitate aus Plinius steht. Den unteren nicht schraffierten Teil des ganzen Blattes nimmt eine Bogenkreislina ein, welche beschriftet ist, deren Überschrift lautet: «Hinc usque ad mare, generum lunae mare nostrum nunc, imo oceanum», Michael Florentinus Langrenus Mathematicus et Cosmographus Regius orbis lunae nunc proponit, während dicht am Schluß die Dedicierung V. M. de Februario MDCLXV lautet.

Die eigentliche Mondkarte zeigt die dunkle Mondfläche ohne scharfe Begrenzung durch und durch punktiert, deren macht nur der Faden Samos (nach der jetzigen Nomenklatur) eine Ausnahme, der in ähnlicher Weise gestrichelt ist, wie man noch jetzt symphyge Gebiete auf den Landkarten darstellt. Die Küsten, Ring- und Wallbüere sind meist in breiteren (gegen die Randpartien zu in elliptischer) Form als scharfer Begrenzung (nur gelegentlich in derselbe punktiert) und Schattenschwurf am inneren wendlichen Wallbühlung gerichtet. Hier von macht nur Cassiopea eine Ausnahme, dessen innerer gleichmäßig schraffiert ist mit Ausparung des weißen Punktes in der Mitte, bezeichnet ist dieses Gebilde mit «Astrum Nephelae», während Cassiopea A als gewöhnlicher Kreis dargestellt und «Mare» genannt ist. Von den vom Tycho ausgehenden Strahlen sind zwei in die Mare Nubium hinein verlaufende angegeben und außerdem sind sowohl die Apenninen wie der Caucasus durch leichte Schraffierung angedeutet. In die Karte selbst sind 322 Bezeichnungen eingetragen und zwar sind die dunkle Fläche als Oceanus, Mare, Sinus, Locus etc. bezeichnet.

Die Wall- und Ringbüere sind meist mit den Namen damals explorierter Fürsten und deren Gemahlinnen, sowie von Fürsten und Fürstentümern, Diplomaten und Edelherren belegt, wenn bei den

spezielles Persönlichkeits noch eine klare Benennung ihrer Würde kennen, wiewohl dem entspricht, daß dieselben Namen vielfach verkommen. Die kleineren Wälfenomen und die Kinder tragen meist Namen berühmter Gelehrter (zweifellos Astronomen), wobei sich Langrenus nicht auf seine Zeitgenossen beschränkt, sich selbst aber auch nicht vergißt. Die meisten Annahmen von dem Namenstypus bilden die Namen Roca und Anali, welche die Ringgebirge Achenes und Soreaby bezeichnen sind. Außerdem sind eine Anzahl Vorgänge benannt und die heutigen Apenninen tragen den Namen «Montes Austriaci». Die heißen Teile der Mondoberfläche, für welche wir jetzt keine besonderen Namen mehr haben, sind hier als «Terra» bezeichnet und einmal kommt am Nordrand die Bezeichnung «Luna» vor. Namen von Höligen sind mit Vorliebe zur Bezeichnung von Vorgängen und Roca verwendet, ohne auf diese beschränkt zu sein, oder alle sonstigen Gebirge zu verstehen.

Von den Namen auf der Pariser Karte haben sich 34 in unserer heutigen Monokolor der Mondgebirge erhalten. Außerdem findet sich bei Langrenus der Name Roca, der in der Gegenwart durch Tycho ersetzt ist.

Denn 54 Namen sind aber von Langrenus anderen Gebirgen auf dem Monde beigemutet, als wir heute damit besetzen, mit stülpiger Ausnahme des Namens «Langrenus» selbst, der noch heute derselben Wälfenomen beigemutet wird, die Langrenus damit bezeichnet hat. Da sich nun die Bezeichnung «Sens Medus» der heutigen Karten auch bei Langrenus für denselben Fleck findet, so haben sich also zwei Namen der alten Monokolor der Langrenus für zwei bestimmte Mondgebirge auch auf unsere Karten erhalten.

Die Straßburger Mondkarte ist in Kupferdruck ausgeführt. Die quadratische Fläche ist in hoch und 37 cm hoch ist. Die Ausführung ist der Pariser Karte un-

ter. Die Grund um die durch eine scharfe Kontur von 33.8 cm Durchmesser abgegrenzte Mondfläche ist nicht karree. Überwiegend sind die vier Linsen-Bezeichnungen und genau wie auf der Pariser Karte, dagegen fehlen die lateinischen Zitate in den Ecken und darüber, sowie die ganze ausführliche Unterwelt. Eigentümliche Angaben über Verlinger, oder Kapitelstiche, oder Zeit der Herstellung fehlen, am linken Ende ist ein Wasserzeichen — ähnlich einer Grenzlinie — zu erkennen. Die Ausführung der eigentlichen Karte ist der Pariser so ähnlich, daß man auf den ersten Blick denken könnte, die Straßburger Karte sei nur ein früherer Abzug (sogar in letzter) von derselben Kupferplatte. Bei genauerem Studium entdeckt man, daß man es mit zwei verschiedenen Platten zu tun hat, denn nicht nur fehlen auf der Straßburger Karte drei Gebirge, die auf der Pariser eingetragen sind, sondern es zeigen sich auch Unterschiede in der Ausführung der kleineren Details. Die Monokolor der Straßburger Karte ist — wenn man von ziemlich zahlreichen Schreibfehlern absteht — die gleiche wie bei der Pariser Karte, nur fehlen fünf Namen, welche die um 317 Bezeichnungen enthält. Von diesen sind nur sechs andere als auf der Pariser Originalen und bei zwei benachbarten Gebirgen sind die Namen derselben gegenseitig ausgetauscht auf der Straßburger Karte. Endlich ist auf der linken bei einem Namen das zugehörige Gebirge nicht eingetragen.

Im allgemeinen ist die Pariser Karte immer noch sorgfältiger ausgeführt als die Straßburger, das zeigt sich nicht nur in der Psalternamen, in die die gleiche Fläche ausgeführt wird, sondern auch in der Ausführung der Schrift. Die Namen sind auf der Pariser Karte deutlich sauberer und vielfach gestochen und stehen so, daß man nie im Zweifel sein kann, auf welches Gebirge sie sich beziehen, was man von der Straßburger Karte nicht sagen kann.

Daß die beiden Karten in enger Beziehung zueinander stehen, ist wohl nach dem Gelingen einer weiteren klar, aber es dürfte sehr schwer sein, zu entscheiden, ob die eine eine verbesserte oder verschiedene Nachbildung der anderen ist, oder ob beide vollständig nach einer Originalzeichnung des Langrenus gestochen sind.

Die Brüsseler Mondkarte scheint eine Handzeichnung von Langrenus selbst zu sein, die wohl früher als 1643 entstand, ja möglicherweise schon 1638 der Infante habsburg von Spanien überreicht wurde. Die Umgrenzung des Mondes ist nach hier eine starke Kreislinie von 25 cm Durchmesser, außerhalb deren links und rechts die Beschriftungen «Ories» und «Occidens» stehen, während in der linken oberen Ecke des Blattes der Titel «Luna vel Lunae Astrorum Philippici» und in der rechten unteren eine Erklärung in betreff der Nomenklatur in lateinischer Sprache sich befindet. Weder der Umgrund der Karte noch die Gebilde auf derselben zeigen Schriftführungen, sondern die letzteren sind lediglich in scharfen Linien angegeben. Nur in drei leuchtigen Gebilden sind Spuren von Details eingetragen und die Aperturen unter der Kaskade (nach heutiger Nomenklatur) zeigen eine sehr dürftige Schraffurung. Was die Nomenklatur betrifft, so ist dieselbe wohl nach den gleichen Prinzipien wie bei der Pariser Karte aufgestellt, aber dieser gegenüber

fastent dürftig. Nur 28 Gebilde tragen auf der Brüsseler Karte denselben Namen wie auf der Pariser, 17 haben andere, 146 gar keine Namen, und endlich fehlen 127 von den auf der Pariser Karte vorkommenden Mondformensymbolen ganz, dagegen zeigt die Brüsseler Karte im Oceanus Procellarum an einer Stelle einen als «Callio» bezeichneten Krater, der auf der Pariser und Stralsburger Karte fehlt.

Vergleicht man die hier besprochenen drei Karten miteinander, so ist zweifellos die Brüsseler die mündelwertigste, und zwar nicht nur, was die Sorgfalt der Ausführung betrifft, sondern vor allen Dingen auch in bezug auf Genauigkeit und Lage der einzelnen Mondformensymbole. Diese letztere ist bei vielen selbst der größeren Wallkrater und Ringberge so ungenau, daß eine Identifizierung sehr schwer, stellenweise unmöglich wird. Bei den beiden anderen Karten und Zweck bei der Identifizierung verhältnismäßig sehr. Obenhaupt sind die Pariser und die Stralsburger Karte recht übersichtlich und der Mondkarte, die Rückseite in einem Abgeschnittener etwas verkleinert, weit überlegen, wenn sie auch nicht in der hohen Darstellung der Mondischen Mondkarte hinterzogen. Ja ich möchte diese Karten des Langrenus in bezug auf Übersichtlichkeit sogar der späteren Cassinischen Mondkarte vorziehen, denn bei dieser wirkt die reiche Schraffurung vielfach verwirrend.

## Ein neuer Katalog der veränderlichen Sterne.

 Die Anzahl der Fixstern, bei denen eine periodische Änderung ihrer Helligkeit nachweisbar ist, wächst in neuer Zeit nach und das Bedürfnis eines möglichst umfassenden und zuverlässigen Verzeichnisses derselben wird immer dringender. Von Seiten der Astronomischen Gesellschaft und auch Schenke gab, um durch eine besondere Kom-

mission von Astronomen, die auf diesem Gebiete vorgerückt hervortreten, einen neuen, umfassenden und kritisch bearbeiteten Katalog der Veränderlichen herstellen zu lassen. Diese Arbeit erfordert naturgemäß eine gewisse Zeit. Mittlerweile ist auf der Sternwarte des Harvard-College in Cambridge (N.A.) ein vorläufiger Katalog der Veränder-



Name	B. A. 1890	Dec. 1890	Mar.	Ma.	Periode	Jahr der Entdeckung	Entdecker
SS Andromedae	20.0	+27.5 50	20	< 11	—	1894	Anderson
W Cassiopeiae	49.9	+34 1	9.2	12.1	444.7	1874	Kepler
U Cephei	33.4	+41.20	7.9	8.2	1.1 +	1840	W. Dawell
— Tauri	10.0	+10.15	0.5	20.0	300	1888	Flamig
— Tauri	36.5	+71.25	—	—	—	1865	Seely
U Sagittae	1.0	+30.22	0.0	< 12.7	229.8	1870	Neubauer
U Andromedae	8.8	+40.11	0.0	< 11	300	1893	Anderson
U Cassiopeiae	29.5	+70.8	1.0	14.4	400.0 +	1894	(Rosa)
U Pictoris	27.4	+ 8.84	0.2	< 14.7	494.7	1893	Heid
U Pictoris	27.7	+22.32	1.4	14.7	172.7	1890	Flamig
U Perseus	22.4	+23.4	0.0	8.0	229.4	1870	Gold
U Pictoris	24.5	+ 9.50	0	10.4	344.1 +	1890	Heid
U Andromedae	26.7	+30.40	0	< 12	212.0	1890	Anderson
U Cassiopeiae	49.0	+36.40	0.2	11	300	1894	Kepler
U Persei	22.0	+54.30	0.0	17.0	100	1890	Flamig
U Persei	22.4	+30.34	0.0	< 10.0	—	1890	Flamig
U Arietis	22.0	+37.5	1.1	14.7	200.0	1894	Flamig
U Arietis	18.4	+24.20	0	10.7	298.5 +	1890	(Rosa)
— Hydri	16.4	+70.47	0.0	15.0	—	1891	Flamig
W Andromedae	10.0	+40.20	0	14.0	—	1890	Anderson
— Persei	22.0	+40.41	—	—	—	1891	Seely
U Persei	22.2	+30.20	0.4	8.0	100	1892	Nachb
u Cephei	14.2	+ 3.20	1.7	1.1	34.1 +	1890	Pacheco
U Persei	20.7	+40.4	0.0	10.0	100	1874	Kroger
U Cephei	20.0	+ 0.20	1.0	12.4	341.0	1894	Agapow
U Herodoti	23.4	+0.1	0.0	20.0	22.7	1890	Flamig
U Perseus	24.5	+0.20	2.4	< 10	100	1890	Cardinal
— Hydri	20.5	+0.20	1.0	10.0	—	1891	Flamig
U Eridani	21.4	+0.20	0	< 10	—	1890	0
U Cephei	20.7	+12.20	1.0	10.7	344.1	1890	Agapow
U Trianguli	21.0	+34.20	1.0	19.4	300	1890	Flamig
— Cassiopeiae	29.5	+20.20	—	—	—	1890	0
— Persei	22.0	+0.20	0.4	11	100 +	1894	Williams
— Cephei	20.4	+0.20	1.7	8.0	—	1892	Flamig
— Perseus	22.0	+0.20	—	—	—	1892	Flamig
— Herodoti	23.4	+0.20	0.7	20.4	—	1890	Flamig
U Arietis	22.0	+1.7	1.0	1.7	211	1870	Agapow
W Persei	22.0	+30.20	1.0	10.1	100	1890	Kepler
— Perseus	22.0	+0.20	—	—	—	0	(Rosa)
U Herodoti	23.4	+0.20	2.4	11.0	404.0	1890	Flamig
U Herodoti	22.0	+0.20	0.0	10.0	212.0	1890	Kepler
U Persei	22.0	+20.20	1.4	4.0	100	1894	Seely
U Persei	22.0	+40.20	0.0	10.0	100 +	1890	Neubauer
U Arietis	22.0	+10.20	0.0	< 11	201	1890	Neubauer
U Cephei	20.2	+ 3.20	0.7	22.0	101	1890	Wells
— Cephei	20.2	+0.20	0.0	0.0	—	1892	(Rosa)
U Persei	22.0	+40.20	0	10	200.7	1890	Williams
U Cephei	20.7	+30.20	1.3	21.0	220.1	1890	Neubauer
Neve Persei	24.4	+40.20	0.0	< 10	—	1890	Anderson
U Perseus	22.4	+0.20	0	10	—	1890	0
— Persei	22.0	+40.20	0.4	0.7	—	1890	Neubauer
— Tauri	20.0	+20.20	0.7	< 10	—	1890	Wells
U Cassiopeiae	29.2	+20.20	20.0	20.0	100	1890	Flamig
— Persei	22.0	+40.20	1.0	0.0	—	1890	Kepler
— Herodoti	23.4	+0.20	0.0	0.0	—	1890	Flamig
U Perseus	22.0	+0.20	0	0	—	1890	Agapow
U Eridani	21.2	+0.20	0.0	< 11.4	—	1890	Cardinal
— Eridani	21.4	+ 1.4	0.0	0.0	—	1890	Flamig
U Tauri	20.0	+ 7.20	0.0	0.1	100	1890	Gold





[illegible]

[illegible]

Name	B. & 1900	Dec. 1900	Dec.	Min	Prof. 1900	Future day B. & 1900	Structure
18. Tolson	17.4	-05 41	10.0	10.0	1.0 +	1901	Iron
19. Loomis	18.1	+04 10	—	—	—	1901	Iron
20. Carlson	18.4	-07 10	1.1	1.0	1.0 +	1901	Refract.
21. Loomis	18.4	-05 5	—	—	—	1901	Wells
22. Lydell	18.5	-05 02	4.0	4.0	1.0	1901	Gold
— Carlson	18.7	-05 11	8.0	< 10.0	—	1901	Fluorite
23. Carlson	18.8	-05 48	10.0	< 10.0	—	1901	Fluorite
24. Loomis	18.9	-05 19	4.0	10.0	1.0 +	1901	Pyrite
25. Carlson	19.0	-05 04	1.0	10.0	—	1901	Wells
26. Carlson	19.0	-05 10	1.0	1.0	1.0	1901	Refract.
27. Lydell	19.0	-05 8	4.0	< 10.0	1.0	1901	Pyrite
28. Carlson	19.0	-05 40	1.0	1.0	1.0	1901	Fluorite
29. Loomis	19.4	+04 10	5.0	< 10.0	1.0 +	1901	Tolson
30. Carlson	19.5	-05 14	1.0	1.0	—	1901	Gold
31. Carlson	19.7	-05 10	1.0	1.0	1.0 +	1901	Pyrite
32. Carlson	19.7	-05 10	1.0	1.0	1.0 +	1901	Pyrite
33. Carlson	19.7	-05 10	1.0	1.0	1.0 +	1901	Pyrite
34. Carlson	19.7	-05 10	1.0	1.0	1.0 +	1901	Pyrite
35. Carlson	19.7	-05 10	1.0	1.0	1.0 +	1901	Pyrite
36. Carlson	19.7	-05 10	1.0	1.0	1.0 +	1901	Pyrite
37. Carlson	19.7	-05 10	1.0	1.0	1.0 +	1901	Pyrite
38. Carlson	19.7	-05 10	1.0	1.0	1.0 +	1901	Pyrite
39. Carlson	19.7	-05 10	1.0	1.0	1.0 +	1901	Pyrite
40. Carlson	19.7	-05 10	1.0	1.0	1.0 +	1901	Pyrite
41. Carlson	19.7	-05 10	1.0	1.0	1.0 +	1901	Pyrite
42. Carlson	19.7	-05 10	1.0	1.0	1.0 +	1901	Pyrite
43. Carlson	19.7	-05 10	1.0	1.0	1.0 +	1901	Pyrite
44. Carlson	19.7	-05 10	1.0	1.0	1.0 +	1901	Pyrite
45. Carlson	19.7	-05 10	1.0	1.0	1.0 +	1901	Pyrite
46. Carlson	19.7	-05 10	1.0	1.0	1.0 +	1901	Pyrite
47. Carlson	19.7	-05 10	1.0	1.0	1.0 +	1901	Pyrite
48. Carlson	19.7	-05 10	1.0	1.0	1.0 +	1901	Pyrite
49. Carlson	19.7	-05 10	1.0	1.0	1.0 +	1901	Pyrite
50. Carlson	19.7	-05 10	1.0	1.0	1.0 +	1901	Pyrite
51. Carlson	19.7	-05 10	1.0	1.0	1.0 +	1901	Pyrite
52. Carlson	19.7	-05 10	1.0	1.0	1.0 +	1901	Pyrite
53. Carlson	19.7	-05 10	1.0	1.0	1.0 +	1901	Pyrite
54. Carlson	19.7	-05 10	1.0	1.0	1.0 +	1901	Pyrite
55. Carlson	19.7	-05 10	1.0	1.0	1.0 +	1901	Pyrite
56. Carlson	19.7	-05 10	1.0	1.0	1.0 +	1901	Pyrite
57. Carlson	19.7	-05 10	1.0	1.0	1.0 +	1901	Pyrite
58. Carlson	19.7	-05 10	1.0	1.0	1.0 +	1901	Pyrite
59. Carlson	19.7	-05 10	1.0	1.0	1.0 +	1901	Pyrite
60. Carlson	19.7	-05 10	1.0	1.0	1.0 +	1901	Pyrite
61. Carlson	19.7	-05 10	1.0	1.0	1.0 +	1901	Pyrite
62. Carlson	19.7	-05 10	1.0	1.0	1.0 +	1901	Pyrite
63. Carlson	19.7	-05 10	1.0	1.0	1.0 +	1901	Pyrite
64. Carlson	19.7	-05 10	1.0	1.0	1.0 +	1901	Pyrite
65. Carlson	19.7	-05 10	1.0	1.0	1.0 +	1901	Pyrite
66. Carlson	19.7	-05 10	1.0	1.0	1.0 +	1901	Pyrite
67. Carlson	19.7	-05 10	1.0	1.0	1.0 +	1901	Pyrite
68. Carlson	19.7	-05 10	1.0	1.0	1.0 +	1901	Pyrite
69. Carlson	19.7	-05 10	1.0	1.0	1.0 +	1901	Pyrite
70. Carlson	19.7	-05 10	1.0	1.0	1.0 +	1901	Pyrite

Name	2. u. 1897	Dec. 1897	Mag.	Sp.	Parallax	John Aug. Dist. Anfang	Beobachter
a Canis m.	28.8	-28.32	—	—	—	1827	Seidley
W. Virgoide	28.6	- 3.32	3.7	10.4	17.3 +	1846	Seidley
Y Virgoide	28.6	- 3.38	3.8	< 12	162.5	1847	Seidley
B. Cygnus	28.3	-22.42	3.3	3.7	120.3 +	1879	Seidley
— Cygnus	28.0	-27. 2	—	—	—	1881	Seidley
B. Cygnus	27.9	- 6.41	3.8	12.3	179.4 +	1842	Seidley
W. Cygnus	27.6	-28.12	3.2	< 12.5	—	1857	Seidley
E. Cygnus	26.8	-23. 4	7	< 12.5	—	1854	Seidley
T. Cygnus	26.8	-23. 8	3.4	20	10.4	1879	Seidley
B. Virgoide	26.3	-28.32	—	—	—	1851	Seidley
— Cass. Virgo	27.0	+26.15	—	—	—	1851	Seidley
W. Cygnus	26.0	-24.22	3.8	11.3	190.2	1879	Seidley
W. Cygnus	25.4	-27.32	3.7	3.8	120	1851	Seidley
E. Cass. Virgo	24.8	+26. 2	3.1	11.5	158	1850	Seidley
B. Cygnus	24.8	-28.27	3	< 12	—	1879	Seidley
T. Cygnus	24.3	-27.18	3.8	< 12	—	1879	Seidley
B. Cygnus	24.2	-28.32	3.3	3.8	—	—	Seidley
B. Virgoide	23.8	- 6.40	31	< 12	117	1846	Seidley
E. Cass. Virgo	23.7	+23.34	27.0	20.0	—	1879	Seidley
B. Virgoide	23.6	-23.12	3	11	160.5	1846	Seidley
B. Virgoide	23.6	-28.32	3	< 12	143.7	1846	Seidley
B. Cygnus	23.4	-28.27	3.8	12.5.7	145.8	1871	Seidley
B. Cygnus	23.4	+23.32	3.7	< 12	—	1846	Seidley
B. Cass. Virgo	23.4	-27.25	1.4	7.8	3.8 +	1846	Seidley
B. Cygnus	23.0	-28.32	3.2	11.2	—	1846	Seidley
— Cygnus	22.3	-27. 4	—	—	—	1841	Seidley
T. Cygnus	21.4	+27.38	3.8	3.8	3.47	1844	Seidley
B. Cygnus	20.8	+26.44	3.0	30.8	121.8	1847	Seidley
B. Cygnus	20.3	+24.32	3.8	12.1	160.2 +	1846	Seidley
— Cygnus	19.7	+26.32	1	4.7	8	1846	Seidley
B. Virgoide	19.9	+ 5. 8	3.7	< 22.2	116	1872	Seidley
B. Cass. Virgo	19.1	+24.27	2.8	13.7	167.8 +	1878	Seidley
T. Cygnus	18.8	-28.40	3.7	3.8	—	1871	Seidley
T. Cygnus	18.4	-28.27	3.4	1.8	3.4 +	1841	Seidley
T. Cygnus	18.0	+28.32	3.8	14.3	120	1841	Seidley
B. Cygnus	17.8	-27.32	3.2	3.8	—	1846	Seidley
B. Cygnus	17.4	+27.32	3.4	12.5	121.4 +	1846	Seidley
T. Cygnus	16.4	-27.14	3.3	11.3	121	1841	Seidley

(Fortsetzung folgt)

## Das Funkeln der Fixsterne.

Die Theorie des Funkelns (Scintillation) der Sterne hat Prof. Dr. E. von Oppolzer der Kön. Acad. in Wien vor 3 Jahren eine Untersuchung vorgelegt,<sup>1)</sup> die nachstehendes entnehmen ist. Funkelnde Sterne zeigen bei gewöhnlichem Luftzustande folgenden Fun-  
kela. Morning war der erste, welcher

diese Erscheinung auf die regelmäßige Dispersion der Luft zurückgeführt hat. Um dieser Erklärung die nötige Beweis-  
kraft zu geben, ist es nötig, den Strömung in der Atmosphäre für die verschiedenen Farben zu studieren. Es ist  
das von einem Punkte auf der Grenze der Atmosphäre fallende, alle Farben  
enthaltende Lichtbündel ein mehr oder  
weniger. Die violetten Strahlen, die in  
der Atmosphäre stärker abgelenkt werden

<sup>1)</sup> Sitzungsber. der mathem.-naturw. Kl. Bd. XV, Abt. III, 1900, Göttingen.

als die roten, müssen man offenbar von der Grenze bis zu dem Beobachter auf der Beobachtungsfläche einen anderen Weg zurücklegen als die roten, und zwar offenbar曲線förmig gekrümmten, umstrichen mit den letzteren im Auge des Beobachters zusammen. Das verschiedenfarbigen Strahlen laufen getrennt durch die Atmosphäre, und da nach den Untersuchungen Karl Exners schon Strahlen, die einige Zentimeter voneinander getrennt sind, unabhängig interferieren können, so bedarf es nur des Beweises, daß verschiedenfarbige Strahlen, die sich dann im Auge des Beobachters vereinigen, in der Atmosphäre um mehr als einige Zentimeter getrennt werden.

Es liegt nun nahe, die Frage zu stellen: Wie weit können zwei Strahlen von bestimmter Farbe an der Grenze der Atmosphäre ab, die von einem Fixstern kommen und auch im Auge des Beobachters vereinigen? In dieser Weise behandelten das Problem Mascart, Montigny und Lord Rayleigh. Die beiden letzteren schlagen den rein physikalischen Weg ein, indem sie das Gesetz aus den physikalischen Beobachtungen über die Dispersion der Luft ableiten, während Mascart auch die spektrale Verleinerung der Fixsterne in kleinen Höhen zugrunde legt. Da die Formeln Montignys und Rayleighs nach Prof. E. v. Oppolzer ausreicht sind, so ist dieser auf den Gegenstand besonders eingegangen, umso mehr als schon die die Fragestellung über die Separation an der Grenze der Atmosphäre eigentlich für die Strahlentheorie bedeutungslos ist, da doch infolge des dort vorschwindenden Brechungsvermögens überhaupt keine unregelmäßigen Ablenkungen und Interferenzerscheinungen Platz greifen können.

Prof. v. Oppolzer untermacht zunächst die Trennung der Strahlen an der Grenze der Atmosphäre und bedarf nur des von ihm aufgestellten Formels, daß dann für Sterne im Horizont die violetten und roten Strahlen um fast 38 m voneinander entfernt sind. Natürlich gilt dieser Wert für einen Beob-

achter an der Meeresfläche; für höher gelegene Stationen wird dieser Abstand im Verhältnis der Luftdichte kleiner. Es ergibt sich ferner, daß bei Zenithdistanzen unter 80° die Farben interferieren können, hier beträgt die Separation über einen Meter zwischen Violett und Rot, zwischen Blau und Violett etwa den sechsten Teil, also über einen Dezimeter. Bei 90° dürfte die farbige Strahlentheorie wohl schon verschwinden (nach Rayleighs Formel erst bei 40°, besonders weil wir auf die Separationen in stärker brechenden Schichten, welche allzu schnell zerfallen können, zurückgehen müssen).

Aus der Formel ergibt sich ferner, daß die farbige Strahlentheorie auch mit der Seethöhe des Beobachters abnehmen muß, und daß die Separationen an der Grenze um 22%, also fast um ein Fünftel herabgesetzt werden. Es ist dies ein Vorteil der Bergstationen, besonders wenn man photometrische Beobachtungen in großen Zenithdistanzen anstellen will, der aber auch dadurch vergrößert wird, daß auf Bergstationen die Luftschicht, die die Ursache der unregelmäßigen Strahlenbrechungen sind, von weit größeren Dimensionen sind, wie die, die sich in den niedrigsten Bodenschichten bilden. In hohen Schichten bedarf es daher sehr viel größerer Separationen als von einigen Zentimetern, um farbige Strahlentheorien beobachten zu können.

Der Beschreibung der Separation in beliebigen Höhen der Atmosphäre ist nicht ganz einfach, doch führt der von Prof. v. Oppolzer eingeschlagene Weg auch hier noch zum Ziel. Er findet u. a., daß die Separation in 5045 m Höhe fast so groß wie an der Grenze ist. Das ist eigentlich der Grund, weshalb die farbige Strahlentheorie schon in mittigen Höhen zerfällt, denn in Höhen von 3 km finden noch beträchtliche Störungen der normalen Temperaturverteilung statt, da gibt noch die Luftmischung mit den atmosphärischen höheren Schichten zu Schwebelbewegungen Anlaß.

Vom Standpunkte des Physikers hat man das Phänomen der Luftstreuung, das sich daran äußert, daß die peris-Ermigen Planeten durch Zitterbewegungen in eine helle Fläche zerlegt werden, dem Scintillationsphänomen unterzuordnen. Karl Exner bezeichnet es als Newton'sches Scintillationsphänomen. Es gehört ebenso wie die Scintillation im engeren Sinne, sowohl die Astronomische Helligkeits- und Farbenschwankungen der Fixsterne verstanden, zu der Klasse der unregelmäßigen Strahlstreuung.

Das Funkeln der Sterne wird im allgemeinen mit der Erlebung des Beobachtungsortes abnehmen, bei sehr starken Störungen der Luftschichten jedoch entschieden in Profr. u. Oppolzer geradezu notwendig, daß das Funkeln bei je einer gewissen Seelstärke zunimmt. Die Ursache des Funkelns liegt, wie ja die Untersuchungen Karl Exners wohl

erwärtet, darin, darin, daß durch die unregelmäßigen Strahlstreuung die Homogenität der Strahlbündel leicht soviel sogar das Bündel, von der Dichte eines großen Objektes (über 10 cm Öffnung) in jedem Momente sehr unregelmäßig ist. Je mehr störende Schichten die Bündel zu passieren haben, desto mehr wird sich nach Wahrscheinlichkeitsprinzipien Homogenität einstellen. Zieht man eine inhomogene Glasplatte zwischen Stern und Auge vorüber, so wird man Helligkeitschwankungen des Sterns wahrnehmen, man kann damit leicht die Scintillationserscheinungen, wie Exner sagte, künstlich herstellen. Würden nun mehrere hundert solcher Platten durcheinander- und hin- und hergeschoben, so wird sich eine wirkliche Konstanz der Helligkeit herstellen. Insofern sind also tiefgelegene Stationen vorzuziehen, wenn man photometrische Messungen anstellt.

## Johann Kepler, der Gesetzgeber der neuereu Astronomie.

(Fortsetzung.)

**(F)**achon er ständlich das geozentrische System vorzog, welches die Erde als den Mittelpunkt unseres Planetensystems, ja des ganzen Weltalls betrachtete, so konnten die begünstigten unter seinen Zuhörern nicht bald herausmerken, zu welchem System ihr Meister sie ihnen brachte. So kann es nicht auffallen, daß Kepler als überzeugter Kopernikaner aus seiner Unterordnung hervorging.

Die übrigen Lehrer, deren Vorlesungen Kepler um diese Zeit besuchte waren Martin Crusius, Georg Lindor, Georg Ruckhert, Erhard Cellius, Vilm Müller und Michael Ziegler. Bei diesen studierte er die griechische und lateinische Sprache, hörte Mathematik, Ethik und Physik. Wie gute Fortschritte er machte, beweisen die meist vorzüglichen Noten der ihm ausgestellten Zeugnisse. Wie bei seiner Aufnahme ins Stift der

Weiler Längemeister und bei ihrer Überzeugung Ausdruck verleihten, daß der »jung zum studien ganz tugendliche« und des »geistlichen Standes« würdig . . . an allen Zerstörungen rühmlich und wohl anlegen würde«, so bestätigte hinwieder bald der Tübingen Senat dem Studenten zur Erlangung des abgeordneten Weiler Baccalaureus, daß er eines so »tüchtlichen und herrlichen« Tugenden, das »unverdorbenen« eines »sunderlichen« in hohen . . . »dann wir ihn den von Gott dem Aberrichten gleich, hagt und als wohlthätig wünschen«.

Trotz seiner schwächlichen Gesundheit wollte Kepler sich unter seinem Mitbüdler nach Elmsplatz zu setzen. Als er im August 1591 sein Examen zur Erlangung der Magisterwürde ablegte, schied er unter reichlich Mitbewerber den zweiten Platz. Mit welcher Gewandtheit er die lateinische Sprache

zu dieser Zeit handelte, beweisen die von ihm verfaßten lateinischen Gedichte. Selbst bei seinen späteren Studien und Veröffentlichungen lehrte er es, lateinische Verse und ganze Oden einzuflechten, die er bald aus seinen klassischen Erinnerungen schöpfte, bald auch selbst dichtete.

Im übrigen wandte der junge Kappeler im Umgang mit seinen Mitschülern nicht das Aufgeblasenheit. Es fehlte auch nicht an kleinen Reibereien mit denselben. Etwas, gegen Ende seiner Gymnasialzeit habe er sich mehrere Knieverletzungen zugezogen, wie er selbst einer Urkunde erzählt. Wodurch er sich diese Stöße zuzog, sagt er nicht, es blieb dies aber jedenfalls ein Anekdote, und hat seiner späteren Laufbahn nicht geschadet. Von Haus aus hatte Kappeler ein gutes und frommes Gemüt, welches seine Gedanken und Bemerkungen wie von selbst von seinem Studium an Horkens und Ulmerischen anporzog und ihm das Studium der Theologie vor jedem andern annehmlich machte.

Mit dem Jahre 1592 begann die theologische Laufbahn, die allerdings nur von kurzer Dauer sein sollte. Seine Lehrer, den schon genannten Professor Gieseler und Horkens, so wie deren Kollegen Harbrand und Sigwart gefiel wohl die schnelle Auffassungsgabe des jungen Kappeler, auch bewunderten sie seiner Frömmigkeit, seinen Fleiß und Eifer im Studium, seine Beredsamkeit und Anlage zum Predigen. Ihre Anerkennung nicht verwegend. Was ihnen jedoch weniger anging, war eine gewisse wissenschaftliche Selbstständigkeit Kappeler, der bei all seiner Gelehrigkeit kein Hehl daraus machte, daß er nicht stark und überall in verhängnisvoller Weise bereit sei. Seinen kleinen Vorlesende drängte sich ihm bereits mit aller Gewalt der Widerspruch auf, in dem die Vorträge des damaligen Lehrkörpers sich verhielten, so dem die wissenschaftliche Forschung, von Autoritätsglauben unabhängige An-

legung der Heiligen Schrift prodigien, auf der andern Seite aber nicht dulden wollten, daß jemand von von ihrer persönlichen Meinung unabhängige Überzeugung habe.

Die Meinungsverschiedenheit zeigte sich besonders auf dem Gebiete, wo Theologie und Naturwissenschaften einander berührten. Während z. B. die Tübinger Professoren nach dem Vorbilde Luther und Melanchthon dafür hielten, daß das kopernikanische Weltssystem der Heiligen Schrift widerstreite, machte Kappeler aus seiner abweichenden Ansicht durchaus kein Hehl, disputierte sogar öffentlich und ohne Scheu gegen die Behauptung jener protestantischen Exegeten und legte seine eigene Meinung darüber schon damals schriftlich nieder.

Das läßt verstehen, wie unserem Kappeler sein theologisches Beruf bald verleidet ward, und wie sein Lehrer, da er für den Kirchendienst weniger geeignet hielten, gerne die Gelegenheit wahrnahmen, ihn anderswohin abzuschieben.

Eine Gelegenheit boten bei zu Anfang des Jahres 1594 die Anträge der Städtischen Räte bei dem Tübinger Senat um einen Professor der Mathematik an der (protestantischen) landesherrlichen „Sittschule“ von Gies in Stelle des verstorbenen „Landeschafts-Mathematiker“ Georg Stiller. Der Kanzler der Tübinger Hochschule dachte sofort an Johann Kappeler und trug diesem die Stelle an. Kappeler war zunächst verstockt. Auf der einen Seite standen der Wunsch seiner Angehörigen, daß er in glückliche Amt trete, die Liebe zur Heimat, die Verpflichtungen seinem Landesfürsten gegenüber, dessen Stiftung er bisher gewesen war, ebenso sein Hang zum Studium und die Vorlesungen nach trauriger Ansehung an der Hochschule. Nach war bei ihm seine Neigung zur Mathematik und zur Himmelskunde nicht klar zum Durchbruch gekommen, und er glaubte sich nicht hinreichend befähigt, diese Fächer



zu hören. Auf der andern Seite hatte die ihm angebotene Ehrenstelle und unabhängige Stellung eines Vorlesenden für ihn

im Zweifel, was er tun sollte, wendete sich Kappeler zunächst an seine Angehörigen um Rat. Da diese sich der Entscheidung seiner Vorposten auszusprechen versagten, verließ er eine Rücksicht an das Kollegium der Tübinger Theologen.

Der Senat der Universität schenkte ihm weiteres auf die Bitte Kapplers eingegangen zu sein, wie am folgenden aus dem Landeshofmeister Friedrich unterm 5. März desselben Jahres erlassenen Dekrete hervorgeht.

„Wir haben Ihrem Stipendiare M. J. Kappeler unentgeltlich suppliedum hiesiger Ewiger Vorderkammer, auch Di. Zimmermann zu Götze eingedragten Zehnt, die erledigte professoralem Mathematisches darauf betreffend, abgelesen, und ist uns mit ansehn, das h. h. Kappeler hienanzusetzen und auch erlerner gegenseitig solche conditionen eingesehen wollten, etc.

Hiermit war der kaum 32jährige Student nach der Vollendung seiner theologischen Studien aus dem Tübinger Stift scheidbar mit allen Ehren entlassen. Schon am 13. März 1604 reichte er sich auf auch dem hiesigen Staurmark, um so bald als möglich sein Amt an der Gmünder Landtschultheiße anvertrauen.

Hier erhielt er 150 fl. Gehalt und mußte außer Aufseher in den oberen Klassen des Virgi erklären und Rhetorik lehren, daneben den Landtschultheißen verfaßten und astrologische Prognostiken aufstellen. Vor allem studierte er das große Werk des Copernicus und gewann die Überzeugung von der Richtigkeit der Lehre, daß die Erde sich um die Sonne bewegt. In Götze verfaßte er nach sein astronomisches Erdingewende: *Mystrion cosmographicum*, das heute mit Recht vergewen ist. Götze hat Kappeler, obgleich er Protestant war, zunächst diese ansehnliche Aufstellung, und im April

1597 schritt er mit Barbara Müller zur Ehe. Manche Schicksale, sagt Prof. Müller, haben sich dem Kopf darüber verbrochen, wenn eigentlich unter dem Katholik Kappeler eine so aufrichtendliche Gerechtigkeit vorhanden gehabt habe. Nach v. Brunschwert willens es die Jesuiten gewesen. Dadurch droht sich aber die Schwärmerei auf, was wohl die Jesuiten für ein Interesse daran haben konnten, Kappeler zu begünstigen. Prof. Förster erklärt es durch Hohenziehung der Spezialinteressen, welche die Gesellschaft Jesu in Götze hatte.

Die Sache liegt augenscheinlich, wenn man sich an das obige Eingebore hält. Kappeler selbst weiß nichts von Jesuiten, obwohl er es damals wenigstens seit 1597 nicht ganz ohne Berührungen war. Er hatte sich eben bis dahin grundsätzlich von aller religiösen Aufregung ferngehalten, weshalb dem jungen Gelehrten gern gestattet wurde, auch hiesigen seinen Studien zu leben. Darf man es annehmen, wie das Dekret ausdrücklich sagt, er werde „auch allmählich geistlicher Beschäftigung gewöhnen und sich also Unvermeidlich verhalten, daß h. Durch. solche grad wider aufzuheben ist versucht werden“. Das war also das einzige, was man von Kappeler verlangte; bei Einhaltung dieser sieben bekräftigten Verhältnisse durfte er „jüngst der personal Ansehung“ ruhig im Lande verbleiben. Dazu kam die allgemeine Achtung, welche Kappeler infolge seiner Gelehrsamkeit bei Hofe genoss. Ferdinand selber hatte Freude an dessen Schriften. Kappeler hatte sich aber unter solchen Umständen in Götze nicht begnügt. Eine Zeitlang schwankte er, ob er von der Gerechtigkeit des Fürsten Gebrauch machen und in seiner Stelle verbleiben sollte.

Schließlich entschied er sich zu Tycho nach Prag zu gehen, der ihn wiederholt eingeladen hatte. Am 3. Februar 1600 traf er glücklich in Prag ein. Dort ließ ihn Tycho auf das bestmögliche willkommen und ließ

Es gleich mit sein Schloß abholen. Tycho war es dann zu tun, Kjöpler als Mitarbeiter zu schaffen, dieser konnte nicht weichen, seine nicht mehr zugehörige Stelle in Cuz aufzugeben. Eine Übereinkunft zwischen den beiden berühmten Männern, die sich hier zum erstenmal persönlich kennen lernten, schien keine Schwierigkeiten entgegenzusetzen. Tycho übernahm es, eine vorläufige Anstellung seines Freundes, etwa auf zwei Jahre, vom Kaiser zu erwirken. Während dieser Zeit sollte Kjöpler die Drucklegung der tychoischen Werke besorgen. Auf solche Weise konnte vielleicht ein vollständiges Aufgeben der arabischen Stellung in Cuz ohne weiteres vermieden und der dortige Gehalt noch weiter bezogen werden. Kjöpler ließ sich dabei auch von der klugen Berechnung leiten, er könnte so dem kaiserlichen Hofe mehr bekannt werden und sich den Weg zu einer ehrenvollen Laufbahn eröffnen. Tycho ist schon alt, schreibt er, und seine Kräfte stark im Abnehmen begriffen. Es wäre gar zu schade, wenn sein Beobachtungsschein nicht in Schönheit geblieben, am Ende gar verschlechtert würde. Andererseits vorbehielt Kjöpler sich keineswegs, welchen Weges er sich annehmen, wenn er seine Stelle in Cuz ein für allemal aufgab und als einer Privatmann in die Dienste Tychos tritt. Dieser war trotz all seiner Wissenschaft und seiner Talente ein rothbar und aufbrausender Charakter. Kjöpler hatte das bei seinem kurzen Besuche in Borch bald herausgefunden. Was aber, wenn es einmal zu einem Zerwürfniß zwischen den beiden Gelehrten kam?

Kjöpler überlegte mit der ganzen Klugheit eines besorgten Familienvaters auf die Gründe für und gegen, bevor er sich zu dem für sein ganzes Leben entscheidenden Schritte entschloß. Im Stillen hatte man von zuverlässiger Seite dem jungen Professor den Rat ertheilt statt der unsicheren mathematischen Laufbahn sich einem eintätigen Lebensberuf zu wählen. Er sollte von

Talent und vielen schönen Anlagen vielmehr in den Dienst der Armeehände stellen, ein Vorschlag, den Kjöpler nur mehr ganz aus dem Sinn schlagen konnte. Nach reiflicher, ständiger Erwägung legte er Tycho klar seine Bedingungen vor. Dieser zeigte sich großmüthig und weisberzig, und so kam es bald zu einem einiglichen Übereinkommen. Kjöpler versprach, bei seinen astronomischen Arbeiten in Prag allen gewinschelt zu tun, was man ihm auftrug, und zwar wurde vor allem die Ehre Cuzs, dann aber der Ruhm Tychos und am allerhöchsten Stelle von eigener Rhein dabei vor Augen schwaben. Der beiderseitige Vertrag datirt vom Juni 1600. Bis dahin war Kjöpler Tychos Cuz zu Danzig.

Kjöpler verlebte mit seiner Familie nach Prag über, doch war sein Zusammenleben mit Tycho von nur kurzer Dauer, denn letzterer starb am 24. Oktober 1601. Daß nur Kjöpler sein Nachfolger sein konnte, war für jeden Sachkenner außer Zweifel. In der That erhielt er eine Bestallung von Kaiser Rudolf II. und der Zusage einer sehr hohen Besoldung, doch blieb es schwer, letztere von dem kaiserlichen Schatzmeister auch wirklich zu erlangen, da es dem Kaiser dann an Geld fehlte. Über die Stellung Kjöplers zur Astronomie verheißt sich Prof. Müller sehr ausführlich. — Seit dem Jahre 1601 bis 1603 sagt er, „gibt Kjöpler das regelmäßige Prognostikon ganz auf. Wenn er spielt, genügt ihm die Ueberrinde oder durch das Ansieht der Personen, die sein Urtheil wissen wollen, sich mit astrologischen Sachen zuweilen abgibt, ist er es nur mit Widernutzen. Dabei warnt er nicht selten hochgestellte Personen vor der Zerschindlichkeit, die mit diesem astrologischen Sachen eigen wäre. Auch da von dem selbst erstellten astrologischen Gelehrten schloß er davon nicht ab, was man ausall aus einem Briefe erkennt, den er im Jahre 1641 an einen hochgestellten Persönlichkeit in der Umgebung des Kaisers schrieb. Er

schloß dasselben mit der Mahnung, daß nach seiner Meinung die Astrologie im hohen Maße des Kaisers ganz aus dem Spiele gelassen werden sollte, noch besser wäre es, wenn man sie selbst aus dem Geschickswissen des Kaisers sowohl wie seiner Berater vollständig fern halte. Aber immer wieder geschah es, daß Hofrituelle, die Koppler dieses oder jenes aufgestellt hatte, richtig oder doch nahezu richtig eintrafen. Das machte dem ungeheuren Eindruck und verschaffte ihm als Astrologen großen Ruf.

Zu den Leichtgläubigsten dieser Art gehörte unter andern der bekannte Feldherr Herring Altmacht von Wallenstein. Auf Umwegen und durch Mittelspersonen hatte er sich als Zögling junger Mänsen mit Gehörbefähigung seines Vaters ein astrologisches Urteil über seine Person zufliessen lassen. Die Charakterisierung, die Koppler gab, paßte vortreflich. So war für das 21. Lebensjahr eine schwere Krankheit prognostiziert, in Wirklichkeit hatte Wallenstein bei nur 22 Jahren durchgemacht.

(Fortsetzung folgt)

## Vermischte Nachrichten.

Eine Höhenberechnung korrespondierender Meteore der Augustperiode 1877 hat H. Ducker angestellt.<sup>1)</sup> Die Untersuchung erstreckt die Augustperiode 1877 und erstreckt sich über die Tage vom 8. bis 13. August. Beobachtungsorte waren Wien und Brünn. Die Zahl der gesehenen Meteore betrug mit über 1000, doch wurden nur 725 Bahnen fixiert. Am Tage des Maximums, am 10. August, traten gegen 20 Radiationspunkte mehr oder weniger deutlich hervor. Die eigentlichen Perseiden befanden sich in einer Periode des Maximums, da nur 17% aller Meteore dem Hauptstrahlen zugehörten, während ihre Zahl in Perioden des Maximums 30% erreicht. An den folgenden Tagen waren teilweise auch andere Radiationsysteme tätig. Von Kosmeten fand sich nur einer, dessen Zusammenhang mit diesem Meteorstrom, wie er aus dem Radiationspunkte abgeleitet wurde, wahrscheinlich ist. Es ist dies der Kosmet 1882 II, dessen Entdeckung von der Erde am 9. August nur 8-600 Teile der Erde, also rund 731.000 km oder 1,8 Mondbahnabstand betrug. Die Zahl der korrespondierend beobachteten Meteore war 30. Die Durchschnittshöhe der

Perseiden wurde um die Größe verschieden von dem bisher bekannten Mittelwerte gefunden. Die größte Höhe, in der auch Meteore gesehen wurden, war 1400 km, die kleinste 200 km. Unter allen 30 berechneten Sternschnuppen bestand wohl keine einzige, deren Endpunkt in einer größeren Höhe über der Endoberfläche gefunden wurde als der Anfangspunkt. Alle bei der ersten Berechnung scheinbar ruhenden der Bahnen verwandelten sich sofort in fallende, wenn die Bedingung erfüllt wurde, daß der verlängerte Bahnspurs durch den Radiationspunkt gehen müßte.

Der Meteorit von Persepolis.<sup>2)</sup> Der neue Fund, von dem ein einziges Exemplar bekannt wurde, das sich jetzt in der Meteoriensammlung des naturhistorischen Museums befindet, ist am 24. Oktober 1899, 7½ morgens, in nordwestlicher Richtung, 3 Stunden westlich von der kalifornischen Missionsstation Fremont im Distrikt von Uppsal, Bezirk Sonora in Mexiko, niedergefallen. Der Stein ist kugelförmig und hat ein Gewicht von 155 g. Seine äußere Hülle zeigt viel Ähnlichkeit mit den Steinen von Sankara. Die wesentlichen Gesteinstteile des Steins bestehen aus Aenith, monoklinem und rhombischem

<sup>1)</sup> Wiener Acad. Anzeiger 1900, S. 226.

<sup>2)</sup> Wiener Acad. Berichte 1900, S. 266.

Pyroxen, während Magnetit und Magnetit als außerordentlich Nebengengengteile vorhanden sind.

Nach der Berechnung der von Holm E. Ludwig ausgeführten Analyse ist der Stein aus 30% Anorthit und 70% Pyroxen zusammengesetzt.

Bezüglich seines Gefüges zeigt der Stein eine zusammengeordnete Struktur. Es sind Gesteinsarten mit optischer Struktur und mit Trümmernstruktur zu unterscheiden. Aus dem petrographischen Verhältnisse beider Teile lassen sich drei Zustände erkennen, die der Stein durchgemacht hat. Als erste erkennbare Entwicklungsstufe des Steins hat ein Trümmerngefüge vorgelegen, das wahrscheinlich einem breccienartigen Zustand entsprechen hat. Zu einer späteren Zeit hat der Meteoritstein eine durch Erhitzung bewirkte Umwandlung erfahren, wobei der Anorthit vollständig und der Pyroxen teilweise zur Schmelzung kam und die kristallisierten Anorthite mit den regenerierten Pyroxenen in Gestalt von Einschlüssen angeordnet wurden. Nach dieser Entwicklungsphase hat der Stein starke Porositäten erfahren, die am deutlichsten in den Verwerfungen der Anorthit-Zwischengliedern und nach völliger Erschmelzung von Kristallen zum Ausdruck kommen. Der Periode mechanischer Veränderungen ist dann eine zweite Durchschmelzung gefolgt, von der der Stein jedoch nur partiellweise ergriffen wurde. Bei dieser Einschmelzung, wie sich Schmelzlinien in den Schmelzräumen anordnen, der Feldspat in Körnern und der Pyroxen in Körnern und Porositäten, ist es auch zur Bildung von gläsernen Adern gekommen, eines Gefüges, das auf der Bruchfläche die drei freien Augen erkennbare grobe Verwitterung der sonst hellfarbigen Steinmassen hervorbringt.

Die stück wiederkehrenden perlithischen Kometen. Von den Kometen mit kurzen Umlaufzeiten, die bereits

wiederholt zur Sonne zurückgekehrt sind, können im Laufe dieses Jahres die folgenden erwartet werden.

Im Februar der Komet Wirtzweide, der zuerst 1819 gesehen, aber erst von Wirtzweide 1858 als periodisch erkannt wurde. Seine Umlaufzeit beträgt 543 Jahre und er ist bei jeder 2. und bei seiner Rückkehr zur Sonnennähe beobachtet worden. Die Sichtverhältnisse bei der gegenwärtigen Rückkehr sind jedoch so ungünstig, daß an eine Auffindung des Kometen nicht zu denken ist.

Im Frühlung kommt der Komet d'Arrest in seine Sonnennähe, doch wird auch er schwierig gesehen werden können. Erst bei der Rückkehr 1910 darf man sich auf die Auffindung desselben Hoffnung machen.

Im Juni der Komet Irenaea, 1866 entdeckt, von 545 Jahren Umlaufzeit und während bei 4 Zurückkehren zur Sonne beobachtet.

Im September der Komet Tempel-H, 1823 entdeckt, von 532 Jahren Umlaufzeit und bereits 3 mal wiederkehrt.

Im Oktober endlich der Encke'sche Komet, 1786 zum ersten Male beobachtet, von 530 Jahren Umlaufzeit, entdeckt im Jahre 1801 gesehen, hat derselbe mit seiner ersten Entdeckung bereits 21 mal seinen Umlauf um die Sonne vollendet.

Parasol für Freunde der Himmelsbeobachtung. Aus dem Laboratorium des „Steins“ sind mir mehrere große und kleinere sehr gut erhaltene Parasole zum Verkauf angeboten worden. Freunde der Himmelsbeobachtung, welche die Anschaffung eines solchen Instrumentes beabsichtigen und sich desselben zu nützen wünschen, bin ich zu jeder gewünschten Auskunft bereit. Dr. Klein.

# Astronomischer Kalender für den Monat April 1904.

Sonne				Mond			
Mittlere Berliner Zeit.				Mittlere Berliner Zeit.			
Tag v. J.	Zeit M. Z.—W. Z.	Rektascension	Declination	Rektascension	Declination	Mond im Meridian	
	h m s	h m s	° ' "	h m s	° ' "	h m	
1	+ 4 10.00	0 41 10.00	+ 4.34 29.1	31 59 59.0	— 7 2 19.4	13 54.0	
2	0 42.00	0 41 15.00	4.42 14.7	34 59 54.0	0 0 10.4	14 57.1	
3	0 43.00	0 40 47.00	4.54 0.0	35 59 5.0	04 16 50.0	15 51.5	
4	0 44.1	0 39 39.00	4.59 22.1	35 18 21.00	08 37 25.0	16 5.4	
5	0 46.10	0 38 7.00	5 0 22.0	37 13 40.70	17 47 50.0	16 59.5	
6	0 48.00	0 36 47.00	5 00 50.0	39 0 57.00	26 51 4.0	17 40.3	
7	0 49.00	0 3 50.70	5 45 10.7	41 50 44.00	37 41 10.5	18 31.4	
8	0 50.10	0 2 0.00	5 5 4.0	45 46 0.00	48 33 18.0	19 21.1	
9	0 51.20	0 59 43.00	7 50 47.0	50 35 44.00	54 33 23.0	20 1.0	
10	0 52.30	1 04 50.00	7 59 43.0	54 50 5.70	59 48 4.0	20 50.0	
11	0 53.4	1 10 5.00	8 14 58.0	59 51 54.00	0 48 4.0	21 39.0	
12	0 54.50	1 21 48.00	8 29 52.7	65 37 25.00	5 18 18.0	22 28.0	
13	0 57.40	1 34 28.70	8 54 47.0	71 43 21.70	— 0 55 20.0	23 18.0	
14	0 59.40	1 46 0.00	9 50 54.0	0 30 56.00	+ 5 0 13.0	24 12.1	
15	+ 0 57.00	1 57 40.00	9 45 50.0	1 58 21.40	5 55 50.0	—	
16	0 58.00	1 58 10.70	10 0 20.1	3 0 4.00	5 55 20.0	0 20.0	
17	0 59.00	1 40 10.00	10 54 55.0	3 59 53.00	15 48 50.0	1 57.4	
18	0 60.00	1 43 50.70	10 48 50.0	5 45 43.70	25 18 50.0	3 14	
19	0 61.00	1 47 30.00	10 0 50.0	6 45 7.00	37 18 7.0	5 4.0	
20	0 62.00	1 51 30.00	11 27 13.0	6 59 7.00	48 0 10.0	7 54.1	
21	1 00.00	1 55 7.0	12 47 43.0	6 50 13.00	58 0 50.0	9 48.0	
22	1 07.00	1 59 50.00	10 0 1.0	7 33 33.00	68 07 50.0	11 41.4	
23	1 08.00	2 0 30.10	10 30 0.0	8 30 50.00	74 48 40.0	13 40.0	
24	1 09.20	2 0 10.00	12 40 1.0	9 37 17.10	80 48 20.0	1 26.7	
25	2 0.00	2 10 0.00	12 7 43.0	10 33 20.00	9 55 14.0	3 20.7	
26	2 07.00	2 15 50.00	12 57 19.0	11 30 34.0	+ 0 50 0.0	5 53.0	
27	2 08.00	2 17 30.00	13 45 17.0	12 14 14.70	— 0 55 19.0	10 18.0	
28	2 08.20	2 20 50.00	14 0 20.0	12 0 20.00	0 55 50.0	11 0.4	
29	2 08.30	2 23 04.00	14 54 10.0	14 4 34.00	0 50 51.0	12 2.0	
30	— 0 48.00	2 26 7.00	15 49 50.0	15 0 37.00	— 10 15 40.0	13 18.0	

## Planetenstellungen April

April	1	12 h	Von im April
"	3	20	Merkur im nördlichsten Knoten.
"	7	10	Merkur im Perihel.
"	8	1	Merkur in Konj. an Spikans mit Mars, Neptun 2° 10' nördl.
"	10	1	Venus in Konjunktion in Krebskreuz mit dem Mond.
"	12	12	Venus in Konjunktion in Krebskreuz mit dem Mars.
"	16	9	Jupiter in Konjunktion in Krebskreuz mit dem Mars.
"	18	7	Mars in Konjunktion in Krebskreuz mit dem Mond.
"	19	10	Merkur in Konjunktion in Krebskreuz mit dem Mond.
"	17	10	Merkur in größter nördlicher heliocentrischer Breite.
"	19	10	„ Teil in Konj. in Krebsk. mit dem Mond. (Heliozent.)
"	20	1	Merkur in größter südlicher Heliocentrischen 21° 11'.
"	26	16	Venus in Konjunktion an Spikans mit Jupiter, Venus 8° 10' nördl.
"	29	1	Mars im nördlichsten Knoten.
"	28	2	Venus in größter südlicher heliocentrischer Breite.
"	29	12	Jupiter in größter südlicher heliocentrischer Breite.

### Planeten-Ephemeriden.

Mittlere Berliner Mittag.						Mittlere Berliner Mittag.						
Jahr 1884	Tag 12	Rektascension			Obere Meridian- distanz	Jahr 1884	Tag 12	Rektascension			Obere Meridian- distanz	
		h	m	s				h	m	s		
Mars.						Saturn.						
Apr. 1.	1	0 33	31 32	+28 11 19.6	0 40	Apr. 1	1	23 28	55 29	— 11 55 34.9	30 17	
10	10	0 3	5 40	— 24 57 37.9	1 00	10	10	23 31	28 7 10	— 15 47 3.1	30 46	
19	19	0 40	53 50	— 27 51 20.9	1 1	19	19	23 34	28 57 55	— 11 57 54.4	30 6	
28	28	0 5	57 59	— 29 17 50.7	1 26	Uranus.						
27	27	0 24	59 17	— 31 25 39.7	1 53	Apr. 1	1	0 27	40	52 31	— 30 36 1.6	31 16
10	10	0 33	11 39	— 33 43 8.6	1 1	10	10	0 27	40	52 30	— 30 36 1.7	31 11
Venus.						19	19	0 27	40	52 30	— 30 36 1.7	31 11
Apr. 1	1	0 30	27 49 18	— 0 1 37.6	33 38	Neptun.						
10	10	0 30	58 37 16	— 0 45 17.7	33 37	Apr. 1	1	0 44	59 44	— 4 47 59.449	0 6	
19	19	0 30	55 50	— 0 51 50.9	33 40	10	10	0 44	59 46	— 4 47 59.44	4 37	
28	28	0 35	58 45	— 0 1 1 38.7	33 43	19	19	0 44	59 45	— 4 47 59.44	3 43	
27	27	0 34	1 18	— 4 21 59.8	33 47	28	28	0 44	59 45	— 4 47 59.44	3 43	
10	10	1 30	47 58	— 0 53 13.9	33 43	Mondphasen.						
Merk.						h m s						
Apr. 1	1	1 48	19 38	+12 37 19.8	0 48	Apr. 7	4	17 0	12 55	Leibes Mond.		
10	10	0 3	59 42	— 12 27 54.1	0 49	10	10	20 10	10 0	Neumond.		
19	19	0 53	54 41	— 12 53 54.7	0 44	19	19	27 40	0	Volles Mond.		
28	28	0 59	47 47	— 12 49 17.4	0 39	28	28	11 59 4	0	Neumond.		
27	27	0 49	7 55	— 12 59 37.8	0 35	10 20	—	—	—	Mond in Erdhölle.		
10	10	0 59	31 47	+17 1 39.8	0 38	13 7	—	—	—	Mond in Erdhölle.		
Jupiter.												
Apr. 1	1	0 26	37 32	+ 0 41 39.4	31 37							
10	10	0 43	44 50	— 0 40 33.4	31 37							
19	19	0 51	57 57	+ 0 34 33.0	31 38							

ALPH. CATALOGUE 18 707. — 1884.

### Lage und Größe des Saturnrings (nach Bessel).

April 10.	Große Achse der Ringfläche.	94 10".	Kleine Achse.	17 00".
	Erhöhungswinkel der Erde über der Ringebene.	14° 12' südlich.		
April 16.	Mittlere Scheitel der Klüppel.	10° 11' 45.0"		
	Scheitel der . . . . .	10° 18' 51.40"		
	Mittelpunkt der Saturn.	11° 18 30"		
	Parallaxe . . . . .	0 79"		

ALPH. CATALOGUE 18 707.

# Stellungen der Jupitermonde im April 1904.

I.



III.



II.



IV.

Kreis  
des  
Jupiters



Verfinstern  
des  
Mondes

Stellungen um 10<sup>h</sup> 30<sup>m</sup> für den Anblick im astronomischen Fernrohr.

Tag	Westl.	Ostl.
-----	--------	-------

Bei dem 23. April wird das Schattchen des Jupiter nicht zu beobachten,  
da Jupiter zu nahe bei der Sonne steht.

Tag	St.	h	m	s	St.	h	m	s
25		10	30	00		10	30	00
26		10	30	00		10	30	00
27		10	30	00		10	30	00
28		10	30	00		10	30	00
29		10	30	00		10	30	00
30		10	30	00		10	30	00
1		10	30	00		10	30	00
2		10	30	00		10	30	00
3		10	30	00		10	30	00
4		10	30	00		10	30	00
5		10	30	00		10	30	00
6		10	30	00		10	30	00
7		10	30	00		10	30	00
8		10	30	00		10	30	00
9		10	30	00		10	30	00
10		10	30	00		10	30	00
11		10	30	00		10	30	00
12		10	30	00		10	30	00
13		10	30	00		10	30	00
14		10	30	00		10	30	00
15		10	30	00		10	30	00
16		10	30	00		10	30	00
17		10	30	00		10	30	00
18		10	30	00		10	30	00
19		10	30	00		10	30	00
20		10	30	00		10	30	00
21		10	30	00		10	30	00
22		10	30	00		10	30	00
23		10	30	00		10	30	00
24		10	30	00		10	30	00
25		10	30	00		10	30	00
26		10	30	00		10	30	00
27		10	30	00		10	30	00
28		10	30	00		10	30	00
29		10	30	00		10	30	00
30		10	30	00		10	30	00
1		10	30	00		10	30	00
2		10	30	00		10	30	00
3		10	30	00		10	30	00
4		10	30	00		10	30	00
5		10	30	00		10	30	00
6		10	30	00		10	30	00
7		10	30	00		10	30	00
8		10	30	00		10	30	00
9		10	30	00		10	30	00
10		10	30	00		10	30	00
11		10	30	00		10	30	00
12		10	30	00		10	30	00
13		10	30	00		10	30	00
14		10	30	00		10	30	00
15		10	30	00		10	30	00
16		10	30	00		10	30	00
17		10	30	00		10	30	00
18		10	30	00		10	30	00
19		10	30	00		10	30	00
20		10	30	00		10	30	00
21		10	30	00		10	30	00
22		10	30	00		10	30	00
23		10	30	00		10	30	00
24		10	30	00		10	30	00
25		10	30	00		10	30	00
26		10	30	00		10	30	00
27		10	30	00		10	30	00
28		10	30	00		10	30	00
29		10	30	00		10	30	00
30		10	30	00		10	30	00

**Ercheinungen der Jupitermonde.** Die stündlichen Angaben über die Erscheinungen der Jupitermonde beziehen sich auf mittlere Zeit von Greenwich. Die Trabanten und der Kometenring ihres Abstandes vom Jupiter nach  $\pm$  bis 19 bemessen! Die vier größten Figuren zeigen die Stellung jedes Mondes mit Bezug auf den Jupiter bei dem Augenblicke der Vollanstrichung (d. h. unter dem Widerscheinstrahlen  $\pm$  ist nicht angegeben, so kann der Ansicht von dem Schatten nicht hochachtet werden. Ferner bedeutet bei den nachfolgenden Zeitangaben:

- Es D das Verschwinden des Trabanten im Schatten des Jupiter.
- Es E den Austritt des Trabanten aus dem Schatten des Jupiter.
- Ge D das Verschwinden des Trabanten hinter der Jupiterschleife.
- Ge E das Wiederauftreten desselben gegen der Jupiterschleife.
- T I den Eintritt des Trabanten vor die Jupiterschleife.
- T E den Austritt des Trabanten aus der Jupiterschleife.
- Sh I den Eintritt des Trabantenstrahlens auf die Jupiterschleife.
- Sh E den Austritt des Trabantenstrahlens aus der Jupiterschleife.

Es sind nur diejenigen Erscheinungen der Jupitermonde aufgeführt, welche sich ereignen, wenn Jupiter zu Greenwich über und der Sonne unter dem Horizont steht. Für die Monate, deren Erscheinungen nach astronomischer Zeit zu finden, hat man nur nötig, 1<sup>te</sup> zu den angegebenen Zeitpunkten zu addieren.

Die Positionen des Jupiter sind von 1. März bis 22. April 1884 zu beobachten, da Jupiter zu sehr bei der Sonne steht.

20. April. II 20. E. 10<sup>h</sup> 11<sup>m</sup> — 20. April. III 20. E. 10<sup>h</sup> 10<sup>m</sup>.

## Stellungen der Saturnmonde. (Erklärung S. 24.)

Zeiten der heliographischen Elongation im April 1884

**Jethys.** April 1. 11<sup>h</sup> 1<sup>m</sup>; April 2. 10<sup>h</sup> 1<sup>m</sup>; April 4. 10<sup>h</sup> 1<sup>m</sup>; April 6. 10<sup>h</sup> 1<sup>m</sup>; April 8. 10<sup>h</sup> 1<sup>m</sup>; April 10. 10<sup>h</sup> 1<sup>m</sup>; April 12. 10<sup>h</sup> 1<sup>m</sup>; April 14. 10<sup>h</sup> 1<sup>m</sup>; April 16. 10<sup>h</sup> 1<sup>m</sup>; April 18. 10<sup>h</sup> 1<sup>m</sup>; April 20. 10<sup>h</sup> 1<sup>m</sup>; April 22. 10<sup>h</sup> 1<sup>m</sup>; April 24. 10<sup>h</sup> 1<sup>m</sup>; April 26. 10<sup>h</sup> 1<sup>m</sup>; April 28. 10<sup>h</sup> 1<sup>m</sup>.

**Mimas.** April 5. 11<sup>h</sup> 1<sup>m</sup>; April 6. 11<sup>h</sup> 1<sup>m</sup>; April 8. 10<sup>h</sup> 1<sup>m</sup>; April 10. 10<sup>h</sup> 1<sup>m</sup>; April 12. 10<sup>h</sup> 1<sup>m</sup>; April 14. 10<sup>h</sup> 1<sup>m</sup>; April 16. 10<sup>h</sup> 1<sup>m</sup>; April 18. 10<sup>h</sup> 1<sup>m</sup>; April 20. 10<sup>h</sup> 1<sup>m</sup>; April 22. 10<sup>h</sup> 1<sup>m</sup>; April 24. 10<sup>h</sup> 1<sup>m</sup>; April 26. 10<sup>h</sup> 1<sup>m</sup>; April 28. 10<sup>h</sup> 1<sup>m</sup>.

**Encel.** April 5. 10<sup>h</sup> 1<sup>m</sup>; April 6. 10<sup>h</sup> 1<sup>m</sup>; April 11. 10<sup>h</sup> 1<sup>m</sup>; April 18. 10<sup>h</sup> 1<sup>m</sup>; April 20. 10<sup>h</sup> 1<sup>m</sup>; April 22. 10<sup>h</sup> 1<sup>m</sup>; April 24. 10<sup>h</sup> 1<sup>m</sup>; April 26. 10<sup>h</sup> 1<sup>m</sup>; April 28. 10<sup>h</sup> 1<sup>m</sup>.

**Titan.** April 1. 10<sup>h</sup> 1<sup>m</sup>; April 2. 10<sup>h</sup> 1<sup>m</sup>; April 4. 10<sup>h</sup> 1<sup>m</sup>; April 6. 10<sup>h</sup> 1<sup>m</sup>; April 8. 10<sup>h</sup> 1<sup>m</sup>; April 10. 10<sup>h</sup> 1<sup>m</sup>; April 12. 10<sup>h</sup> 1<sup>m</sup>; April 14. 10<sup>h</sup> 1<sup>m</sup>; April 16. 10<sup>h</sup> 1<sup>m</sup>; April 18. 10<sup>h</sup> 1<sup>m</sup>; April 20. 10<sup>h</sup> 1<sup>m</sup>; April 22. 10<sup>h</sup> 1<sup>m</sup>; April 24. 10<sup>h</sup> 1<sup>m</sup>; April 26. 10<sup>h</sup> 1<sup>m</sup>; April 28. 10<sup>h</sup> 1<sup>m</sup>.

**Hyperion.** April 11. 10<sup>h</sup> 1<sup>m</sup>.

Mehrere grössere und kleinere

## *astronomische Fernrohre*

sind sehr preiswürdig zu verkaufen. Effektivitäten wollen sich wegen seltener Einrichtungen zu nicht werden.

**Prof. Dr. Hermann J. Klein in Köln-Lindenthal.**

Verleger: Prof. Dr. Hermann J. Klein in Köln-Lindenthal. — Druck von G. L. Lohr in Leipzig. —

Abgegeben am 26. Januar 1884.





**Mars**  
 September 2, 1904.  $\lambda = 100^\circ$   
 aufgenommen am Lick'schen Observatorium  
 des Los Observatoriums.

Sept. 1.  
 $\lambda = 130^\circ$

Sept. 10.  
 $\lambda = 100^\circ$

Sept. 15.  
 $\lambda = 100^\circ$

Sept. 20.  
 $\lambda = 100^\circ$

Sept. 25.  
 $\lambda = 100^\circ$

Sept. 30.  
 $\lambda = 10^\circ$

Sept. 30.  
 $\lambda = 10^\circ$

Sept. 30.  
 $\lambda = 100^\circ$

Sept.

Sept.

Sept. 1.  
 $\lambda = 130^\circ$

Sept. 10.  
 $\lambda = 100^\circ$

Sept. 15.  
 $\lambda = 100^\circ$

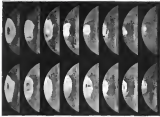
Sept. 20.  
 $\lambda = 100^\circ$

Sept. 25.  
 $\lambda = 100^\circ$

Sept. 30.  
 $\lambda = 100^\circ$

Sept. 30.  
 $\lambda = 100^\circ$

Sept. 30.  
 $\lambda = 100^\circ$



Die südliche Polarregion des Mars  
 aufgenommen am  
 Lick'schen Observatorium.

# Carl Zeiss

Optische Werke

## Jena.



*Mikroskopstrukturen  
des apochromatischen  
Bauartes*

*Komplett  
montierte  
Fernrohre  
oder Teleskope*

*Spezialaufbauten  
für astrophotographische  
Zwecke*

*Spiegelteleskope  
mit grossen Öffnungs-  
verhältnissen für Himmels-  
photographie.*

*Einstrahlensysteme*

*Formen*

*zwei- und dreifache apochromatische Fernrohrsysteme  
des schmalen Spektrums.*

*Minutenweitige Lichtstärke Objektivs  
mit grossen Öffnungsverhältnissen und  
Objektive aus ultraviolett durchlässigen Gläsern  
zur Himmelsphotographie.*

*Außerdem:*

*Objektivsysteme aus gerbstoffen und ultraviolett durch-  
lässigen Gläsern*

*Spektralanalyse und Spektrographen.*

*Rechenanordnungen*

*verschiedener Konstruktion.*

*Meßapparate zur Beobachtung und Photographie  
des Sonnens und der Planeten.*

*Man verlange Katalog No. 22.*

## Zu verkaufen!

I unabh. Mikroskopobjektive von  $\frac{1}{8}$ ", I doppel. von  $\frac{1}{4}$ ", I astron. Mikro-  
materialien von  $\frac{1}{8}$ ", I doppelten von  $\frac{1}{4}$ " Aquival. Zeissens mit Ring-  
mikrometer. Statisch von Kollid & Rottel.

100

Reihen 1466–71, 1472–75, 1484–87, 1491–1500, einfach gebunden.  
 Graf, Christian, *Lebensdenkmal des Fürsten des Saigau*.

Verlag von Edward Belserich Mayer in Leipzig.

**Abstract:** While speculated with its death since Fukushima, the Japanese yen has been

## JAHREBUCH

[illegible]

## Astronomie und Geophysik

(Nahrungspflanze, Makrozoofauna, pflanzliche Nahrung, Brutstätte)

100

**Professor Dr. Hermann J. Dörs**

<b>T</b>	<b>B</b>	<b>I</b>
----------	----------	----------

[illegible]

Das Jahrbuch der Fortschritte der Astronomie und Geophysik hat sich durch einen sorgfältig zusammengestellten Inhalt, einen durch die vielen Abzweigungen begrenzten Teil der geographischen Richtung erweitert und wird die zahlreichen Fortschritte wissenschaftlicher Forschung, sowie die Fortschritte und Fortschritte der physikalischen Erdkunde und der Meteorologie sorgfältig und sorgfältig darstellen.

Bei Abnahme der ganzen Seite (Band 1—217) wird ein Anwesenheitsprotokoll erstellt und wurde auch schon erstellt. Auch an die Tischkassiererin.

Verlag von Edward Belser's Nachr. in Leipzig.

## Die Wunder des Erdballes.

**Abstract**—The authors examined the effects of a 12-week, supervised, low-impact aerobically and resistance training program on the physical fitness and health-related quality of life of older adults. The study was a randomized, controlled trial. The study population consisted of 100 older adults (60 years of age and older) who were randomly assigned to either a supervised exercise group or a control group. The supervised exercise group performed a 12-week, supervised, low-impact aerobically and resistance training program. The control group did not perform any exercise program. The authors measured the physical fitness and health-related quality of life of the participants at baseline and at 12 weeks. The results showed that the supervised exercise group had significantly higher levels of physical fitness and health-related quality of life at 12 weeks compared to the control group. The authors concluded that a supervised exercise program can improve the physical fitness and health-related quality of life of older adults.

100

### Teilweisen und Fortsetzung der strukturalen Bedingung

100

**Author's Note:** I thank the following people for their comments on earlier drafts of this article: David G. Thelen, David A. Reardon, and the anonymous reviewers for *Journal of Management Inquiry*.

**Journal of Management Inquiry** 20(1) 3-14

10. **Number of Cycles:** **Revolutions Per Minute** **Revolutions Per Hour**

Entsprechend der Erkenntnis des Gegenstandes werden in diesem Werke die wichtigsten Erscheinungen, die unser Leben so sehr bedingen, in seiner Teilheit und im Zusammenhang des menschlichen Geistes dargestellt, in übersichtlicher Weise dem Leser vorgetragen. Der Verfasser, als Forscher wie als Meister der Darstellung, versteht ebenso, wie in diesem Werke aus neuen Male eine neue Welt des Lebens vorzutreten, deren Wesen präziseste Schilderung abzuheben, wie die Wissenschaft analysiert das Komplexion des Geistes hat, als der tiefsten Mensch. Solche Zusammenhänge sind von anderen Seiten schon früher versucht worden, aber mit dem ungenügenden Erfolg, wie sich aus dem Vergleich. Es ist groß und schmerzhaft in der Aufassung wie die Natur selbst, idealist und des Geistes reflektiert, die Natur, die das Geist bildet und erhebt!

Die Wirkung des Erfinders zeigt sich besonders stark bei der Herstellung des Kautschuk-Belagtes und als wesentlichen Bestandteil des Kautschuk-Belagtes.

**☛** Zu bestellen durch jede Buchhandlung.

— *Journal of the American Medical Association*

# SIRIUS

für populäre Astronomie

Kompendium unter Mitwirkung  
 hervorragender  
 Fachlehrer und astronomischer Schriftsteller  
 von  
**Prof. Dr. Hermann J. Klein in Eils-Elberfeld.**

mit 240 Abbildungen.

3. Heft.



Verlag von Friedrich Vieweg  
 und Sohn, Braunschweig.  
 Leipzig, Hauptstadt 18.

## Inhalt des dritten Heftes.

	Seite
Die Längenbestimmung auf See durch Kreistafeln . . . . .	49
Ein Beitrag zur Erklärung der ringförmigen Gefügebildungen auf dem Mond. Von H. Voigt. (Mit Abbildungen im Text) . . . . .	56
Photographische Aufnahmen des Kometen $\epsilon$ 1893 (Borelly). (Hervin Tahel FC.) . . . . .	57
Ein neuer Katalog der veränderlichen Sterne (Fortsetzung) . . . . .	58
Adams Kugeln, der Gegenkörper der neuere Astronomie (Fortsetzung) . . . . .	61
Vermischte Nachrichten . . . . .	65
Die Entstehung des Saturn.	
Eine Bahnbestimmung des flüchtigen Kometen aus den Beobachtungen während der Jahre 1846 und 1852.	
Der Veränderliche $\alpha$ Aurigae.	
Die drei neuen Sterne.	
Der Selbstand der Sonne in Olfen.	
Die Mella-Expedition nach Chile.	
Der neue Direktor der Berliner Sternwarte.	
Fortschritt der Freunde der Himmelsbeobachtung.	
Astronomischer Kalender für den Monat Mai 1894 . . . . .	69
Störungen der Jupitermonde im Mai 1894 . . . . .	71
Ercheinungen der Jupitermonde . . . . .	72
Störungen der Saturnmonde . . . . .	73

LEIPZIG, Neßke 16.

Eduard Heinrich Mayer,  
Verlagsbuchhandlung.

# SIRIUS.

Zeitschrift für populäre Astronomie.

Zentralorgan für alle Freunde und Förderer der Himmelskunde.

Herausgegeben

unter Mitwirkung hervorragender Fachmänner und wissenschaftlicher Schriftsteller

von Prof. Dr. Hermann J. Klein in Köln.

März 1904.

„Wissen und Schenken sind die Freunde und die  
Berechtigung der Menschheit.“ Goethe.

Jeden Monat 1 Heft. — Jährlich 12 Mk.

Verlag von EDUARD HEINRICH MAYER in Leipzig.

**INHALT:** Die Lagenbestimmung auf See durch Mondhöhen. S. 45. — Die Bestimmung der Erhöhung der topographischen Gebirgsbildungen auf dem Meere. Von H. Voigt (Mit Abbildungen im Text). S. 55. — Photographische Aufnahmen des Komets v. 1903 (Bicelly). H. H. Zahl 16. S. 57. — Ein neuer Katalog der veränderlichen Sterne. (Fortsetzung). S. 58. — Johann Kappeler, der Überwinder der neuen Ausspanne. (Fortsetzung). S. 61. — Yassinische Prozeduren. S. 65. — Astronomischer Kalender. S. 66. — Notizen der japanischen im Mai 1904. S. 71. — Beobachtungen der japanischen im Mai 1904. S. 72. — Notizen der japanischen im Mai 1904. S. 73.

## Die Lagenbestimmung auf See durch Mondhöhen.

**D**ie Bestimmung der geographischen Lage durch Messung von Mondhöhen, die einst als das vorzüglichste Mittel jedes Seefahrers zur Feststellung seines Schiffsortes galt, begünstigt heutzutage mehr und mehr in Abnahme zu kommen. Die entsprechenden Voraussetzungen, welche die praktischen Erfahrungen stets brachten und die der Seefahrer auf der großen Fahrt mitbrachte, sind in dem heutigen Jahrhundert bereits fortgefallen und werden aus dem englischen wahrscheinlich ebenfalls demnächst verschwinden. Um für diese Methode, die in ihrer Anwendung später der Stelle der Wissenschaft wurde, die nötigen Unterlagen zu schaffen, hatte Karl II. den Rat der Sternwarte zu Greenwich befohlen (1675) und wurde die Theorie der Mondbeobachtung so gefördert, daß Tobias Mayer

in Göttingen für seine Mondtabelle vom englischen Parlament eine hohe Bezahlung erhielt. Jetzt ist diese Methode aus überwundenen Standpunkt, indem die hohe Vollkommenheit der Schiffchronometer in dem Praktiker außerordentlich macht. Ob es indessen glücklicherweise ist, sie überhaupt zum alten Eisen zu werfen, darüber hat E. Kruppig, der in dieser Beziehung wohl als Autorität betrachtet werden darf, sich vor kurzem im Nordischen Vortag zu Hamburg ausführlich verhandelt. „Zunächst“, sagte er, „muß man sich klar darüber werden, ob unsere angehenden Offiziere aus dem Leben sollen, was sie im gewöhnlichen Laufe ihres Berufs getrieben oder ob sie auch die außerordentlichen Fälle erlebt sein sollen. Die Antwort kann doch nur lauten, jeder tüchtige Offizier muß in Ausnahmefällen auch ohne See-

nur seine Greenwicher Zeit bestimmen können. Denn kann man Hölzdistenzen nicht aufheben. Die nächste Frage ist die, welche Instrumente sind zur Messung geeignet? Wir finden an Bord Sextanten, Halboctanten und Oktanten. Daß der Sextant, natürlich immer ein gutes Instrument vorausgesetzt, am besten ist, darüber kann kein Zweifel bestehen. Seine Vorzüge gegenüber dem Halb-octanten und Oktanten sind bekannt. Aber wenn man keinen an Bord oder keinen zur Verfügung hat und doch Hölzdistenzen messen wollte, was dann? Mit anderen Worten: laßt es sich, Hölzdistenzen mit einem Halboctanten oder Oktanten zu messen, wenn man weiß, daß ein Oktant nur auf genau Minuten ablesbar ist und ein Fehler von 1' des Bogens einen solchen von 2' Minuten in der Greenwicher Zeit nach sich zieht? Um sich Gewißheit darüber zu verschaffen, beschloß Kappeling, Versuche mit dem einfachen Instrument, dem Oktanten, anzustellen; denn es ist klar, daß man ohne Versuche kein Urteil darüber abgeben kann. Sein Oktant, ein altes Hölzinstrument, war auf 20' geteilt und ließ mittels Nivella 1 Bogen minute ablesen; trotzdem ergab sich, daß damit die Greenwicher Zeit bis auf 1 Minute genau bestimmt werden konnte, der Fehler in der ganzen Länge also 15' betragen haben würde. Da es nun, sagt Kappeling, häufig im Bedenken der Beobachter an Bord, d. h. an solchen Plätzen liegt, wiederholt innerhalb eines Tages zu messen und zu berechnen, so darf man behaupten, daß man an Bord bei nicht zu ungünstigen Verhältnissen die Greenwicher Zeit oft in einem Tage auf eine halbe oder wenigstens eine

gute Zeiteinheit genau bestimmen kann. Dageß läßt sich aber im Falle der Not auch schon auf einer kleinen Dampfmaschine etwas anfangen.

Schließlich bemerkt Kappeling: „Es kann wohl kaum bezweifelt werden, daß die Hölzdistenzen schließlich aussterben, wenigstens an Bord aussterben, wenn nicht alle erfindbaren Mittel angewandt werden, um den Seefahrern erscheinbarer zu machen, als sie in jetzt sind. Dazu gehört erstens der Hinweis, daß auch Oktanten, mit einem Nachtragsteu und einigen kleinen für den Kompassstuhl umgestaltet, zur Beobachtung von Distenzen geeignet sind, wenn man immer Paare beobachtet und verbindet. Zweitens sollte die Berechnung der Distenz von auf Sekunden, nur auf Zeitminuten umgestellt werden und die kleinen Verbesserungen sollten wegfallen. Drittens sind die entsprechenden Tafeln zu veröffentlichen. Viertens sollten solche Formeln gewährt werden, die die Vorzeichen, auch nach Jahren, ausschließen, d. h. solche, die auch sonst noch in See gebräuchlich werden. Wie die Tafeln und Rechnungen diesen Vorschlägen gemäß eingerichtet werden können, habe ich in meinen Bemühungen und ihrem Ausgange gezeigt.“

Hoffentlich ist die Zahl denen, die die Erhaltung der Meßdistenzen wünschen, groß genug, um mit der Zeit an der Hand von Beobachtungen an Land und in See und mit Hilfe geeigneter Tafeln die Vorschläge auszuführen helfen zu können. Jedenfalls scheint mir dies der einzig gangbare Weg zu sein, die Distenzen vor dem völligen Aussterben an Bord zu bewahren. Das ist ebenso wichtig als ihre Erhaltung im Unter-richt von Amte wegen.

## Ein Beitrag zur Erklärung der ringförmigen Gebirgsbildungen auf dem Monde.

Von H. Voigt, Präsident v. H.

**N**achdem lange Zeit hindurch die Kartographische Theorie der Weltbildung für viele Zweige der astronomischen Physik als alleinige Richt-

schnur gedient hat, nähren sich in neuer Zeit die Ansichten, welche diese zur Prüfung besonders deshalb unter-ziehen, ob sie auch volle Giltigkeit auf

die Abtrennung des Mondes vom Erdkörper bezieht, sehr interessante Gesichtspunkte stellt z. B. in dieser Hinsicht De Kien im Sirius 1903, No. 1: «Neue Untersuchungen über die frühesten Zustände der Erde und des Mondes» auf.

Wie verschieden jedoch die Hypothesen sein mögen, so alle kommen zu dem gleichen Resultat, daß der Mond nicht nur denselben Grundstoffe wie die Erde, sondern diese auch in nahezu denselben Verhältnissen besitzen muß, wie sie in den tiefen Teilen der Erdkruste vorhanden sind. Es bedarf keines Beweises, daß diese gleichen Grundstoffe, selbst bei unter gleichen Bedingungen, besonders was Temperatur und Druck betrifft, aufeinander einwirken können, ein ähnliches Verhalten wie das Erdmaterial der Erde zeigen, sich anreichern und abheben, sowie denselben Verbindungen eingehen müssen, wie sie auch hier vorkommen. Wenn daher der Nachweis steht, daß der Mond denselben Grundstoffe wie die Erde besitzt, und zwar als bestehend angenommen werden kann, daß er im großen ganzen denselben Entwicklungsstadium — von der flüssigen Kugel bis zur jungen Erdoberfläche — wie die Erde genommen hat, dann ist es klar, daß wir bei der Erklärung der mannigfaltigen Erscheinungen auf dem Monde, besonders der Ringgebirge auch auf denselben Ursachen rechnen müssen, welche wir auf der Erde als das Resultat der Wirkung analoger Kräfte beobachtet können.

Helmholtz sagt in seinem Vortrage «Über das Ziel und die Methode der Naturwissenschaft»: «Das Gesetz der Erscheinungen finden, heißt sie begreifen . . . die Erscheinungen begreifen oder ihre Gesetze finden, heißt die Kräfte aufsuchen, welche die Ursachen der Erscheinungen sind», und dieses Wort heißt sich in vollem Umfang auf das hier zu behandelnde Thema anwenden; denn ich will weiter nichts da nachweisen, daß gesetzmäßig wirkende Kräfte die Ursachen der Gebirge sind, welche uns als das Resultat

der letzten Lebensperiode des Mondes in der jüngsten Gestaltung seiner Oberfläche erhalten geblieben sind.

Zunächst bemerke ich, daß ich mit meiner Hypothese keine der bis jetzt aufgestellten Theorien angriffe oder beseitigen will; im Gegenteil, ich kann sie alle gebrauchen und besonders diejenige, welche die Entstehung der ringförmigen Mondgebirge als Wirkung vulkanischer Kräfte hinstellt, doch auch die Theorie, welche besagt, daß diese runden Bildungen auf das Einschlagen besonderer Weltkörper zurückzuführen sei, oder drittens, nach welcher der heute letzte Mond allmählich nach der Seite der von der Abschleifung seines Ringgebirges herausragenden Transversal zu sich gezogen habe, wobei denselben durch Einschlagen in die plastische Oberfläche ringförmige Wälle entstehen, welche gelten. Es mögen aber die Grundformen der großen und kleinen Ringgebirge auf irgendwelche Art, wo es auch durch gepörrte Massen, entstanden sein, es glaube ich doch, daß sie aus nicht hätte erhalten bleiben können, wenn nicht besonders geeignete Kräfte vorhanden gewesen wären, welche diese aufgestellten Ringe oder die Umfassungswände der Kratere und großen Ringgebirge sowohl vor der zerfallenden und komprimierenden Gewalt der Wasserwegen des Meeres, als auch gegen zerfallende Kräfte der tropischen Regenfälle und anderer atmosphärischen Einflüsse geschützt haben. Diese Kräfte suchte ich in dem Vorhandensein von reißenden Polypen in den Meeresgewässern des Mondes, wie es ja auch in gewissen Teilen der Erdoberfläche in gleichem Sinne tätig sind und vornehmlich in zurückliegenden Epochen der Entwicklungsgeschichte unseres Erdkörpers in noch viel höherem Grade als jetzt in dem Aufbau der Erdkruste mitgeboten haben mögen.

Zum Beweis meiner Behauptung könnte ich z. B. eine paläontologische Betrachtung über die Entwicklung bis zu dem Zeitpunkt anstellen, in welchem



nach organisches Leben auf dem Monde bilden konnte, ich könnte versichern nachzuweisen, daß diese Erleuchtungsquelle ganz niedrig organisierte Meereslebewesen gewesen sein müßten und von diesem Standpunkte aus ließe sich die Folgerung aufstellen, daß gerade auf dem Monde die Verhältnisse, unter denen Korallenpolypen leben und arbeiten können, besonders günstige gewesen sein müssen, sodaß es gar nicht zu verwundern ist, wenn wir ungeheurer Gebiete der Mondoberfläche mit großen und kleinen Korallenbauten überfüll finden. Bei weiteren Forschungen auf diesem Wege drängt sich uns dann ganz von selbst das Gefühl einer wahren Geistesmitgefühl dieser Erscheinung auf, denn bei tragendsten Studium der einzelnen Gebiete lassen sich die unfolgt wachsender Senkungen und damit verbundenen Überflutungen entstehenden Neuanordnungen von Polypen viel besser als auf der Erde verfolgen und feststellen, denn hier liegt leider der allgrößte Teil der Korallenbauten unter dem Meeresniveau verborgen. Diese Art der Beobachtung dürfte jedoch im planmäßig anzuordnen und prognost sein, daß einer wohlwollenden Prüfung der Gelehrten eine optische, ständige Kritik des Ganzen herauszufordern; ich will deshalb versichern, daß für uns letzte Folgerungsschlüsse des Mondes zum Ausgangspunkt der Betrachtung zu nehmen und die annehmend folgenden ringförmigen Aufbildungen, wie Linné, Bessel, Helicon, Arctisch, die meisten unkenntlich, ob sie ähnliche Bildungen aus können, wie die Korallenbauten auf der Erde.

Daß der Mond Wasser besitzen haben muß, darf ohne Widerspruch als selbst ungenutzten werden, wir müssen dennoch dort, wo das Wasser der Vermutung nach selbst verschwinden ist, auch die jüngsten Bildungen als letzte Spuren der jüngsten etwaiger Meereslebewesen sehen. In einer früheren, nicht veröffentlichten Arbeit über denselben Stoff hatte ich angenommen,

daß die Gegenden, in denen Linné, Bessel, Helicon und Arctisch liegen, diejenigen seien, zu denen sich das Wasser am längsten gehalten hätte, und zwar glaube ich, daß damit bewiesen zu können, daß durch die Anziehungskraft der Erde in Richtung der Verbindungsline der Schwerpunkt beider Weltkörper auf dem Monde ein Wasserberg, eine stehende kalte Flutwelle vorhanden gewesen sein müsse, und daß beim allmählichen Sinken des Wasserspiegels im allgemeinen dieses Reservoir die letzte Zufluchtsstätte eines noch vorhandener Lebewesen gewesen sei, wenn sich die Entstehung der letzten und am weitesten westwärts liegenden Korallenbauten, denn beider Repräsentant in diesem Sinne Linné ist, erklären lassen. Nach der Arbeit von Prof. Dr. Franz, v. Süss 1902, No. 1, erhält meine Annahme eine sehr wichtige Stütze dadurch, daß die Bestimmung der Höhen, resp. Tiefenverhältnisse der Mondoberfläche genau in den Gegenden, die ich oben angegeben habe, auch große Tiefen feststellen konnte. Gerade die uns angelegte Mondkarte des Mondes ist ein großes Tiefland, welches sich annehmend nach der uns abgezeichnet Südküste hinzieht, sodaß in diesem Tieflandsgürtel lange Zeit hindurch ein ständiger Wasserpegel um die Mondmitte herum stehengelassen haben muß, nachdem die Pole bereits für immer vom Wasser erfüllt waren. Wir sehen, daß die Annahme der Flutwelle, welche, wie später nachgewiesen werden wird, für die gleichzeitige Temperatur des Wassers von großer Bedeutung gewesen ist, im Zusammenhang mit der Franzischen Nivellementung sich sehr gut und annehmend zu der Bestimmung benutzen läßt, daß in diesem Teil der Mondoberfläche die jüngsten Bildungen zu suchen sind: so entstanden im Marc Serenitus Bessel und Linné, im Marc Intimus Helicon, im Oceanus Procellarum Arctisch und in dem Tiefland um Agrippa, Hypnos u. s. w.

Es ist erforderlich, bevor wir die

Bewohnung an den Korallenriffen bestehen, um die Lebensbedingungen, unter denen die indischen Korallenpolypen nur existieren können, und die Art, wie sie wachsen resp. bauen, ins Gedächtnis zurückrufen. Nach Darwin «Über den Bau und die Verbreitung der Korallenriffe» und M. Agassiz «The



Nordwestriff des Agassiz

Islands and Coral Rocks of Fiji 1855, Cambridge, Mass. U. S. A. können die Korallen nur bei gewissen warmen Temperaturen des Meeresspiegels leben und bei zu gewissen Tiefen bauen. Ein Korallenriff entsteht in der Weise, daß irgend eine Fucille sich auf einem, durch meere Kräfte bis zu gewisser Höhe gehobenen Teil des Meeresbodens ansiedelt und nach oben baut, bis der Meeresspiegel erreicht ist. Hier ist das Niveau konstant, wird nach außen weiter gebaut, sinkt der Boden wieder, sinkt das Korallenriff nach oben. Die Arten der Polypen sind sehr mannigfaltig, es sind mehr als 1000

in Bezug auf Lebensverhältnisse. Gewöhnliches beim Bauen u. s. f. bekannt, der mehrere

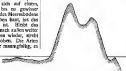
leben das eine gemeinsam, daß sie in der letzten Brandung am weitestgehenden sind; sie bauen an gestreckten oder sich krümmend gestreckten Riffen, überwiegen die der Brandung ungenutzten Klippen mit ganz Schutz für sie und decken sie gegen die zerstörende Kraft des ungenutzten Wassers. Weitere Brandungen müssen in beiden gemeinsamen

Werten dargestellt werden; die angeführten genügen, um an einzelnen gegenwärtigen Vergleichsobjekten der



Maschke-Riff (Darwin)

Erde und des Meeres den Bewohnern der Riffwelt unserer Schöpfung zu versuchen Vergleichs mit u. d. die bestehende Darstellung von



Leitungen bei Darwin nach Agassiz

«Nordwestriff des Agassiz» mit Darwin, Tafel II «Maschke-Riff», die Terrassenbildungen des Riffbaues mit die durch Leitungen gewonnenen Querschnitten der vielen Korallenbauten auf Tafel 1—12 bei Agassiz, kann die ebenfalls von Agassiz angegebenen Schnitt durch Darwin (Taf. 20a), Kalk und Mangel (Taf. 22a) mit den



tragen werden kann, so können wir uns an der einfacheren begnügen, daß wir es hier mit einem abgerundeten Wülkkörper zu tun haben, dessen abschließende Lebensstufe sich erschließen auch im Zurückgehen der lebenskräftigen Phase gelöst haben muß —

Die feste Kruste des Mondes wird ebenfalls wie die der Erde schichtenweise Lagerungen aufweisen. Durch inneren Druck zwischen einzelnen Lagen können Teile dieser Schichten sich blasenartig heben, und wenn eine solche Blase hoch genug aufgerichtet wird, oder wenn das darüberstehende Wasserschwerkraft zu einer gewissen Tiefe an-



Kugelförmige Kernkörperchen nach Apollis (a) mit verflüssigter Öffnungen im Ring

rückgegangen ist, bildet das obere Placenta der Blase einen geeigneten Stützpunkt für die Annäherung einer Polypendemie. Auf diese Art können Linse, Beise, Hygienes und viele andere entstanden sein. Es läßt sich aber auch damit das jetzt sich vollziehende Verschwinden Linse erklären, welches seinen Grund in dem Zusammenstoß

der Quellbedeckung mit dem darauf stehenden Polypendemie findet und dasselbe Ereignis wird sich an anderen Kratern auch wiederholen. Werden doch von flüchtigen Beobachtern bei Hygienes, im Ozean und an anderen Stellen festgestellt neue Rillen entdeckt, was als

ein Zeichen dafür angesehen werden darf, daß in diesen Teilen der Mondkruste durch innere Einwirkung die Oberfläche vor sich gehen.

Frage wir uns jetzt, ob nicht nur äußere Abstrahlung der Ercheinung vorliegt, sondern ob wir nicht den vulkanischen Ozean mit speichernden Ozeanmüllern im Apollis dieser Ringe finden

können, so stehen zum Nachweise derselben viele Objekte zur Verfügung, von denen wir jedoch nur ein ganz evidenten, den Hüllkörper, herauszuheben wollen. Dieses interessante, nicht große Ringgebirge liegt beim Sees Indus, von dem Kreis schneidet, daß es ganz den Eindruck eines gewöhnlichen großen Ringgebirges mache. Wie

nen, wenn wir die Darwin'sche Theorie zu Hilfe nehmen, nach welcher die Korallen bei ankommendem Lande — also bei steigender Wasserhöhe — nach oben bauen und diese Theorie auf Helikon anwenden? Helikon zeigt nach außen wachsende korallenartige Terrassen; die merkwürdige war die erste, dass nach der Meereshöhe, die Korallen bauen die zweite und dritte nach oben und unten — außer natürlich an einem 5-Zöller nicht unterscheidet, es ist aber nicht ausgeschlossen, daß nach weiterer Absteigungen da sind. Gibt dieses Beispiel nicht zu denken und läßt es hierbei nicht die Terrassen zu Buffon's, Aristarch und vielen anderen da?

Korallen war so in den Océänen der letzten Lebensperiode des Mondes den Nachweis führen, daß dieselben zum mindesten ähnlich, wenn nicht denselben Ursprungs sind wie die indischen Korallenbänke, so wird es uns gestattet werden müssen, die Behauptung aufzustellen, daß auch die kleinen und und großen Ringgebirge wie Ceylon oder Magina, welche in den Rändern Bildungen gehören sollen, folgendermaßen entstanden sind. Ein Stück der letzten Mondkruste sank ein und an dieser Bewegung nahmen die oben liegenden Sedimentschichten teil, wodurch Wasser zwischen letztere und das Ufergeirde eindringen konnte. Entweder durch Verdampfung des Wassers infolge der hohen Innentemperatur oder durch andere, aus dem Innern aufsteigenden Gase ließ sich eine gasartige Blase, dritte Decke, als der innere Druck dem äußeren nicht mehr standhalten konnte, zusammenstoßen, bei diesem Einbruch jedoch wurden durch den großen Seitendruck, den das zusammenstößende Gewölbe auf seine Stützfläche ausübte, die Randpartien ringförmig schalenförmig aufgewölbt, wodurch Faltungen, ganz wie ein indisches Obergipfelfalten entsprechend, entstehen mußten. Dass aus Meeressand und Geröll bestehende Ringwälle bestehen die Polypen zur Ansiedelung und schützten sie vor

der Zerstörung durch das Wasser. Neue Revolutionen im Innern des Mondes hoben und senkten die feste Kruste, es wechselten Zeiten des Tiefenkliegens mit neuen Übersetzungen; die Folgen der letzteren sehen wir in den unzähligen Polypenbänken an den Rändern und auf den Klüften der Ringwälle der großen Krater und Ringgebirge, die Spuren des zurückgehenden Wassers sind um in den außen räumten Böden der Ringgebirge erbauten kleinen Krater zurückgeblieben, denn auch hier zeigt sich eine Übersetzung mittels indischen Korallenbänken gestalten sich diese ringförmigen Rillen, so bestanden sie in der Regel ein oder mehrere Tore, wie sie Darwin nennt, durch welche die Kommunikation des Innern mit dem äußeren Meere unbehindert erhalten wird. Genauso finden wir aber bei all den großen Ringgebirgen, die kleine Krater im Innern tragen. Tore, die häufig den Wall so tief durchschneiden, daß die Seite des Kraters mit dem Grunde des äußeren Meeres an gleicher Höhe liegt. Oft aber ist die Seite des Kraters beträchtlich tiefer als die des in der Nähe befindlichen Meeres und diese Erscheinung erklärt sich wohl daraus, daß die Decke der Kruste beim Zusammenbruch des auf den Höhe als die Umgebung liegenden Grund der alten Einbruchstelle zurückstürzen mußte, wenn man nicht annehmen will, daß der Meereshoden durch Verwitterung gesunken ist, was dies um Helikon herum der Fall sein dürfte.

Es könnte scheinen, als ob wir, nachdem wir unsere Theorie an kleinen und großen Ringgebirgen geprüft haben, wenigstens wissen, um ringförmigen Océane auf dem Monde die Korallenbänke zu erklären, denn ist nicht so, denn es können gar nicht alle diese Bildungen auf diese Weise entstanden sein. So befinden sich im Plate kleine Krater, die entweder gestaute Bänke oder wirkliche Krater von selbst, denn da der Ringwall das Plate kein Tor

besteht, so kann auch sehr leichtes nicht mit dem Meere konserviert haben, Korallenbildungen sind also hier ausgeschlossen. Es folgen auch noch viele andere Gründe, die in Kälte liegende Gebirgszüge ausschließlich vulkanischen Ursprungs sein, eine Feststellung in einem oder anderem Sinne ist wohl nur bei wiederholter Beobachtung einer Struktur in angrenzenden Inselgruppen möglich. Das Erscheint mir jedoch fernsich, daß eine eingehende Beobachtung der gesamten Gruppierung von Typus heraus, ja überhaupt der ganzen Südseite im Vergleich mit den indischen Gebilden in der Südsee, zu der Ansicht führen muß, daß der größte Teil dieser Gebilde sehr gut auf die beschriebene Art entstanden sein kann; zur Gewißheit müßte diese Behauptung werden, wenn wir die von dem Meere bedeckten Teile der betreffenden Gegenstände des indischen Ozeans zur direkten Vergleichung heranziehen könnten.

Wenn wir jetzt als letzten Argument für die innere Ähnlichkeit der gesamten Gebilde mit unseren Korallenriffen anführen, daß Klein im „Pillar am Sternhemmel“ nach der Beschreibung eines einzelnen Mandelbeldes mit den Worten: „Es sah aus, nach ihm als ob abfallendes . . .“ beginnt, und aus dem Gedächtnis hinzufügt, daß Darwin gerade diese Formationen als cha-

otischisch für Korallenriffe darstellt, daß ferner Agassiz durch äußerst zahlreiche Lotungen nicht nur die Oberflächen der Querschnitte der Riffe kartografierte konnte, sondern auch zahlreiche partielle und konzentrisch liegende Riffbildungen gefunden hat, wenn wir die gleichen Erscheinungen der Terribilis bei ringförmigen Riffen auf der Erde wie auf dem Monde bedenken, und ferner im Betracht ziehen, daß hier wie dort Neubildungen auf den Trümmern alter Riffe zur Regel gehören, so müssen wir zu dem Resultat kommen, daß in der Tat unsere Polypen ähnliche Wesen die Ursachen der wunderbaren Erscheinungen auf dem Monde sind. Daß diese Erscheinungen keine Gebilde des Zufalles und blindwillkürlicher Genialität sein können, geht aus der Gesetzmäßigkeit ihrer Aufbaues und Anordnungs hervor, da aber Gesetzmäßigkeit außer bei Kristallen nur bei organischen Bildungen vorhanden ist, müssen wir zu dem Schluß kommen, daß wir es mit Produzenten organischer Kräfte zu tun haben, wovon das Hiesige Wort „Die Erscheinungen begründen oder ihre Gesetze finden, heißt die Kräfte aufzuheben, welche die Ursachen der Erscheinungen sind“, auch für den vorliegenden Fall seine Gültigkeit gewinnt hat.

## Photographische Aufnahmen des Kometen c 1903 (Borrelly).

Nach Tafel IV.

 Solche sind u. a. auch auf der Sternwarte in Göttingen erhalten worden. Eine Anzahl derselben mit kurzen Expositionen wurden bereits Ortsbestimmung des Kometen angefertigt, andere mit langen Expositionen hauptsächlich zur genauen Ermittlung der Gestalt und Struktur des Schweifes. Für diese letzteren diente der 30 zollige Reflektor der Sternwarte und unter ihnen ist besonders eine am 1. August nach 1/2 stündigen Exposition erhaltene Photographie von großem Wert. Sie ist

auf Tafel IV reproduziert. Die Bewegung des Teleskops wurde in Übereinstimmung mit der Bewegung des Kometen gehalten und deshalb erschienen die Fixsterne auf dem Felde im Gestalt von kleinen Strichen statt punktförmig. Die Darstellung zeigt den Kopf des Kometen sehr scharf begrenzt und eine höchst reichhaltige Zerteilung des Schweifes. Es reicht weniger als 5 Strichen oder Fächer. Derselbe wird scharf reflektiert und der längste erstreckt sich bis zum Rande der Platte, mehr als 2° 5' weit.



Name	R.A. 1950	Dec. 1950	Mass	M <sub>0</sub>	Period	Year for the survey	Reference
T100001	10 1	-19 55	7.4	< 10	—	1950	Agassiz
— Scorpii	11.3	-19 56	—	—	—	1950	Palmer
U Scorpii	11.7	-19 57	5.8	10	714.0	1953	Chambers
T100011	11.7	-19 58	5.1	11	715.7	1954	Chambers
— Cassio. Box	11.8	-19 58	5.2	11.0	716.4	1955	Agassiz
— Scorp. Box	11.9	-19 59	—	—	—	1955	Palmer
W U Scorpii	12.0	-17 59	8.5	< 10.0	121.0	1953	Scorpii
U Scorpii	12.0	-17 59	8.7	< 10	—	1954	Fogart
X Scorp. Box	12.2	-18 00	11.0	< 10.0	—	1955	Fogart
U Scorpii	12.3	-18 00	7.5	10.5	500.0	1953	Agassiz
U Scorpii	12.4	-18 00	8.0	10.0	500.0	1955	Agassiz
T100011	12.5	-18 00	10.1	11	501.0	1955	Fogart
U Scorpii	12.6	-18 00	8.7	10.5	—	1957	Agassiz
U Scorpii	12.6	-18 00	10	< 10.5	501.0	1958	Fogart
U Scorpii	12.6	-18 00	10	< 10	—	1959	Agassiz
U Scorpii	12.6	-18 00	10	< 10	—	1960	Fogart
U Scorpii	12.6	-18 00	10	< 10	—	1961	Fogart
U Scorpii	12.6	-18 00	10	< 10	—	1962	Fogart
U Scorpii	12.6	-18 00	10	< 10	—	1963	Fogart
U Scorpii	12.6	-18 00	10	< 10	—	1964	Fogart
U Scorpii	12.6	-18 00	10	< 10	—	1965	Fogart
U Scorpii	12.6	-18 00	10	< 10	—	1966	Fogart
U Scorpii	12.6	-18 00	10	< 10	—	1967	Fogart
U Scorpii	12.6	-18 00	10	< 10	—	1968	Fogart
U Scorpii	12.6	-18 00	10	< 10	—	1969	Fogart
U Scorpii	12.6	-18 00	10	< 10	—	1970	Fogart
U Scorpii	12.6	-18 00	10	< 10	—	1971	Fogart
U Scorpii	12.6	-18 00	10	< 10	—	1972	Fogart
U Scorpii	12.6	-18 00	10	< 10	—	1973	Fogart
U Scorpii	12.6	-18 00	10	< 10	—	1974	Fogart
U Scorpii	12.6	-18 00	10	< 10	—	1975	Fogart
U Scorpii	12.6	-18 00	10	< 10	—	1976	Fogart
U Scorpii	12.6	-18 00	10	< 10	—	1977	Fogart
U Scorpii	12.6	-18 00	10	< 10	—	1978	Fogart
U Scorpii	12.6	-18 00	10	< 10	—	1979	Fogart
U Scorpii	12.6	-18 00	10	< 10	—	1980	Fogart
U Scorpii	12.6	-18 00	10	< 10	—	1981	Fogart
U Scorpii	12.6	-18 00	10	< 10	—	1982	Fogart
U Scorpii	12.6	-18 00	10	< 10	—	1983	Fogart
U Scorpii	12.6	-18 00	10	< 10	—	1984	Fogart
U Scorpii	12.6	-18 00	10	< 10	—	1985	Fogart
U Scorpii	12.6	-18 00	10	< 10	—	1986	Fogart
U Scorpii	12.6	-18 00	10	< 10	—	1987	Fogart
U Scorpii	12.6	-18 00	10	< 10	—	1988	Fogart
U Scorpii	12.6	-18 00	10	< 10	—	1989	Fogart
U Scorpii	12.6	-18 00	10	< 10	—	1990	Fogart
U Scorpii	12.6	-18 00	10	< 10	—	1991	Fogart
U Scorpii	12.6	-18 00	10	< 10	—	1992	Fogart
U Scorpii	12.6	-18 00	10	< 10	—	1993	Fogart
U Scorpii	12.6	-18 00	10	< 10	—	1994	Fogart
U Scorpii	12.6	-18 00	10	< 10	—	1995	Fogart
U Scorpii	12.6	-18 00	10	< 10	—	1996	Fogart
U Scorpii	12.6	-18 00	10	< 10	—	1997	Fogart
U Scorpii	12.6	-18 00	10	< 10	—	1998	Fogart
U Scorpii	12.6	-18 00	10	< 10	—	1999	Fogart</

100





# Johann Koppler, der Gesetzgeber der neuereu Astronomie.

(Fortsetzung)

**S**elbst einige Voraussagen für die Zukunft haben nützlich, wenn auch unter einem schiedener Form ein. So hat Koppler für das 31. Jahr des Fragestellers eine Heirat mit einer reifen, wenn auch nicht gerade schönen «Willib» angesetzt, die Furcht kam allerdings bereits im folgenden Jahr 36 Jahre) zuzunehm, stien die Beschäftigung der Beist war ad vivum ähnlich. Eine für das 36. Jahr anwesende «erste Erkennung» hat bereits im 37. in Wirklichkeit ein. Wahrscheinlich erreichte sich noch 17 Jahre später das richtigen Antriebes. Die kleinen Mängel erklärte er durch das vorzeitige nicht genau eingetragene Zeitpunkt seiner Geburt, weshalb er Koppler machte, mit einer kleinen «Verbesserung der Natur» die neuen Prognostiken aufzuweisen. Koppler, der Gründe haben machte, diesen richtigen Mann sich nicht zum Feinde zu machen, besetzte sich lediglich zum Schmecken. Aber auch hier wiederum hob er hervor, daß er sich seit vielen Jahren mit diesen Sachen nicht mehr abgegeben habe, es sei dann bei Personen, von denen er gewußt, daß sie solche astrologische Deutungen richtig wertig und nicht in dem allgütlichen Wahn aufhören, als könnte der Astrolog dertüchtige zukünftige Einzelvorkommnisse wirklich in den Sternen lesen. Nur unter diesem Vorbehalt habe er mit Wahrung seines guten Namens und eines wissenschaftlichen Berufes sich mit die gewünschte Verbesserung und Erweiterung anlassen zu können. Schon bei Gelegenheit des ersten Prognostiken hatte er das bestechende Photo beigefügt.

Emad Edward, hat das Köpfe von,  
Wie ist Frau Florenz Tischlerin  
© Sorgen groß, «Namen Mann»

Diese Zurückhaltung und Nachsicht hat des Urteils verdient um so mehr Beachtung mit Rücksicht auf eine Zeit, in welcher der Abglaube das so große

Macht ausübte und auch Gelehrte und Denker nur selten von Leichtgläubigkeit sich freihielten.

So hatte ein sonst verdienstvoller Astronom, der protestantische Pastor David Fabricius, eine wahre Angst vor einem ihm ungünstigen Prognostikon und wandte sich an Koppler um Trost und Rat.

«O du armer, tugtlicher Mensch!» antwortete dieser, «haben alle meine Wortungen (Er diese Furcht nicht mehr machen können, auch Du Dich sogar zum Gebete wendest, um das gütliche Urteil abzuschwächen? Gott gebe seine Segen dazu! Überlasse dich vor dem dorkenden Prognostikon zu bewahren, dass ich seine Hilfe nicht notwendig.»

«Ich kenne manche Leute,» erzählt Koppler, «die laufen sich allerlei Kalender zusammen, denen der eine auf einen gewissen Tag weiß, der andere schwarz antwortet, es gerate man das Wetter, wie es wolle, so haben sie es immer von einem geoffen, und das ist ihre tägliche Freude, für menschlichen Vorgängen.»

«Das Falsche, d. h. das Nichterfüllen der Vorhersagen,» sagt Koppler an einer anderen Stelle, «vergiftet mich, weil es nicht. Besonders ist, das Entsetzen befallt man nach der Weiber Art, damit bleibt der Astrolog in Ehren.»

Auf die Untersuchung der Marbaten hat Koppler ebenfalls zugeht, da er bei einem ersten Besuche in Prag Tycho's Geblühe Komponenten gerade mit der Theorie der Marbaten beschäftigt fand. Da es sich darum handelte, die Gestalt der Planetenbaten genau zu ergünden, so eignete sich Mars durch seine viele Abweichung von der Kreisbahn dazu am besten. «Aus allen Beobachtungen und Berechnungen,» sagt Prof. Müller, «hat Koppler im Jahre 1602 zu dem Schluss, die

Bahn des Mars so kein exakter Kreis, sondern ein Oval. Diese Mäße er genau gefunden, mit dem er seine wissenschaftlichen Gedanken hätte ausprechen können. Magne und Hufsch. billigen sich in Schwagens' Kuppel, wachte sich deshalb an den geübten Fabricsen. Dieser ging zwar auf eine Erörterung ein, bekannte aber offen, daß die hoch wissenschaftlichen Briefe Kuppelers ihm wie Orakel wirkten. Zur Aufstellung seiner neuen Astronomie hatte Kuppel vorzuziehen alles selber zu erfinden und sich durchzuklagen. »Was mir fehlt,« klagt er Fabricsen gegenüber, »das ist eine geometrische Behandlung der zweiten Kurve, ihrer Konstruktion, ihrer verschiedenen Schnittflächen. Handelt es sich um eine einfache Ellipse, so wäre der Aufgab schon durch Archimedes und Apollonios genügend vorbereitet.«

Als Kuppel unter dem 4. Juli 1686 dieses ausdrückte, steht er noch nicht, daß, was er als das Einfachere und Leichtere bezeichnet, wirklich auch das Richtige sei. Die Bahn war wirklich eine Ellipse! — Aber das mußte noch erwidert werden: »

Mein erder brühen,« sprach Kuppel, »besteht darin, daß ich meine, die Planetenbahn müsse eine vollkommenen Kreisbahn sein. Dieser Grundsatz der alten Philosophie, von so vielen Aristokraten geübt, hat mich viel Zeit verloren lassen. Endlich kam ich zu der besseren Erkenntnis, daß die Bahn eine nach Art eines Ovals eingedrückte, in sich zurückkehrende Kurve sei.

Schon gleich ich gewonnenes Spiel zu haben, schon glaubte ich den unbändigen Kriegsgott in dem Karier meiner Tablet eingekerkert, in die Ketten meiner Gleichungen geschlagen, da auf einmal ist wieder alles umsonst! Der Ketten sind gesprengt, die Tablet erschlagen, der Krieg wüthet fröhlich denn zuvor.

Was mich bei der Verwundung bezaubert, war, daß ich bei allem Studiren und Überlegungen nicht begreifen konnte,

warum die Bewegungen des Planeten so zur Ellipse hinneigten! Ich dachte: Mensch! Gleich als ob der Wiedersam keine wirkliche Ellipse beschrieben dürfte!«

So war es denn endlich klar: die Planetenbahn ist eine vollkommen Ellipse! So wütheten die Beobachtungen, nur so stimmten sie mit der Theorie überein! Was Kuppel Fabricsen als eine noch zu bestätigende Voraussetzung mitgeteilt hatte, war nun zur Thatsache geworden. Das erste und wichtigste der »Kuppel'schen Orakel« war eintreffend. Allerdings stand das zunächst nur für die Marsbahn fest, allein Kuppel hatte es schon vorher deutlich ausgesprochen, und diese vorläufige Prüfung bestätigte es, was für den Mars gilt, gilt für alle übrigen Planeten, d. h. »Sämtliche Wandelsterne beschreiben bei ihrem Umlauf um die Sonne eine Ellipse; die Sonne selbst befindet sich im Brennpunkt derselben.

»Nach Enderkung dieser wichtigen Regel,« liest Prof. Müller fort, »war es natürlich notwendig, die ganze Theorie der Planetenbewegung umzugestalten, und zwar mußte man vor allem das Gesetz der Fortbewegung der Wandelsterne auf einer elliptischen Bahn unterwerfen werden. Auch hier hatte es aristokratischer Grundsatz der Alten, den man fast wie einen Glaubensartikel festhielt, dem Fortschritt der Wissenschaft liegt der Weg gesperrt. Seit den Zeiten vom Plato, Eudoxus und Aristoteles gilt es als ungemacht, die Himmelskörper dürfen nur mit gleichförmiger Bewegung voranschreiten, alle Unregelmäßigkeit müsse auf lokalen Schein zurückgeführt werden. Kuppel war der erste, der die Ungültigkeit dieser Ansicht nachwies. Überzeugt, daß dennoch eine gewisse Regelmäßigkeit diesen Bewegungen zu Grunde liegen müsse, hatte er früher bereits, bei wenig über das Oval ausgeführten Untersuchungen, verschiedene Punkte der Bahn, an denen sich der Planet nach gleichen Zwischenzeiten befiel, durch einen Bahnwächter mit der Sonne verbunden und dabei

herausgebracht, daß die so entstehenden Sechsecke gleichen Flächeninhalt hatten. Auf der Ellipse angewandt, fand auch diese Regel ihre volle Bestätigung. So war ein weiteres wichtiges Gesetz entdeckt. Der Mathematiker des Pflandes bedachte auf der Ebene einer elliptischen Bahn in gleichen Zeiten gleiche Flächen. — oder mit anderen Worten: die betrachteten Flächen sind den Zeiten proportional.

Durch kühnliche, fortgesetzte Bemühungen war es Kepler sowohl endlich gelungen, die rätselhaften »Ungleichheiten« in der Bewegung der Wandelsterne einem einfachen Naturgesetz zu unterwerfen!

Er währte noch bis zum Jahre 1609, als Kepler große Arbeit über den Planeten Mars im Druck erschien. Allen der Mole Titel derselben sagte schon genug: *Astronomia nova seu de motibus stellae Martis*. Es ist wirklich eine neue Norm, die der Welt gegeben wird. Hier tritt Kepler wahrhaftig als Gastgeber aller Zeiten auf. Von diesem Gesetze kann kein zukünftiger Naturforscher noch sprechen, zu dessen zwei Gesetzentwürfen müssen alle eusepischen, der Kodex Keplers bildet von nun an die weise charta aller astronomischen Forschung.

Ramus, ein Professor der Pariser Universität, hatte einmal öffentlich erklärt, wenn es gelingt, eine Astronomie ohne Hypothese zu führen, wolle er gerne seine Professur abtreten. Der alte war aber bereits gestorben. »Ein Glück für dich, mein lieber Ramus,« meinte Kepler, »daß du mit deinem Leben auch diese Professur schon aufgegeben hast, sonst würde ich demselben jetzt für mich in Anspruch nehmen.«

Mit der Auffindung des 3. Keplerschen Gesetzes ging es langwierig, die beiden von ihm gefundenen Bewegungsgesetze der Planeten schienen ihm das Geheimnis des Weltbaues nicht zu enthüllen. »Es liegt ihm deshalb tiefes Bedauern, immer wieder nicht die Klarheit zu finden, überallhin, selbst

auf seinen Reisen verfolgt die ihn. Er studiert und probiert, verliert und beschließt, versucht bald dieses, bald jenen Weg — immer schreit zum Ziele zu führen.

Schon hatte er gefunden, daß z. B. die Apheldistanz des Saturn zur Periheldistanz des Jupiter sich nahezu wie 3:1 verhalte, letztere wiederum zur Apheldistanz des Mars wie 3:1. Bei der Untersuchung der gegenwärtigen Geschwindigkeiten hatte sich herausgestellt, daß beim Saturn die Aphelgeschwindigkeit zu der um Perihel wie 4:5 (große Tang) sich verhalte, bei Mars stelle sich das Verhältnis wie 2:3 (kleine) heraus. Demnach hatte es also den Anschein, als ob jeder Wandelstern vom Aphel zum Perihel gewissermaßen ein musisches Intervall durchläufe.

Nach vielen Fehlschritten, die er alle mit fast kindlicher Einfach erdacht, kam Kepler endlich auf den Einfall, die Zahlen, welche die großen Achsen der Planetenbahnen darstellen, auf die zweite, dritte und vierte Potenz zu erheben und die so gewonnenen Zahlen mit den betreffenden Potenzen der Umkreisenden zu vergleichen. Er fand: Die Quadrate der Umkreisenden verhielten sich genau wie die Würfel (Kubik) der großen (Haupt-) Achsen.

Wohin die überwachsende Ergebnisse  
Quadrata sunt temporum periodorum  
Ut cubi semidiametri majorum!

Das dritte und wichtigste Keplersche Gesetz, das harmonische Gesetz, war bereits entdeckt. Der Entdecker war außer sich vor Freude. »Die Würfel sind gefallen«, rief er triumphierend aus, »jetzt schreibe ich ein Buch Harmonices mundi. Ob man es jetzt oder später liest, darauf kommt wenig an, und müßte es selbst ein ganzes Jahrhundert auf einem Leier stehen. Hat doch Gott selbst nach 6000 Jahren lang dieses Geheimnis vorbehalten.« Das Werk erschien zu Luzern im Jahre 1619.

Kepler dachte in demselben die in seiner Jugendarbeit, dem Prodomus,



dem Kaiserthum gegenüber befreit, an ihrer Annäherung aus des vom Kriege aus bedrohten kaiserlichen Landen denken könnte.

Die Tafeln wurden auf Kupfereigene Kosten hergestellt, und seine Freunde an verschiedenen Orten kennen, daß er auch Geschäftsleute genug habe, um für deren Absicht zu sorgen und so sehr mit der Herausgabe, sondern noch etwas mehr für sich und die Erben Tycho's herauszuschlagen. Das Werk erschien unter dem Titel: *Tabelle Rudolphine quibus astronomica scientia componitur longitudo colliguntur restaurata continetur, s. h. es sollte durch die Tafeln die so*

lange darniederliegende Wissenschaft der Himmelskunde zu neuem Leben erweckt werden.

Kepler beschrieb die Rudolphinischen Tafeln allenthalben als sein Hauptwerk und um behaupten auch lange ihren Vorrang. Erst nachher wurde Beobachtungen und genaue Methoden auch hier in größeres Einzelstudium ergreiften, und nachdem man anfing, für die einzelnen Wandelstern besonders größere Tafelwerke anzulegen, traten die Tafeln Keplers allmählich in den Hintergrund. Der große Wert, welchen sie zur Zeit ihres Erscheinens für die Förderung der Wissenschaft hatten, wird dadurch nicht beeinträchtigt.

(Schluß folgt)

## Vermischte Nachrichten.

**Die Rotationsdauer des Saturns.** Der zuerst am 15. Juni 1893 von Prof. E. E. Barnard auf der Saturnringel gesehen helle Fleck war, wie Prof. Hough von Dearborn-Observatorium zu Erie (Ill.) mittheilt,<sup>1)</sup> während des Juli ein zuverlässiges Objekt (für den 1500-fachen Refraktor). Ueplängiger Weiterung besonders indessen vielfach die Beobachtung und auf Prof. Hough's Suchen hat Prof. Barnard am 4000-fachen Refraktor der Yerkes-Sternwarte Höhenmessungen des Fleckes angestellt. Aus diesen ergab sich, daß der von Barnard entdeckte Fleck in 1 Milliarde von Hough und in 2 Milliarden von Barnard beobachtet worden ist, während neun Zeilemann, der 119 Rotationen des Saturn anstellte. Außer dem Barnard'schen Fleck regten sich im Juli und August noch mehrere kleinere Flecke. Es ergab sich aus der Beobachtung des größten Fleckes, daß die Rotationsdauer desselben nicht unveränderlich blieb, sondern langsam zunahm, so daß der Fleck also aus der Richtung der Umdrehung des Planeten entsprang.

seiner Eigenbewegung bewill. Als konstante Rotationsdauer für Juli 27. fand sich  $10^h 36^m 27^s$ , dagegen wurden die Beobachtungen weit besser dargelegt unter der Annahme, daß jede folgende Rotation (infolge der Eigenbewegung des Fleckes um  $0.0054^s$  länger ist als die vorhergehende. Unter dieser Annahme wird die mittlere Rotationsdauer für Juli 23.  $10^h 36^m 18^s$ . Die astronomische Breite des Fleckes war im Mittel  $36^{\circ} 27.5'$  nördlich. Die am 6., 22., und 26. Juli gesehenen Flecke sind ebenfalls und ihre Rotationsdauer betrug  $10^h 38^m 39.5^s$  mit einer wahrscheinlichen Unrichtigkeit von  $\pm 3.2^s$ .

Eine Bahnbestimmung des Silbesehnen Kometen aus den Beobachtungen während der Jahre 1846 und 1852 hat Prof. v. Hepperger bekommen.<sup>2)</sup> Er hat aus den im Jahre 1852 angestellten Beobachtungen die Normalen gebildet und die Resultate der Störungsrechnung mitgetheilt, welche die Erscheinungen der Kometen in den Jahren 1846 und 1852 verbindet. Ferner wurden die unter verschiedenen An-

<sup>1)</sup> Monthly Notices LXIV 2, p. 123.  
Sinn 1894. Heft 2.

<sup>2)</sup> Wiener Anst. Anzeiger 1893, Nr. 78.

nehmen über die Zeit der Trennung erhaltenen Elemente der Kometen berechnet, welche die Normalörter am besten darstellen. Die Summe der Fehlerquadrate wird um Minus, wenn man 1848 September 13 als Zeit der Trennung annimmt. Die Darstellung der Helligkeitskurve ist nicht ganz befriedigend und wird noch nicht möglich sein, wenn man die verschiedenen Störungen beider Kometen berücksichtigt. Hauptsächlich erscheint aber die Möglichkeit geboten, eine obere Grenze für die Masse des Heliocentrischen Komets zu finden, denn Wert, die Erdmasse als Einheit angenommen, den Betrag von 1 Million nicht zu erreichen scheint.

Der Veränderliche  $\epsilon$  Aurigae gehört der allgemeinen Annahme gemäß zu den ursprünglich veränderlichen Sternen, indem sein Lichtwechsel nicht nur gering, sondern auch besonders während unbekannter langer Zeit ganz unmerklich ist. Jetzt hat nun H. Linderdorph sämtliche über diesen Stern vorhandenen Beobachtungen einer sehr eingehenden Untersuchung unterzogen<sup>1)</sup> und zwar beginnend mit der Wahrnehmung von Filck, der den Stern 1871 im Frühling sehr lichtschwach fand. Die zahlreichen Beobachtungen von Schmidt, Heis, Angerer, Gademann, Schaub und andere lieferten ein sehr reichhaltiges Material, dessen Diskussion Linderdorph zu den folgenden interessanten Ergebnissen führte: „Der Lichtwechsel des Veränderlichen  $\epsilon$  Aurigae hat eine Periode von  $9929.4 = 23.12$  Jahren. In der Regel hat der Stern die Größe 3.35, bei einem neuen Minimum nimmt seine Helligkeit in 2014 um  $0.73^m$  gleichmäßig ab. Er bleibt dadurch während 313 $\frac{1}{2}$  im konstanten Minimum, um darauf wieder in einer Zeit von  $260^d$  gleichmäßig zu der früheren Helligkeit aufzusteigen, in welcher er nun 2543 Jahre verharrt. Die ganze Dauer der Lichtänderung

beträgt 199 Jahre. Die Mitte des letzten Minimums fand statt 1902 März 31.

Die gegebenen Zahlen sind auch mit erheblicher Unsicherheit behaftet. Es ist nicht ausgeschlossen, daß das Minimum von 1874 — 1875 etwas anders verliefen ist als der von 1847 — 48 und 1981 — 82. Es ist ferner nicht ganz ausgeschlossen, wenn auch unwahrscheinlich, daß außer den oben geschilderten Lichtschwankungen noch kleinere bis zum Betrage von etwa 0.3 Größenklassen vorkommen. Derselben könnten indessen kaum durch Beobachtungen nach der Angländersternmethode erkannt werden, sondern nur durch sorgfältige photometrische Messungen. Die Beobachtung des Sterns nach der Angländerstern Methode hat daher bis zum Eintreten des nächsten Minimums (1928 — 1929) ziemlich wenig Zweck. — Nach dem oben Gesagten gehört  $\epsilon$  Aurigae dem Algoltypus an. Interessant ist der Stern durch die lange Periode, die bei vielen Algolen, die man bisher bei einem regelmäßig Veränderlichen gefunden hat, und die lange Dauer der Verfinstörung. Das Spektrum weist, daß wir es  $\epsilon$  Aurigae zwei helle Körper vor uns haben. Die wirkliche Periode könnte also vielleicht  $2:27.12 = 54\frac{1}{2}$  Jahre betragen, und es wäre dann anzunehmen, daß der größere und späteren Minima nicht ganz gleich sind. Es ist zu erwarten, daß die spektroskopischen Untersuchungen, welche auf dem Astrophysikalischen Observatorium fortgesetzt werden, näheren Aufschluß über das merkwürdige System geben werden.

Die drei neuen Sterne, die gegenwärtig noch, wenigstens sehr lichtschwach am Himmel stehen, sind auch während des vergangenen Jahres auf der Licht-Sternkarte spektroskopisch verfolgt worden. Die Nova im Fuhrmann hat hienach seit 1916 ihr Spektrum merklich geändert, indem von dem hellen Linien derselben eine völlig verschwinden ist, während der Stern bis zur

<sup>1)</sup> Astron. Nachr. No. 2948 — 2950

14. Größenklasse abgegrenzt hat. Die Nova im Perseus von fast Mitte des Jahres auf die 12. Größenklasse gerathen, und auch in ihrem Spektrum haben sich 1861 starke Veränderungen eingestellt. Die im Spektrum des neuen Sterns im Februar erscheinende helle Linie ist aber hier nicht mehr geblichen, dafür sind mehrere andere Linien verschwunden. Was die Nova in den Zwillingen anbelangt, so haben auch hier merkliche Änderungen des Spektrums stattgefunden und der Stern ist jetzt schwächer als 12. Größe. Aus allen Untersuchungen ergibt sich, daß die Spektra dieser drei neuen Sterne nach und nach denselben Charakter annehmen wie diejenigen der früheren Novae, nämlich das Aussehen der Nebellock-Spektren, und daß der ganz Kurse der Veränderungen, den sie durchlaufen, sehr auf den Zeitraum weniger Jahre zusammenfällt, selbst bei einem so gewöhnlichen Ausbruch, wie die Nova im Perseus gezeigt hat. Das Aussehen dieser neuen Sterne im Jahr 1861 oder selbst 1860 läßt sich dem vorherigen Helligkeit geschicht innerhalb weniger Tage, die nachfolgenden Veränderungen werden in einigen Jahren durchlaufen, dann werden die Sterne das Aussehen sehr kleiner Nebellocken an und verlieren dabei. Dies läßt auf die Vermutung, daß die sehr kleinen, sehr kleinen Nebellocken derselben Art, die man am Himmel findet, möglicherweise die letzten Stadien von neuen Sternen bezeichnen, die in unbekannter Vergangenheit am Himmel aufleuchteten waren.

Der Stillstand der Sonne zu Gilboa. Im Buche Jonas 10, 12—14 heißt es die berühmte Stelle, wo der Sonne Stillstand gehalten wird und die vollständig die der Übersetzung von Dr. L. von Eß als folgt: •Denn es regte Jonas zu dem Herrn, an dem Tage, als der Herr die Antwort vor den Augen der Sünder reichlich predigen ließ und sprach von den Augen Israels Sonne zu Gilboa steht still

und Mond im Tale Ajalon? Da stand still die Sonne und der Mond blieb stehen, bis das Volk sich richtete an seinen Forderungen. Ist das nicht geschrieben im Buche des Propheten? Und die Sonne, stand nicht am Himmel und rührte nicht, unterzugehen bis nach einem vollen Tag. Ja, es war kein Tag wie dieser vor ihm und nach ihm, indem der Herr auf die Sünden eines Mannes hörte, denn der Herr stellt für Israel. Über die Auslegung dieser Bibelstelle ist bekanntlich viel geschrieben worden, aber mit Ausnahme von C. Pfeiffer, hatte bisher niemand sich mit der Erklärung der apokryphen astronomischen Verhältnisse in Bezug auf die Oräthel beschäftigt. Dies ist jetzt durch E. Walter Maander von der Sternwarte zu Göttingen geschehen und es haben sich dabei einige interessante Ergebnisse herausgestellt. Über den Standort Jonass macht der Bericht keine direkte Angabe, derselbe kann aber nur in der Nähe von Bethoron gewesen sein, und von dort aus liegt, nach Pfeiffer, Ajalon in der Richtung S. 66° W., Gibon in der Richtung S. 60° O. Hieraus folgt zu ersehen, daß die Ereignisse nicht bei Sonnenaufgang stattgefunden haben kann, und ebensowenig kann es vor dem Vollmonde eingetreten sein, denn der Mond stand in der Richtung nach Ajalon westlich von der Sonne. Vollmond war also längst vorüber. Maander zeigt nun mit großem Schärfsinn, daß die Angaben des Buches Jonas über den Stand der Sonne (= Sonne zu Gilboa steht still) und -die Sonne stand nicht am Himmel- für die anzunehmende Jahreszeit (nahe dem Herbstanfang) sehr gut und nur passen, wenn man voraussetzt, daß sich Jonas in Gilboa selbst befand und die Tageszeit nahe am Mittag war. Dann stimmt denn auch die Angabe •Mond im Tale Ajalon-, denn in der That mußte dieser in geringer Höhe über dem Tale stehen. Weiter heißt Maander als Datum des Ereignisses den 22. Juli unseres greg-



würigen Kalendern, entsprechend dem 21. des vierten Monats im jüdischen Kalender. Die Sonne ging damals für Götzen um 5 Uhr früh auf und um 7 Uhr abends unter, der Mond war nahe dem letzten Viertel und in der vergangenen Nacht gegen 11 Uhr aufgegangen, etwa drei halbe Stunde nach Mittag mußte er untergehen. So ergibt die astronomische Behandlung der sehr knappen Angaben des Buches Jesus eine unerwartete Fülle von Material, über welches man sich nichts über das Jahr heben, in dem das eigentliche Ereignis stattgefunden hat. Denn die allgemeinen Bedingungen für die angegebene Stellung von Sonne und Mond gegen den Horizont von Götzen in der Sommerzeit lauten alle 19 Jahre wieder, und das Jahr der jüdischen Invasion Palästinas ist nicht genau genug bekannt, um auf einen bestimmten unter den vielen 19jährigen Zyklen zurückgreifen zu können.

Die Milla-Expedition nach Chilo, deren im 1. Hft des Bericht gekürzt wurde, hat ihr Observatorium auf San Cristobal innerhalb Santiago aufgeschlagen. Die Meereshöhe desselben beträgt 950 engl. Fuß, während Santiago in 1800 Fuß Seehöhe liegt. Alle Vorbereitungen zu dem großen Werke sind getroffen und nach schon photographische Aufnahmen von Sternfeldern ausgeführt worden.

Der neue Direktor der Berliner Sternwarte. Nachdem Professor Förster infolge vorgerückten Alters seine Absicht erklärt hatte, von der Leitung der Berliner Sternwarte zurückzutreten, haben Verhandlungen über einen geeigneten Nachfolger für diese wichtige Stellung stattgefunden. Wie schon bekannt wird, haben dieselben den glücklichsten Abschluß gefunden, indem

Professor Dr. Hermann Struve, zuerst Direktor der Königsberger Sternwarte, die Nachfolge Försters antreten wird. Als Beobachter wie als Theoretiker gehört Professor Struve zu den hervorragendsten Astronomen der Gegenwart. Seine Beobachtungen und Untersuchungen über die Naturen der Mars- und Saturnmonde stützen zu den wichtigsten Arbeiten dieser Art und sind in ihrer Durchföhrung wahrhaft muster-gültig. Hermann Struve, gebürtig den 21. September 1824 zu Pulkowa, entstammt einer ursprünglich deutschen Familie, mit deren Namen das Emporblühen der Astronomie und Geodäsie in Rußland untrennbar verknüpft ist. Der Großvater Fr. W. Struve kam aus Altona jung nach Dorpat, wurde Direktor der dortigen Sternwarte und unter-nahm zuerst die systematische Nachforschung nach Doppelsternen, die mit dem größten Erfolg gekrönt und auf der unter seiner wissenschaftlichen Leitung ausgearbeiteten Sternkarte zu Pulkowa bei Petersburg fortgesetzt und erweitert wurde. Sein Sohn Otto Struve wußte den Willen des alten Mannes zu erhalten, und dessen Sohn Hermann Struve wirkte seit seiner Berufung (1845) nach Königsberg dort als würdiger Nachfolger seines Vaters, von wem er seine Tätigkeit in Berlin fortsetzte.

Fernere für Freunde der Himmelsbeobachtung. Aus dem Lehrstuhl des „Sinn- und nachherem größter und Meiste sehr gut erhaltene Formchen zum Verkauf angeboten worden. Freunden der Himmelsbeobachtung, welche die Anschaffung eines solchen Instrumentes beabsichtigen und sich darüber an mich wenden, bin ich zu jeder gewünschten Auskunft bereit. Dr. Klein.

# Astronomischer Kalender für den Monat Mai 1904.

Sonne				Mond			
Mittlere Berliner Zeit.				Mittlere Berliner Zeit.			
Tag v. m.	Zeit M. Z. — W. Z.	Rektascension	Declination	Rektascension	Declination	Mond im Meridian	
h	m	s	°	'	''	h	m
1	—	0 10 50	0 33 50 03	+10 1 0 0	10 50 20 51	+10 40 17 0	15 40 0
2	0 4 00	0 34 50 00	10 20 10 0	10 50 0 30	+17 30 00 0	14 40 0	
3	0 10 00	0 35 20 00	10 27 1 0	17 40 00 00	—10 30 0 0	15 20 0	
4	0 17 00	0 34 10 00	10 34 00 0	10 40 00 00	10 0 10 0	16 0 0	
5	0 20 00	0 35 10 00	10 10 00 0	10 30 0 00	17 4 1 0	17 10 0	
6	0 28 00	0 37 1 00	10 20 4 0	10 21 00 0	10 30 10 0	17 40 0	
7	0 30 00	0 36 00 00	10 10 10 0	10 30 10 0	10 30 10 0	18 0 0	
8	0 30 00	0 35 00 00	10 0 0 0	10 37 0 00	0 30 00 0	18 20 0	
9	0 40 00	0 3 00 00	10 10 10 0	10 40 0 00	0 30 0 0	19 0 0	
10	0 40 00	0 3 00 00	10 10 10 0	10 40 0 00	0 30 0 0	19 20 0	
11	0 40 00	0 30 00 00	10 10 10 0	0 30 00 0	0 30 00 0	19 20 0	
12	0 40 00	0 30 00 00	10 10 10 0	0 30 00 0	0 30 00 0	19 20 0	
13	0 40 00	0 30 00 00	10 10 10 0	0 30 00 0	0 30 00 0	19 20 0	
14	0 40 00	0 30 00 00	10 10 10 0	0 30 00 0	0 30 00 0	19 20 0	
15	0 40 00	0 30 00 00	10 10 10 0	0 30 00 0	0 30 00 0	19 20 0	
16	0 40 00	0 30 00 00	10 10 10 0	0 30 00 0	0 30 00 0	19 20 0	
17	0 40 00	0 30 00 00	10 10 10 0	0 30 00 0	0 30 00 0	19 20 0	
18	0 40 00	0 30 00 00	10 10 10 0	0 30 00 0	0 30 00 0	19 20 0	
19	0 40 00	0 30 00 00	10 10 10 0	0 30 00 0	0 30 00 0	19 20 0	
20	0 40 00	0 30 00 00	10 10 10 0	0 30 00 0	0 30 00 0	19 20 0	
21	0 40 00	0 30 00 00	10 10 10 0	0 30 00 0	0 30 00 0	19 20 0	
22	0 40 00	0 30 00 00	10 10 10 0	0 30 00 0	0 30 00 0	19 20 0	
23	0 40 00	0 30 00 00	10 10 10 0	0 30 00 0	0 30 00 0	19 20 0	
24	0 40 00	0 30 00 00	10 10 10 0	0 30 00 0	0 30 00 0	19 20 0	
25	0 40 00	0 30 00 00	10 10 10 0	0 30 00 0	0 30 00 0	19 20 0	
26	0 40 00	0 30 00 00	10 10 10 0	0 30 00 0	0 30 00 0	19 20 0	
27	0 40 00	0 30 00 00	10 10 10 0	0 30 00 0	0 30 00 0	19 20 0	
28	0 40 00	0 30 00 00	10 10 10 0	0 30 00 0	0 30 00 0	19 20 0	
29	0 40 00	0 30 00 00	10 10 10 0	0 30 00 0	0 30 00 0	19 20 0	
30	0 40 00	0 30 00 00	10 10 10 0	0 30 00 0	0 30 00 0	19 20 0	
31	—	1 00 47	0 31 00 00	+10 10 10 0	17 30 40 0	—10 30 1 0	14 10 0

## Planetenkonstellationen 1904

Tag	h	m	Planet	Konstellation
1	1	10	Merkur	in Konstellation in Skorpion mit dem Mond.
2	4	10	Merkur	in Konstellation mit Mars, Merkur 0° 11' süd
3	21	0	Merkur	in nördlichen Konstellation.
4	21	0	Merkur	in Konstellation mit der Sonne.
5	10	0	Merkur	in Konstellation mit dem Mond, Bedeckung
6	15	0	Merkur	in Konstellation mit der Sonne.
7	27	27	Venus	in Konstellation in Skorpion mit dem Mond.
8	14	27	Merkur	in Konstellation in Skorpion mit dem Mond.
9	10	0	Mars	in Konstellation in Skorpion mit dem Mond.
10	11	11	Merkur	in Skorpion.
11	10	4	Merkur	in Konstellation mit Venus, Merkur 1° 12' südlich.
12	10	0	Mars	in Konstellation mit der Sonne.

Planeten-Ephemeren.

Mittlere Berliner Zeit				Mittlere Berliner Zeit			
Monat Tag	Rektascension	Declination	Oberer Meridian- durchg.	Monat Tag	Rektascension	Declination	Oberer Meridian- durchg.
h m s	° ' "	h m		h m s	° ' "	h m	
<b>1904. Merkur.</b>							
Mai 1	2 52 0.85	-0 58 53.0	0 58	<b>1904. Saturn.</b>			
10	2 48 53.40	0 7 50.0	0 50	Mai 1	21 20 12.75	-16 50 47.0	0 58
15	2 48 45.70	0 54 57.0	12 48	10	21 24 51.75	-16 54 47.0	0 58
20	2 5 7.54	10 2 50.0	12 14	20	21 26 40.50	-16 28 17.0	0 50
25	2 4 24.00	12 56 13.0	0 45	<b>Uranus.</b>			
30	2 4 58.75	-0 58 55.4	12 37	Mai 1	21 49 26.34	-20 28 30.0	0 50
<b>Venus.</b>				10	21 49 17.00	-20 28 30.0	0 50
Mai 1	1 42 43.10	+ 0 11 28.0	0 50	20	21 54 25.50	-20 28 30.0	0 50
10	2 4 59.64	10 54 56.0	0 48	<b>Neptun.</b>			
15	2 50 25.40	18 11 20.0	0 40	Mai 1	4 11 11.60	-4 25 30.0	0 30
20	2 44 37.14	18 20 0.0	0 44	10	4 14 24.34	-4 25 30.0	0 30
25	2 48 53.40	17 38 49.0	0 40	20	4 20 40.20	-4 25 30.0	0 34
30	2 48 49.51	+ 0 17 54.0	0 34	<b>Mondphasen 1904.</b>			
<b>Mars.</b>							
Mai 1	2 15 15.21	-4 48 7.44	0 22			h m	
10	2 28 53.00	10 4 27.0	0 27	Mai 7	8 11.0	14.0	Leutes Viertel
20	2 43 17.00	18 09 11.0	0 23	14	10 10.0	10.0	Neumond
30	2 47 53.54	26 40 51.0	0 9	21	10 10.0	10.0	Vollmond
10	4 12 52.31	15 55 34.0	0 9	28	11 49.0	49.0	Vollmond
20	4 27 27.91	+ 0 7 43.0	10 47				
<b>Jupiter.</b>						h m	
Mai 1	2 9 28.80	+ 0 37 15.0	0 54	6	9	—	Mond in Cratera.
10	2 10 28.80	0 10 4.4	0 54	11	11	—	Mond in Eudora.
20	2 14 11.54	+ 1 4 44.1	10 53				

Sonnenbedeckungen durch den Mond für Series 1904

Monatstag	Stern	Ordn.	Eintritt mittlere Zeit		Ausgang mittlere Zeit	
			h	m	h	m
Mai 7	1 Capricorn	20	16	50.0	16	58.0
11	1 Lepus	14	8	48.0	10	35.0

Lage und Größe des Schattenringes (nach Bessel)

Mai 10.	Größe Achse des Ringes	200"	Mitte Achse	100"
	Erhöhungswinkel der Erde über der Ringebene	12° 30'	Winkel	
Mai 10	Mittlere Scheibe der Erde	128° 27'	1 50"	
	Schatten	124° 28'	15.00"	
	Halbmesser der Sonne	16"	50.51"	
	Parallaxe		0 11"	

# Stellungen der Jupitermonde im Mai 1904.

I.



III.



II.



IV.

Keine  
Orbit

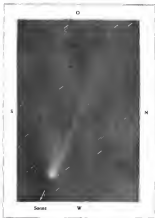


Verloren  
Mond.

Stellungen um 10<sup>h</sup> 10<sup>m</sup> für den Aspekt im astronomischen Perseiden.

Tag	West	Orbit				Orbit
1		4	5	10	4	
2	10			10	2	
3		4	4	10	2	
4		4	3	10	10	
5		4		10	1	10
6	4		1	10	10	10
7	4		10	10	10	10
8		4	3	10	10	
9		4	4	10	10	
10			10	10	10	10
11		3	10	10	10	
12				10	1	10
13			1	10	10	10
14			10	10	10	10
15			10	10		10
16		3		10	10	10
17			10	10	10	10
18	10		10	10	10	10
19				10	10	10
20		4	10	10	10	10
21				10	10	10
22			10	10	10	10
23		4		10	10	10
24			10	10	10	10
25		4	10	10	10	10
26	10		10	10	10	10
27			10	10	10	10
28			10	10	10	10
29		10	10	10	10	10
30			10	10	10	10
31			10	10	10	10





Juni 1904

Teil IV

Der Komet 1903 (Barnard).

1903, August 1.

Fotografiert mit einem Zeiss'schen Refraktor auf der Igl. Sternwarte zu Göttingen.  
Expositionsdauer 45 Minuten.

**Ercheinungen der Jupitermonde.** Die sämtlichen Angaben über die Erscheinungen der Jupitermonde beziehen sich auf mittlere Zeit von Greenwich. Die Trabanten sind den Beobachter durch Abstände vom Jupiter nach mit I bis IV bezeichnet. Die vier größten Figuren zeigen die Stellung jedes Mondes mit Bezug auf den Jupiter für den Augenblick der Vollmondung (M) oder des Wiederaufgehens (V). Bei r steht angegeben, zu wann der Antritt aus dem Schatten meist beobachtet worden. Ferner befindet bei den nachfolgenden Zeitangaben:

- Er D den Eintritt des Trabanten ins Schatten des Jupiter.
- Ex N den Austritt des Trabanten aus dem Schatten des Jupiter.
- De D den Verschwinden des Trabanten hinter der Jupiterscheibe.
- Co R den Wiederaufgehens sichtlich neben der Jupiterscheibe.
- Tr I den Eintritt des Trabanten vor der Jupiterscheibe.
- Tr E den Austritt des Trabanten aus der Jupiterscheibe.
- Sh I den Eintritt des Trabanten auf der Jupiterscheibe.
- Sh E den Austritt des Trabanten aus der Jupiterscheibe.

Es sind nur diejenigen Erscheinungen der Jupitermonde aufgeführt, welche sich erwarten, wenn Jupiter in Opposition über und der Sonne unter dem Horizonte steht. Um die Momente dieser Erscheinungen nach mitteleuropäischer Zeit zu finden, hat man nur nötig, 1<sup>h</sup> zu den angegebenen Zeitpunkten zu addieren.

Mal 2. I Sh. I. 14<sup>h</sup> 20<sup>m</sup>. Mal 12. I Ex. D. 14<sup>h</sup> 20<sup>m</sup> 40<sup>s</sup>. Mal 16. I Sh. E. 14<sup>h</sup> 20<sup>m</sup>. III Co. R. 14<sup>h</sup> 20<sup>m</sup>. I Tr. E. 14<sup>h</sup> 20<sup>m</sup>. Mal 18. II. Tr. E. 14<sup>h</sup> 20<sup>m</sup>. Mal 24. I Sh. I. 14<sup>h</sup> 20<sup>m</sup>. I. Tr. I. 14<sup>h</sup> 20<sup>m</sup>. III Sh. E. 14<sup>h</sup> 20<sup>m</sup> 07<sup>s</sup>. Mal 26. I Co. R. 14<sup>h</sup> 20<sup>m</sup>. Mal 28. II. Tr. I. 14<sup>h</sup> 20<sup>m</sup>.

## Stellungen der Saturnmonde. (Erklärung S. 24.)

Zeiten der südlichen Opposition im Mai 1906.

**Tethys.** Mai 1. 7<sup>h</sup> 4<sup>m</sup>. Mai 2. 4<sup>h</sup> 5<sup>m</sup>. Mai 3. 1<sup>h</sup> 5<sup>m</sup>. Mai 4. 10<sup>h</sup> 20<sup>m</sup>. Mai 5. 10<sup>h</sup> 20<sup>m</sup>. Mai 10. 11<sup>h</sup> 4<sup>m</sup>. Mai 12. 12<sup>h</sup> 20<sup>m</sup>. Mai 14. 1<sup>h</sup> 5<sup>m</sup>. Mai 16. 1<sup>h</sup> 5<sup>m</sup>. Mai 18. 1<sup>h</sup> 5<sup>m</sup>. Mai 20. 1<sup>h</sup> 5<sup>m</sup>. Mai 22. 12<sup>h</sup> 20<sup>m</sup>. Mai 24. 10<sup>h</sup> 20<sup>m</sup>. Mai 26. 12<sup>h</sup> 20<sup>m</sup>.

**Mimas.** Mai 2. 10<sup>h</sup> 4<sup>m</sup>. Mai 3. 1<sup>h</sup> 5<sup>m</sup>. Mai 4. 1<sup>h</sup> 5<sup>m</sup>. Mai 10. 11<sup>h</sup> 4<sup>m</sup>. Mai 12. 12<sup>h</sup> 20<sup>m</sup>. Mai 14. 1<sup>h</sup> 5<sup>m</sup>. Mai 16. 1<sup>h</sup> 5<sup>m</sup>. Mai 18. 1<sup>h</sup> 5<sup>m</sup>. Mai 20. 1<sup>h</sup> 5<sup>m</sup>. Mai 22. 12<sup>h</sup> 20<sup>m</sup>. Mai 24. 10<sup>h</sup> 20<sup>m</sup>. Mai 26. 12<sup>h</sup> 20<sup>m</sup>.

**Encel.** Mai 1. 7<sup>h</sup> 4<sup>m</sup>. Mai 2. 4<sup>h</sup> 5<sup>m</sup>. Mai 10. 11<sup>h</sup> 4<sup>m</sup>. Mai 12. 12<sup>h</sup> 20<sup>m</sup>. Mai 14. 1<sup>h</sup> 5<sup>m</sup>. Mai 16. 1<sup>h</sup> 5<sup>m</sup>. Mai 18. 1<sup>h</sup> 5<sup>m</sup>. Mai 20. 1<sup>h</sup> 5<sup>m</sup>. Mai 22. 12<sup>h</sup> 20<sup>m</sup>. Mai 24. 10<sup>h</sup> 20<sup>m</sup>. Mai 26. 12<sup>h</sup> 20<sup>m</sup>.

**Titan.** Mai 2. 11<sup>h</sup> 4<sup>m</sup> E. Mai 4. 1<sup>h</sup> 5<sup>m</sup> E. Mai 10. 11<sup>h</sup> 4<sup>m</sup> W. Mai 12. 12<sup>h</sup> 20<sup>m</sup> E. Mai 14. 1<sup>h</sup> 5<sup>m</sup> E. Mai 16. 1<sup>h</sup> 5<sup>m</sup> E. Mai 18. 1<sup>h</sup> 5<sup>m</sup> W. Mai 20. 1<sup>h</sup> 5<sup>m</sup> E. Mai 22. 12<sup>h</sup> 20<sup>m</sup> E.

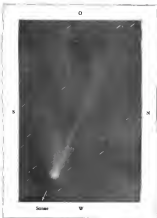
**Japetus.** Mai 2. 11<sup>h</sup> 4<sup>m</sup> E. Mai 10. 11<sup>h</sup> 4<sup>m</sup> E.

Mehrere grössere und kleinere

## *astronomische Fernrohre*

sind sehr preiswürdig zu verkaufen. Befriedigten wollen sich wegen näherer Mittheilungen zu wenden.

**Prof. Dr. Hermann J. Klein in Köln-Lindenthal.**



Sonnen 1903

Tafel IV

Der Komet c 1903 (Borrelly).

1903, August 1.

Photographiert mit einem Stöckigen Reflektor auf der hgl. Sternwarte zu Greenwich.  
Expositionsdauer 45 Minuten.



# Carl Zeiss

Optische Werke

## Jena.



Refraktionsinstrumente  
der astronomischen  
Observation

Komplett  
montierte  
Refraktoren  
jeder Größe

Spezialkonstruktion  
für astrophotographische  
Zwecke.

Spiegeltaelchentele  
mit groesem Vergrößerungs-  
verhältnis für Himmels-  
photographie.

Sternwartenkuppeln.

Refraktoren

ein- und beidseitige apochromatische Refraktorenobjektive  
ohne sekundäres Spektrum.

Minutenweitige lichtstarke Objektive  
mit groesem Vergrößerungsverhältnis und  
Objektive aus ultraviolettdurchlässigen Gläsern  
zur Himmelsphotographie.

Prismen

Objektprismen aus gewöhnlichen und ultraviolettdurch-  
lässigen Gläsern.

Astronomische Spiegelteleskope und Spiegelteleskopen  
Refraktorenspiegelteleskope

ausser Konstruktion.

Hilfsapparate zur Beobachtung und Photographie  
des Himmels und der Sterne.

Man verlange Katalog No. 128



# SIRIUS

Zeitschrift für populäre Astronomie

Herausgegeben unter Mitwirkung  
Herrmann'scher

Physiker und astronomischer Beobachter

von  
**Prof. Dr. Hermann J. Klein in Eils-Modenthal.**

Verlag von H. J. Klein in Eils-Modenthal.

4. Heft.



## Inhalt des vierten Heftes.

	Seite
Die Kuri-Laplace'sche Kometenperiode und ihre Kritik. Von Prof. Dr. G. Holzmüller . . . . .	73
Kurz Erythraeum auf dem Mars . . . . .	83
Ein neuer Katalog der veränderlichen Sterne. (Schluß) . . . . .	88
Der Magnetfeld in der Leyer . . . . .	97
Johann Kappeler, der Entlaggeber der neuere Astronomie. (Schluß) . . . . .	99
Vermischte Nachrichten . . . . .	105
Heiligkeitsverlust des Planeten Iph.	
Benennung von kleinen Planeten.	
Zeichnungen vom Aussehen des Kometen 1903a (Bowell). (Mit Tafel V.)	
Neue Doppelsterne.	
Der Veränderliche $\kappa$ Aurigae.	
Forschung für Freunde der Himmelsbeobachtung.	
Astronomischer Kalender für den Monat Juni 1904 . . . . .	113
Stellungen der Jupitermonde im Juni 1904 . . . . .	116
Stellungen der Jupitermonde . . . . .	118
Stellungen der Saturnmonde . . . . .	121

LEIPZIG, Neßplatz 16.

Eduard Heinrich Mayer,

Verlagsbuchhandlung.

# SIRIUS.

Zeitschrift für populäre Astronomie.

APR 16 1904

Centralorgan für alle Freunde und Förderer der Himmelskunde.

Herausgegeben

unter Mitwirkung hervorragender Fachlehrer und astronomischer Schriftsteller

von Prof. Dr. Hermann J. Klein in Köln

April 1904.

„Wissen auf Erleuchten und der Freude und der  
Bereicherung der Menschheit.“ — Kienast

Jeden Monat 1 Heft. — Jährlich 12 Mk.

Verlag von EDUARD HEINRICH MAYER in Leipzig.

**INHALT.** Die Kant-Laplacesche Kosmogonie und ihre Kritik. Von Prof. Dr. G. Meier  
waller. S. 75. — Neue Entdeckungen auf dem Mars. S. 83. — Ein neuer Katalog der ver-  
änderlichen Sterne. (Schluß) S. 44. — Der Ringnebel in der Leier. S. 45. — Johann Kowalew,  
der Übersetzer der russischen Kosmogonie. (Schluß) S. 46. — Verschieden Nachrichten. S. 48. —  
Astronomische Kalendar. S. 53. — Messungen der Jupitermonde im Jahr 1904. S. 65. —  
Entdeckungen der Jupitermonde im Jahr 1904. S. 66. — Messungen der Saturnmonde im  
Jahr 1904. S. 68.

## Die Kant-Laplacesche Kosmogonie und ihre Kritik.

Von Prof. Dr. G. Meierwaller.

I. Der augenblickliche Zustand der in 25 Tagen um ihre Achse sich drehenden Sonne ist folgendermaßen zu charakterisieren. Sie hat einen Durchmesser von rund 268 000 Meilen, d. h. etwa das 112fache des Erddurchmessers, also den 1480 000fachen Rauminhalt als die Erde, aber nur den 350 000fachen Masseinhalt, folglich ist ihr spezifisches Gewicht etwa der vierte Teil von dem der Erde. Nimmt man letzteres als 5,56 an, so ist das der Sonne nur 1,4. Wenn man bei der Erde die Dichte in diesem Sinne regelmäßig von 25 oder 3 an bis zum Mittelpunkt hin auf Grund einer leichten Rechnung bis zu 15 oder 13 ranchen läßt, so kommt man für das Zentrum auf einen Massendruck von rund 37 Millionen Tonnen auf das Quadratmeter, also auf rund

2500 000 Atmosphären Druckspannung. Da nun, wie bekannt, an der Oberfläche der Sonne die Schwerekraft die 28 fache von der auf der Erde wirkenden ist, so kann man überschauen, daß der Massendruck im Innern der Sonne ein weit größeres wird. Unter bestimmten Annahmen kann man auch das berechnen, aber die Annahmen würden ganz unterschieden sein. Unter gewissen Voraussetzungen fand ich 5000 Millionen Atmosphären. Jedenfalls läßt sich der geringe spezifische Dichte der Sonne nur durch einen ungeheuren Hitzegrad erklären, der man für die Oberfläche beurteilen kann.

Für diese hat man die verschiedenen Resultate gefunden. Diese Verschiedenheit hat aber ihren Grund hauptsächlich in den angenommenen Be-  
ziehungen.

lungsgesetz. In neuerer Zeit hat sich das Stefanische Strahlungsgesetz dafür geltend gemacht, nach dem die Ausstrahlung proportional der vierten Potenz der absoluten Temperatur ist.

Der Ausstrahlungsfähigkeit der Sonne ist unter Berücksichtigung vieler Nebenverhältnisse durch astronomische Messungen auf etwa das 87fache des in der Benennung des geschlossenen Strahles bestimmt worden. Die vierte Wurzel aus 87 ist ein wenig größer als der (gewöhnl. 3.6537). Schätzt man die Temperatur einer Stahlmasse auf  $2000^{\circ}\text{C}$ ., so erhält man rund  $8000^{\circ}\text{C}$ . für die absolute Temperatur auf der Sonnenoberfläche.

Dr. J. Schaller vom Observatorium zu Potsdam, hat in einem Buche „Strahlung und Temperatur der Sonne“ die betreffenden wissenschaftlichen Untersuchungen zusammengestellt und kritisch behandelt. Er kommt zu dem Resultat, daß die Oberflächentemperatur der Sonne zwischen die Grenzen  $6000^{\circ}\text{C}$ . und  $8000^{\circ}\text{C}$ . einschlägt. Er, Man nehme also  $7000^{\circ}$  als den wahrscheinlichsten Wert an. Nun wird aber, wie man bei Sonnenfleckentrübungen beobachten kann, die scheinbare Sonnenscheibfläche, die Photosphäre, von einer Art von schwächer leuchtender Gashülle, der Chromosphäre, umgeben. Vergleicht man diese Leuchtkraft mit der der Sonne, so muß man die Temperatur der Photosphäre etwas höher ansetzen, nämlich auf rund  $7760^{\circ}\text{C}$ .

Wie bei der Erde, so nimmt auch bei der Sonne nach dem Mittelpunkt hin die Temperatur schnell zu, denn die in ihrem inneren Bereiche Massen sind gegen die Ausstrahlung nach dem kalten Weltraum hin, dessen Temperatur auf mehr als  $200^{\circ}\text{C}$ . Kälte gestützt wird, durch die Aufstrahlung geschützt. Das Gesetz der Wärmeresorption nach unten ist um vieles bei der Erde nur für etwa 2000 m Tiefe ausgedrückt bekannt. Unter gewissen Annahmen aber läßt man, daß schon in sehr kleinen Tiefe, Temperaturen herrschen,

bei denen die uns bekannten Stoffe sich in Schmelzflüssigkeiten befinden müssen.

Zöllner, Ritter, Secchi und andere gehen auf Grund verschiedener Annahmen die durchschnittliche Hitze des Sonnendörpers auf mehrfache, sogar vielfache Millionen von Graden C. an.

Solche Temperaturwerte können nicht chemisches Umpränge sein, denn sogar die Knallgasbombe trägt nur wenige Tausende von Graden an. Der betreffende Wärmegehalt kann nur mechanisches Umpränge sein.

Die Hitze ist also derartige, daß nur in den äußeren Schichten der Sonne von chemischen Verbindungen die Rede sein könnte. Fast im ganzen Sonnendörper sind solche unmöglich. Man kann immer als eine gasförmige Ball betrachten, in dem sich vorwiegend nur druckartige Gase im Zustande ungeladener Hitze unter einer auch den Mittelpunkt hin, zu unvermeidlichen Größenwachsenden Druckspannung befinden. Die Hitze bedeutet das Vorhandensein so kräftiger Molekularschwingungen, daß sogar dem oft angedeuteten Wasserdampf das Gleichgewicht gehalten wird.

Der Oberfläche entsprichtentsprechend eine kräftige Ausstrahlung der Sonne, von der ihrer Planetenwelt nur der 225millionste Teil zugute kommt, also der Erde ein weit kleinerer Bruchteil, etwa der 2800millionste Teil. Alle andere Strahlung geht in den kalten Weltraum hinaus.

Die ausgesandten Strahlen sind zum Teil solche, die dem Auge wahrnehmbar sind und auch dem Wellenlängen geordnet (vorläufig die Farbenreihe des Spektrums geben. Dies gibt die Lichtstrahlung der Sonne. Die unsichtbaren ultravioletten Strahlen geben den größten Teil der Wärmestrahlung (denn auch die Lichtstrahlung gibt einige Wärme). Die unsichtbaren ultravioletten Strahlen sind die chemisch wirkenden, sodaß man auch von chemischer Strahlung sprechen kann. Die elektromagnetische Lichttheorie würde auch zu einer elektro-

dynamischen Strahlung führen. Über die beiden letzten Arten von Strahlung ist bis jetzt wenig zu sagen. Über die beiden ersten haben die zahlreichen Beobachtungen folgende Durchschneitresultate gegeben: Die Sonne leuchtet nach Langley 5300 mal so stark als das mittlere mittlere mittlere mittlere mittlere, 110000 mal so stark als der Vollmond, etwa 30000 Millionenmal so stark als der Stern. Denkt man sie sich in der Entfernung des Fixsterns  $\alpha$  Aurigae gesetzt, dessen Parallaxe etwa  $0.11''$  beträgt, so würde sie dort als Stern 63 Grade erscheinen. Demnach gibt es weit stärker als die Sonne leuchtende Fixsterne.

Wichtiger ist für unsere Abhandlung die Wärmestrahlung, über die man früher die widersprechendsten Resultate erhielt, deren Unterschiede sich aus der Unklarheit über die Strahlungsgesetze, aus dem Fangel an Kenntnis über die Absorption der Atmosphäre und aus anderen physikalischen Gründen erklären. Nach Olgen strahlt die Sonne 17 mal so stark aus, als die geschätzte Leuchtkraft der Sonnenoberfläche. Nach Pouillet strahlt die gesamte Sonnenoberfläche in jeder Sekunde 17-850 Millionen Circularfaden aus, von denen jede einen Wasserkübel von einer Meile Kantenlänge um  $1^{\circ}$  C. erwärmen kann. Führt man diese Strahlung auf die Sekunde zurück, geht man zu den geschätzten Kalorien über, multipliziert man diese, um sie in Arbeit (berechnet nach Hertzkylogrammen) umzusetzen, mit 425, und dividirt man, um Pferdestärken zu erhalten, durch 75, so erhält man eine Anstreifung, die bestehende von würde, 500000 Tausende Pferdestärken mechanischer Arbeit dauernd zu leisten.

Angenommen, die ganze Sonnenmasse bestände aus reinem Kohlenstoff, der zur Verbrennung gerade die nötige Sauerstoffmenge zugeführt würde, so würde die jetzige Anstreifung auf noch nicht 6000 Jahre gedreht sein. In historischer Zeit aber hätte man eine fast auf Null herabgedrückte Strahlungsfähigkeit beobachten müssen.

Chemische Erklärungen des Lichts enthält. Der Wärmetheoretiker Mayer-Hellmann vermuthet die Erklärung des Wärmeverlustes dadurch zu erklären, daß er einen unendlichen Regen von Meteoriten in die Sonne stürzen ließ. Dabei würde die folgende Überlegung: Ein von mehr als Neptunweite auf die Erde herabfallender Meteorit würde mit 11250 in Geschwindigkeit aufschlagen. Das gibt, wenn er 1 Ag wiegt, 15177 Kalorien. Der Aufschlag auf die Sonne dagegen würde mit einer Geschwindigkeit von 17 Meilen erfolgen, ein bei uns 1 Ag wiegender Körper (dort 38.5 Ag wiegend) würde demnach über 40 Millionen Kalorien geben.

Demnach kann man leicht berechnen, wie viel Masse jährlich in die Sonne stürzen müßte um die Strahlung zu decken. Will man sich die Masse als Eisenkugel denken, so würde es sich um eine Kugel von 4800 Radius handeln. Denkt man sich diese Meteoriten gleichförmig verteilt, so würde die Erde einen dazwischen Fall von Meteoriten zu sehen haben müssen, daß sich in jeder Nacht eine Oberfläche von stark leuchtenden Feuerkugeln zeigen würde, was aber nicht der Fall ist.

Allerdings würde die jährliche Massenvermehrung der Sonne nur etwa

$$\frac{1}{1000000000000}$$

betragen, aber in 10000 Jahren würde doch die Vermehrung auf

$$\frac{1}{1000000}$$

stiegen und auf die Unklarheiten der Planeten einwirken. Also auch das ist unzureichend. H. Helmholtz fand den Fehler in der scheinbaren Kontraktion der Sonnenmasse. Eine Koe

$$\frac{1}{10000}$$

das Sonnendurchmesser infolge der Contraction, bedeutet eine dazwischen Abnahme, daß es, ganz und gar in Wärme umgewandelt, die ungenügende

Ausstrahlung auf etwa 2500 Jahre decken würde. Die elementare Ableitung dieses Resultats habe ich an anderen Stellen gegeben.

Dabei sind drei Fälle möglich, wie ich schon anderweitig ausgedrückt habe. Angenommen, die Zeitdauer für diese sehr kleine Kontraktion beträgt 2500 Jahre, so bleibt der Wärmezustand der Sonne derselbe. Angenommen, es geschähe in längerer Zeit, so würde eine Abkühlung der Sonne erfolgen, weil die Deckung nicht ausreichte. Angenommen, die geschähe in kürzerer Zeit, so würde die Temperatur der Sonne in der Zukunft befallen sein. Was von den drei Fällen für die Gegenwart richtig ist, läßt sich vorläufig nicht mit Bestimmtheit entscheiden. Denn erst seit Hipparch haben wir eine mit einigermaßen genauen Mitteln, mit Galilei und mit Perseus (und Fadenkugel) arbeitende Astronomie, und diese hat weder eine bemerkbare Zunahme, noch eine Abnahme nachweisen können.

A. Ritter hat im Jahre 1879 „Anwendungen der mechanischen Wärmetheorie auf kosmologische Probleme“ veröffentlicht, die weit über Helmholtz hinausgehen. Er nimmt für jede kosmische Gaskugel einen indifferenten Gleichgewichtszustand an, dem er, daß eine ruhende Luft sich so ausdehnt und zugleich abkühlt, daß sie sich in Luft von demselben Zustande gelangt, wie sie im freien Aufsteigen erhalten tut. Entsprechendes geschieht beim Niedertinken. Der Zustand ist also selbsttätig, weil sie weder Wärme nach außen abgibt, noch von außen aufnimmt. Das adiabatische Gesetz für die betreffende Gase ist also hier maßgebend. Dem ist allerdings eine der Wirklichkeit nicht entsprechende Abweichung, aber diese gibt wenigstens Anlaß zu weiteren Aufgaben. Neumatische Ausdehnung und Wärmeerzeugung werden zusammen. Die Kontraktion aber gibt eine Wärmeentwicklung, welche die Wärmeabgabe überwiegt (Kapazität ist negativ). Nach Ritter sollen 50 vom

Hundert der Wärmeerzeugung auf die Temperaturerhöhung, zwanzig auf die Deckung der Ausstrahlung kommen und das Produkt aus Halbmesser und Mitteltemperatur soll konstant sein. Dies entspricht aber nicht der Wirklichkeit.

Zu letzter Zeit war nämlich das Sirhische Gesetz vom der 4. Potenz noch nicht bekannt. Zieht man dieses hinzu, so werden Ritters Resultate nach Schöner daher abgeändert, daß die Strahlung des Quaders umgekehrt proportional dem Quadrat seines Durchmessers wird. Unter Voraussetzung einer Abnahme des Durchmessers findet also Zunahme der Ausstrahlung statt. Zugleich aber wird ein weit bedeutenderer Betrag der Wärmeerzeugung auf die Ausstrahlung als 20 vom Hundert zu rechnen sein, vielleicht sogar mehr als 50 vom Hundert. Diese Angabe erlaubt Andänderungsrechnungen für den Fall, daß etwa die Hälfte auf jeden Teil kommt. Die Schlussende Folgerung mathematisch zu ziehen, will ich mir vorbehalten.

Nach andern Theorien sind aufgestellt worden, aber für die Kritik der Kaut-Laplace'schen Nebelstheorie von geringer Wichtigkeit.

Angenommen, die jetzige Sonne sei durch Kontraktion eines Weltkörpers entstanden der ursprünglich unendlich großen Durchmesser gehabt habe, Ausstrahlung aber hätte nicht stattgefunden, so würden auch Helmholtz in jedem Massenstückchen des Sonnenkörpers annähernd 30 Millionen Kalorien erhalten sein. Bei der Kapazität  $\frac{1}{2}$ , (für den Eisens) z. B. würde es sich also um eine durchschnittliche Temperatur von 300 Millionen Grad C. handeln. (Denkt man sich diese durch Ausstrahlung auf den dreihundertsten Teil erniedrigt, so bleibt noch immer eine Temperatur von 1000000° C. übrig.) Das Resultat ist nur wenig anders, wenn man annimmt, der Sonnendurchmesser sei ursprünglich nur etwas größer als die Neptunbahn gewesen.



jetztenteils erkennt man, daß die Helmholtzsche und ebenso die verbesserte Ritzsche Theorie instand ist, auf dem Wege der mechanischen Wärmetheorie unabhängig von chemischen Verbrennungsverfäbrungen und unabhängig von dem Magnetischen Netzenagen, der je innerhalb zu einem kleinen Teile erklären sein mag, für die zum Erste der Ausstrahlungsfähigen Wärmemengen zu sorgen.

Bei diesen Vorsetzungen kann man sich schon einigmaßen an die Kritik der Kant-Laplace'schen Theorien heranwagen.

2. Die Nebularhypothese von Kant. Im Jahre 1755 veröffentlichte Kant in Königsberg eine „Naturgeschichte und Theorie der Himmelskörper vom Ursprunge der Welt aus, oder Versuch von der Verfassung des ganzen Weltgebäudes nach Newton'schen Grundsätzen abgehandelt.“ Nach der Vorrede hat er sich dabei vielfach an Wright angeschlossen. Das Werk wurde ansehnlich auf die gesamte Weltanschauung und hat eine Flut anderweitiger Bücher und Abhandlungen im Gefolge gehabt. Darüber kann man sich in der Geographie von Prof. Siegm. Günther (Stuttgart bei Engel Bd. I von Seite 44 ab unterrichten. Die Grundanschauung Kants ist etwa die folgende, wenn man Günter vergleicht:

Auf Grund der fast vollstendigen Rückfälligkeit im Sonnensystem und der Wirklichkeit des Newton'schen Gesetzes denke man sich, „im Anfang aller Dinge“ an der Statt des ganzen Sonnensystems in einer Kugel, die weit über die Bahn des äußersten Planeten (Jahres Urtan) hinausreichte, hielten eine vordell gewesene, also in einem fast gleichmässigen Zustande des Aufgetriebens, der als ein solcher einer Art leichten Gleichgewichts aufgetriht werden könnte. Jedes Teilchen an in einer willkürlichen Bewegung begriffen gewesen und hätte neben dem vorstehenden auch zurückstoßende Kräfte kennen: folgte der Bewegungen eines steterweise Anziehens der fernestellten Masse entstan-

den und so hätten sich Anziehungskugeln gebildet. Das innerwärtigsten gegenwärtigen Seßungen hätten auf einen Endzustand derer hingewirkt, daß die Seßungen möglichst vertrieben würden, und so entstand allmählich eine ziemlich gleichartige Kugelschwärze des gesamten Baues, wozu zugleich eine Verminderung der Attraktionsbewegung nach dem Hauptzentrum hin verbunden war. (Zentrikugelform) hielt die Anziehungskraft etwa das Gleichgewicht. In der Mitte aller Kugelschwärzen der Welt war die sich allmählich ein Körper gebildet, der oben steht der Omphalos wohl auch eine Art chemischer Weltverwandtschaft zugewandt hätte. Die Nebelteilchen in der Mitte eines der anderen Attraktionszentren hätten sich zum ersten Planeten zusammengeballt. Mit den übrigen sei schließweise dasselbe geschehen. Die Bahnen wären allmählich der Verschiedenheiten der Anziehung von der Kugelschwärze mehr oder weniger abgewichen, auch nicht ganz in der Äquatorialen Ebene ihrer Weltkugel geblieben. Die Dichten der einzelnen Planeten seien etwa umgekehrt proportional dem Abstande von der Hauptsonne gewesen.

Auch die Planeten hätten Anziehungskugeln in ihrer nächsten Umgebung gehabt, vielleicht ursprünglich derselben Kugelschwärze angehörig. Je weiter der Planet von der Sonne entfernt war, um so leichter hätte er Trabanten (Mond) bilden können, und daher nahm die Anzahl der Monde nach außen hin zu. Die mittlere Dichtigkeit aller Planeten zusammen genommen müste gleich der der Sonne sein, was ja auch Dichten für die eine ist, für die andere ist gefunden hätte. Die Monde aber hätten als Anziehung der Materie- dichter worden müssen. Die Umdrehungswachen der Himmelskörper ständen nahezu senkrecht auf der ursprünglichen Äquatorialen des Gestalles, und alle Bewegungen fanden nahezu in denselben Drehungsebene statt, wie die ursprüng-

teile des letzteren. Die Saturnringe, besonders der äußerste Ring, Meteorströme, sowie »verrückte Dämonen«. Auch die Erde habe früher einen solchen Ring gehabt, der sich »über einen kalten Wasser« (der Kerkennier, der der Saft der erlösten weissen) hingegossen habe, und dessen Ring wie eine Art von Regenbogen erschienen sei. Die Kometen hätten sich in dem größten Erdbeben gebildet usw.

Später hat Kant die Monde als Ring-Inselpaare betrachtet. Sein Versuch, die Rotationsdauer der Planeten aus einem obigen Ansatze zu erklären, mußte natürlich scheitern. Auch die Angaben über die Dichte der Planeten und Trabanten wurden falsch.

Es ist keine Kunst, den großen Philosophen zu widerlegen. Er hat nicht behauptet, daß die Kometen größtenteils rückläufig sind, sondern sie in dem Sonnensystem die Rolle fremder Objekte, die irgendwo von außen her eingeht und, nachdem sie sich der Urmassende als rückläufig heraus gestellt, in ihre Bewegungsbahn mit der »Ellipsenbahn« einen Winkel von  $90^\circ$  bildet. Die beiden Hauptmonde sind ebenfalls fast rückläufig, und für den Neptunmond ist dasselbe wahrscheinlich. Die Entstehung der Kometen ist bei Kant unklar, ebenso die der Abweichungen der (jetztigen) Bahn von der Kreisbahn. Der schon damals bekannte Flächenatz für die Planetenbewegungen wird natürlich nicht berücksichtigt, und es gibt es noch mancherlei Einwände. Kant war eben kein Mechaniker, sondern ein im ideologischen Sinne (Zweckethikethismus) arbeitender Naturphilosoph.

Groß aber war die Einwirkung seiner Nebelstahypothese auf die Zeitgenossen, die ihre Bedeutung bis zur Gegenwart nur in geringem Maße eingebüßt hat.

Man hat Vorlesungen in großer Anzahl versucht, die sämtlich von der Nebelstahypothese Gebrauch gemacht haben. Ein solcher Versuch ist auch der von Laplace, der sich durch seine »Exposition du Systeme du monde«

und seine »Mécanique céleste« bereits bekannt gemacht hatte, und dem seine Erklärungen der Astronomie und vorzüglich mathematisch-mechanische Methoden zur Verfügung standen, da die »Mécanique analytique« von Lagrange bereits existierte. (Ob wirklich Laplace die Kantische Schrift gekannt hat, wird dahingestellt bleiben.)

3. Die Laplace'sche Kosmogonie. In seiner 1829 erschienenen »Introduction a la theorie des probabilites« untersucht Laplace die Frage, welchen Grad von Wahrscheinlichkeit es hätte, daß für die wirklich beobachtete Beschaffenheit der Bewegungen im Sonnensystem eine gemeinsame Ursache vorliegt, und wie viel Wahrscheinlichkeit dafür, daß solches nicht der Fall sei. Die Wahrscheinlichkeit für das erstere war eine demartig große, daß er sich entschloß, diesen Kausalsammenhang zu untermauern. Er sollte dabei eine der Kantischen Theorien vielfach entsprechende Lehre auf.

Der weil über die Neptunbahn hinausreichende Nebelhauf, der schon bei Kant ausgedehnter besprochen wurde, habe sich von vornherein gleichförmig um seine Achse gedreht. Ursprünglich habe an seinem Äquator die Zentralagitation der Newton'schen Gravitation einen das Gleichgewicht gestiftet, aber doch nicht ganz vollständig, so daß schließlich eine bemerkbare Zusammensetzung stattgefunden habe. Bei dieser Kontraktion habe sich die Drehungsbewegung vermehrt müssen, da die Kontraktionsarbeit sich zum Teil in kinetische Energie, zum Teil in Erweichung umgewandelt hätte. Die Umformung habe sich dabei demartig beschleunigt, daß die Zentralagitation am Äquator des Nebelhaufes der Gravitationskraft überwandern hätte, demart, daß ein Ring sich gebildet und den Stoff zum neuen Planeten und gegebenenfalls zu dessen einigen Trabanten hingegossen hätte, je nachdem sich die frei verteilte Ringmasse in einen einzigen Körper oder in mehrere zusammengeballt hätte.

Der Vorgang der Drehungsbeschleunigung läßt sich dann schrittweise wiederholen, und so sei durch Abstreifung von Ringen allmählich die ganze Planetenmasse auf ihrem Trabanten entstanden.

Die nicht recht klaffenden Kometen seien als fremde Gase zu betrachten, die als kosmische Wolken zufällig in den Anziehungsbereich der Sonne gelangt wären.

Dies alles klingt sehr plausibel. Die Anhänger der Kant-Laplaceschen Lehre nahmen mit Begeisterung den bekannten Versuch des belgischen Physikers Platonus auf, der eine Quantität Olivenöl in ein Gefäß brachte, in dem sich eine Mischung von Alkohol und Wasser von dem spezifischen Gewicht des Öles befand. Das Olivenöl bildete eine Kugel, die weiter aufstieg, noch mehr und mehr. Im Gefäß aber war ein Stäbchen mit einer Metallspirale angebracht, die sich in der Mitte der Ölkugel befand und von oben her in Öffnung versetzt werden konnte. Dem Physiker gelang es, die Kugel so stark in Drehung zu versetzen, daß ein starker Abplattungseffekt wurde, während sich kleinere Kugeln bildeten, die dann sogar Ringbildung annehmen konnten.

Platonus selbst bewies durch diese Versuchsanleitung nicht als einen Beweis für die Laplacesche Lehre, sondern er erklärte ausdrücklich, die schwebende Überzeichnung sei dies zutreffend. In der Tat ist es ja der Physiker selbst, der von außen her jene Erscheinungen künstlich hervorbringt, während in dem Nebellila alles von selbst geschehen zu sein scheint.

Einen ferneren Beweis fand man in den Beobachtungen der Nebellila, die, wie die Spektralanalyse zeigte, zum Teil nicht in Sternhaufen auftreten, sondern als leuchtende Gaswolken zu betrachten sind, die jenen Nebellila ähnlich. Man erwähnte bei erstmalig folgende Stern-Typen: a) reine Nebellila ohne sichtbaren Kern; b) planetarische Nebel mit bereits leuchtendem Kern; c) Gruppe Sechs I, der leuchtende Kern ist zum Fixstern geworden und ist als abge-

schieden von der ihn umgebenden Masse zu betrachten. d) Gruppe Sechs II (Sonnentypus), starker erhellte Planeten umkreisen den Fixstern; e) Veränderliche Sterne (Algoltypus), die erklären sich zum Teil dadurch, daß ein dunkler Begleiter des leuchtenden Stern periodisch teilweise bedeckt, was bei Doppelsternen vorkommen könnte; f) Sterne mit hoher, nicht mehr leuchtender Oberfläche, die aber leuchtende Vulkanusbrüche ausstrahlen machen (Erde); g) Sterne in vollständiger Erklärung, wie unser Mond.

Auch gegen die Laplacesche Theorie erhoben sich Einwände aller Art, während andere mehr oder weniger wissenschaftliche Versuche zu ihrer Unterstützung machten. Als Kuriosität sei die Habermachersche Hypothese angeführt, welche die Entstehung des Erdmondes dahin schilderte, der hypothetische Ring sei an einer Stelle gebrochen, habe sich nach dem Antipodenzentrum hin zusammengebeugt, und die Wucht des Zusammenstoßes sei darauf gewesen, daß in die Erdoberfläche jene Kerne eingebracht würden sei, die jetzt als Beil des atlantischen Ozeans sichtbar sei.<sup>21</sup>

Alle Rettungsversuche, die für die Laplacesche Abschlüßentheorie von Ringen gemacht worden sind, müssen als verfehlt betrachtet werden. Meines Erachtens liegt schon in der Helmholtzschen Hypothese der Todesstoß ins Herz der Abschlüßentheorie. Ohne dies hier mit Rechnungen zu belegen, die ich anderweitig veröffentlicht habe, will ich es auf Grund der obigen Bemerkungen grobverständlich zu belegen versuchen.

Angenommen, das Sonnen, was es gegenwärtig ist, richte sich um 0.0001 des Durchmessers zusammen, so bildet infolge der Gravitationskraft eine Energie, die vollständig in Wärme umgewandelt, die jähige Ausstrahlung auf 2360 Jahre decken kann. Man wird, wie gesagt, den Fille müßig.

a) Erfolgt diese Kontraktion gerade in dieser Zeit, so wird die gesamte

gewonnene Energie durch die infolge der Ausstrahlung verloren gehende Energie vollständig aufzuhebt. Das gesamte kinetische Energie des Sonnenballes also bleibt dabei unverändert. Hier handelt es sich nicht um die fortschreitende Bewegung des Sonnenballes im Raume, sondern nur um seine Drehbewegung, um die seiner Temperatur entsprechenden Materialschwingungen und um die ebenso wichtigen innermolekularschwingungen, auch etwaige Adernschwingungen. Bleiben die letzteren Schwingungsarten unverändert, so bleibt die Drehungsgeschwindigkeit der Sonne unverändert. Bei Herabsetzung des Radius auf die Hälfte wird die Zentrifugalschleunigung am Äquator ebenso, wie die Zentrifugalkraft vergrößert. Dafür wird aber die Schwerkraft in der Sonnenoberfläche nach dem Newtonschen Gesetz viermal so groß (weil der Radius auf die Hälfte herabgesetzt ist). Unter Abplattungsfaktor versteht man das Verhältnis der Zentrifugalschleunigung am Äquator zur Fallgeschwindigkeit an der Oberfläche bzw. das der dazu gehörigen Kräfte. Demnach geht bei der Kontraktion auf die Hälfte des Radius der Abplattungsfaktor auf die Hälfte zurück! Von einer Neigung der Achsenänderungen kann demnach bei der jetzigen Sonne gar nicht die Rede sein. Ihre Abplattung ist nach den Berechnungen von Auer von hohem 0.00002 (0.00002) bei einem möglichen Fehler von  $(\pm 0.00002)$  was kaum merkbar ist. Selbst in 25 Tagen rückt um die Achse zu rotieren, müßte es in 3 Stunden um die Achse laufen, d. h. die 200fache Drehungsgeschwindigkeit erhalten. Woher soll die dazu gehörige Energievergrößerung<sup>1)</sup> genommen werden, wenn die durch die Kontraktionsarbeit gewonnene Energie ganz für die Deckung der Ausstrahlung gebraucht wird? Schon die jetzige überaus geringe Drehungsgeschwindigkeit spricht gegen die Laplace'sche Theorie, die doch auf eine un-

abhängige Zunahme der Rotation gegnädet wird.

b) Nimmt man an, der betreffende Verkleinerung des Sonnenradius nehme mehr als 2500 Jahre in Anspruch, so nicht die gewonnenen Quantitätenarbeit nicht einmal aus, das Ausstrahlungsverlust zu decken! Dann müßte also der Abplattungsfaktor noch stärker abnehmen, als bei der Annahme a). Zu dieser Folgerung ist auch jeder gezwungen, der annimmt, die Sonne sei ursprünglich in irgendwelcher Abkühlung befindlich. Und dieser Ansicht bedürfte mit Recht die meisten Astrophysiker und Geologen.

c) Nimmt man an, die obige Verkleinerung erfolge in erheblich kürzerer Zeit als 2500 Jahre, so wird allerdings die Ausstrahlung nicht nur gedeckt, sondern es bleibt noch Energie übrig. Dieser Rest aber verteilt sich zunächst auf die Erhöhung der Temperatur und eine etwaige Aufhebung der unter a) nachgewiesenen Abnahme des Abplattungsfaktors. Ob diese Abnahme in dieser Zeit aufgehoben werden kann, müßte erst als möglich auf Grund irgend welcher physikalischer Annahmen nachgesehen werden. Mit Bestimmtheit aber behaupte ich, daß jeder kleine Rest von Energie nicht insofern ist, in jener Zeit der Drehungsgeschwindigkeit der Sonne auf den 200fachen Betrag zu steigern und damit eine Hauptbewegung zu ermöglichen. Daraus kann absolut nicht die Rede sein, wenn man das Stabilität der Ausstrahlungsgröße annimmt und dadurch die von Witter ausgeht und von Scherer noch erhöhte Zunahme der Ausstrahlungsfähigkeit annimmt.

Nun könnte eingewandt werden, die Zunahme der Drehungsgeschwindigkeit sei ganz unabhängig von dem Warmzustand der Sonne und ergäbe sich aus dem Problem der 4 Punkte als selbstverständlich. Für zwei Missverständnisse ergibt sich aber folgendes. Der Schwerpunkt bewegt sich auf konstanter Geschwindigkeit um Weltraum. Um diesen Punkt bewegen sich die beiden

<sup>1)</sup> Sie würde etwa die 4000fache sein!

Körper so, daß, wenn man sich den Schwerpunkt als unbewegt vorstellt, die beiden Punkte sich in identischen Kegelschnitten um ihn bewegen, in denen einem (gemeinschaftlichen) Brennpunkte der Schwerpunkt liegt. Die Dimensionen der identischen Kegelschnitte sind umgekehrt proportional dem Massen. Sind sie Ellipsen, so geschieht der Umlauf in derselben endlichen Zeit für beide periodisch (Planetenjahr). Projiziert man dabei die Bewegungen bei nebeneinander Schwerpunkt auf eine Ebene, so werden von den vom Schwerpunkt ausgehenden Vektoren in gleichen Zeiten gleiche Flächen überstrichen. Sind aber die Kegelschnitte Hyperbeln oder Parabeln, so ist das Jahr von unendlicher Länge und beide entfernen sich um eine ins Unendliche wachsende Strecke voneinander. Ferner gilt das Gesetz der lebendigen Kraft  $T + U = c$ . Hier bedeutet  $T$  die kinetische Energie,  $U$  eine »Potentialarbeit«, die nötig ist die Entfernungen zu vergrößern, die sogenannte potentielle Energie. Nimmt die Entfernung um mit ihr  $U$  zu, so nimmt  $T$  um denselben Betrag ab, nimmt dagegen die Entfernung und mit ihr  $U$  ab, so wächst  $T$  um denselben Betrag. So erklärt sich z. B. bei der Erde der geringe Geschwindigkeits in der Sonnenferne, die größer ist der Sonnennähe.

Die genannten drei Gesetze gelten nur unter der Voraussetzung, daß die Bewegung eine Bewegung im leeren Raum geschieht und die beiden Körper nicht etwa geradlinig aufeinander fliegen. Ferner müssen die Durchmesser der Körper gegen ihre gegenseitigen Entfernungen so klein sein, daß man sie als Massenpunkte betrachten darf.

Schon für den Körper wird die Berechnung der Wege so schwierig, daß obwohl aus den drei Gesetzen bestehen bleiben, die höheren Rechnungen noch nicht die Bahnkurven leicht machen konnten. Dasselbe gilt vom Problem der  $n$ -Körper. Die beiden letzten Gesetze werden aber auch dann gelöst, sobald einleuchtend

Zusammenstöße zwischen Körper stattfinden. Dann geht ein Teil der kinetischen Energie verloren und es findet entweder Zerfallenergie statt, oder es treten wenigstens kräftige Molekularschwingungen auf, deren Temperaturerhöhung und andere physikalische Erscheinungen verbunden sind. Die bei der Laplace'schen Leine auftretenden Zusammenstöße von Atomen oder Molekülen sind zunächst im Sinne der kinetischen Gastheorie, später im Sinne der Masseneinheit als Zusammenstöße zu betrachten, ebenso das Fließen von Molekülen auf der Weltkugel. Ein großer Teil der Massenergie geht in die Energie der Molekularschwingungen über, die hauptsächlich die Temperatur erhöhen und in Form der gesamten Ausstrahlungen nach außen hin Energie abgeben. Diese Schwingungen haben mit der Newton'schen Attraktion gar nichts zutun. Folglich: Sowohl der Satz von der lebendigen Kraft als auch der Flächensatz werden durch das Auftreten der Molekular- und Interatomarschwingungen hinfällig. Die obigen Betrachtungen über zeigen, daß es nicht in geringem Maße, sondern für große Zeiträume in derartig gewaltiger Weise abgelenkt werden, daß die Mechanik des Sonnensystems einer durchgreifenden Revision unterworfen werden muß. Jeder Versuch, die Laplace'sche Abschließungslehre mit Hilfe des Flächensatzes oder des Satzes von der lebendigen Kraft zu retten, wird und muß scheitern.

Daraus ist daran, die unsere Himmelsmechanik aufgebaut haben, kein Vorwurf zu machen, denn sie haben selbst zugestanden, daß es sich bisher bei dieser nur um eine große Annäherung handelte, die mit der Wirklichkeit zunächst nichts zu tun haben und nur eine rohe Annäherung geben konnte. Nachdem aber die Warme mechanik und die kinetische Gastheorie zu verhältnismäßigem Aufbau gelangt sind, tritt die Notwendigkeit so ein herzu, die Himmelsmechanik entsprechend zu revidieren, nicht nur der Mole-

kulterndwingsgen wegen, sondern auch wegen der Notwendigkeit, den Tügel der Ausbreitungswelt, des Äthers, zu berücksichtigen. Eine Art von Nebularhypothese kann dabei vielleicht bestehen bleiben, die Abschleudungstheorie aber nicht. Nur durch Zusammenstöße können Abschleudungen verursacht werden, wie sie wahrscheinlich auch bei der vor zwei Jahren erschienenen Nova Persei auftraten, die plötzlich aufleuchtete, langsam erlich und jetzt Spinnwebel sagt. Solche Fundationen sind von größter Wichtigkeit. Gilt es doch auch, Klarheit über den rechten Sitz der Wärmebecken zu erhalten, nach dem infolge der durch Strahlung vermittelten Temperatursausgleich die Welt einem Zustand zueilt, in dem also dieselbe Temperatur erlitt, so daß in

allerdings sehr kurzer Zukunft keine Sonne mehr leuchtet, kein organisches Leben bestehen kann und vorzeitigem allgemeinen Tod harrschen wird. Die Welt ist nach unserer Vorstellungswelt unendlich groß, von dem in der Herrschaft aufgezeichneten Maßen, ebenso von deren Unmöglichkeit, gilt für unser beschränktes Erfassungsvermögen dasselbe. Man kann gemächlich immerhin sagen, daß erst nach unendlich großen Zeiträumen ganz Ende unserer Schöpfung droht. Aber vielleicht stellen auch die angesagten Saten nur eine Abschleudung dar, so daß sie der Wirklichkeit wohl recht wenig entsprechen. Daß aber solche Fragen für die Ausgestaltung unserer gesamten Weltanschauung von außerordentlicher Bedeutung sind, wird niemand leugnen.

## Mare Erythraeum auf dem Mars.

Veränderungen im Mare Erythraeum auf dem Mars hat Perseus Lowell im Frühjahr und Sommer 1903 entdeckt und beobachtend verfolgt<sup>1)</sup>. Es handelt sich um ein sehr reiches, dunkles Felsenwunder. Die Farbe der großen dunklen Fläche auf der Marsoberfläche ist gewöhnlich deutlich blaugrün und diese Färbung wird dunkler oder heller je nach der Jahreszeit und in den südlichen Polargegenden nimmt sie im Herbst zwischen einem oberflächigen Ton an. An der Oberfläche gewöhnlich war P. Lowell überrascht am 19. April 1903 das ganze Mare Erythraeum bei dem Süden von Syria von schokoladenbrauner Färbung zu erblicken, während Syria selbst wie gewöhnlich aussah<sup>2)</sup>. Der Unterschied

der Färbung war höchst auffallend und durchaus nicht zu übersehen, so war es, wenn eine Decke über diese ganze Region gezogen wäre von der Spitze der Lyba im Osten bis zur Mitte von Arctus im Westen. Bei der letzten Beobachtung dieser Region unter ähnlichen günstigen Verhältnissen, am 22. März, war keine besondere Eigentümlichkeit der Färbung wahrnehmbar gewesen. Am 20. April war die schokoladenbraune Färbung über dem Mare Erythraeum abermals deutlich und wurde noch wahrgenommen, als der Meridian von 310° auf der West der Marsoberfläche stand; am 21. und 22. April zeigte sich das Glatte als der Meridian der Mitte der Scheibe 248° war. Als diese Gegend aber am 26. Mai wiederum zu Gesicht kam hatte sie ihre braune Färbung verloren, außer im südlichen Teile in der Umgebung von Hellas. Auch in den folgenden Tagen wurde das Fehlen der

<sup>1)</sup> Lowell Observatory Bulletin No. 7.

<sup>2)</sup> Diese und die später genannten Beobachtungen finden sich auf den Planeten (in. Sept. 1904, Tafel 14 und Sept. 1903, Tafel 1).

Färbung konstant bis zum 30. Mai, so dass die Aufzeichnungen schließlichs keine sicheren Schlussverweise über Region, vom 30. Juni bis 7. Juli, konnte auch keine Spur der Färbung gesehen werden. Aus diesen Beobachtungen ergibt sich, daß die schokoladenbraune Färbung des M. Erythraeum zwischen Syrien major und Hellas im Norden und Süden und Syrien minor bis Desvassiers regio im Osten und Westen, während des Monats März 1903 nicht so merklich hervortrat, daß sie beachtet wurde, daß sie dagegen auffällig war im April, während sie im Mai überhört worden begann und im Monats Juni und Juli völlig verschwand. Um das richtige Verständnis für diesen Wechsel zu gewinnen ist zu bemerken, daß das Maximum der schokoladenbraunen Farbe zusammenfällt mit dem Minimum der blaugrünen Färbung, indem eine an Stelle der anderen tritt. Unter Berücksichtigung des Umstandes, daß die dunkelbraune Färbung zuerst im nördlichen Teile des Meer beobachtet begann, im südlichen sich aber eine gewisse Zeit länger erhielt, tritt Lowell die ganz davon betroffene Region in einen nördlichen und einen südlichen Teil und verfolgt das Verhalten jeder derselben durch Zeichnung von Kurven. Das Datum dafür, nach im März war die blaugrüne Färbung vorhanden, im April beschränkte sie nicht mehr die ganze Fläche, im Mai ist die dunkelbraune Färbung im südlichen Teile verschwunden, zeigt aber noch im nördlichen eine gewisse Ausdehnung: Mai 28: 14° 21' N. Z. von Greenwich konnte der Beobachter die braune Färbung im M. Erythraeum mit Sicherheit nicht erkennen, aber die Küste, besonders Crete, waren deutlich, der Hintergrund muß also weniger dunkel gewesen sein. Am 28. Mai heißt es: „Brauner Schlier über das M. Erythraeum nicht so ausgebreitet und nicht

im Tone als früher, sehr sehr nahe bei Hellas herum.“ etwas später: „Nur Spuren der Färbung des M. Erythraeum unter Hellas bemerkt.“ Mai 29: „M. Erythraeum etwas schokoladenfarbig im Süden, bei Sagara und beinahe schon größtenteils jedoch verschwunden. Am 3. Juli erschien der nördliche Teil des M. Erythraeum wieder in seiner normalen Farbe, der südliche in der Mitte von Hellas ungesättigter bläulich. Aus einer ganz neuen Diskussion schließt Lowell, daß die Zunahme der blaugrünen Färbung nur durch Ausbreitung von Vegetationsformen erklärt sei, die große Wasserflächen auf dem Meer nicht vorgefunden worden können. Die dunklen Flecke, die man ebenfalls für Meere ansehe, sind flache, sehr tiefer liegende Regionen, eine Art Ufergürtel, in welche die vorhandene Fruchtbarkeit zusammenfällt oder abgeleitet ist. Wenn derselben von Vegetation bedeckt wird, so tragen sie aus einer blaugrünen Färbung, wodurch aber der Pflanzenwuchs, so wird dadurch die Farbe der Landschaft hellere oder was Lowell für wahrscheinlich hält, es wird durch die Maruboden selbst odorbare Fruchtbarkeit getrieben wird derselbe bläulich schokoladenbraun aussehen und nicht odorig wie in den Wüsten. Auf diese Weise erklärt der amerikanische Maruboden der schokoladenfarbene Aussehen des Meer Erythraeum auf der Höhe seiner hohen Salzen. Derselbe Erklärung läßt sich nach Lowell auch auf die von Schlegersell entdeckte rothbraune Farbe einiger Küste anwenden, die er ebenfalls im Mai 1903 wahrgenommen hat. Diese Färbung ist nämlich nicht die des eigentlichen Kalks, den wir von der Erde aus vermuthlich gar nicht sehen können, sondern der Umgebung derselben reiche und folgt auf einer ganzen Endrockung, die in großer Breite periodisch von Pflanzenwuchs bedeckt ist.







Name	B. & 1900	Dec. 1900	Mag.	Alt.	Parallax	1900-1901 Run Feet/Sec	Remarks	
	B	W	A					
100 Cygni	10.0	+4.44	5	5.7	< 10	—	1000	Williams
101 Cygni	10.0	+4.45	5	5.8	10.4	5.8 +	1000	Williams
102 Cygni	10.0	+4.47	5	5.9	< 10	10.0	1000	Williams
103 Cygni	10.0	+4.48	12	6.0	10	10.7 +	1000	Williams
104 Cygni	10.0	+4.49	20	6.1	< 10.0	10.0	1000	Fanning
— Cygni	10.0	+4.50	12	—	—	—	1000	Dunne
105 Cygni	10.0	+4.51	20	7.0	10.1	10.1 +	1000	(Dunne)
— Cygni	10.0	+4.52	20	—	—	—	1000	Fanning
106 Cygni	1.7	+4.53	20	8.0	10.2	—	1000	Fanning
107 Cygni	1.0	+4.54	5	5	< 10	10.7	1000	Williams
108 Cygni	1.0	+4.55	5	5	10.7	10.0 +	1000	Fanning
— Cygni	1.0	+4.56	12.4	5	10.7	1.4 +	1000	L. Corradi
109 Cygni	1.0	+4.57	10	5.0	< 10.0	11.0 +	1000	Fanning
110 Cygni	1.0	+4.58	10	5.7	< 17	10.0	1000	Corradi
111 Cygni	1.0	+4.59	5	5	< 10	10.0	1000	Corradi
112 Cygni	1.0	+4.60	5	5	< 10	11.4	1000	Corradi
113 Cygni	1.0	+4.61	5.4	5.4	—	—	1000	Fanning
114 Cygni	1.0	+4.62	5	5.1	10.0	10.0	1000	Corradi
115 Cygni	1.0	+4.63	5.0	5	< 11	11.0	1000	Corradi
116 Cygni	1.0	+4.64	5	5	10	10.0	1000	Corradi
117 Cygni	1.0	+4.65	7.0	5.0	—	—	1000	Wells
118 Cygni	1.0	+4.66	5	5.0	10.0	10.0	1000	Corradi
119 Cygni	1.0	+4.67	5	5.0	10.0	10.0	1000	Corradi
120 Cygni	1.0	+4.68	5	5.0	10.0	10.0	1000	Corradi
— Cygni	1.0	+4.69	5	5.0	10.0	10.0	1000	Corradi
121 Cygni	1.0	+4.70	5	5.0	10.0	10.0	1000	Corradi
122 Cygni	1.0	+4.71	5	5.0	10.0	10.0	1000	Corradi
123 Cygni	1.0	+4.72	5	5.0	10.0	10.0	1000	Corradi
124 Cygni	1.0	+4.73	5	5.0	10.0	10.0	1000	Corradi
125 Cygni	1.0	+4.74	5	5.0	10.0	10.0	1000	Corradi
126 Cygni	1.0	+4.75	5	5.0	10.0	10.0	1000	Corradi
127 Cygni	1.0	+4.76	5	5.0	10.0	10.0	1000	Corradi
128 Cygni	1.0	+4.77	5	5.0	10.0	10.0	1000	Corradi
129 Cygni	1.0	+4.78	5	5.0	10.0	10.0	1000	Corradi
130 Cygni	1.0	+4.79	5	5.0	10.0	10.0	1000	Corradi
131 Cygni	1.0	+4.80	5	5.0	10.0	10.0	1000	Corradi
132 Cygni	1.0	+4.81	5	5.0	10.0	10.0	1000	Corradi
133 Cygni	1.0	+4.82	5	5.0	10.0	10.0	1000	Corradi
134 Cygni	1.0	+4.83	5	5.0	10.0	10.0	1000	Corradi
135 Cygni	1.0	+4.84	5	5.0	10.0	10.0	1000	Corradi
136 Cygni	1.0	+4.85	5	5.0	10.0	10.0	1000	Corradi
137 Cygni	1.0	+4.86	5	5.0	10.0	10.0	1000	Corradi
138 Cygni	1.0	+4.87	5	5.0	10.0	10.0	1000	Corradi
139 Cygni	1.0	+4.88	5	5.0	10.0	10.0	1000	Corradi
140 Cygni	1.0	+4.89	5	5.0	10.0	10.0	1000	Corradi
141 Cygni	1.0	+4.90	5	5.0	10.0	10.0	1000	Corradi
142 Cygni	1.0	+4.91	5	5.0	10.0	10.0	1000	Corradi
143 Cygni	1.0	+4.92	5	5.0	10.0	10.0	1000	Corradi
144 Cygni	1.0	+4.93	5	5.0	10.0	10.0	1000	Corradi
145 Cygni	1.0	+4.94	5	5.0	10.0	10.0	1000	Corradi
146 Cygni	1.0	+4.95	5	5.0	10.0	10.0	1000	Corradi
147 Cygni	1.0	+4.96	5	5.0	10.0	10.0	1000	Corradi
148 Cygni	1.0	+4.97	5	5.0	10.0	10.0	1000	Corradi
149 Cygni	1.0	+4.98	5	5.0	10.0	10.0	1000	Corradi
150 Cygni	1.0	+4.99	5	5.0	10.0	10.0	1000	Corradi
151 Cygni	1.0	+5.00	5	5.0	10.0	10.0	1000	Corradi
152 Cygni	1.0	+5.01	5	5.0	10.0	10.0	1000	Corradi
153 Cygni	1.0	+5.02	5	5.0	10.0	10.0	1000	Corradi
154 Cygni	1.0	+5.03	5	5.0	10.0	10.0	1000	Corradi
155 Cygni	1.0	+5.04	5	5.0	10.0	10.0	1000	Corradi
156 Cygni	1.0	+5.05	5	5.0	10.0	10.0	1000	Corradi
157 Cygni	1.0	+5.06	5	5.0	10.0	10.0	1000	Corradi
158 Cygni	1.0	+5.07	5	5.0	10.0	10.0	1000	Corradi
159 Cygni	1.0	+5.08	5	5.0	10.0	10.0	1000	Corradi
160 Cygni	1.0	+5.09	5	5.0	10.0	10.0	1000	Corradi
161 Cygni	1.0	+5.10	5	5.0	10.0	10.0	1000	Corradi
162 Cygni	1.0	+5.11	5	5.0	10.0	10.0	1000	Corradi
163 Cygni	1.0	+5.12	5	5.0	10.0	10.0	1000	Corradi
164 Cygni	1.0	+5.13	5	5.0	10.0	10.0	1000	Corradi
165 Cygni	1.0	+5.14	5	5.0	10.0	10.0	1000	Corradi
166 Cygni	1.0	+5.15	5	5.0	10.0	10.0	1000	Corradi
167 Cygni	1.0	+5.16	5	5.0	10.0	10.0	1000	Corradi
168 Cygni	1.0	+5.17	5	5.0	10.0	10.0	1000	Corradi
169 Cygni	1.0	+5.18	5	5.0	10.0	10.0	1000	Corradi
170 Cygni	1.0	+5.19	5	5.0	10.0	10.0	1000	Corradi
171 Cygni	1.0	+5.20	5	5.0	10.0	10.0	1000	Corradi
172 Cygni	1.0	+5.21	5	5.0	10.0	10.0	1000	Corradi
173 Cygni	1.0	+5.22	5	5.0	10.0	10.0	1000	Corradi
174 Cygni	1.0	+5.23	5	5.0	10.0	10.0	1000	Corradi
175 Cygni	1.0	+5.24	5	5.0	10.0	10.0	1000	Corradi
176 Cygni	1.0	+5.25	5	5.0	10.0	10.0	1000	Corradi
177 Cygni	1.0	+5.26	5	5.0	10.0	10.0	1000	Corradi
178 Cygni	1.0	+5.27	5	5.0	10.0	10.0	1000	Corradi
179 Cygni	1.0	+5.28	5	5.0	10.0	10.0	1000	Corradi
180 Cygni	1.0	+5.29	5	5.0	10.0	10.0	1000	Corradi
181 Cygni	1.0	+5.30	5	5.0	10.0	10.0	1000	Corradi
182 Cygni	1.0	+5.31	5	5.0	10.0	10.0	1000	Corradi
183 Cygni	1.0	+5.32	5	5.0	10.0	10.0	1000	Corradi
184 Cygni	1.0	+5.33	5	5.0	10.0	10.0	1000	Corradi
185 Cygni	1.0	+5.34	5	5.0	10.0	10.0	1000	Corradi
186 Cygni	1.0	+5.35	5	5.0	10.0	10.0	1000	Corradi
187 Cygni	1.0	+5.36	5	5.0	10.0	10.0	1000	Corradi
188 Cygni	1.0	+5.37	5	5.0	10.0	10.0	1000	Corradi
189 Cygni	1.0	+5.38	5	5.0	10.0	10.0	1000	Corradi
190 Cygni	1.0	+5.39	5	5.0	10.0	10.0	1000	Corradi
191 Cygni	1.0	+5.40	5	5.0	10.0	10.0	1000	Corradi
192 Cygni	1.0	+5.41	5	5.0	10.0	10.0	1000	Corradi
193 Cygni	1.0	+5.42	5	5.0	10.0	10.0	1000	Corradi
194 Cygni	1.0	+5.43	5	5.0	10.0	10.0	1000	Corradi
195 Cygni	1.0	+5.44	5	5.0	10.0	10.0	1000	Corradi
196 Cygni	1.0	+5.45	5	5.0	10.0	10.0	1000	Corradi
197 Cygni	1.0	+5.46	5	5.0	10.0	10.0	1000	Corradi
198 Cygni	1.0	+5.47	5	5.0	10.0	10.0	1000	Corradi
199 Cygni	1.0	+5.48	5	5.0	10.0	10.0	1000	Corradi
200 Cygni	1.0	+5.49	5	5.0	10.0	10.0	1000	Corradi

Name	R. A. 1885	Dec. 1885	Magn.	Mis.	Periods	1885-86 R.A. Driftung	Entfernung
1. Cephei	22 21.0	+47 54	3.5	0.3	1.4 +	1890	Explos.
2. Cassiopeiæ	22 22.6	+47 51	3.4	< 10.0	225.0	1891	Explosionsfleck
3. Cassiopeiæ	22 23.0	+47 54	3	—	—	1890	Explos.
4. Aquarii	22 2.0	+21 52	3	34.2	270.7	1892	Agglutinator
5. Pegasi	22 6.0	+27 24	3.0	3.7	50	1892	S. Komete
6. Pegasi	22 6.0	+27 24	3.0	< 12.0	—	1893	Flarefleck
7. Cassiopeiæ	22 7.0	+47 50	3.4	33.3	225.0 +	1893	Flare
8. Cassiopeiæ	22 7.0	+47 50	3.4	33.3	50	1893	Flarefleck
9. Cassiopeiæ	22 7.4	+47 50	3.4	33.4	33.0	1893	Agglutinator
10. Cassiopeiæ	22 7.4	+47 50	3.4	33.4	33.7	1893	Agglutinator
11. Pegasi	22 7.0	+27 24	3.4	33.0	33.0	1893	Merkel
12. Cassiopeiæ	22 7.4	+47 50	3.4	< 10.0	—	1893	Flarefleck
13. Cassiopeiæ	22 7.4	+47 50	3.4	—	—	1893	Flarefleck
14. Cassiopeiæ	22 7.4	+47 50	3.4	3.0	225.0 +	1893	Flarefleck
15. Cassiopeiæ	22 7.4	+47 50	3.4	33.0	—	1893	Agglutinator
16. Cassiopeiæ	22 7.4	+47 50	3.4	33.0	33.7	1893	Flarefleck
17. Cassiopeiæ	22 7.4	+47 50	3.4	33.0	33.7	1893	Flarefleck
18. Cassiopeiæ	22 7.4	+47 50	3.4	33.0	33.7	1893	Flarefleck
19. Cassiopeiæ	22 7.4	+47 50	3.4	33.0	33.7	1893	Flarefleck
20. Cassiopeiæ	22 7.4	+47 50	3.4	33.0	33.7	1893	Flarefleck
21. Cassiopeiæ	22 7.4	+47 50	3.4	33.0	33.7	1893	Flarefleck
22. Cassiopeiæ	22 7.4	+47 50	3.4	33.0	33.7	1893	Flarefleck
23. Cassiopeiæ	22 7.4	+47 50	3.4	33.0	33.7	1893	Flarefleck
24. Cassiopeiæ	22 7.4	+47 50	3.4	33.0	33.7	1893	Flarefleck
25. Cassiopeiæ	22 7.4	+47 50	3.4	33.0	33.7	1893	Flarefleck
26. Cassiopeiæ	22 7.4	+47 50	3.4	33.0	33.7	1893	Flarefleck
27. Cassiopeiæ	22 7.4	+47 50	3.4	33.0	33.7	1893	Flarefleck
28. Cassiopeiæ	22 7.4	+47 50	3.4	33.0	33.7	1893	Flarefleck
29. Cassiopeiæ	22 7.4	+47 50	3.4	33.0	33.7	1893	Flarefleck
30. Cassiopeiæ	22 7.4	+47 50	3.4	33.0	33.7	1893	Flarefleck

## Der Ringnebel in der Leyer.

**D**ieser Nebel ist umlagert von Paul Scherzer auf der Sternwarte in Ann Arbor (N.-A.) photographirt worden. Derselbe bedient sich dazu eines Spiegelteleskops, dessen parabolischer Spiegel bei 33 cm inner Öffnung nur eine Brennweite von 0.5 m besitzt, also in Bezug auf Lichtstärke die gleichzeitigen photographischen Fernrohre übertrifft. Von dem Zentralsystem des Nebels gehen auf der Photographie zwei spiralförmige Strahlen aus, die sich allmählich voneinander entfernen und einander durchkreuzend den bekannten ringförmigen Ring bilden. Auch über diesen hinaus trägt die Photographie noch ihre Nebelungen, sodass das Gebläse

im großen und ganzen an die Spiralnebel erinnert. Das nämliche gilt auch Scherzers Aufnahmen von dem Nebel im Fache (NGK 5853), den Ross unter dem Namen Dumbbell beschrieben und gezeichnet hat. Auch der große Sternhaufen im Herkules (NGK 5852) trägt nach Scherzers Photographie kein spiralförmiges Nebel, auf dem sich die Sterne prägen, obgleich im Jahr weder die großen Teleskope noch andere Photographen an diesem Haufen die geringste Spur von Nüchternheit gezeigt hatten. Allerdings ist die Scherzerische Instrumente infolge seiner kurzen Brennweite so außerordentlich lichtstark, daß es nach einer Belichtung von nur

wenigen Minuten auf der photographischen Platte die feinsten Sterne hervorruft, die nur am Verkleinertlichter durchgesehen werden können, und therefore hat das Einschreiben zwar keinen Nebelzirkeln in dem großen Sternhaufen im Herkules nicht durchaus Auffallendes. Indessen ist doch zu wünschen, daß der von Schwarzschild mit seinem Instrumente

erhaltene Resultate von unserer Seite Bestätigung finden. Dieses photographische Spiegelteleskop hat übrigens in Folge seiner kurzen Brennweite nur ein sehr kleines unverzerrtes Gesichtsfeld, etwa von 30" Durchmesser) und auch die Dauer der Belichtung darf 1 Stunde nicht sehr übersteigen, da sonst Schlierenbildung eintritt.

—

## Johann Keppler, der Gesetzgeber der neueren Astronomie.

(Schluß.)

**E**ber Kepplers Lebensabend schenkte Professor Müller folgendes: »Mit Vollendung der »Rudolphiischen Tabellen« die dringste Aufgabe, welche dem kaiserlichen Mathematikus anvertraut war, gek. Ferdinand II. höchlich belohnt, kündigte dem Astronomen, als dieser im December 1627 sein Werk in Wien persönlich überreichte, die ausserordentliche Summe von 4000 Gulden an. Außerdem ließ er den Betrag erlösen, alle nach rückständigen Gelder auszusuchen. Da dies jedoch nicht schon geschehen konnte, so sorgte man dafür, dem verdienstvollen Manne wenigstens eine mäßige Lebensstellung zu sichern. Es schenkte seinem Genuß bei Hofe der Kaiser, ihn dem mächtigen Generalissimus der kaiserlichen Truppen, dem reichen Herzog von Friedland und Sagan, Albrecht von Wallenstein, zu empfehlen.

Dieser nahm mit Freuden den berühmten Sternforscher in seinen Dienst und ließ ihn von seinem Wohnort nach Sagan (in Schlesien) zu versetzen, wo Wallenstein eben damals war, sich eine prachtvolle Residenz zu bauen, und wo er auch die Gründung einer Hochschule geplant zu haben scheint. Dort, meinte er, könne Keppler ungestört seinen Studien obliegen, im Mitteln zum Druck seiner Werke solle es nicht fehlen. Da Keppler zumutete, schenkte Wallenstein sofort an den damaligen Landeshauptmann

Grafen Kautz und sagte ihm an, daß der Ehrenrat und hochgelehrte Johann Kepplerus in Sagan zu wohnen begähre:

»Wirdet ihr ihm auch, weil er ausgezeichnet und hochberühmter Mann in der Mathematik und Astronomie ist, bewilligt haben, deswegen an Euch Unser beehl, daß Ihr ihn nicht allein mit einer bequemen Wohnung gegen kaiserliche Besatzung versehen, sondern auch sonsten in allen die verhältnißliche Hand litten und denselben Euch wohl recommendirt sein lassen sollet. (Und verordneten Euch mit Fürstlichen Gnaden gewogen.)

Um die Mitte des Jahres 1633 zog dann Keppler natural seiner Familie nach Sagan.

Wallenstein machte den Sternforscher wohl mehr als seinen Hofastronomen betrachten. Wiewohl er auch er ab und zu aus seinen Kriegslagern Fragen und Probleme solcher Art an Keppler, so wünschte er z. B. was grünte Melvold des Königs von Ungarn, verglichen mit der sonstigen, dass die des Kaiser, und seiner Kinder, dass die des Königs von Spanien u. dgl. Keppler antwortete, so gut es ging.

Mit der regelmäßigen Auszahlung des Honorars scheint es nicht nach beim Herzog von Friedland und Sagan Schwierigkeiten gehabt zu haben. Durch den Verlust seiner neuen Landesver-

welt, Dr. Thomas Lindemann, ließ er Koppeler zwar eine Professur der Mathematik in Rostock anbieten, allein dieser machte unter Bedingungen: Erwirkung der ausserordentlichen Erlaubnis des Kaisers und volle Ausstattung des Ordinariatsstandes. Daraus schloste die Beratung. Statt dessen unternahm Koppeler im Spätherbst 1630 eine Reise nach Regensburg, wo eben eine Reichstagsversammlung abgehalten wurde. Zunächst wünschte er für den Verkauf seiner in Bayreuth fertiggestellten »Ephemeriden« zu sorgen; dann hoffte er auch bei mehreren seiner Bekannten in Steiermark und Oberösterreich einiges Geld zu erhalten; endlich aber und hauptsächlich wünschte er in Regensburg selbst die Erledigung seiner Geldangelegenheiten mit den kaiserlichen Zahlmeistern in Ordnung zu bringen. Koppeler nahm seinen Weg über Leipzig, wo er auch mehrere Tage bei dem ihm befreundeten Prof. Philipp Müller ankam.

Von Leipzig traf er nach einem sehr anstrengenden Reite in den ersten Tagen des November in Regensburg ein. Kaiser vorhanden mit heftigem Fieber warf ihn auf Krankenlager und besuchte ihn in wenigen Tagen in den Rand des Ortes. Der Kaiser ließ sich mehrmals angelohnen, selbst nach dem Zustande des Kranken erkundigen und soll ihm vor seinem Abbruch 30 ungarnische Goldgulden übersandt haben. Leiber war das Übel bereits zu weit vorgeschritten. Koppeler verschied am 15. November 1630 unter den Ausdrücken vollen Gutmuthens. Am 17. November ward seine Leiche unter großer Theilnahme auf dem protestantischen Kirchhofe »Wiedt« beerdigt. Peter, außerhalb der Mauer begraben. Der Grabstein hatte Koppeler selbst für sich verfaßt:

Armen eras eras, nec forte mori  
scire,  
Rex regibus erat, corpus tandem erat  
Nunc ich diest wohl muß ich sein wie ich  
die Scherten der Erde,  
Hinsinck je war der Geist — Ruhe dem  
Schatten des Leibs!

Seine Regensburger Freunde erglänzte diese Verse durch die Inschrift:  
»Hier ruht der höchst edle, gelehrte und berühmte Herr Johannes Koppeler, 30 Jahr langem Mathematiker desers Kaiser, vorher (1594—1630) im Dienste der Menschheit, seit 1612 der Kaiserlichen Stände, bekannt in der ganzen christlichen Welt durch seine vortheilichen Werke, des Fürsten astronomischen Wissens von allen Gebirten begabt.«

Er starb kaum im Herrn im Jahre des Heils 1630 am 5. November (s. St.) im 40. Jahre seines Lebens.

Die Historienschafft Koppeler in Regensburg, von welcher selbst nur noch ein wenig vorhanden, war keineswegs unbedeutend, und kann allen schon recht klar hervor, wie übertrieben die Beschreibungen jener waren, die den großen Mann nahezu am Hungertode sterben ließen.

Das Recht, die noch ihm gebliebenen Güter einzunehmen, welche nach dem Begriffe jener Zeit ein schönes Vermögen darstellten, lag auf Koppeler. Erben über, und um solch Ludwig wurde seine Ansprüche wohl gehend zu machen. Koppeler's Schwagerin's Ertzherzog wurde Professor in Straßburg, überlebte ihn aber nicht lange. Er starb bereits 1635. Ludwig nahm seine Stiefmutter und die vier kleinen Kinder zu sich. Die beiden Bräutchen Friederich und Hildegard sowie ihre Mutter Susanna überlebten Koppeler höchstens um ein paar Jahre. Auch die beiden Schwestern Cordula und Anna Hans schienen jung gestorben zu sein. Ludwig verheiratete sich 1649 und lebte eine Zeitlang als praktischer Arzt in Ungarn, später in Königsberg, wo er 1663 aus diesem Leben schied. Er hat mehrere wissenschaftliche Werke hinterlassen. Der einzige ihm überlebende Sohn starb bald nach dem Vater in Amsterdam, und mit ihm erloschen die direkten männlichen Nachkommen des großen Sternforschers.

Hier konnte nur in kurzen Zügen einiges von der wertvollen Darstellung berichtet werden, die Prof. Müller über Leben und Arbeiten Kappeler gibt. Sein Werk selbst enthält eine Fülle von Einzel-

heiten und vieler Quellangaben und auf dieses selbst muß jeder verwiesen werden, der sich eingehend mit Kappeler beschäftigen will.

## Vermischte Nachrichten.

**Helligkeitswechsel des Planeten Iris.** Prof. Wendell hat mit dem Fernrohrspektroskop der Harvardobservatorien eine Reihe sehr genauer Helligkeitsmessungen des Planetoiden Iris (7) angestellt. Durch dieselben ist eine Veränderlichkeit desselben, ähnlich wie beim Planeten Eos, erkannt, deren Periode ungefähr 44 12<sup>m</sup> beträgt. Die Größe der Lichtschwankung beträgt nur 0.2 bis 0.3 einer Größenklasse und nur die sehr präzisen Messungen Wrigthys haben es mit Sicherheit erkennen lassen. Die Lichtkurve zeigt zwei Maxima und zwei Minima der Helligkeit, welche so nahezu gleich sind, daß es zweifelhaft bleibt, ob die Unterschiede reell sind oder nicht. Im letzteren Falle würde die wirkliche Dauer des Lichtwechsels natürlich nur halb so groß sein als oben angegeben ist.<sup>1)</sup>

**Benennung von kleinen Planeten.** Im Berl. Jahrbuch Nr. 1886 bzw. dem 32. Hft. der Veröff. der Reichsanstalt finden sich die folgenden neuen, bisher noch nicht bekannt gebliebenen Namen kleiner Planeten:

Nr.	Prov.	Ben.	Name
388	1883	N	Curtis
436	1888	III	Stoeck
462	1888	IV	Crichton
471	1888	IV	Petrie
475	1888	IV	Seymour
484	1888	IV	Frederick
491	1888	IV	Kerr
495	1888	IV	Graville
500	1888	IV	Frederick
507	1888	IV	London

**Zeichnungen vom Aussehen des Kometen 1888 g (Bancroft).** Herr Bancroft'scher Bericht in Moskau hat von diesem Kometen eine Reihe sehr sorgfältiger Abbildungen angefüllt und zwar in einem sehr starken Vergrößerung. Die aus freundlich zur Verfügung gestellten Photographien dieser Zeichnungen sind auf Tafel V wiedergegeben. Sie bezeichnen sich der Reihe nach auf folgende Momente nach mittlerer Moskauer Zeit.

Nr.	1. Juli	6. 18 <sup>m</sup>	41 <sup>m</sup>
1	2	27	28
2	3	27	28
3	4. August	3	1
4	5	10	10
5	6	18	14

Die Zeichnung vom 9. August wurde bei Mondlichtem angefertigt. Der Komet bewegte sich während obiger Zeiten durch die Sternbilder des kleinen Bären, des Drachen und des großen Bären in den kleinen Löwen. Seine Sonnenhöhe erreichte er am 23. August. Nach dem Zeugnisse von Herrn W. Wendell, der den Kometen gleichzeitig am Fernrohr beobachtete, gehen die Zeichnungen im höchst vorzüglichen Grade das Aussehen des Gestirns wieder.

**Neue Doppelsterne.** Die Lichtstärke beträgt 1889 die astronomische Forschung nach Doppelsternen und veränderlichen? jetzt das 6. Verzeichnis der neu entdeckten Doppelsterne. Es enthält 224 Paare, die während des Jahres 1889 am 36- und 12-zölligen Refraktor entdeckt wurden. Sie tragen

<sup>1)</sup> Harvard Observ. Circular No. 75.

die fortlaufende Nummer 420 bis 645 und 155 davon sind am 36-Zoller entdeckt worden, die bei weiteren Beobachtungen in den Monaten September und Oktober. Ordnet man diese neuen Doppelsterne nach dem Abstände des Begleiters vom Hauptstern, so finden sich mit Erläuterung von

0.25" oder weniger	18 Paare
0.50 " bis 0.59 "	46 "
0.60 " - 1.00 "	44 "
1.01 " - 2.00 "	49 "
2.00 " - 3.00 "	99 "

Unter diesen Paaren finden sich 8, deren Hauptstern dem bloßen Auge sichtbar ist und 6 Paare, die schon früher als Doppelsterne bekannt waren, in denen aber noch ein weiterer Begleiter jetzt entdeckt wurde. Über diese 14 Sterne sind folgende die hauptsächlichsten Angaben wobei  $d$  die Distanz,  $p$  den Positionswinkel bezeichnet. Dieörter der Sterne gelten für 1900.0

#### 445.

RA 2<sup>h</sup> 54<sup>m</sup> 40<sup>s</sup> D - 9° 46'

A 5.1, B 12.5, C 16 Grade

A u. B 1900.00  $p = 200.5^\circ$   $d = 164$

A u. C 1900.79 66.5 42.80

A und C bilden das Hirschfeldsche Doppelstern 5 3415.

#### 446.

RA 3<sup>h</sup> 51<sup>m</sup> 39<sup>s</sup> D - 7° 34'

A 5.6, B 9.2, C 9.5 Grade

1900.00 A u. B  $p = 209.1^\circ$   $d = 8.37$

1900.00 AB u. C 190.8 1.56

A und C bilden das Barnhartsche Doppelstern  $\beta$  542, wiew C 1894, als Fortsetzung des Stern beobachtet, nicht viel näher an A gewesen als jetzt, so würde er C zweifellosgesehen haben

#### 447.

RA 5<sup>h</sup> 28<sup>m</sup> 2<sup>s</sup> D - 6° 57'

A 6.8, B 7.8, C 10.8, D 12.5 Grade

1900.00 A u. B  $p = 171.8^\circ$   $d = 6.15$

1900.00 C u. D 799.0 1.00

1900.00 AB u. C 224.8 99.00

#### 448.

RA 5<sup>h</sup> 44<sup>m</sup> 35<sup>s</sup> D - 9° 43'

A 9.2, B 9.6, C 14.0 Grade

1900.00 B u. C  $p = 222.4^\circ$   $d = 182.7$

1900.00 A u. B 96.3 29.21

A und B sind vom Streue als Doppelstern erkannt worden, die Doppelstern von B zeigte jetzt erst der 12-Zollige Lick-Refraktor

#### 449.

RA 10<sup>h</sup> 14<sup>m</sup> 38<sup>s</sup> D - 8° 57'

A 6.8, B 7.5, C 12.2, D 14.0 Grade

1900.00 B u. C  $p = 225.5^\circ$   $d = 1.22$

B u. D 26.1 14.38

A u. B 220.6 30.47

A und B bilden den Struvechen Doppelstern  $\epsilon$  1183. Noch verschiedene andere Sterne stehen innerhalb eines Kreises von 30" um B herum.

#### 450.

RA 9<sup>h</sup> 23<sup>m</sup> 28<sup>s</sup> D - 3° 11'

A 7.4, B 7.5, C 11.0 Grade

1900.00 A u. B  $p = 107.7^\circ$   $d = 0.28$

1900.00 AB u. C 220.9 18.15

A und C bilden den Struvechen Doppelstern  $\gamma$  1213, bei dem der Begleiter seit 1828 keine Stellungseindeutigkeit zeigt. Die Doppelstern von B zeigte am der Lick-Refraktor

#### 451.

RA 10<sup>h</sup> 22<sup>m</sup> 1<sup>s</sup> D - 4° 18'

A 6.5, B 10.0 Grade

1900.00  $p = 146.7^\circ$   $d = 1.74$

#### 452.

RA 12<sup>h</sup> 38<sup>m</sup> 4<sup>s</sup> D 14° 32'

A 5.8, B 12.5 Grade

1900.00  $p = 200.7^\circ$   $d = 1.42$

#### 453.

RA 14<sup>h</sup> 25<sup>m</sup> 59<sup>s</sup> D + 25° 7'

A 6.3, B 6.5 Grade

1900.00  $p = 180.3^\circ$   $d = 0.20$

Am 36-Zoller entdeckt und beobachtet.

#### 454.

RA 21<sup>h</sup> 35<sup>m</sup> 35<sup>s</sup> D + 9° 55'

A 7.6, B 7.0 Grade

1900.00  $p = 222.9^\circ$   $d = 0.18$

Am 36-Zoller entdeckt und beobachtet

#### 455.

RA 23<sup>h</sup> 28<sup>m</sup> 2<sup>s</sup> D + 30° 57'

A 7.5, B 6.5, C 10.0 Grade

1900.00 B u. C  $p = 158.5^\circ$   $d = 0.42$

A u. B 71.4 6.78

A und B wurde vom Otto Struve als Doppelstern entdeckt (C. S. 498), die

11\*

Duplaxit von B zeigt jetzt der Luftektor.

Der Veränderliche X Aurigae, den Dr. Anderson auf Grund seiner Beobachtungen von April bis Mai 1902 als solchen erkannt, ist häufiglich seines Lichtwechsels, der sehr merkwürdig erscheint, von Dr. K. Graft genauer verfolgt worden.<sup>1)</sup> Der Ort des Sterns am Himmel ist (für 1855-6)

$$\text{AR} = 54^{\circ} 0' 54'' \quad \text{D} = + 59^{\circ} 15'.$$

Die Beobachtungen von Dr. Graft erstrecken sich über den Zeitraum 1902 Februar 26 bis 1903 Sept. 19, während dessen der Helligkeit des Veränderlichen zwischen 8.5 und 12.3 Größe schwankte. Die Dauer der Lichtwechsel-Periode fand sich zu 101 Tagen mit einem Minimum 1902 Okt. 6. Die Lichtkurve des Sterns hat große Ähnlichkeit mit derjenigen des Veränderlichen W Ursae majoris. Bei X Aurigae erfolgt die Zunahme des Lichts schneller als die Abnahme (jensei 68-90 Tage), während bei W Ursae mit der Umgekehrte der Fall ist. Somit sind die Hauptmerkmale der Veränderlichkeit, ein fast ununterbrochener Lichtwechsel, die ungewöhnlich kurze Dauer des Minimums, sowie die langsame Helligkeitsänderung im Maximum, beiden Sterns gemeinsam. Aus Angilnes Pickering's geht hervor, daß auch der ursprünglich dem Algol-

typus zugehörige Veränderliche S Aurigae eine ähnliche Lichtkurve besitzt wie W Ursae maj und X Aurigae. Wenn den beiden anderen Veränderlichen, bemerkt Dr. Graft, unterscheidet sich der letztere durch die lange Dauer der Periode und durch seine intensive gelbe Farbe. Die Erklärung dieses Lichtwechsels auf Grund der Zeitschen'schen Hypothese, deren Annahme in den beiden anderen Fällen wegen der unvollständigen Farbe von S Aurigae und W Ursae maj, unzulässig ist, würde daher hier auf gewisse Schwierigkeiten stoßen. Es wäre jedoch möglich, schon jetzt Erklärungsversuche für das eigenartige Lichtwechsel der Veränderlichen von dem oben erörterten Typus auszugehen, bevor man sich darüber Gewißheit verschafft hat, daß diese neue Art von Veränderlichen auch tatsächlich von einem hohen Geschwindigkeits aus betrachtet und behandelt werden darf.

Dr. K. Graft.

**Feuerwerk für Freunde der Himmelsbeobachtung.** Aus dem Lagerhaus des *„Sterns“* sind wir mehrere große und kleine sehr gut effahene Feuerwerk zum Verkauf anzuordnen worden. Freunden der Himmelsbeobachtung, welche die Anschaffung eines solchen Instrumenten beobachteten und sich darüber an mich wenden, bin ich zu jeder gewünschten Auskunft gern bereit. Dr. Klein.

<sup>1)</sup> Astron. Nachr. No. 902.



# Astronomischer Kalender für den Monat Juni 1904.

Sonne				Mond					
Waldener Berliner Mähg				Waldener Berliner Mähg					
Sonnen- Zeit	Rektaszension	Declination	Mond im Meridian	Zeit		Rektaszension		Declination	
				M. Z.—W. Z.	h m s	h m s	h m s	h m s	h m s
1	— 0 38 47	4 25 39 99	+20 0 00 0	20 15 42 92	—17 42 43 7	18 37 9			
2	0 37 46	4 26 32 37	20 0 15 9	20 4 0 0	18 40 40 9	18 41 9			
3	0 36 44	4 26 58 34	20 17 30 3	19 51 18 1	18 54 18 4	18 54 9			
4	0 35 41	4 27 11 45	20 26 48 9	19 43 44 55	18 4 55 9	17 57 9			
5	0 34 38	4 26 59 42	20 35 48 9	19 39 23 99	7 54 24 1	18 3 9			
6	0 33 35	4 26 5 50	20 38 8 9	19 33 48 54	4 30 37 9	18 49 9			
7	0 32 32	4 26 33 51	20 44 14 9	19 30 7 18	— 5 36 35 4	18 37 9			
8	0 31 29	4 26 30 52	20 48 38 9	19 46 9 79	+ 5 4 59 7	18 35 9			
9	0 30 26	4 26 27 53	20 53 12 9	1 20 12 18	4 54 29 9	20 3 9			
10	0 29 23	4 26 25 54	20 57 8 1	0 21 14 94	18 38 55 9	20 10 9			
11	0 28 20	4 26 23 55	20 4 20 9	0 22 41 94	18 35 55 4	20 43 7			
12	0 27 17	4 26 21 56	21 0 40 9	0 4 18 98	18 7 1 9	20 37 9			
13	0 26 14	4 26 19 57	20 29 99 4	0 0 59 51	17 48 48 9	—			
14	— 0 25 11	4 26 17 58	19 31 38 9	0 2 18 43	17 48 48 9	0 34 1			
15	+ 0 24 8	4 26 15 59	19 18 21 9	0 3 9 91	18 0 0 9	0 30 9			
16	0 23 5	4 26 13 60	19 30 33 4	0 1 18 40	18 20 18 3	0 30 9			
17	0 22 4	4 26 10 61	19 39 51 1	0 0 59 94	17 48 48 9	0 27 1			
18	0 21 3	4 26 8 62	19 28 29 1	0 47 48 94	18 13 18 3	4 23 9			
19	0 20 2	4 26 5 63	19 15 44 9	0 55 20 94	0 2 17 3	0 23 9			
20	0 19 1	4 26 3 64	19 3 31 7	0 47 38 94	+ 0 54 29 9	0 7 9			
21	0 18 0	4 26 1 65	19 16 44 5	0 46 47 94	— 0 41 49 9	0 49 9			
22	0 16 59	4 25 59 66	19 24 9 7	0 39 47 94	0 5 42 9	0 45 9			
23	0 15 58	4 25 57 67	19 18 29 1	0 30 59 94	0 54 48 9	4 40 1			
24	0 14 57	4 25 55 68	19 38 33 9	0 30 30 94	0 58 10 1	0 31 9			
25	0 13 56	4 25 53 69	19 14 48 9	0 14 48 47	0 59 30 9	0 34 9			
26	0 12 55	4 25 51 70	19 39 53 9	0 7 9 94	0 54 9 94	0 39 9			
27	0 11 54	4 25 49 71	19 29 79 7	0 0 54 41	0 38 30 9	0 27 9			
28	0 10 53	4 25 47 72	19 38 33 9	0 0 30 40	0 7 18 9	0 24 9			
29	0 9 52	4 25 45 73	19 58 41	0 0 48 17	0 53 47 9	0 23 7			
30	+ 0 8 51	4 25 43 74	+20 15 44 9	0 0 39 54	— 0 54 48 9	0 20 9			

## Planetenkonstellationen 1904.

Jahr	1	234	Jahr im Periode
1	8	86	Merkur in Konjunktion in Helioszentrum mit dem Monde
2	9	8	Merkur in größter westlicher Elongation 10° 40'
3	9	87	Jupiter in Konjunktion in Helioszentrum mit dem Monde
4	10	20	Merkur in größter östlicher Helioszentrischen Breite
5	11	14	Merkur in Konjunktion in Helioszentrum mit dem Monde
6	11	89	Venus in Konjunktion in Helioszentrum mit dem Monde
7	12	7	Mars in Konjunktion in Helioszentrum mit dem Monde
8	12	18	Venus in Konjunktion in Helioszentrum mit Mars, Venus 8° 15' (1903)
9	13	6	Uranus in Opposition mit dem Sonne
10	13	5	Venus in untersten Punkt
11	14	10	Sonne im Zeichen des Krebses, Sonnenwende.
12	17	9	Neptun in Konjunktion in Helioszentrum mit dem Sonne
13	19	11	Merkur im aufsteigenden Knoten

Planeten-Ephemeriden.

Mittlere Berliner Zeit.							Mittlere Berliner Zeit.						
Jahre 1904	Rektascension			Declination			Jahre 1904	Rektascension			Declination		
	h	m	s	°	'	"		h	m	s	°	'	"
Merkur							Saturn						
Juni 1	2	10	05.25	-4	16	07.8	Juni 10	22	21	26.77	-12	25	50.4
10	2	10	05.45	-4	16	07.5	20	21	26	40	-12	25	47.9
20	2	10	06.05	-4	16	07.1	30	21	26	18.50	-12	24	55.5
30	2	10	06.25	-4	16	06.8							
Juli 1	2	10	06.45	-4	16	06.5							
10	2	10	06.65	-4	16	06.1							
20	2	10	06.85	-4	16	05.8							
30	2	10	07.05	-4	16	05.4							
Venus							Uranus						
Juni 1	4	16	04.1	-6	50	03.6	Juni 10	17	40	49.60	-55	29	03.1
10	4	16	04.2	-6	50	03.5	20	17	40	51.65	-55	29	03.0
20	4	16	04.3	-6	50	03.9	30	17	40	53.71	-55	29	02.9
30	4	16	04.4	-6	50	03.9							
Juli 1	4	16	04.5	-6	50	03.9							
10	4	16	05.0	-6	50	03.9							
20	4	16	05.1	-6	50	03.9							
30	4	16	05.2	-6	50	03.9							
Mars							Neptun						
Juni 1	4	48	17.54	-20	40	30.4	Juni 10	0	38	47.64	-40	51	40.4
10	4	48	17.58	-20	40	30.4	20	0	38	47.61	-40	51	40.4
20	4	48	18.02	-20	40	30.4	30	0	38	47.57	-40	51	40.4
30	4	48	18.06	-20	40	30.4							
Juli 1	4	48	18.10	-20	40	30.4							
10	4	48	18.14	-20	40	30.4							
20	4	48	18.18	-20	40	30.4							
30	4	48	18.22	-20	40	30.4							
Jupiter							Mondphasen.						
Juni 10	1	30	33.82	+7	30	21.0	Juni 8	0	38	47.64	Letzter Viertel		
20	1	30	33.85	+7	30	21.0	10	0	38	47.61	Neumond		
30	1	30	33.88	+7	30	21.0	20	0	38	47.57	Erster Viertel		
Juli 10	1	30	33.91	+7	30	21.0	30	0	38	47.54	Vollmond		
							31	0	38	47.51	Mond in Erdhülle		
							32	0	38	47.48	Mond in Erdhülle		

Sonnenbedeckungen durch den Mond für Berlin 1904

Mondtag	Stern	Grade	Dauer mittlere Zeit.		Ausdehnung mittlere Zeit.	
			h	m	h	m
Juni 26	♂ Liliat	47	11	14	11	50.1

Lage und Größe des Saturnrings (nach Bond).

- Juni 10. Große Achse der Ringebene:  $41''$ ; kleine Achse:  $14''$ .  
 Erhellungswinkel der Erde über der Ringebene:  $16^\circ 30'$  nördl.
- Juni 1. Mittlere Breite der Kugel:  $20^\circ 57'$   $41.8''$   
 Scheinbare „ „ „ „  $20^\circ 58'$   $44.4''$   
 Halbmesser der Sonne:  $16'$   $54.4''$   
 Parallaxe „ „ „ „  $0.87''$

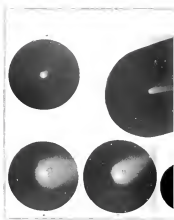
## Stellungen der Jupitermonde im Juni 1904.

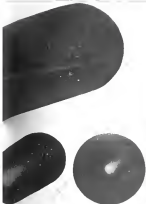


Stellungen um 14<sup>h</sup> 34<sup>m</sup> für den Anblick im astronomischen Fernrohr.

Tag	West.		Ost.
1		Q 1	4
2	-1	Q	5
3		Q 2	6
4		Q 3	7
5	Q 4	Q 4	8
6		Q 5	9
7	4	Q 6	10
8	4	Q 7	11
9	4	Q 8	12
10	Q 1	Q 9	13
11		Q 10	14
12		Q 11	15
13		Q 12	16
14		Q 13	17
15		Q 14	18
16		Q 15	19
17		Q 16	20
18		Q 17	21
19		Q 18	22
20		Q 19	23
21		Q 20	24
22	Q 2	Q 21	25
23		Q 22	26
24	4	Q 23	27
25	4	Q 24	28
26	Q 3	Q 25	29
27		Q 26	30
28		Q 27	31
29		Q 28	32
30		Q 29	33
31		Q 30	34







# Carl Zeiss

Optische Werke

## Jena.



Refraktortelevisoren  
für astronomische  
Beobachtung

Komplett  
montierte

Refraktor-  
teleskope

Spezialteleskope  
für astrophotografische  
Zwecke

Spezialteleskope  
mit großem Öffnungs-  
verhältnis für Himmels-  
photographie.

Refraktor-Teleskope

Refraktoren

weite und breittätige apochromatische Refraktorobjektive  
ohne sekundäres Spektrum.

Refraktorenartige Lichtstarke Objektive  
mit großem Öffnungsverhältnis und  
Objektive aus ultraviolett-durchlässigen Gläsern  
zur Himmelsphotographie.

Refraktoren

Objektivsysteme aus gewöhnlichen und ultraviolett-durch-  
lässigen Gläsern.

Astro-Objektive und Spektrographen.

Refraktoren-Objektive

ausser Refraktoren.

Refraktoren zur Beobachtung und Photographie  
des Himmels und der Sterne.

Refraktoren-Objektive (für 1/2)





# SIRIUS

ZEITSCHRIFT

FÜR POPULÄRE ASTRONOMIE

Illustrationen unter Mitwirkung  
 hervorragender  
 Fachlehrer und astronomischer Schriftsteller  
 von  
 Prof. Dr. Hermann J. Klein in Elitz-Neudorf.

— HANS KUNYAL —

5. Heft.



Edmund Heiarich Meyer  
 Verlagsbuchhandlung  
 Leipzig, Beudnitz 11.

## Inhalt des fünften Heftes.

	Seite
F. Lavelle neue Untersuchungen über die jahreszeitlichen Verteilungen auf dem Mars mit dem Wesen der Marskanäle . . . . .	47
Der phoenographische Mond Atlas von William K. Pickering. Von Dr. Kiehn	59
Vorschlag zur Aushärtung neuer Himmelskarten zum Gebrauch bei Aufzeichnung kleiner Planeten . . . . .	105
Teileite von beständiger Farbe, eine neue Klasse von Meteoriten . . . .	122
Neuere Methoden der Entfernungsbestimmung der Planeten . . . . .	116
Neue Bestimmungen des geographischen Längenausmaßes des Perseus — Orion . . . . .	113
Veränderte Erscheinungen . . . . .	115
Beobachtungen des Mars während der Opposition von 1903.	
Helligkeitschwächung der Planeten (189) Herba.	
Der 5. Mond des Jupiter.	
Eine Karte des Sternbildes Coma Berenices. Von Adolf Vig	
Entdeckung eines neuen Kometen 1904a	
Astronomischer Kalender für den Monat Juli 1904 . . . . .	117
Stellungen der Jupitermonde im Juli 1904 . . . . .	119
Erscheinungen der Jupitermonde . . . . .	120
Stellungen der Saturnmonde . . . . .	120

LEIPZIG, Neudruck 19

**Eduard Heinrich Mayer,**  
Verlagsbuchhandlung.

# SIRIUS.

Zeitschrift für populäre Astronomie.

Centralorgan für alle Freunde und Förderer der Himmelskunde.

Herausgegeben

unter Mitwirkung hervorragender Fachlehrer und astronomischer Schriftsteller

von Prof. Dr. Hermann J. Klein in Köln.

Mai 1904.

„Wissen und Können sind die Freunde und die  
Bewehrung der Menschheit.“ Krieger.

Jedes Monat 1 Heft. — Jährlich 12 Mk.

Verlag von EDUARD HEINRICH MAYER in Leipzig.

INHALT. P. Lowell's neue Untersuchungen über die jahreszeitlichen Veränderungen auf dem Mars und das Wesen der Marskanäle. S. 92. — Der photographische Mondatlas von William H. Pickering. Nos. 101–103. — Vorschlag zur Abgrenzung neuer Sternabteilungen zum Gebrauch bei Aufzeichnung stellarer Plazaten. S. 105. — Tabelle von Beobachtungen Teles., eine neue Klasse von Meteoriten. S. 109. — Neues Verfahren der Höhenangabe durch die Fluchtzeit. S. 110. — Neue Bestimmungen des geographischen Längengrades durchs Fotodisk-Objektiv. S. 113. — Vermutete Sternbedeckung. S. 115. — Astronomische Kalender. S. 117. — Stellung der Japhetiden im Juli 1904. S. 119. — Ereignisse der Japhetiden im Juli 1904. S. 120. — Stellung der Saturniden im Juli 1904. S. 122.

## P. Lowell's neue Untersuchungen über die jahreszeitlichen Veränderungen auf dem Mars und das Wesen der Marskanäle.)



Es auf der Oberfläche des Mars ständendsten Veränderungen sind jedem bekannt, der längen Zeit hindurch diesen Planeten studiert hat. Nicht nur nehmen die weißen Polarkappen Größe in regelmäßiger Wechsel zu und ab, sondern auch die dunklen Flecke, mit denen die Marsoberfläche besetzt ist, werden schneller oder langsamer wie die Monate eintander folgen. Die unter dem Namen „Kanäle“ bekannten Linien und gleichfalls die Veränderungen unterworfen, zu Zeiten und in sehr auffälliger, zu anderen Zeiten dagegen unsichtbar. Was

aber noch bemerkenswerter ist, jeder Kanal hat seine eigenen Zeiten des Hervortretens und Zurücktretens der Seitenberück, das Verhalten des einen entspricht nach dem anderen ganzem Nachbarn, und auch wenn gar dem einen Antipoden der Kanal Canals wird gesehen, während der Kanal Thien unsichtbar ist, und dieser letztere wiederum ist sehr auffällig, während von dem anderen keine wahrnehmbaren kann. Diese Veränderungen beobachten sich nicht auf einander, sondern Kanäle, sondern geographisch schenken die Kanäle ganze Landschaften wie angeordnet, so daß selbst mit aller Anstrengung bei größter Nähe des Mars and besser Luft keine Spur derselben

\*) Proceedings American Philosophical Society  
Vol. XXXI No. 214

Series 1904. Heft 5.

12

wahrgenommen werden kann, während kurz vorher und nachher derselben Region des Planeten mit Kanellonen überdeckt waren. Um die in diesen Erscheinungen herrschende Gesetzmäßigkeit zu ergründen, hat P. Lowell aus seinen Messungen und das geometrische Verhältnis der Sichtbarkeit dieser Formationen zu bestimmten Abschnitten während einer Opposition des Mars feststellen versucht. Da die Ansicht seiner Messungen sehr bedeutend ist, so konnten auf diesem Wege Ergebnisse von größer Zuverlässigkeit vorzuziehen erwartet werden. Er verfuhr dabei in folgender Weise. Aus der Marskarte ergab sich unmittelbar die Position (Länge) der zu untersuchenden Region, und es wurden nun alle diejenigen Zeichnungen geprüft, auf denen diese Region sichtbar war mußte. Dabei wurden 3 Zonen unterschieden, die erste erstreckte sich bis zu  $30^\circ$  nördlich und links von dem während der Zeichnung auf der Mitte der Marschleife stehenden Meridian, die zweite von  $30$  bis  $40^\circ$ , die dritte endlich von  $40$  bis  $60^\circ$  von dem Meridian der Mitte. Diese Einteilung hatte lediglich den von vorn herein beabsichtigten Zweck, eine Vergleichung zwischen der Sichtbarkeit der Flecke in verschiedenen Abständen vom Zentrum der Marschleife zu ermöglichen.

Das ganze Verfahren ist sehr einfach, solange Mars nur eine runde Scheibe zeigt, sobald er aber (vor oder nach der Opposition) eine Phase zeigt, muß darauf Rücksicht genommen werden, daß die Erleuchtung der Scheibe von dem Punkte, über welchen die Sonne strahlt, nicht, bis zur Lichtgrenze abnimmt, so daß alles aus dieser Gegend die Fläche gegen diese Grenze hin weniger gut untersuchbar werden, bis sie in gewisser Entfernung von der Lichtgrenze endlich ganz verschwinden. Deshalb hat Lowell seine Untersuchung nur bis zu  $25^\circ$  Entfernung von dieser Lichtgrenze ausgedehnt. Eine Anzahl, die sich aus seinen Beobachtungen als

die zuverlässigsten ergeben hatte. Da der Planet Mars ungefähr 40 Minuten mehr Zeit gebraucht zu einer Umdrehung um seine Achse als die Erde, so ändert sich der auf der Mitte seiner Scheibe stehende Meridian nach Ablauf von 24 Stunden um  $96^\circ$  und deshalb vollzieht derselbe eine ziemlich vollständige Rotation in etwa 38 Tagen, da  $96^\circ$  in  $360^\circ$  siebenmal enthalten ist. Nach Ablauf dieses Zeitraums zeigen beide Planeten Mars und Erde wieder das nämliche Gesicht zur nämlichen Stunde. Während  $1/2$  dieser Zeit steht Mars fast Beobachtungen günstig, während  $1/4$  aber ist er entweder unter dem Horizont oder steht so tief am gelb beobachtet zu werden. Solcher Art bestanden also natürliche Epochen der um die einzelnen Oberflächenteile mit sich selbst zu vergleichen und stetige ringförmige Veränderungen während des Zeitintervalls bestanden. Die zur Untersuchung vorhandenen Zeichnungen des Mars, welche Lowell besaß, entstammten der Marschleife (Opposition) von 1903 und befaßten sich auf 375 vollständige Darstellungen, die vom 31. Januar bis zum 26. Juli erhalten wurden sind. Auf diesen Zeichnungen wurden 85 Kanäle hinsichtlich ihrer Sichtbarkeit oder Unsichtbarkeit untersucht und zwar wurde die prozentuale Häufigkeit der Sichtbarkeit demnach innerhalb der Zone von  $30^\circ$  nördlich und links vom Zentralmeridian festgesetzt. Schon diesem Ergebnis ist beizufügen, daß Lowell hat um größere Sicherheit zu erlangen daran Korrekturen angebracht. Die Entfernung des Mars war nämlich während der ganzen Beobachtungszeit nicht unverändert und ebensowenig der Zustand der Luft immer gleich gut gewesen, beides berücksichtigt er durch gewisse nicht unzufällige Anordnungen und bezieht alles auf die ideale Entfernung des Mars, bei welcher 1903 der scheinbare Durchmesser der Scheibe des Planeten  $14.6''$  betrug.

Er entwarf nun für die 85 einzelnen Kanäle Tabellen, welche die wirkliche

Sichtbarkeit derselben in Prozenten der möglichen Sichtbarkeit überhaupt während der ganzen Beobachtungsdauer derselben. Wurden diese die Beobachtungspunkte vom Moment des Sonnenunterganges der südlichen Meridianstation an als Abzissen und die Prozentzahlen der Sichtbarkeit jedes Kanals als Ordinaten aufgetragen, so ließen die Endpunkte der Kurven, durch eine Linie verbunden, Kurven der Sichtbarkeitsverhältnisse, die für jeden Kanal typisch sind. Lowell erstellte Kartuschen des Kanals, ein Wort das im Deutschen nicht gut bezeichnet wiedergeben ist und wofür man am einfachsten Deutschlandskurven sagen kann. Wenn ein Kanal völlig unverändert blieb während der ganzen Beobachtungsdauer, so muß seine Deutschlandskurve als gerade Linie erscheinen (solange der optischen Beeinflussungen der Sichtbarkeit abgezogen worden sind) und ihr Abstand von der Abszissenachse ist außerdem proportional der Stärke oder Deutlichkeit des Kanals überhaupt. Änderte sich dagegen die Sichtbarkeitsverhältnisse, so trägt die Kurve, wenn der Kanal deutlicher hervortritt, und tritt, wenn er schwächer wird. So trugen diese Deutschlandskurven nicht nur die scheinbare Veränderung in der Sichtbarkeit der Kanäle, sondern auch deren wirkliche Änderungen in der Entwicklung während der Beobachtungzeit an.

Untersucht man nun die Sichtbarkeitskurven der einzelnen Kanäle genauer, so findet man, daß von den 55 dargestellten nur 2 oder 3 einigermaßen voll eine gerade Linie bilden, während die anderen gewöhnlichen im Fluß waren. Der Opposition des Mars trat 1903 ein am 26. März, die größte Erdnähe des Planeten am 3. April, das Sonnenstehen der südlichen Meridianstation am 28. Februar, während früher Lowell den Zeitpunkt des ersten Frostes auf 120 Tage nach dem scheinbaren Sonnenstehen festgesetzt hat. <sup>3</sup>

<sup>3</sup> Lowell Observ. Bulletin No. 1.

Wirk man einen Blick auf das alphabetisch geordnete Verzeichnis der Kanäle, so erkennt man weder Größe noch Ordnung in der Entwicklung ihrer Sichtbarkeitsverhältnisse, ganz anders gestaltet sich die Sache, sobald man die Kanäle nach der (astrographischen) Lage auf der Oberfläche des Planeten ordnet. Da die Kanäle keine Punkte, sondern Linien sind, so ist von Lowell die Mitte aller sichtbaren Punkte eines jeden als Bezeichnung seines Ortes auf der Marslage angenommen worden. Nach diesem Prinzip hat er die Kanäle über die verschiedenen Breiten verstreut und unterteilt folgende Zonen:

	stetig, 85°
Die arktische Zone (stationär)	10° bis 55°
Die subarktische Zone	55° + 50°
Die nördlich gemäßigten Zone	zwischen 50° + 35°
Die nördlich subtropische Zone	zwischen 35° + 25°
Die nördliche tropische Zone	zwischen 25° + 15°
Die nördliche Äquatorialzone	zwischen 15° + 0°
Die südliche Äquatorialzone	0° und 15°
Die südliche tropische Zone	zwischen 15° + 25°
Die südlich subtropische Zone	zwischen 25° + 35°

Der Breitengrad von 55° nördlich wurde zum Ausgangspunkt gewählt weil bis zu dieser Breite während der Beobachtungszeit die Eisbedeckung herrschte. Außerdem bildete 35° sich Br. die äußere Grenze nach dieser Richtung, weil wegen der Neigung der nördlichen Meridian gegen die Erde (die zwischen 21 1/2° und 25 1/2° während der Beobachtungszeit wechselte) die Mitte des am meisten sichtbar liegenden Kanals in 27° nörd Br. lag. Lowell gibt nun zunächst das Datum, zu welchem jeder Kanal im Maximum der Sichtbarkeit war und zwar verteilt auf jede der oben bezeichneten Zonen. Im Mittel aus diesen 85 Angaben findet sich folgendes, wobei die beigefügten Ziffern die Anzahl der Tage bezeichnen, um welche die Entwicklung der Kanäle jeder Zone nach dem Tage des nörd-

lichen Zusammenstoßes des Mars erfolgt

Arktische Zone	6 Tage
Subarktische Zone	12
Nördliche gemäßigte Zone	22
Nördliche subpolare Zone	34
Nördliche tropische Zone	46
Nördliche äquatoriale Zone	58
Südliche tropische Zone	68
Südliche subpolare Zone	78

Aus dieser Zusammenstellung ergibt sich augenfällig eine zunehmende Verpflanzung in der Zeit der Entwicklung der Kanäle von der nördlichen Eiszone gegen den Äquator hin und zwar macht diese Zunahme im Äquator nicht halt, sondern geht darüber hinaus auf die nördliche Marshemisphäre. Was immer, sagt Lowell, die Kanäle sein mögen, so ist gemäß diesem Nachweise sicher, daß ihre Entwicklung vom Nordpol herab auf der Scheibe des Mars fortgeschritten und zudem in einem ziemlich regelmäßigen Tempo über die Oberfläche des Planeten. Sie beginnt beim nördlichen Scheitelpunkt, d. h. sie folgt dem Schmelzen des Polareises! Dies führt auf die Vermutung über die Ursache der Erscheinung: Wasser spielt bei dem Schmelzen der Kanäle eine Rolle, wenn auch nicht direkt, so doch indirekt als Vermittler von Vegetationsprozessen. Wir erblicken in dem Vorgange physikalische Veränderungen, aber diese spielen in diesem Verhalten einen wesentlich anderen Gang als auf unserer Erde.

Können wir unsere irdischen Standpunkte verlassen und von einem Punkte außerhalb der Erde auf diese herabschauen, so würden wir bemerken, wie bei Ankunft des Frühlings eine grüne Wolke über ihr Antlitz hinwegzieht, die von der äquatorialen Gegend höher und höher gegen den Pol hin zieht. Hier würden wir, deutlicher als auf dem Mars, eine Veränderung wahrnehmen, das Blaugrün der Vegetation, das sich über die obergrüne Grundfarbe abhebt; aber die beiden Welten Erde und Mars würden einem furchtbarsten Gegensatz darin zeigen, daß

die Vegetationswelt auf der Erde vom Äquator gegen den Pol hin fließt, auf dem Mars dagegen vom Pol gegen den Äquator hin. Woher dieser Gegensatz? Einfachste Ursache der Gegenwart oder Abwesenheit von Fruchtbarkeit? Zwei Agenten sind entscheidend zum Hervorrufen des vegetativen Lebens, der Rohmaterial und die wirkende Kraft. Sauerstoff, Stickstoff, Wasser und verschiedene Salze bilden das erstere, die Sonne liefert das andere. Auf der Erde ist, mit Ausnahme der Wüste, Wasser überall anwesend, die Entwicklung der Sonne aber nimmt es und ab und entsprechend vollzieht sich plötzlich der Kreislauf des vegetativen Lebens. Auf dem Mars dagegen fehlt vielfach das Wasser, es gibt dort im wesentlichen nur solche, welche von dem Schmelzen der Schneee- und Eismassen herfließen. Vegetation kann es nur in einem Maße dort nur aufblühen, nachdem das Wasser aufgenommen ist. Daher muß dort die Vegetation vom Pole ausgehen und gegen den Äquator hin vorrücken, während auf der Erde genau das entgegengesetzte stattfindet. Beteiligt am Mars stimmen damit die Beobachtungen der Kanäle ganz überein. Teillich hauptsächlich bestimmt, nicht durch das Kommen der Sonne, sondern durch das des Wassers, folgt das vegetative Leben auf dem Mars nicht dem zunehmenden Breitengrade, sondern bewegt sich der Scheibe herab. Wir schließen daraus, sagt Lowell, daß die Kanäle Stroben von Vegetation sind, die gesteuert wird von dem Wasser, das von der polaren Eiszone kommt!

Wie schnell schreitet das Aufblühen des vegetativen Lebens auf dem Mars nach und ziemlich gleichförmig vom Pole her über die Oberfläche des Planeten fort. Die Verdunstung macht etwa 50 Tage von dem 75° nördl. Br. bis zum Äquator zu gelangen, eine Strecke von 2600 engl. Meilen. Im Durchschnitt entspricht dies 50 engl. Meilen pro Tag oder 22 engl. Meilen in der Stunde. Unter dem Einfluß der

Schwern auf dem Mars würde über Wasser hinausragt vom Pol gegen den Äquator hin fließen, um wenigstens mit der wirklich vorhandenen Gleichmässigkeit und daher schon der Schmelz-unvermeidbar, daß es dort auf künstlichem nicht auf natürlichem Wege gezwungen wird. Daher, sagt Lowell, werden wir darauf geführt zu einer künstlichen Umpolung und künstliche Erhaltung der sogenannten Kaskade zu denken, deren Benennung dadurch gerechtfertigt erscheint, und ich sehe keine Möglichkeit dieser Schlussfolgerung zu entgehen. Diese wird noch unterstützt durch eine wichtige Tatsache. Der Fortschritt in der Entwicklung, der sich vom Pole gegen den Äquator in immer späterer Epoche vollzieht, macht am Äquator selbst nicht Halt, sondern die Verpflanzung schreitet auch auf der südlichen Hemisphäre fort. Minge sie aber von der physischen Beschaffenheit der letzteren abhängig ab, so müßte mit dem

Überschreiten des Äquators eine Umkehr eintreten weil die natürlichen Verhältnisse jetzt die entgegengesetzten sind. Das ist aber durchaus nicht der Fall und so stehen wir hier vor einer Erscheinung, die nicht nur einfach unerklärbar aus Naturgesetzen ist, sondern diesen direkt entgegensteht. Die hier vorliegende Studie, schreibt Lowell, führt demnach zu folgenden drei Schlussfolgerungen:

1. Die Kaskade entwickelte sich über die Scholle des Mars aus einem Material, welches vom Schmelzen der Polkappe des Planeten herrührt, und die Entwicklung überschreitet den Äquator und greift in die andere Hemisphäre über.

2. Die Kaskade deutet ihrem ganzen Verhalten nach auf Vegetationsvorgänge und

3. sie wird künstlichen, nicht natürlichen Ursprungs.

## Der photographische Mondatlas von William H. Pickering.

Von Dr. Kiehl.

Der erste Versuch eines nur auf photographischen Aufnahmen beruhenden Atlas der am gegenwärtigen Mondatlas herzustellen, wurde auf der Lick-Strawson gewacht. Die dort erhaltenen Darstellungen zeichnen sich durch Schärfe und Reichthaltigkeit aus, doch fand sich auch, daß dieselben an wirklich unterschätzbarem Detail im allgemeinen nicht mehr anstehen als man unmittelbar mit bloßem Auge an einem feinsten Refraktor unter guten Luft- und Beobachtungsverhältnissen sehen kann. Der Vorrat der photographischen Aufnahmen liegt in ihrer Fülle und völligen Freiheit von zufälligen Fehlern und Auslassungen, welche bei zeichnerischen Darstellungen des Mondes unumgänglich sind und die, besonders was die hellen und dunklen Flecke des Mondbodens anbelangt, selbst die große

Karte von Julius Schmidt verdrängen. Dazu kommt, daß alle auf Beobachtungen und Zeichnungen beruhenden Mondkarten nur konventionell, in der Weise unserer geographischen Karten, das Relief des Mondes wiedergeben, nicht aber das unmittelbare Aussehen desselben. Es ist gewissermaßen eine andere Sprache, in welcher das auf die Mondoberfläche geschriebene Detail der Formationen überliefert ist, wodurch bei der Interpretation derselben, so es daß man dabei den Ursprung dieser Bildungen zu ergründen sucht oder wenigstens Veränderungen nachspürt, die wichtigsten Anhaltspunkte verloren gehen. Erst auf diese Weise die photographische Darstellung z. B. bei Lickstrawson auf einem großen Karte des Mondes ein die Wirklichkeit durchaus natürliches Bild und geistlich vermittelte Zusammenhänge der

Fernsehen untereinander ließen, ist dem Krieger nicht unbekant. Die Mälerische Darstellung ist beides, zum größten Theil aber auch nur, weil die lithographische Wiedergabe vielfach den ganzen Verschwommenheit besitzt, die den allgemeinen Eindruck begünstigt. Die große Mondkarte von Julius Schmidt endlich zeigt eine Menge von Details und ist in Bezug auf deren Vollständigkeit unzweifelhaft, aber die allgemeine Form des Mondes und auch auf ihr mangelhaft, ganz Gefügsamkeit wie z. B. die Apenninen sind in der Wiedergabe verfehlt und die Eigenheiten der großen Berge nicht wiedergegeben. Auf dem Wege der konventionellen, nachgerade Wiedergabe der Mondkarte ist aber überhaupt kein Mann mehr, der die Vollständigkeit der lithographischen Mondkarte nicht selber zu können; diese Aufgabe überläßt der menschliche Kraft, sobald es sich um die ganze Mondoberfläche handelt. Deshalb beschränken die Mondphotographen der Lick-Sternwarte nicht gewöhnlich Fortschritt über das bis dahin Erreichte hinaus, denn es fehlt eine geeignete Unterlage um feine Details anzufügen und diese eine Vollständigkeit und Zusammenfügung zu erzielen, welche sonst unerreicht blieb. Auf diesem Weg habe ich von Anfang an hingewiesen und der Erste — sowie bei jeder Einlage — der ihn, namens Rein folgend, beschalt, ist J. N. Krieger gewesen.

Von einem Mondatlas, dessen Unterlage zunächst die Aufnahmen der Lick-Sternwarte bilden, ist bis jetzt der I Band erschienen. Welcher Band, für welche die photographischen Aufnahmen des Mondes zu Paris die hauptsächlichste Grundlage bildeten, und von dem vorberichtet und einige Blätter daraus bekannt geworden, allein der allfällige Tod des jungen Selbsterfinders hat das Unternehmen im Stiche gelassen. Die photographischen Aufnahmen der Lick-Sternwarte geben natürlich die weitestgehende Ansicht der Mondlandschaften

am Fernsehen wieder und da diese je nach dem Sonnenstand über denselben sehr wechselt, so wird notwendig, jede Mondlandschaft bei verschiedener Beobachtung vom Sonnenstande bis zum Sonnenuntergange dem astronomischen. Man kann annehmen, daß die Charakteristik der Mondlandschaften 5 Aufnahmen einer jeden genügen, die sich gleichzeitig über die Zeit der Beobachtung derselben durch die Sonne verteilen. Dadurch und infolge des Umstandes, daß je nachdem nur ein kleiner Theil der Mondoberfläche zur photographischen Darstellung kommt, wächst die Anzahl der Blätter eines photographischen Mondatlas erheblich an und muß auf 100 bis 120 und darüber voranschlagen. Die Mondentnahme der Lick-Sternwarte und aber bald im Stiche gebracht, nur ein recht kleiner Theil des Mondes liegt in einem von. Diese bedauerliche Stockung war die Folge mangelhafter Organisation, dann aber wohl auch des Umstandes, daß erstenswohl von Seiten der Pariser Sternwarte einer Leitung von Lowy und Piazzi die Herstellung eines photographischen Mondatlas begonnen werden ist, der in jeder Beziehung die Darstellungen der Lick-Sternwarte übertrifft. Die Photographie hierzu werden im Hauptpunkte des großen Argonauten caudal aufgenommen, auf Glas vergrößert und in Heliogravüre publiziert. Der Vortrefflichkeit der Aufnahmen entspricht die Klarheit der Ausführung, so daß in diesem Atlas, von dem bis jetzt 41 Blätter vorliegen, ein wissenschaftliches Fachwerk steht, das auf astronomisches Gebiet wenig geklärt wird. Jede Lieferung bringt zudem einen die Darstellungen begleitenden Text, enthaltend Studien über die Topographie und Konstruktion der Mondkrater, sowie der beiden Hemisphären. Dieses große Mondwerk der Pariser Sternwarte bricht nicht im allgemeinen den Höhepunkt der jüngsten photographischen Mondentdeckungen, da diese mit ihrem Detail entspricht durchsichtlicher denn



größten, welches ein guter 3½ Zolliger Refraktor unter günstigen Luftverhältnissen zeigt, nur würde dieser die Mondflächen schärfer darstellen, als sie auf den Heliographen erscheinen.

Eines Fortschritts über diese Photographie kennen wir: dasjenige, welche jüngst auf der Yerkes-Sternwarte am 40 Zolligen Refraktor erhalten worden sind unter Anwendung der von C. H. Barkey vorgeschlagene Farbentfärbung, welche die blauen Strahlen nicht durchlassen, während die benannten dochromatischen Komponenten für gelbe Strahlen äußerst empfindlich sind, ihre Empfindlichkeit für Orange und Rot sowie für Grün nach abnimmt, dagegen für die blauen Teile des Spektrums wieder größer ist. Auf diesem Wege hat Richey bei voller Öffnung des 40 Zolligen Hölzeren Heliographen erhalten, welche die höchsten Erwartungen übertrifft. Schon früher ist im Sinne<sup>1)</sup> eine Probe, davon steht Erläuterungen beigefügt worden, jetzt liegen nun 4 6 Mondaufnahmen nach diesem Verfahren vor, welche ohne jeden Vergleich allen überbieten, was von photographischen Monddarstellungen bei jetzt dagewesenen Umständen entnommen wird der Kaiser des Mondes, wenn er diese herrlichen Darstellungen betrachtet und in sie sich versenkt! Sie bieten zum ersten Male ein Bild der Mondoberfläche so scharf und so reichhaltig, wie man es unter guten Luftverhältnissen an einem 4 Zolligen Refraktor wirklich sieht. Die Tafel, welche den Copernicus und seine Umgebung darstellt, merkt nach jeder Betrachtung die völlig des Abbildes im Fernrohr und bewundert, wie weit die Darstellung dieser Region selbst auf der schwächsten Mondkarte besser als getreue Abbildung zu stellen den Anforderungen zurück bleibt. Wollen man

in dem gleichen Maßstabe noch Atlas der ganzen Mondkarte herstellen, so müßte dieser etwa 200 Blätter umfassen, eine Arbeit, die selbst der Verfertiger weder beabsichtigt noch vielleicht auch durchführbar ist. Die von Barkey publizierten 6 Mondaufnahmen sind daher Preisen denen, was zur Zeit gelistet werden könnte, aber nicht höher eines systematischen Mond-Atlas. Einen solchen vollständig auf photographischem Wege herzustellen hat dagegen William H. Pickering und er ist neben in den Annalen der Harvard-Sternwarte erschienen, 80 Blätter umfassend! Schon früher hatte Prof. William Pickering auf die Vorteile hingewiesen, welche ein Teleskop von 12 bis 15 Zoll Öffnung und einer sehr langen Brennweite von um paar hundert Fuß für die photographische Aufnahme des Mondes darbieten würde. Diesen Plan ausführlicher bei sich dank der Libanitiswiderfreunde der Astronomie (gibt es Namen nicht genau) wägend, im Jahre 1890 Gelegenheit. Die zur Verfügung gestellte Deklamationsstätte die Herstellung eines Objektivs von 30 cm (12 engl. Zoll) Öffnung und einer Brennweite von 43.25 m (135.3 engl. Fuß). Natürlich mußte bei diesem Objektiv von einer ungleichen Brennweite der Tubus eine lose, unbewegliche Lage erhalten, während das Licht der zu photographierenden Objekte durch einen beweglichen Spiegel in das Fernrohr geleitet wurde. Eine Expedition nach der Insel Jamaica, auf der ein 5 Zolliger Refraktor an verschiedenen Stationen zur Prüfung der Luftverhältnisse aufgestellt worden war, hatte ergeben, daß dort während des Sommers häufig glänzende Luftverhältnisse herrschen und es nicht zu hoffen, daß solches auch in den Wintermonaten der Fall sein werde, die dort vielfach vollkommen Winter liegen. Doch ergaben später die Erfahrungen, daß es astronomischen Zwecken

<sup>1)</sup> Jahrgang 1905, Teil IV.

<sup>2)</sup> *Decennial Publications of the University of Chicago*. I Serie Volume VIII Chicago 1906.

<sup>3)</sup> *Annals of the Astronomical Observatory of Harvard College* Vol. 13, Cambridge Mass. 1902.

die Luft im Winter zwar gut aber weniger vorzüglich als während des Sommers etc. Im Oktober 1900 kam Prof. William Pickering mit seinem Begleiter zu Mondverfälschungen auf Jermaca an und errichtete seine Station 2 Meilen östlich von dieser Stadt auf dem Landstrasse Woodhouse ( $19^{\circ} 1'$  nördl. Br.,  $34^{\circ} 50' = 25'$  m. L. v. Gr.) 2000 engl. Fuß über dem Meeresspiegel. Schon am 21. Dezember, wenige Minuten nach Beginn des neuen Jahres, konnte der erste Blick durch das Teleskop geschoben und 8 Tage später wurde die erste Mondphotographie erhalten. Die erste völlig brauchbare photographische Aufnahme des Mondes geschah am 28. Januar, die letzte am 31. August 1901, so daß das gesamte Material in 7 Monaten erhalten wurde. Leider erwies sich der Spiegel nicht fehlerfrei, indem er nicht vollkommen eben war und dieser kleine Umstand zwang dazu, die benutzte Öffnung des Fernrohrs auf 110 mm (6 engl. Zoll) zu reduzieren, indemsonach wurde dieser ungünstige Umstand durch die lange Brennweite des Objekts einigermaßen kompensiert und nicht Prof. Pickering's Angabe und der besten von ihm erhaltenen Photographien desjenigen der Perseus Sternwarte, die mit einem Objektiv von 540 mm (26 Zoll) Durchmesser erhalten wurden, an Schärfe vergleichbar. Die Wiedergabe der Platten in dem Mondatlas ist in dem Maßstabe von 25 bis 40 mm für den Monddurchmesser, so daß 1 mm = 5 Sekunden im Bogen ausfällt, wobei viele kleine Details verloren gegangen sind. Was die Anordnung der Karten betrifft, so wurde die südliche Mondhälfte unabhängig zum Äquator in 5 gleichbreite Streifen zerlegt, die vom Äquator in der Mitte durchschnitten 16 Ergüssen gegeben, von denen 8 die nördliche und 8 die südliche Hälfte der Mondhälfte umfassen. Die Aufnahmen geschahen soweit als möglich bei den günstigsten Lichtverhältnissen des Mondes, damit die Gegenstände 16 bis 36° vom Rande ent-

fernt so gut als möglich zur Darstellung kommen konnten. Die Polarregionen des Mondes sind nicht zur Zeit des Vollmondes, sondern wenn der Mond nahe den Vierteln ist, am besten sichtbar. Zur Zeit des Vollmondes, wenn die Libration in Breite beträchtlich ist, bleibt der eine Pol von der Erde abgewandt, während die Gegenstände am den anderen im Schatten liegen. Obgleich unter diesen Verhältnissen die Sonnenhöhe für den nördlichen Mondpol am größten ist,  $1,5^{\circ}$ , so kann dennoch dieser Pol selbst sowohl als seine Umgebung besser gesehen werden bei niedrigem Sonnenstande, wenn der Neigung der Erdoberfläche nördlich ist. Der Ost- und Westrand des Mondes kann an der Lichtgrenze am gut gesehen werden bei Vollmond. Auf einer Darstellung des Mars lieferten bei Abendbeleuchtung nicht nur die Regionen am den Mondrand und nahe Burg des Apenniniberges sehr glänzend, wie solches immer bei dieser Beleuchtung der Fall ist. Prof. Pickering erhielt diese weite Färbung für Saturn, wovon ich ihm nicht bestimmen kann. Er macht ferner auf die dunklen Flecke im Atlas und Heracles aufmerksam, die er auf Vegetation zurückführt und damit die Veränderlichkeit dieser Flecke erklärt. Wen größere Veränderungen in Farbe und Gestalt dunkler Flecke habe ich früher in den mittleren Regionen der Mondhälfte nachgewiesen, doch möchte ich dieselben nicht ohne weiteres vegetatives Vorgehen zuschreiben. Die Anzahl der großen und kleinen Krater, die unter günstigen Umständen für uns sichtbar sind, schätzte Prof. W. Pickering auf mehr als 200000, aber geringer als 1000000.

Die photographische Mondkarte von Prof. W. Pickering ist eine langst erstrebte Ergänzung der geschätzten Mondkarten, sogar der einzige bis jetzt vollständig, welche die ganze Mondoberfläche und dazu unter 5 verschiedenen Beleuchtungsverhältnissen enthält.

## Vorschlag zur Anfertigung neuer Himmelskarten zum Gebrauch bei Aufsuchung kleiner Planeten.

**50**te Entdeckung kleiner Planeten erfolgt gegenüber, dank der Hilfe, welche die Himmelsphotographie leistet, in einem schiefen Tempo wie wir zuvor. Neben sind die neu aufgefundenen Planeten durchgängig von so geringer Helligkeit, daß es unbeschreiblich ist, wie sie Forschern mittlerer Größe zu verfolgen. Vorsehen wir doch, daß manche davon selbst am 52-Zöller der Wiener Sternwarte nicht gesehen werden konnten. Unter diesen Umständen ist es nicht verwunderlich, daß relativ viele dieser kleinen Wanderer wieder verloren gehen und photographisch nur gesucht werden müssen und daß von ihnen in manchen Fällen erst lange nach der ersten Auffindung näherungsweise Bahnen geseht werden können. Von den hier bestehenden Schwierigkeiten haben selbst die Fachleute, welche diese Planetenentdecker sind, kaum eine angemessene Vorstellung. Es ist daher von allgemeiner Interesse, daß erst die so berühmte Planetenentdecker wie Dr. J. Palas in Wien, sich über diese Verhältnisse abgehend sehnend und gleichzeitig Vorschläge zur Verbesserung derselben macht.<sup>1)</sup> Er sagt hierüber u. a.:

„Als am Ende des Jahres 1891 durch Prof. Wolf das photographische Verfahren zur Aufsuchung kleiner Planeten eingeführt wurde, glaubte man allgemein und mußte es auch glauben, daß es von nun an nie mehr vorkommen würde, daß neu entdeckte Planeten wieder in Verlust gehen könnten. Selbst in dem Falle, daß ein Planet nur kurze Zeit beobachtet worden war, konnte man hoffen, denselben in der zweiten oder dritten Opposition wiederzufinden, da ja das Durchsuchen der im Bereich kommenden Objekte angewendet werden konnte.

In der Tat hat die Photographie die auf sie gestellte Hoffnungen in höherem Maße erfüllt, denn es sind nicht nur eine Anzahl neuer Planeten entdeckt, sondern auch sehr viele alte nachweislich mittels systematischer Aufsuchung wieder gefunden worden, und es kann das Verdienst des Heidelberger Observatoriums nicht hoch genug anerkannt werden.

Nichtdenkbarer ergibt es sich wider Erwarten sehr häufig, daß neue Planeten in Verlust gehen und zwar deshalb, weil von denselben nicht einmal zwölf Beobachtungen gewonnen werden, um überhaupt Bahnbestimmungen rechnen zu können. Verschiedene Umstände kommen zusammen, um diese Wirkung hervorzubringen. Vor allem andere erfolgt die Mitteilung der Entdeckung später als in früheren Zeiten. Während bei der alten Methode bereits innerhalb 24 Stunden die Sternwarten alarmiert waren und diese fast in allen Fällen eine gute Position und eine sehr genau richtige Bewegung mitgeteilt werden konnte, erfolgt gegenwärtig die Mitteilung meistens erst am dritten Tage, wobei die Position nur geahndet und, was noch wichtiger ist, die seltene Bewegung oft mit großer Ungenauigkeit angegeben wird, so daß bereits in wenigen Tagen der Planet ganz anders steht, als wo der Beobachter gestützt auf die mitgeteilten Angaben ihn sucht. Das ist nicht Schuld der Entdecker, denn die Horden in Heidelberg gehen sich die größte Mühe, auf das höchste als bestmögliche Operationen durchzuführen, sondern es liegt in der Natur des Verfahrens und man kann darin nichts ändern. Ein weiterer Umstand ist, daß die Helligkeit neuer neu entdeckter Planeten so schwach ist, daß deren Verfolgung auf vrasstem Wege nur mit dem reichlichsten Fernrohrern möglich ist. Ein Planet, welchen Prof. Wolf

<sup>1)</sup> Astron. Nachr. No. 3038

als 13. Größe angibt, nicht gewöhnlich an der Schätzstempelgrenze des Wiener 27-Zöllers, ja es ist mir wiederholt vorgekommen, daß auf dem Heidelberger astrophysikalischen Observatorium entdeckte Planeten so schwach waren, daß ich zweifelte, trotzdem mir der Ort sehr nahe bekannt war, mit dem 27-Zöller der Wiener Sternwarte nicht finden konnte. Ferner wirkt sehr erschwerend, daß die Anzahl der zu beobachtenden Planeten durch die Photographie so rasch zugenommen hat.

Nun kommt hinzu, daß die Ausmessung des Ortes auf der photographischen Platte eine so unruhige Arbeit ist, daß im großen ganzen nur wenig genau Positionen mitgeteilt werden können. Gerade die wichtigsten ersten Beobachtungen kommen häufig so spät zur Kenntnis der Beobachter, daß die Herstellung einer Kristallkugelpheomenide gar keine praktische Arbeit mehr hat, die aber, wenn sie rechtzeitig in den Händen der Beobachter wäre, die Verfolgung wesentlich erleichtern würde. Unter solchen Umständen ist es meistens sehr schwer und besonders dann, wenn mehrere Tage mit der Entdeckung verstrichen sind, wenn photographisch entdeckte Planeten visuell zu verfolgen, und es erregt sich immer wieder, daß ein photographisch entdeckter Planet abermals photographisch gesichtet werden muß. In dieser Richtung bietet das Heidelberger Observatorium die Möglichkeit. Es wäre aber viel zu wünschen und nützlich, wenn die Verfolgung eines entdeckten Planeten auf visuellem Wege erfolgen würde, denn in allen Fällen, wo der Beobachter wenig oder gar keine Zeit auf die Aufsuchung zu verwenden braucht, benötigt man nur gelegentliche Beobachtung und Reduktion und wenn gar Teils der photographierende Astronom ( ).

Da früher, wo es sich auch um kleine Planeten handelte, neue Planeten meistens mit einer bereits vorhandenen Sternkarte entdeckt wurden, so war nach deren erste Verfolgung infolge des Vor-

handenseins dieser Karte eine rechtlich einfache Sache. Das ist nun anders. In der größeren Anzahl der Fälle existiert keine Karte und der Beobachter ist nicht daher genötigt, in jedem neuen Falle eine Karte anzulegen, und das muß desto unangenehmer geschehen, je mehr Zeit seit der letzten Positionsbestimmung verstrichen ist. Das ist aber aus der betrüblichen Arbeit des Beobachters und man sieht es dem einfachen Bauweise in der Regel gar nicht an, welche Mühe angewandt werden mußte, um nur den Planeten unter den Fixsternen herauszufinden. Es kann daher nicht wunder nehmen, daß auf den meisten Sternwarten, an denen auch kleine Planeten beobachtet werden, die Beobachter sich nur mit den älteren Katalogen dieser Gruppe beschäftigen, von denen gute Ephemeriden vorliegen.

Das Verfolgen der kleinen Planeten würde aber ganz wesentlich erleichtert werden, wenn gute Sternkarten zur Verfügung ständen, und ich bin überzeugt, daß es so mancher Sternwarte diese Beobachtungen wieder aufgenommen würden, wenn das so mühsame und oft erfolglose Aufsuchen entfielen würde. Da ich alle meine Messungen gut aufbewahrt habe, so hat ich in vielen Fällen in der angegebenen Lage, über eine bereits fertige Karte zu verfügen, aber von Jahr zu Jahr bleibe ich immer mehr der Unmöglichkeit meiner Mittel und des Bedürfnis nach guten Sternkarten. In dieser Richtung werde ich in den letzten Jahren vielfach durch Prof. Wolf unterstützt, der mir in wunderbarer netter Weise vergrößerte Kopien seiner Kataloge spendet, wenn es sich um sehr schwache Planeten handelt, unbedeutend. Diese Kopien übertrug ich nun meistens nach Augensmaß vergrößert auf meine Karten und so konnte ich in den meisten Fällen binnen wenigen Minuten den gesuchten Planeten finden, während ich ohne diese Hilfe des Prof. Wolf mehrere Stunden mit dem Auflegen der Karte zugebracht hätte.

Was die vorhandenen Karten von Chacabac, Henry, Peters und mir betrifft, so bedecken dieselben einmala ein und zu hundert Himmelsraum, anderseits erfüllen sie bei der geringen Helligkeit der meisten Objekte Ergänzungen mit Bezug auf die schwachen Sterne. Das große internationale Unternehmen der Aufnahme des ganzen Himmels bis zu den Breiten 14. Größe ließ hoffen, daß mit diesen Karten dem oben geschilderten Bedürfnisse an für allemal abgeholfen sein würde. Eine größere Anzahl dieser Karten ist bereits erschienen, aber ich muß gestehen, daß diese Karten für diesen Zweck, für die unmittelbare Vergleichung mit dem Himmel, nicht geeignet sind.

Diese Karten sind ausgedruckt in anderer Richtung: sie enthalten alle Sterne bis zur 14. Größe,<sup>1)</sup> man kann ihnen die Position eines Sternes, wie Herr Kapteyn gezeigt hat, mit sehr großer Genauigkeit entnehmen; sie eignen sich auch zu anderen Untersuchungen, aber nur im Bureau. Was sie zum direkten Vergleich am Fernrohr untauglich macht, ist etwas das Fehlen, welches zu groß ist. Wenn man eine solche Karte in der Hand hält, brennt sie sich am, legt man sie auf ein Tischchen, so scheint sie die ganze Tischplatte in Beschlag; man will nicht wissen, was die Lampe stellen soll und schließlich, da man doch wieder ins Fernrohr zu sehen hat, findet man nicht sofort die in Betracht kommende Stelle der Karte. Diesen Mangel haben auch die früher genannten Karten, auch die vom Herausgeber des Wiener Karten. Bei letzteren kann ich mir aber durch Zerschneiden der Blätter helfen.

<sup>1)</sup> Ich hatte in den letzten Tagen der Arbeit, den Planeten (27) Thule zu beobachten, die in mehr Gröden stand, welche durch die Karte 99. 40' + 3' dargestellt ist. Es ergab sich, daß diese Karte nicht weniger Schärfe aufweist als zur 13. Größe enthält und ich gesteht mir, ähnlich viele Sterne auszumessen, während ich dies bei den anderen Weltkarten nicht so leicht habe. (2.)

Ein zweiter Punkt ist der Maßstab, in welchem die Karten gehalten sind. Derselbe ist für Zwecke der Benützung am Fernrohr viel zu groß. Es mag sein, daß bei uns das persönliche Moment der Gewohnheit eine große Rolle spielt. Als ich nämlich in Pola nach der Beobachtung der kleinen Planeten zu beschäftigen anfing, standen mir nur die Chacabacschen Karten zur Verfügung, ich gewöhnte mich an ihren Maßstab und legte alle meine Messungen in denselben an. Als ich 1880 an die Wiener Sternwarte kam und am 12-Zöller zu beobachten begann, war mir in der ersten Zeit der Maßstab zu klein; aber bald kehrte ich zu dem alten zurück, und als ich in weiterer Folge auch an dem 27-Zöller Planeten beobachtete, versuchte ich es gar nicht mehr, einen größeren Maßstab anzuwenden, sondern schick ohne Schwermuth das alte bei.

Das älteste Moment beim Gebrauch der neuen Karten ist aber das auf denselben aufgetragene Netz, dessen Striche zwar mit der Richtung der Rektascension und Deklination übereinstimmen, aber durchaus nicht mit wahren Zeitmeridian oder äquivalenten Teilen des Grades, und dadurch wird eine rasche Orientierung unmöglich gemacht.

Ich halte es daher für ein dringendes Bedürfnis der beobachtenden Astronomen, daß Karten hergestellt werden, die in erster Linie praktisch für den Gebrauch am Fernrohr sind, solche Karten werden nicht nur die Verfolgung und Ortsbestimmung der kleinen Planeten wesentlich erleichtern, sondern die Beobachtung der in kurzer Zeit bei rascher konstanter Veränderlichkeit, die entsteht nur auf vielfachen Wege vorzunehmen werden kann, ordentlich machen. Sie werden sich aber gewiß auch nach andere Richtungen als sehr nützlich erweisen.

Nach meiner Erfahrung müßten solche Karten Sterne bis zur 14. Gr. enthalten, im Maßstab und in der Anordnung des Netzes mit den Chacabac-

achen Karten überdies neuem, während jedoch das Format ein Viertel der genannten Karten betragen sollte. Sie müßten auf einer Papierart gedruckt sein, welche Korrekturen mit Tinte erlaubt, und wof bei'm Officen Gebrauch nichts zu vermeiden ist, daß sie schmutzig werden, müßte die Nachschaffung der selben Matter nicht möglich sein.

Da die Karten in erster Linie bei Beobachtung kleiner Planeten Verwendung finden werden, so kann man sich zunächst mit einem Elipsoidquartel von 10 Grad Breite begnügen und erst später dahin gehen, die beobachteten Gegenstände zu bezeichnen. Wenn die internationalen Karten über diesen Ortteil schon publiziert wären, könnte man dann denken, dass zur Grundlage zu nehmen und mit Hilfe eines Photographen-oder ähnlichen Apparates Kopien herzustellen, da der photographische Weg infolge des vorhandenen Feldes nicht so hoch greifbar ist. Da diese Grundbedingung aber auch lange nicht erfüllt sein wird, so könnten schon vorhandene Aufnahmen z. B. der Cambridge oder Heidelberg Observatorien benutzt werden, wenn sie sich über den ganzen Elipsoidquartel erstrecken. Der beste Weg aber wäre doch eine photographische Ausarbeitung mittels photographischer Fernrohre, deren Brennpunktbilder nicht nur im geometrischen Maßstabe erhalten sind, sondern auch in der Flächenausdehnung der von mir beobachteten Beobachtung entsprechen. Da bei dem gegenwärtig in Gang befindlichen internationalen Universalplan eingeführte Vorschrift, daß jede Aufnahme in drei nur wenig verschiedenen Stellungen des Objekts erfolgt, konnte in diesem Falle nicht nur aus astronomischen Gründen entfallen, sondern

auch deshalb, weil die dreifachen Sternbilder auf den Karten dem Auge fast wechsen und eine Wirkung hervorbringen, die derjenigen ähnlich ist, welche man beim Beobachten mit unrichtig eingestellten Okular erhält.

Wenn durch Weglassen dieser Vorschrift hier und da Plattenfehler für Sterne angegeben wurden sollten, so ist das von keiner Bedeutung, weil es dem Beobachter möglich sein wird, durch Vergleich mit den internationalen Karten Auskunft zu erhalten. Es scheint mir wichtiger zu sein, daß das solche Himmelsaufnahmen, in der ersten Plattenfehler vorhanden mögen, bald ausgemacht kommt, als daß dieser Umstand die Erreichung des Zieles um Jahre hinauschieben sollte.

Die Durchführung eines solchen Unternehmens, welches höchstens zehn Jahre zu fordern kann, könnte nicht von Sternwarten übernommen werden, welche in einer größeren Stadt liegen und die, wie die Wiener Sternwarte, vom Rand der Stadt und der umwohnenden städtischen Bevölkerung immer mehr und mehr bedrängt werden, sondern müßte Sternwarten anvertraut werden, denen die große Klarheit des Himmels beschieden ist. Ganz besonders würden sich hierzu hochgelegene Sternwarten, wie z. B. die Heidelberg- oder die von Dr. Kolleritz im Semmeringgebiete projektierte Sternwarte eignen, weil aus denselben die Expositionsmacht wesentlich vergrößert werden könnte.

Ob ein solches von mir vorgeschlagene Unternehmen zur Durchführung kommt, hängt in erster Linie davon ab, ob die notwendigen und nicht unbedeutenden Geldmittel vorhanden sind, an Untersuchern dürfte es dann nicht fehlen.

### Tekste von beobachteten Fälle, eine neue Klasse von Meteoriten.



unter der besten Kenner der Meteoriten. Dr. Arnoldus Bernas, bei der Wiener Akademie der Wissen-

schaften eine wichtige Mitteilung über den wirklich beobachteten Meteorfall von Albstadt gemacht, welche zu dem

Moldavit zu stellen sind, deren naturliche Natur zuerst Verbeek und später Franz E. Sahl beschreiben haben. Der Wiener Akademische Anzeiger (1904 Nr. 5) berichtet über die Mitteilung Brezins folgendes:

Im Jahre 1827 hat H. D. M. Verbeek den Moldavien, Bessarabien und Astrachan eines gemeinsamen außerordentlichen Ursprunges (aus den Moldavien) in-geschrieben und 1845 hat Dr. Franz E. Sahl sie als eine eigene Klasse der Meteorite unter dem Namen der Tektite angesprochen und ihre Eigenschaften sehr eingehend beschrieben.<sup>1)</sup>

Die Argumente für die streitige Natur dieser eigenartigen Körper waren hauptsächlich folgende:

1. Ihre Oberflächeneigenschaften läßt sich weder durch Abreibung noch durch Abwitterung erklären, sondern entspricht vollkommen der der Meteorite.

2. Ihr chemisches Verhalten und ihre Zusammensetzung unterscheiden sich wesentlich von denen der natürlichen und künstlichen Gläser irdischer Herkunft, die Tektite sind wasserfest und schmelzen sich in einer wasserdampf-freien Atmosphäre gebildet zu haben.

3. Auch die physikalischen Eigenschaften unterscheiden die Tektite sowohl von den natürlichen als den künstlichen irdischen Gläsern.

Trotzdem haben sich die schieds-geschiedenen Kreise der Anschauung von der streitigen Natur dieser Körper be-her größtenteils verschlossen.

In der Literatur ist seit nahe 50 Jahren der Fall eines Tektites unter dem bei Meteoritenfällen gewöhnlichen Erscheinungen verzeichnet.

Am 12. Mai 1818, nachmittags 6 Uhr, fielen auf dem Hofe des Gutshof Igai bei Wolk in Livland unter 37° 36' N, 26° 13' O Gr. mit einer gewaltigen Lichterscheinung und einer lautharen Detonation zwei zwei Handvoll klein-

stein- oder knollenförmiger Körper von dunkelbrauner, schlaggrauer oder brauner Farbe, welche „Übergänge von einer knolligen oder linsenförmigen, geschmolzenen oder polierten Masse bis zu einer blasenreichen, vollkommen entwickelten, gleichartigen Lava- oder ge-Stein besitzen und eine zusammenhängende, glatte Schlackenrinde.

Das spezifische Gewicht der ge-pulverten und ausgepressten Masse war 2,679, das der ungeschmolzen, gekochten Masse 2,319 und das der ungeschmolzen, nicht gekochten Masse 1,840. Die Moldavite haben 2,318 bis 2,355, der Bessarabite 2,445 bis 2,505 die Astrachan 2,419 bis 2,470 spez. Gewicht.

Die Fallerscheinungen von Igai sind durch verlässliche Zeugen beobachtet.

Die chemische Zusammensetzung des Igai-er Tektites läßt vollständig in die von Sahl veröffentlichte Reihe von sieben neuen Analysen Bachweiser und Tschekow's Moldavite, wie die nach-folgende Zusammenstellung zeigt.

I bei H. Moldavit von Kischinitz bei Budweis, Analysen von C. v. John.

IV Moldavit von Wittingen (B), Bud-weis, Analyse von J. Hermann.

V Moldavit von Bachweiser, Analyse von C. v. John.

VI und VII Moldavite von Tschekow, Analyse von C. v. John.

VIII Igai, Analyse von Grewingk-Schmidt.

Igai wurde meist als Pseudometeorit angesehen.

Am 24. Januar des laufenden Jahres, bereits 8 Uhr, fiel nach heftiger Mit-teilung des Herrn Dr. G. Brandes, Privatassistenten der Zoologie, in Halle S-ue Meteorit auf dem gepflasterten Hof eines Bauhauses vor der Wohnung des Hausmanns, durch Fort mit ihm beiden Kindern durch die Lichterschei-nung erschreckt wurde. Erst am anderen Morgen fand der Hausmann den Stein

<sup>1)</sup> Vgl. besonders die geologischen Mit-teilungen in Jahres 1848, S. 151 u. 154 sowie die dort gegebenen Abbildungen d. Moldav-er Meteorite.

<sup>2)</sup> C. Grewingk und C. Schmidt. Über die Meteoritenfälle von Pöhlitz, Barchhof und Witz. Archiv Naturk. Liv., Est und Curland. 1. 401 bis 556, 1864.

in der Größe einer Fuge auf einem verbleiblichen Papier liegen. Auf Anfrage in der Zeitung meldeten sich auch vier Personen, die vom Zimmer aus die Lichtschierung wahrnehmen wollten, und zwar von SO nach NW. Eine Familie (Häuf Perencen), die sich außerhalb der Stadt befand, hat auch eine Diskussion geführt, die sie aber gar nicht

in Verbindung mit der Lichtschierung brachte, weil sie eine geringe Zöhlspitze erlangte (1/2 Mensch). Der Sonn ist durch und durch glanz, er gleicht einem Obelisk.

Der beiden scheren Fülle von Licht und Helligkeit dörften namentlich die letzten Zweifel an der strahlenden Natur der Teilchen beseitigen.

	I	II	III	IV	V	VI	VII	VIII
SiO <sub>2</sub>	62.25	73.75	77.68	81.30	81.65	86.52	77.98	62.87
Al <sub>2</sub> O <sub>3</sub>	18.08	13.93	12.78	9.68	9.66	7.03	12.32	9.03
Fe <sub>2</sub> O <sub>3</sub>	—	—	3.05	3.28	—	0.14	0.14	2.45
FeO	1.01	1.66	1.45	—	1.13	1.69	3.36	—
MnO	—	—	—	0.11	0.18	0.11	0.18	0.20
CaO	2.34	3.65	1.28	2.88	3.66	1.62	1.94	0.78
MgO	8.86	6.22	1.15	1.86	1.52	1.29	1.48	1.58
K <sub>2</sub> O	3.26	2.64	2.78	2.34	2.38	3.06	2.78	3.13
Na <sub>2</sub> O	8.08	6.76	6.78	—	6.63	6.42	6.62	6.76
Other	0.00	0.10	—	—	—	—	—	0.00
	100.00	100.00	100.00	100.00	100.00	100.00	100.00	100.00

\* In Wasser gelöst.

## Neuere Methoden der Entfernungsbestimmung der Fixsterne.

**A**ls eine Habitation-Vorlesung gab Privatdozent Dr. C. W. Wirtz in Stuttgart eine kritische Rundschau über neuere Methoden bei der Bestimmung der Fixsternparallaxen. Der höchsten Erfolg auf diesem Gebiete hatte Bessel, dem es 1838 gelang, die Parallaxe des Sterns 61 im Schwan zu bestimmen, indem er die jährliche periodische Verschiebung desselben gegen zwei, rechts und links von ihm im Schwan stehenden Sternen, deren Parallaxen als unendlich angenommen wurden, maß. Bessels schöne Methode, die dem Heliometer, dessen er sich bediente, auf den Leib geschrieben war, fand bald Eingang in die Wissenschaft und wird bis auf den heutigen Tag sehr häufig an Heliometern älterer und neuerer Konstruktion zur Bestimmung relativer Parallaxen verwendet. „Sei mir rader“, sagt Dr. Wirtz, „da du den kompliziertesten

und kostspieligsten Apparat der praktischen Astronomie, das Heliometer, verwendet, recht mühsam, und an einer raschen Durchmusterung des Himmels auf große Parallaxen darfst du nicht denken, ganz abgesehen von anderen Gründen. Du fährst mit gutem Erfolg Kapteyn im Jahre 1885 eine Modifikation der Heliometerdistanzmethoden ein. Statt Bessels die Abstände mit dem Doppelbildheliometer durch Vergleich, so suchte Kapteyn sie durch Fotokoinzidenzverschiebung zu ersetzen, die er im verfeinerten, fertigkonstruierten astronomischen Instrument maß, im Mikroskopkreuz. Im Prinzip bedeutet das keine Änderung, nur eine Variation des Beobachtungsmodus (manche Fälle dankte die Einstellung bei relativ ruhenden Bildern, um andere Approximierung der Sternentfernung an die Fäden mittels des Chronographen. Der Resultat, die Kapteyn



an dem lehrreichen und mechanisch ausgezeichneten Mondkometen der Leidener Sternwarte anstellt, befragt ihn durchaus und ermöglicht uns Fortsetzung der Besprechungen. Inzwischen ist aber die große Umdrehung in der beobachtenden Astronomie; die Photographie erwacht die Bürgerwelt, und ihre Genauigkeit erreicht nach der bisher visuell möglichen, ja überflügelt sie in zweierlei Fülle wohl gar. Natürlich konnte man auch auf der Platte eine weitere Bessel's Methode der Parallaxenbestimmung anwenden, und man hat es auch so unter Vermeidung der Analektoren gemacht, aber damit würde man konsequenz die Vorteile aus, die die Spezialität einer Photographie der Parallaxenbestimmung hat, und hier war es wiederum Kapteyn, der die neuen Erschienens heutzutage wenig räsonnelle und wertvolle Methode der Parallaxenbestimmung führte. Auf dieses Kapteyn'sche Verfahren geht Dr. Wirtz nun ein und zeichnet dessen Grundzüge.

«Zu einer Jahreszeit», sagt er, «wo die parallaktische Verschiebung einer gewissen Gruppe von Sternen der Pleiaden sichtbar, mache ich eine Aufnahme jener Himmelsgegend, nehme dann die Platte aus der Kassette und lege sie an einem durchaus sicheren Orte ununterbrochen lichtdicht ein halbes Jahr auf. Nach dieser Zeit ist offenbar die parallaktische Verschiebung nach der entgegengesetzten Seite umgekehrt, und nun exponiere ich meine alte Platte auf dieselbe Gegend von neuem an gleichem Instrument und unter möglichst ähnlichen Bedingungen, verlicke indes das Fenster um ein Stümm, so daß die neuen Bilder sich nicht mit den alten vermischen. Nun wird die Platte entwickelt und fixirt, und wenn ich jetzt die Dossiers nehm zusammengehöriger Blätter — und nur diese — zusammen, so laßt sich offenbar in dem Verlaufe derselben von Stern zu Stern die relative Entfernung aller auf der Platte vorhandenen Objekte, für die durch eine ungenau simple Rechnung

die Parallaxen bestimmt werden können. Diese Bestimmungen sind natürlich selbst und beschränken sich auf eine Stern, für jede Platte wechselnde mittleren Elemente, die sich nicht auf dem Winkelnachweis zur Plattenmitte am Himmel. Allerdings wissen wir über die Entfernung der sternen Ebene jeder Platte ebensowenig wie im Falle der nach der alten Methode bestimmten Parallaxen von der Entfernung der zwei oder mehr Vergleichsterne. Der gewöhnliche Fortschritt der photographischen Methode Kapteyn's springt in die Augen. Bei der an zwei Vergleichsternen angelegten Parallaxe beruht ich im Grunde doch sehr wenig kennen, nämlich den Distanzunterschied zwischen Parallaxensternen gegenüber dem Mittel der beiden anderen Sterne. Im Falle der Kapteyn'schen Methode aber blüht ich gleichsam stereoskopisch in das Raumnetz herein, auf welches sich meine Aufnahme bezieht, und erkenne dort gleichsam die Lage vieler Sterne in Bezug auf die feste Ebene. Dessen stereoskopischen Weg hat Kapteyn selbst schon mehrfach erprobt, und meine Erörterung muß man seine Ergebnisse für ausreichend und höchst wertvoll halten.»

Neben diesem Verfahren hat nach der Meinung von Dr. Wirtz keine andere optische Methode mehr Exactheitsbefähigung, da sie nach Charaktere der Rechnung und Beobachtung weit hinter der photographischen zurücksteht, und während man an optischen Instrumenten auf einfache Weise nur eine relative Parallaxe zu messen vermag, liefert die vorgedachte Verfahrensgang sofort ein stereoskopisches Modell vieler hundert sichtbar beschriebener Sterne, die auf der einen Platte vorhanden.

«Aber aber,» fährt Dr. Wirtz fort, «das Kapteyn'sche Methode kann nach gar keinem Eingang in die allgemeine astronomische Praxis gefunden — und das ist bedauerlich, um so mehr, wenn man auf der andern Seite sieht, welche große Abfechtung an Rechen- und Beobachtungsaufwand von den nach der

alten, photographischen Methode Hagen Astronomisch dargestellt wird. So sieht man, wie heute wiederum Herr Kapteyns Meridiankreismethode zur Parallaxenbestimmung mehrfach aufsucht, und dazu an Instrumenten, die optisch ihrer Aufgabe nicht gewachsen sind. Vorgegenwärtigen wir uns doch, daß es sich darum handelt, Größen unter  $0.10''$  kennen zu lernen, und das will man mit kaum dreifelligen Fernrohren von höchster Vergrößerung machen! Nein, was ich nicht sehen kann, kann ich auch nicht messen; ich meine, das muß ein unentbehrlicher Grundsatz sein.

Die alte Bessel'sche Heliometermethode, führt Dr. Wirt fort, ist natürlich durchaus scharf und fast unverwundt, sobald ich mit optisch kräftigen Heliometern — und das geschieht heute — an meine Aufgabe herantrete. Aber ich meine, sie ist unangenehm, da sie sich mit einem so großen Aufwand an physischer und technischer Arbeit zu wenig beszen lohnt.

Schließlich zieht Dr. Wirt folgende Folgerungen:

1. Es gibt heutzutage nur eine einzige wertvolle Methode der Parallaxenbestimmung, die schon genügend ist, einen Erkenntnis, insbesondere von der räumlichen Verteilung der Fixsterne zu fließen; das ist die photographische Hagen Kapteyn's.

2. Daß heutzutage noch optische Methoden, wie die Heliometer- und Registriermethode, zur Verwendung gelangen, bedeutet einen Mißschritt.

Zuletzt zieht Dr. Wirt auch noch einen Blick auf den Stereoskopparallaxen-Wert Kapteyn durch Messung erzielt, nämlich einen stereoskopischen Blick in die Fixsternwelt, die toll über die Anschauung lehren, die freilich auf eine einfache Weise durch Einstellung einer wandernden Marke in die Tiefsehne

des betrachteten Sterns bewirkt werden kann. Das Prinzip ist einfach genug. Ich nehme jetzt eine Platte mit dem Refraktor auf und entwerfe und fokaliere sie wie gewöhnlich. Dann mache ich von derselben Gegend nach gewisser Zeit eine zweite Aufnahme, lege beide Aufnahmen in ein Stereoskop — denn etwas anderes ist im Grunde der Stereoskopparallaxe nicht — und erkenne dann gleich plötzlic durch den Anblick die verschiedenen Entfernungsstadien der Objekte aneinander. Es ist klar, daß ich gar nicht an die Halbjahresperiode der Parallaxe gebunden bin, sondern die Platten auch in einem Zwischenraum von zehn oder mehr Jahren aufnehmen und unter dem Apparat zur Vergleichung zusammenlegen kann. Denn gewissermaßen ist offenbar die Basis eines Parallaxen-dreiecks die Wegstrecke, die von der Sonne und ihrem geraden Spure in zehn Jahren (oder mehr) durchlaufen wird, und da diese Eigenbewegung der Sonne etwa 15 km pro Sekunde, also 30 Erdbahnradien in zehn Jahren beträgt, so könnte man leicht geneigt sein, diese Methode für unsern Zweck sehr hoch zu schätzen. Gewiß wird sie auch noch einmal zu Ehren kommen, wenn die eigentlichen Schwachstellen, zum Teil physischer Art, die sich ihr entgegenstellen, überwunden sein werden.

Auch dann darf ich nie vergessen, daß das, was ich im Stereoskop sehe, keineswegs von parallaxische Wirkung ist, sondern noch die eigene Bewegung der Sterne und der Sonne mit enthält, deren Tötung meist große Schwierigkeiten bereitet. Überdies liegen noch keine Versuche vor, bei denen der Stereoskopparallaxe in Verbindung mit langbrennweitigen Instrumenten zur Parallaxenbestimmung verwendet worden wäre.

## Neue Bestimmungen des geographischen Längensunterschiedes Potsdam—Greenwich.

Um einen sicheren Anschluß des mitteleuropäischen Längensystems an Greenwich, als des Ausgangspunkts für die Zählung der geographischen Längen, zu erlangen, wurde im Sommer 1883 vom Kgl. Geodätischen Institut eine möglichst genaue Bestimmung des Längensunterschiedes zwischen Potsdam und Greenwich unternommen. Über die Ergebnisse dieser Arbeit hat Prof. Holmner der Kgl. Akademie der Wissenschaften in Berlin eine Darstellung von Prof. Th. Albrecht vorgelegt,<sup>1)</sup> die der das Nachfolgende entnommen ist.

Ein scharfer Anschluß, sagt Prof. Albrecht, war bis dahin (sofern noch nicht vorhanden, als die im Jahre 1855 von englischer Seite ausgeführte Längenbestimmung Greenwich—Potsdam, in Verbindung mit dem 1891 vom Geodätischen Institut bestimmten Längensunterschied Potsdam—Berlin und dem 1876 aus einer Coeppertion der Berliner Sternwarte mit den astronomischen Längenbestimmungsarbeiten hervorgegangenen Längensunterschied Berlin—Greenwich einen Schätzfehler von 0,22" aufwies. Eine Lösung konnte die Verbindung über Paris wegen der schon jahrelang lang bestehenden Unsicherheit in der Annahme des Längensunterschiedes Paris—Greenwich bedingen. Die Beobachtung erfolgte unter Anwesenheit des Republikanischen Längensystemkomitees mit Umlauf sämtlich jedes Sterndurchgangs. Am ersten Abend wurden drei vollständige Zeitbestimmungen (je zu 6 bis 7 Zeitbestimmen und 1 Polster in oberer oder unterer Culmination bestehend) beobachtet, welche vier voneinander unabhängige Signalwechsel symmetrisch-rückwärts. Auch war das Beobachtungsprogramm so gestellt, daß eine möglichst vollständige Elimination der Unsicherheiten

in den Annahmen der Richtungsweiten der Sterne entfiel. In der Mitte der Längenbestimmung fand ein Wechsel der Beobachter und der Instrumente statt.

Zur Ausführung der Signalwechsel auf elektromagnetischem Wege war dem Geodätischen Institut seitens der deutschen und der englischen Telegraphen-Versorgung ein Telegraphendruck Potsdam—Berlin—Emden—Hamburg—London—Greenwich zur Verfügung gestellt worden. Derselbe bestand aus einer 122 km langen, vorwiegend aus Braunkohlblei bestehenden oberirdischen Strecke auf deutschem Gebiet, dazu 425 km langen submarinen Kabel und einem 225 km langen, aus Kupferdraht bestehenden Teil auf englischem Territorium. Die beiden oberirdischen Strecken waren daher, abgesehen von der Verschiedenheit des Leitungsmaterials, überdies noch von englischer Länge, so daß zu befürchten stand, daß aus dieser Ungleichheit eine Beeinträchtigung der Synchronität der Endresultate hervorgehen könnte. Um diesem Bedenken von vornherein zu begegnen, erklärte sich die englische Telegraphen-Versorgung bereit, durch willkürliche Abschaltung einer 334 km langen Strecke London—Buckford—Leicester—Durstable—London die englische Leitung auf nahezu das gleiche Maß zu bringen wie die deutsche und damit die Lage des Kabels tatsächlich zu einer symmetrischen zu gestalten.

Beim gewöhnlichen Telegraphenbetriebe sind zu dem Übergangsstellen von der oberirdischen Leitung zum submarinen Kabel, 6 s in Emden und Rango, Transitoren im Gebrauch. Da man aber bei Längenbestimmungen nur mit direkten Leitungen operieren darf, wenn man sich nicht der Gefahr aussetzen will, durch Einschaltung unregelmäßiger Zwischenapparate die Synchronität des Endresultates zu gefährden, sind diese Transitoren während der Dauer der Beobachtungen ausgeschaltet

<sup>1)</sup> Sitzungsbericht der K. Kgl. Akad. der Wissenschaften, VI, 18 S. 295.

wurden. Das aber bei dieser Gelegenheit auch gleich mit festzustellen, welches Einfluß die Transformatoren auf das Resultat des Signalwerts ausüben, ist nach Schluß der Beobachtungen jedenfalls auch noch ein Signalwechsel unter Einschaltung der Transformatoren angestellt worden.

Alle Signale wurden auf unterbrochenen Ausgleich der Stromstärke genau zum Vorfaktor gemäß ausgeführt, welches schon bei zahlreichen Längenbestimmungen des Geodätischen Instituts in Anwendung gekommen war und sehr nach jeder Richtung hin bewährt ist.

Der Stromwechsel bei dieser Schaltung für die 1891 km lange stromstatische Leitung und das 425 km lange Kabel zu  $+0.141$  ergaben, während aus dem Signalwechsel nach Schluß der Beobachtungen, bei denen die Transformatoren eingeschaltet, aber die 134 km lange Schärfe innerhalb der gleichen Landleitung ausgeschaltet war, der Betrag  $+0.079$  hervorgegangen ist. Durch die doppelte Übertragung war zwar zunächst ein Zahlenverlust bedingt, derselbe wird aber auch Answahl der obigen Zahlen reichlich aufgehoben durch die beschleunigte Signalführgeschwindigkeit innerhalb des Kabels, welche unter der Wirkung der Übertragungssysteme erzielt wird.

Unter Berücksichtigung und Ausschaltung aller überhaupt möglichen Fehlerquellen ist als Endresultat der Längenbestimmung Potsdam—Greenwich der Wert auszuwählen

Transit Circle der Sternwarte in Greenwich wozu ein solches Meridiankreuz des Geodätischen Instituts in Potsdam

$$50 = 14.051$$

$$\text{mittlerer Fehler} = \pm 0.000 \quad 24 \text{ Abw.}$$

$$\text{wahrsch. } \pm 0.001$$

Dieses Resultat ergibt, verglichen mit dem Ergebnis der im Jahre 1895 von englischer Seite ausgeführten Längenbestimmung Greenwich—Potsdam, eine Verbesserung jenes Wertes von

$$+0.008$$

Da ferner der Längenunterschied Potsdam—Berlin im Jahre 1891 durch zwei unabhängige Längenbestimmungen des Geodätischen Instituts zu

$$1 = 18.719$$

ermittelt worden war, entspricht der obige Wert einem Längenunterschied Berlin—Greenwich von

$$53 = 34.773$$

Die im Jahre 1876 ausgeführte Längenbestimmung Berlin—Greenwich würde hiernach um  $-0.127$  zu korrigieren sein und es liegt somit nahezu eine Kompensation der für die Längenbestimmungen in den Jahren 1876 und 1895 abgetriebenen Verbesserungen vor.

Verbindet man den obigen Längenunterschied Berlin—Greenwich mit dem Endresultat der im Jahre 1897 vom Geodätischen Institut ausgeführten Längenbestimmung Berlin—Paris

$$44 = 13.880,$$

so würde auch für den Längenunterschied zwischen Paris und Greenwich der Wert  $9 = 20.412$  ergeben, welcher sich auf  $9 = 20.880$  reduziert, wenn man an Stelle des durch benutzten Längenunterschiedes Berlin—Paris den Betrag  $44 = 13.890$  einsetzt, welcher aus der Ausgleichung des europäischen Längensystems von Prof. von de Sadek Schiaparelli abgeleitet worden konnte.

Dieser Wert ist in folgendgrader Übereinstimmung mit dem Wert

$$9 = 20.887,$$

welchen man erhält, wenn man die beiden meridianischen Bestimmungen, London—Greenwich =  $17 = 56.180$  und London—Paris =  $6 = 56.213$  miteinander kombiniert.

Dass dem oben abgeleiteten Resultat für den Längenunterschied Potsdam—Greenwich in der That ein hoher Grad der Zuverlässigkeit innewohnt, lässt sich außer aus den dargelegten Ergebnissen auch aus der guten Übereinstimmung der Resultate der im Jahre 1902 ausgeführt von deutscher, als auch von russischer Seite ausgeführten Längenbestimmung Potsdam—Pulkowa gefolgert werden. Diese Längenbestim-



Die Polarstelle erschien am letzten im Februar, Anfangs März aber dunkel. Der Beobachter berichtet nachdrücklich auf die Richtigkeit der Schauspielfischen Wanderzeitung: Juli 1872.

**Heiligkeitschenkung des Planeten (188) Hertha.** Dr. J. Palis macht damit bekannt, daß dieser Planet deutliche Heiligkeitschenkungen von kurzer Periode zeigt. Am 10. Februar fand er den um  $13\frac{1}{2}$  gleich hell wie ein durchschnittlicher Stern 10.5 Größe, am 12 $\frac{1}{2}$  war er ein wenig, am 13 $\frac{1}{2}$  eine halbe Größenklasse heller als dieser Stern, während er 14 $\frac{1}{2}$  schon wieder schwächer, jedoch noch heller als der Vergleichstern erschien. Am 19. Februar konnte Dr. Palis den Planeten Hertha von 8 $\frac{1}{2}$  bis 10 $\frac{1}{2}$  verfolgen und feststellen, daß dessen Heiligkeitschenkungswert von 18.7 bis 19.0 Größe stieg.

Der 5. Ring des Jupiter ist bei der Opposition des Planeten im August und September 1901 auf der Lich-Sternkarte ein großer Reflektor von E. O. Jalkan beobachtet worden. Dabei wurde die hell-jupiterscheibe durch eine gelblichweiße Metallscheibe verdeckt und 384fache Vergrößerung benutzt. Unter diesen Verhältnissen war der 5. Ring bei dieser Opposition leicht zu sehen. Er erschien in 3 Nächten so hell, daß der Beobachter eine Zerrung im Zweifel war, ob das gedruckte Objekt nicht von beobachtbarer Fixstern sei. Nach Aufkling Urteil würde ein Stern 14. Größe

unserhalb 25" Entfernung vom Rande des Jupiter schwächer erscheinen als der 5. Ring. September 11, wurde letzterer in großer weißlicher Elongation so hell als ein Stern 13. Gr. geschätzt, nur 12" vom Rande des Jupiter entfernt war er noch sichtbar.

Eine Karte des Sternbildes Coma Berenices, nördlich des nördlichen Teiles desselben, ist auf Tab. VI gegeben. Diese bildet die Reproduktion der vergrößerten Photographie einer Aufnahme von Herrn Stigle auf der Sternwarte zu Moskau. Die eingeschalteten Bestimmungen der Sterne beziehen sich auf die photometrischen Messungen, welche Herr W. Camdell in dieser Sterngruppe angestellt hat und über die er in 4 Bände 2 Serie der Annalen der Moskauer Sternwarte berichtet. Der Stern F ist 5.1 Größe, A 5.2, b 8.1, g<sup>1</sup> 9.4, a 10.5, e 11.2, c 12.4 Größe, hiernach kann man sich über die Helligkeit der übrigen Sterne einigermaßen orientieren.

**Entdeckung eines neuen Kometen 1904a.** Am 15. April hat Brooks in Geneva (N. Y.) einen Kometen entdeckt in Rechtsascension 9 $\frac{1}{2}$  50" und Decl. + 44° 10'. Derselbe wurde Kera und Schwefel und bewegte sich nordwärts. Der Komet ist demgemäß auf den Sternkarten von Bamberg, Wien, Hamburg und anderen beobachtet worden. Seine Gesamthelligkeit war die eines Sternes 8.3 Größe, der Kern 9.5 Größe, der Schwanz 4' lang. Der Komet scheint sich der Sonne und der Erde zu nähern.

<sup>1</sup> Astron. Nachr. No. 2070.

# Astronomischer Kalender für den Monat Juli 1904.

Sonnen				Mond			
Mittlere Berliner Mitag.				Mittlere Berliner Mitag.			
Tag	Zeit M. L. — W. L.	Rektascension	Declination	Rektascension	Declination	Stand im Himmel	
1	5 34.04	8 38 48.97	+23 4 49.7	21 38 58.14	-12 58 5.7	h m	
2	5 40.74	8 43 48.97	23 5 10.2	22 12 48.14	5 17 28.0	12 18.1	
3	5 47.66	8 48 48.97	23 5 30.5	22 36 37.48	5 44 5.1	13 1.6	
4	5 54.81	8 53 48.96	23 5 51.0	23 10 27.17	-7 9 43.0	13 44.8	
5	6 02.14	8 58 48.94	23 6 11.4	23 34 16.98	+1 25 5.1	14 7.8	
6	6 09.77	9 0 48.92	23 6 31.9	24 8 6.5	5 52 30.0	14 24.0	
7	6 17.68	9 4 48.91	23 6 52.3	24 31 51.1	6 49 48.0	15 40.4	
8	6 25.86	9 8 48.90	23 7 12.8	25 5 40.7	10 18 54.1	16 20.6	
9	6 34.31	9 12 48.88	23 7 33.2	25 29 30.0	15 4 16.4	16 27.0	
10	6 43.04	9 16 48.87	23 7 53.6	26 3 19.4	17 8 33.9	16 58.1	
11	6 52.04	9 20 48.85	23 8 14.0	26 27 8.8	18 12 48.4	17 2.4	
12	7 01.31	9 24 48.84	23 8 34.3	27 1 0.0	18 27 10.0	—	
13	7 10.84	9 28 48.82	23 8 54.6	27 24 50.0	17 10 23.0	1 58.8	
14	7 20.61	9 32 48.81	23 9 14.9	28 18 40.0	16 54 58.0	1 28.4	
15	7 30.61	9 36 48.80	23 9 35.2	29 12 30.0	11 39 54.0	2 23.1	
16	7 40.84	9 40 48.79	23 9 55.5	30 6 20.0	7 28 28.0	3 10.0	
17	7 51.31	9 44 48.77	24 0 15.8	30 30 10.0	+5 8 18.0	4 1.6	
18	8 02.04	9 48 48.76	24 0 36.1	31 4 0.0	-5 28 42.0	5 58.0	
19	8 13.04	9 52 48.75	24 0 56.4	31 27 50.0	-11 48 16.0	8 40.0	
20	8 24.31	9 56 48.74	24 1 16.7	32 21 40.0	5 12 48.0	9 27.7	
21	8 35.84	10 0 48.73	24 1 37.0	33 15 30.0	10 1 18.0	10 17.7	
22	8 47.61	10 4 48.72	24 1 57.3	34 9 20.0	15 25 48.0	11 10.0	
23	8 59.64	10 8 48.71	24 2 17.6	35 3 10.0	20 50 18.0	12 2.4	
24	9 11.91	10 12 48.70	24 2 37.9	36 27 0.0	26 24 48.0	13 10.0	
25	9 24.44	10 16 48.69	24 2 58.2	37 20 50.0	31 49 18.0	14 2.4	
26	9 37.21	10 20 48.68	24 3 18.5	38 14 40.0	37 23 48.0	15 10.0	
27	9 50.24	10 24 48.67	24 3 38.8	39 8 30.0	42 48 18.0	16 2.4	
28	10 3.51	10 28 48.66	24 3 59.1	40 2 20.0	48 22 48.0	17 10.0	
29	10 17.04	10 32 48.65	24 4 19.4	41 16 10.0	53 47 18.0	18 2.4	
30	10 30.81	10 36 48.64	24 4 39.7	42 10 0.0	59 21 48.0	19 10.0	
31	10 44.84	10 40 48.63	24 5 0.0	43 3 50.0	64 46 18.0	20 2.4	

## Planetenkonstellationen 1904.

Jan	1	16	Sonne in Krebsstein in Krebsstein mit dem Monde
"	2	2	Merkur in Krebsstein mit Mars, Merkur 2° 11' süd
"	5	11	Merkur im Fische
"	6	16	Sonne in den Zwillingen
"	8	12	Jupiter in Krebsstein in Krebsstein mit dem Monde
"	7	10	Venus in einem Krebsstein mit der Sonne
"	8	17	Merkur in einem Krebsstein mit der Sonne
"	9	18	4 Tage in Krebsstein in Krebsstein mit dem Monde (Bedeckung)
"	9	22	Merkur in Krebs mit Mars, Merkur 2° 41' südlich
"	11	22	Mars in Krebsstein in Krebsstein mit dem Monde
"	12	22	Venus in Krebsstein in Krebsstein mit dem Monde
"	12	4	Jupiter in Krebsstein in Krebsstein mit dem Monde
"	14	16	Merkur in Krebsstein südlichste heliozentrischer Punkt
"	15	16	Jupiter in Krebsstein mit der Sonne
"	17	2	Sonne im Fische
"	18	8	Sonne in Krebsstein in Krebsstein mit dem Monde
"	18	1	Merkur in Krebsstein mit der Sonne Merkur 2° 11' nord

# Planeten-Ephemeriden.

Märkische Berliner Müllag				Märkische Berliner Müllag					
Jahr	Rechnungsweise		Definitionen		Jahr	Rechnungsweise		Definitionen	
	h. m. s.	° ' "	h. m.	° ' "		h. m. s.	° ' "	h. m.	° ' "
1884 Merkur				1888 Saturn					
Juli 4.	0 30 37.03	+04 0 32.4	10 44		Juli 31	20 38 42.46	-18 0 10.1	14 47	
10	7 30 14.27	58.36 14.7	1 14		14	18 38 37.18	18 0 1.1	11 41	
12	8 4 57.08	59 4 17.9	1 20		18	11 35 44.43	-18 36 49.	11 7	
16	4 47 9.07	37 49 32.1	1 28		Uranus				
18	0 34 4.18	10.11 30.8	1 19		Juli 4.	17 47 30.18	-20 37 40.3	10 44	
20	0 37 33.76	-0.01 34 38.9	1 26		14	17 48 33.83	19 31 3.4	10 1	
Venus.				16	17 48 37.44	-19 38 38.7	9 53		
Juli 4	0 41 10.76	-0.01 20 10.7	0 1		Neptun				
10	1 31 40.87	22 37 20.0	0 8		Juli 4	0 28 18.46	-1.07 18 28.1	23 21	
12	1 44 14.10	23 0 9.2	0 11		14	0 37 44.81	22 18 20.1	23 44	
16	0 33 34.51	51 4 44.1	0 21		16	0 39 18.36	+0.17 20.4	20 0	
18	0 38 1.10	18 41 12.9	0 27		Mondphasen 1884				
20	0 7 12.44	+0.08 30 32.1	0 31						
Mars.									
Juli 1	0 36 11.00	+0.04 4.08.	23 38						
10	0 28 39.66	16 1 31.1	23 47						
12	0 43 36.17	28 41 10.0	24 16						
16	0 17 32.00	50 58 48.7	24 7						
18	7 18 19.19	55 18 33.4	22 8						
20	7 38 31.93	+0.01 41 11.7	22 18						
Jupiter.									
Juli 4	1 43 37.90	+ 5.31 4.4	18 48						
10	1 47 36.38	5 43 38.4	18 1						
16	1 46 10.74	+ 5.48 29.4	17 19						

Märkische Berliner Müllag			
Jahr	Rechnungsweise		Definitionen
	h. m. s.	° ' "	
1884 Merkur			
Juli 4.	0 30 37.03	+04 0 32.4	10 44
10	7 30 14.27	58.36 14.7	1 14
12	8 4 57.08	59 4 17.9	1 20
16	4 47 9.07	37 49 32.1	1 28
18	0 34 4.18	10.11 30.8	1 19
20	0 37 33.76	-0.01 34 38.9	1 26
Venus.			
Juli 4	0 41 10.76	-0.01 20 10.7	0 1
10	1 31 40.87	22 37 20.0	0 8
12	1 44 14.10	23 0 9.2	0 11
16	0 33 34.51	51 4 44.1	0 21
18	0 38 1.10	18 41 12.9	0 27
20	0 7 12.44	+0.08 30 32.1	0 31
Mars.			
Juli 1	0 36 11.00	+0.04 4.08.	23 38
10	0 28 39.66	16 1 31.1	23 47
12	0 43 36.17	28 41 10.0	24 16
16	0 17 32.00	50 58 48.7	24 7
18	7 18 19.19	55 18 33.4	22 8
20	7 38 31.93	+0.01 41 11.7	22 18
Jupiter.			
Juli 4	1 43 37.90	+ 5.31 4.4	18 48
10	1 47 36.38	5 43 38.4	18 1
16	1 46 10.74	+ 5.48 29.4	17 19

Märkische Berliner Müllag			
Jahr	Rechnungsweise		Definitionen
	h. m. s.	° ' "	
1884 Merkur			
Juli 4.	0 30 37.03	+04 0 32.4	10 44
10	7 30 14.27	58.36 14.7	1 14
12	8 4 57.08	59 4 17.9	1 20
16	4 47 9.07	37 49 32.1	1 28
18	0 34 4.18	10.11 30.8	1 19
20	0 37 33.76	-0.01 34 38.9	1 26
Venus.			
Juli 4	0 41 10.76	-0.01 20 10.7	0 1
10	1 31 40.87	22 37 20.0	0 8
12	1 44 14.10	23 0 9.2	0 11
16	0 33 34.51	51 4 44.1	0 21
18	0 38 1.10	18 41 12.9	0 27
20	0 7 12.44	+0.08 30 32.1	0 31
Mars.			
Juli 1	0 36 11.00	+0.04 4.08.	23 38
10	0 28 39.66	16 1 31.1	23 47
12	0 43 36.17	28 41 10.0	24 16
16	0 17 32.00	50 58 48.7	24 7
18	7 18 19.19	55 18 33.4	22 8
20	7 38 31.93	+0.01 41 11.7	22 18
Jupiter.			
Juli 4	1 43 37.90	+ 5.31 4.4	18 48
10	1 47 36.38	5 43 38.4	18 1
16	1 46 10.74	+ 5.48 29.4	17 19

Märkische Berliner Müllag			
Jahr	Rechnungsweise		Definitionen
	h. m. s.	° ' "	
1884 Merkur			
Juli 4.	0 30 37.03	+04 0 32.4	10 44
10	7 30 14.27	58.36 14.7	1 14
12	8 4 57.08	59 4 17.9	1 20
16	4 47 9.07	37 49 32.1	1 28
18	0 34 4.18	10.11 30.8	1 19
20	0 37 33.76	-0.01 34 38.9	1 26
Venus.			
Juli 4	0 41 10.76	-0.01 20 10.7	0 1
10	1 31 40.87	22 37 20.0	0 8
12	1 44 14.10	23 0 9.2	0 11
16	0 33 34.51	51 4 44.1	0 21
18	0 38 1.10	18 41 12.9	0 27
20	0 7 12.44	+0.08 30 32.1	0 31
Mars.			
Juli 1	0 36 11.00	+0.04 4.08.	23 38
10	0 28 39.66	16 1 31.1	23 47
12	0 43 36.17	28 41 10.0	24 16
16	0 17 32.00	50 58 48.7	24 7
18	7 18 19.19	55 18 33.4	22 8
20	7 38 31.93	+0.01 41 11.7	22 18
Jupiter.			
Juli 4	1 43 37.90	+ 5.31 4.4	18 48
10	1 47 36.38	5 43 38.4	18 1
16	1 46 10.74	+ 5.48 29.4	17 19

Märkische Berliner Müllag			
Jahr	Rechnungsweise		Definitionen
	h. m. s.	° ' "	
1884 Merkur			
Juli 4.	0 30 37.03	+04 0 32.4	10 44
10	7 30 14.27	58.36 14.7	1 14
12	8 4 57.08	59 4 17.9	1 20
16	4 47 9.07	37 49 32.1	1 28
18	0 34 4.18	10.11 30.8	1 19
20	0 37 33.76	-0.01 34 38.9	1 26
Venus.			
Juli 4	0 41 10.76	-0.01 20 10.7	0 1
10	1 31 40.87	22 37 20.0	0 8
12	1 44 14.10	23 0 9.2	0 11
16	0 33 34.51	51 4 44.1	0 21
18	0 38 1.10	18 41 12.9	0 27
20	0 7 12.44	+0.08 30 32.1	0 31
Mars.			
Juli 1	0 36 11.00	+0.04 4.08.	23 38
10	0 28 39.66	16 1 31.1	23 47
12	0 43 36.17	28 41 10.0	24 16
16	0 17 32.00	50 58 48.7	24 7
18	7 18 19.19	55 18 33.4	22 8
20	7 38 31.93	+0.01 41 11.7	22 18
Jupiter.			
Juli 4	1 43 37.90	+ 5.31 4.4	18 48
10	1 47 36.38	5 43 38.4	18 1
16	1 46 10.74	+ 5.48 29.4	17 19

Märkische Berliner Müllag			
Jahr	Rechnungsweise		Definitionen
	h. m. s.	° ' "	
1884 Merkur			
Juli 4.	0 30 37.03	+04 0 32.4	10 44
10	7 30 14.27	58.36 14.7	1 14
12	8 4 57.08	59 4 17.9	1 20
16	4 47 9.07	37 49 32.1	1 28
18	0 34 4.18	10.11 30.8	1 19
20	0 37 33.76	-0.01 34 38.9	1 26
Venus.			
Juli 4	0 41 10.76	-0.01 20 10.7	0 1
10	1 31 40.87	22 37 20.0	0 8
12	1 44 14.10	23 0 9.2	0 11
16	0 33 34.51	51 4 44.1	0 21
18	0 38 1.10	18 41 12.9	0 27
20	0 7 12.44	+0.08 30 32.1	0 31
Mars.			
Juli 1	0 36 11.00	+0.04 4.08.	23 38
10	0 28 39.66	16 1 31.1	23 47
12	0 43 36.17	28 41 10.0	24 16
16	0 17 32.00	50 58 48.7	24 7
18	7 18 19.19	55 18 33.4	22 8
20	7 38 31.93	+0.01 41 11.7	22 18
Jupiter.			
Juli 4	1 43 37.90	+ 5.31 4.4	18 48
10	1 47 36.38	5 43 38.4	18 1
16	1 46 10.74	+ 5.48 29.4	17 19

Märkische Berliner Müllag			
Jahr	Rechnungsweise		Definitionen
	h. m. s.	° ' "	
1884 Merkur			
Juli 4.	0 30 37.03	+04 0 32.4	10 44
10	7 30 14.27	58.36 14.7	1 14
12	8 4 57.08	59 4 17.9	1 20
16	4 47 9.07	37 49 32.1	1 28
18	0 34 4.18	10.11 30.8	1 19
20	0 37 33.76	-0.01 34 38.9	1 26
Venus.			
Juli 4	0 41 10.76	-0.01 20 10.7	0 1
10	1 31 40.87	22 37 20.0	0 8
12	1 44 14.10	23 0 9.2	0 11
16	0 33 34.51	51 4 44.1	0 21
18	0 38 1.10	18 41 12.9	0 27
20	0 7 12.44	+0.08 30 32.1	0 31
Mars.			
Juli 1	0 36 11.00	+0.04 4.08.	23 38
10	0 28 39.66	16 1 31.1	23 47
12	0 43 36.17	28 41 10.0	24 16
16	0 17 32.00	50 58 48.7	24 7
18	7 18 19.19	55 18 33.4	22 8
20	7 38 31.93	+0.01 41 11.7	22 18
Jupiter.			
Juli 4	1 43 37.90	+ 5.31 4.4	18 48
10	1 47 36.38	5 43 38.4	18 1
16	1 46 10.74	+ 5.48 29.4	17 19

Märkische Berliner Müllag			
Jahr	Rechnungsweise		Definitionen
	h. m. s.	° ' "	
1884 Merkur			
Juli 4.	0 30 37.03	+04 0 32.4	10 44
10	7 30 14.27	58.36 14.7	1 14
12	8 4 57.08	59 4 17.9	1 20
16	4 47 9.07	37 49 32.1	1 28
18	0 34 4.18	10.11 30.8	1 19
20	0 37 33.76	-0.01 34 38.9	1 26
Venus.			
Juli 4	0 41 10.76	-0.01 20 10.7	0 1
10	1 31 40.87	22 37 20.0	0 8
12	1 44 14.10	23 0 9.2	0 11
16	0 33 34.51	51 4 44.1	0 21
18	0 38 1.10	18 41 12.9	0 27
20	0 7 12.44	+0.08 30 32.1	0 31
Mars.			
Juli 1	0 36 11.00	+0.04 4.08.	23 38
10	0 28 39.66	16 1 31.1	23 47
12	0 43 36.17	28 41 10.0	24 16
16	0 17 32.00	50 58 48.7	24 7
18	7 18 19.19	55 18 33.4	22 8
20	7 38 31.93	+0.01 41 11.7	22 18
Jupiter.			
Juli 4	1 43 37.90	+ 5.31 4.4	18 48
10	1 47 36.38	5 43 38.4	18 1
16	1 46 10.74	+ 5.48 29.4	17 19

Märkische Berliner Müllag			
Jahr	Rechnungsweise		Definitionen
	h. m. s.	° ' "	
1884 Merkur			
Juli 4.	0 30 37.03	+04 0 32.4	10 44
10	7 30 14.27	58.36 14.7	1 14
12	8 4 57.08	59 4 17.9	1 20
16	4 47 9.07	37 49 32.1	1 28
18	0 34 4.18	10.11 30.8	1 19
20	0 37 33.76	-0.01 34 38.9	1 26
Venus.			
Juli 4	0 41 10.76	-0.01 20 10.7	0 1
10	1 31 40.87	22 37 20.0	0 8
12	1 44 14.10	23 0 9.2	0 11
16	0 33 34.51	51 4 44.1	0 21
18	0 38 1.10	18 41 12.9	0 27
20	0 7 12.44	+0.08 30 32.1	0 31
Mars.			
Juli 1	0 36 11.00	+0.04 4.08.	23 38
10	0 28 39.66	16 1 31.1	23 47
12	0 43 36.17	28 41 10.0	24 16
16	0 17 32.00	50 58 48.7	24 7
18	7 18 19.19	55 18 33.4	22 8
20	7 38 31.93	+0.01 41 11.7	22 18
Jupiter.			
Juli 4	1 43 37.90	+ 5.31 4.4	18 48
10	1 47 36.38	5 43 38.4	18 1
16	1 46 10.74	+ 5.48 29.4	17 19

Märkische Berliner Müllag			
Jahr	Rechnungsweise		Definitionen
	h. m. s.	° ' "	
1884 Merkur			
Juli 4.	0 30 37.03	+04 0 32.4	10 44
10	7 30 14.27	58.36 14.7	1 14
12	8 4 57.08	59 4 17.9	1 20
16	4 47 9.07	37 49 32.1	1 28
18	0 34 4.18	10.11 30.8	1 19
20	0 37 33.76	-0.01 34 38.9	1 26
Venus.			
Juli 4	0 41 10.76	-0.01 20 10.7	0 1
10	1 31 40.87	22 37 20.0	0 8
12	1 44 14.10	23 0 9.2	0 11
16	0 33 34.51	51 4 44.1	0 21
18	0 38 1.10	18 41 12.9	0 27
20	0 7 12.44	+0.08 30 32.1	0 31
Mars.			
Juli 1	0 36 11.00	+0.04 4.08.	23 38
10	0 28 39.66	16 1 31.1	23 47

## Sonnenbedeckungen durch den Mond für Berlin 1884.

Rechnung	Sonn.	Größe	Entfern. mittlere Zeit		Anzeige mittlere Zeit	
			h.	m.	h.	m.
Juli 1.	$\beta$ Total	4.7	14	19.5	14	19.5
" 16.	$\beta$ Total	4.7	10	49.0	14	49.0
" 18	$\alpha$ Total	1.9	10	52.4	15	52.7
" 20.	$\beta$ Total	4.1	14	19.9	14	19.9

## Lage und Größe des Schattenringes nach Russell

Juli 4	Größe Achse der Ringellipse	47.10"	Mittl. Achse, 1884.	
	Erhöhungswinkel der Erde über der Ringebene	15° 17' 1"	nördl.	
Juli 4.	Mittlere Schiefe der Ekliptik	23° 27'	0 12"	
	Sonnenhöhe " " "	22° 34'	59 30"	
	Halbmesser der Sonne	16	41.60"	
	Parallaxe " " "		0 10"	



# Stellungen der Jupitermonde im Juli 1904.



Stellungen um 11<sup>h</sup> 30<sup>m</sup> für den Beobachter im astronomischen Paralleler.

Tag	West.	Öst.
1		0 4 12 -10
2	1 0 3 4 -1	
3	2 0 1 3 4	
4	-3 1 0 4 -10	
5	3 1- 0 -3 4	
6	4 0 1 4	
7	5 0 2 4	
8	6 0 3 4	
9	7 0 4 4	
10	8 0 5 4	
11	9 0 6 4	-10
12	10 0 7 4	
13	11 0 8 4	
14	12 0 9 4	
15	13 0 10 4	
16	14 0 11 4	
17	15 0 12 4	
18	16 0 13 4	
19	17 0 14 4	
20	18 0 15 4	
21	19 0 16 4	
22	20 0 17 4	
23	21 0 18 4	
24	22 0 19 4	
25	23 0 20 4	
26	24 0 21 4	
27	25 0 22 4	
28	26 0 23 4	
29	27 0 24 4	
30	28 0 25 4	
31	29 0 26 4	

Erkenntnissen der Jupitermonde. Die stündlichen Angaben über die Erscheinungen der Jupitermonde beziehen sich auf mittlere Zeit von Greenwich. Die Tabellen sind der Reihenfolge ihres Abstands vom Jupiter nach aufwärts geordnet. Sie vier größeren Figuren zeigen die Stellung jedes Planeten mit Bezug auf den Jupiter für das Augenblick der Verfinstörung (d. h. auf der Wiederschauung) ist, ist nicht eingezeichnet, so kann der Anblick aus dem Schatten nicht beobachtet werden. Ferner befindet sich das nachfolgende Zeitangaben:

- Ec D den Verfinsternis des Trabanten im Schatten des Jupiter
- Ec E den Austritt des Trabanten aus dem Schatten des Jupiter
- Co D das Verschwinden des Trabanten hinter der Jupitersehne
- Co R das Wiederschauen des Trabanten vor der Jupitersehne
- Tr I den Eintritt des Trabanten vor der Jupitersehne
- Tr E den Austritt des Trabanten aus der Jupitersehne
- Se I den Eintritt des Trabanten vor der Jupitersehne
- Se E den Austritt des Trabanten aus der Jupitersehne

Es sind nur diejenigen Erscheinungen der Jupitermonde aufgeführt, welche sich er eignen, wenn Jupiter im Oppositionsstand oder auf der Sonne unter dem Horizont steht. Um die Momente dieser Erscheinungen nach meridianischer Zeit zu finden, hat man nur nötig, 15 zu dem angegebenen Zeitpunkte zu addieren.

Juli 2. I Ec D. 12<sup>h</sup> 41<sup>m</sup>. Juli 3. I Se E. 12<sup>h</sup> 41<sup>m</sup>. Juli 4. II Se I. 12<sup>h</sup> 41<sup>m</sup>. Juli 5. III Ec D. 12<sup>h</sup> 41<sup>m</sup> 41<sup>m</sup>. Juli 6. I Se E. 12<sup>h</sup> 41<sup>m</sup> 41<sup>m</sup>. Juli 7. I Ec D. 12<sup>h</sup> 41<sup>m</sup> 41<sup>m</sup>. Juli 8. I Se E. 12<sup>h</sup> 41<sup>m</sup> 41<sup>m</sup>. Juli 9. I Ec D. 12<sup>h</sup> 41<sup>m</sup> 41<sup>m</sup>. Juli 10. I Se E. 12<sup>h</sup> 41<sup>m</sup> 41<sup>m</sup>. Juli 11. I Ec D. 12<sup>h</sup> 41<sup>m</sup> 41<sup>m</sup>. Juli 12. I Se E. 12<sup>h</sup> 41<sup>m</sup> 41<sup>m</sup>. Juli 13. I Ec D. 12<sup>h</sup> 41<sup>m</sup> 41<sup>m</sup>. Juli 14. I Se E. 12<sup>h</sup> 41<sup>m</sup> 41<sup>m</sup>. Juli 15. I Ec D. 12<sup>h</sup> 41<sup>m</sup> 41<sup>m</sup>. Juli 16. I Se E. 12<sup>h</sup> 41<sup>m</sup> 41<sup>m</sup>. Juli 17. I Ec D. 12<sup>h</sup> 41<sup>m</sup> 41<sup>m</sup>. Juli 18. I Se E. 12<sup>h</sup> 41<sup>m</sup> 41<sup>m</sup>. Juli 19. I Ec D. 12<sup>h</sup> 41<sup>m</sup> 41<sup>m</sup>. Juli 20. I Se E. 12<sup>h</sup> 41<sup>m</sup> 41<sup>m</sup>. Juli 21. I Ec D. 12<sup>h</sup> 41<sup>m</sup> 41<sup>m</sup>. Juli 22. I Se E. 12<sup>h</sup> 41<sup>m</sup> 41<sup>m</sup>. Juli 23. I Ec D. 12<sup>h</sup> 41<sup>m</sup> 41<sup>m</sup>. Juli 24. I Se E. 12<sup>h</sup> 41<sup>m</sup> 41<sup>m</sup>. Juli 25. I Ec D. 12<sup>h</sup> 41<sup>m</sup> 41<sup>m</sup>. Juli 26. I Se E. 12<sup>h</sup> 41<sup>m</sup> 41<sup>m</sup>. Juli 27. I Ec D. 12<sup>h</sup> 41<sup>m</sup> 41<sup>m</sup>. Juli 28. I Se E. 12<sup>h</sup> 41<sup>m</sup> 41<sup>m</sup>. Juli 29. I Ec D. 12<sup>h</sup> 41<sup>m</sup> 41<sup>m</sup>. Juli 30. I Se E. 12<sup>h</sup> 41<sup>m</sup> 41<sup>m</sup>.

## Stellungen der Saturnmonde. (Erläuterung S. 24.)

Zeiten der mittleren Opposition im Jahr 1906

Tafel. Juli 2. 12<sup>h</sup> 41<sup>m</sup>. Juli 3. 12<sup>h</sup> 41<sup>m</sup>. Juli 4. 12<sup>h</sup> 41<sup>m</sup>. Juli 5. 12<sup>h</sup> 41<sup>m</sup>. Juli 6. 12<sup>h</sup> 41<sup>m</sup>. Juli 7. 12<sup>h</sup> 41<sup>m</sup>. Juli 8. 12<sup>h</sup> 41<sup>m</sup>. Juli 9. 12<sup>h</sup> 41<sup>m</sup>. Juli 10. 12<sup>h</sup> 41<sup>m</sup>. Juli 11. 12<sup>h</sup> 41<sup>m</sup>. Juli 12. 12<sup>h</sup> 41<sup>m</sup>. Juli 13. 12<sup>h</sup> 41<sup>m</sup>. Juli 14. 12<sup>h</sup> 41<sup>m</sup>. Juli 15. 12<sup>h</sup> 41<sup>m</sup>. Juli 16. 12<sup>h</sup> 41<sup>m</sup>. Juli 17. 12<sup>h</sup> 41<sup>m</sup>. Juli 18. 12<sup>h</sup> 41<sup>m</sup>. Juli 19. 12<sup>h</sup> 41<sup>m</sup>. Juli 20. 12<sup>h</sup> 41<sup>m</sup>. Juli 21. 12<sup>h</sup> 41<sup>m</sup>. Juli 22. 12<sup>h</sup> 41<sup>m</sup>. Juli 23. 12<sup>h</sup> 41<sup>m</sup>. Juli 24. 12<sup>h</sup> 41<sup>m</sup>. Juli 25. 12<sup>h</sup> 41<sup>m</sup>. Juli 26. 12<sup>h</sup> 41<sup>m</sup>. Juli 27. 12<sup>h</sup> 41<sup>m</sup>. Juli 28. 12<sup>h</sup> 41<sup>m</sup>. Juli 29. 12<sup>h</sup> 41<sup>m</sup>. Juli 30. 12<sup>h</sup> 41<sup>m</sup>.

Monat. Juli 2. 12<sup>h</sup> 41<sup>m</sup>. Juli 3. 12<sup>h</sup> 41<sup>m</sup>. Juli 4. 12<sup>h</sup> 41<sup>m</sup>. Juli 5. 12<sup>h</sup> 41<sup>m</sup>. Juli 6. 12<sup>h</sup> 41<sup>m</sup>. Juli 7. 12<sup>h</sup> 41<sup>m</sup>. Juli 8. 12<sup>h</sup> 41<sup>m</sup>. Juli 9. 12<sup>h</sup> 41<sup>m</sup>. Juli 10. 12<sup>h</sup> 41<sup>m</sup>. Juli 11. 12<sup>h</sup> 41<sup>m</sup>. Juli 12. 12<sup>h</sup> 41<sup>m</sup>. Juli 13. 12<sup>h</sup> 41<sup>m</sup>. Juli 14. 12<sup>h</sup> 41<sup>m</sup>. Juli 15. 12<sup>h</sup> 41<sup>m</sup>. Juli 16. 12<sup>h</sup> 41<sup>m</sup>. Juli 17. 12<sup>h</sup> 41<sup>m</sup>. Juli 18. 12<sup>h</sup> 41<sup>m</sup>. Juli 19. 12<sup>h</sup> 41<sup>m</sup>. Juli 20. 12<sup>h</sup> 41<sup>m</sup>. Juli 21. 12<sup>h</sup> 41<sup>m</sup>. Juli 22. 12<sup>h</sup> 41<sup>m</sup>. Juli 23. 12<sup>h</sup> 41<sup>m</sup>. Juli 24. 12<sup>h</sup> 41<sup>m</sup>. Juli 25. 12<sup>h</sup> 41<sup>m</sup>. Juli 26. 12<sup>h</sup> 41<sup>m</sup>. Juli 27. 12<sup>h</sup> 41<sup>m</sup>. Juli 28. 12<sup>h</sup> 41<sup>m</sup>. Juli 29. 12<sup>h</sup> 41<sup>m</sup>. Juli 30. 12<sup>h</sup> 41<sup>m</sup>.

Monat. Juli 2. 12<sup>h</sup> 41<sup>m</sup>. Juli 3. 12<sup>h</sup> 41<sup>m</sup>. Juli 4. 12<sup>h</sup> 41<sup>m</sup>. Juli 5. 12<sup>h</sup> 41<sup>m</sup>. Juli 6. 12<sup>h</sup> 41<sup>m</sup>. Juli 7. 12<sup>h</sup> 41<sup>m</sup>. Juli 8. 12<sup>h</sup> 41<sup>m</sup>. Juli 9. 12<sup>h</sup> 41<sup>m</sup>. Juli 10. 12<sup>h</sup> 41<sup>m</sup>. Juli 11. 12<sup>h</sup> 41<sup>m</sup>. Juli 12. 12<sup>h</sup> 41<sup>m</sup>. Juli 13. 12<sup>h</sup> 41<sup>m</sup>. Juli 14. 12<sup>h</sup> 41<sup>m</sup>. Juli 15. 12<sup>h</sup> 41<sup>m</sup>. Juli 16. 12<sup>h</sup> 41<sup>m</sup>. Juli 17. 12<sup>h</sup> 41<sup>m</sup>. Juli 18. 12<sup>h</sup> 41<sup>m</sup>. Juli 19. 12<sup>h</sup> 41<sup>m</sup>. Juli 20. 12<sup>h</sup> 41<sup>m</sup>. Juli 21. 12<sup>h</sup> 41<sup>m</sup>. Juli 22. 12<sup>h</sup> 41<sup>m</sup>. Juli 23. 12<sup>h</sup> 41<sup>m</sup>. Juli 24. 12<sup>h</sup> 41<sup>m</sup>. Juli 25. 12<sup>h</sup> 41<sup>m</sup>. Juli 26. 12<sup>h</sup> 41<sup>m</sup>. Juli 27. 12<sup>h</sup> 41<sup>m</sup>. Juli 28. 12<sup>h</sup> 41<sup>m</sup>. Juli 29. 12<sup>h</sup> 41<sup>m</sup>. Juli 30. 12<sup>h</sup> 41<sup>m</sup>.

Monat. Juli 2. 12<sup>h</sup> 41<sup>m</sup>. Juli 3. 12<sup>h</sup> 41<sup>m</sup>. Juli 4. 12<sup>h</sup> 41<sup>m</sup>. Juli 5. 12<sup>h</sup> 41<sup>m</sup>. Juli 6. 12<sup>h</sup> 41<sup>m</sup>. Juli 7. 12<sup>h</sup> 41<sup>m</sup>. Juli 8. 12<sup>h</sup> 41<sup>m</sup>. Juli 9. 12<sup>h</sup> 41<sup>m</sup>. Juli 10. 12<sup>h</sup> 41<sup>m</sup>. Juli 11. 12<sup>h</sup> 41<sup>m</sup>. Juli 12. 12<sup>h</sup> 41<sup>m</sup>. Juli 13. 12<sup>h</sup> 41<sup>m</sup>. Juli 14. 12<sup>h</sup> 41<sup>m</sup>. Juli 15. 12<sup>h</sup> 41<sup>m</sup>. Juli 16. 12<sup>h</sup> 41<sup>m</sup>. Juli 17. 12<sup>h</sup> 41<sup>m</sup>. Juli 18. 12<sup>h</sup> 41<sup>m</sup>. Juli 19. 12<sup>h</sup> 41<sup>m</sup>. Juli 20. 12<sup>h</sup> 41<sup>m</sup>. Juli 21. 12<sup>h</sup> 41<sup>m</sup>. Juli 22. 12<sup>h</sup> 41<sup>m</sup>. Juli 23. 12<sup>h</sup> 41<sup>m</sup>. Juli 24. 12<sup>h</sup> 41<sup>m</sup>. Juli 25. 12<sup>h</sup> 41<sup>m</sup>. Juli 26. 12<sup>h</sup> 41<sup>m</sup>. Juli 27. 12<sup>h</sup> 41<sup>m</sup>. Juli 28. 12<sup>h</sup> 41<sup>m</sup>. Juli 29. 12<sup>h</sup> 41<sup>m</sup>. Juli 30. 12<sup>h</sup> 41<sup>m</sup>.

Opinion. Juli 2. 12<sup>h</sup> 41<sup>m</sup> E

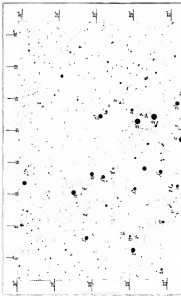
Mehrere größere und kleinere

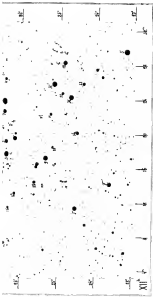
## *astronomische Fernrohre*

sind sehr preiswürdig zu verkaufen. Reflektoren werden sich wegen starker Mitteilungen an nach werden.

Prof. Dr. Hermann J. Klein in Klein-Lindenthal.

Verkauft Prof. Dr. Hermann J. Klein in Klein-Lindenthal. in Druck von Otto Lohm in Leipzig. —  
Ausgegeben am 26. April 1906.





Stellen 2004

# Das Sternbild Cassiopeia

und die (hypothetische) Achsen des Himmels auf der Grundlage der Beobachtung

Table 1



# Refraktor,

48 von Ocularlinsen, 1500 von Brennpunkten, von Heyde in Dresden, mit Fern-  
bedeutend und mit Nachteil, beide mit Halberverstellung, mit 1. Brennpunkt, und  
4 von Messung-Ocularen von 50 — 100-facher Vergrößerung, mit Sucher und  
Vergrößerung, in wegen Beschaffung einer gewissen Instrumenten preiswert zu  
verleihen. Aufträge befindet die Lsg. d. Bilder.

Verlag von Eduard Heinrich Meyer in Leipzig.

— Das Buch ist, und ist durch alle Buchhandlungen zu beziehen.

## JAHRBUCH

der Fortschritte der

## Astronomie und Geophysik

(Astronomie, Meteorologie, physikalische Erdkunde).

Herausgegeben von

Professor Dr. Hermann J. Klein.

Vierzehnter Jahrgang 1903

17 Bogen gr. 8. Mit sechs Tafeln. Preis halbes Mark 1/2.

Das Jahrbuch der Fortschritte der Astronomie und Geophysik hat sich durch  
seine sorgfältig ausgewählten Artikel, sowie durch die jedem Jahrgange beigegebenen  
Tafeln eine große Stellung erworben und wird den geistigen Fortschritt der  
Wissenschaften, sowie allen Forschern und Forschenden der physikalischen Erdkunde  
und der Astronomie ungetrübter zur Anschauung kommen.

Bei Aufträgen der ganzen Reihe (Band I—XIV) wird ein Abzugspreis  
berechnet und werden auch gefälligst direkt an den Verlagsbesitzer.



G. & S. Merz

Optisches Institut

vorm. Staudenmaier & Frankfurter  
München, Rosenstr. 11.

## Fernrohre

zu astronomischem  
und terrestrischem Gebrauch.

Einwärts beziehen geht auf beide.

Verlag von Eduard Heinrich Meyer in Leipzig.

## Die Wunder des Erdballes.

Allgemeine wissenschaftliche Unterhaltungen

von

Kurtzeckung und Ergebnisse der physikalischen Erdkunde.

von

Professor Dr. Hermann J. Klein.

Sechste, verbesserte und erweiterte Auflage.

17 Bogen mit 6 Tafeln. Sechsten Preis 1 Mark. Gebundene Preis 2 Mark.

Der Verfasser als Forscher war die Meister der Wissenschaften nach dem Inhalt, gilt  
in diesem Sinne zum ersten Male dem nach dem Gegenstande, der die Natur  
wissenschaft 50 Jahre lang allen denen, welche die Wissenschaft hinsichtlich der Erdkunde  
sich ansehe. Gleich bei der Darstellung und von anderen Seiten  
werden, aber mit dem richtigen Wissen heraus, kann sich so  
voll und richtig in der Naturwissenschaften wie die Natur selbst,  
über die Natur, was die Natur, was die Natur, was die Natur, was die Natur,  
durch jede Buchhandlung.



# Carl Zeiss

Optische Werkestätte

## Jena.



Refraktoren  
Refraktoren  
Refraktoren

Refraktoren  
Refraktoren  
Refraktoren

Spektroskopien  
für astrophotographische  
Zwecke.

Spiegelteleskope  
mit grossen Öffnungen  
verwendbar zur Himmels-  
photographie.

Himmelskammern  
für

breit und dreifache aperturmalige Fernrohrteleskope  
des schmalen Spektrums.

Himmelskammern für Lichtspektroskopie  
mit grossen Öffnungen und  
Objektiven aus ultraviolettdurchlässigen Gläsern  
zur Himmelsphotographie.

Spektroskop  
Objektiven aus ultraviolettdurchlässigen Gläsern  
und ultraviolettdurchlässigen Gläsern.

Spektroskopien und Spektroskopien  
Refraktoren

Spektroskopien  
Spektroskopien zur Beobachtung und Photographie  
des Sonnen und des Mondes.

Man verlange Katalog No. 10



# SIRIUS

Zeitschrift für populäre Astronomie

herausgegeben unter Mitwirkung  
 hervorragender  
 Fachkräfte und unter besonderer Schriftleitung  
 von  
**Prof. Dr. Hermann J. Klein in Köln-Museen.**

— HUND XXXVII. —

**G. H. N.**



**Edvard Fritsch Mayer**  
 Verlag des Herausgebers  
 Leipzig, Neudruck 11.



## Inhalt des sechstes Heftes.

	Seite
Kometenbergliste. Von Otto Falck . . . . .	121
Beobachtungen des Planeten Venus im Jahre 1903. (Hagen-Tijl VI.) . . .	129
Zehn Sterne mit veränderlichem radialen Geschwindigkeiten . . . . .	133
Das Spektrum und die Bahn von $\epsilon$ Cygnus . . . . .	139
Eine neue Deutung der Spektre der neuen Sterne . . . . .	132
Veränderte Nachrichten . . . . .	137
Photographische Wiedergabe des Sonnenpektrums.	
Die Rotation des Planeten Saturn.	
Spektroskopische Beobachtungen der Kometen.	
Definitive Bahn des spektroskopischen Doppelsterns = Pegus.	
Der Komet 1904a.	
Sonnenflecke im Monat April.	
Optisches Glim in Asien.	
Astronomischer Kalender für den Monat August 1904 . . . . .	141
Stellungen der Jupitermonde im August 1904 . . . . .	143
Erscheinungen der Jupitermonde . . . . .	144
Stellungen der Saturnmonde . . . . .	144

LEIPZIG, Buchplatz 18.

Eduard Heinrich Mayer,

Verlagsbuchhandlung.

# SIRIUS.

Zeitschrift für populäre Astronomie.

Centralsorgan für alle Freunde und Förderer der Himmelskunde.

Herausgegeben

unter Mitwirkung hervorragender Fachkultoren und astronomischer Schriftsteller

von Prof. Dr. Hermann J. Klein in Köln

Juni 1904.

«Wissen und Erwissen sind die Freude und die  
Erfüllung der Menschheit.» Kant

Jeden Monat 1 Heft. — Jährlich 12 Mk.

Verlag von EDUARD HEINRICH MEYER in Leipzig.

**INHALT:** Kometenbergläube. Von Otto Falt. S. 121. — Beobachtungen des Flares von Sirius im Jahre 1903. (Himmels Bild 14.) S. 126. — Teles. Sterne mit veränderlichem scheinbarem Durchmesser. S. 127. — Das Spektrum und die Farbe von  $\delta$  Orion. S. 128. — Eine neue Deutung der Spektra der neuen Sterne. S. 133. — Veränderte Helligkeiten. S. 137. — Astronomischer Kalender. S. 141. — Ereignisse der Sternensonde im August 1903. S. 143. — Beobachtungen der Sternensonde im August 1904. S. 144. — Ereignisse der Sternensonde im August 1904. S. 144.

## Kometenbergläube.

Von Otto Falt.

 Ja, wieder einmal im Artikel gegen die blödeste Furcht verbreiteter Menschen beim Erscheinen eines Kometen, — denke verleihe ich der Leser.

Fehlgeschosse! Der Aberglaube, von dem ich im vorliegenden Artikel sprechen will, ist nicht in den Köpfen der großen Masse entstanden. Es handelt sich um eine völlig laienh. Ansicht, die wir in populär-wissenschaftlichen Werken finden.

Ehe ich jedoch auf das Thema komme, muß ich einige historische Notizen vorausschicken.

Der italienische Astronom Schiaparelli gab in seinen Briefen an den Jesuitenpater Secchi in Rom (vergl. *Sirius* 1903, Heft 4,

*Italiano Meteorologico dell' Osservatorio del Collegio Romano*, vol. V, No. 8, 10, 11, 12, intorno al cometa) als *congettura probabile della stella meteorologica* den Überzeugung Ausdruck, daß die Sternschuppen sich in unserem Sonnensystem in langen Strömen von periodischer Form bewegen.

Abgesehen von den Beobachtungen von Sternschuppen gezogenen Ergebnisse hat dann Schiaparelli unter dem Titel «Ricerche di una astronomica Teoria der Sternschuppen» geschrieben.

In dieser Schrift hat er den Beweis geführt, daß zwischen Meteorenschwärmen und Kometen ein enger Zusammenhang besteht.

Der Fundamentalsatz ist der, daß die Meteorströme aus der Auflösung hervorgehen, welche bei den Kometen erfolgt, wenn die gegenwärtige Anziehung ihrer Teile nicht mehr hinreicht, um die auflösende Kraft der Sonne oder irgend eines andern Gliedes des Planetensystems zu überwinden.

Daraufgehend sagt Schiaparelli in einem 1873 zu Mailand erschienenen Werke: «*La Stella Cadente*» die cometi meteorici sono il prodotto della dissoluzione delle comete. . . (Die Meteorströme sind das Produkt der Auflösung der Kometen . . .)

Dieser entschieden hienische und leicht verständliche Satz wurde, vielleicht gerade wegen seiner Klarheit, die Ursache eines furchtbaren Winterners, der sich hervorgerufen durch die populärwissenschaftliche Literatur hienischte.

Jeder, der diesen Satz liest, ohne die weiteren Ausführungen Schiaparellis zu beachten, wird natürlich folgenmaßen argumentieren:

Schiaparelli ist der Ansicht, daß die Kometen, welche in größere Sonnenströme zerfallen, sich durch die Verdichtungen der Atmosphären, welche die Sonne auf uns einwirken Teile ausstößt, in verschiedene Stücke auflösen muß. Diese Auflösung beobachtet man ja sehr deutlich: Sie sieht das Schweif der, der sich um so mehr entwickelt, je näher der Komet der Sonne kommt. Also nennt Schiaparelli so, die Meteorströme sind die verloren gegangenen Massen von Kometenatomen.

Wer so überlegt, kommt also zu dem Schluß, daß die Auflösung der Kometen in Meteorströme und die Bildung der Schweife identische oder wenigstens miteinander zusammenhängende Erscheinungen sind, und daß man in dem Schweife den Anfang der Bildung eines Meteorstromes erkennen muß.

Wenn der Leser das Werk von Schellen «*Die Spektral-Analyse*» zur Hand nimmt, so wird er unter dem

Artikel: Die Sternschuppen etc. folgen Satz finden:

«Der Schweif wird bei dem Umlauf der Kometen um die Sonne Materie dem Komete zurückbleiben. Der Komet wird sich immer mehr in die Länge ausdehnen und zerfällt sich teilweise oder ganz in einen meteorischen Ring um die Sonne aufzulösen.»

Schellen nimmt also in der Tat an, die Meteorströme seien Reste des Kometenschweifes.

In dem von Karl v. Littrow herausgegebenen Kalender für alle Stände 1868 liest man auf Seite 107 folgendes:

«Wie mit jeder wichtigen Entdeckung, so wird auch mit dieser Zusammenhänge zwischen bisher isolierten Tatsachen gebracht. Die an Kometen zur Zeit ihrer Sonnennähe vielfach beobachteten Ausströmungen, die in ihrem Entstehen zur Sonne gerichtet selbst die Richtung ändern und schließlich die Schweife dieser Himmelskörper bilden, werfen offenbar große Mengen der kleinsten Körper, aus welchen der Komet besteht, auf die Bahn desselben und lassen somit dieser Bahn gleichliegende Meteorströme entstehen.»

Wer diese Ausführung mit derjenigen Schellens vergleicht, wird sofort einen auffallenden Unterschied entdecken.

Schellen meint an, der auf ihrer Bahn zurückbleibende Rest der Schweife bilde die Meteorströme, und gibt dies als Schiaparellis Ansicht an.

Littrow dagegen versteht den Italiener dahin, daß durch die Entzweiung der Schweife nur einzelne kleine Körper, die den Kometen bilden, auf die Bahn desselben geworfen werden und so den Meteorstrom bilden. Aus diesem könnte man also herleiten, die Meteorströme seien nicht Reste des Kometenschweifes.

Nebenher war manche Müllers Lehrbuch der kosmischen Physik zur Hand. Hier finden wir im 6. Kapitel folgendes:

«Aus der Entdeckung Schiaparellis hat man vielfach den irigen Schluß ge-

nagen, als ob die Dampfschleifen und Schweife der Kometen nichts anderes seien als die aus großer Entfernung geschlossenen Meteorenschwärme oder mit anderen Worten, daß ein Komet aus einer Gruppe von Meteorströmen bestünde, eine Ansicht, gegen welche sich Schiaparelli selbst entschieden ausgespricht. Meteorenschwarme und Kometenschweife stehen nämlich in gemeinschaftlichen Bahnen, durch der Himmelsräume, während sich die Schweife rechtwinklig von diesen Bahnen entfernen.

Wie man sieht, sagt Müller, die Ansicht Schiaparellis gelte darin, daß die Meteorenschwarme mit den Kometenschweiften nichts zu tun haben können. Denn die Sterne dehnen sich ja auf der Bahn des primären Körpers um die Sonne herum aus, während sich die Schweife rechtwinklig (nämlich zu der Zeit, da sie sich am stärksten zu entwickeln pflegen) von dieser Bahn entfernen.

Daneben sagt auch Prof. H. J. Klein in seinen »Kometographischen Studien« und in dem Werke »Die Wunder der Sternwelt«, von Dr. Otto Ule wird Schiaparelli ebenfalls dahin verstanden, daß die Kometenschweife mit den Meteorströmen in keinem Zusammenhang stünden.

In einem anderen populären Werke (Wetzel, Allgemeine Himmelskunde, Berlin) findet sich folgende Erklärung:

»Bei der Annäherung an die Sonne müssen in den Kometen große Veränderungen vorgehen. Es ist nämlich bei vielen eine heftige Ausstrahlung von dem Kopfe zu beobachten worden, und diese Ausstrahlungen bilden, zurückgelassen, den von der Nebelhülle nicht getrennten Schweif des Kometen. Ein solches Zurückbleiben der Kometenmasse hinter dem Kern wird vielleicht durch den Widerstand des des Weltstroms erfüllenden Äthers bewirkt, der auch der Sonne zu unbedeutender Ausbreitung und dessen heftigende Wirkung einseitig diejenigen Kometen erfahren dürfte, die der Sonne sehr nahe kom-

men oder ein sehr großes Volumen einnehmen... Nach dem neuesten Ansichten heften sich ausströmte Kometen das Material zu den Schweifschuppen...»

Der Verfasser hat sich an diesen Stellen nicht klar über das Verhältnis ausgesprochen, in dem auch seiner Ansicht die Meteorströme zu den Kometenschweiften stehen sollten. Späterhin erwähnt er nur, daß auch Schiaparelli in Ansicht die Schweifschuppen feste Körperchen seien, die sich von dem Kometen beim Durchgang durch den Perihel losgelöst hatten.

Im Jahre 1888 ist nun ein populär-astronomisches Werk erschienen, das sich ausweidlich über den fraglichen Gegenstand ausspricht.

Es handelt sich »Spassvlogge durch des Himmelswelt«. Der Verfasser desselben, Herr Spensiden Gopovic (der unter dem Pseudonym »Leo Brenner«, Gedächtnis der Kaiserin-Sternwarten« schreibt) sagt auf Seite 275 folgendes:

»Bekanntlich ist es ein höchst große unter den großartigen Erscheinungen, welche dem Metall der Astronomie Schiaparelli beschrieben war, daß es ihm gelang, den Ursprung der Schweifschuppen festzustellen. Aus der Überlieferung der Lehren von Meteorströmen mit solchen von Kometen schloß er, daß erstere nichts anderes seien, als die verloren gegangenen Massen von Kometenschweiften.«

Herr Gopovic (Brenner) spricht sich also ausdrücklich für den Zusammenhang der Kometenschweife und Meteorenschwarme aus, indem er letztere für die verloren gegangenen Massen der ersteren erklärt, und stellt dies als Schiaparellis Ansicht hin.

Fürken wir nun noch einmal das Vorstehende, so sehen wir, daß Schiaparelli und Gopovic (Brenner) für den Zusammenhang zwischen Meteorströmen und Kometenschweiften, Müller, Klein, Ule indessen dagegen sind.

Littrow's Ansicht ist zweifelhaft, doch wird man bei genauer Prüfung

wird ebenfalls hervorgehoben, er stüße in dem Schwefel nicht den Anfang zur Bildung eines Meteorstromes. Denn er geht nur so, daß die Käfte, welche die Hülle des Körpers einschmelzen lassen, auch die Meteorkörperchen auf der Bahn des primitiven Körpers schleudern können. Damit ist aber durchaus nicht gesagt, daß diese Körperchen Schweifstaub sein würden.

Das Eigentümliche an all diesen Ansichten ist, jede dieser Perioden erklärt, ihre Ansichten auch die Schiaparellis. Es ist aber doch nur eins möglich: Entweder hat Schiaparelli sich für den Zusammenhang der Meteorströme und Kometenschweife ausgesprochen, oder er hat sich dagegen erklärt.

Durch die Lektüre der Werke Schiaparellis (Entwurf einer astron. Theorie der Sonnenschuppen und die Stelle Cadest) war ich zu der Überzeugung gelangt, der italienische Astronom spreche sich entschieden gegen den Zusammenhang der Meteorströme und Kometenschweife aus.

Um so mehr überraschte mich die Bemerkung in dem Werke Brinnow, die gerade das Gegenteil meiner Ansicht behauptet.

Als ich bezüglich dieses Gegenstandes eine Anfrage an Herrn Prof. H. J. Klein-Klein richtete und ihm meine Auslegung, die völlig mit der in dem »Kometologischen Briefen« gegebenen übereinstimmt, mitteilte, erwiderte mir Herr Klein: »Die Angaben in meinem Buche stimmen, wie Sie selbst auführen, mit der Auffassung Schiaparellis völlig überein. Diese ist auch die allein richtige.«

Wenn man das 3. Kapitel des Werkes »Ensa. s. nat. Th. d. Sonnenschuppen« und des 3. Brief in dem Werk »le Stelle Cadest« liest, ist es allerdings auch kaum möglich, etwas anderes als das, was Herr Prof. Klein behauptet hat, zu finden.

Schiaparelli sagt, wie schon erwähnt: »le correnti meteoriche sono il prodotto delle disiezioni dei comete.«

Es ist aber sehr zu beachten, daß der Direktor der Mailänder Sternwarte die Begriffe »Auflösung« und »Schweifbildung« keineswegs als identisch faßt.

Schiaparelli versteht unter »Auflösung« die Zerstreuung der Teile einer Auflösung von Materie unter dem ständigen Einfluß der Anziehung. Diese Anziehung kann entweder von der Sonne oder von einem störenden Planeten herrühren. Die Wirkung dieser Anziehung besteht in der Bildung eines Stromes, welcher sich auf der von dem primitiven Körper um die Sonne beschriebenen Bahn ausbreitet.

Nach beobachtet man überbri Körpern, die aus dem Tiefen des Weltraums zu uns gelangen, häufig auch eine andere Art der Zerstörung, bei welcher sich die Teile nicht längs der Bahn des ursprünglichen Körpers ausbreiten, sondern in anderen Richtungen. Diese Art der Zerstörung hat, wie Schiaparelli ausdrücklich hervorhebt, mit der ersten, allein durch die Anziehung veranlaßten nichts zu tun.

Da nun die Meteorströme während der ersten Zerstörung, die Kometenschweife dagegen der zweiten ihre Entstehung verdanken, so ist klar, daß nach Schiaparellis Ansicht die Meteorströme und Kometenschweife keine identischen Erscheinungen sein können.

Schiaparelli spricht dem ganz deutlich aus, denn er erklärt: »Nicht- dennotweniger haben einige Schriftsteller geglaubt (und diese Ansicht ist auch sehr mit Rücksicht dem Verfasser dieses Buches zugekommen worden), daß die Auflösung der Kometen in Meteorströme und die Bildung der Schweife identische oder wenigstens miteinander zusammenhängende Erscheinungen seien und daß man in dem Schwefel den Anfang zur Bildung eines Meteorstromes erkennen müsse. Diese Ansicht scheint aber, mir wenigstens, sehr zweifelhaft.«

Ist sollte meinen, deutlicher könnte man sich nicht ausdrücken.

In dem Werke «la Stelle Caduti»  
heißt es:

«Prego chi mi scolla di notare, che la disposizione di cui si tratta se la fanno l'artista della cometa, e non in altra di meno, tenuto specialmente su questo punto, perché non venga in mente ad alcuni di confondere la formazione delle comete meteoriche colla sviluppo della coda delle comete, come più volte è avvertito.»

Hier hebt Schiaparelli ausdrücklich hervor, man solle ja nicht Schweifbildung und Bildung des Meteorstromes durcheinander werfen.

Weiteres heißt es:

«Una prova, che le comete meteoriche sono un fenomeno distinto dalle code sta in questo, che le due comete meteoriche più illustri dei nostri tempi sono composte non due comete meteoriche, delle quali una (la cometa del 1862) non aveva coda, l'altra (questa di Sicilia) non mostra alcun simile apparenza all'apparizione del 1852, ed ora è divenuta visibile stata.»

Und schließlich:

«Ma la natura delle comete e delle code comete sembra godere di proprietà che alle stelle cadenti non competono.»

Man hat also den Ausdruck «Auflebung des Kometen» Meteoroiden und Bildung des Kometenschweifes bloßes Nebeneinanderstehen mit Urtitel Schiaparelli involviert.

Derselbe verwehrt sich vielmehr auf nachdrücklichem gegen eine solche Auslegung seiner Theorie:

«Nel libro scolastico di «Schellen», intitolato «Analisi spirituale», questo abbaglio è commesso dall'autore non solo per proprio conto, ma anche è attribuito all'autore delle presenti lezioni. L'opera essendo costantemente rivista e divulgata, senza il dovere di protestare contro questa interpretazione della mia teoria.»

Man wäre nur noch ein Zweifel übrig: Der beiden sollten grundlegen-

des Werke Schiaparellis stammen aus den Jahren 1875 und 1879. Wäre es da nicht möglich, daß er inzwischen seine Ansicht geändert haben könnte, und daß sich also dadurch die Nege in dem Werke «Spazio» ginge durch das Himmelslicht erklärt?

Dagegen wäre zunächst einzuwenden, daß Schiaparelli infolge seiner Argumente sich zu dem Schluß berechtigt glaubt, für seiner jeglichen Versuch unmöglich gemacht zu haben, die Bildung der Sternschuppen aus dem Schwede der Kometen herabzuholen.

Als ich den vor einigen Zeit meine Auflebung seiner Theorie mittels und um Auflebung hat, ob ich sie richtig verstanden habe, da schrieb mir Herr Schiaparelli wirklich:

«Sie haben vollkommen Recht. Noch heute bin ich der Ansicht, daß die Schweifbildung der Kometen und Entstehung der Meteorströme Vorgänge verschiedener Natur sind. Die Entstehung des Schweifes selbst beweis, daß die Bahnen der Schweifströme nicht denselben sein kann als die Bahnen des Kometenkopfes, mit welcher doch immer die Meteorströme verglichen werden.»

Hochstens könnte man zugeben, daß dieselben Kräfte, welche die Hüllen des Kometen auszuwickeln lassen, auch dazu beitragen, die Meteoroidenpartikel außerhalb der Anziehungsphäre des Kometen zu tragen, wodurch erst die Meteorströme entstehen könnten.»

Letztere Ansicht deckt sich mit der Vermutung, die Littrow in seinem Kalender für alle Stände 1868, S. 107 ausgesprochen hat.

Als ich Herrn Breuners meine Bemerkungen mitteilte, erwiderte er mir, er würde, wenn es sich umschließen so wollte, in seiner Zeitschrift «Astronomische Rundschau» eine Berichtigung bringen. Er versand mich jedoch falsch und meinte, ich sollte denselben Herrn Schiaparelli beschreiben, was natürlich wie aus obiger Erklärung klar hervorgeht, nicht der Fall war.

## Beobachtungen des Planeten Venus im Jahre 1883.

(S. 119a, Tafel VII.)

 Vom 18. bis 26. Juli 1883 hat Percival Lowell den Planeten Venus bei jeder günstigen Gelegenheit an seinem großen Refraktor beobachtet. Mit Rücksicht auf die Schwierigkeit zuverlässiger Wahrnehmungen an diesem Planeten und die Möglichkeit psychischer Illusionen hat der Beobachter die Sorgfalt angewendet um sich vor Selbsttäuschungen zu schützen. Man weiß, daß die Scheibe der Venus nur höchst selten mäßige Stellen zeigt, die sich durch Dunkelheit oder Helligkeit von dem Hintergrund abheben, und daß es Prof. Schiaparelli nur mit Mühe gelungen ist in dem wahrscheinlichen Ergebnisse zu kommen, daß (wie beim Merkur) die Umdrehungsdauer der Venus um ihre Achse der Umdrehungsdauer um die Sonne gleich ist. Dieses Ergebnis ist nun anders, nicht jedoch von Nichtfachastronomen, die zudem zu kleinen Instrumenten über Wahrnehmungen mangelten, bedrückt worden, indem sie auf Grund derselben behaupteten Venus besitze eine Umdrehung von etwa 24 Stunden ähnlich der Erde. Dagegen hat Percival Lowell schon im Herbst 1886 Flecke auf der Venusfläche gesehen, aus denen er auf die gleiche Rotationsdauer wie Schiaparelli schloß. Derselbe erwiderte damals lang und schnell und Lowell hat danach eine Karte der Venusoberfläche entworfen, die auf Tafel IV des *Serap.*, Jahrgang 1897 wiedergegeben ist. Dort finden sich noch 7 die Namen, welche P. Lowell den einzelnen Flecken und Streifen beigemitt hat. Im Jahre 1883 hatte nun stürmische Beobachtungen der Venus bei günstigen Stunden derselben astronomischen, um die Frage der Rotation dieses Planeten einer neuen Prüfung zu unterziehen.<sup>1)</sup> Es handelt sich dabei hauptsächlich um Sicherung vor subjektiven Täuschungen, besonders

solchen, welche verursachen, daß einzelne schwache Eindrücke in einer Linie sammelt werden. Dieses wird nach den Erfahrungen von Lowell völlig vermieden dadurch, daß man die Augen nicht schließt, nicht sondern still hält. Dies ist schwieriger als man sich vorstellt, denn die Augen hat ein natürliches Bestreben behalt Wahrnehmung herauszuschwenken und es ist schwer dasselbe im Zorne zu halten.

Von den Eigenheiten, welche die Venusfläche zeigt, gibt es nach Lowell zwei Arten. Die Eckenungen an der Lichtgrenze, und das Band um den Südpol mit den beiden Flecken darauf wie Perlen, gehören zu der ersten und am meisten augenfälligen Klasse. An ihnen Vorhandensein, sagt Lowell, habe ich nie gewarheit und sie also genügen um zu zeigen, daß dieser Planet eine Rotation von 225 Tagen besitzt. Die zweite Art von Flecken ist weit schwächer zu sehen, hieher gehören lange Schlangen, welche von der Lichtgrenze ausgehen und sich gegen den Mittelpunkt der Scheibe hin erstrecken. Diese letzteren, sowohl wegen ihrer Schwäche als wegen ihrer veränderlichen Gestalt, sind am meisten fraglich und erfordern kritische Aufmerksamkeit.

Die Beobachtungen des Jahres 1883 betreffen das Vorhandensein mehrerer Flecke beider Gattungen, die früher, 1880 bis 1887 und 1890, von Lowell gesehen worden waren. Das Band um Südpol und die beiden Flecke Antares und Ashera, welche in der Venuskarte von 1897 figurierten, wurden auch diesmal sehr bestimmt wieder erkannt und Etwas zeigte sich auch die dunklen Ausbuchtungen an der Lichtgrenze in den äußeren Enden von Andros, raptio und Hara raga. Was die andere Art von Flecken anbelangt so war der Nöckchen eines wirklichen Vorhandenseins als doppelte. Zunächst erschienen die Linien, welche die eigentlichen Kan-

<sup>1)</sup> *Serap.* 1883, S. 78.

<sup>2)</sup> Lowell Observatory Bulletin No. 4.

hervorzuheben, genau wieder an der Stelle der Vennscheitfläche wo sie sich 1897 und 1898 gezeigt hatten. Dieses alles ist schon ein starker Beweis für die Richtigkeit. Dann erscheinen sie aber auch zu Zeiten mit einer solchen Deutlichkeit und Bestimmtheit, daß jeder Verdacht, es könnte sich um eine optische Illusion handeln, fortfallen mußte. Am 27. Mai fand Lowell, als er den Fortsatz von Venus auf Mars richtete, die Details auf der Scheibe des letzteren nicht so scharf als die der Venus, doch fand Mars tiefer als letztere. Lowell fand desselben auch wieder bestätigt was er schon 1898 bis 1897 erhalten hatte, nämlich daß die Flecken um so leichter sichtbar sind, je mehr die Vennscheibe voll beleuchtet erscheint. Diese Eigenlichkeit war unabhängig von der Höhe des Planeten über dem Horizont, so hängt also nicht von dem irdischen Luftzustand, sondern von der mehr oder weniger vollständigen Beleuchtung der Vennscheitfläche durch die Sonne ab; je mehr sich die Sonnenstrahlen ausfüllen, um so besser werden diese Flecken sichtbar. Dies ist ganz natürlich der Grund, weshalb gewisse Stellen unsichtbar werden, wenn sie von dem Mittelpunkt der Scheibe fort-

rücken und anders in Sicht treten, wenn sie nach diesem Teile derselben rücken. Mit Rücksicht auf diesen Umstand ist es unzweifelhaft bei Zeichnungen nur solche untereinander zu vergleichen, welche nahe bei gleicher Phase aufgenommen wurden. Hinsichtlich dieses, so findet man vollständige Übereinstimmung der Zeichnungen der Vennscheitfläche, welche Schiaparelli 1877 Deber. 9, 14, 21., 1895 Juli 5. und 30. angefertigt hat, mit derjenigen die Lowell 1903 Juni 23 10h 5m M. Z. anfertigte und die auf Tafel VII, Fig. 4 wiedergegeben ist. Der dunkle Kern a um den Südpol konnte auch bei Schiaparelli vor und der schalenförmigen dunklen Striche b auf einer Zeichnung Lowells vom 30. Juli 1895. Beide Punkte hat Lowell mikroscopisch vermessen, was offenbar für die verhältnismäßig leichte Sichtbarkeit derselben spricht. Die dunklen Strichen sind offenbar unregelmäßige Teile der Vennscheitfläche und nicht das wolkigenartige Meer, mit dem Marskometen haben sie in keiner Weise Ähnlichkeit. Was aber nicht ersichtlich ist mit seinem Teleskop die Markante nicht und selber zu erkennen, beweist auch noch Lowells Versicherung nicht zu bezweifeln diese Strichen auf der Venus anzutreffen.

## Zehn Sterne mit veränderlichen radialen Geschwindigkeiten.

**I**n systematischen Untersuchungen von Sternen mit Spektren des G6-Typs, welche während der letzten Jahre auf der Verles-Sternwarte von Prof. Edwin H. Frost und Walter S. Adams angestellt wurden und, haben als Nebenergebnis zur Entdeckung einer weit größeren Anzahl spektroskopischer Doppelsterne geführt. Ein weiterer Vorzahn aus dieser Entdeckung, das von den genannten veröffentlicht wurde,<sup>1)</sup>

bezieht die Anzahl derselben, welche mit dem Bruce-Spektrographen gefunden wurden, auf 23, abgesehen von 4 anderen, welche Spektren anderer Typen besitzen. Aus den bisherigen Aufnahmen ergibt sich, daß unter den (63) Sternen des G6-Typs, die untersucht wurden und, die Zahl derselben mit veränderlicher Eigenbewegung sich zu den anderen nahezu wie 1:3 verhält. Dabei ist zu beachten, daß bei manchen dieser Sterne die Spektrallinien so breit und schwach begrenzt erscheinen, daß Geschwindigkeitsänderungen von ge-

<sup>1)</sup> Astrophysikal. Journal XVIII. Bd., No. 5, S. 383



langer Größe sich dem Nachweis entziehen. Dazu kommt, daß die Zeitintervalle zwischen den einzelnen Aufnahmen noch so kurz sind und umschwenkungsänderungen von längerer Periode als einige Tage oder Wochen erkennen zu können. Schließlich sind auch drei Aufnahmen eines Sterns keineswegs genügend um die Unveränderlichkeit der Geschwindigkeit eines Sterns während eines gewissen Zeitintervalls zu gewährleisten. Sonach kann man schließen, daß unter den Sternen mit Spektren des Giesstypus jeder zweite oder dritte ein Doppelstern oder ein mehrfaches System bildet.

Folgendes ist das neueste Verzeichnis der von Frost und Adams auf diese Weise entdeckten (spektroskopischen) Doppelsterne.

$\alpha$  Andromedae, 4,4 Größe

$$a = 5^h 21^m \pm = + 37^{\circ} 30'$$

Der Aufnahmen 1903 September 25, Oktober 10, und 17 ergaben radiale Geschwindigkeit  $-3$ ,  $+32$ ,  $+60$  km. Die Linien im Spektrum des Sterns sind schwächer als bei den meisten anderen Sternen dieser Klasse.

$\gamma$  Cassiopeiae, 4,8 Größe

$$a = 9^h 21^m \pm = + 47^{\circ} 30'$$

Die Geschwindigkeiten variieren zwischen  $-5$  und  $+75$  km. Die Linien im Spektrum dieses Sterns sind zwar nicht sehr breit aber sehr schlecht begrenzt und verworren, daher die Messungen unsicherer als bei manchen anderen Sternen.

$\alpha$  Orionis, 4,6 Größe

$$a = 5^h 21^m \pm = - 5^{\circ} 30'$$

Die Veränderungen der Geschwindigkeiten liegen zwischen  $+19$  und  $+33$  km. Das Spektrum eignet sich sehr zu genauen Messungen, da die meisten Linien, besonders die doppelten, stark, schmal und gut begrenzt sind.

$\gamma$  Aurigae 5,5 Größe

$$a = 5^h 21^m \pm = + 21^{\circ} 0'$$

Das Spektrum ist ähnlich dem von  $\alpha$  Orionis, abgesehen die Linien weniger stark sind. Die Geschwindigkeiten liegen zwischen  $+15$  und  $+28$  km.

$\gamma$  Orionis, 3,0 Größe

$$a = 5^h 20^m \pm = - 5^{\circ} 30'$$

Das Spektrum dieses Sterns ist sehr kompliziert. Es liegen 7 Aufnahmen von September und Oktober 1903 vor. In den meisten Fällen erschienen die H- und K-Linien und H $\gamma$  außerordentlich breit und verworren und auf ihnen erschienen zu Zeiten 2 bis 3 Maxima, von denen noch nicht bestimmt werden kann ob sie Komponenten mit veränderlichen Geschwindigkeiten angedeutet oder durch physikalische Zustände des Hauptsterns verursacht werden. Die Geschwindigkeiten variieren zwischen  $+28$  und  $+60$  km. Weitere Aufnahmen dieses Sternsystems sind erforderlich.

$\epsilon$  Orionis, 4,4 Größe

$$a = 5^h 21^m \pm = + 14^{\circ} 45'$$

Die Geschwindigkeiten liegen zwischen  $+61$  und  $+12$  km.

18 Aquilae, 5,1 Größe

$$a = 19^h 21^m \pm = + 10^{\circ} 30'$$

Die Linien sind schwer zu messen, die Geschwindigkeiten variieren zwischen  $+12$  und  $-28$  km.

2 Lacertae, 4,8 Größe

$$a = 22^h 12^m \pm = + 46^{\circ} 2'$$

Das Spektrum der ersten Platte ist viel schwächer als das der beiden anderen und ohne wiederholte Untersuchung desselben gab Andeutungen der Gegenwart von Linien, die dem zweiten leuchtenden Komponenten angehören, welche auf der zweiten Platte messbar waren (mit  $-185$  km Geschwindigkeit). Diese Linien konnten auf der dritten Platte nicht gemessen werden. Die Geschwindigkeiten variieren zwischen  $+1$  und  $-56$  km.

5 Lacertae, 4,6 Größe

$$a = 22^h 28^m \pm = + 42^{\circ} 30'$$

Die Geschwindigkeiten liegen zwischen  $-3$  und  $-34$  km.

1 Hec. Cassiopeiae, 4,8 Größe

$$a = 22^h 23^m \pm = + 58^{\circ} 0'$$

Die Spektrallinien sind ziemlich breit und verworren. Die Geschwindigkeiten variieren zwischen  $-3$  und  $-70$  km.

$\delta$  Persel, 41 Größe.

$\alpha = 24^{\circ} 30'$   $\delta = + 35^{\circ} 30'$ .

Dieser Stern hat eine sehr große radiale Geschwindigkeit, nämlich um Mittel  $+ 85$  km. Das Spektrum ist wegen Breite und dem sehr schwachen Charakter der Linien schwer zu messen. Daher bleibt bei der Schenkung von 9 km, um welche die Messungen variieren, zweifelhaft ob eine bedeutende Geschwindigkeit vorhanden ist oder nicht. Beobachtungen, die über einen längeren Zeitraum ausgedehnt sind, werden hierüber entscheidend.

Schließlich machen Frost und Adams noch darauf aufmerksam, daß die folgenden Sterne mit Spektrum des Orontypus helle Linien besitzen:  $\epsilon$  Persel, 43 Größe, 29 Orontis, 48 Größe,  $\gamma$  Persel, 46 Größe. Charakteristisch für diese Sterne mit dieser eigentümlichen Veranordnung des Orontypus-Spektrums ist, daß die Wasserstofflinien eine doppelte helle Komponente zeigen, welche nebeneinander auf der breiten, dunklen Linie oder Bande steht.

## Das Spektrum und die Bahn von $\delta$ Orionis.

Dieser Stern  $\delta$  5-Größe gehört zu den jungen Fixsternen, welche einen geringen Lichtwechsel erkennen lassen. Im Jahre 1834 wurde John Herschel zuerst auf dessen Helligkeitsänderungen aufmerksam und 30 Jahre später bestätigte Salzer die letzteren. Arwen gleiches aus seinen Beobachtungen 1854 bis 1858 sogar eine bestimmte Lichtperiode ableiten zu können und fand dieselbe zu 1688 Tagen<sup>1)</sup> bei einer Helligkeitsveränderung von 0,5 Größenklassen. Schenckel hat diesen Lichtwechsel im allgemeinen auch erkannt und den Stern beizumessen zu den Veränderlichen geschickt.

Im Winter 1899 bis 1900 hat H. Deslandres mit dem großen photographischen Teleskop zu Meudon bei Paris das Spektrum von  $\delta$  Orionis an 11 Abenden aufgenommen und fand bei Vergleichung der Platten deutliche, periodische Verschiebungen der Spektrallinien. Er erklärte entsprechend den Stern für einen solchen mit unbedeutender Geschwindigkeit in der Geradenlinie, aber für einen spektroskopischen Doppelstern. Aus seinen Messungen sollte Deduktion eine Umlaufzeit des sekundären Sterns um den mit seinem

anziehenden Begleiter gemeinsamen Schwerpunkt von nur 1,02 Tagen ab. Mit dieser Umlaufdauer ließen sich jedoch die nahe gleichzeitigen Ausnahmen auf dem Astrophysikalischen Observatorium zu Potsdam nicht vereinigen und Prof. J. Hartmann beschloß deshalb, den Stern weiter zu beobachten. Da die Spektrallinien darunter sehr verwischen sind, so erschien es vorteilhafter, die Ausnahmen mit geringerer Dispersion (in einem Spektroskopien mit nur einem Prisma) zu machen. Solche hat Prof. Hartmann in den Wintermonaten 1901 bis 1902 und 1902 bis 1903 in größerer Anzahl angestellt und ihre Bearbeitung hat ihn dann zu sehr interessanten Ergebnissen geführt, die kürzlich der Preuß. Akad. d. Wiss. vorgelegt worden sind.<sup>2)</sup>

Der Stern  $\delta$  Orionis, bewahrt Prof. Hartmann, gehört zum Typus der Orontsterne (79), deren Spektrum neben den Linien des Wasserstoffs hauptsächlich die des Heliums zeigt. Im vorliegenden Falle sind diese Linien häufig verwischen und matt, so daß ihre Messung sehr schwierig und ungenau ist, wegen der geringen Intensität der Linien

<sup>1)</sup> Astron. Nachr. 1858, Bd. 50, S. 166.

<sup>2)</sup> Abh. d. Kgl.-Pre. Akad. 1904, XIV, 2, 329.

sind als Plattenbilder sehr scharf, und solche ungeschliffener Kornablagenen erscheinen die Linien bläulich grün und unsymmetrisch, beworfen sogar verdoppelt. Durch eine besondere Untersuchung habe ich mich davon überzeugt, daß die Ausrichtungen von Verdoppelungen und unsymmetrischen Verbrennungen nicht durch Linien verursacht sein können, welche der zweiten Komponente des Spektrums angehören, jedoch habe ich es nicht für ausgeschlossen, daß die Form der Linien, welche infolge heftiger Bewegungen in der Oberfläche des Sterns, kleinen rötlichen Änderungen unterworfen ist. Muß man hier nach *4 Orionis* für ein Doppelspektrum halten, dessen eine Komponente, wie man sich ausdrücken pflegt, »deutlich« ist, so möchte ich doch darauf aufmerksam machen, daß man hier unter »Deutlichkeit« nur einen relativ geringen Helligkeitsunterschied zu verstehen hat. Selbst ein Unterschied von etwa einer Größenklasse würde ausreichen, um das Spektrum der schwächeren Komponente fast zum völligen Verschwinden zu bringen, und bei einem Unterschied von zwei Größenklassen ist es unmöglich, daß auch nur eine Spur des schwächeren Spektrums erscheint. In dieser geringen Größenklasse, die zur Auslösung des schwächeren Spektrums genügt, liegt auch die Erklärung der Tatsache, daß sich unter den sichtbaren früher entdeckten spektroskopischen Doppelspektren nur eine sehr kleine Anzahl solcher befindet, bei denen sich auch die zweite Komponente im Spektrum nachweisen läßt.

Die Ausmessung der Position der einzelnen Linien auf der Platte hat Prof. Hartmann mit ganz besonderer Sorgfalt durchgeführt, um von Fehlers in der persönlichen Auffassung des Messenden möglichst frei zu bleiben. Auch hat er sich dafür nicht auf die Wasserstoff-*H<sub>γ</sub>* beschränkt, sondern im ganzen die Position von 20 verschiedenen Linien gemessen, darunter die Hauptlinien des Wasserstoffs und He-

lium, sowie Linien des Siliciums und eine Calciumlinie (*λ* 8544). Die unwillkürlichen Linien zeigen periodische Verschiebungen ihrer Lage, welche eine Bahnbewegung des Sterns *4 Orionis* offenbaren; nur allein die Calciumlinie macht davon eine Ausnahme, indem sie überraschender Weise an der durch die Bahnbewegung des Sterns verursachten periodischen Verschiebung durchwegs nicht teilnimmt. Prof. Hartmann hat diese Tatsache außer jedem Zweifel gestellt und es fragt sich jetzt, wie sie zu erklären ist. »Daß die dieser dunklen Linie entsprechende Absorption,« sagt Prof. Hartmann, »mit in der Erdatmosphäre stattgefunden habe, ist schon wegen der Art dieser Absorption ganz unwahrscheinlich. Auch würde dann die betreffende Linie überhaupt in jedem Sternspektrum auftreten, und die nur ihrer Lage berechneten Geschwindigkeiten müßten durch Ableitung der Resultate auf die Sonne in beträchtliche Überschätzung kommen. Als ein gerade das Gegenteil ist der Fall, wenn durch Resultate auf die Sonne wird der Wert völlig konstant, und hierdurch ist der kosmische Ursprung der Linie bewiesen. Das zunächst folgende Annahme, daß die beobachtete Linie der zweiten Komponente des Doppelspektrums angehört, führt auf zwei Schwierigkeiten. Man müßte nämlich für die zweite, lichtschwächeren Komponente eine mindestens zehnmal so große Masse annehmen als für den hellen Stern, bei dem schon sehr unwahrscheinlich, so ist es noch unfähiger, daß sich von dem Spektrum des zweiten Körpers keine einzige weitere Linie vernachlässigen läßt. Das Auftreten einer solchen masselosen Luft würde sich durch keine der bisher bekannten Spektroskopien erklären lassen, und es weist vielmehr mit direkter Sicherheit auf das Vorhandensein einer mit dem Stern nicht unmerklich zusammenhängenden überherrschenden Gaswolke hin.

Man wird hierdurch in der Annahme gefestigt, daß sich auf der Geschwindigkeit

zwischen der Sonne und  $\delta$  Orionis an irgend einer Stelle des Raumes eine Wolke befindet, welche jene Absorption hervorbringt, und sich mit 16 km Geschwindigkeit von uns entfernt, falls man noch die nach der Natur der beobachteten Linie sehr wahrscheinliche Annahme macht, daß die Wolke aus Calciumdampf besteht. Diese Folgerung findet eine wesentliche Stütze in einer ganz ähnlichen Erscheinung, die das Spektrum der Nova Persei im Jahre 1901 zeigte. Während in diesem Spektrum die Linien des Wasserstoffs und anderer Elemente durch ihre enorme Verbreiterung und Verrückung und den fortwährenden Wechsel ihrer Form auf stürmische Vorgänge in der Gaskugel des Sterns schliessen ließen, wurden während der ganzen Dauer der Erscheinung die beiden Calciumlinien 17034 und 17069 sowie die D-Linie als völlig scharfe Absorptionslinien beobachtet, welche die konstante Geschwindigkeit  $+7$  km ergeben. Schon damals äußerte ich den Gedanken, daß die genannten scharfen Linien wahrscheinlich ihre Entstehung nicht auf der Nova selbst, sondern in einer in der Geschwindigkeit irgendeiner Nebelmasse hätten, eine Ansicht, die durch die spätere Entdeckung der Nebel in der Umgebung der Nova nur an Wahrscheinlichkeit gewonnen hat. Auch bei  $\delta$  Orionis ist es nicht unwahrscheinlich, daß die Wolke in Zusammenhang mit den ausgedehnten Nebelmassen steht, welche von Barnard <sup>1)</sup> in der Umgebung nachgewiesen wurden. Die zweite Calciumlinie 17069 wird im Spektrum von  $\delta$  Orionis durch die breite Wasserstofflinie H $\gamma$  überdeckt und kann daher nicht beobachtet werden.

An welcher Stelle der Visierlinie die Nebelmasse liegt, läßt sich nicht ermitteln; um ihre wahre Ausdehnung zu bestimmen, wird man die Spektra der benachbarten Sterne, namentlich solcher mit veränderlicher oder stark

abwärtiger Geschwindigkeit, auf das Vorhandensein der Calciumlinien zu prüfen haben. In dem Spektrum von  $\gamma$  und  $\epsilon$  Orionis ist diese Linie vorhanden, doch kann man, da die Geschwindigkeit dieser Sterne nur wenig von der oben angegebenen Bewegung der Wolke abweicht, über Zugehörigkeit zum Spektrum des Sterns oder der Wolke nicht entscheiden.

Indem Prof. Hartmann nun zur Bestimmung der Bahn überging, die  $\delta$  Orionis mit seinem Begleiter um den gemeinsamen Schwerpunkt beschreibt, fand er auf Grund des oben gegebenen Zahlen umfassenden Materials, daß die von Dufour als vermutete Umlaufdauer nicht zutreffend ist, sondern die wahre Umlaufzeit 54 (75/34 = 48) beträgt mit einem wahrscheinlichen Fehler von  $\pm 17$ . Die weitere Berechnung ergab folgendes:

Bewegung des Schwerpunktes der Bahn  
( $V_0$ ) =  $+251$  km.

Zeit des Periastrons ( $T$ ) = 1902 Febr. 12.30.

Epoche, in welcher  $V$  = Null ( $\alpha$ ) = 1902 Febr. 11.13.

Länge des Periastron vom Knoten an

$$(\alpha) = 33^\circ 23.9,$$

Länge des entferntensten Punktes der Bahn

$$(\alpha_1) = 95^\circ 23.9,$$

Länge des nächsten Punktes der Bahn

$$(\alpha_2) = 264^\circ 23.9,$$

Exzentrizität ( $e$ ) = 0.95334,

Projektion der großen Halbachse der Bahn auf die Gesichtslinie zur Erde ( $a \cos i$ ) = 740000 km.

Die Neigung  $i$  der Bahn bleibt unbekannt und daher kann man den Wert der halben großen Achse nicht direkt ermitteln. Dagegen kann man die Distanzen angeben, bei zu welchen sich der sichtbar Stern bewegt und vor diese Ebene bewegt, d. h. also die oben mit  $a_1$  und  $a_2$  bezeichneten Längen entsprechen. Es ergibt sich, daß sich der Stern bei 895000 km aus dieser Ebene und bei 740000 km vor die Ebene bewegt. Macht man folgende Annahmen für die Neigung der Bahn gegen die Gesichtslinie zur Erde nämlich:  $i = 45^\circ$ ,  $60^\circ$ ,  $75^\circ$  und  $90^\circ$ , so erhält man bei

<sup>1)</sup> E. E. Barnard, *Distant Nebulae near the Pleiades*, *Astronomy* Juni 11, 1911, 1912.

große Werte für die große Halbachse  $a$  der Bahn:

$\alpha = 45^\circ$	$a = 10\,137000$ km
60	9250000 „
75	8110000 „
90	7000000 „

Man erkennt aus dieser Zusammenstellung, daß die Bahn, falls man i nicht sehr kleine annimmt, einen des meisten Teil des Durchmessers der Merkurbahn hat. Sind die Massen der beiden Komponenten des Doppelsystems nahezu gleich, so würde hiernach der Abstand der Sterne voneinander ungefähr ein

Drittel des Abstandes des Merkur von der Sonne sein.

Da über die Bewegung des Begleiters nichts bekannt ist, so kann man bezüglich der Masse des Systems nur unter gewissen Annahmen zu näherungsweise Schätzungen gelangen. Prof. Hartmann kommt hiernach zu dem Ergebnisse, daß bei  $\beta$ -Orionis die beiden Massen nahezu gleich sein dürften und die Gesamtmasse des Systems wahrscheinlich fünf bis zehnmal größer als die Masse unserer Sonne ist.

## Eine neue Deutung der Spektre der neuen Sterne.

**E**ine spektroskopischen Untersuchungen des Lichtes der neuen Sterne haben bekanntlich ergeben, daß in diesen Spektren die hellen Linien gegen das rote, die dunklen gegen das violette Ende des Spektrums verschoben erscheinen. Die Deutung dieser sehr wunderbaren Erscheinung hat nicht nur die unglückliche Hypothese eines Zusammenstoßes zweier mit entgegengesetzten Bewegungsrichtungen versehenen Weltkörper zurückgeworfen, sondern übertrug Schwierigkeiten gemacht, die noch nicht gelöst sind. So werden dieses erst auf Grund umfassender Versuche im physikalischen Laboratorium, zu denen man in der Tat übergegangen ist. Über solche Versuche hat Dr. H. Ebert bereits vor zwei Jahren der Königl. bayerischen Akademie berichtet und derselbe gibt jetzt<sup>1)</sup> eine Darstellung, die sich auf diese und ähnliche Versuche stützt und gleichzeitig die von Prof. v. Seeliger aufgestellte Hypothese über den Waben der neuen Sterne berichtigt.<sup>2)</sup> Aus der Abhandlung von Dr. Ebert ist nachstehend das Wesentliche mitgeteilt:

„Es den eigentümlichsten Phänomenen der gesamten Astrophysik an, sagt er, gehören unzweifelhaft noch

immer die Spektren der neuen Sterne. Je mehr Einzelheiten die großen spektrophotographischen Hilfsmittel der Neuzeit in diesen Spektren, namentlich in denen der Nova Aurigae und der Nova Persei kennen gelehrt haben, um so weniger erschienen denselben miteinander vereinbar und durch stichhaltige Ansätze erklärbar. Schon der Grundtypus dieser Spektren, das aus hellen, gegen das Rot zu verschobenen Linien und gleichzeitig damit auftretenden dunklen, gegen das Violett hin verschobenen Linien desselben Stoffes bestehende sogenannte Doppelspektrum, schien nach dem Dopplerschen Prinzip das Vorhandensein von mindestens zwei Weltkörpern zu fordern, von denen der eine sich mit großer Geschwindigkeit von uns weg, der andere zu uns her bewegte mußte, wenn der eine aber nur durch Emission-, der andere durch Absorptionsspitze ausgezeichnet sein sollte, bei wiederum der Erklärung große Schwierigkeiten. Als sich vollends herausstellte, daß die Linienverschiebungen verschiedener Stoffe, je die Verschiebungen der Linien desselben Stoffes, z. B. des Wasserstoffes, nach dem Dopplerschen Prinzip auf Bewegung in der Geschwindigkeit zurückgeführt, verschiedene Geschwindigkeiten ergaben,

<sup>1)</sup> Astron. Nachr. No 3917.

da oft nicht einmal dem Vorzeichen nach Merkmalsmerkmalen, sah man sich auf ganz andere Erklärungsgrundsätze beschränken.

So hat J. Wilsing eine Deutung des typischen Spektrums der neuen Sonne auf Grund von Versuchen unternommen, bei denen die hochgespannten Entladungen von Leuchtenden Platten zwischen Metall-Elektroden unter Wasser vor sich gehen. Dabei erhält man in der Tat Spektren, welche mit denen der neuen Sonne große Ähnlichkeit haben. Wenn aber der gesamte Forscher die hier vorliegende Wirkung auf Druckeinwirkung zurückführt, so dürfte diese Deutung auf Bedenken stoßen. G. E. Hale, der die hochgespannten Wechselstromentladungen eines Transformators zwischen Silberblechen mit abwechselndem Boden unter Wasser übergehen ließ und die hierbei auftretenden Spektrallinien angab, ist nicht ohne großen Hohlglühens photographie, kommt zu dem Schlusse, daß die Drucke in den vor dem vorerwähnten Funkenentladungen unmittelbar vor der gewöhnlichen von denen, daß man die tatsächlichen Linienveränderungen den Versuchen von Humpfen und Richter entsprechend erklären könne. Zudem geht aus seinen Versuchen hervor, daß die gesamte Erscheinung sehr eng mit den Absorptionseigenschaften in den die Elektroden umgebenden kälteren Dampfzügen zusammenhängt, das kontinuierliche Spektrum wird als Übergangsspektrum vom Hochintensitätsspektrum zu dem Dunkelenspektrum durch Salzsaure zu dem Wasser, also ohne Druckveränderungsfaktor. Auch N. Lockyer, der die Versuche Wilsings wiederholte und namentlich variierte, kann auch Wilsings Auffassung nicht zustimmen. Endlich hat H. Koenig den Einfluß der verschiedenen Entladungsbewegungen auf das Aussehen der Spektrallinien eingehend studiert und kommt bezüglich der im Humpfen'schen überschlagenden Funkenentladungen zu dem Schlusse, daß Druckveränderungen wohl die mit denen nicht leicht zusammenhängen-

des Veränderungen zur Deutung der Beobachtungen nicht hinreichen.

»Zu denselben Resultaten, H. E. Ebert fort, führten mich meine eigenen dazugehörigen Versuche, bei denen ich unter der Funkenentladung am Boden der Zirkularwanne, in welche die Elektroden von verschiedener Höhe von oben her hineingehalten wurden, diese unter 45° geneigten Spiegel beleuchtete und dann gegenüber in der Blechwand des Gefäßes eine durch eine Spiegelfläche vermittelte verschlossene Öffnung schaute. Die Funkenentladung wurde also durchweg von unten her betrachtet, ein Fernrohrobjektiv warf das Licht auf den bald horizontal, bald vertikal gestellten Spalt der verschiedenen bei den Versuchen benutzten Spektroapparate. An der Blechwanne war unten ein Rohr angebracht, welches vornehmlich eines Gummischlauches die Kommunikation mit dem die Füllflüssigkeit (gewöhnlich Wasser) enthaltenden Gefäße herstellte. Durch Heben und Senken desselben war es möglich, das Flüssigkeitsniveau in dem Entladungsgefäß sehr genau darzustellen und die Entladung zu studieren, während die Funkenbahn mehr oder weniger tief in die Flüssigkeit versenkt war, oder die Flüssigkeitsoberfläche eben berührte, oder vollständig außerhalb derselben lag. Die Entladungen wurden durch eine große Tüpfelröhre luftvermieden geschützt, vor die Funkenentladung wurde ein Funkenkondensator geschaltet, durch welches die Entladungsspannung immer auf dieselbe Höhe eingeregelt wurde. Das Ergebnis dieser Versuche mit dieser Anordnung war, daß Druckveränderungen zur Erklärung der Erscheinungen nicht ausreichen.«

Dr. Ebert greift daher auf ein anderes Erklärungsprinzip zurück, welches die bei den Versuchen auftretendencheinenden Linienveränderungen und ebenso das Auftreten der charakteristischen Doppelspektren am besten erklären könnte. Es ist die anomale Dispersion, welche gewisse absorbierende Medien auf den Gang der Lichtstrahlen ausüben und

welche W. H. Julius bereits wiederholt zur Erklärung von Erscheinungen auf der Sonne, besonders der Protuberanzen und Öffel herbeigezogen hat.<sup>1)</sup> Ebert zeigt aus, daß sonstige Erscheinungen des Lichtes in absorbierenden Dampfkühen unter Umständen auch die Helligkeitsverteilung im Spektrum in der Umgebung der Gebiete stürkster Absorption sehr wesentlich beeinflussen und zwar der Art, daß das Spektrum so erscheint, wie man es bei dem neuen Stern als typisch festgestellt hat. Bei der Anwendung auf die Phänomene der neuen Sterne gewinnt die vorgenommene Anschauung deutlich noch eine erhöhte Wahrscheinlichkeit, weil sie die unmittelbare Interpretation und eine notwendige Konsequenz derjenigen Theorie darstellt, welche vollständig-dengemäßen Phänomene gegenüber in allen übrigen Punkten als am meisten stichhaltig erwiesen hat, nämlich der Sachgenossen Theorie der neuen Sterne. Eben erläutere dies in folgender Weise näher:

H. von Seeliger nimmt an, daß beim Ausbruch eines neuen Sternes ein an sich bereits dunkler oder nur schwach leuchtender kompakter Weißkörper mit kosmischer Geschwindigkeit in eine an sich ebenfalls nicht oder nur schwach leuchtende ausgedehnte Staubwolke einströmt. Fast täglich belehrt uns die Himmelsphotographie, daß kosmische Staub- oder Nebelgebilde viel häufiger im Weltraum vorhanden sind, als man früher nur irgend geahnt hat. Andererseits hat besonders die Nova Perse die zuge Benennung der neuen Sterne zu solchen Nebelgebilden auf das augenfällige dargelegt.

In den großen relativen Geschwindigkeiten zwischen Weißkörper und Staubteilchen gegenseitig muß sich der Körper an seiner Stirnseite oberflächlich stark erhitzen, aber auch die von ihm getriebenen und vor ihm verdrängten Teile der Staubwolke müssen eine große

Temperaturerhöhung erfahren, wie der Seeliger z. z. O. sehr deutlich plausible Annahmen für einige Fälle bezeugen. Diesen Erscheinungen müssen Verdampfungen parallel gehen. Am ehesten und am reichlichsten werden diejenigen Substanzen verdampfen, welche den niedrigst gelegenen Kondensationspunkt besitzen, das sind Wasser und Wasserstoff. Von denen muß zuerst eine dicke Hülle dem Körper begeben, später kommen Metalldämpfe in reichlicherem Maße hinzu. Das Phänomen stellt hiernach im Bereiche des Protoplastens im großen das dar, was wir im kleinen beim Ausbrechen eines Meteoriten in der höheren Schichten unserer Erdatmosphäre beobachten. Auch hier erfüllen daher ähnliche Spektralanzeigen zu finden sein, wie bei den neuen Sternen, da die Ursachen derselben — nach unserer Auffassung die Lichterscheinungen in den Dampfkühen — wohl dem Grade, nicht aber der Art nach verschieden sind. Freilich wird es hier ungleich schwieriger zu beobachten und daher wohl auch noch nicht, soviel wie wenigstens bekannt ist, beobachtet. Der Grund liegt in der großen Flüchtigkeit der Erscheinung, während die neuen Sterne oft über Jahrzehnte hinaus hellleuchtende Objekte am Himmel darstellen, so die Dauer selbst der hellsten Bohlen oder Feuerkugeln nur auf Sekunden beschränkt. So lange also, als nicht einmal der Zutritt ein Materie von genügender Helligkeit über die Platinierung thermographischen Aufnahmen führt, muß diese Prüfung der Theorie abgewiesen werden.

Vertolgen wir den Entwicklungsgang einer Nova etwas näher: Zunächst wird bei dem Entstehen des Körpers in die kosmische Staubwolke ein ziemlich plötzliches Aufsteigen am Himmel aus dem Einfluß dieser Kollision ausströmen, dieselbe ist, wie schon Seeliger hervorhebt, unendlich viel wahrscheinlicher als die zweier Weißkörper gegenseitig oder auch nur die eines solchen Körpers mit den Gassen eines anderen Sternes-

<sup>1)</sup> Vgl. Böhm 1902, S. 28 u. 2. 1903, S. 10 u. 2.

optisch. Dabei wird sich im wesentlichen zunächst nur ein kontinuierliches Spektrum mit immer weiter im Ultraviolett sich entziehenden Strahlenenden ergeben. Sehr bald müssen aber in der Strahlwurzel Vergewissungen der Meines Partikels entstehen, eine mehr und mehr sich ausdehnende absorbierende Dampfzelle zunächst von Helium und Wasserstoff, dann von Metallen, legt sich um den Körper. Die Anordnung derselben müssen wir uns ähnlich wie die der Verdichtungsverküm um die mit großer Geschwindigkeit durch die

entflichen. Steht also die Erde eben in der Richtung E, so werden die in die Figur eingezeichneten Strahlen des Lichtweg beschreiben, den die von dem einströmenden Absorptionlinien eines bestimmten Stoffes etwa des Wasserstoffes nach dem Rot zu gelegenen Spektrallinien nehmen. Selbst für den Fall, daß der Beobachter hinter dem Stern in der Richtung irgend einer der in der Figur angedeuteten Schrägfächer selbst steht, wird auch ein ähnlicher Strahlengang resultieren. Denn die von dem gegen den Stern gezogen gedachten Strahl, der in die entsprechenden Trennungsfächer zweier Schichten eintritt, wird nach der Seite der wachsenden Brechungsponenten, im vorliegenden Falle also nach innen hin gebogen. Umgekehrt werden die von den äußeren Oberflächensparten emittierten Strahlen durch die entsprechende Umliegung in das Auge des Beobachters gelangen.

Ganz anders liegt der Fall für die höheren Schwingungen, für welche die hellsten Schichten des optischen Spektrums, die weiter nach innen gelegenen aber solche mit immer kleineren Brechungsponenten sind. Strahlen dieser Art, die von E kommen, nehmen in der Dampfzelle etwa den durch die gestrichelten Linien angedeuteten Weg nehmen, für sie bedeutet also der kompakte Körper W selbst den größten Teil daran der Strahlwurzel C sich entwickelnden Leuchtquerschnitt. Selbst in dem Falle, daß E der Bewegungsrichtung von W viel näher liegt, als in der Figur angenommen ist, werden die Strahlen, für die der Brechungsindex  $n$  größer als 1 ist, nach Licht dem Beobachter zufließen, als die Strahlen mit anderen unter 1. In dem System müssen also die Absorptionen desjenigen Stoffes, aus dem die Hülle hauptsächlich zusammengesetzt ist, stark nach dem Violet zu verbreitert erscheinen, ein dunkler Schatten liegt sich hier schneller über die dem ganzen zugrunde liegende kontinuierliche Spektrum, die Mäße der Linie ist stark nach dem Violet zu ver-

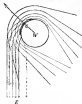


Fig. 1

luft fliegendes Rundgeschloß vorstellen, wie die durch photographische Momentaufnahmen im Fernrohr leicht veranschaulicht werden ist. Steht in Fig. 1 W das in der Fldrichtung durch den Nebel sich bewegende Körper dar, so wird auf der in der Bewegungsrichtung liegenden Klotze C, der Strahlung, die maximale Lichtintensifikation stattfinden. Außer in dem an sich nur wenig wahrscheinlichen Falle, daß der Körper genau auf uns zukommt, werden wir diese hellste Partie C immer nur mehr oder weniger schräg durch die Hülle beobachtet. Gase und Dämpfe brechen



schoben. Nach dem Rot hin schwindet dagegen dem hellen Hintergrunde ein noch tieferes Band aufgesetzt zu sein, dessen Intensität nach dem Rot hin sich allmählich verliert und nach dem Violet hin, also gegen die Absorptionsecke hin, scharf abfällt; die hellste Kante dieses Bandes liegt dem normalen Linienspektr sehr nahe und unter nur geringer Verschiebung gegen das Rot hin. Die Helligkeit dieses Bandes kann fast so stark ansteigen wie die Dispersionsecke selbst. Es kann für diese Sinken mit einem  $n > 1$  bei der Schwächung der Dampfhitze oder auch ein anderer Fall eintreten, der besonders im Auge zu behalten ist, nämlich der, daß die Strahlen mit höchsten  $n$ -Werten überhaupt nicht austreten, sondern total reflektiert werden. Hier wächst dann die Helligkeit nur bis zu einem bestimmten maximalen Betrage, der für einen größeren Wellenlängenbereich etwa der gleiche bleibt, es entsteht ein breites helles Band von nahezu gleichmäßiger Intensität, welches gegen Violet hin scharf begrenzt ist, sehr gegen das Rot hin allmählich in der allgemeinen Helligkeit des kontinuierlichen Spektrums verliert. Die Mitten dieser Bänder sind dann stark gegen Rot verschoben.

Für alle diese im vorstehenden skizzierten Fälle finden sich in der Literatur über die verschiedenen Materie zahlreiche Beispiele, die nur hier zu belegen, zu weit führen würde.

Neben den verbreiteten, verschiedenen und stark verschobenen hellen und dunklen Linien, die wir uns in dieser Weise reibenden denken, können natürlich auch scharfe und schwache eigenartige Emission- und Absorptionslinien auftreten, die sich von der Gaskante, also von dem Weltkörper selbst herführen. Der aus diesem schweben und aus den beiden Linien nach dem Dopplerschen Prinzip hergeleiteten Bewegungsgeschwindigkeiten werden aber im allgemeinen ziemlich kleine Werte ergeben können.

Ein wesentlicher Vorteil der Seeligen-

schen Theorie liegt außer in ihrer großen Einfachheit und Natürlichkeit in der ungeheuren Fülle von Erscheinungsmöglichkeiten, welche sie zuläßt. Kommt der Weltkörper auf uns zu, haben wir vor dem also eine vorläufiglich dünne Dampfschicht, so kann das kontinuierliche Spektrum und einzelne hellere Linien vollkommen dominieren, die Linienverdoppelung ist nur angedeutet. Bewegt er sich von uns weg, so sehen wir ihn durch immer dicker werdende Dampfschichten hindurch, so daß die Linienverdoppelung sehr bis zu unzusammenordentlichen Beträgen steigern kann. Es kann dann ein sehr plötzlicher Wechsel eintreten, indem sich Dampfzonen herauslösen und zerbrechen, je es kann zu periodischen Aufhellungen kommen, wie wir dies auch bei den Meteorerscheinungen in unserer Atmosphäre beobachten, mit diesen Aufhellungen können entsprechende periodische Änderungen im Spektrum parallel gehen.

Aber auch durch die verschiedenen Dichten der kosmischen Staubwolken und Dichteschwankungen innerhalb derselben Wolke langs der Bahn, in der sie der Körper passiert, und daraus resultier Geschwindigkeit und neue Möglichkeiten der Emissionsemissionen gegeben. Die Seiten relativer Maximaldichte einer solchen Wolke werden sich im allgemeinen auf einer Oberfläche doppelter Krümmung befinden, so daß der Körper mehrere Gebiete erhöhter Dichtewerte nacheinander durchstellen kann. Für uns liegen sich dann mehrere der geschobenen Spektralschwankungen übereinander. Dadurch erklären sich sehr leicht die sekundären Intensitätsmaxima und -minima, welche sich dem schwächeren hellen und dunklen Linien in den Spektr der neuen Sterne gelegentlich superponieren.

Hat der Weltkörper die Staubwolke verlassen, so kann seine Helligkeit vorläufigend sehr nach wieder sinken, wenn er, wie hier angenommen, schließlich nur aus oberflächlichem Schichten waren, die bei der Kollision mit dem

Saunderlichen erklärt wurden, eine Erklärung, die ebenfalls für die neuen Sterne sehr charakteristisch ist.

Auf eine soll noch hingewiesen werden, was die hier entwickelte Ansicht von einer ganz anderen Seite her stützt: die enge Beziehung der neuen Sterne zu Nebelgebilden, wie sie namentlich bei der Nova Persei aufgegriffen ist und die entsprechende große Verwandtschaft der Spektrien der neuen Sterne mit denen verschöner Nebel.

Auch auf eine Reihe von veränderlichen Sternen von kurzer Periode, in deren Spektrien periodische Linienverschiebungen vorkommen, kann die hier skizzierte Darstellung Anwendung finden. Ist der Lichtstrome eines Weltkörpers an verschiedenen Punkten einer Quantität wesentlich verschieden, so ist er von einer dichten Dampfschicht umhüllt, so muß er bei seiner Rotation einem fernem Beobachter in seiner Ausdehnung wechselnden

Phänomenen von der Art des geschilderten mit seinen Linienverschiebungen und Doppelkuppungen überstehen; die Periode desselben wird dann diejenige seiner Achsendrehung sein. Wie begreifen also in diesem Falle nicht unbedingt die Aussehen zweier Weltkörper, von denen sich der eine auf uns zu, der andere von uns weg bewegt.

Es soll indessen durchaus nicht geleugnet werden, daß in allen den genannten Fällen ebenfalls auch Linienverschiebungen eine Rolle spielen, welche sich aus Bewegungen im Weltraum nach dem Dopplerschen Prinzip, teils aus Druckaberrationen aufolge der darüber bekannten Laboratoriumsbeobachtungen resultieren. Durch das vorstehende sollte hauptsächlich gezeigt werden, daß selbst Bewegung und Druck auch die normalen Beobachtungen bei der Deutung der Spektralanomalien entscheidender Objekte mit in Betracht zu ziehen sind.

## Vermischte Nachrichten.

**Photographische Wiedergabe des Sonnenspektrums.** Im Bulletin de la Société fotografica italiana (1903, 343) befindet sich eine photographische Wiedergabe des Sonnenspektrums in Tiefdruckdruck. Zur Herstellung wurde ein großer Steinheilcher Spektrograph benutzt. Die Platten wurden mit Cyanin und Erythrin sensibilisiert. Die Filter waren aus Quarz, Coralin und Ammoniumsulfat hergestellt. Der Versuch ist sehr interessant, wenn auch die Farben noch zu wünschen übrig lassen.

**Die Rotation der Planeten Saturn.** Wie bereits an diesem Orte wiederholt erwähnt, ist während des Jahres 1900 auf der nördlichen Hemisphäre des Saturn eine Anzahl heller Flecke sichtbar gewesen, deren Beobachtung wesentliche Beiträge zur Bestimmung der

Rotationsdauer dieses Planeten geliefert hat. Die hellen Flecke wurden zuerst von Prof. E. E. Barnard am 10. März der Verles-Sternwarte gesehen und es scheint, daß wenigstens einer davon während der ersten 2 oder 3 Wochen außerordentlich hell gewesen ist. Derselbe wurde höchstens am 15. Juni gesehen, aber erst am 23. konnte er wieder beobachtet werden und eine zweite genauere Beobachtung geschah in der darauf folgenden Nacht. Unabhängig hiervon entdeckte E. W. Denning in der Nacht des 1. Juli einen anderen hellen Fleck, dem eine dunkle Masse folgte, und in der nächsten Nacht sah dessen hellen Fleck auch J. Coombs, Sohn zu Barnard. Die folgenden Beobachtungen lieferten, daß nördlich eines Anzahl heller Flecke nahe in der gleichen nördlichen Breite (34°) auf dem Saturn

sichtbar war, von denen der zuerst  
gefundene der bei weitem hellste war.  
Die beiden ersten Beobachtungen des-  
selben Überzeugten Prof. Harvard davon,  
daß die Rotationsdauer tatsächlich  
längere als  $10^h 34^m$  sein müsse,<sup>1)</sup> welche  
Zunahme die Beobachtungen des Fleckes  
von 1876 ergaben hatte. Unablässig  
hiervon hatte Dr. R. Urfelt in Hamburg  
bereits die Dauer der Rotation aus den  
Beobachtungen Juni 23, 26. und Juli 4.  
zu  $10^h 39.61^m$  bestimmt.<sup>2)</sup> Dieses an-  
erkannte Resultat wurde von Cœsus  
Sole und Denning bestätigt, und eine  
genauere Untersuchung aller Beobach-  
tungen des hellen Fleckes bis Ende  
August durch Dr. H. C. Wägen<sup>3)</sup> diente  
als definierendes Wort der Rotationsdauer  
 $10^h 34^m 4.3^s$  ergibt. Prof. G. W.  
Hough fand dagegen als Rotationsdauer  
 $10^h 38^m 18^s + n \cdot 5^s 18.554$ , wo  $n$   
die Zahl der Rotationen seit Juni 27.<sup>4)</sup>  
Dieses letztere Ergebnis wurde von  
Denning bestritten<sup>5)</sup> und auf unrichtige  
Identifizierung der kleinen hellen Flecke  
zurückgeführt. In der Tat interessanter-  
weise ist die Flecken bei ihrem Wiedererschei-  
nen auf der der Erde zugewendeten Seite  
der Saturnsfarbe genau wieder zu er-  
kennen. Im März aus den Beobach-  
tungen von 15 hellen und dunklen  
Flecken während der Monate Juni bis  
Dezember ergibt sich die Rotations-  
dauer von  $60^h 37^m 56^s$ . Es kann  
jedoch kein Zweifel daran sein, daß  
der zuerst von Harvard entdeckte helle  
Fleck zu einer vollen Rotation äußers.  
 $18^h 38^m$  bedurfte, erheblich mehr als  
die früher bestimmte Rotationsdauer.  
Von den älteren Beobachtungen und  
nur die zum hellen Flecke auf der  
nördlichen Hemisphäre des Saturns in  
 $48^h$  oder  $52^h$  süd Br. durch Dänen  
bekannt<sup>6)</sup> aus denen eine Rotation von  
etwas  $10^h 34^m$  folgt. Sonach ergibt

sich, daß auf dem Saturn gleich wie  
auf dem Jupiter eine große äquatoriale  
Erweiterung von beträchtlicher Geschwin-  
digkeit vorhanden ist und zwar in der  
Richtung der Umdrehung des Planeten.  
Dieselbe beträgt auf dem Saturn etwa  
1300 bis 1400 km pro Stunde, auf dem  
Jupiter 480 km, ein merkwürdiges und  
überwältigendes Resultat. Denn wenn  
auch die oberflächlichen Teile des Saturn  
wahrscheinlich in einem flüssigen  
(weniger dichten) Zustande sein sollten  
als die auf dem Jupiter, so ist doch eine  
solche Bewegung derselben (in der  
größten Entfernung der Sonne) a priori  
nicht sehr wahrscheinlich.

**Spektroskopische Beobach-**  
**tungen der Saturnsatelliten zu Poltava**  
und in den Jahren 1902 und 1903 von  
A. Okolopshy mit einem neuen, nach  
dem Muster des Potsdamer angeordneten  
Spektroskop ausgeführt worden.<sup>7)</sup>  
Als Vergleichspektrum zur Bestimmung  
der Linsenverzeichnungen diente meist  
das Disperspektrum. Die Messungen auf  
den Planeten wurde mit aller möglichen  
Sorgfalt ausgeführt und bei der Berech-  
nung der Verschiebungen die kos-  
mischen Wellenlängen zum Grunde  
gelegt. Um sich von der Linsenver-  
fälschung des neuen Spektroskops zu  
überzeugen, hat Prof. Okolopshy das  
Spektrum des Götischen und westlichen  
Randes der Sonne im Äquator, aufge-  
nommen und findet auf einer Platte aus  
den Messungen der Verschiebungen von  
31 Linien für die Geschwindigkeit der  
Sonnensrotation im Äquator 1.84 km  
mit einer Unsicherheit von  $\pm 1.09$  km,  
was einer zweiten Platte des nördlichen  
Mittelwert mit einer Unsicherheit von  
0.86 km. Beim Planeten Mars ergab  
eine Aufnahme 1903 Mars 29 als Rotati-  
geschwindigkeit — 2.96 km pro Sekunde,  
während die Berechnung auf Grund der  
Ephemeriden dafür — 1.81 km ergibt.  
Andere Aufnahmen ergaben noch bessere  
Übereinstimmung und bei Jupiter war der

<sup>1)</sup> Astron. Journal No. 567.

<sup>2)</sup> Astron. Nachr. No. 2615.

<sup>3)</sup> Pop. Astronomy 1881, p. 445.

<sup>4)</sup> Monthly Not. LXXV, p. 129.

<sup>5)</sup> A. u. O. 23.

<sup>6)</sup> Monthly Not. XVIII, p. 72.

<sup>7)</sup> Astrophys. Journal XIX, No. 2 p. 45.

Unterschied zwischen Beobachtung und Rechnung im Mittel nur — 0.06 Am Secunde kann man als erwiesen betrachten, daß die Messungen der Linsenverschiebungen diesen Spektralanomalien entsprechenden Werte der Größe der Eigenbewegung in der Richtung der Gesichtslinie zwischen Stern und Beobachter liefern. Es wurden folgende Werte für die beobachteten Normalsterne erhalten, wobei — Annäherung, + Entfernung des Sterns von der Sonne bedeutet. Die Geschwindigkeiten sind ausgedrückt in Kilometern pro Sekunde, ± bezeichnen den wahrscheinlichen Fehler des angegebenen Mittelwertes,

α Perseus . . . . .	— 3.89 ± 0.4
α Bootis . . . . .	— 5.81 ± 0.4
γ Pegasi . . . . .	+ 5.86 ± 0.2
γ Comae . . . . .	+ 3.37 ± 0.5
γ Aquilae . . . . .	— 9.96 ± 0.4
γ Capellae . . . . .	— 39.94 ± 0.6

Das starke radiale Eigenbewegung des Sterns γ Capellae war schon 1897 durch die Aufnahme des Spektrums in Pulaski erkannt worden.

**Definitive Bahn des spektroskopischen Doppelsterns γ Pegasi.<sup>1)</sup>** Die Tatsache, daß γ Pegasi ein spektroskopischer Doppelstern ist, wurde von Campbell entdeckt und im Mai 1899 veröffentlicht. Jetzt hat man Huber E. Curtis von der Lick-Sternwarte eine genauere Bahnberechnung dieses Sternsystems angeschlossen und zwar gestützt auf die Messungen der Linsenverschiebungen auf 43 photographischen Platten, die zwischen 1897 Okt. 7 und 1903 Decbr. 1 auf der Lick-Sternwarte erhalten wurden. Diese Messungen liefern für die Geschwindigkeiten des sichtbaren Hauptsterns in der Gesichtslinie größtentheils sehr genaue Werte und infolgedessen konnte die Bahn dieses Doppelsterns mit einem hohen Grade von Zuverlässigkeit abgeleitet werden. Nach-

stehend sind die nöthigsten Werte für die einzelnen Bahnelemente, zu denen der Berechner gelangte, angegeben.

Dauer des Umlaufs um den gemeinsamen Schwerpunkt . . . . .	$P = 10.21323 \text{ Tage} + 0.0006$
Geschwindigkeit des Massenschwerpunktes des Systems . . . . .	$V = -4.92 \text{ km} + 0.01$
Zeit des Periastrons . . . . .	$T = 1099.62616466 + 0.002 \text{ Tage}$
Excentricität der Bahn . . . . .	$e = 0.0065 \pm 0.0046$
Periastronsweite des Periastrons . . . . .	$a = 25.688'' \pm 1.375''$
Mittlere große Achse der Bahn . . . . .	$a \sin i = 6.790000 \text{ km}$

Die Geschwindigkeit von γ Pegasi in der Gesichtslinie variiert zwischen + 43.7 und — 32.1 km in der Sekunde. Die gemessenen Umlenkwinkel des Sterns um 34-stündigen Refraktor haben keine Spur des Signatures oder einer Verlangsamung der radialen Schärfe des Sterns erkennen lassen.

**Der Komet 1904a.** Dieser Komet ist wahrscheinlich wegen seiner großen Lichtschwäche im vergangene Woche, soweit es scheint, auffallend wenig beobachtet worden. Auch scheitern, wie Dr. E. Strömgren nachgewiesen hat, die beiden ersten Beobachtungen auf der Harvard Sternwarte auch nicht auf dem Kometen, sondern sind nicht auf schwarze Nebelflecke zu beziehen. Die bis jetzt vorliegenden Bahnberechnungen des Kometen sind unter diesen Umständen noch wenig genau. Es scheint jedoch, daß der Komet Ende Februar vom Sonnenscheide umschleift und er in diesem Punkte noch jenseits der Marsbahn liegt. Die Helligkeit des Kometen, die er uns für sich sehr gering war, nimmt rasig noch weiter ab. Nach dem Bahnelementen von Dr. Strömgren gilt folgende Ephemeride den Ort des Kometen am

<sup>1)</sup> Astrophys. Journal 1904 XIX No. 3, p. 302.

Finanz (für 12<sup>te</sup> M. Z. Betrag für die nächsten beiden Wochen an:

Juni	5	13 <sup>1</sup>	30 <sup>1</sup>	32 <sup>1</sup>	+ 57 <sup>1</sup>	76
-	7		32	15		32
-	9		26	8		7
-	11		33	1	- 59	48
-	13		14	37		77
-	15		9	27		18
-	17		4	31		58
-	19	13	9	10	+ 54	29

**Sonnenflecke im Monat April.** Während dieses Monats erschienen drei bemerkenswerte Gruppen von Flecken auf der Sonnenscheibe, die sämtlich ausdehnt genug waren um unser gütiges Auge umständlich selbst mit bloßen Auge wahrzunehmen zu werden. Die erste Gruppe erschien am 6. April am östlichen Sonnenrande und verschwand am 20. April am westlichen. Die beiden anderen Fleckengruppen traten am 21. April auf, die eine nämlich, die andere südlich vom Sonnenäquator, aber beide nahezu unter dem klassischen Meridian.

**Optisches Glas in Amerika.** Eine amerikanische Fachzeitschrift macht folgende Angaben über die Fabrikation von Glas für optische Zwecke. Es muß als eine bemerkenswerte Erscheinung betrachtet werden, daß die Vereinigten Staaten, trotz des hohen Entwicklungsgrades, den sie in der Herstellung von Linsen und optischen Instrumenten erreicht haben, in Bezug auf optische Gläser vollständig auf die alte Welt angewiesen sind. Mit Ausnahme einiger zufälliger Versuche, die gelegentlich unter der Leitung eines sogenannten Abkömmlings eines französischen Fabrikanten gemacht wurden, hat die amerikanische Glasindustrie dieses Fabrikationszweig vollständig gescheitert, obgleich derselbe ausnehmend gewinnbringend ist und keinen größeren Betriebskapital bedarf. Wir scheiden die erfolgreiche Einführung optischen Glases bekanntlich einem Schweden, Pierre Louis Guinand, nach dessen Tode sein zweiter Sohn in Gemeinschaft mit

G. Bertholts, dem berühmten französischen Glasfabrikant, eine Firma gründete, die sich mit der Herstellung optischen Glases nach dem Guinand-Verfahren beschäftigte. Im Jahre 1848 gingen sie dazu zu Fußberechnung mit dem englischen Fabrikanten Chance Brothers ein, die indes nicht lange währte. Als sich späterhin Henry Guinand von Bertholts trennte, begründete er eine kleine Fabrik in Paris, wo er vorzügliches Glas herstellte. Sein Enkel Paul folgte ihm 1848 im Geschäft, das inzwischen einen Weltlauf erlangt hatte. Das große 20-ständige Teleskop auf dem Pariser Observatorium und viele andere berühmte optische Kunstwerke entstanden jener Fabrik. Frankreich besitzt bis zum heutigen Tage ein Monopol in der Herstellung großer Glasplatten und Scheiben für astronomische und astrophotographische Zwecke. Die größte Firma Paul & Nachfolger liefert die Mehrzahl der großen Observationslinsen in der ganzen Welt. Während zu Anfang dieser Erinnerung gesagt wurde, daß die Anlage von Werken zur Herstellung optischen Glases kein großes Betriebskapital bedingt, darf doch nicht vergessen werden, daß die erforderliche Kunstfertigkeit für die Fabrikation nicht leicht erhältlich ist. Einen Beweis, wie sorgfältig bei der Anfertigung optischen Glases vorgegangen werden muß, bildet der Umstand, daß die für das Verkeim Observatorium in Chicago hergestellten Linsen von 1,85 m Durchmesser sieben Monate zu ihrer Vollendung in Anspruch nahen.

Obgleich Frankreich einen so hohen Ruf auf diesem Gebiete genießt, darf nicht übersehen werden, daß auch Deutschland in dem letzten Jahre einen bemerkenswerten Grad der Leistungsfähigkeit erlangt hat. Es sei nur auf die beiden Werke in Jena hingewiesen, in denen die Herstellung optischen Glases zur Spezialität gemacht wird<sup>1)</sup>.

<sup>1)</sup> Zeitschrift für Optik 1903, S. 92.

# Astronomischer Kalender für den Monat August 1904.

		Sonnen			Mond		
		Mittag			Mittag		
Tag	Monat	Zeitgl. M. Z. — W. Z.	Rektension	Declination	Rektension	Declination	Stand im Mondtage
		h m s	° ' "	° ' "	h m s	° ' "	h m
1	+	0 1 30	8 44 54.53	+16 8 21.1	8 18 42.04	+0 26 18.0	08 8 0
2		0 4 59	8 45 58.04	17 49 54.1	7 4 8.07	4 4 58.0	09 40 0
3		0 57 58	8 51 25.97	27 54 38.3	5 47 58.12	7 49 48.1	17 24 0
4		0 64 56	8 56 55.52	37 58 40.9	5 54 18.68	18 0 53.7	25 50 0
5		0 67 54	9 0 0 27	47 0 21.5	6 58 57.91	28 57 58.5	33 12 0
6		0 43 47	9 3 48.98	56 49 58.7	4 19 57.31	38 57 18.7	00 40 0
7		0 59 40	9 7 48.75	10 55 48.1	4 54 57.45	27 49 17.9	11 0 0
8		0 59 58	9 21 58.95	18 17 13.8	4 15 58.95	39 33 48.0	18 40 0
9		0 51 79	9 35 58.94	15 55 44.0	7 12 58.34	37 55 48.9	02 40 0
10		0 13 63	9 50 12.92	10 48 58.7	9 14 58.05	36 55 52.5	05 17 0
11		0 47 57	9 55 8.98	15 29 44.9	9 58 58.06	19 4 57.9	— —
12		4 48 53	0 29 47.75	18 0 58.9	10 15 0.00	7 54 58.4	0 15 0
13		4 48 58	0 35 58.33	18 48 48.9	11 12 34.08	8 52 58.4	1 57 0
14		4 58 54	0 36 58.08	18 58 58.7	10 58 17.82	+0 13 48.0	3 48 0
15		4 57 58	0 38 0 53	14 7 48.9	10 8 0 42	— 4 59 48.1	5 48 0
16		4 55 44	0 41 57.95	00 48 0 0	14 0 54.55	9 58 57.9	8 47 0
17		5 17 59	0 48 54.81	00 38 57.5	14 58 58.94	12 0 53.0	9 38 0
18		5 48 58	0 48 58 42	10 18 48.9	14 48 58.77	15 1 7.0	9 37 0
19		5 52 47	0 53 14.05	10 15 18.4	14 42 58.28	17 1 17.4	9 30 0
20		5 58 54	0 47 44.84	05 58 48.3	17 36 48.07	18 0 47.9	7 47 0
21		0 47 58	10 0 58 51	22 53 48.5	19 29 58.47	19 19 48.7	5 48 0
22		0 18 13	10 6 0 27	22 53 47.1	19 31 18.95	19 54 58.9	5 58 0
23		0 54 57	10 7 48 48	21 51 26.0	20 31 38.94	19 3 51.0	10 20 0
24		0 58 17	10 10 30 44	21 51 18.0	20 0 54 58	19 54 48.0	12 11 0
25		0 3 46	10 18 37 10	20 49 58.1	20 49 0 48	19 4 51.0	15 04 0
26		0 48 40	10 18 58 10	20 20 42.1	22 54 58.21	7 51 48.0	18 59 0
27		0 20 54	10 23 30 54	19 0 58 7	23 20 7.87	4 52 58.0	23 11 0
28		0 52 58	10 39 0 79	0 47 48.7	0 4 0 48	— 0 41 58.0	14 4 0
29		0 43 44	10 59 48 10	0 54 58 4	0 49 18 48	+0 5 18.0	14 47 0
30		0 59 54	10 59 37 18	7 0 13.0	1 50 1 33	0 59 48 0	16 50 0
31	+	0 37 58	10 57 0 44	+7 48 20.1	0 52 17.81	+10 0 23 4	20 31 0

## Planetenbeobachtungen 1904.

August	8	16	Jupiter in Konjunktion in Krebskreuz mit dem Monde.
"	8	8	" Venus in Bock in Krebskreuz mit dem Monde. Bedeckung.
"	7	8	Merkur im unteren Standpunkt in Krebskreuz.
"	8	17	Mars in Konjunktion in Schützenkreuz mit dem Monde.
"	10	7	Jupiter in Opposition mit der Sonne.
"	10	4	Venus in Konjunktion in Krebskreuz mit der Sonne.
"	10	10	Venus in Konjunktion in Krebskreuz mit dem Monde.
"	12	10	Merkur in Konjunktion in Schützenkreuz mit dem Monde.
"	14	16	Venus in großer scheinbarer heliocentrischer Distanz.
"	17	11	Merkur im Äquator.
"	18	17	Merkur in großer helioz. Distanz 11° 54'.
"	24	7	Merkur in Konjunktion in Krebskreuz mit dem Monde.
"	30	8	Jupiter in Konjunktion in Schützenkreuz mit dem Monde.

Planeten: Ephemeriden.

Mittlere Berliner Mittag.							Mittlere Berliner Mittag.							
Monat Jahr	Rektascension			Declination			Jahr	Monat	Rektascension			Declination		
	h.	m.	s.	°	'	"			h.	m.	s.	°	'	"
<b>Mars.</b>							<b>Saturn.</b>							
Aug. 1	10	36	54.98	+	0	27.4473	1	27	10	33	30.10	—	23	37.1000
10	10	36	56.00	+	0	28.0700	1	27	10	33	30.07	—	23	37.1000
20	10	37	58.00	+	0	28.3100	1	27	10	33	30.07	—	23	37.1000
30	10	38	40.00	+	0	28.50.00	1	27	10	33	30.07	—	23	37.1000
10	10	38	30.00	+	0	28.50.00	1	27	10	33	30.07	—	23	37.1000
20	10	38	31.70	+	0	28.50.00	1	27	10	33	30.07	—	23	37.1000
<b>Venus.</b>							<b>Uranus.</b>							
Aug. 1	8	38	58.90	—	4	38 1.00	Aug. 1	17	45	52.75	—	52	38 0.00	
10	8	38	1.70	—	38 1.00	0.00	10	17	45	52.75	—	52	38 0.00	
20	8	38	43.00	—	38 38.00	0.00	20	17	45	52.75	—	52	38 0.00	
30	8	38	44.10	—	38 38.00	0.00	30	17	45	52.75	—	52	38 0.00	
10	8	38	44.10	—	38 38.00	0.00	10	8	38	58.90	—	43	38 0.00	
20	8	38	44.10	—	38 38.00	0.00	20	8	38	58.90	—	43	38 0.00	
30	8	38	44.10	—	38 38.00	0.00	30	8	38	58.90	—	43	38 0.00	
<b>Merk.</b>							<b>Neptun.</b>							
Aug. 1	7	48	1.00	+	23	21.120	Aug. 1	8	38	58.90	—	43	38 0.00	
10	7	48	58.00	+	23	21.120	10	8	38	58.90	—	43	38 0.00	
20	7	48	58.00	+	23	21.120	20	8	38	58.90	—	43	38 0.00	
30	7	48	58.00	+	23	21.120	30	8	38	58.90	—	43	38 0.00	
10	7	48	58.00	+	23	21.120	10	8	38	58.90	—	43	38 0.00	
20	7	48	58.00	+	23	21.120	20	8	38	58.90	—	43	38 0.00	
30	7	48	58.00	+	23	21.120	30	8	38	58.90	—	43	38 0.00	
<b>Jupiter.</b>							<b>Mondphasen.</b>							
Aug. 1	1	33	45.10	—	23	30.00	Aug. 1	0	00	0.00	—	0	00	
10	1	33	45.10	—	23	30.00	10	0	00	0.00	—	0	00	
20	1	33	45.10	—	23	30.00	20	0	00	0.00	—	0	00	
30	1	33	45.10	—	23	30.00	30	0	00	0.00	—	0	00	

Sternbedeckungen durch den Mond für Berlin 1904.

Mondtag	Stern	Größe	Beginn mittlere Zeit		Anfang mittlere Zeit	
			h.	m.	h.	m.
August 14	1. Ceb.	1.0	18	10	18	38.4

Lage und Größe des Saturnrings (nach Dawol).

August 1.	Größe Aches der Ringlinie	4731"	Größe Aches	3417"
	Erleuchtungsgrad der Erde über der Ringebene	14° 48'	Winkel	14° 48'
August 1.	Mittlere Scheibe der Ringe	27° 17'	Größe	27° 17'
	Scheibe	27° 17'	Größe	27° 17'
	Hallenscheibe der Ringe	17° 48'	Größe	17° 48'
	Fläche	17° 48'	Größe	17° 48'

# Stellungen der Jupitermonde im August 1934.



Stellungen um 12<sup>h</sup> für den Aethiops im astronomischen Parallels.

Tag	West	Ost
1	1 2 3 4	1 2 3 4
2	1 2 3 4	1 2 3 4
3	1 2 3 4	1 2 3 4
4	1 2 3 4	1 2 3 4
5	1 2 3 4	1 2 3 4
6	1 2 3 4	1 2 3 4
7	1 2 3 4	1 2 3 4
8	1 2 3 4	1 2 3 4
9	1 2 3 4	1 2 3 4
10	1 2 3 4	1 2 3 4
11	1 2 3 4	1 2 3 4
12	1 2 3 4	1 2 3 4
13	1 2 3 4	1 2 3 4
14	1 2 3 4	1 2 3 4
15	1 2 3 4	1 2 3 4
16	1 2 3 4	1 2 3 4
17	1 2 3 4	1 2 3 4
18	1 2 3 4	1 2 3 4
19	1 2 3 4	1 2 3 4
20	1 2 3 4	1 2 3 4
21	1 2 3 4	1 2 3 4
22	1 2 3 4	1 2 3 4
23	1 2 3 4	1 2 3 4
24	1 2 3 4	1 2 3 4
25	1 2 3 4	1 2 3 4
26	1 2 3 4	1 2 3 4
27	1 2 3 4	1 2 3 4
28	1 2 3 4	1 2 3 4
29	1 2 3 4	1 2 3 4
30	1 2 3 4	1 2 3 4
31	1 2 3 4	1 2 3 4



**Ercheinungen der Jupitermonde.** Die stündlichen Angaben über die Erscheinungen der Jupitermonde beziehen sich auf mittlere Zeit vom Greenwich. Die Trabant<sup>n</sup> sind der Reihenfolge ihrer Abstände vom Jupiter nach mit I bis IV bezeichnet. Die vier gezeichneten Figuren zeigen die Stellung jedes Mondes mit Bezug auf den Jupiter für den Ausbruch der Verfinsternung (I) oder des Wiederaufstehens (II, III u. IV) angegeben, so kann der Ansichts von dem Scheitern nicht beobachtet werden. Ferner befindet bei den nachfolgenden Zeitangaben:

- Es I das Verschwinden des Trabanten im Schatten des Jupiter.  
Es II den Ansichts des Trabanten aus dem Schatten des Jupiter.  
Oc I das Verschwinden des Trabanten hinter der Jupiterschibe.  
Oc II das Wiederaufstehen des Trabanten aus der Jupiterschibe.  
Tr I den Eintritt des Trabanten vor die Jupiterschibe.  
Tr II den Ansichts des Trabanten aus der Jupiterschibe.  
Sa I den Eintritt des Trabantenschattens auf die Jupiterschibe.  
Sa II den Ansichts des Trabantenschattens aus der Jupiterschibe.

Es sind nur diejenigen Erscheinungen der Jupitermonde aufgeführt, welche sich ereignen, wenn Jupiter im Greenwich über und der Sonne unter dem Horizont steht. Um die Momente dieser Erscheinungen nach mitteleuropäischer Zeit zu finden, hat man nur nötig,  $t^h$  zu den angegebenen Zeitpunkten zu addieren.

August 1. II. Es. II. 10<sup>h</sup> 11<sup>m</sup> 11<sup>s</sup>. II Oc. II. 10<sup>h</sup> 10<sup>m</sup>. I Tr. I. 10<sup>h</sup> 10<sup>m</sup>. August 1. I. Oc. II. 10<sup>h</sup> 00<sup>m</sup>. August 4. I Tr. I. 10<sup>h</sup> 00<sup>m</sup>. August 5. I. Oc. II. 10<sup>h</sup> 10<sup>m</sup>. August 6. II. Es. II. 10<sup>h</sup> 40<sup>m</sup> 20<sup>s</sup>. II Oc. II. 10<sup>h</sup> 40<sup>m</sup>. August 10. II Tr. I. 10<sup>h</sup> 10<sup>m</sup>. August 11. I. Es. II. 10<sup>h</sup> 10<sup>m</sup> 40<sup>s</sup>. August 12. II Sa. E. 10<sup>h</sup> 10<sup>m</sup>. II Tr. I. 10<sup>h</sup> 40<sup>m</sup>. I Tr. E. 10<sup>h</sup> 10<sup>m</sup>. August 13. I Tr. I. 10<sup>h</sup> 40<sup>m</sup>. August 14. I Tr. I. 10<sup>h</sup> 10<sup>m</sup>.

## Stellungen der Saturnmonde. (Erklärung S. 14.)

Zeiten der mittleren Opposition im Jahr 1901.

**Helios.** August 1. 10<sup>h</sup> 10<sup>m</sup>. August 2. 10<sup>h</sup> 10<sup>m</sup>. August 3. 10<sup>h</sup> 10<sup>m</sup>. August 4. 10<sup>h</sup> 10<sup>m</sup>. August 11. 10<sup>h</sup> 10<sup>m</sup>. August 12. 10<sup>h</sup> 10<sup>m</sup>. August 13. 10<sup>h</sup> 10<sup>m</sup>. August 14. 10<sup>h</sup> 10<sup>m</sup>. August 15. 10<sup>h</sup> 10<sup>m</sup>. August 16. 10<sup>h</sup> 10<sup>m</sup>. August 17. 10<sup>h</sup> 10<sup>m</sup>. August 18. 10<sup>h</sup> 10<sup>m</sup>. August 19. 10<sup>h</sup> 10<sup>m</sup>. August 20. 10<sup>h</sup> 10<sup>m</sup>. August 21. 10<sup>h</sup> 10<sup>m</sup>. August 22. 10<sup>h</sup> 10<sup>m</sup>.

**Phos.** August 1. 10<sup>h</sup> 10<sup>m</sup>. August 2. 10<sup>h</sup> 10<sup>m</sup>. August 3. 10<sup>h</sup> 10<sup>m</sup>. August 4. 10<sup>h</sup> 10<sup>m</sup>. August 11. 10<sup>h</sup> 10<sup>m</sup>. August 12. 10<sup>h</sup> 10<sup>m</sup>. August 13. 10<sup>h</sup> 10<sup>m</sup>. August 14. 10<sup>h</sup> 10<sup>m</sup>. August 15. 10<sup>h</sup> 10<sup>m</sup>. August 16. 10<sup>h</sup> 10<sup>m</sup>. August 17. 10<sup>h</sup> 10<sup>m</sup>. August 18. 10<sup>h</sup> 10<sup>m</sup>. August 19. 10<sup>h</sup> 10<sup>m</sup>. August 20. 10<sup>h</sup> 10<sup>m</sup>. August 21. 10<sup>h</sup> 10<sup>m</sup>. August 22. 10<sup>h</sup> 10<sup>m</sup>.

**Thos.** August 1. 10<sup>h</sup> 10<sup>m</sup>. August 2. 10<sup>h</sup> 10<sup>m</sup>. August 3. 10<sup>h</sup> 10<sup>m</sup>. August 4. 10<sup>h</sup> 10<sup>m</sup>. August 11. 10<sup>h</sup> 10<sup>m</sup>. August 12. 10<sup>h</sup> 10<sup>m</sup>. August 13. 10<sup>h</sup> 10<sup>m</sup>. August 14. 10<sup>h</sup> 10<sup>m</sup>. August 15. 10<sup>h</sup> 10<sup>m</sup>. August 16. 10<sup>h</sup> 10<sup>m</sup>. August 17. 10<sup>h</sup> 10<sup>m</sup>. August 18. 10<sup>h</sup> 10<sup>m</sup>. August 19. 10<sup>h</sup> 10<sup>m</sup>. August 20. 10<sup>h</sup> 10<sup>m</sup>. August 21. 10<sup>h</sup> 10<sup>m</sup>. August 22. 10<sup>h</sup> 10<sup>m</sup>.

**Thos.** August 1. 10<sup>h</sup> 10<sup>m</sup>. August 2. 10<sup>h</sup> 10<sup>m</sup>. August 3. 10<sup>h</sup> 10<sup>m</sup>. August 4. 10<sup>h</sup> 10<sup>m</sup>. August 11. 10<sup>h</sup> 10<sup>m</sup>. August 12. 10<sup>h</sup> 10<sup>m</sup>. August 13. 10<sup>h</sup> 10<sup>m</sup>. August 14. 10<sup>h</sup> 10<sup>m</sup>. August 15. 10<sup>h</sup> 10<sup>m</sup>. August 16. 10<sup>h</sup> 10<sup>m</sup>. August 17. 10<sup>h</sup> 10<sup>m</sup>. August 18. 10<sup>h</sup> 10<sup>m</sup>. August 19. 10<sup>h</sup> 10<sup>m</sup>. August 20. 10<sup>h</sup> 10<sup>m</sup>. August 21. 10<sup>h</sup> 10<sup>m</sup>. August 22. 10<sup>h</sup> 10<sup>m</sup>.

**Agastos.** August 1. 10<sup>h</sup> 10<sup>m</sup>. August 2. 10<sup>h</sup> 10<sup>m</sup>.

Mehrere grössere und kleinere

## *astronomische Fernrohre*

sind sehr preiswürdig zu verkaufen. Erfahrene wollen sich wegen näherer Mittheilungen an mich wenden.

**Prof. Dr. Hermann J. Klein in Köln-Lindenthal.**



Fig. 1  
März 25, 17<sup>h</sup> 30<sup>m</sup>, G. M. 26.



Fig. 2  
April 14, 17<sup>h</sup> 0<sup>m</sup>, G. M. 26.



Fig. 3  
April 14, 17<sup>h</sup> 30<sup>m</sup>, G. M. 26.



Fig. 4  
Juni 25, 17<sup>h</sup> 0<sup>m</sup>, G. M. 26.

# Carl Zeiss

Optische Werkstätte

## Jena.



Refraktoren  
für astronomische  
Observation.

Komplett  
montierte  
Fernrohre  
für Reisen.

Spezialrefraktoren  
für astrophotographische  
Zwecke.

Spiegelsysteme  
mit grossen Öffnungs-  
verhältnissen für Himmels-  
photographie.

Sternenvervielfacher.  
Kometen.

weite und weitläufige apochromatische Fernrohrsichtfelder  
ohne sekundäres Spektrum.

Minutenmessende Lichtstärke Objektive  
mit grossen Öffnungsverhältnissen und  
Objektive aus ultraviolettdurchlässigen Gläsern  
zur Himmelsphotographie.

Grossen-  
Objektivsysteme aus geschulden und ultraviolettdurch-  
lässigen Gläsern.

Spektralanalysatoren und Spektrographen  
Polarisationsaufsichtsfelder  
ausser Refraktoren.

Aufbaumaterialien zur Beobachtung mit Photographie  
für Sonne und für Planeten.

Man verlange Katalog No. 122.

# Carl Zeiss

Optisch Mechanisch

## Jena.



Instrumente vom  
höchsten modernem  
Zustande

Komplet  
montierte

Refractoren  
für alle

Spektroskopien  
für astrophotographische  
Zwecke

Spiegelteleskope  
in großen Leistungen  
bestehend aus Himmels-  
photographen

Refractoren, abgepolte

Refractoren

neue und beste apochromatische Fernsichtsysteme  
ohne sekundäres Spektrum

Minutentheilige Lichtstärke Objektive  
mit Vergrößerungen von 10 bis 1000

Objektive aus ultraviolettundurchlässigen Gläsern  
mit 10 bis 1000maliger Vergrößerung

Z. 1000

Objektivsysteme aus Quarzkrallen und ultraviolettundurchlässigen Gläsern

Astronomische Spiegelteleskope und Spektrophotographen  
Refractoren aus polierten Gläsern

Refractoren, abgepolte

Refractoren aus Quarzkrallen und ultraviolettundurchlässigen Gläsern  
mit 10 bis 1000maliger Vergrößerung

Refractoren, abgepolte





Herausgegeben unter Mitwirkung  
 von  
 Fachlehrern und astronomischen Sachkundigen

von  
**Prof. Dr. Hermann J. Klein in Bonn-Universität,**

— Die Band XXXVII —

**7. Heft.**



Edward Heinrich Mayer  
 Verlagsbuchhandlung  
 LEIPZIG, Beugnitz 11

XXVII. Jahrgang.

1904.

7

Siebentes Heft.

Juli.

7

## Inhalt des siebenten Heftes.

	Seite
Die Sternbilder bei Sommer und Herbst . . . . .	145
W. F. Denning's Beobachtungen des Planeten Mars 1903. Hieron Tafel VIII. . . . .	146
Die Kanäle Thoth und Amenthes auf dem Mars . . . . .	150
Zweites Supplement zum Katalog der Veränderlichen Sterne der Harvard- Flammarie . . . . .	154
Über die Transparenzfähigkeit eines 4 stelligen Refraktors . . . . .	158
Der spektroskopische Doppelstern $\gamma$ Aurigae . . . . .	160
Vermutete Nachbarn . . . . .	162
Eine neue Bestimmung der Richtung der Rotationsachsen des Mars.	
Die totale Sonnenfinsternis 1904 Sept. 8.	
Das Massenverhältnis der Komponenten des Doppelsterns $\gamma$ Cygnus.	
Veränderliche Sterne im großen Quadranten.	
Frühjahrsgal.	
astronomischer Kalender für das Monat September 1904 . . . . .	165
Stellungen der Jupitermonde im September 1904 . . . . .	167
Stellungen der Jupitermonde . . . . .	168
Stellungen der Saturnmonde . . . . .	168

LEIPZIG, Bolyak 16.

Edvard Heinrich Mayer,  
Verlagsbuchhandlung.

## SIRIUS.

Zeitschrift für populäre Astronomie.

Centralorgan für alle Freunde und Förderer der Himmelskunde.

Herausgegeben

unter Mitwirkung hervorragender Fachmänner und zahlreichen Schriftsteller

von Prof. Dr. Hermann J. Klein in Köln

Juli 1904.

„Wissen und Erkennen sind die Freude und die  
Berechtigung der Menschheit.“ — Kant.

Jeden Monat 1 Heft. — Jährlich 12 Mk.

Verlag von EDUARD HEINRICH MAYER in Leipzig.

**INHALT.** Der Sternbilder des Himmels und Mesiod. S. 145. — W. F. Chappells Beobachtungen des Planeten Mars 1903 (Phasen Tafel Nr. 1) S. 146. — Die Kasse Truch und Anzeichen auf dem Mars. S. 154. — Erster Supplement zum Katalog der Veränderlichen Sterne der Harvard-Wachstums. S. 154. — Über die Veränderlichkeit eines hellen Saturns. S. 156. — Der geographische Horizont (J. August) S. 159. — Veränderliche Neutronen. S. 164. — Astronomische Kalender. S. 165. — Stellung der Jovianischen im September 1904. S. 167. — Erscheinungen der Jupitermonde im September 1904. S. 168. — Stellung der Saturnmonde im September 1904. S. 169.

## Die Sternbilder bei Homer und Mesiod.

**E**ben das Ziel und höhere Art und Weise, wie der griechische Himmels Sternbilder dargestellt worden ist, herrscht noch immer großes Dunkel und nur so viel ist sicher, daß diese Sternbilder im klassischen Altertum schon vorhanden waren. Seitens der Wissenschaften, welche die Einführung der Bilder des Tierkreises auf viele Jahrhunderte vor den Beginn der christlichen Ära zurückverlegen wollten, so scheint doch vieles dafür zu sprechen, daß gerade die Zodiakalbänder erst sind und die Ursprung wahrscheinlich in China zu suchen ist. Von besonderem Interesse ist es aber, klar zu legen, wie sich die Griechen zum Ausdruck des Tierkreises gestellt haben, wie wir dazu gekommen sind Sterne zu bestimmen

Bildern zusammenzusetzen und diese zu benennen. Auch hierüber herrscht noch großes Dunkel, aber ein kritisches Studium der auf uns gekommenen Werke des klassischen Altertums soll doch vieles mehr oder weniger deutlich erkennen oder doch andeuten. Vor Kurzem hat Prof. Adolf Baumgarten in einer Vorlesung in der Kaiser-Museum und Antiquarischen Gesellschaft die Ergebnisse seiner Forschungen zur Geschichte und Literatur der Griechischen Sternbilder dargestellt. Er macht dabei die wichtige Bemerkung, daß die Auswahl, Abgrenzung und Benennung der griechischen Sternbilder wissenschaftlich Ergebnis

§ Zur Geschichte und Literatur der Griechischen Sternbilder von A. Baumgarten. Basel 1904. In Kommission bei F. F. Leuckert.





Nicht Berücksichtigung von Odysseus ist auch durch Varro bezeugt, der uns anzeigt, welches, daß das Sternbild als Stern ist bezeichnet wurde, was deutlich als Kompositum ist zwischen der Vorstellung von Wagen und der überleben-Ochsensterngruppe. Die römische Vorstellung von den sieben Sternen als den so vielen Odysseus ist auch irgend einmal abstrichliche Vorstellung gewesen, abgesehen von der als solche nicht dacht, sondern nur in einer übrig gelassenen Wirkung noch nachweisen können. Schon Thiele hat darauf aufmerksam gemacht, daß das Sternbild, das dem großen Bären als Stern der Himmelsbewegung nachfolgt, bei Homer den Namen Bootes führt, der Ochsenstern. In der Gestalt von diesem Stern ist erkennbar gar nichts in einem Odysseus, dagegen kann man leicht in einem kleinen Stern des Eckpunktes eines Rechenkreises sehen: so wird ähnlich gruppiert wie die drei Oden. Eine Rechenkreise war also durch diese Sternanordnung, aber die eines Odysseus ist nicht mehr als jede andere. Für diese Stern als Ochsenstern auf, der hat es getan, weil er das vorstehende Sternbild als die getriebenen Odysseus betrachtete, der Aufhebung des Bären als Ochsenstern ist aber schon in Homer offenbar wieder etwas ganz Verschiedenes und nur der Ochsenstern ist die Überlieferung. Wie dagegen in den sieben Sternen einen Stern sah, für den wurde der Bootes zum Arctophylax, zum Himmelswächter, und für den kleinen Stern in der Figur rechts unten von Bootes aus geschneidet ist was sagt nur der Sternengruppe Arcturus (bedeutet) und kein auf Odysseus bezüglicher dinstehen. Der Name bedeutet den Himmelswächter und kommt schon bei Hesiod für diesen Stern (nicht für das ganze Sternbild) vor.

Der Stern  $\delta$  im großen Bären hat mit arabischem Alphabet einen kleinen Begleiter Alkur oder der Himmelswächter, den eben als mittelstellig scharfes Auge wahrzunehmen vermag. Nachforschungen

dieses Sternchen nach den Alten nicht gelangen und er wurde von den Griechen als Paris bezeichnet. Prof. Baumgartner macht darauf aufmerksam, daß es nach einem anderen, niedlichen Namen befaßt, nämlich Erosylos, welcher in einem Epigramm des Leonidas Scholastikos aus der Zeit des Justinian vorkommt. In der auf ausgenommenen lateinischen Literatur wird das Alkur nicht gebracht, doch wird Prof. Baumgartner darauf hin, daß er in einer Abbildung vorkommt in einem Traktat, des Oegre von Tours (im 8. Jahrhundert) verfaßt hat und der in der Ausgabe der Monumenta Germaniae abgedruckt ist.

Was die Abbildung des Namens Plejaden anbelangt, so hält Baumgartner dafür, daß die Bezeichnung derselben auf die Schriftzeit zurückzuführen sei, weil Griechenland kaum so scharf getrennten Jahreszeitencharakter hat, daß zu Homers Zeiten nur in einer bestimmten Jahreszeit Schifffahrt möglich gewesen. Darüber ist sehr streitig, ob eine Abbildung des Namens von Tauben, Tauben, hat etwas Ähnliches. Einen Flug Tauben konnte jemand, der von bläulichen oder gelblichen Vorstellungen ausging, recht wohl in der Sterngruppe sehen. Ein solcher Flug hat auch keinen eigentlichen Content, und hat eine unvollständige gleichmäßige Verteilung heller Flecke auf einer grauen Fläche, und tatsächlich haben bereits die Dichter Simplicius und Pindar und Aeschylus alle drei den Namen der Plejaden ausdrücklich als „Tauben“ erklärt.

In den Hyaden ein Begleitstern so schon ist nach Baumgartner noch nicht anginge, weil derselbe, in der gleichen Jahreszeit mit den Plejaden sichtbar, offenbar keine Regenszeit ankündigt. „Dagegen“, sagt Baumgartner, „denn, wer in den Plejaden einen Flug Tauben sah, wird wohl aus demselben bläulichen Vorstellungen lernen in den Hyaden einen Trupp Ferkel sehen geführt von einem Nilpferd als Mutter-schwein. Und diese Auffassung wird unterstützt durch das alte lateinische

Übernahme derselben unter dem Namen *vacuus* und *Servus* für die Hauptern, welche *vacuus* freilich von *Tollus* Tors in einem bei *Callus* angedeuteten Abschnitte seiner *pandora* als ein lateinisches Mißverständnis angegeben wird. Thiele hat dagegen in seinen seitlichen Himmelsbildern die *Hyades* wieder als die Perseusgruppe aufgeführt und, wie ich ebenfalls wegen des Parallelismus mit dem *Perseus* glaube, als *alcyonem* Rache.

Schließlich behandelt Prof. Baumgarten die Frage, weshalb die Griechen nicht den *Hercules* statt des *Orion* in diesem schmalen Sternbilde unserer Himmelsfläche verortet haben. Das heutige Sternbild des *Hercules* fällt zu der Zeit des *Arctos* und *Eudoros* des *Naxos* «der kinkende Mann» und erst später, nachdem man sich für den *Hercules*, Baumgarter glaubt, weil *Hercules* ursprünglich nicht ein Mann, sondern ein Kampfwächter vorgestellt

wurde, habe er den Griechen für das Orionsternbild nicht gepaßt. Obgleich von *Orion* nicht das Sternbild des großen Hundes (mit dem *Servus*), dessen Name nur verständlich wird im Hinblick auf den *Orion*, den gewaltigen Jäger, dem der Hund folgt. Nach Thieles Meinung ist *Servus* im *Abertum* noch heller gewesen als heute. Baumgartner weist in der nämlichen Meinung und sagt, diese werde nahegelegt durch die ganz singuläre Darstellung dieses Sterns aus den antiken Globen, *Fluriphären* und Karten. Alle anderen Sterne wurden als Punkte resp. kleine Flecke auf den Karten wiedergegeben, selbst nicht für unser Auge dem *Servus* nahezu gleichkommende, wie die *Capella* in der oberen Kaimenzone. Dagegen Stern wird auf den Spezialkarten als stinkende Sonnenscheibe gezeichnet, und auf dem Globen *Farnes*, der keine *Euclyptus* abbildet, trägt daher der große Hund auf dem Kopf die *Halskranz*.

## W. F. Dennings Beobachtungen des Planeten Mars 1903.

(Näheres S. VIII.)

**I**n Fröhring 1903 hat W. F. Dennings an Mikrophotie bei Bristol mit seinem 10zölligen Refraktor eine Reihe von Marsbeobachtungen angestellt, die besonders auch zu einer Zahl wertvoller Zeichnungen der Oberfläche dieses Planeten führen.

Die vergrößernden Vergrößerungen schwanken zwischen 252- und 448-fach, im allgemeinen wurde eine 312-fache Vergrößerung benutzt. In 36 Beobachtungssitzungen warfen im ganzen 23 Zeichnungen der Marscheibe aus, gefolgt, die 5 besten davon sind auf Tafel VIII reproduziert.

Man zeigte sich, wie F. Dennings berichtet, ähnlich wie Saturn recent ziemlich gut definiert und als solche durchgehends scharf begrenzt als z. B. die Scheibe des Jupiter. Letztere findet Denning von 4 bis Planeten am wenigsten

schärfe definiert, selbst der Planet *Venus* erscheint ihm teilweise in hellen Tönen selbst bei starken Vergrößerungen sehr schwach, während das weniger scharfe Aussehen des *Merkur* offenbar dem Luftzustande in der Nähe der Sonne zugeschrieben ist, weniger aber dem Objekte selbst.

In den Monaten März bis Mai 1903 war hauptsächlich die nördliche Hemisphäre des Mars von der Erde aus sichtbar, denn die Neigung seiner Achse betrug  $+22^{\circ}$  bis  $+25^{\circ}$ . Es wurde eine große Anzahl von unregelmäßig dunklen Stellen (Kanäle) verschieden in Ton und Richtung gesehen. Mehrere davon zeigten sich sehr deutlich wie z. B. *Nikozon*, *Protonus*, *Indus*, *Ganges*, *Carthago*, *Cassio* usw., während andere wie *Phoson*, *Euphrates*, *Gefion* nur schwach oder sogar äußerst schwach

einanderwachsen. Manche erhellten zu gewissen Stellen verdeckt oder verbleicht, besonders die westlichen Kanäle, sich vorzogen oder einander durchschneiten. Diese Stoffe oder Kanäle waren bestimmt ebenso wirkliche Objekte jenseit der Beobachtungswelt der dunklen Streifen auf dem Jupiter und Saturn. Es ist nach Deering's Theorie, daß ein Detail der Marsoberfläche im ganzen leichter anzureichern werden kann als die inneren Ränder auf dem Jupiter und Saturn. Die Streifen oder Kanäle zeigen sich einfach, nicht doppelt. In einigen wenigen Fällen waren je zwei davon einander nahe und liefen auf einer gewissen Strecke nebeneinander parallel, aber von einer Verdoppelung in dem bekannten Sinne konnte Deering nichts wahrnehmen. Dagegen konstatierte er bei einigen Details deutliche Verbindungen, die nicht auf den Zustand der Luft oder die ungleich gute Wahrnehmbarkeit und Transparenz auf der Ankerung in der Neigung der Achse des Mars zurückgeführt werden können. So schienen demnach plötzlich einzeln, aber blieb in gewissen Körpern und zu bestimmten Zeiten und wurden verdeckt durch lokale Vorgänge in der Marsatmosphäre verursacht, so z. B. durch Kondensationen von Dämpfen, die über bekannte Flecke u. dergl. hinwegziehen, dass die unsere Anblick verdecken oder auch teilweise ganz unsichtbar machen konnten. Am 6. und 7. Mai sah Deering einen hellen Strich über dem Kanal Nilus, wozu am 11. März und 7. April keine Spur vorhanden gewesen und der auch auf der Karte des Mars fehlt. Am 21. Mai erschien der südliche Teil von Syrtis Major ungewöhnlich dunkel und anschließend an der südlichen Seite von einer weißen Wolke durchzogen. Am 23. und 24. Mai dagegen war die ganze Syrtis Major außerordentlich schwach, wie wenn die Wolke sich nordwärts hin ausgebreitet hätte und zum Teil der dunklen Fleck verdeckte, während diese sonst das augenfälligste Objekt

auf dem Mars ist. Diese Beobachtung ist ähnlich der Wahrnehmung von Dr. Stibbler zu London, der am 28. März 1901 die Syrtis Major sehr dunkel sah, aber durch ein weißes Band vom Mars Hydrogenabsorptionen von den Polarregionen abgezogen, zeigte sich auf der Marscholle mehrere helle Centra oder helle Flächen und Deering glaubt auf Grund der Vergleichung mit seinen Wahrnehmungen in früheren Jahren, daß diese hellen Flächen ebenso konstante Oberflächeneigenschaften sind wie die dunklen Flecke. Indessen erlauben die Änderungen in ihrem drahtlichen Hervortreten, dem zu Zeiten zeigen sie sich sehr hell, zu anderen nur schwach oder kaum vor der Umgebung hervortretend. Nur einige davon haben sich richtig auf den bekannten Markanten, manche andere sind irrig platziert oder fehlen ganz; ein passendes Vorzeichen demnach nach Länge und Breite auf der Marsfläche wäre sehr erwünscht. Eine markwichtige, wohl konstatierte Tatsache ist, daß, wenn solche helle Stellen durch die Rotation an den Rand der Marscholle kommen, sie besonders hell hervortreten und sich bewegen wie knirschende Propädeuten dinstellend; nahe der Mitte der Marscholle verlieren sie dagegen ihren bestimmten Charakter und zeigen in dieser Hinsicht einige Ähnliche mit den Sonnenflecken Deering hebt ausdrücklich hervor, daß das Detail der Marsfläche zu fern und kompliziert ist um mit den ihm zu Gebote stehenden optischen Mitteln dargestellt zu werden, vor allem unter den Verhältnissen der Opposition von 1903, wo der scheinbare Durchmesser der Marscholle nur 14,6" überstiegt. Wenn unter diesen Umständen, sagt er, auf der kleinen Skizze viele Details so deutlich hervortreten, müssen offenbar in Wirklichkeit große Kontraste bestehen und starke Gegensätze ihrer Formaten haben. In dieser relativen Lage erhellten die weitergenannten Details praktisch unvollständig und nur alle gibt die südliche Rotationshemis-

Das vorliegende Studium der physikalischen Details, sagt Denning, ist im höchsten Grade von Interesse und wohl mehr noch als die Untersuchung der entstehenden und wieder vergehenden Flecke in den nachden atmosphärischen Strömungen auf dem Jupiter und Saturn. Aus dem Vergleich seiner jetzigen mit früheren Beobachtungen im Februar 1909 findet Denning, daß die Rotationsdauer des Mars  $24\frac{1}{2} \pm 32\frac{1}{2}$  beträgt, ein Wert, der bis auf hundertstel der Sekunde genau sein dürfte. Was die Denning'schen Zeichnungen der Marschichten

anbelangt, die auf Tafel VIII reproduziert sind, so beziehen sich dieselben auf die folgenden Zonen und die beigefügten Längen des Meridians, welcher damals auf der Mitte der Scheibe stand, so daß die Vergleichung mit den bekannten Marskarten hiernach leicht erfolgen kann:

Fig.	1	Märe	10	15h	19h	Mittelpunkt der Mitte der Scheibe
						247°
-	2	-	12	5		300
-	3	April	5	10		325
-	4	-	3	10	15	336
-	5	-	20	20		385
-	6	Mai	7	5	45	47

## Die Kanäle Thoth und Amenthes auf dem Mars.

**E**ine wichtige Untersuchung über die Schattensverhältnisse und Lageveränderungen der beiden oben genannten Marskanäle hat Percival Lowell schon veröffentlicht.<sup>1)</sup> Bezüglich der Entschiedenheit selbst kann hier auf die veröffentlichten im „*Science*“ publizierten Marskarten, besonders Tafel 15, Jahrgang 1901 und Tafel 7, Jahrgang 1903 verwiesen werden.

Die Erscheinung, um die es sich handelt, ist zuerst von Schiaparelli konstatiert worden; es auffälliger Vorgang dieser Art tritt noch sehr oberflächlich bei der Marsopposition von 1903 und Lowell beschreibt ihn als Überwässerung (Inundation) eines Kanals während einer längeren oder kürzeren Zeit des Jahres, wofür aus vielfach beobachteter Abmagerung eines Kanals seine Ursache hervorgeht. Was die Beobachtung in dieser Beziehung ergeben hat, ist jedenfalls seltsam. Während eine Anzahl nachweisbarer folgender Oppositionen wird nämlich ein gewisser Kanal in einer bestimmten Mannigfaltigkeit deutlich und unzweifelhaft gesehen und sich wieder

aufgefunden, aber bei einer folgenden günstigen Gelegenheit nicht mehr gesehen und bleibt mehrere Marsjahre hindurch unsichtbar, bis er plötzlich wieder in der alten Gestalt und Deutlichkeit da ist. Für dieses Verschwinden aber kann weder das Abblättern der beleuchteten Marsgegend noch irgend ein anderer plausibler Grund angeführt werden, sondern der Kanal ist einfach verschwunden und kommt ebenso wieder zurück, schließbar ohne Regel und Recht. Dieses Verdeckenspiel steht auch völlig außer Beziehung zu der jahreszeitlichen Schattbarkeit, welcher alle Marskanäle unterworfen sind und deren spezifisches Verhalten Lowell längst aufgedeckt hat. In den Schattbarkeitsveränderungen der hier ins Auge gefaßten Kanäle ist durchaus keine jahreszeitliche Periode nachweisbar, sondern eine solche von längerer Dauer. Rings um diese Kanäle vollzieht sich der jahreszeitliche Wandel der anderen, so selbst aber bleiben ausgeschlossen und ungeschwunden. Dieses sonderbare Verhalten hat schon Schiaparelli als eine nicht zu bezweifelnde Tatsache erkannt, obgleich es sehr schwierig zu erklären und ungehörig erklärbar

<sup>1)</sup> Lowell Observatory Bulletin No. 2.

Bei der letzten Opposition des Mars aber ergriffte sich ein Vorzug dieser Art, der infolge seiner Deutlichkeit und der langen Zeitdauer, über die sich die Beobachtungen Lowells erstrecken konnten, damals, seiner Überzeugung nach, den Schlüssel zur Lösung in die Hand gegeben hat.

Die Taschen sind folgende: Unter den ersten Kanälen, die Schiaparelli 1877 entdeckte, befinden sich drei, welche eine dreieckige Figur bilden; sie liegen östlich von der großen Spira (Spira major) und erhalten von Schiaparelli die Namen Thoth, Triton und Neperides. Ausgehend von einem Punkte des Sinus Aegyptiacus, der jetzt den Namen Aquae Calidae trägt, zieht sich der Thoth südwärts und gegen Westen, bis er in 261° Länge und 15° nördl. Breite den Triton schneidet, der aus der Spira minor kommt und ebenfalls sich westwärts hin fortsetzt. In der gleichen Weise verläuft auch Neperides. Auf dessen Wege liegt ein dunkler Fleck, der den Namen Lacus Tritonis erhalten hat. Einige dieser Oberflächenteile sind Michael zu sehr als andere, der dunkelste von allen ist der Lacus Tritonis, die dunkle Fleck im Schnittpunkte der drei Kanäle; aber daß keiner dieser Kanäle und Flecke sehr schwierig zu erkennen ist,<sup>1)</sup> ergibt sich daraus, daß diese Kanäle schon in den frühesten Beobachtungen Schiaparellis erwähnt werden. Er entdeckte den südlichsten zuerst, Thoth wurde erst im März 1878 gesehen, als die Länge der Sonne für den Mars 3° über den Frühlingpunkt hinaus betrug (denn 22. März bei uns entsprechend). Danach müssen diese Kanäle zu den deutlichsten Oberhaupt zählbaren gehört haben, denn Schiaparelli sah bei jeder Opposition weder den Phos noch den Euphrates, die doch relativ leichte Objekte sind. Gegenüber den nächsten Anblick haben

die drei Kanäle, die Schiaparelli nie bei der Opposition des Mars 1879 beobachtete. Das einzige wichtige Verstandene bestand darin, daß die Spira major sich westwärts bis zu Neperides hin ausgedehnt hatte. Lacus Tritonis war noch vorhanden, während Triton sich wie früher von der Spira der Spira minor gegen Hesperis hin erstreckte und zwar gegen die Nacht auf der östlichen Seite der Hesperis. Bei der nächsten Opposition des Mars zeigte sich eine bemerkenswerte Veränderung, deren volle Bedeutung damals nicht erkannt wurde. Schiaparelli sah an dem Orte, wo Thoth sich befand, zwei Linien, die er für eine Verdoppelung dieses Kanals hielt und von denen eine dem alten Verlauf des Thoth folgte, während die andere geradewegs vom Sinus Aegyptiacus zur Spira minor lief oder genauer vom Vereinigungspunkte von Triton und Lettes. Diese Linie war nicht der alte Thoth, sondern etwas Unerwartetes von größerer Wichtigkeit. Die Zeiten des Erscheinens von Thoth waren: 1881 November (Sonnenlänge auf dem Mars 751° vom Frühlingpunkt), im Dezember (Sonnenlänge 6°), und darauf folgend 1882 Januar 28 (Sonnenlänge 20°), Februar 6 (Sonnenlänge 31°) und März 18, 11 (Sonnenlänge 45° und 46°). Am 3. Februar 1882 (Sonnenlänge auf dem Mars 38°) erschien der Kanal Schiaparelli doppelt wie oben angegeben wurde.

Im Jahre 1884 erschien Thoth in Wirklichkeit doppelt und die westliche Linie war nach Schiaparelli beträchtlich stärker als die andere. Daß kein Arm weiter als bis zur Verbindung mit Neperides sich erstreckte, bewies, daß wirklich der Thoth gesehen wurde. Im Jahre 1885 war Thoth sichtbar vom Februar bis Mai (Sonnenlänge auf dem Mars 68° bis 117°) als verwechselbarer Strich; 1888 zeigte er sich April 29 (S. L. 126°), Mai 1 (S. L. 131°) Juni 2 bis 13 (S. L. 146°), Juli 21 (S. L. 168°). Im April war er verwechselbar, im Juni doppelt, erlangt zweifelt-

<sup>1)</sup> bedingungslos für einen auf den jetzigen Hilfsmitteln versehenen und an kleinen Planetenkanälen, nicht aber für einen gewöhnlichen Beobachter des Mars in einem 6 oder 7 Zolligen Fernrohr.

heit, später, am 12. und 13. Juni beobachtet.

Hierüber wie demnach, sagt Lowell, ein System von Kanälen (und Flecken, welche 3 Marsphasen hindurch dauern) und im wesentlichen unverständliche Bildungen der Marsoberfläche darstellten. Man mag sich daher vom Existenz aussetzen, als ich am Beginn meiner Beobachtungen 1894 keine Spur eines ganzen Komplexes wahrnehmen vermochte. Weder von Thoth, noch von Triton, noch von Nipantien oder den Lacus Martis war eine Spur zu sehen, dennoch aber bewiesen die Schieber-kartenschlüssen der jüngeren Marskarte, daß ich die Marscheibe wohl so deutlich sah als sie von Schiaparelli gesehen worden ist. Denn nicht nur waren tatsächlich alle sonstigen Kanäle, die dieser Astronom wahrgenommen, vorhanden, sondern auch noch schwächer. Und das ständige gilt von den dunklen Flecken, von denen eine Anzahl solcher, die Schiaparelli nie gesehen, über der Marscheibe zerstreut waren. Statt des Thoth zeigte sich ein anderer Kanal in gleicher Erstreckung über die Scheibe von Syrtis minor bis Aquea Calida. Dieser Kanal war so unvollständig vorhanden wie Schiaparelli den Thoth früher wahrgenommen; er war unter den ersten, die gesehen wurden und blieb als unveränderter Dunkelkeil bis zum Ende der Beobachtungen stehen. Der Teil der seine Wahrnehmung am 1. Juli 10 (S. L. 246<sup>n</sup>), August 14 (S. L. 262<sup>n</sup>) und Oktober 21 (S. L. 304<sup>n</sup>). Ich bevorzugte ihn als Ausenthus, indem ich ihn mit dem von Schiaparelli in der Karte seiner Beobachtungen von 1877 bis 1878 als gewissen Kanal identischen Übergegens erwidert er ihn im Text zu seinen Karten nicht, denn er sah ihn nur 1881 und 1882 und hielt ihn dann für den Thoth. Ungenügend dessen war er 1894 der zugriffigste der Kanäle in jener Hemisphäre. Die Unschärferkeit des Thoth dauerte nach meinen Beobachtungen während der folgenden Opposition des Mars 1895 bis 1899

und 1901 fort; 1895 bis 1899 war ich durch Krankheit verhindert zu beobachten. Ich schätzte den Kanal 1896 am 28. Juli (S. L. 277<sup>n</sup>), 26. August (S. L. 287<sup>n</sup>), 2. September (S. L. 301<sup>n</sup>), 5 bis 9. Oktober (S. L. 311<sup>n</sup>) als einfach, 1897 Januar 12 bis 19 (S. L. 13<sup>n</sup>), Februar 21 (S. L. 38<sup>n</sup>) und März 1 (S. L. 34<sup>n</sup>) auch noch als einfach, aber im Januar war er zunehmend im Begriff sich zu verdoppeln und im Februar war er wirklich doppelt. Im Laufe dieser Oppositionen habe ich ganz andere Beobachter den Thoth wahrgenommen und ebenso den Lacus Martis, ich selbst habe sie trotz aller Maße nicht gesehen und kam zu dem Ergebnisse, daß Thoth und Ausenthus ein und derselbe Kanal seien und deren Verschiedenheit nur im Irrtum der Zeichnung zu suchen war. Der Ausenthus erschien mir während der ganzen Zeit als die zugriffigste Linie oder richtiger als Linienspur, denn er war 1901 mindestens doppelt. In der Opposition von 1903 zeigte sich Ausenthus solange als verschwommen, schmaler Doppellinie, am 16. Februar vorüber, wurde er vom 18. bis 23. bestimmt gesehen. Von Thoth gedeutet dagegen keinerlei Erwähnung, weder in den Beobachtungen noch auf den Zeichnungen. Als die in Sicht stehende Hemisphäre im März wieder sichtbar wurde, war Ausenthus wieder da, aber schwächer als im Februar. Der Kanal war am Verschwinden, wie eine spezielle Bemerkung im Beobachtungsjournal berichtet, von Thoth dagegen keine Spur zu sehen. Der Beobachtungsjournalisten in der Zeit vom 18. bis 23. Februar (S. L. 67<sup>n</sup>) und vom 14. bis 26. März (S. L. 106<sup>n</sup>) ist dem Kanal April zeigte sich eine neue Ordnung der Dinge. Als die befreundete Hemisphäre am 16. erneut wieder sichtbar wurde, war Ausenthus auch zu sehen und selbst, aber am 19. als deren Ursprung auf der Mitte der Scheibe stand, war der längste Thoth ebenfalls sichtbar. Am 20. (S. L. 114<sup>n</sup>) zeigte sich Thoth allein, genau so wie ihn Schiaparelli

geschwächt hatte, begleitet von Triton und dem gekrönten Neptunus. Es war wie eine Offenbarung. Was ich, fährt Lowell fort, vorher nur geistig in den Zeichnungen anderer gesehen, stand mir offen vor meinen Augen, und Amethus, an den ich so lange gewöhnt gewesen, war verschwunden, nur ab und zu konnte eine Spur von ihm gesehen werden. Das ganze Metamorphose machte mich so stutzig, daß ich anfangs meinen Augen nicht traute, aber es blieb kein Zweifel, der Amethus war verschwunden und Thetis statt seiner sichtbar geworden. So fuhr er fort zu erzählen bis zum 30. und auch Lucas Tritons war deutlich zu unterscheiden. Bei der nächsten Sichtbarkeit dieser Gegend, vom 26. März 8. Juni (S. L. 133<sup>7</sup>) wiederholte sich die Erscheinung mit zunehmender Deutlichkeit und plötzlich am 29. Mai sah Lowell auch den lagst aufgetauchten Lucas Florens. Er war so unbemerktbar und seine Deutlichkeit nicht, da am wenigsten Aufsteigende dieses Phänomens. So oft hatte Lowell regelmäßig danach gesucht, jetzt stand er plötzlich vor seinen Augen, sogar nicht als kleiner runder Fleck wie jede andere „Gasse“, mittels des Neptunus wie eine Perle am Oble der Syris seiner Hingewand. Denn die Lyba-Ber sagte eine dunkle Hervorragung von der Art der hoch oben an der Äthiopien Syris, von welcher Neptunus, grauweißes Parfüll die großlicht, in gekrümmter Linie zu dem Punkte zog, wo Thetis und Triton zusammenstießen. Alle drei Kanäle erschienen doppelt, die Doppelreihen etwa 3° der Mangeln neneinander entfernt. Was ergab sich der letzte Akt des Dramas bei jenem erschien der Kanal Amethus wieder, Seite an Seite mit Thetis-Triton, auch war er in der Zwischenzeit (Juni, Juli) sichtbar geworden, während Thetis-Triton abgesunken hatte. Die Linie war im Begriff in des früheren Status zurückzusinken. Wäre, sagt Lowell, diese drei Erscheinungen nicht beobachtet worden und wäre die kurze Sichtbarkeit des Thetis-Triton unbeachtet

geblieben, so würde damit das Vorfinden dieser Vorgänge nicht möglich sein. Zunächst findet Lowell die von ihm schon lange gewonnene Überzeugung bestätigt, daß wenn eine augenblickliche Veränderung in den Darstellungen des Fortschritts eines Kanals besteht, dies gewöhnlich nicht auf einem Irrtum oder einer Verleserung beruht, sondern auf unrichtiger Identifizierung, der Kanal hat weder seinen Ort verändert noch der Beobachter sich geirrt, vielmehr ist das eine Mal ein bestimmter Kanal sichtbar gewesen, das andere Mal ein anderer. So war es auch im obigen Falle, und unter diesem Gesichtspunkte werden die Ideen wie die neuen Widerscheinungen übertritten. Die gesamte Untersuchung der Aufzeichnungen über die Sichtbarkeitsverhältnisse der beiden Kanäle zusammen mit ihrem Verhalten in bezug auf den physischen Charakter der Region, in der sie sich befinden, enthält weiter eine notwendige Beziehung zwischen beiden. Die Jahreszeit (wie sie in den Sonnenlagen für Mars sich ausdrückt) ist entscheidend für die Vorgänge während des Flanges überhaupt. Obwohl diesem gegend, läßt das successive Aussehen eine notwendige Änderung bei jedem der beiden Kanäle erkennen, besonders aber nach dem anderen von ähnlichem Charakter, d. h. von langer Periode. Diese letztere Veränderung ist so oben, welche verursacht, daß die beiden Kanäle vorher Sichtbarkeit alternieren, ist der eine vorhanden, so fehlt der andere und umgekehrt. Nur zwei scheinbare Ausnahmen von dieser allgemeinen Regel ergaben sich. Die eine trat 1861 ein, wurde aber nicht erkannt als solche und es fehlte an Daten zu ihrer Erklärung; die zweite ergab sich 1900, bezüglich der letzten Beobachtungsdaten vor und diese werden ein helles Licht auf den ganzen Gegenstand. Aus der großen Zahl von Zeichnungen des Mars während der Opposition von 1903 hat

<sup>7</sup> Vergl. Sidus 1904, S. 40 u. 2.



Lowell Karve der Schifffahrt für 85 Kanäle abgetheilt, welche die Zeit zugehen, so wieder jeder derselben im Minimum seiner Schifffahrt auch befreit. Wurden diese Angaben über das Verhalten der Kanäle nach dem Abstand von der nördlichen Schneegrenze auf dem Meer geordnet, so findet sich für jenes Minimum ein stetig wachsendes Datum, je weiter man sich von dem Pole gegen den Äquator hin entfernt. Von dieser allgemeinen Regel machen Thoth, Tiroa, Nepenthes und Ameriths eine ungewöhnliche Ausnahme. Die Breite, unter der mit dem Meer der Kanal Thoth liegt, ist  $21^{\circ}$  nördl., bei Ameriths ist sie  $15^{\circ}$  nördl. Man sollte nach obiger Regel von  $21^{\circ}$  bis  $15^{\circ}$  nördlich nördl. Breite auf dem Meer das Minimum der Schifffahrt 43 Tage nach dem Sonnenwintersonnenstehen eintreten. Für Thoth aber ergibt sich dafür nur 25, für Ameriths 86 Tage, beide erscheinen also außer der Regel, Thoth-Tiroa zu früh, Ameriths zu spät, während der Mittelwert aus beiden Angaben genau dem Datum für jene nördliche Breite entspricht. Weiter ergibt die Prüfung durch Lowell, daß zuerst Ameriths allein gesehen war und zwar im Stadium der Abnahme, dann als letztere Fortschritt, wurde Thoth zunehmend sichtbar und als dieser endlich wieder abnahm, begann Ameriths zu

zunehmen. Diese Tatsachen führen zu bedauerungsverfüllen Schlüssen. Da wir gegenseitig wissen, daß Wasser im flüssigen Zustand in großen Massenräumen auf dem Mars nicht vorhanden ist und verhältnismäßig wenig auch in fester Form, so können wir die lokalen Veränderungen von Jahr zu Jahr nicht erklären. Auch lassen sich die oben angegebenen Ängstigungen durchaus nicht durch etwaige Überschwemmungen deuten, denn wenn durch solche auch ein neuer Kanal gebildet und dadurch sichtbar würde, so würde deshalb der andere nicht verschwinden, auch können jene meteorologische Verhältnisse keine Erklärung geben, welche die stermende Schifffahrt der beiden Kanäle verständlich macht. Lowell kommt daher zu dem Schluss, daß die abwechselnde Ab- und Zunahme der beiden Kanäle überhaupt aus natürlichen Ursachen nicht zu erklären ist, sondern nur durch künstliche Veranstaltungen sternen der Menschheit. Dazu haben sich seiner Überzeugung Vorrichtungen getroffen um die kleine geringe Wassermenge, welche ihnen zu Gebote steht, möglichst auszunutzen, so daß wenn ein Defizit bemerkt ist, die kanalen Fließigkeit wenn benutzbar ist zugeführt wird, um auch diesen zu betrachten und wieder umgekehrt.

## Erstes Supplement zum Katalog der Veränderlichen Sterne der Harvard-Sternwarte.

**I**n 2 bis 4 Hefen des vorliegenden Jahrgangs des „Seru“ ist das Verzeichnis derjenigen Sterne wiedergegeben worden, welche nach der am weitesten fortgeschrittenen Bearbeitung des gegenwärtig vorhandenen Materials von der Harvard-Sternwarte als provisorischer Katalog der Veränderlichen veröffentlicht wurde. Bereits jetzt liegt eine erste Ergänzung dieses Verzeichnisses

vor<sup>1)</sup> und da es von großem Wert ist, das Verzeichnis der als veränderlich bekannten Sterne möglichst auf dem neuesten zu erhalten, so folgt hier dieses erste Supplement in genau der nachstehenden Anordnung und Ausdehnung wie der Hauptkatalog in den oben genannten Hefen des „Seru“.

<sup>1)</sup> Harvard Observ. Circular No. 77

[illegible]

Name	H. J. 1891	Dec. 1891	Min.	Max.	Periode	Jahr der Entdeckung	Entdecker
— Apollon	36.1	+ 13 26	12.6	14.3	—	1900	Wulf
— Apollon	38.4	+ 8 12	12.6	< 12	—	1900	Wulf
— Apollon	41.8	+ 10 30	12.6	< 12	—	1900	Wulf
— Apollon	43.6	+ 10 13	12	< 12	—	1900	Wulf
— Apollon	43.4	+ 7 23	12.5	13.3	—	1900	Wulf
— Apollon	43.5	+ 12 14	12.5	< 12	—	1900	Wulf
— Apollon	43.8	+ 9 43	12.5	< 12	—	1900	Wulf
— Apollon	43.7	+ 11 15	12.5	12.6	—	1900	Wulf
— Apollon	44.6	+ 12 7	12.5	13	—	1900	Wulf
— Apollon	45.0	+ 12 34	12.5	13	—	1900	Wulf
— Apollon	45.3	+ 12 58	12	< 12	—	1900	Wulf
— Apollon	45.7	+ 9 7	12	12	—	1900	Wulf
— Apollon	45.9	+ 10 44	12	13	—	1900	Wulf
— Apollon	46.1	+ 9 34	12	13	—	1900	Wulf
— Apollon	45.8	+ 7 31	12.5	12.8	—	1900	Wulf
— Apollon	45.5	+ 7 48	12	< 12	—	1900	Wulf
V.R. Ceres	26	11.4	+ 26 28	28.5	8.4 +	1900	William Fleming
— Ceres	12.5	+ 15 35	—	—	—	1900	Fleming
— Ceres	14.8	+ 27 8	—	—	—	1900	Wulf
V.R. Ceres	52.5	+ 70 58	8	10	20	1900	William
— Ceres	54	+ 70 25	8.8	8.5	1.8 +	1900	William
— Ceres	52	+ 10 4	—	—	—	1900	Fleming
— Ceres	54.5	+ 20 8	9.7	< 11.5	—	1900	de Sitter

Zu dieser Erklärung ist folgendes zu bemerken:

Der Stern Linus misst in

$$AR\ 13\ 23.8 = D + 55^{\circ}\ 46'$$

ist der Begleiter des Polsterns. Seine

Vorzeichenzahl ist allerdings wieder zweifelhafte geworden. Der Stern Geminorum AR 67 14.8 = D. + 19° 31' ist in der Bessel-Quellenangabe enthalten, aber vielleicht nur irrtümlich. Er fehlt im Manual.

## Über die Trennungsfähigkeit eines flüssigen Refraktors.

Der Pastor Hansen in Preßb hat geprüft das Begleiter von 2<sup>te</sup> Andromedas mit einem flüssigen Brechungsindex Refraktor gebaut zu sehen. Ich habe jetzt Gelegenheit gehabt dieses Instrument an einer Stelle sehr einer Doppelsterne mit gleich hellem Komponenten zu prüfen. Meine ersten Beobachtungen führten indessen nur zur Entdeckung eines Spannungsfehlers des Objektivs, die Sternscheiben zeigten sich etwa gleich in der Richtung 180° und in der entgegengesetzten Richtung waren sämtliche Diffractionsringe an zwei Stellen gleichzeitig verdichtet. Diese störende Erscheinung verschwand wiederum vollständig, wenn das Objektiv

auf 4 Zoll abgeblendet wurde. Ich vermutete sofort, daß die Ursache in einem ungleichen Druck des Objektivs gegen seine Fassung zu suchen sei. Das Objektiv wurde daher abgenommen und zerlegt; wir entschieden dann, daß die Fehler, die die Linse in deren Fassung hält, ein bedeutend schlechtere Lage habe, wodurch ein ungleicher Druck auf die Linse angestrichen wurde. Nach der Berichtigung dieser Fehler wurde das Objektiv sehr sorgfältig montiert und zwar in der Lage, in welcher es bei den Beobachtungen gebraucht werden sollte. Die Diffraction stellte sich jetzt als ganz außerordentlich fein heraus, Sterne 6 bis 7 Größe zeigen einen Durchmesser

von nur 0.90". Theoretisch sollte hier-  
nach der Durchmesser von größtem  
Stern etwa 0.37" betragen, wenn einiger  
Wert für größt. Stern gültig ist, die  
Möglichkeit des Atmerkobjektor zerlegt  
zu sehen, ist somit nicht völlig aus-  
geschlossen. Die besuchten Objekte geben  
resp. 460, 560 und 800malige Ver-  
größerung, jedoch ist ein Okularmikro-  
skop von Mitsunaga und liefert recht  
schlechte Bilder, ist aber nur bei ruhiger  
Luft mit Vorteil zu gebrauchen. Die  
Prüfung des Objekts wurde in den  
Nächten 11, 12 und 13. Dezember an-  
gestellt, die Luft war resp. 2, 3 bis 1  
und 1 bis 2. Die folgende Zusammen-  
stellung enthält außer den größten  
Orten (für 1900) die Stellungen der  
Komponenten nach den neuesten Mes-  
sungen, sowie die Ergebnisse der besagten  
Beobachtungen. Was die gebrauchten  
Abbildungen betrifft, so bedeutet p =  
Positionswinkel nach Schätzung (selbst-  
verständlich ohne Kenntnis von dem  
Messungsprinzip) angegeben, wobei  
zu bemerken ist, daß derselbe nur  
einer Unbestimmtheit von 180° behaftet  
ist, d = Verhältnis der beiden Durch-  
messer des Sternbildes (für reine Sterne  
also d = 1, für Doppelsterne, deren  
Komponente sich gerade berühren, be-  
trägt d = 2; H = Herr Pastor Hansen,  
L = H. E. Lue. Die folgenden Doppel-  
sterne können als Probestarke für 6-  
Zöller gelten, eine von Bremer ange-  
gebene Prüfungsliste enthält Objekte,  
welche selbst für einen 18" Zöller  
gibt ausreißend (süd, z. B. α Ursa-  
majoris). Die besuchten Objekte sind  
die folgenden:

## § 2

( $\alpha$  17 $^{\circ}$  + 70° 10' 5.6 = 180° u. 0.43")  
Des. 12. Mit Okular 460 fand H. drei  
Sterne länglich, p = 135°, deren ich,  
d = 1.5. Dupliziert leicht erkennbar,  
Trennung aber nicht möglich.

## § 2 2

( $\alpha$  8.2 $^{\circ}$  + 30° 20' 1.8 = 31° u. 0.47")  
Des. 13. H. fand p = 45°, Stern läng-  
lich; L. p = 26°, d = 1.5.

## § 2 6

( $\alpha$  13.8 $^{\circ}$  + 40° 27' 1.8 = 134° u. 0.36")  
Des. 11. Nur von L. beobachtet, der  
Stern erschien vollständig rund. Objektiv  
bis auf 4 Zöller abgeblendet ohne irgend  
eine Verbesserung der Bilder.

## § 2 11

( $\alpha$  18.2 $^{\circ}$  + 50° 56' 5.6 = 132° u. 0.47")  
Des. 11. Beobachtet L. Ein schwaches  
Paar, beim ersten Blicke länglich ge-  
sehen, p = 180° (bei sehr schlechter Lage  
des Instruments), d = 1.7. Die beiden  
Komponenten von γ Cassiopeae er-  
schienen vollkommen rund, eine Tis-  
schung scheint damit ausgeschlossen.

## § 2 20

( $\alpha$  48.3 $^{\circ}$  + 10° 39' 6.7 = 125° u. 0.35")  
Des. 13. H. erdichte wahrscheinlich den  
Stern länglich, p = 180°, L. gab p =  
345°, d = 1.5 oder mehr.

## § 2 34

( $\alpha$  38.6 $^{\circ}$  + 80° 23' 1.7 = 136° u. 0.49")  
Des. 11. L. fand p = 150°, die Kom-  
ponenten waren beinahe vollständig  
gerundet trotz der Unruhe der Bilder.  
Ein huchtes Objekt für den 6-Zöller bei  
ruhiger Luft.

## § 2 38

( $\alpha$  57.6 $^{\circ}$  + 41° 51' 5.6 = 116° u. 0.33")  
r<sup>2</sup> Andromedae Des. 13. Beobachtet  
L. Luft sehr ruhig, Bilder ausgezeichnet  
schief. Mit Okular 560 sehr ab dem  
Begleiter auffallend länglich d = 1.7,  
genau wie in Viktor Neumann 10-238er,  
die Bilder erheblich besser, aber der  
Farbenunterschied weniger auffallend  
als in Neumanns Notizen. Mit Okular  
800 gegen alle Erwartung vorzügliche  
Bilder, der Durchmesser des orange-  
gelben Hauptsterns betrug kaum 10",  
derjenige der Komponenten von r<sup>2</sup> etwa  
0.4. Trennung nicht gelungen, höch-  
stens in Kontakt, d = 1.6.

## § 2 48

( $\alpha$  6.6 $^{\circ}$  + 65° 17' 6.7 = 109° u. 0.64")  
Des. 11. L. fand d = 1.5, p = 109°,  
Stern länglich, die Luft war aber sehr  
unruhig und die Bilder mittelmäßig.

## § 307

( $\alpha$  2.9 $^{\circ}$  + 9° 22' 7.7 = 128° u. 0.66")  
Des. 11. L. fand p = 210°, vollständig

gezeigt ebenso H. Die starken Verändereungen der Bilder sehr auffallend. Eine Viertelstunde später konnte der Refraktor 22 nur als einen verschwommenen Klocke zeigen! (Vergleiche jedoch oben die Beobachtung vom Dec. 17).

#### Oct 45

(34 44.3m + 25° 17' 5.6" = 202° u. 0.62")  
Dec. 11.  $p = 210^\circ$  nach L. ebenso H.  $d = 2.0$ . Bilder vorzüglich, auf dem Monde kokettiert. Ich stelle wieder dieses Paar ein und H. erfüllt sofort: «dieselbe  $p$  wie das vorige Paar». Die Leuchtmasse zeigte jetzt eine sehr Erscheinung, mit 160 sek H. den Stern vollständig getrennt, L. dagegen nur schwach. Ebenso mit Okular 300

#### Oct 74

(14 6.8m + 9° 24' 8.8" = 202° u. 0.37")  
Dec. 12. Nur von L. beobachtet, schwach wegen Marschieren,  $p = 220^\circ$ ,  $d = 1.5$  oder vielleicht etwas weniger. Mehrere Nachbarnoten vollkommen rund

#### Oct 77

(44 9.6m + 31° 27' 7.7" = 135° u. 0.32")  
Dec. 12. Weiter Doppelstern, Refraktor 8 Gefälle (zu 45° d. 55°), Hauptstern weiter doppelt, bei 4-Zöller aber vollkommen rund (L.)

#### Oct 104

(64 41.5m + 18° 48' 3.7" = 187° u. 0.56")  
Dec. 11. Nur von L. beobachtet, mit 460  $p = 205^\circ$  in Kontakt, beneidet durch eine störende schwarze Linie getrennt. Ein leucht. Objekt

#### Oct 136

(74 26.8m + 30° 18' 6.7" = 235° u. 0.66")  
Dec. 11. Hauptstern «Hauptglocke» mit einem anderen Begleiter 10 (ir.  $p = 195^\circ$  u. 0.17). L. fand den Hauptstern leicht trennbar, durch eine helle schwarze Linie getrennt, welche zuweilen durch das Wölken der Bilder verschwand und wieder sichtbar wurde,  $p = 220^\circ$

#### Oct 165

(74 52.1m + 1° 24' 7.7" = 18° u. 0.25")  
Dec. 12. Bilder wieder unruhig, L. versuchte 540 ohne Erfolg und gab die Beobachtung auf (Marschieren störend)

#### Oct 208

(94 45.3m + 54° 32' 5.6" = 315° u. 0.26")  
Dec. 12. Von L. Refraktor in vertikaler Stellung versucht ( $p = 180^\circ$ ), aber d. höchstens 1.4. Mit Okular 300 beobachtet langlich. Ein schlies, aber sehr schwaches Paar ( $p$  Unklar mäßig)

#### Oct 217

(94 47.5m + 7.38 5.6" = 187° u. 0.41")  
Dec. 12. um 7h morgens, Beobachter L. Mit 500 horizontal langlich versucht in horizontaler Stellung,  $p$  auf  $120^\circ$  geschätzt, aber die Bilder waren etwas weite und das Doppelst. kaum zu erkennen (B. bestatigt)

#### Oct 228

(14 26.7m + 61° 38' 6.7" = 121° u. 0.58")  
Dec. 11. Gef. leicht trennbar  $p = 220^\circ$ ,  $d = 1.8$  (L.)

#### Oct 266

(14 31.0m + 28° 26' 6.6" = 343° u. 0.59")  
Dec. 11. Gef. Doppelst. leicht trennbar,  $p = 220^\circ$ ,  $d = 1.8$  bis 2.0 nach der Güte der Bilder (L.)

#### Oct 299

(12 50.8m + 3° 57' 5.6" = 219° u. 0.55")  
Dec. 11. Nur von L. gegen Morgen beobachtet,  $p = 180^\circ$ ,  $d = 1.8$  höchstens. Bilder weite und benachb. beruhiger Luft dürfte dieser Doppelstern sehr leicht trennbar sein. Beide Komponenten gelb, ein schönes Objekt. (48. Vesper)

#### Oct 308

(14 26.4m + 14° 18' 3.4" = 108° u. 0.47")  
Dec. 11. Kurz vor Sonnenuntergang stiftete L. I. Best. des Stern grünl. schwach, abgesehen der Beobachter und Parallelen Zahlen erinnert (300° für 1953), fand er den Stern kräftiger, der Begleiter, abgesehen folgend,  $p$  etwa  $130^\circ$ ,  $d$  höchstens 1.5, Abstand der Komponenten zu  $0.4''$  notiert. Die Bilder waren sehr ruhig, der Beobachter jedoch etwas zweifelnd. Verwirrt durch eine Täuschung.

#### Oct 321

(12 50.7m + 37° 42' 6.7" = 66° u. 0.60")  
Dec. 12, 7h morgens, L. konnte mit 460 dieses Paar eben trennen,  $p = 70^\circ$ . Nachdem er aber die Sternkarte verloren hatte, bemerkte er, daß der ganze

Gebirgsland über der Oase von be-  
trübten Sandwüsten bedeckt war

O. F. 449

(20° 35' 30" + 42° 14' 30" = 17° u. 54' 30")

Des. 13 Von beiden Beobachtern völlig  
getrennt gesehen,  $\mu = 200''$  (H.) oder  
13" (L.) Darüber Zwischenraum deut-  
lich gesehen. Ein leucht. Objekt

O. F. 448

(20° 43' 15" + 38° 47' 30" = 84° u. 0 45')

Des. 13 Länglich mit 468 M. Ocular  
160 in Kontakt;  $\mu = 200''$  (H.) oder  
88" (L.). Ein schöner, nicht ironisier-  
Doppeldarm (= 2 Cygn).

d. 700

(20° 38' 30" + 30° 47' 30" = 151° u. 0 30')

Des. 13 Nach H. länglich in  $\mu = 165''$ ,  
L. sehr  $\mu = 135''$  und  $d = 1.5$  bis 2.0  
nach der Größe der Bilder. Bei starker  
Luft nicht schwierig

O. F. 400

(20° 32' 30" + 42° 53' 30" = 112° u. 5 30')

Des. 13 In Kontakt gesehen;  $\mu = 125''$   
(H.) oder 100" (L.). Kein schwieriges  
Objekt für einen 6-Zöller

Hierzu wird der 6-Zöller Doppel-  
stern mit 0.45' bei 0.60' Abstand in  
Kontakt oder bei ruhigen Bildern durch  
einen dunklen Zwischenraum getrennt  
gesehen, Doppeldarm mit 0.30' bis 0.45'  
Abstand können nur flüchtig gesehen  
werden. Der Marsaldrum für voll-  
ständige Trennung wird folglich zu  
0.45' zu schätzen sein, und die Kon-  
stante 4.0' in der hochtauglichen Diver-  
schen Formel wird demnach für dieses  
Reinleuchtende Objekte durch 3.7' zu  
ersetzen sein. Das Paralytische Objekte des  
Nichtsterns 10-Zöller zeigt  $\gamma^1$  Andro-  
medae höchstens in Kontakt, es ist mir  
nur damit gelungen, den Stern als ein-  
schieden doppelt ( $d = 1.5$ ) zu sehen,  
während ich 25 Millionenmengen  
angezeigt habe, ohne den Begleiter auch  
nur flüchtig zu sehen. Hierzu würde  
dieser Reingewichte 6-Zöller dem  
größten 10-Zöller völlig überlegen  
sein, was mir trotz allem Unwahr-  
schein ist. H. E. Lau, stud. astr.

## Der spektroskopische Doppelstern $\beta$ Aurigae.

**D**ieser Doppelstern, der als solcher  
im Jahre 1899 auf dem Harvard-  
Observatorium erkannt wurde,<sup>1)</sup> ist nahe  
zu derselben Zeit auch zu Potsdam beob-  
achtet worden und Prof. Vogel fand da-  
mit, daß die relativen Intensitäten der  
(Meyneum-) Doppellinien 1:4401 ent-  
sprechend sind, indem auf einigen Platten  
die nach Rot gelegenen Komponenten, auf  
andere die gegen Violet hin liegende  
stärker erscheint. Aus den Aufnahmen am  
Harvard-Observatorium ergab sich als  
Umschicht von  $\beta$  Aurigae 24 254 36.7" und  
diese wird auch in einer späteren  
Publication (1898) von M. S. Maury  
beigeführt.<sup>2)</sup> In dieser Abhandlung  
über die K-Linien im Spektrum von  
 $\beta$  Aurigae wird erwähnt, daß auf dem

Harvard-Observatorium in den 9 Jahren  
1899 bis 1908 200 Photographien des  
Sterns erhalten worden seien, daß die  
relative Geschwindigkeit 248 km, die  
Entfernung beider Körper voneinander  
mindestens 6 Millionen engl. Meilen  
und die Masse der einzelnen Kompo-  
nenten 1.25 Sonnenmassen betragen.  
Der Wechsel in der Intensität wurde  
von M. S. Maury auch für die Linie K  
( $\lambda$  7046) nachgewiesen. Sonst konnte  
es scheitern, als in die obere, von Prof.  
Pickering berechnete Periode des Sterns  
sehr nahe richtig war so mehr, als einige  
gegründete Aufnahmen zu Potsdam  
darauf in Überzeugung zu bringen  
waren. Später erschien eine Arbeit von  
G. A. Tsiolk<sup>3)</sup>, der durch Annahme  
der von Besselhülle zu Potsdam 1902

<sup>1)</sup> Henry Draper Memorial, 4. April  
1899

<sup>2)</sup> Astrophys. Journal VII, p. 175

<sup>3)</sup> Astron. Nachr. No. 266

und 1903 erhaltenen Spektrogramme eine Periodendauer von 14 3/4 Tagen und außerdem in  $\beta$  Aurigae ein Sternsystem erkennen zu müssen glaubt, das nicht aus 2, sondern aus 4 Körpern besteht. Aus der kollektiven Verdopplung der Komponenten der einzelnen Linien, die es an einigen Aufnahmen wahrzunehmen ist, wusch *o. B.* am 23. Januar 1904  $H\gamma$  in vier Komponenten zerfällt, mit 48 km, 124 km, 43 km und 221 km relative Geschwindigkeit, kommt Tikhoff zu der Ansicht, daß  $\beta$  Aurigae aus zwei Gruppen von Körpern zusammengesetzt ist, von denen jede aus einem Stern mit starkem, und einem zweiten mit schwachen Spektrallinien besteht. Die Unterstufe der Sterne innerhalb einer jeden Gruppe sei 191<sup>h</sup> während jede Gruppe eine Umdeutung um den Schwerpunkt des Systems in 34 20.5<sup>h</sup> vollziehe. Das Verhältnis der Massen der zwei Gruppen sei nahe = 1, der Schwerpunkt des Systems bewege sich mit einer Geschwindigkeit von — 16 km in der Geraden zu Erde.

Diese Ergebnisse waren Veranlassung, daß Geh. Rat Vogel auf dem Potsdamer Observatorium neue Aufnahmen des Spektrums von  $\beta$  Aurigae machen zu lassen beschloß, wofür er selbst Bericht hat.<sup>1)</sup> Infolge der ungünstigen Witterung konnte dieser Plan nicht nach Wunsch ausgeführt werden, doch gelangen 1904 Januar 27 und am nächsten Abende eine Anzahl Aufnahmen außerordentlich belichtend. Die Untersuchung ergab nun, daß die von Prof. Pickering angegebenen Punkte unrichtig ist, vielmehr die wahren Daten derselben 14 23<sup>h</sup> 20 18<sup>h</sup> betragt, wodurch nicht nur die direkten Potsdamer, sondern auch die Tikhoff'schen Messungen vollständig dargestellt werden, aber auch alle Annahmen, die Tikhoff auf die Vorstellung eines 4-körper Systems bei  $\beta$  Aurigae gestellt hatten, verschwinden.

Ferner ergibt sich nach Prof. Vogel, daß die Beobachtungen darauf hindeuten, daß die Bahn des Sterns nur wenig von der Kreisform abweichen kann. Unter der Annahme einer kreisförmigen Bahn, einer relativen Geschwindigkeit beider Körper von 122 km und der eben erwähnten Periode resultiert für die Masse des Systems ein Wert von mindestens 45 Sonnenmassen und für die Entfernung beider Körper ergibt sich mindestens 12 Millionen Kilometer. Wie die Beobachtungen über die Radialgeschwindigkeit des Systems bestätigen, sind die Massen der beiden Komponenten des Doppelsystems nicht viel voneinander verschieden.

Durch Ausrich der Messungen der Magnetanomalien an das Vergleichsspektrum (Eisen) hat Prof. Vogel noch aus den Potsdamer Beobachtungen von 1903 und 1904 die Bewegung des Systems in der Geraden aus 28 Plätzen abgeleitet und im Mittel aus allen Beobachtungen für die Geschwindigkeit des Systems gefunden: — 21 km ± 1 km.

Dieser Wert ist in guter Übereinstimmung mit einem von 3 Beobachtern 1882 gefundenen Werte — 19 km, mit dem aus den 4 Potsdamer Aufnahmen aus dem Jahre 1901 sich ergebenden, der im Mittel — 18 km beträgt, und mit der Tikhoff'schen Bestimmung — 16 km.

Die Beobachtungen in der einen Hälfte der Bahn, von Deckung zu Deckung der Linien gelangt, geben im Mittel für die Geschwindigkeit des Systems — 194 km, die Beobachtungen aus der anderen Hälfte der Bahn — 127 km. Eine weitere Bestätigung dafür, daß beide Komponenten des Systems sehr nahe gleiche Masse haben, kommt durch die direkte Berechnung der Geschwindigkeit der einzelnen Körper relativ zur Sonne aus den Verschiebungen der Magnetanomalien gegen die Linien des Vergleichsspektrums abgeleitet werden. Die Rechnung und graphische Darstellung hat Dr. Schwypher ausgeführt. Mit der Annahme einer Maximalge-

<sup>1) Sitzb. d. Kgl. Preuss. Acad. d. Wissenschaften 1904 Nov., S. 491.</sup>

schnelligkeit von 111 km stellt ein und dieselbe Kurve, die die jenen der Körper gebundenen Geschwindigkeiten sehr gut dar.

Wie oben angegeben, hatte Prof. Vogel schon bei den ersten Beobachtungen die Wahrnehmung gemacht, daß die erste Komponente der Magnesiumlinie breiter und etwas verschwommener, wohl auch etwas kräftiger als die andere erscheint und ein Wechsel zwischen beiden, daß einmal die stärkere, ein andermal die schwächere Komponente mehr nach Rot zu gelagert war. Diese Beobachtung ließ den Gedanken aufkommen, daß das Spektrum des einen Körpers etwas kräftiger sei als das des andern, und daß der Wechsel dann mit der Stellung der Körper in der Bahn zusammenhänge.

Prof. Vogel hat mehrere später keinen kristallisierten Werkstoff, der von der Lage der Körper in der Bahn abhängig ist, nachweisen können; im Gegenteil ist er durch die neuesten Beobachtungen, besonders durch die in der Nacht vom 27. zum 28. Januar dieses Jahres ohne Unterbrechung ausgeführten Aufnahmen, überzeugt worden, daß der Wechsel ganz unregelmäßig erfolgt.

Auch bei  $\epsilon$  Ursa majoris finden wir Wechsel in der relativen Intensität der Komponenten der Magnesiumlinien statt; es ist Prof. Vogel aber ebenso wenig wie bei  $\beta$  Aurigae möglich gewesen, eine Zusammenhang mit der Phase, in welcher sich die beiden Doppelsterne während der Körper befinden, zu entdecken.

Was nun die Größe der relativen Intensitätsänderungen der Magnesiumlinien, auf die sich vorwiegend Prof. Vogels Beobachtungen erstreckt haben, anbetrifft, so ist dieselbe oft recht beträchtig. — Auf einigen Platten, sagt er, ist die eine Komponente sehr, sehr deutlich und gut begrenzt, die andere dagegen sehr breit, schwachen und unschwach, daß eine Messung ihrer Lage nur schwer anzustellen ist. Dermal erscheint die eine Linie doppelt, zu malen auch beide; zu anderen dann

entweder aus einer bestehen und eine ganz schwache Linie, oder aus zwei gleich kräftigen Linien, deren Abstand ihrer relativen Bewegung von 48 bis 50 Körner entspricht. Hinsichtlich des der Magnesiumlinien und die Teil-Linien im Aussehen ganz ähnlich, Malher und sie gleichfalls verschieden. Die Wasserstofflinie H $\gamma$  erscheint auf einigen Platten deutlich doppelt. Es finden zuweilen im Spektrum zwei einzelne, oft ganz scharfe Linien auf, zu denen sich keine Komponenten finden lassen, während die Magnesiumlinien getrennt sind.

«Das und», fährt Prof. Vogel fort, «sind Erscheinungen, die ich auch schon im Spektrum von  $\epsilon$  Ursa majoris beobachtet habe, ich werde mich damit bezüglich des Passes meiner zweiten Abhandlung über  $\epsilon$  Ursa majoris befassen.

Selbst und die Komponenten der Magnesiumlinien in Bezug auf Intensität und Breite gleich, geschweige ist die Anbahnung der Komponenten die letztere, nach einer Deutung der Spektra hat mit Bestimmtheit kein Wechsel in Aussehen nachgewiesen werden können. Unter den neuen Beobachtungen und sage, bei denen beide Komponenten wieder doppelt sind. Die Linien der zwei Uraquas und dann sehr scharf und schmal. Die Ungleichheiten als zahlige Veränderungen im Kern der photographischen Schicht anzusehen, scheint wohl amrichtiger, da die Ungleichheiten im Aussehen der Magnesiumlinien sich auch zuweilen in denselben Sinne bei einigen Erscheinungen zeigen, trotzdem wegen der Schwäche derselben, nur mit geringer Scharfheit. Es scheint mir aber die Annahme nicht ausgeschlossen, daß bei den stark variierenden Abständen der beiden Körper bei ihrer Bewegung auseinander (16 bis 51 Millionen Kilometer) gegenwärtige Störungen in der Atmosphäre der Weltkörper entstehen, die notwendig Lichtablenkungen oder Verhinderungen zur Folge haben.

Wenn es nun bei  $\epsilon$  Ursa majore bereits möglich erschien, Störungen in den



Atmosphäre bei der starken Elliptizität der Bahn ( $e = 0.933$ ) annehmbar, so liegt hier bei einer fast kreisförmigen Bahn kein Grund zu einer solchen Annahme vor.

Der von Yabloff ausgesprochene Ansicht, daß jede der Komponenten wieder ein Doppeltstern sei, ist ja nicht direkt abzuweisen, sie erhält aber durch das theoretische Vorfallen der Linien des Ursterns meiner Ansicht nach keine Stütze. Ich nehme daher die Aufmerksamkeits auf folgenden Übergang hinzu.

Die Spektre der Klasse Ia 2 zeigen außer den breiten Wasserstofflinien, des Linien des Calciums, Magnesiums, Eisens und Titans nur eine mehr oder minder große Anzahl ganz schwacher Linien. Im Spektrum von  $\beta$  Aurigae erscheint zu der Zeit der vollkommenen oder nahezu vollkommenen Deckung beider Spektren das kontinuierliche Spektrum durchdrungen von einer sehr großen Anzahl feiner Linien, so daß dem kontinuierlichen Spektrum des Aussehens einer kleinen, stellenweise nicht spaltenförmigen Schriftführung ähnlich wird. Bei der Verschärfung zweier solcher übereinander gelegener Spektre gegeneinander erscheinen sich die Linien des einen Spektrums auf den dunklen nichtgleichmäßigen Spektialgrund des andern Spektrums, und es können und müssen dadurch Linien, die man in dem einzelnen Spektrum kaum erkennen konnte, plötzlich stärker hervortreten, andere aber werden, wenn sie gerade mit einer be-

re Stelle des superponierten Spektrums zusammenfallen, stark geschwächt werden. Ich bin der Ansicht, daß sich möglicherweise damit auch die an gewissen Verdoppelungen, der Wechsel der relativen Intensität oder der Schärfe der breiten, gebogen erscheinenden Magnetlinien im oder Teilraum oder der Linie K erklären lassen. Es kommt ferner noch hinzu, daß die Absorption in den Atmosphären der Körper von der Spektralklasse Ia 2, verbleibt mit Annäherung der Calciumabsorption, keine so kräftige ist, so daß die Linien im allgemeinen bei der Überlagerung zweier Spektre noch zum Teil sichtbar werden, wenn die Spektre sich nicht vollkommen decken. Darauf beruht es auch, daß das Gelingen spektrographischer Aufnahmen damaliger Spektre so sehr von der richtigen Expositionzeit abhängt. Ohne Zweifel spielt ferner die Struktur der photographischen Schicht hier eine viel größere Rolle, als bei der Aufnahme nicht übereinander gelegener Spektre.

Zur Ergänzung der besprochenen Einzelangaben sind zur Spektroskopie, die mit Hilfe eines sehr stark gestreuten Spektrographen auf möglichst kleinen Platten hergestellt und, verwendet. Es wird befremdlich sein, häufiger Aufnahmen in kurzen Zwischenräumen vorzunehmen und die Veränderungen in der Magnetlinie 1481 mit denen an anderen Linien zu vergleichen.

## Vermischte Nachrichten.

Eine neue Bestimmung der Rotation der Rotationsachse des Mars hat P. Lowell ausgeführt.<sup>1)</sup> Es gibt bekanntlich zwei Methoden, um die Lage der Rotationsachse des Mars im Raum zu bestimmen, die eine besteht darin, die Veränderung in der Position der

Fläche auf der Marschicht bei der Umdrehung des Planeten festzustellen, die andere ist bekannt durch Bestimmung aus der Polarisation der Knoten- und Apodenlinie der Bahndistanz seiner beiden Monde. Schiaparelli hat erstere Methode mit Erfolg angewandt, Stauve in seiner trefflichen Abhandlung die letztere. Die Ergebnisse beider Unter-

<sup>1)</sup> Lowell Observatory Bulletin No. 9.

erhebungen stehen jedoch nicht in besonderer hoher Übereinstimmung und P. Lorell hat deshalb eine neue Bestimmung vorgenommen. Er benutzte dabei die Methode der dritteren Beobachtung der Flecken auf der Marscheibe, wobei besonders der nördliche Polarfleck, der sehr nahe beim nördlichen Wendekreispol des Mars liegt, vortreffliche Dienste leistete. Ganz besonders war die Opposition des Mars in den Jahren 1901 und 1903 für eine solche Untersuchung günstig, denn der nördliche Polarfleck war damals nahe am Minimum und auch sonst für die Beobachtungen günstig gelegen. Die Berechnung der Beobachtungen Lovells während der beiden Oppositionen ergab diesem folgende definitive Mittelwerte:

Projektion des Nordpols des Mars auf die Himmelskugel für 1903, Rektaszension  $215^{\circ} 32'$ , Decl.  $+54^{\circ} 54'$ . Durchschiebung des Marsquaders mit der Marsbahn Rektaszension  $85^{\circ} 54'$  Decl.  $+28^{\circ} 32'$ . Neigung des Marsquaders gegen die Marsbahn  $22^{\circ} 55'$ . Diese Ergebnisse stimmen mit den von Schiaparelli 1883, 1884 und 1885 erhaltenen befriedigend überein, während die Streichen merklich von beiden abweichen.

#### Die totale Sonnenfinsternis 1904 Sept. 9.

	Zeit-Unt. Beginn	Ö-L-Gr.	Weite
Beginn der Finsternis Beobachtung . . .	7 17	165 30	+ 11 4
Beginn des ersten Finsternis . . .	7 53.3	162 33	+ 7 58
Beginn der totalen Finsternis . . .	7 56.6	162 16	+ 7 52
Ende der totalen Finsternis . . .	8 4.3	155 55	— 4 25
Ende der ersten Finsternis . . .	11 19.3	200 31	— 25 41
Ende der totalen Finsternis . . .	11 20.7	200 13	— 25 31
Ende der Finsternis Beobachtung . . .	12 14.5	217 43	— 33 23

Diese Finsternis ist nur sichtbar im

großen Ozean und in der westlichen Hälfte Südamerikas.

Das Massenverhältnis der Komponenten des Doppelsternes  $\gamma$  Cygni ist von Adalbert Pry bestimmt worden. Er kam zu dem bemerkenswerten Resultate, daß der Schwerpunkt in  $\frac{1}{4}$  der Distanz, dem Begleiter also näher liegt, als dem Hauptstern, so daß der Mars des Ringelstern viertel so groß ist als der Hauptstern. Mit Schurs Parallaxe  $0.16''$  sind die beiden Massen bezüglich gleich 0.33 und 1.26 Sonnenmassen. Wie findet man sonst sehr wieder einen jener Beispiele, welche zeigen, daß in der Finsternis Masse und Helligkeit keineswegs proportional sind. Der bekannteste Fall dieser Art ist Sirius, dessen Begleiter, obwohl nur  $2\frac{1}{2}$  mal kleiner, ein Stern der 9. Größe ist. Auch Procyon übertrifft seinen Begleiter, der 13. Größe ist, nur unbedeutend an Masse. In unserem Falle ist die größere Masse die schwächere.

Veränderliche Sterne im großen Nebelringel. Dieser große und interessante in unsere Breiten sichtbar Nebelfleck ist seit W. Herschels Tagen von verschiedenen Beobachtern, die über sehr kostbare Ferngläser verfügten, untersucht und mit Ausdauer studiert worden. Unter diesen Arbeiten steht noch immer diejenige, welche Prof. Bond vor vielen Jahren auf der Harvard Sternwarte im Laufe einer langen Zeitperiode ausführte, in erster Linie. Sie stellt in der bekannten prachtvollen Darstellung des Nebels und dem Katalog der Sterne, die dazu (optisch oder physikalisch) gehören. Manche von diesen Sternen hat Bond als veränderlich bezeichnet, aber nachherbegrüßterweise hat man nur bei einem derselben (T Cygni) den Lichtwechsel als gewissen beobachtet. Im Jahre 1901 und wiederum 1903 untersuchte Prof. W. Wolf in Heidelberg verschiedene der von ihm aufgenommenen Photographien der Gegend

<sup>1)</sup> Astron. Nachr. No. 2068.

des Orionnebels mit dem Sternkometen-  
miser und was unter den Sternen dieser  
Plates eine Anzahl Veränderlicher nach-  
Manche davon sind selbst im Maximum  
ihrer Helligkeit so schwach, daß sie  
wahrnehmbar nur auf wenigen anderen  
photographischen Aufnahmen ver-  
merkt werden können. Dem hat Prof. Edward  
C. Pickering vorzuziehen, eine genauere  
Untersuchung der auf der Harvard-  
Sternkarte erhaltenen Photographien  
des Orionnebels vornehmen, zu lassen,<sup>1)</sup>  
wenn ihm durch die Carnegie Institution  
für das Jahr 1903 so reichliche Ge-  
dächtnis überlassen wurde, daß 8 Per-  
sonen mit diesen Untersuchungen be-  
traut werden könnten. Leider standen  
diese Gedächtnis nur für ganz eine  
Jahr zur Verfügung und mit De-  
zember 1903 blieben die Arbeiten  
nicht auf Kosten des Observatoriums  
durch eine Person, Mrs. Harriet S.  
Lowell, fortgesetzt werden. Diese Ar-  
beiten haben nicht nur für 16 der von  
Prof. Wolf angegebenen Sterne die  
Veränderlichkeit bestätigt, sondern auch  
eine Anzahl neuer Anzahl neuer Ver-  
änderlicher gefunden, so daß wahrschein-  
lich wird, daß auch die Nebelflecke  
günstig mit gewisse Sternhaufen ein  
fruchtbares Feld für die Entdeckung  
solcher Objekte gewesen werden. Die  
schwachsten Sterne, welche im Nebel  
des Orion auf Photographien vor-  
kommen, sind 155 Größe und die auf  
der Harvard-Sternkarte angenommene  
Größenreihe ist durchweg vergrößert  
mit der von Prof. Wolf adoptierten.  
Prof. Pickering gibt ein Verzeichnis von  
71 veränderlichen und 35 wahrschein-  
lich veränderlichen Sternen, welche auf  
einer Fläche des Himmels stehen, die  
auf der Karte des Orionnebels von  
Bond 2<sup>h</sup> 42<sup>m</sup> in Rektaszension rechts  
und links von dem Stern  $\epsilon^1$  Orionis,  
welcher Deklination bei 63° nördlich und  
91° südlich sich erstreckt. Diese Fläche  
umfaßt 14-456 Quadrat-Bogenminuten

und die Zahl der auf dieser unteruchten  
Sterne beläuft sich auf 3000. Die Ver-  
teilung dieser Veränderlichen läßt sich  
gleichzeitig eine große Anzahl derselben  
zum Nebel selbst erkennen. Sie finden  
sich hauptsächlich auf einem schönen  
Streifen südlich von  $\epsilon$  Orionis über  
 $\delta$  und  $\gamma$  Orionis. Nördlich von —4° 44'  
Deklination wurde unter 400 Sternen  
nur ein einziger Veränderlicher gefun-  
den; auch in dem übrigen Teil von  
Bond Karte kommen nur vereinzelt  
ein paar Veränderliche vor. Es wird  
Sache weiterer Aufnahmen und Unter-  
suchungen sein, festzustellen, ob die  
Art und Weise des Lichterzweigs dieser  
Sterne ähnlich ist, wie die der Veränder-  
lichen in den kugelförmigen Sternhaufen.

**Feuerkugel.** Gestern Abend, am  
6. Mai 11<sup>h</sup> 27<sup>m</sup> M.E.Z., sah ich eine  
außerordentlich schöne Feuerkugel, die ihren  
Ausgangspunkt in ca.

$\alpha$  18<sup>h</sup> 44<sup>m</sup>  $\delta$  + 45°

nördlich + Lema, ihren Endpunkt in ca.

$\alpha$  19<sup>h</sup> 46<sup>m</sup>  $\delta$  + 32°

zweigten  $\gamma$  und  $\eta$  Cygni hatte. Das  
Phänomen von sehr starker Leuch-  
kraft (so dichte die Helligkeit des Japier  
um das dunkle Meteorstrahl haben),  
war während der ganzen Sichtbarkeit,  
die nicht mehr als 2 Sekunden betrug,  
von intensiver hellgelber Farbe. Vom  
Kernpunkt des Meteors, dessen wahr-  
samen Durchmesser 5' nicht überstieg,  
schienen zahlreiche kleine Partikel ab-  
zuscheiden, die hinter dem Meteor eine  
Art Koma, in Farbe etwas dunklere,  
eines gelblichweißen Feuerkugel bildeten. Die  
scheinbare Bahn betrug ca. 185° und  
warmäßig wellenförmig gekrümmt.  
Der hinterlassene Lichtstrahl, gewöhnlich  
Schweif genannt, war von kaum merk-  
licher Dauer. Das Meteor selbst ohne  
jeden platzenden Charakter verflüchtigte  
zwischen den Sternen  $\gamma$  und  $\eta$  in Schwanz.  
Eine Schätterschätzung konnte ich auch  
nach 10 Minuten langer Wartzeit nicht  
wahrnehmen.

gem. mit: G. J. van Biegher,  
Hamburg-Weißingha bei Wien.

<sup>1)</sup> Harvard College Observatory Cam-  
bridge, Mass. 28.

# Astronomischer Kalender für den Monat September 1904.

Tag	Sonnen			Mond		
	Mittlere Berliner Mittag.			Mittlere Berliner Mittag.		
	Zeit M.E. — W.E.	Rektascension	Declination	Rektascension	Declination	Phasen im Norden.
1	— 6 44	10 58 43 50	+ 5 55 10 0	3 12 36 00	+43 2 0	4 1/2
2	— 6 39 50	10 58 40 50	5 55 10 0	4 2 34 50	44 10 0	5 1/2
3	— 6 36 00	10 57 55 00	5 56 15 0	4 15 37 10	47 10 0	6 1/2
4	— 6 32 50	10 56 30 40	5 57 5 0	5 12 27 40	50 10 0	7 1/2
5	— 6 27 00	10 54 35 50	5 58 30 0	6 10 3 00	51 4 0	8 1/2
6	— 6 22 00	10 52 00 00	5 59 30 0	7 10 35 40	50 40 0	9 1/2
7	— 6 17 00	11 5 30 40	5 59 15 0	8 10 34 00	47 10 0	10 1/2
8	— 6 12 00	11 8 3 10	5 58 40 0	9 10 4 00	41 4 0	11 1/2
9	— 6 07 00	11 9 35 00	5 58 7 0	10 10 30 40	34 40 0	12 1/2
10	— 6 02 00	11 12 33 00	5 57 50 0	11 10 42 40	27 0 0	13 1/2
11	— 5 57 00	11 15 40 10	5 58 30 0	12 12 37 00	— 5 30 0	14 1/2
12	— 5 52 00	11 19 00 40	5 59 45 0	13 15 35 00	4 30 0	15 1/2
13	— 5 47 00	11 22 3 00	5 60 40 0	14 19 30 00	10 00 0	16 1/2
14	— 5 42 00	11 25 30 00	5 60 45 0	15 22 33 00	14 30 0	17 1/2
15	— 5 37 00	11 28 31 00	5 60 40 0	16 25 34 00	18 0 0	18 1/2
16	— 5 32 00	11 31 30 00	5 60 30 0	17 28 30 00	20 10 0	19 1/2
17	— 5 27 00	11 34 30 00	5 60 15 0	18 30 30 00	21 10 0	20 1/2
18	— 5 22 00	11 37 30 00	5 60 0 0	19 32 30 00	21 40 0	21 1/2
19	— 5 17 00	11 40 30 00	5 59 45 0	20 34 30 00	21 30 0	22 1/2
20	— 5 12 00	11 43 30 00	5 59 30 0	21 36 30 00	20 40 0	23 1/2
21	— 5 07 00	11 46 30 00	5 59 15 0	22 38 30 00	19 0 0	24 1/2
22	— 5 02 00	11 49 30 00	5 59 0 0	23 40 30 00	16 40 0	25 1/2
23	— 4 57 00	11 52 30 00	5 58 45 0	24 42 30 00	14 0 0	26 1/2
24	— 4 52 00	11 55 30 00	5 58 30 0	25 44 30 00	10 40 0	27 1/2
25	— 4 47 00	11 58 30 00	5 58 15 0	26 46 30 00	7 0 0	28 1/2
26	— 4 42 00	12 1 30 00	5 58 0 0	27 48 30 00	2 40 0	29 1/2
27	— 4 37 00	12 4 30 00	5 57 45 0	28 50 30 00	— 1 0 0	30 1/2
28	— 4 32 00	12 7 30 00	5 57 30 0	29 52 30 00	— 3 40 0	31 1/2
29	— 4 27 00	12 10 30 00	5 57 15 0	30 54 30 00	— 6 40 0	32 1/2
30	— 4 22 00	12 13 30 00	5 57 0 0	31 56 30 00	— 9 40 0	33 1/2
31	— 4 17 00	12 16 30 00	5 56 45 0	32 58 30 00	— 12 40 0	34 1/2

## Planetenkonstellationen. 1904.

September 3	15 1/2	α Trieb in Scorpion, in Skorpion, mit dem Monde. Bedeckung.
„ 5	20	Merkur in γ, steht hell da.
„ 7	5	Mars in Konjunktion in Rektascension mit dem Monde.
„ 9	—	Kometendrama.
„ 10	0	Merkur in Konjunktion in Rektascension mit dem Monde.
„ 17	15	Venus in Konjunktion in Rektascension mit dem Monde.
„ 20	20	Merkur in weiterer Konjunktion mit der Sonne.
„ 21	23	Uranus in Opposition mit der Sonne.
„ 25	15	Saturn in Konjunktion in Rektascension mit dem Monde.
„ 26	5	Sonne im J. d. Waage. Perihelion.
„ 27	23	Venus in Konjunktion mit α Virgo, Venus 2 <sup>te</sup> 10 <sup>te</sup> stand.
„ 29	20	Merkur im nächsten Kometen.
„ 30	15	Jupiter in Konjunktion in Rektascension mit dem Monde.
„ 31	5	Mars in Konjunktion mit α Leo, Mars 2 <sup>te</sup> 10 <sup>te</sup> sichtbar.
„ 31	10	α Trieb in Skorpion, in Skorpion, mit dem Monde. Bedeckung.
„ 30	23	Merkur im Perihel.



# Stellungen der Jupitermonde im September 1904.

I.



III.



II.



IV.



Stellungen am 14. 10. 04 für den Anblick im astronomischen Fernrohr.

Tag	West	Ost
1	1 2 3 4	1 2 3 4
2	1 2 3 4	1 2 3 4
3	1 2 3 4	1 2 3 4
4	1 2 3 4	1 2 3 4
5	1 2 3 4	1 2 3 4
6	1 2 3 4	1 2 3 4
7	1 2 3 4	1 2 3 4
8	1 2 3 4	1 2 3 4
9	1 2 3 4	1 2 3 4
10	1 2 3 4	1 2 3 4
11	1 2 3 4	1 2 3 4
12	1 2 3 4	1 2 3 4
13	1 2 3 4	1 2 3 4
14	1 2 3 4	1 2 3 4
15	1 2 3 4	1 2 3 4
16	1 2 3 4	1 2 3 4
17	1 2 3 4	1 2 3 4
18	1 2 3 4	1 2 3 4
19	1 2 3 4	1 2 3 4
20	1 2 3 4	1 2 3 4
21	1 2 3 4	1 2 3 4
22	1 2 3 4	1 2 3 4
23	1 2 3 4	1 2 3 4
24	1 2 3 4	1 2 3 4
25	1 2 3 4	1 2 3 4
26	1 2 3 4	1 2 3 4
27	1 2 3 4	1 2 3 4
28	1 2 3 4	1 2 3 4
29	1 2 3 4	1 2 3 4
30	1 2 3 4	1 2 3 4

**Ercheinungen der Jupitermonde.** Die folgenden Angaben über die Erscheinungen der Jupitermonde beziehen sich auf mittlere Zeit von Göttingen. Die Triebzeiten und der Rückwärtsschlag dieses Merkmales vom Jupiter nach III bis IV bestimmt. Die von geübten Figuren zeigen die Stellung jedes Mondes mit Bezug auf den Jupiter für den Augenblick der Verfinsternung (I) oder des Wiedererschinsens (II). Ist I nicht angegeben, so kann der Ausfall aus dem letzten nicht bestimmt werden. Ferner befindet bei den nachfolgenden Zeitangaben:

- Er D des Verschwindens des Triebmales am Scheitel des Jupiter
- Er E des Ausfalls des Triebmales aus dem Schatten des Jovis
- Ge D des Verschwindens des Triebmales hinter der Jupitersehne
- Ge E des Wiedererschinsens desselben neben der Jupitersehne
- Tr I des Eintritts des Triebmales vor die Jupitersehne
- Tr E des Ausfalls des Triebmales aus der Jupitersehne
- St I des Eintritts des Triebmales zwischen auf die Jupitersehne
- St E des Ausfalls des Triebmales zwischen aus der Jupitersehne

Es sind nur diejenigen Erscheinungen der Jupitermonde aufgeführt, welche sich an einem vollen Jupiter zu Göttingen über und über dem Horizont nicht. Um die Mangel dieser Erscheinungen nach christlich-ägyptischer Zeit zu finden, hat man nur nötig, I<sup>a</sup> an den angegebenen Zeitpunkten zu addiren.

September 1, 1 St I 17<sup>h</sup> 14<sup>m</sup>, September 2, 1 Er D 17<sup>h</sup> 10<sup>m</sup> 20<sup>s</sup>, September 3, 1 St E 17<sup>h</sup> 12<sup>m</sup>, September 10, 10 Ge D 17<sup>h</sup> 10<sup>m</sup>, September 12, 1 St I 17<sup>h</sup> 10<sup>m</sup>, September 13, 1 Ge E 17<sup>h</sup> 10<sup>m</sup>, September 15, 10 Er D 17<sup>h</sup> 10<sup>m</sup> 21<sup>s</sup>, September 16, 1 St I, 17<sup>h</sup> 10<sup>m</sup>, September 20, 1 Er D 17<sup>h</sup> 10<sup>m</sup> 20<sup>s</sup>, September 21, 1 Tr E 17<sup>h</sup> 10<sup>m</sup>, September 24, 1 St E, 17<sup>h</sup> 10<sup>m</sup>, September 26, 1 Ge E, 17<sup>h</sup> 10<sup>m</sup>, September 28, 1 Tr I, 17<sup>h</sup> 10<sup>m</sup>.

### Stellungen der Saturnmonde. (Erklärung S. 24.)

Zeiten der mittleren Elongation im September 1894.

**Triebm.** September 3, 10<sup>h</sup> 17<sup>m</sup>; September 4, 10<sup>h</sup> 14<sup>m</sup>; September 6, 10<sup>h</sup> 12<sup>m</sup>; September 8, 10<sup>h</sup> 14<sup>m</sup>; September 10, 10<sup>h</sup> 14<sup>m</sup>; September 11, 10<sup>h</sup> 14<sup>m</sup>; September 12, 10<sup>h</sup> 14<sup>m</sup>; September 13, 10<sup>h</sup> 14<sup>m</sup>; September 14, 10<sup>h</sup> 14<sup>m</sup>; September 15, 10<sup>h</sup> 14<sup>m</sup>; September 16, 10<sup>h</sup> 14<sup>m</sup>; September 17, 10<sup>h</sup> 14<sup>m</sup>; September 18, 10<sup>h</sup> 14<sup>m</sup>; September 19, 10<sup>h</sup> 14<sup>m</sup>; September 20, 10<sup>h</sup> 14<sup>m</sup>; September 21, 10<sup>h</sup> 14<sup>m</sup>; September 22, 10<sup>h</sup> 14<sup>m</sup>; September 23, 10<sup>h</sup> 14<sup>m</sup>; September 24, 10<sup>h</sup> 14<sup>m</sup>; September 25, 10<sup>h</sup> 14<sup>m</sup>; September 26, 10<sup>h</sup> 14<sup>m</sup>; September 27, 10<sup>h</sup> 14<sup>m</sup>; September 28, 10<sup>h</sup> 14<sup>m</sup>.

**Stelle.** September 3, 10<sup>h</sup> 14<sup>m</sup>; September 4, 10<sup>h</sup> 14<sup>m</sup>; September 6, 10<sup>h</sup> 14<sup>m</sup>; September 12, 10<sup>h</sup> 14<sup>m</sup>; September 13, 10<sup>h</sup> 14<sup>m</sup>; September 14, 10<sup>h</sup> 14<sup>m</sup>; September 15, 10<sup>h</sup> 14<sup>m</sup>; September 16, 10<sup>h</sup> 14<sup>m</sup>; September 17, 10<sup>h</sup> 14<sup>m</sup>; September 18, 10<sup>h</sup> 14<sup>m</sup>; September 19, 10<sup>h</sup> 14<sup>m</sup>; September 20, 10<sup>h</sup> 14<sup>m</sup>; September 21, 10<sup>h</sup> 14<sup>m</sup>; September 22, 10<sup>h</sup> 14<sup>m</sup>; September 23, 10<sup>h</sup> 14<sup>m</sup>; September 24, 10<sup>h</sup> 14<sup>m</sup>; September 25, 10<sup>h</sup> 14<sup>m</sup>; September 26, 10<sup>h</sup> 14<sup>m</sup>; September 27, 10<sup>h</sup> 14<sup>m</sup>; September 28, 10<sup>h</sup> 14<sup>m</sup>.

**Moon.** September 3, 10<sup>h</sup> 14<sup>m</sup>; September 4, 10<sup>h</sup> 14<sup>m</sup>; September 12, 10<sup>h</sup> 14<sup>m</sup>; September 13, 10<sup>h</sup> 14<sup>m</sup>; September 14, 10<sup>h</sup> 14<sup>m</sup>; September 15, 10<sup>h</sup> 14<sup>m</sup>; September 16, 10<sup>h</sup> 14<sup>m</sup>; September 17, 10<sup>h</sup> 14<sup>m</sup>; September 18, 10<sup>h</sup> 14<sup>m</sup>; September 19, 10<sup>h</sup> 14<sup>m</sup>; September 20, 10<sup>h</sup> 14<sup>m</sup>; September 21, 10<sup>h</sup> 14<sup>m</sup>; September 22, 10<sup>h</sup> 14<sup>m</sup>; September 23, 10<sup>h</sup> 14<sup>m</sup>; September 24, 10<sup>h</sup> 14<sup>m</sup>; September 25, 10<sup>h</sup> 14<sup>m</sup>; September 26, 10<sup>h</sup> 14<sup>m</sup>; September 27, 10<sup>h</sup> 14<sup>m</sup>; September 28, 10<sup>h</sup> 14<sup>m</sup>.

**Titus.** September 3, 10<sup>h</sup> 14<sup>m</sup>; September 4, 10<sup>h</sup> 14<sup>m</sup>; September 12, 10<sup>h</sup> 14<sup>m</sup>; September 13, 10<sup>h</sup> 14<sup>m</sup>; September 14, 10<sup>h</sup> 14<sup>m</sup>; September 15, 10<sup>h</sup> 14<sup>m</sup>; September 16, 10<sup>h</sup> 14<sup>m</sup>; September 17, 10<sup>h</sup> 14<sup>m</sup>; September 18, 10<sup>h</sup> 14<sup>m</sup>; September 19, 10<sup>h</sup> 14<sup>m</sup>; September 20, 10<sup>h</sup> 14<sup>m</sup>; September 21, 10<sup>h</sup> 14<sup>m</sup>; September 22, 10<sup>h</sup> 14<sup>m</sup>; September 23, 10<sup>h</sup> 14<sup>m</sup>; September 24, 10<sup>h</sup> 14<sup>m</sup>; September 25, 10<sup>h</sup> 14<sup>m</sup>; September 26, 10<sup>h</sup> 14<sup>m</sup>; September 27, 10<sup>h</sup> 14<sup>m</sup>; September 28, 10<sup>h</sup> 14<sup>m</sup>.

**Regulus.** September 17, 10<sup>h</sup> 14<sup>m</sup>.

Nachstehende grössere und kleinere

## *astronomische Fernrohre*

sind sehr preiswürdig zu verkaufen. Befriedigten wollen sich wegen näherer Mittheilungen an mich wenden.

**Prof. Dr. Hermann J. Klein in Köln-Lindenthal.**

Fig. 1.  
March 15, 20° 30' Long. 161°



Fig. 4.  
April 2, 20° 45' Long. 159°



Fig. 2.  
May 12, 2° Long. 160°



Fig. 3.  
April 25, 20° Long. 159°



Fig. 5.  
April 2, 20° Long. 159°



Fig. 6.  
May 2, 20° 45' Long. 161°







# Carl Zeiss

Optische Werkestätte

## Jena.



Refraktoren  
des astronomischen  
Einkaufs

Komplett  
montierte  
Fernrohre  
für alle

Spezialaufnahmen  
für astrophotographische  
Zwecke.

Spiegelskope  
mit grossen Öffnungs-  
verhältnissen für Astro-  
photographie.

Brennweitenvergrösserung.

Einzel-

und beidseitige apochromatische Brennweitenvergrösserung  
ohne sekundäres Spektrum.

Kurzstreckenvergrösserung lichtstarke Objektive

mit grossen Öffnungsverhältnissen und

Objektive aus ultravioletttransparenten Gläsern  
zur Ultravioletphotographie.

Insbesondere

Objektivsysteme aus gewöhnlichen und ultravioletttrans-  
parenten Gläsern.

Spezialaufnahmen und Spektrographen.

Spektroskopische Aufnahmen

aus grossen Fernrohren.

Spezialaufnahmen zur Beobachtung und Photographie  
des Himmels und der Sterne.

Alle weiteren Einzelheiten sind in den



Herausgegeben unter Mitwirkung  
 hervorragender  
 Fachkünstler und astronomischer Schriftsteller  
 von  
**Prof. Dr. Hermann J. Klein in Elberfeld.**

*Verlag von G. Neumann, Neudamm.*

**9. Heft.**



Verlag von G. Neumann, Neudamm.  
 Leipzig, Neudamm 18

XXXVII. Jahrgang.  
1904.

5

Neuntes Heft.  
September.

5

## Inhalt des neunten Heftes.

	Seite
Zur Geschichte der Astronomie . . . . .	193
Die Expedition des Astrophysikalischen Observatoriums der Kaiserlichen- Instituten zur Beobachtung der totalen Sonnenfinsternis des 26. Mai 1903. (Mit Teilt X u. XI). . . . .	198
Das Meteor vom 22. Februar 1901 . . . . .	198
Die neue Gruppe der Meteoriten . . . . .	203
Die Tätigkeit des astrophysikalischen Observatoriums (Etaguetat) Heidel- berg im Jahre 1903 . . . . .	203
Theodor Breßlein . . . . .	208
Joséph Alphonse Perrotin . . . . .	208
Vermischte Nachrichten . . . . .	208
Eine neue Auflösung des Weltilters.	
Längenerleuchtung im Großen Ozean	
Die französische Gradmessung in Ecuador.	
Große astronomische Untersuchungen in Amerika.	
Hilfsplan der Hauptstädte der Russisch-Amerikanischen durch Bildung.	
Ein astronomischer Roman.	
Das Decidant der Königsberger Sternwarte.	
Astronomischer Kalender für den Monat November 1904 . . . . .	213
Stellungen der Jupitermonde im November 1904 . . . . .	215
Entscheidungen der Jupitermonde . . . . .	216
Stellungen der Saturnmonde . . . . .	218

LEIPZIG, Budyplan 26.

Edvard Heinrich Mayer,  
Verlagsbuchhandlung.

# SIRIUS.

Zeitschrift für populäre Astronomie.

Centralorgan für alle Freunde und Förderer der Himmelskunde.

Herausgegeben

unter Mitwirkung hervorragender Fachkollegen und wissenschaftlicher Schriftsteller

von Prof. Dr. Hermann J. Klein in Köln

September 1904.

„Wissen und Erleben“ und die Freunde und die  
Verbreitung der Wissenschaften.“ — Koenen.

Jeden Monat 1 Heft. — Jährlich 12 Mk.

Verlag von EDUARD REINSCHEID MAYER in Leipzig.

**INHALT:** Zur Geschichte der Ägyptologie. S. 155. — Die Expedition des Astronomischen Observatoriums der Smithsonian-Institution zur Beobachtung der totalen Sonnenfinsternis am 29. Mai 1905. S. 156. — Das Alter von 21. Februar 1904. S. 158. — Eine neue Gruppe der Meteoriten. S. 162. — Die Tätigkeit des astronomischen Observatoriums Klingensfeld-Heidelberg im Jahre 1903. S. 165. — Thiersch Einleitung. S. 168. — Joseph Altmann Perioda. S. 168. — Vermischte Nachrichten. S. 168. — Astronomische Kalender. S. 212. — Mitteilungen der Juchterwände im November 1904. S. 215. — Erhebungen der Juchterwände im November 1904. S. 218. — Mitteilungen der Juchterwände im November 1904. S. 219.

## Zur Geschichte der Ägyptologie.

In der illustrierten Strang zur Feier des Leibnizschen Gedächtnistages am 14. Juni hielt in der Preussischen Akademie der Wissenschaften Professor Dörfler die Festrede und verbreitete sich dabei auch über die Geschichte der Ägyptologie. „Menschheit entwickelte der berühmte Gelehrte, wie die Verknüpfung des menschlichen Denkens mit dem Himmel und seine Services unter jener Ungründlichkeit der Menschheit ist, der unauferbar für eingepflügt erscheint und überall aufsteht, wo auch die Kultur zum Erforschen des Übernatürlichen erteilt und die ersten wissenschaftlichen Versuche aussteht.“

„Wir umspannen jetzt“, sagt Prof. Dörfler, „ein geachteter historischer Kom-

plexität die Geschichte von fünf Jahrtausenden und verweisen darauf eine ebenso große, nur schattenweise abschätzbare Periode menschlicher Kultur. In Ägypten reicht die Einführung der an den Sonnenlauf gebundenen Sonnenjahres wahrscheinlich tausend Jahre vor den Griechen um 1000 v. Chr. darüber hinaus unter Kämpf, und diese astronomische Tat einen Rang und ganz gewiß eine wissenschaftliche Kultur von Jahrtausenden voraus. Ebenso liegen wir in des altägyptischen Ausgrabungen zu Nippur eine unermessliche bis ins dritte Jahrtausend v. Chr. zurückgehende Pausenbibliothek, denn nur zum kleinsten Teile bekannt gewordenen Texten u. a. detaillierte Menschbeschreibungen enthalten. Die Sonnenbeobachtung und Standortung der

„Sprecherin d. Königl. Preussischen Akademie 14. Juni 1904. XXXIV.“

Seiten 155. Heft 9

15

Babylonier ist mit ihrer Religion auf das engste verbunden, und da die Grundlagen dieser altbabylonischen Wissenschaft von Sprache und Schrift abweichen, auf der viel ältern, dort anstehende vornehmliche Kultur zurückgeht, deren erste Anfänge wohl hinter dieser Epoche liegen müssen, und da auch die altbabylonische Astronomie in ihren Beobachtungen bis zum Jahr 2007 v. Chr. reicht und natürlich ebenfalls eine gewisse Periode der Vorbildung voraussetzt, so blicken wir wie durch einen Spalt in eine erste Schicht uralter Wissenschaft hinaus, die uns mindestens bis zum vierten und fünften Jahrtausend zurückführt.

Viel später als die Bewohner Ägyptens und Mesopotamiens sind unsere Vorfahren, die Indogermanen, wo sie nun auch ursprünglich gewesen haben mögen, so es in Zentralasien oder in Deutschland, zur Kultur und zur Wissenschaft gelangt. Und doch beginnt auch hier der Anfang höherer Berechnung mit dem Zählen und Messen der Gestirne. Der griechische urale Name des Mondes ist der „Menois“.

Der Glaube freilich an einen mythischen Zusammenhang zwischen den Gestirnen und den Menschen, den die religiöse Auffassung des Orkris hoch ausgebildet und mit der Fortschritten des exakten Fortschritts immer raffinierter ausgebildet hatte, steht bei der Begegnung mit der indogermanischen Wissenschaft des Abendlandes auf Widerstand.

Die ersten Vertreter dieser abend- ländischen Wissenschaft, die von der Physik der sechsten vorchristlichen Jahrhunderte, wählten von Sternkunde und Sternrechnung nichts wußten. Dies begreift sich nicht eben bloß aus dem Bruchfallismus jener ersten Philosophen, die an ein physikalisches System ohne schillernden Hintergrund ansetzen zu wagen, nicht bloß aus dem christlichen bereits rationalistischen Denken des späteren Volkes, wie es aus der homeri- schen Dichtung erhellt, sondern noch mehr gerade aus dem tiefsten Grunde

indogermanischer Religion, die wohl ihre Götter im geheimen Weben der Wilder, im Rauschen der Quellen, im Lachen, Donnern und Röhren des Himmels sehen zu erkennen und tren- nen zu verstehen weiß, aber nicht wagt, wie die babylonische Religion, den Lauf des Himmels und der Sonne in ein Rechen- exemplar zu fassen und das Fahren der Gestirne durch das Horoskop zu erforschen. Daher ist der Menschheit in Griechenland unbekannt und der von einerseits Menschheit wohl niemals ursprüng- lich gewesen die Sternrechnung hat ihren Ursprung in Griechenland erst gefunden, als das erste Griechentum ausgerollt war.

Geboren in dem sonnendurch- glänzten, sternklaren Himmels des Zwei- stromlandes hat die chaldäische Wissen- schaft von Alexander an, gleichsam als Vergeltung für die Eroberung des Orients durch die Griechen, auf das Abendland ihren historischen Einfluß ausgeübt. Die Propaganda schlich im stillen, die Literatur vertrat sich. Troad- den haben die ersten Fundamente übernehmend mehrschichtig Material aus den Winkeln der Bibliotheken hervor- gezogen und glänzender Schatzkammern hervorragender Forscher hat die Entwick- lung dieser Pseudowissenschaft auf griechischem Boden zu erhalten be- gonnen. Man sieht, wie eine mythisch- geistige Literatur dann vom zweiten vorchristlichen Jahrhundert an aus Ägypten auch mit großer Schnelligkeit über den ganzen griechisch-römischen Bildungskreis weiterzueinander flug- hafter verbreitet und die unauslöschliche- platte und uralte geistige Menschheit mit den Banden eines gewissen Fatalismus umwickelt. Zahllos ebenso goldglänzende wie leuchtende Adämen der chaldäisch-ägyptischen Lehre durch- ziehen die Länder und Japan mit ihrem Horoskop der Bevölkerung Schrecken ein. Kaiser wie Bürger verließen unerb- licher aus dem ersten Jahrhundert unserer Zeitrechnung dem ewigen Gestirns- glauben. Ein nicht unbegabter Dichter

steht seine Lehr- dem Abgesandten zur Verfügung und verliest ihm ein lateinisches Gedicht dem Kaiser Theodor, der selbst der Lehre zugewandt war.

In diesem Gedichte des sogenannten Mandes sieht sich die gesamte Humanität als Lebewesen durchströmt. „Wachstums des Menschen“, heißt es, „die Welt erkennen, wenn nicht in ihrem Willen die Welt wohnt.“ So ist also Kraft dieser Wesenverwandtschaft der Irdischen und Himmlischen Natur die Schöpfung des Universals an die Gestirne geknüpft. Die Konstellation der Planeten bestimmt die Geburtstunde, und wer jene kennt, der kennt die Zukunft.

In der obigen Beschreibung hat sich von Christi Geburt an diese Lehre von den Planeten und dem so regierenden Göttern so unmittelbar und unmittelbar nachgelesen, daß sich im Laufe des ersten Jahrhunderts die Zählung der Tage nach den sieben Planetengöttern durchsetzte und sogar in dem geschichtlichen Marktwort der Aufnahme fand. Die Reihenfolge dieser Tagesgötter Saturnus, Sol, Luna, Mercurius, Jupiter und Venus ist nicht die in der wissenschaftlichen Astronomie übliche Ordnung der Planeten, sondern die jener astrologischen Psalmschreiber. Daher also muß diese Zählung stammen, die bei uns auf den heutigen Tag in allen Ländern Europas üblich ist. Das Bösen der Kirchenväter und der Papste konnte gegen diese christliche Abgibt nicht mehr ansetzen. Bis uns heute selbst der heilige Tag der Woche, der dem Herrn geweiht sein sollte, stieg heidnisch nach dem Sonnengott. Deutschland hat diese Benennung der Wochentage vermutlich um das Jahr 100 von Oberriem her aus dem römischen Reich erhalten und als diese Angenommen.

Um an dem der Orient. Obgleich dort die Wurzel der Astrologie kommt, obgleich gerade dort sich der Hauptatz der christlichen Wahrheit ereignet, gelang es doch dem Christentum und den

starren Angriffen der Apostel gegen diese emporgelassene Planetenrechnung verlor sich aufrecht und in den christlichen Kreisen des Orients und Griechenland den Grund der heidnischen Wochentage auszutreiben.

Der höchste Punkt spielt in jener Zeit die Wissenschaft. Vielleicht ist es richtig, diesen letzten Namen für unterhalb tausend Jahre seit Christi Geburt ganz zuzuschreiben, da während dieser Zeit kein selbständiger, fortwährender wissenschaftlicher Gedanke auf griechisch-römischem Gebiet genügt wird. Aber dergleichen, der nach der allgemeinen Schätzung noch am meisten Anspruch erheben könnte, als Vertreter der Wissenschaft in römischer Zeit betrachtet zu werden, Claudius Ptolemäus, dieser Mann war Astrolog. Mit diesem Schwere müssen wir rechnen (die weitere Forschung läßt darüber keinen Zweifel), daß der herrschende Vorherr der Astrologie zugleich auch die Teilhabende vertritt, das Grundbuch der astrologischen Abweichung, in dem die Geschichte der Völker wie der einzelnen an die Berechnung der Gestirne angeknüpft und die Wahrheit und Nützlichkeit dieser Tagwissenschaft gelebt und bereits verlegt wird.

So hat der christliche Irrtum die Nation umgeben und nach anderthalb Jahrhunderten die Menschheit genarrt und gequält. —

Im Orient, in Persien, Indien und China sieht die Astrologie nach heute in hohem Ansehen, und wichtig kann nicht wundernehmen. Aber hauptsächlich für unsere Zeit ist, daß auch bei uns von wunderbaren Seiten der Versuch gemacht wird, den alten Abglauben, der menschlichen Geschichte mit den Stellungen der Gestirne in Beziehung bringt, wieder zu erwecken und in der Volkserziehung einseitigen Nutzwert als die primäre Ausdeutung dieses Abglaubens dabei die Hauptfache oder vielmehr der einzige Zweck.

# Die Expedition des Astrophysikalischen Observatoriums der Smithsonian-Institution zur Beobachtung der totalen Sonnenfinsternis des 28. Mai 1900.

(Hierzu 2 Tafeln.)

**Die Zone der Sichtbarkeit** dieser Sonnenfinsternis war von Washington aus sehr leicht zu erreichen, und infolgedessen trübten erwünschenswert, den Vorgang durch Entstehung einer Expedition unter dem Astrophysikalischen Observatorium der Smithsonian Institution zu beobachten. Der Kongreß bewilligte dafür eine Summe von 4000 Dollars und die Expedition wurde einer Leitung des Direktors des Observatoriums, Prof. S. B. Langley, anvertraut. Ihm standen vom Personal des Observatoriums zur Seite die Herren C. G. Abbott, F. E. Fowle jr. und A. Krueser. Das Wetter-Bureau der Vereinigten Staaten lieferte für die Gegend, in welcher die Expedition stationieren sollte, gütige Prognosen, die im grossen auch bestätigten. Als Station wurde ein Punkt in der Nähe von Washington in  $34^{\circ} 57' 52''$  n. Br. und  $74^{\circ} 20' 12''$  westl. L. gewählt. Die Aufgabe der Expedition bestand darin: 1. die innere Struktur der inneren Korona photographisch aufzunehmen und zu beschreiben; 2. die äußere Korona und streifen Objekt in der Nähe der Sonne zu photographieren; 3. die Wärmestrahlung der inneren Korona zu messen und, wenn möglich, mittels des Bolometers die Energieverteilung im Spektrum desselben festzustellen; 4. die sogenannte Flach-Spektren zu photographieren; 5. die Zonen der Berührungen der Sonne- und Mondrande genau zu beschreiben.

Die Wichtigkeit der sehr merkwürdigen Struktur des inneren Teils der Korona, welche Prof. Langley und andere gelegentlich der Finsternis von 1878 nachsah, ließ es wahrscheinlich erscheinen, während der Totalität von 1900 eine genaue Darstellung der inneren

Korona zu erhalten. Selbstverständlich war solchen nur durch photographische Aufnahmen zu erreichen und um möglichst große Bilder zu erlangen, mußte ein photographisches Fernrohr mit sehr langer Brennweite zur Anwendung kommen. Prof. E. Pickering vom Harvard-College-Observatorium stellte zu diesem Zwecke der Expedition ein Objektivglas von 12 Zoll Durchmesser und 135 Fuß Brennweite bereit, das erforderlichen Nebensparten zur Verfügung und neben diesem gedankigen Instrumente konnte noch eine von Prof. Young hergestellte Linse von 5 Zoll Durchmesser und 34 Fuß Brennweite verwendet werden. Zum Zwecke der Beobachtungen mit bloßem Auge diente ein 5-zölliges und mehrere kleinere Teleskope, zur photographischen Aufnahme der äußeren Korona verwendete Kamera mit Linsen von kurzen Brennweiten, die zu möglichst lang dauernden Aufnahmen Verwendung finden sollten, um die inneren Grenzen der Korona nach den vorläufigen Untersuchungen über die Wärmestrahlung der Korona mittels des Bolometers feststellen. Natürlich die Hauptaufgabe für Prof. Langley. Zur Nachforschung nach einem streifen interstellaren Planeten diente der von Prof. E. Pickering angegebene photographische Apparat, der aus mehreren Kameras besteht, deren Achsen so gegenübergestellt sind, daß sie zusammen eine Fläche des Himmels einnehmen, die sich östlich und westlich bis zu  $5^{\circ}$  und nördlich und südlich bis zu  $5^{\circ}$  vom Mittelpunkte der Sonne erstreckt.

Der 25. Mai war meteorologisch den Beobachtungen sehr günstig, wolkenlos blaute der Himmel über der Station und alle projectierten Beobachtungen konnten ausgeführt werden.

Wissenschaftliche Dankbarkeit während d



der Totalität anbelangt, so wurde sie ungenügend gleichmäßig geschützt, die in einer Mächtig Vollmondnacht herrscht, indessen konnten von Planeten und Sternen nur wenige der hellsten gesehen werden. Die äquatoriale Ausdehnung der Korona in jeder Seite der Sonne wurde von den Beobachtern mit bloßem Auge auf 2 bis 5 Monddurchmesser geschätzt. Die auffallendsten Merkmale bildete die Farbe des äußeren Koronalichtes apfelgrün, und sie erstreckte sich bis zu einem halben Sonnen-durchmesser gegen den Rand hin, von wo an die Färbung mehr gelblich war, während die innere Korona bläulichfarbig erschien. Die teleskopischen Beobachtungen lieferten nur große Menge Detail in der Korona erkennen, doch erschien dasselbe weniger scharf und bestimmt als bei der Finsternis von 1870, welche Prof. Langley auf Polar Peak beobachtete. Große Probierversuche waren wichtiger und sie schienen im Zusammenhang mit Regionen der Korona zu stehen, die ein ganzes Aussehen zeigten. Eine äquatoriale Koronastreife konnte auf der Photographie bei der Entfernung von 4 Sonnendurchmessern verfolgt werden, und in dieser Entfernung wurden sie offenbar nur wegen Lichtschwäche unsichtbar, letzteres aber zeigte sie doch ein bestimmtes Ende der Ausdehnung. Die Koronastreifen in den Folgebildern der Sonne waren ungenügend und vielfach in derselben Weise in Kurven gestrichelt wie die bekannten Kränze von Magneten. Mit den Kamera von langer Brennweite wurden Photographien mit zahlreichen Details erhalten, die zum Vergleich mit den Aufnahmen rückfälliger Finsternisse von bloßem Auge und besonders die Linie von DS. Peak Brennpunkt etwas sich für die Finsternis-Photographie äußerst wertvoll.

Die Bellweder-Beobachtungen zeigten die Wärmewirkung der inneren Korona-Strahlung, doch war dieselbe unerwartet schwach. Die Ergebnisse deuten eine verhältnismäßige Schwäche des

inneren Teiles des Koronaplexus an, was vereinbar ist mit der Hypothese, daß die Strahlung eine folgerichtig Temperatur ist oder hauptsächlich aus reflektiertem Sonnenlicht besteht. Dies, zusammen mit dem Aussehen der Korona, scheint die Hypothese zu begünstigen, welche die Hauptquelle dieser Strahlung in einer Art elektrischer Entladung erblickt. Die wellenlängige Polarisation des Lichts der hellsten Teile der Korona und des Vorhandenseins einer dunkleren Linie im Spektrum desselben, welche James vor Jahren entdeckte, und die durch Percivalles Photographien der Finsternis von 1891 bestätigt wurden, beweisen, daß ein kleiner Teil der Koronastrahlung durch reflektiertes Licht der Sonnenphotosphäre zustande kommt. Indessen lehnen die photographischen Aufnahmen des Koronaplexus durch Campbell (1890) und Ferris (1890), daß die Hauptmasse des Lichts der Korona überwiegend reflektiertes Sonnenlicht ist. Manche neigen zu der Annahme, die Hauptquelle des Lichts der Korona sei in glühenden Partikeln zu suchen, die sich nahe der glühenden Sonnenphotosphäre befinden, indessen ist Prof. Langley überzeugt, daß der spektralanalytische Befund gleich gut auch mit der Annahme elektrischer Entladungen übereinstimmt.

Die Nachforschung nach intermedialen Planeten ergab die Unwahrscheinlichkeit der Existenz von solchen, die heller als 5. Größe erscheinen, doch könnte man sich schwachen vorstellen. Auf einer Platte finden sich verschiedene Andeutungen solcher Objekte, da aber kein Duplikat zur Verfügung vorhanden ist, so muß es unentschieden bleiben, ob es sich um Planetenlarven handelt oder um wirkliche Objekte. Bei künftigen Finsternissen wird man mit geeigneten Apparaten wahrscheinlich Sterne bis zur 6. Größe photographieren können.

Von den zahlreichen und geschätzten Teilen, welche die Publikation

des Astrophysik. Obs. der Smithsonian-Institution bringt, mögen hier zwei reproduziert werden. Die eine (Tafel X) gibt das allgemeine Aussehen der Krone wieder, gemäß der Aufnahme mit der Kamera von 11 Fuß Brennweite bei 22 Sekunden Exposition. Die

andere (Tafel XI) zeigt einen Teil der inneren Krone zwischen den Positionswinkeln von 220 und 278° des Sonnenrandes nach der Aufnahme mit der Kamera von 135 Fuß Focus und 8 Sekunden Exposition.

## Das Meteor vom 27. Februar 1901.

**E**iner dieses Meteor bei Prof. C. von Neßl in Erlau eine eingehende Untersuchung anvertraut<sup>1)</sup>, der wir das Nachstehende entnehmen.

Dieses am 17. 10.5<sup>m</sup> aufsteigende Wiener Zeit beobachtete Feuerball, welcher nicht zu den größten Erscheinungen dieser Art gehörte, wurde doch merkwürdig in Kraus und Kraters, außerdem auch in Schmelze und Gekorn, dann ebenso in Salzberg wie in Badepst und selbst weiter östlich wahrgenommen. Der letzte Teil der sichtbaren Bahn ging über schwach bewolkte Regionen der Zentralalpen, und es ist daher wenig auffallend, daß verlässliche Berichte über Beobachtungen nicht vorliegen.

Die Bestimmung der Beobachtungen, von welchen 17 zur Bestimmung der Lage des Endpunktes der Bahn und 22 zur Ermittlung des Richtens herangezogen werden konnten, erfolgte auf demselben Wege, der von Prof. Neßl in früheren Fällen eingeschlagen wurde. Bei der Abschätzung der Geschwindigkeit, für welche 26 Druckangaben benutzt wurden, kamen auch Daten, welche die Beurteilung der von den Beobachtungspunkten auf die oberste Höhe übertragene Größen wesentlich erleichtern.

Zur Bestimmung der geographischen Koordinaten des Höhenangipunktes erweisen sich die Angaben aus 17 Beobachtungspunkten geeignet.

Es ergab sich dafür:

$31^{\circ} 25.7' \pm 26'$  lat. L. v. F. und  
 $47^{\circ} 14.0' \pm 2.4'$  westl. L.

Der mittlere Fehler beträgt im Parallel  $\pm 3.6$  km und im Meridian  $\pm 4.3$  km, im ganzen also  $\pm 5.6$  km.

Dieser Punkt liegt im südöstlichen Teile der Niederen Tauern, südwestlich nahe am Hochgöhring, nämlich genau über dem „Hochsee“ auf der Westseite des nach Tarnow hinüberführenden sehr steilen Gletschles, 5 km NNW von Huter-Gurach, dem nächsten Weiler, und 14 km NNW von Tarnow im Lengen an der Mur.

Zur Bestimmung der Höhe der Höheung über dem vorhin angegebenen Punkte lagen aus Wien für die schwebende Höhe nur Messungsergebnisse vor, sonst aber leider nur wenige Höhenbeobachtungen.

Die Wiener schwebende Höhen, welche in Vorarlberg-Kraus-Badepst bei 4063 km Entfernung  $31^{\circ}$  und Wien bei 2270 km Entfernung  $79^{\circ}$  — unterliegen bereits merklich dem Einfluß der Strahlenbrechung, welcher dann, wegen der großen Distanzen, nicht vernachlässigt auf die innere Höhe übergeht. Daher wurde an diese Größen der mittlere Betrag der (astronomischen) Refraktion angebracht.

Als Schlußresultat ergibt sich aus zehn Beobachtungsgleichungen die Höhe des Höhenangipunktes zu  $31.7$  km  $\pm 2.9$  km über der Erdoberfläche.

Für die Lage des schwebenden Richtangipunktes am Himmel wurde durch Rechnung gefunden:

<sup>1)</sup> Zusammenfassende die hiesige Acad. der Wissenschaften in Wien. Mittheilungen, Bd. CXII, Abtheilung II, Nr. 190.

Rektaszension  $\alpha = 187^{\circ} 2' \pm 23''$

Nördl. Deklination  $\delta = 23^{\circ} 6' \pm 1.6''$

Dieser Punkt liegt an der Grenze der Sternbilder des Großen und Kleinen Löwen sowohl im Lichte mikros.

Die Orientierung der Bahn des Meteor gegen die Erde ergibt sich aus dem, daß der oben erwähnte schönste Punkt am Endpunkte der Bahn zur Fallzeit in  $165.3^{\circ}$  Azimut und  $26.2^{\circ}$  Höhe gelegen war. Das Meteor lag daher die Bewegungsrichtung in der Tat sehr nahe von Osten her, wie dies in sehr vielen Beobachtungen angenommen wurde. Zur näheren Bestimmung der exakten Richtrichtung ist erwähnt, daß es wenig südlich an Budapest vorbeiging, nämlich über Tölgny. Sichtbar war jedoch das Meteor, als es sich noch über ungarnischem Gebiete befand, an keinem bekannt gewordenen Beobachtungsort, sondern erst, da es die Grenzen der Steiermark ormai Ostendorf gekreuzt hatte. Es zog dann über die Gegend etwas südlich von Berchid und auch südlich nahe an Munkács, 11 km südlich von Bruck a. M., ferner über Leasing bei Krassóth im Munkács, nördlich an Sekusa vorbei, das Pöböl bei Mörböruck kreuzend, über den Zelen westlich von Ober-Zöring, dann über die Kamm der Silber Alpen, insbesondere über den Kautenberg und Freigraubühl, südlich am Hochgölling vorbei zum Hochbühl.

Der Mittelwert der geschätzten Dauer der Sichtbarkeit des Meteors ist 3.11 s, das Mittel aus 14 nachweisbaren Bahnlangen beträgt 137.6 km. Damit würde man eine mittlere Geschwindigkeit von 34.7 km erhalten. Prof. v. Neill hat diesen Resultat mit heltem Gewicht im Vergleichs gegen ein anderweitig erhaltenes in Rechnung gebracht, woraus sich ein Schlußmittel von 36.9 km für die grobenrichtige Geschwindigkeit ergibt. Eigentlich kann man wohl sagen, daß nach den vorliegenden sicheren Beobachtungen dieser Wert mehr die untere Grenzschranke wahrscheinlichsten Geschwindigkeit darstellt.

Hinsichtlich des Aussehens und der Größe der Feuerkugel, der Farbe und Intensität des Lichtes finden sich Angaben, aus welchen hervorgeht, daß die im Anfang des Charakters einer gewöhnlichen Sternschnappe laute, welche sich, wie z. B. ein Beobachter in Wien berichte, während des Falles in wunderbarer Weise bis zu intensivem Glanze vergrößerte. Ähnlich meldete ein Beobachter in Pörm, daß das Meteor zuerst „als Sternschnappe mit gewöhnlichem Lichte“ auftauchte. Es scheint allerdings demnach weder festzustellen, daß es sich dabei keineswegs um Verschleichenheiten der schließlichen Größe, hervorgerufen durch die angelegenen Entfernungen, handeln kann, sondern vielmehr um rechte Verkleinerungen. Als der Beobachter in Wien das Meteor als Sternschnappe zuerst erblickte, war es — mit Berücksichtigung der Höhe — geradezu von seinem Auge rund 168 km entfernt. Diese Entfernung vergrößerte sich im ganzen weiteren Verlaufe der Bewegung bis zu 218 km am Schlusse, während aber dabei die Feuerkugel bedeutend anwuchs. Das kann nicht anders erklärt werden, als daß beim Herabsteigen in die tiefere Region des im Verlaufe der Bewegung eine tatsächliche Vergrößerung der Lichtquelle stattgefunden hatte.

Über die Größe des Meteors in der weiter vorgeschrittenen Phase finden sich nur wenige besondere Angaben. Zweimal ist von einem ausgeprägten „Klumpen“ oder „Fenster“ der Rede, es wird als „fast röhrenförmig“ und als „etwas länglich“, in Wien wohl recht zutreffend als „großer Tropfen“ bezeichnet.

Werden die angegebenen schätzbaren Größen mit die Entfernungen des Endpunktes bezogen, was in diesem Falle sehr nahe schließend aus wird, so erhält man für den wahre Durchmesser der leuchtenden Kugel:

aus Kuppenfurt . . . . .	200 m,
„ Wien . . . . .	367 „
„ Urfahr . . . . .	309 „

daher im Mittel rund 200 m, d. h. viel weniger als gewöhnlich. Man hat es hier also mit einer kleinen Feuerkugel zu tun.

Das Meteor zog nach wie gewöhnlich einen ungeladen kugelförmigen Schweif und einen längeren Strahlen nach sich. Beide wurden in den einzelnen Beobachtungen niemals nicht unterschieden, doch läßt sich wohl erkennen, daß es sich um zweiierlei handelt, nämlich um den mit der Feuerkugel weiterreichenden Schweif und um den durch die zurückgebliebenen Enden der Spur weiterreichender Schweif, selbstverständlich brechenenden Strahlen. Die schreibbare Länge des letzteren wurde in Wien zu etwa 1 bis 1½" geschätzt, entsprechend einer wirklichen Länge von 4 bis 6 km.

Wies in Wien von einem „langen Schweif“ die Rede ist, der in Ober-Gargitz auf ein Viertel der dort angegebene 41" langen schwarzen Bahn eingeschätzt wurde, was mindestens 40 km geben würde, so ist damit wohl der erwähnte Strahlen gemeint, welcher durch 4 bis 10" nachschreibend sichtbar blieb.

Die Lichtstärke war zwar eine bedeutende, aber dem geringeren Durchmesser entsprechend nicht so groß als im vielen ähnlichen Fällen. So kommt z. B. die sonst so bläuliche Charakteristik „bläuliche Beschattung“ oder dergleichen, gar nicht vor. Die weitestgehenden unter den vorliegenden Helligkeitsbeobachtungen sind „angesehen das Mondes schattigwachtend“ und „Lichtstärke etwa gleich der des am Himmel stehenden Halbmonds.“ In Konstantinopel heißt es: „erhellte die ganze Gegend.“ Daß an vielen Orten die Helligkeit auf das Decke der Vorur oder selbst nur des Strus geschätzt wurde, vermindert noch die vorstehenden Klare-Bildungen.

Hinsichtlich der Farbe des Lichtes gibt diesmal die Beschreibung „grün-oberen, da unter 50 vorkommenden Angaben 15 dahin lauten. Dem zunächst kommt die Schätzung „bläulich oder

hellblau, oben blau etc.“ mit fünfmal. Beide versteht die obenmal vorkommende Beschreibung „grünbläulich“ oder „bläulichgrün“. Das Äußerste weiß findet sich schonmal und gelblichweiß nur zweimal. In zwei Bereichen wird ausdrücklich der Kern „bläulich“, die Schärfe (wohl der Rand?) als gelblich bezeichnet. Der Farbenwechsel gegen das Ende der Bewegung zu, also kurz vor der Hemmung, ist mehrfach hervorgehoben, z. B.: „endet mit spärlichem Bläulich“, „unmittelbar vor dem Ende leuchtend“, „Ausgang vor dem Verschwinden rot“, „dann rötlich“. Der Schweif wird, sowie auch der Strahlen, als rot in verschiedenen Abteilungen — selbst als bläulich — öftlich und auch gelb bezeichnet. Mehrfach ist der Ausdruck „Feuer-schweif“ gemacht. Ob dabei nur die offensichtliche Analogie mit der Bahn im Spiel kommt oder ob die Beobachter wirklich einanderbeobachtend/bedende Teilchen im Schweif gesehen haben, mag dahingestellt sein. Unmöglich ist auch letzteres nicht.

Über die Auflösung der Feuerkugel gibt der Bericht aus Freistadt folgendes an: „Unmittelbar vor dem Ende ging die grüne Farbe in eine leuchtende über und die Feuerkugel plötzl, indem sie aus Mangel kleiner oder Teilchen etwa auf dem Vollmondbreite auseinander, wobei diese sowie der größere Hauptteil erloschen.“ Es würde dem einer schließlichen Ausdeutung der Weiterzähl auf einen Raum von ungefähr 1½ km Durchmesser entsprechen. Diese Zerküftung kann wohl nicht durch eine momentane Explosion erfolgt sein, sondern es war schon beim Eintritt in die Atmosphäre qualitative vorhanden und wurde beim Durchgang durch denselben, namentlich aber gegen das Ende hin, beständig vergrößert.

Ein Beobachter in Wies spricht auch von einer momentanen „Explosion“ in der Hälfte der Bahn, was an der bestehenden Stelle zu finden ist.

Nachrichten über Schallwahrnehmungen sind nicht eingeleitet, was wohl

zuführend ist wegen der schwachen Beschleunigung der Umgebung des Endpunktes, welcher ziemlich weit entfernt von unmittelbarer Beobachtungsgrenze gelegen war. Im übrigen gleichen die geschätzten Vorgänge denjenigen, welche bei nachgewiesenen Meteoritenfallen optisch wahrnehmbar sind, und es ist daher nicht unwahrscheinlich, daß Fallstriche (welche ihre Leuchtkraft gegen verloren hatten) wirklich auf die Erdoberfläche gelangt sind.

Kometische Verhältnisse. Wird der schätzliche mittlere Wert 36,9 km für die beobachtete geozentrische Geschwindigkeit angenommen, so ergibt sich, daß durch die Störung von 1,6 km als Wirkung der Beschleunigung auf der meteorischen Masse entsteht ist, und die Marsve Geschwindigkeitsrelative Geschwindigkeit beträgt noch 37,5 km oder 1,25, wenn die Geschwindigkeit der Erde als Einheit genommen wird. Durch dieselbe Störung ändern sich der Radius des Zells um  $14^\circ$  nördl. und die von der Erdoberfläche betreten Koordinaten desselben sind dann

$$\alpha = 132,9^\circ, \delta = +25,3^\circ$$

oder, bezogen auf die Ekliptik,

$$\lambda = 151,3^\circ, \beta = +12,1^\circ$$

Die Sonnenlänge betrug zur Zeit 168,9°. Es ergibt sich ferner die heliozentrische Geschwindigkeit zu 1694 oder 56,4 km und die wahre Lage des Radianten zu  $\lambda = 114,5^\circ, \beta = 8,9^\circ$ . Die Länge des zukünftigen Bahnkreises ist jener der Sonne gleich, die Neigung der Bahn gegen die Ekliptik wird  $32,7^\circ$ , die Bewegung durch die angenommenen Geschwindigkeiten bestimmt das Charakter der Bahn als Hyperbel mit der Halbachse  $-1,15$ . Die der Asymptote dieser Hyperbel ist gegen den Punkt des Harnschs in  $100,8^\circ$  Länge und  $10,6^\circ$  nördl. Br. gerichtet, weshalb der kometische heliozentrische Ausgangspunkt unter den vorstehenden Annahmen bestimmt erscheint. Man darf jedoch nicht vergessen, daß diese letzten Resultate sehr bedeutend durch die Ergebnisse der Geschwindigkeitsbestimmung

bestimmt sind und muß für Schlussfolgerungen in dieser Beziehung auch noch weitergehende Hypothesen in Betracht ziehen. Nimmt man für die heliozentrische Geschwindigkeit in diesem Knoten den etwas größeren, aber gar nicht unwahrscheinlichen Wert  $v = 2$  oder rund 16,5 km, so wird die Halbachse  $-85$  und der kometische Ausgangspunkt nach  $114,2^\circ$  Länge und  $11,8^\circ$  nördl. Br. verlagert. Dagegen ergibt sich dieser in  $53^\circ$  Länge und  $9^\circ$  nördl. Br., wenn man mit der Voraussetzung bei auf die perihelische Geschwindigkeit oder 42 km heliozentrisch beruht. Wie groß auch der Bereich nach derbesten Spektrum zu sein scheint, so kann man doch sagen, daß es sich bei diesen Radiationspunkte jedenfalls um Glieder eines Stroms handelt, dessen Bewegung ungefähr im selben Sinne wie die des Sonnensystems erfolgt, wenn man für den Zeitpunkt des Auftretens die nicht ganz übereinstimmend abgeleiteten Regionen im Herkules gelten läßt.

Die heliozentrische Eintrittsgeschwindigkeit in das Sonnensystem wäre für die vorher abgeleitete Geschwindigkeit eines 37,5 km, jedoch richtig, nämlich in Bezug auf die Sonne. Um die wirkliche Bewegung zu erhalten, mußte noch die translationsche Bewegung der Sonne, welche ungefähr im selben Sinne erfolgt, berücksichtigt werden. Es geht daraus hervor, daß der eigentliche siderische Ausgangspunkt noch näher dem Antares der Sonne gelegen war als der heliozentrische und daß der angeetzte Geschwindigkeitswert nicht viel mehr als der Unterschied zwischen der räumlichen siderischen Geschwindigkeit dieser Meteoze und jener der Sonne, welches durch abgezogen wurde, beträgt.

Der siderische Radiationspunkt in  $\alpha = 85,5^\circ, \delta = 25,3^\circ$  war, soweit Prof. v. Neßel bekannt, für Freiräume bisher noch nicht nachgewiesen. Es machen sich aber im Februar und März beobachtete Sternschuppenstürme bemerkbar

## Eine neue Gruppe der Meteoriten.

**P**rof. Friedrich Brewster hat der Kaiserl. Akademie der Wissenschaften in Wien eine Abhandlung überreicht,<sup>1)</sup> in der er eine neue Gruppe von Meteoriten, die Meteoriten, schildert. Im Jahre 1860 hat Prof. Brewster gelegentlich der Besprechung des Meteoritenanfalls von Meteoritz zum ersten Male die Ansicht ausgesprochen, daß die am Meteoriten angetroffenen vorhandenen, durch einen starken Schmelz- glanzreiche Verwitterung: des oktaedrischen Gefüges als eine Folge von Erhitzung des Metalls anzusehen und die Quelle der Erwärmung sehr wahrscheinl. Ableitung desselben außerhalb unserer Atmosphäre zu suchen sei. Zu dieser Ansicht führte ihn der Vergleich des dunkeligen Schmelz bei Meteoritz mit dem Gefüge der an ganz wenigen Meteoriten erhaltenen metallischen Fortsetzungen, deren Entstehen durch Erhitzung in unserer Atmosphäre von niemandem in Frage gestellt. Die Gleichzeitigkeit der Erscheinungen, in beiden Fällen in einer Umkristallisierung resp. Körnung der Eisenerze bestehend, veranlaßte ihn dann selbständigweise zu dem Ausspruche, daß die meisten sogenannten »echten Meteoriten« auf dem Wege der Erhitzung im festen Zustande auswandern oktaedrische Eisen seien.

Selbst sind ihm die auf chemisch-physikalisches Arbeiten dahingebenden wichtigen Resultate meteorographischer Forschungen bekannt geworden und die bisherigen experimentellen Erfahrungen über die beim Abkühlen oder Erhitzen im festen Zustande vor sich gehenden Umwandlungen in den Metalllegierungen boten eine ausreichende Analogie, um die bei vielen oktaedrischen Eisen vorhandene, trotz der groben Körnung auf eine Anwesenheit oder schließl. Erhitzung des betreffenden Eisens zurückzuführen, um Vorgang, wie er eben

an künstlichen Metalllegierungen genügend erhalten ist. Um sich über das erstere Vorhandensein des oktaedrischen Metallgefüges bei den dichten und körnigen Eisen zu überzeugen, hat er sich den zur Verfügung stehenden dichten und körnigen Eisenproben einer kritischen Beachtung unterzogen. Er ist dabei zu dem Resultate gelangt, daß unter 36 Fällen an 27 dichten oder körnigen Eisen die oktaedrische Netzstruktur mehr oder weniger vollkommen erhalten und genügend deutlich nachweisbar ist. Zur Beobachtung genügt für gewöhnlich die Anwendung einer Lupe. Vollkommen erhalten oktaedrische Balkenstruktur oder nur Relikte oktaedrischer Struktur wurden in folgendenorten beobachtet: Canada, Campo del diablo, Chesterfield, Ohio, Deep Springs Farm, Foy's County, Howard County, Iowa, Kaptein, Louisville, Missouri, Locust Grove, Maryland, Newington, Ontario, Oklahe County, Phillips, Idaho, Ragsdale, San Francisco del Marquillo, Santa Rita (Silverton), Sonora, Strong Springs, Sierra de Coana, Southland, Kansas, Tombagher River, Tucson (Carlson Tucson), Williams. Schaben oder selten Spuren oktaedrischen Gefüges finden in den Profilen: Auburn, Bingen, Canada de Hierro, Camacho, Holland Store, Illinois, Utah, Kendall, Modapolla, San Chakobal. Damit will Prof. Brewster aber nicht ausgelegt haben, daß der oktaedrische Bau in diesen Eisen ursprünglich nicht vorhanden gewesen ist. In allen diesen Fällen ist er der Meinung, daß oktaedrische Bildungen nur nicht aufkühlbar sind, weil selbst die letzten Spuren eines solchen bei der Umkristallisierung vollständig aufgespart wurden. Das Eisen von Williams vermittelt in ausreichender Weise den Übergang vom oktaedrischen Gefüge zur reinen, sehr rhykloptartigen Körnung und das Eisen von Hammond und das Kaptein sind als Beispiele zur Beobachtung der

<sup>1)</sup> Wiener Akad.-Anzeiger 1864, 5, 302

Umwandlung von kleinen Kristallinseln in den fest kristallisierten Zustand zu empfehlen. Die Ableitung des geringen Kristallinisations oder körnigen Zustandes von der kristallinischen Prozessstruktur aus einer eingehenden Darstellung jedes einzelnen Falles verfaßten wir eben. Derzeit ist zu erwarten, daß die- oder körnige Struktur aus einer fest kristallinischen Struktur über der kristallinischen Struktur, wie bei den Kristallen, die durch Schmelzung entstandene kristallinische Gefüge über der Teilstruktur.

Aus den kristallinischen Beobachtungen geht also hervor, daß die Kristalle und körnigen Eben als Derivate von kristallinischen Eben zu betrachten sind,

aus denen sie durch eine selbständige Umwandlung in einen kristallinischen Zustand überführt oder Ausdehnung im festen Zustande ankräftigert sind.

Für die durch Umwandlung hervorgerufenen Eben wird Post. Berwurt die Bezeichnung: «Metakristall» und wird deren Gesamtheit dem Rest-Terminationsbereich Meteoritenkristalle als «Gruppe der Metakristalle» zugeordnet. Da bei den Meteoritenkristallen dargestellt ist, daß eine große Reihe von Stufen durch Schmelzung umgewandelte Kristalle produziert sind, so wird ein kristallinischer System nach der Gruppe der «Metakristalle» eine große Gruppe der «Metakristalle» zu unterscheiden sein.

## Die Tätigkeit des astrophysikalischen Observatoriums Königstuhl-Heidelberg im Jahre 1933.

**E**ine Post. Max Wolf veröffentlichte in der V. A. O. den Bericht über die Arbeiten des Jahres 1933 an dem neuer Leitung unterstellten astrophysikalischen Observatorium auf dem Königstuhl bei Heidelberg. Wir entnehmen denselben folgendes:

Die Gesamtzahl der besten Abende dieses Jahres betrug 143, von denen über 72 durch Bewölkung oder Mondschatten beträchtlich gestört wurden, war also nicht groß. Es konnte in 89 Nächten fotografiert und in 114 Nächten beobachtet werden. Während der beide Monate war der Mai. Der durch den Ausbruch der westindischen Vulkane verursachte Bakosche Ring um Sonne und Mond konnte das ganze Jahr über gut gesehen werden. Der Radius der hellen Scheibe (innerer Rand des braunen Ringes) betrug am Anfang des Jahres um die Sonne 125'', Ende August 109'', Der Durchmesser der hellen Scheibe um den Mond wurde im Februar durch Anschluß an Sterne zu 186'' bestimmt. Die vulkanischen Dämmerungserscheinungen traten wie im Vorjahr wieder periodisch auf, so daß wohl kein Zweifel

made besteht, daß der Staub sich in einzelnen großen Wolken um die Erde bewegt. Nachdem das ganze Frühjahr beobachtungsunfallende Dämmerungserscheinungen aufgetreten waren, entwickelten sie sich ganz plötzlich um den 3. August 1933 zu großer Pracht. Nach einer kürzeren Pause traten am Ende August und Anfang September wieder in noch an gleicher Schönheit und Intensität auf, größerer als 1884. Besonders am 29. und 31. August und am 1. September, und zwar abends wie am Morgen, wie das Phänomen unbegreiflich großartig, und es konnten mehrere vollständige Beobachtungsserien erhalten werden. Danach waren die Intensität der Erscheinungen noch ab, und sie verschwanden gegen den 6. September. Am 23. September begann abermals eine aber viel schwächere Periode für wenige Tage. Die nächsten Perioden traten am 8. und 1. Oktober, dann am 19. und 20. Oktober und zuletzt am 9. November. Sonst wurde keine vulkanische Dämmerung mehr beobachtet.

Photographische Himmelsaufnahmen. Mit dem beiden Refraktoren wurden im Laufe des Jahres 258 verschiedene Gegenden (118 am Breuer-Teleskop und 132 am Sechsstück) mit im ganzen 536 Stunden Belichtung (285 am B.T., 253 am S.Z.) aufgenommen. Hierbei wurden 603 Platten exponiert (250 und 353). Die entsprechenden Summen im Jahre 1900 betragen 379, 515 und 676.

Kleine Planeten. Wie schon wurde auch im Jahre 1903 der größte Teil der verfügbaren Zeit der Verfolgung der Planeten den größten. Es wurde wie stets nur nach den Merken gesucht, und die neuen wurden immer nur gelegentlich gefunden, dann aber auch photographisch weiter verfolgt.

Im ganzen wurden 146 verschiedene Gegenden auf Planeten und gesonderte Daten und zur Verfolgung einzelner Asteroiden wurden im ganzen 167 verschiedene Aufnahmen mit 435 Platten und 385 Stunden Belichtung gemacht. Es wurde also fast ebensoviel Zeit auf die Planeten verwandt als im Vorjahre. In übrigen 146 verschiedenen Gegenden wurden

41 neue und 113 alte Planeten aufgefunden. Das Verhältnis von neu zu alt ist also noch höher:

1903	wie 1 zu 2,6
1902	• 1 • 2,7
1901	• 1 • 3,2
1900	• 1 • 2,7

und es bleibt daher dasselbe merkwürdige konstante Verhältnis von 1 zu 3, wie schon vor 18 Jahren, während sich auch keine Abnahme der neuen erkennen läßt.

Die Mercurinstern am 11. Mai wurde photographiert und beobachtet. Für den Stereokomparator wurden nur noch 7 spezielle Aufnahmen mit 11 Platten und 5 Stunden Belichtung gemacht, weil sich zeigte, daß sich fast alle Aufnahmen dafür verwenden lassen. Dem Transmissionsplaneten wurden diesmal nur 2 Aufnahmen von 4 Platten mit 5 Stunden gespielt, und

dieselben davon werden Anzahl Bildern vorzüglich am Stereokomparator abge-  
nommen. Keine Spur von solchem Planeten wurde gefunden. Das Zodiakallicht wurde am 7. Abenden mit dem Stereokomparator aufgenommen. Es scheint von Jahr zu Jahr am Helligsten abzunehmen. Umso auffällender ist die ganz unerwartete Helligkeitszunahme des Gegenstandes. Das spricht vielleicht dafür, daß dasselbe im Gegensatz zum Zodiakallicht eine irdische Erscheinung ist, die durch die Zunahme des Staubs in den höchsten Schichten der Atmosphäre verstärkt wurde, während gleichzeitig die Durchsichtigkeit der Atmosphäre und damit die Sichtbarkeit des Zodiakallichtes sich verschlechterte. Solche Untersuchungen sollten in den Tropen angestellt werden, denn unser Klima ist viel zu schlecht, um solche Erscheinungen zu sammeln.

Der Kometen 1902 d, 1903 a, 1903 c wurden aufgenommen und der Komet 1904 V angestrichelt, aber vergeblich photographisch gesucht. Im ganzen wurden 11 Aufnahmen von Kometen gemacht. Alle Kometenaufnahmen wurden, wie früher beschrieben, so gemacht, daß die zwei fast gleichzeitigen Aufnahmen mit dem beiden Sechststückflora nacheinander im Stereokomparator unterrecht werden können, um die scharfe Lage der Schwänze zu erreichen. Der Komet Biesty gab mehrere sehr interessante Bilder, die auch zum Teil publiziert worden und Am interessantesten war der Schwanz am 25. Juli, wo ein Ast als scheinbare Schwanzlinie erscheint. Beim Durchgang vom Stern am 25. Juli wurde auf beiden Platten eine starke Einziehung und Abschattung der Sternspitze erhalten. Hieran wurde zuerst auf Absorption im Kometen geschlossen, während sich später zeigte, daß sehr interessante photographische Erscheinungen, die allerdings zu sehr so interessant sind wie die Kometenabstrichungen, die „Spindel des Experimentes“ sehr frühen. Vom Kometen 1902 Perseus wurden nach-



näglich noch einige Sterneobjekte gewonnen, von denen besonders die Bilder vom 25. Oktober 1903 interessant waren. Hier zeigen auch 7 Schwärze, die aber nicht in einer Ebene liegen. Entschieden nach den jetzt gewonnenen Sterneobjektdimensionen, daß die Schwärze für sie in eine Ebene liegen.

**Nebelflecken.** Die Durchmusterung am Himmel nach kleinen Nebelflecken wurde von Prof. Wolf in der früher beschriebenen Art weitergeführt. Am Bruce-Teleskop wurden zu diesem Zweck 21 Aufnahmen mit 42 Platten und 66 Stunden Belichtung gewonnen.

Für die großen Nebel wurden am Bruce-Teleskop 8 Daueraufnahmen mit 36 Stunden Belichtung gewonnen. Die interessante, bisher unbekannte Regel, daß die großen Nebel stets von kleineren Seiten umgeben sind und umschloß an Stellen großer Sternklüfte ausstrahlen, während sie anderwärts am Ende ungrößerer Hüllen liegen, die nur noch

halla Stern enthalten-, konnte durch eingeworfenes Langsila fokussiert werden. Beim Andromedanebel wurde gefunden, daß sich die Nebelkenner des Ring systems in großer Entfernung vom zentralen Kern, photographierten Nebel weiterhin besonders in der Richtung der langen Achse verfolgen lassen. Im Zentrum der Trappeförmigen am Sternbild Apollis konnten ganz kleinsten dunklen Hüllen nachgewiesen werden.

Die Veränderlichen begannen mit 1903 einen größeren Teil der Arbeitskraft als vorher in Anspruch zu nehmen. Prof. Wolf konnte mit dem Sterneparagraf 67 neue Veränderliche auffinden. Für einen Teil derselben wurden Aufzeichnungsarten gesucht. Die Veränderlichen gehören wohl meistens zu einer Art, die lange Zeit in schwachem Licht leuchtet und nur für kurze Zeit in den Bereich unserer optischen Hilfsmittel tritt.

## Theodor Bredichin.

**A**m 18. Mai ist Theodor Bredichin, Direktor der Mittel-Sternwarte zu Palermo, nach kurzer Krankheit gestorben. O. Bredichin widmet dies in den A. N. folgenden Nachruf:

Mit ihm verlor Russland einen hervorragenden Astronomen, der nicht nur durch wissenschaftliche Arbeiten, sondern auch als Professor und Direktor der beiden größten russischen Sternwarten — Moskwa und auch der Palermo — einen großen Einfluß auf den Entwicklungsgang der Astronomie in Russland ausgeübt hat. Als Professor verstand er in hohem Grade die lebende Jugend für die Astronomie zu interessieren und zwar dadurch, nicht nur momentane durch ständige Redewegerei, sondern auf eine statische Weise Schüler heranzuziehen, die jetzt in den höchsten Astronomischen Ruffanden stehen.

• Bredichin wurde 1831 dem 8. De-

zember in Nikolajew geboren und stammte aus einem alten Adelsgeschlecht. Aus dem bekannten Nikolajewischen Lyceum in Odessa tritt er eine gründliche klassische Bildung und wurde 1851 als Student der physico-mathematischen Fakultät der Universität in Moskau immatrikuliert. Im Jahre 1857 wurde er zum Professor der Astronomie und 1873 außerdem zum Direktor der Sternwarte dieser Universität ernannt. Als solcher erfüllte er eine vielfältige Tätigkeit. Astrospetrographische Beobachtungen — die ersten in Russland —, Ortsbestimmungen von Sternen, Schwerbestimmungen durch Fraunhoferbeobachtungen wurden ausgeführt, seine Hauptarbeiten aber waren die bekannten Untersuchungen über die Konstanten und im Zusammenhang damit seine Theorie der Materie. Im Jahre 1890 folgte Bredichin dem Ruf an die Kaiserliche

Akademie der Wissenschaften und wurde Nachfolger G. Struvs als Direktor der Neuen Hauptsternearte Wilhelmsdener Zeit ist unter anderen Verrichtungen auch die Anschaffung eines stereolithographischen Reliefsapparates anzuführen, wodurch die Himmelsphotographie in das Programm der Tätigkeit der Sternwarte tatsächlich eingereicht wurde. Wegen angegriffener Gesundheit und um sich ungestört seiner Lebensaufgabe, der Theorie der Kometen widmen zu können, gab er Ende 1884 seine Stellung als Direktor auf und lebte als Akademiker in Petersburg, wo er sich bis zuletzt mit wissenschaftlichen Arbeiten beschäftigte.

Noch kurz vor seinem Tode ver-

öffentlichte er das Zusammenhänge seiner Hauptarbeiten auf dem Gebiete der Kometentheorie. Er ist 1886 gestorben und hinterläßt, von denen das meiste diesen Gebiet betrifft, noch aus seiner Feder hervorragendes.

Beethoven war eine bescheidene und vollständig gebildete Persönlichkeit, seine etwas nervöse, aber unphysische Natur war den höchsten Regungen zugänglich, die dank seiner unabhängigen musikalischen Lage in reinen und weitgehenden Hörwirkungen praktisch sich betätigten. Daraus liegen seine Stiftungen von Preisen für wissenschaftliche Arbeiten und die ständige Förderung einzelner Untersuchungen durch gekürzte Unterrichtszeiten Zeugnis ab.

## Joseph Athanasie Perrotin.

Sein Leben am 29 Februar d. J. verstorbenen ausgezeichneten Vorkämpfer der Sternwarte zu Neuss folgend die Astron. Nachrichten.

Geboren am 19. Dezember 1843 als Sohn eines Telegraphenbeamten in Saint-Loup, (Tarn et Garonne), studierte er, dank der erste in allen Klassen, das Lyceum in Pise und bezug später die Universität in Toulouse, um sich dem Studium der Mathematik und der Astronomie zu widmen. Der damalige Direktor der Toulouser Sternwarte, Thomsen, erkannte bald die hervorragende Fähigkeit des jungen Gelehrten und ernannte ihn 1873 zum stellvertretenden, einige Jahre später zum stellvertretenden der Sternwarte. Im Jahre 1879 erwarb Perrotin in Paris die Würde eines Doktors der mathematischen Wissenschaften auf Grund einer Abhandlung über die Theorie der Vesta, die er mit Hilfe der Leverierschen Methode durchzuführen suchte. Es ist hier gleich vorzugewarnen, daß dieser Aufgabe auch noch zwei spätere Arbeiten in den *Naturelles* Band III und IV gewidmet sind.

Während der Toulouser Zeit hat sich

Perrotin als stürmischer und kritischer Beobachter hervorgetan. Von dem großen Umfang seiner Werke geben die *Comptes Rendus*, die *Astronomischen Nachrichten* und besonders der erste Band der *Toulouser Annales* Kenntnis. Von den zahlreichen Beobachtungen mochte hier nur die regelmäßigen Zählungen der Sonnenflecke, sowie die Beobachtungen der Jupiter- und Saturnringe Erwähnung finden. Im Jahre 1874 entdeckte Perrotin den Planeten (156) Tolosa, in den nächsten vier Jahren noch vier weitere, (148) Melana, (151) Ergone, (178) Hara und (180) Ganesa. Die Entdeckung von neuen Planeten, (352) Ceresina, fand erst 1885 in Neuss statt.

Als im Jahre 1879 Herr Buchhoffmann den hochherzigen Entschluß gefaßt hatte, an der Küste des Mittelmeers einen von Neuss aus mit allen Hilfsmitteln der Neuzeit ausgerüsteten Sternwarte zu errichten, wurde Perrotin auf Empfehlung Thomsens berufen, dieselbe auszuführen und unter der Konzeption des Bureau des Longitudes zu treten. Zur Vorbereitung auf seinen

seinen Beruf besaß, er zirkelte im Jahre 1860 eine größere Zahl astronomischer Sternwarten; ein interessanter Bericht über diese Reise ist 1861 in Paris unter dem Titel *Visite à divers observatoires d'Europe* erschienen. Auf diese Weise wohl eingeladen, gab Perrotin am 1. Januar 1881 seine erste Stellung an. Ersten im August d. J. von Charles Fréytagoffene tagte dem Meridienkreis (1887 in Öffnung) besuchte er sofort, um eine Längrobildung zwischen Paris, Nice und Madrid auszuüben, und später um die Größe des neuen Observatoriums zu bestimmen. In der Zwischenzeit bei der Herstellung der neuen Instrumente bei der Vernetzkirche im Jahre 1882. Als Leiter einer der acht von der französischen Regierung nach Amerika gesandten Expeditionen ging er an die Ufer des Rio Negro in Paraguay und es gelang ihm dort schon Erfolge zu erzielen. Bald nach der Rückkehr im Februar 1883 kam das kleine Aquatoriel 10-18 in Öffnung zur Aufstellung, so daß jetzt in Nice die erste Beobachtungstätigkeit begann konnte. Das große Aquatoriel von 0-75 in Öffnung mit der bereits erwähnten schirmenden Kuppel, der Brunnen Meridienkreis von 0-30 in Öffnung, beide 1886 bis 1887 montiert, und schließlich das 1882 aufgerichtete Equatorial condé (0-40 m) vervollständigten das Instrumentarium in trapp Weise, wie wohl wenige Sternwarten sich dessen erfreuen können.

In den ersten Jahren, vor Aufstellung des großen Aquatoriels, hat sich Perrotin wesentlich mit der Beobachtung von Doppelsternen, Planeten und Kometen beschäftigt, später wendete sich speziell dem Studium der Oberflächen der Planeten, insbesondere Mars und Venus zu. Im vollen Bewußtsein, daß man sich hier an der Grenze des Schwebefeldes befindet, hat Perrotin mit großer Sorgfalt versucht, die Instrumente und die Beobachtungsbedingungen möglichst zu verbessern. So ist z. B. ein Teil der Venusbeobachtungen, die bis zu einer bestimmten Abbeugung einer Kometen-

Reflexionseffekt führten, auf dem von ihm aus geschulten astronomischen und meteorologischen Hilfsobservatorium auf dem Mont Maunier (2741 m Seehöhe) angestellt worden.

Nachdem insofern Perrotin im Jahre 1889 sich noch an einer Längrobildung zwischen Nice und Cornilla beteiligt hatte, begann er gegen die Wende des Jahrhunderts seine letzten größeren Arbeiten, die Beteiligung an den auf der Pariser Konferenz von 1900 vereinbarten Beobachtungen des Planeten Eros und die Bestimmung der Lichtgeschwindigkeit nach dem Verfahren von Fizeau und Cornu. Der letztere geschah mit Hilfe zweier Beobachter, der 12 resp. 45 km von Nice entfernt lagen. Ein weiterer Plan, die Basis für diese Beobachtungen bei nach Cornilla zu verlagern, ist leider nicht mehr zur Ausführung gekommen.

Unter der Leitung Perrotins sind von 1881 bis 1900 sieben Bände der *Nouvelles Annales* ausgegeben worden. Der erste, um 1889 erschienene Band enthält eine eingehende Beschreibung der Sternwarte, zwei Bände sind meteorologischen und magnetischen Beobachtungen, die übrigen astronomischen Arbeiten gewidmet. Der sechste Band 8 bis 10 sind in Vorbereitung; sie werden speziell auch die Beobachtungen über die Lichtgeschwindigkeit bringen, aber die bis jetzt nur zwei Mitteilungen in den *Comptes Rendus* erschienen und Von unten der französischen Akademie erhielt Perrotin zweimal des Landes: ersten Preis, 1875 und 1884, im Jahre 1882 wurde er Korrespondent der Astronomie, im Jahre 1896 Korrespondent des Bureau des Longitudes.

Mit dem Tode Perrotins ist ein an Arbeit, aber auch an Erfolgen reiches Leben erloschen. Als das schmerzhaft und größte Manko, das er sich selbst geschaffen hat, muß jedenfalls das an der Corniche-Strasse herrlich gelegene, weitere südliche Sternwarte auf dem Mont Gioie angesprochen werden, mit der sein Name ewig verbunden bleiben wird.

## Vermischte Nachrichten.

Das neue Auffassung des Weltäthers. Der durch sein periodisches System nach in weiteren Kreisen bekannt gewordene russische Chemiker Mendelejew hat eine neue Auffassung des Weltäthers entwickelt. Das Vorhandensein des Äthers, d. h. eines ungeheuer feinen, alle Körper durchdringenden Stoffes im Weltraum ist bekanntlich durch die Notwendigkeit verursacht worden, die Fortpflanzung der Energiestellen, also des Lichtes, der Wärme, der Elektricität, unserer Anschauungsgegenstände denkbar zu machen. Die Äthertheorien sollen aber die Träger dieser Bewegung sein und am hauptsächlichsten die Energie der Sonne durch das sogenannte Weltmeer hindurch vermitteln. Es blieb nun aber eine große Frage, als was man sich den Äther zu denken habe. Zunächst kann er aus keinem der bekannten Stoffe bestehen, auch wenn man sich denselben in noch so feiner Verfeinerung vorstellen sollte, weil er alle Stoffe durchdringt. Mendelejew hat es auch für ausgeschlossen, im Äther das Unfeine zu suchen, aus dem sich sämtliche anderen Stoffe erst durch eine Verdichtung zu Atomen gebildet hätten, eine Meinung, die bekanntlich erst in neuester Zeit von sehr zahlreichen Vertretern der Naturwissenschaften aufgegeben worden ist. Er betrachtet ihn vielmehr als einen bestimmten chemischen Stoff von so großer Leichtigkeit, daß seine Molekulargeschwindigkeit, also eine Bewegung in der sich seine kleinsten Teile nach den Gesetzen der kinetischen Gastheorie dauernd befinden, groß genug ist, um die Schwerkraft zu überwinden. Die Annahme einer solchen Überwindung der Schwerkraft ist durchaus nicht neu, dazu schon vor einem halben Decennium ist die Ansicht aufgebracht, daß auf der kleinsten Planete Wasser nicht vorhanden sein könnte, da die Schwerkraft auf denselben noch zu geringe ist, um die Molekulargeschwindigkeit

des Wasserstoffes zu überwinden. Ferner kann der Äther aus chemischen Affinität mit anderen Stoffen nicht bestehen, daher gibt es auch keine Verbindungen des Äthers. Seine Ausdehnungskraft muß so groß gedacht werden, daß er alle Körper durchdringt und daher nicht gewogen werden kann obwohl er in Wirklichkeit ein gewisses, wenn schon außerordentlich geringes Gewicht besitzen muß. Mendelejew ist nun einer der Meinung, daß der Äther aus einem bestimmten Stoffe besteht, und er weist diesem auch eine bestimmte Stelle in seinem System zu. Er setzt ihn als erstes Glied in die Gruppe eines Systems, das er als die Nullgruppe bezeichnet und die vor der der Alkalien steht, in der nämlich die Gruppe ist auch das erste vor einigen Jahren entdeckte Argon enthalten. Durch Berechnung gelangt er zu der Überzeugung, daß es in dieser Gruppe natürlich unmittelbar vor dem Wasserstoff ein Element geben müsse, das noch viel leichter als der Wasserstoff sei und ein Atomgewicht von 0.42 habe, er spricht sich für die Möglichkeit aus, daß dieses Element identisch mit dem nur aus der Sonnenkammer bekannten Kryptonum sei. Der Äther enthalte aber ein noch viel geringeres Atomgewicht besitzen, dessen Wert allerdings noch sehr zweifelhaft ist, sich aber nach den Feststellungen von Mendelejew auf nicht mehr als 0.17 belaufen könne. Für das Element schlägt er den Namen Neutronium vor. Da selbst die geringsten Flammenkörper nicht heizende sind durch die Annahme des Äthers zu finden, wodurch aber erst seine gleichmäßige Verteilung im Weltraum möglich wird, können die Schwingungen seiner Moleküle mit einer ungeheuren Geschwindigkeit vor sich gehen, dieselbe läßt sich nach der kinetischen Gastheorie auf mindestens 224 Meilen der Sekunde berechnen. Nach dem angenommenen Molekulargewicht würde das Molekül des Äthers

nur etwa die Hälfte) von dem des Wasserstoffes ein.

Wichtig ist auch der Umstand, daß Mendelejeff mit dieser Auffassung auch zu einer eigenen Deutung der Kulturstufen gelangt, indem er ansetzt, daß die Ägypter die stehenden Körper durch ihre hohen Alabasterwände einer verhältnismäßig große Zahl von Abenteurern so sehr zu Hause veranlaßt. Der Ab- und Zugang dieser Abenteurer würde die Störungen hervorgerufen, die als Körperstöße bemerkbar werden.<sup>5)</sup>

**Längenbestimmung im Großen.** Wiederum ist eine astronomische Längenbestimmung mittels des Sonnen, durch den Süßen Ocean geographisch ausgeführt worden und zwar zwischen der Westküste Nordamerikas und dem auf dem ersten Drittel des Weges von dort nach Japan liegenden Pazischen Inseln. Die nordamerikanische Vermessungsgesellschaft (U. S. Coast and Geodetic Survey) hat mit dem Mitteln der modernen Präzisionsmessung den Unterschied der geographischen Längen zwischen San Francisco und Honolulu auf trigonometrischem Wege ermittelt und dabei das Resultat gefunden, daß Honolulu 10 Std 31 Min 11,2 Sek. westlich von Greenwich (11° 20', 31" westlich von Berlin) liegt. Damit ist die genaue Bestimmung der geographischen Koordinaten für die Hauptstadt jenes hawaiiischen Inselreiches als abgeschlossen zu betrachten, da die Breite von Honolulu oder der Abstand vom Äquator durch die Arbeiten der vor diesem Jahre dorthin entsandten strategischen Expedition der Internationalen Erdmessung und der Nordamerikanischen Vermessung (unter A. Marsden und E. Peckham) mit größter Schärfe ermittelt wurde. Von besonderem Interesse für die Erlangung der methodischen und instrumentellen Fortschritte bei der astronomisch geographischen Orientierung dürfte ein Vergleich

der modernen, oben erwähnten astronomisch abgeschlossenen genauen Orientierung für die Hawaiianen Inseln mit den älteren Bestimmungen dieser Art sein. Demnach verfügte spanische Karten aus der Mitte des 16. Jahrhunderts jene Inseln im Süßen Ocean noch um 17° zu weit nach Osten, allerdings nicht auf Grund von Messungen, da schon Kolumbus im 15. Jahrhundert eine Gesamtgröße von 1½° bei seinen Orbitschätzungen erzielte. Der große Weltumsegler Cook verstand es die Klatscher der Hawaiianen am Ende des 18. Jahrhunderts besser auf ½° genau zu orientieren, und der hawaiiische Entdeckungsfahrer Pelekei erreichte am Beginn des 19. Jahrhunderts eine Ortsbestimmung auf den Hawaiianen Inseln bis auf 5, Bogensekunden oder 1,111°. Der englische Marinekapitän Tuppermann bestimmte bei Gelegenheit der vorletzten Vesta-Expedition die Länge ebenfalls weniger Zehntel der Zeiteinheit sicher. Die modernen astronomische Ortsbestimmung mittels liefert aus einer größeren Reihe von Beobachtungen die geographische Breite eines Ortes am Lande ebenfalls weniger Hundertstel Bogensekunden und die geographische Länge bis auf wenige Hundertstel der Zeiteinheit genau. Demnach entsprechen auf der Erdoberfläche für mittlere Breitenräume gerichtet die folgenden Längenwerte: Genauigkeit der Orientierung in Breite etwa 1:2 m, in Länge ungefähr 12 m.

**Die häufigste Gradmessung im Eranden.** Über den Fortgang der häufigsten Gradmessung in Eranden während des Jahres 1903 hat Pannard, der Pariser Akademie der Wissenschaften einen Bericht erstattet. Demnach verläßt das Arbeitsprogramm jenes Jahres die Berücksichtigung der Beobachtungen im Norden, die geodetische Vermessung auf dem Salch Hochstamm-Caerts, astronomische Ortsbestimmungen in Cuern, magnetische Beob-

<sup>5)</sup> Mitteil. d. k. k. geogr. Ges. in Wien 1904, p. 95.

achtungen und den Folgen des Nivellaments. Verschiedene Hindernisse stellten sich aber der vollständigen Ausführung dieses Programmes entgegen, so waren die Witterungsverhältnisse im Norden ebenso ungünstig wie im Jahre 1902, und so wurde man dort an drei Stellen 80 Tage aufgeschoben. Ebenso wurden auch wieder vielfach die Signale von den umgebenden Bewohnern zerstört, obwohl die mexikanische Regierung sich alle Mühe gab, dem Unfug zu steuern. Doch wurde hier die Arbeit im Februar d. J. vollendet. Eine vorläufige Berechnung, die sich wohl im großen und ganzen richtig sein dürfte, ergab durch Vertheilung der Masse von Huachama mit der von Talara 6664,82 m für die nördliche, während der Messung selbst 6604,77 m als Resultat gefunden habe. Der Grad der Zuverlässigkeit wird als hoch bezeichnet. Im Süden wurden in Cuzco Breitenbestimmungen begonnen, auch war man dabei beschäftigt, die Längendifferenz zwischen dieser Station und Quito zu ermitteln. Das ursprüngliche Triangulationsnetz mußte nach Westen verschoben werden. Das Geadmetung über sechs Breitengrade sollte ähnlich auch dann nach Columbia übergehen. Es aber dort Unstufen herrschen, so heißt man es für unmöglich, nämlich bis nach dem westlicher gelegenen Payta zu gehen, um die erwähnte Länge herauszubekommen. Hier, in der westlichen Begleit, ist übrigens das Klima trockener und darum günstiger. Die Nivellamente sind auf der nordöstlichen Seite zwischen Huachama und Almas mit bestem Erfolge ausgeführt worden, und es heißt auch die südwestliche Seite zwischen Almas und Casapapa (der p. durch Schieferigkeiten machen wird). Die Pendelbeobachtungen sind nicht erheblich gefördert worden, doch hat sich ein interessantes Resultat ergeben, nämlich der Nachweis, daß die Saugparische Formel für die Alpen und der Himalaya nicht anwendbar ist. Es liegt das an abnorm-

schon Verschiedenheiten. Mit Ablauf dieses Jahres sollen die Geadmetungsarbeiten abgeschlossen werden.

Große astronomische Unternehmungen in Amerika und von einem nachschießenden Ansehen vorgeschlagen und angestrichelt werden, die zu diesem Zweck von dem neugegründeten Carnegieinstitut in Washington eingestimmt worden ist. Als größte Notwendigkeiten werden danach zwei Unternehmungen bezeichnet, nämlich die Begründung einer Sonnentarte auf der nördlichen Halbkugel zwecks Ausführung hochintensiver Beobachtungen, die in 10 bis 12 Jahren werden beendet werden können, zweites die Schaffung einer Sonnentarte in einem Platz, wo die Luft besonders klar und daher zur Beobachtung vorzugsweise günstig ist. Der Sonnentarte müßte wenigstens während einer vollen Sonnentückenperiode, also 11 Jahre lang, in Tätigkeit bleiben. Außerdem wünscht der Ausschuss den Bau eines großen Spectroscop als astrophysikalischen Unternehmungen für eine der besten vorgeschlagenen Stationen, möglichst aber für jetzt ein besonders. Für die Ausführung des Plans und für die Befestigung der wissenschaftlichen Aufgaben ist bereits ein vollständiges Programm aufgestellt worden. Professor Henry, der damit beauftragt war, einen geeigneten Platz für die beschriebene Sonnentarte in einem der Staaten Kalifornien oder Arizona zu suchen, hat auch seinen Bericht bereits erstattet und den Mount Wilson in Kalifornien als den besten Punkt für die erste Anlage bezeichnet.

Der Berg ist 5650 engl. Fuß hoch. Das Hauptinstrument, welches dort aufgestellt wird, ist ein horizontaler Spiegelspiegel (Helioskop) mit 30-zölligen Spiegel, von dem die Lichtstrahlen durch einen Planspiegel von 24 Zoll Durchmesser auf je einen von zwei konvexen Spiegeln gerichtet wird, die ebenfalls 24 Zoll Durchmesser haben.

Einer davon hat eine Brennwerte von 53 Fuß und wird in Verbindung mit einem Sonnenprojektorgraphen von 5 Zoll Öffnung und 13 Fuß Brennwerte gebraucht, sowie mit einem Spektralektrographen und einem Sternprojektorgraphen mit großem, kreisförmigen Ocular. Mittels des letzten sollen die Spektrien der hellsten Sterne möglichst im Detail aufgenommen werden. Der zweite kreisförmige Spiegel des Coelestial Refractors ist bestimmt, ein möglichst großes Brennpunktsbild der Sonne zu geben, welches mittels mächtiger Spektralektrographen zu Detailstudien im Sonnenscheitel und ähnlichen Erscheinungen dienen wird. Die Brennwerte dieses Spiegels beträgt 145 Fuß, so daß das Sonnenbild im Brennpunkte etwa 16 Zoll im Durchmesser haben wird. Der Spektralektrograph hat 7 Zoll Öffnung und 36 Fuß Brennwerte. Die Oberleitung der Station am Mount Wilson wird Prof. George E. Hale, Direktor des Yerkes-Observatoriums übernehmen und ist derselbe bereits nach Kalifornien abgereist. Seine Stelle am Yerkes-Observatorium vertritt inzwischen Prof. Edwin S. Frost.

**Stillstand der Hauptuhr der Engels-Klosterwarte durch Blitzwirkung.** Herr Dr. Hartung schreibt hierüber in den „Fests Nachrichten“: „In der Nacht des 27. Mai zog aus Süden kommend ein schwarzes Gewitter über Rarnberg, bei dem in einer Zwischenzeit von 46 Sekunden zweimal der Blitz in den Abturm des Refractoriums einschlug. Dieser ist von der Abturm des Refractoriums nicht nur direkt, sondern in die Erde geführt und cadagi so einer umgebenen Kupferplatte, sondern er ist auch durch seine Verbindung mit dem eisernen Wechseisatz einer telegraphischen Ableitung zur Erde.

Vorher im Keller unter dem Meridianaal an einem 3 m unter der Bodenoberfläche reichenden Pfeiler angehängten Hauptuhr Ort V führen vor gut isolierte Deläste, von denen je zwei zum Schutze gegen die Kellerfeuchtigkeit in

Einrichtungen geteilt sind, zum Meridianaal, zwei für die des Sekundenschläge im Saale höher machenden, auf der oberen Deckplatte der Uhr sich befindenden Mikrophon und zwei für den elektrischen Kontakt, der bei der 55., 5. und 5. Sekunde der Hauptuhr Zeichen auf dem im Meridianaal stehenden Chronograph macht und die im Saale befindliche Beobachtungs- und Registrieruhr Ort VI automatisch mit der Hauptuhr verbindet. Das beiden Uhrkabel wird durch die Weißblechwand des Meridianmales geführt, haben aber keine besondere Isolierung, da sie mit der Uhr in keiner metallischen Verbindung standen. Im Sommer setzt die Kapseln in den Keller eindringende wärmere Luft an den kühleren Metall- und Glasgegenständen im Keller Feuchtigkeit ab. So war auch der isolierende Mantel der Drähte, soweit diese außerhalb der Märdüren vor ihrer Verbindung mit der Uhr hingen, mit Kondensationsfeuchtigkeit bedeckt. Einen halben Meter unterhalb der unteren Metalldeckplatte des der Uhr sich befindenden verschließbaren Glasfensters war über den Spalt zwischen Pfeiler und Kellerboden Pappe gestrichelt, die an der dem Pfeiler am nächsten gelegenen Ecke Brandspuren trägt.

In der erweiterten Nacht beobachtete ich das eintreffende Gewitter und notierte die Zeit der Blitzschläge und des zugehörigen Donners. Das beiden Blitzschläge, denen der Donner in derselben Sekunde folgte und die sich durch den an begleitenden Geräusch als in nächster Nähe erfolgt anzeigten, fanden um 12<sup>h</sup> 52<sup>m</sup> 1<sup>s</sup> und 12<sup>h</sup> 52<sup>m</sup> 47<sup>s</sup> MEZ statt. Die Hauptuhr Ort V blieb um 12<sup>h</sup> 52<sup>m</sup> 20<sup>s</sup> MEZ stehen, also 24<sup>s</sup> nach dem zweiten Blitz. Es ist daher der Blitz nicht durch die Uhr und den Pfeiler gegangen, wie auch die am folgenden Tage durch Herrn Ullricher Zögling des ganzen Werkes und der Pendelkette erweis, da sonst der Stillstand mit dem Blitzschlage hätte korrespondieren müssen.

Die obere Metallplatte der Uhr richt

mit der Natur durch drei dazwischenliegende Stufen in Verbindung, so hat der Weg über das höhere Orlaus nicht den geringsten Widerstand. Das Pendel befindet sich aber auf diese Weise innerhalb eines elektrischen Feldes und wird wohl dadurch die Hemmung erfahren haben, da eine Induktionswirkung sich durch eine Brandstelle hätte manifestieren müssen.

Die Uhr ist nach der Entstehung des Werkes und nach ihrer fälschlichen Abschließung wieder wie sonst ausgezeichnet geptungen und hat völlig gar keine Beschädigung erlitten. Es scheint mir aber von Interesse, das Ereignis hier mitzuteilen, da es nach diesen Erfahrungen ungezogen erscheint, für solche Exzentriker bei der Aufstellung von Uhren im Keller geeignete Versuchsmaßregeln zu treffen.

Ein astronomischer Roman, so beschreibt dieser Tage eine Zeitung, könnte ein Buch genannt werden, das längst von einem Franzosen seinen Lesern veröffentlicht worden ist. Der Held der Geschichte ist von der Entdeckung belästigt worden, daß der Abstand der Erde von dem nächsten der Fixsterne so groß ist, daß selbst das Licht mit seiner Geschwindigkeit von 300000 km in der Sekunde mehr als drei Jahre dazu braucht, um von ihm aus in unser Auge zu gelangen. Daraus folgt, daß wir diesen Stern nicht so sehen, wie er jetzt ist, sondern wie er vor drei Jahren war. Auf dem sechsten Fixstern, der am weitesten von uns entfernt ist, weichen die Zahlen in entsprechenden Grade. Wenn wir uns auf jenen Fixstern wendeten und von dort aus mit einem genügend starken Fernrohr auf die Erde blicken könnten, um die auf unserem Planeten sich abspielenden Ereignisse erkennen zu können, so würden wir die Vorgänge beobachten, die vor drei Jahren stattgefunden haben. Plagen wir aber weiter im Weltraum hin zu neuen der

fernten Fixsterne, so würden wir auf der Erde, von hundertfache Bewaffnung unseres Auges vorangeseht, Szenen sich abspielen sehen, die vor Jahrhunderten geschehen sind. Der Held des Romans von Delisle ist nun ein Zweifler an der Wahrheit des Evangeliums, und deshalb begibt er sich auf einen andern Stern, der so weit von der Erde entfernt ist, daß das Licht über 1000 Jahre hin und her die Erde braucht. Mit einem Fernrohr, das millionenfach stärker ist, als je eins auf der Erde gebraucht wurde, beobachtet er dann die Gegend von Palästina auf dem Endheil und macht sich so gleichsam zum Zeitgenossen der Ereignisse des Lebens Christi. Auf dem fernsten Stern gelangt er durch eine Art von Luftkapseln, in dem er nach der Fortschrittszeit sich bewegt.

Dem Tageblatte, welches diese Mitteilung brachte, ist offenbar nicht bekannt, daß der ganze Gedankengang, den der französische Romanschreiber entwickelt, schon um die Mitte des vorigen Jahrhunderts in einer deutschen Schrift sehr viel besser behandelt wurde. Das schwerte aber war, daß diese Schrift so gut wie unbekannt blieb, jedoch ins Englische überetzt wurde. Aus dieser Sprache aber übertrug sie ein fröhlicher Schriftsteller, der sie für ein englisches Originalwerk hielt, tags ins Deutsche zurück, womit sich dann hinterher ergab, daß sie tatsächlich ein deutsches Originalwerk sei. Jetzt kommt aus ein französischer Romanschreiber und schließt die alte Idee in einem neuen Roman an, der schon wieder in Deutschland als Ausdruck neuer Gedanken eingeführt wird.

Das Direktorial der Königsberger Sternwarte ist dem bisherigen ersten Observator an der Berliner Sternwarte, Prof. Dr. Hans Bahrman, übertragen worden. Dasselbe wird dem an ihm ausgesprochenen Rufe im Herbst Folge leisten.





Planeten- Ephemeriden.

Mittlere Berliner Mittag.					Mittlere Berliner Mittag.						
Monat Jahr	Rektascension			Obern Meridian distanz	Monat Jahr	Rektascension			Obern Meridian distanz		
	h	m	s			h	m	s			
1898. Merkur.					1904. Saturnus.						
Nov. 1	14	52	42.55	—18.54 39.5	29.88	Nov. 9	23	59	11.52	—17.31 44.5	4.17
10	15	34	9.40	15.54 39.7	0.7	18	59	51	56.58	17.51 45.5	4.58
19	16	59	55.47	26.48 31.5	0.29	27	59	54	17.58	—17.52 50.7	4.45
29	18	59	11.15	32.59 55.5	0.53	Uranus.					
29	17	9	59.58	36.49 58.5	0.48	Nov. 6	17	47	42.58	—23.54 5.5	5.57
29	17	58	39.55	—35.54 54.4	0.59	15	47	45	0.13	23.54 54.5	7.5
Venus.					25	17	51	58.55	—23.57 0.4	7.59	
Nov. 2	18	46	4.10	—25.43 39.4	1.53	Neptun.					
10	17	38	43.51	26.59 39.5	1.48	Nov. 6	6	54	59.58	+23.21 59.5	34.52
19	17	45	58.55	26.5 5.5	5.4	25	6	58	59.55	23.21 47.7	34.41
29	18	7	59.58	26.55 4.4	5.19	25	9	53	41.53	+23.21 59.4	34.4
29	18	58	52.17	26.5 59.5	5.51	Mondphasen 1904.					
29	18	5	59.58	—26.59 59.5	5.59			h	m		
Mars.							Nov. 7	4	54.5		
Nov. 8	11	50	11.55	+ 4.45 0.5	59.58	14	15	27.1	Neumond.		
16	11	41	31.59	5.26 57.1	59.54	22	11	5.1	Erst Vollst.		
16	11	42	5.26	5.26 59.5	59.18	29	28	14.5	Vollmond.		
25	12	5	53.58	1.32 59.5	59.7						
25	12	54	49.12	8.14 54.5	59.19						
30	12	54	11.55	+ 8.54 59.5	59.49						
Jupiter.											
Nov. 7	5	39	12.57	+ 7.19 59.5	59.55						
16	5	31	29.57	6.54 12.5	5.59						
25	5	35	44.34	+ 6.44 58.5	5.47						

Sonnendeckungen durch den Mond für Berlin 1904.

Mittag	Stem	Distanz	Erdkreis mittlere Zeit		Mondkreis mittlere Zeit	
			h	m	h	m
Nov. 20	♂-Cet	43	11	59.5	11	53.5

Lage und Größe des Saturnringes (nach Bessel).

Nov. 7.	Große Achse des Ringesystem	59.56"	Kleine Achse „	59.56"
	Erleuchtungsweite des Ringe über der Ringebene.	11° 51'	51° 51'	51.56"
Nov. 8.	Mittlere Scheide des Ringes	51.5 50"	51.5 50"	51.5 50"
	Scheitelpunkt „ „ „	51.5 50"	51.5 50"	51.5 50"
	Halbmesser der Sonne	16"	5.55"	5.55"
	Parallaxe „ „ „		5.55"	5.55"

Stellungen der Jupitermonde im November 1904.

I.



II.



III.



IV.

Keine  
deutl.



Verfinstert  
Mond.

Stellungen am 11<sup>ten</sup> für den Abbau im astronomischen Fernrohr.

Tag	West	Ost
1		
2		
3		
4		
5		
6		
7		
8		
9		
10		
11		
12		
13		
14		
15		
16		
17		
18		
19		
20		
21		
22		
23		
24		
25		
26		
27		
28		
29		
30		
31		

Erweichungen der Jupitermonde. Die stündlichen Angaben über die Erweichungen der Jupitermonde beziehen sich auf mittlere Zeit von Greenwich. Die Trabant und der Erdtrabant drei Abstände vom Jupiter auch mit 1 bis 19 bezeichnet. Die vier größeren Figuren zeigen die Richtung jedes Mondes mit Bezug auf den Jupiter für den Augenblick der Verfinsternung (1) oder der Wiederverfinsternung (2). Im 1 nicht angegeben, so kann der Abstieg von dem Schatten nicht beobachtet werden. Ferner bedeutet bei den nachfolgenden Zeitangaben:

- 1) D den Verschwinden des Trabanten im Schatten des Jupiter
- 2) E den Ausritt des Trabanten aus dem Schatten des Jupiter
- 3) D den Verschwinden des Trabanten hinter der Jupiterschleife
- 4) E den Wiederschauen endlich wieder der Jupiterschleife
- 5) E den Ausritt des Trabanten vor die Jupiterschleife
- 6) E den Ausritt des Trabanten aus der Jupiterschleife
- 7) E den Eintritt des Trabanten in die Jupiterschleife
- 8) E den Ausritt des Trabanten aus der Jupiterschleife

Es sind nur diejenigen Erweichungen der Jupitermonde angegeben, welche sich ereignen, wenn Jupiter zu Greenwich über und den Sonne unter dem Horizont steht. Um die Momente dieser Erweichungen nach mehrdeutigeren Zeit zu finden, hat man nur nötig, 1<sup>te</sup> zu den angegebenen Zeitpunkten zu addieren

November 3. 1) G. D. 10<sup>h</sup> 10<sup>m</sup>, November 6. 1) G. E. 1<sup>h</sup> 40<sup>m</sup>, November 11. 1) G. E. 1<sup>h</sup> 10<sup>m</sup>, November 13. 1) G. E. 1<sup>h</sup> 10<sup>m</sup>, November 14. 1) G. E. 1<sup>h</sup> 10<sup>m</sup>, November 17. 1) G. E. 1<sup>h</sup> 10<sup>m</sup>, November 18. 1) G. E. 1<sup>h</sup> 10<sup>m</sup>, November 19. 1) G. E. 1<sup>h</sup> 10<sup>m</sup>, November 20. 1) G. E. 1<sup>h</sup> 10<sup>m</sup>, November 21. 1) G. E. 1<sup>h</sup> 10<sup>m</sup>, November 22. 1) G. E. 1<sup>h</sup> 10<sup>m</sup>, November 23. 1) G. E. 1<sup>h</sup> 10<sup>m</sup>, November 24. 1) G. E. 1<sup>h</sup> 10<sup>m</sup>, November 25. 1) G. E. 1<sup>h</sup> 10<sup>m</sup>, November 26. 1) G. E. 1<sup>h</sup> 10<sup>m</sup>, November 27. 1) G. E. 1<sup>h</sup> 10<sup>m</sup>, November 28. 1) G. E. 1<sup>h</sup> 10<sup>m</sup>, November 29. 1) G. E. 1<sup>h</sup> 10<sup>m</sup>, November 30. 1) G. E. 1<sup>h</sup> 10<sup>m</sup>.

## Stellungen der Saturnmonde. (Erläuterung S. 24)

Zeilen der heliogenen Elongation im November 1904.

Tethys. November 3. 4<sup>h</sup>, November 4. 1<sup>h</sup>, November 5. 1<sup>h</sup>, November 6. 1<sup>h</sup>, November 7. 1<sup>h</sup>, November 8. 1<sup>h</sup>, November 9. 1<sup>h</sup>, November 10. 1<sup>h</sup>, November 11. 1<sup>h</sup>, November 12. 1<sup>h</sup>, November 13. 1<sup>h</sup>, November 14. 1<sup>h</sup>, November 15. 1<sup>h</sup>, November 16. 1<sup>h</sup>, November 17. 1<sup>h</sup>, November 18. 1<sup>h</sup>, November 19. 1<sup>h</sup>, November 20. 1<sup>h</sup>, November 21. 1<sup>h</sup>, November 22. 1<sup>h</sup>, November 23. 1<sup>h</sup>, November 24. 1<sup>h</sup>, November 25. 1<sup>h</sup>, November 26. 1<sup>h</sup>, November 27. 1<sup>h</sup>, November 28. 1<sup>h</sup>, November 29. 1<sup>h</sup>, November 30. 1<sup>h</sup>.

Dione. November 3. 4<sup>h</sup>, November 4. 1<sup>h</sup>, November 5. 1<sup>h</sup>, November 6. 1<sup>h</sup>, November 7. 1<sup>h</sup>, November 8. 1<sup>h</sup>, November 9. 1<sup>h</sup>, November 10. 1<sup>h</sup>, November 11. 1<sup>h</sup>, November 12. 1<sup>h</sup>, November 13. 1<sup>h</sup>, November 14. 1<sup>h</sup>, November 15. 1<sup>h</sup>, November 16. 1<sup>h</sup>, November 17. 1<sup>h</sup>, November 18. 1<sup>h</sup>, November 19. 1<sup>h</sup>, November 20. 1<sup>h</sup>, November 21. 1<sup>h</sup>, November 22. 1<sup>h</sup>, November 23. 1<sup>h</sup>, November 24. 1<sup>h</sup>, November 25. 1<sup>h</sup>, November 26. 1<sup>h</sup>, November 27. 1<sup>h</sup>, November 28. 1<sup>h</sup>, November 29. 1<sup>h</sup>, November 30. 1<sup>h</sup>.

Rhea. November 3. 4<sup>h</sup>, November 4. 1<sup>h</sup>, November 5. 1<sup>h</sup>, November 6. 1<sup>h</sup>, November 7. 1<sup>h</sup>, November 8. 1<sup>h</sup>, November 9. 1<sup>h</sup>, November 10. 1<sup>h</sup>, November 11. 1<sup>h</sup>, November 12. 1<sup>h</sup>, November 13. 1<sup>h</sup>, November 14. 1<sup>h</sup>, November 15. 1<sup>h</sup>, November 16. 1<sup>h</sup>, November 17. 1<sup>h</sup>, November 18. 1<sup>h</sup>, November 19. 1<sup>h</sup>, November 20. 1<sup>h</sup>, November 21. 1<sup>h</sup>, November 22. 1<sup>h</sup>, November 23. 1<sup>h</sup>, November 24. 1<sup>h</sup>, November 25. 1<sup>h</sup>, November 26. 1<sup>h</sup>, November 27. 1<sup>h</sup>, November 28. 1<sup>h</sup>, November 29. 1<sup>h</sup>, November 30. 1<sup>h</sup>.

Tyde. November 3. 4<sup>h</sup>, November 4. 1<sup>h</sup>, November 5. 1<sup>h</sup>, November 6. 1<sup>h</sup>, November 7. 1<sup>h</sup>, November 8. 1<sup>h</sup>, November 9. 1<sup>h</sup>, November 10. 1<sup>h</sup>, November 11. 1<sup>h</sup>, November 12. 1<sup>h</sup>, November 13. 1<sup>h</sup>, November 14. 1<sup>h</sup>, November 15. 1<sup>h</sup>, November 16. 1<sup>h</sup>, November 17. 1<sup>h</sup>, November 18. 1<sup>h</sup>, November 19. 1<sup>h</sup>, November 20. 1<sup>h</sup>, November 21. 1<sup>h</sup>, November 22. 1<sup>h</sup>, November 23. 1<sup>h</sup>, November 24. 1<sup>h</sup>, November 25. 1<sup>h</sup>, November 26. 1<sup>h</sup>, November 27. 1<sup>h</sup>, November 28. 1<sup>h</sup>, November 29. 1<sup>h</sup>, November 30. 1<sup>h</sup>.

Iapetus. November 13. 10<sup>h</sup> 10<sup>m</sup>.

Mehrere größere und kleinere

## *astronomische Fernrohre*

sind sehr preiswürdig zu verkaufen. Reflektanten wollen sich wegen starker Mängelungen zu maß werden.

**Prof. Dr. Hermann J. Klein in Köln-Lindenthal.**

Verlag: Prof. Dr. Hermann J. Klein in Köln-Lindenthal. — Druck von Gustav Lübbe in Leipzig. — Ausgabe vom 21. August 1904.





Verlag von Eduard Heinrich Mayer in Leipzig.

Verlag, erschien und ist durch alle Buchhandlungen zu beziehen.

## JAHRBUCH

der Fortschritte der

# Astronomie und Geophysik

(Astronomie, Meteorologie, physikalische Astronomie)

Herausgegeben von

Professor Dr. Hermann J. Klein.

Verdorbener Jahrgang 1903

Wien u. P. 80 neue Tafeln. Preis gebunden 8. 1.—

Das Jahrbuch der Fortschritte der Astronomie und Geophysik hat sich durch seinen sorgfältig redigierten Inhalt, sowie durch die jeden Jahrgang beigegebenen Tafeln, einen gehobenen Rang erworben und wird den wissenden Freunden wissenschaftlicher Forschung, sowie allen Verehrern und Freunden der physikalischen Astronomie und der Meteorologie ungetrübt zur Anschaffung empfohlen.

Bei Abnahme der ganzen Folge (Bände I.—IV.) wird die Annahmepreise bewilligt und wurde man sich möglichst durch die Verlagsanstalt.

Verlag von Eduard Heinrich Mayer in Leipzig.

Verlag, erschien und ist durch alle Buchhandlungen zu beziehen.

# Führer am Sternenhimmel

Für Freunde astronomischer Beobachtung

von

Professor Dr. Hermann J. Klein

Leipzig, verbesserte Auflage.

Mit zahlreichen Abbildungen im Text.

Neu 7. Edition. Stern- und Himmelsatlanten

zu 800 g. 1. Stern- und Himmelsatlanten Preis 4 Mark, Original-Edition 4 Mark.

Der vollständigste Führer am Sternenhimmel, der die neuesten Entdeckungen der Astronomie in sich fasst, hat den Namen der Astronomie zu einem praktischen Werk, das die Ergebnisse ständiger Arbeit der Astronomie, die eine solche die neuesten Ergebnisse der Wissenschaft in sich fasst, darstellt. Dieses Werk ist in jeder Hinsicht geeignet, die neuen Entdeckungen, die durch die Astronomie den Astronomen entgegensteht, darzustellen zu helfen.

— Zu beziehen durch jede Buchhandlung. —

Verlag von Eduard Heinrich Mayer in Leipzig.

# Die Wunder des Erdballes.

Allgemeine wissenschaftliche Darstellungen

Entstehung und Ergebnisse der physikalischen Erdkunde.

von

Professor Dr. Hermann J. Klein.

Leipzig, verbesserte und erweiterte Auflage

zu 800 g. 1. Edition. Preis 4 Mark. Gebundene Preis 7 Mark.

Der Verfasser, ein Forscher von der Höhe der Darstellung, welche bekannt, gibt in diesem Werke, ein neues Bild, eine neue Darstellung der Erde, die die neuesten Entdeckungen der Wissenschaft in sich fasst, darstellt. Dieses Werk ist in jeder Hinsicht geeignet, die neuen Entdeckungen, die durch die Astronomie den Astronomen entgegensteht, darzustellen zu helfen.

— Zu beziehen durch jede Buchhandlung. —



**G. & S. Merz**  
Optisches Institut  
von **Dr. Theodor & Franz Merz**  
München, Kaiserstr. 21.

**Fernrohre**  
zu astronomischen  
und terrestrischem Gebrauch.  
Bestens probirt, genau und leicht

Verlag von **Edward Heinrich Mayer** in Leipzig.

Jede dieser Monate erscheint und ist durch alle Buchhandlungen zu beziehen.

Das

## Wesen der Elektrizität und des Magnetismus.

In ganzverständlicher Darstellung erklärt

von **Carl Neumann**, Stadt Rat.

Mit 12 Abbildungen in Text. Doppel broch., 42, Bogen gr. 8°. Preis Mk. 1.80.

Für jeden Gebildeten, der sich über Elektrizität und Magnetismus orientieren will, von ungleichmäßigem Interesse.

Von den älteren Jahrgängen des

## „Sirius“

Zeitschrift für populäre Astronomie

haben sich auch über kleine Anzahl vertrieft und zwar 1874, 1875, 1876—1878, 1881, 1882, 1883, 1884—1887. Schenke diese geringen Vorräte raschen, bevor sie die Stadt in beschämten Exemplare für A. & E.

Leipzig, im August 1888

**Edward Heinrich Mayer**

Verlag von **Edward Heinrich Mayer**, Leipzig.

Jedes erscheint und ist durch alle Buchhandlungen zu beziehen.

## Kosmischer und irdischer Vulkanismus.

Vergleichende Untersuchungen über das vulkanische Problem.

Von

**Prof. Dr. Hermann J. Klein.**

gr. 4°. 28 S. Mit 1 Tafel und 4 Abbild. Im Cart. Preis 75 Pfennige.

Der Kern dieser Abhandlung, welche für Geographen, Geographien und Geologen in gleicher Weise interessant ist, ist die Darstellung Vulkane des Meeres in ihrem Bau von denjenigen der Erde. Untersuchungen über das Wesen des irdischen Vulkanismus.





# SIRIUS

Zeitschrift für

populäre Astronomie

Herausgegeben unter Mitwirkung  
 hervorragender  
 Fachmänner und astronomischer Schriftsteller  
 von  
**Prof. Dr. Hermann J. Klein in Köln-Museen.**

— **VERLAG VON KNEVEL** —

**H. Heß.**



**Karl Eduard Mayer**  
 Verlagsbuchhandlung  
 K.P.333, Kempten i.B.



# **Inhalt des zehnten Heftes.**

(Inhaltsverzeichnis.)

	Seite
Die experimentelle Nachbildung der Gebirgsformen aus dem Kneten. Von Dr. Klein . . . . .	217
Eine im Sonnenpektrum beobachtete Wellenlänge der $H_\gamma$ -Linie . . . . .	220
Der Lichtwechsel des Cometasteroids $\gamma$ Capell . . . . .	221
Die Tätigkeit des astrophysikalischen Observatoriums in Potsdam im Jahre 1903 . . . . .	223
Verehrung . . . . .	227
Veranschaulichung der Naturwissenschaften . . . . .	228
Neubildung auf dem Monde.	
Einfluß des Mondes auf die Niederschläge.	
Der Planet Uran.	
Photographische Untersuchung des Spektrums des Planeten Jupiter.	
Der 8. Saturnmond (Phoebe).	
Der Afrika-Expedition nach Chile. (Harris Tafel XII.)	
Die Abhängigkeit des Helligkeits Grades der erdmagnetischen Elemente in Rußland vom Sonnenfleckenstand.	
Umanow und Spangberg.	
Untersuchung astronomischer Untersuchungen.	
Astronomischer Kalender für den Monat Dezember 1904 . . . . .	237
Stellungen der Jupitermonde im Dezember 1904 . . . . .	238
Entscheidungen der Jupitermonde . . . . .	240
Stellungen der Saturnmonde . . . . .	240

LEIPZIG, Neudruck 10.

**Edvard Heinrich Mayer,**  
Verlagsbuchhandlung.

# SIRIUS.

Zeitschrift für populäre Astronomie.

Centralorgan für alle Freunde und Förderer der Himmelskunde.

Herausgegeben

unter Mitwirkung hervorragender Fachkollegen und wissenschaftlicher Schriftsteller

von Prof. Dr. Hermann A. Klein in Köln.

Oktober 1904.

„Wissen und Erleuchtung sind der Freude und der  
Bereicherung der Menschheit.“ — Lessing.

Jeden Monat 1 Heft. — Jährlich 12 Mk.

Verlag von EDUARD HEINRICH MAYER in Leipzig.

INHALT. Die experimentelle Nachbildung der Gehirnsformationen des Mondes. Von Dr. Klein. S. 217. — Eine im Sonnenopakeum beobachtete Strömung der Dg-Gase. S. 220. — Der Lichtverlust des Gaselektren „Cathode“. S. 221. — Die Tätigkeit des meteorologischen Gaselektren in Frankfurt im Jahre 1903. S. 225. — Vorhersage. S. 225. — Vermischte Nachrichten. S. 226. — Astronomischer Kalender. S. 227. — Störungen der Jupitermonde im Dezember 1904. S. 228. — Erscheinungen der Jupitermonde im Dezember 1904. S. 229. — Störungen der Saturnmonde im Dezember 1904. S. 230.

## Die experimentelle Nachbildung der Gehirnsformationen des Mondes.

Von Dr. Klein.

Prof. Dr. Robert Dorn in Elbing hat verjüngt die Ergebnisse neuerer physikalischer Experimente veröffentlicht, die geeignet sind, eine gewisse Anwendung auf die Formationen der Mondoberfläche zu finden. Auch hat Prof. Dorn diese Anwendung selbst in ausgedehnter Maße gemacht. Das Experiment, welches wir hierin sehen, ist unter dem Mikroskop genügend untersuchbar und, bereits kurz in folgendem:

Zwischen zwei quadratische Glasplatten, werden 1 bis 2 Tropfen einer Flüssigkeit (Regenröte, Kolophonium oder in ähnlichem Alkohol gelöst) gebracht und diese der Spritzflasche einer Benzinlampe ausgesetzt. Wie schon zu erwarten war, durch das Glas nicht spritzt, gibt Prof. Dorn selber an. Nachdem die Gläser eine gewisse Zeit von der direkten Flamme durchglüht worden und 10 Minuten hindurch abgekühlt sind, werden die Glasplatten voneinander getrennt und es können die entstehenden Faltungsformen unter dem Mikroskop betrachtet werden. „Durch die Anwendung von zwei Glasplatten wird

<sup>1)</sup> Mikroskopische Faltungsformen. Ein physikalisches Experiment, veröffentlicht von Prof. Dr. R. Dorn, Elbing 1904, Verlag von A. W. Kohnmann.

einmal bewirkt, daß die darunter gebrachte Hartmasse sich in einer dünnen Schicht verteilt, welche verhindert, die obere Platte durch ihren Druck um zu schnelleren Gelingen und Festwerden der Füllungsart und richtig mit zu starker Ausbreitung der der unteren Platte von der Flamme anliegenden Hitze. Nur so kann ein Hintergrund für die Hartlösung erzeugt werden, wie es zur Hervorbringung der schönsten Füllungsformen unbedingt notwendig ist. Endlich wird nur auf diese Weise ein Glasapparat geschaffen, welcher der Gieß- der dicken Flamme widersteht, und einer Anwendung der kritischen ist wiederum ein Gelingen des Experiments ermöglicht.

Zu erwähnen ist, daß einige Minuten nach Beginn des Experiments zwischen den Glasplatten leichter Dampf hervorquillt, der von der Verdampfung des Wassergehalts der Flüssigkeit herrührt. Prof. Dorr hat diese Dampfbildung gewöhnlich 2 bis 5 Minuten lang beobachten können, doch so mag, wenn auch schwach, sehr wohl auch vorhanden gewesen sein, als er davon nichts mehr wahrzunehmen vermochte.

Die typischen Füllungsformen und auf der oberen wie auf der unteren Platte die gleichen. Prof. Dorr bemerkt noch: „Daß die unterste Glas- der dicken Flamme als die Füllungs- flüssigkeit der durch erhitzte Luft und kaltem Wasserdampf mitgetheilten Platte erzeugt, wird dadurch bewiesen, daß Glasplatten, die man nicht der dicken Flamme aussetzt, auch keine gelassenen Objekte enthalten. Es ist eben dieses wichtigste Moment des Experiments für den Füllungsprozeß unerlässlich. Ja, man kann beobachten, daß die Füllungsformen auf dem kalten Platten, den die Flamme unmittelbar berührt, am vollkommensten und schönsten sind, daß sie in der darauffolgenden Region rarer, undeutlicher und unvollkommener werden und weiterhin ganz verschwinden.“

Die Füllungsformen sind röhrenförmig, hohle Bildungen, die durch ihre Regi-

mäßigkeit, Symmetrie und Schönheit das Eindringen des Beobachters anziehen, die um so größer ist, wenn man bedenkt, wie klein diese Objekte sind, und daß auf einem Raum von  $\frac{1}{100}$  mm Durchmesser solche so ganz regelmäßige, sondern höchst zugleich höchst komplizierte Gebilde sich zu entstehen imstande sind.

Prof. Dorr gibt eingehende Beschreibungen und zahlreiche Zeichnungen der entstandenen Formen, unter denen die Kreisformen überwiegen, darunter solche mit zentralen Erhebungen, sowie röhrenförmige Füllungen. An den Rändern der Glasplatte entstehen sich aus den dort beobachteten Härteabschnitten vielfach knollenförmige Gebilde. „Häufiger Wasserdampf“, sagt Prof. Dorr, „entweicht sich in dieser Richtung, weil sie wegen ihres größeren Volumens mehr Wasser enthält, bereits in größerer Menge, und da die entstehende Härtezone hier wegen ihrer größeren Dichte entsprechend höher ist, so werden hier kuglig- und zylinderförmige Schöße ausgehoben, aus deren hohlen Innern der Wasserdampf entweicht. Man hätte es hier also mit mikroskopisch kleinen Erhebungskeimern zu tun. Diese entstehen wohl der während des Experiments zwischen den Glasplatten hervorquellende Wasserdampf zum größten Teile. Der obere Teil dieser Keimgebilde ist gekrönt, bedeckt teilweise die Randöffnungen. Die Füllung wachst wohl durch den ausströmenden heißen Dampf heran. Die zylinderförmigen sind niedriger, mit einem Aufwärtswachstum. Ihr Inneres ist hohles, glänzend dunkelbraun, gelblich durch die eingedampfte Kuppe des ursprünglich blauschwarzen Aufblühungsgebildes. Kleine Öffnungen in der inneren Fläche sind öfters zu bemerken.“

Die kegelförmigen Kristalle sind eigentümliche Schöße, in der Mitte ihrer inneren Röhre gewöhnlich von dunkler, unregelmäßig geformter Masse, die jedoch mehrschichtig durchbläutert ist, verengt. Betrachtet man sie von der Rückseite der Glas-

platte, dann erstreckt der untere Teil ihrer Höhlung nach der Glasfläche hin trichterförmig erweitert, an der weiteren Öffnung von konvexen Flächen begrenzt.

Während die cylinderförmigen Bildungen seltener auftreten, kommen die kegelförmigen besonders in großer Anzahl vor und in allen Größen, bei 140facher Vergrößerung zum Teil von Kümehinggröße, aber Kümehinglicher aus noch als dunkle Punkte erscheinend.

Aus diesen kurzen Ausführungen ergibt sich schon, daß das einfache Experiment eine Menge der interessantesten Formen liefert, in der Regel handelte, je hundert von Cichliden der verschiedensten Art nebeneinander. Der Gedanke an einen Vergleich mit den Formen der Mondoberfläche drängt sich dabei von selbst auf und im nächsten Prof. Dorr nicht entgegen. Er bringt eine Menge Vergleiche und Verweise bezüglich der runderen Bildungen. Da finden sich einfache Kugeln, Doppelkugeln, Katenreihen, Ringwälle mit Ausbuchtungen, Teufelsstellungen, Hakenformen, polygonale Wallbildungen, redete Lingualen, Hügelketten, Kränze, Bergketten, Gräben, Netze, Berge mit Kränzen auf ihrem Rücken, kurz alle Formen der Mondlandschaften? Prof. Dorr weist auf nachdrücklichste darauf hin. Allerdings betont er auch, daß man nicht ohne weiteres aus analogen Formen auf analoge Gestaltungsprozesse schließen dürfe, allen wenn die Analogie der Form so wesentlich aufleuchtet wie zwischen den affektologischen Hingbildungen und den Cichlidengestaltungen der Mondoberfläche noch weniger als 30 typische Formen mit zahlreichen Unterabteilungen, daß man doch wohl fragen, ob in diesem Falle nicht gewöhnliche Entstehungsmechanismen anzunehmen sind.

«Die Entstehung der Oberflächengebilde des Mondes,» sagt Prof. Dorr, «ist wahrscheinlich im wesentlichen in die Zeit, als seine Kruste aus dem feuerflüssigen in den festen Zustand überging, in die Zeit ihrer Erstarrung. Zwar

fehlten damals wie heute dem Monde Luft und Wasser im tiefsten Sinne ganz und gar. Doch dürften ihm Gase, die durch den Erstarrungsproceß in hohle Spalten versetzt und als knifflige lebende Agnaten wirkten wurden, nicht gefehlt haben. Dazu kam, daß die Schwerkraft auf dem Monde weit geringer ist als auf der Erde und seine Masse nur etwa des halben Dichtigkeits der Erdensteine besitzt. Sollten da nicht die von innen wirkenden lebenden Kräfte mächtiger gewesen sein, das plastische und leuchtende Material der Mondoberfläche an unendlichen Stellen blaseförmig aufzubauschen? Spricht nicht die ungeheure Anzahl der Mondkrater dafür, für die eine andere Entstehungsweise kaum möglich erscheint? Kann man sich vorstellen, eine derartige Formung der Mondkrater zu Zeit ihrer Erstarrung für möglich zu halten, dann erscheinen die bei dem oben beschriebenen Experimente auftretenden physikalischen Vorgänge als analoge und auch der durch das Experiment erzeugte Faltengeproß dürfte als ein einst bei der Erstarrung der Mondkrater wirksam gewirktes Moment betrachtet werden dürfen. Dann erklären sich auch die folgenden Analogie der Form.

Es würden somit die meisten Formelemente der von sich selbst Mondoberfläche Aufblähungsgebilde der von dem innerflüssigen Zustande entstehenden Mondkrater sein, die zum Teil nach dem Erweichen dieser lebenden und leuchtenden Gase mehr oder weniger zurückfallen und sich dabei mehr oder weniger ähnlich verhalten.

Prof. Dorr zeigt durch Vergleich mit den Formen auf der großen Mondkarte von J. Schmidt im einzelnen die Überähnlichkeit der Formen auf der Mondoberfläche mit denjenigen, die von Experiment liefert. Diese Überähnlichkeit ist frappant, sie wird meines Erachtens aber noch besser, wenn Prof. Dorr die photographischen Mondkarten der Pariser Sternwarte zum Vergleich herangezogen hätte. Denn die schmale

trischen Zeichnungen in den Manuskripten von Madler und Schmidt, ebenso wie in den ersten Versuchen einiger Delin-  
tanten, sind für vergleichende scholasti-  
sche Studien nicht sehr geeignet,  
jedoch neben den photographischen  
Aufnahmen der Mondoberfläche höchst  
unvollkommen. Was sich anbetrifft,  
so muß ich gestehen, daß die Deutschen  
Experimente höchst beachtenswert sind,  
so geben meine Entwürfe ein zutreffen-  
des Bild der Art und Weise, wie die  
Mondgebirge entstanden: nur haben wir  
ein Analogon der heutigen Ozean und des  
bedeckten, dampfartigen Magmas,  
wie wir es kaum besser wünschen  
können. Schade nur, daß die Gebirge  
bloß am Mikroskop zu sehen sind. Ich  
habe die Ergebnisse der Deutschen Ver-

suche häufig in Über einstimmung mit  
den Schlußfolgerungen über die Ent-  
stehung der Mondgebirge, die ich an-  
knüpfe in meiner Schrift «Kosmos»  
und anderer Vulkanismus» entwickelt  
habe. Ich füge dort, daß die ähnlichen kreis-  
förmigen Mondformationen (mit Aus-  
nahme der kleinen Kratergebirge) auf  
der Erde nicht verbreitet sind und sich  
sonst nicht vertreten waren. Die Deutschen  
Versuche führen mich nur zu Folgerungen,  
die denen des Mondes gleichen, sie  
auszusprechen solchen des irdischen  
Vulkanismus. Alles, was ich in meiner  
genannten Schrift schriftlich entwickelt,  
habe ich seine volle Bestätigung in den  
Deutschen Versuchen.

## Eine im Sonnenspektrum beobachtete Umkehr der $D_1$ -Linie.

Über berichtet H. Kessler in  
der deutschen physikalischen Ge-  
sellschaft.<sup>1)</sup>

Die dem Helium angehörige, ge-  
wöhnlich als  $D_1$  bezeichnete Linie, tritt  
in dem Berichte Kesslers, trägt sich  
als hell im Spektrum der Chromo-  
sphäre und der Protuberanzen, sowie  
meistens in der Luftströmung der Sonnen-  
flecke. Sie ist leicht wahrzunehmen,  
wenn man auf die Spektralanalyse eine  
stark veränderte Spektralanalyse ein-  
setzt. Tritt die Spektralanalyse der  
Sonnenflecke, so sieht man  $D_1$  je  
nach der Größe des leuchtenden als mehr  
oder weniger lange helle Linien, stellt  
man den Spektralanalyse so ein, so  
sie ist, später Hervorhebung aus dem  
kontinuierlichen Spektrum, wenn der  
Spektralanalyse auf eine ausgeglichene  
Protuberanz tritt. In letzteren Fällen  
korrespondiert ihre Länge mit der Höhe  
der Protuberanz an der betreffenden  
Stelle.

Eine dunkle Linie vom Charakter

einer gewöhnlichen Fraunhoferlinie am  
Orte der hellen  $D_1$ -Linie existiert nicht.  
Nur,  $\gamma$  (Heliohelium)<sup>2)</sup> und Wood<sup>3)</sup>  
sahen allerdings an der Basis von Pro-  
tuberanzen innerhalb der hellen  $D_1$  eine  
sehr feine dunkle Linie, die aber wahr-  
scheinlich nicht als eine Umkehr be-  
trachtet, sondern darauf zurückzuführen ist,  
daß die gelbe Heliumlinie in Wahrheit  
doppelt ist.<sup>4)</sup>

Indessen hat Young schon am  
22. September 1878 an der Peripherie  
eines Flecks  $D_1$  als graue Schatten  
beobachtet. Letztere Erscheinung, eine  
unvollständige Umkehrung der  $D_1$ -Linie,  
ist schon, über spätere Beobachtungen  
ähnlicher Art habe ich in der Literatur  
keine Angaben finden können.

Am 12. Juni 1904 zwischen 12 und  
2 Uhr beobachtete ich im Physikalischen  
Institut zu Berlin die Sonne an einem  
schrägen Reflektor und einem Spektra-  
skop, dessen Dispersion der von dem

<sup>1)</sup> C. R. 102, 454, 1906.

<sup>2)</sup> Messure d. l'abs. d. Spectroscopie  
II, 1902.

<sup>3)</sup> Astronomy and Astrophysics 15, 191.

<sup>4)</sup> Astrophys. Journal 8, 1905.

<sup>5)</sup> Bericht d. deutsch. phys. Ges. 1904,  
S. 190.

Schwefelkohlenstoffspannen von 65° gleichkommt. Der Durchmesser des auf die Spaltkante projizierten Sonnenbildes betrug 8 bis 6 m, das Fernrohr des Spektroskops hatte eine achtsache Vergrößerung.

Zwischen dem Zentralmeridian und dem Wendepunkt der Sonne befand sich eine Gruppe von vier kleinen, kreisförmig angeordneten Flecken. In der nächsten Umgebung dieser Flecken waren die Fraunhofer'schen Linien C und F auslöslich, in den Flecken selber hell. Die beiden D-Linien traten in den Flecken außer der gewöhnlich beobachteten Verbreiterung keine Ausmalen. (Young sah bei der vorher erwähnten Gelegenheit die D-Linien in der Prominenz hell.) Die Linie D<sub>2</sub> war in den Flecken selbst nicht zu sehen, dagegen zeigte sie sich in der Umgebung, wo C und F auslöscher waren,

sie dunkler, etwas verschwommen, an beiden Enden spitz auslaufendes Band, und zwar nicht schwarz, sondern mattgrau.

Die Erscheinung war sehr augenfällig. Herr Dr. Sterke, der zufällig herbeikam, sah die dunkle Linie auf den ersten Blick. Leider wurde die Beobachtung durch Bewölkung vielfach unterbrochen, so daß eine genauere Observierung der Flecke und ihrer Umgebung, besonders mit Mikroskop auf die Ausmalenheit von Farbdeutlichkeit nicht angestellt werden konnte.

Am 12. Juni war D<sub>2</sub> noch dunkler zu sehen, allerdings viel weniger deutlich. Das Aussehen der Linien C und F war von ihrem gewöhnlichen Anblick nicht mehr verschieden. Fleckeln von besonderer Helligkeit waren an diesem Tage in der Umgebung der Flecken nicht zu bemerken.

(Fortsetzung folgt.)

## Der Lichtwechsel des Granatsterns „Cephei“.

**D**as Sternbild des Cepheus in Right Ascension 21<sup>h</sup> 40<sup>m</sup> 22<sup>s</sup>, Decl. +58° 19' für 1900, unter der Stern 4.5 Größe  $\alpha$ , dem  $\oplus$  Menschel wegen seiner intensiven Farbe den Namen Granatstern gegeben hat. Man hat längst vermutet, daß dasselbe, ähnlich wie viele andere rote Sterne, Helligkeitschwankungen unterliege, allein eine genaue Untersuchung des beschriebenen Beobachtungsmaterials lag nicht vor. Diese hat nunmehr Dr. J. Plafmann angestellt und die Ergebnisse denselben veröffentlicht.<sup>1)</sup> Gerade wegen der roten Färbung ist der Stern immer als ein schwachrotes photometrisches Objekt angesehen worden. Der Lichtwechsel solcher Sterne kann nur bei aufeinander, starrer Verfolgung des Sternbildes allmählich erkannt werden; ist nun der Umfang der Schwankungen so gering wie an-

genommen bei dem genannten Sterne, so hält man die Beobachtungen für unmöglich und nennt sie ungelungen. Ich wieder auf. Dabei darf es nicht übersehen werden, sagt Plafmann, daß die so kritischen Beobachter wie Schiefel die Granatstern zu beobachten unterlassen hat, da seine Untersuchung der vorzüglichen angelsächsischen Verzeichnisse nicht Zuverlässiges ergeben wollte. Da jedoch Dr. Plafmann bereits im Jahre 1890 durch die Diskussion seiner eigenen, damals 360 Beobachtungen umfassenden Reihe von dem Bestehen einer kleinen aber deutlichen kurzperiodischen Schwankung Kenntnis erhielt, neben welcher größere seltene Änderungen eintreten, hat er die angelsächsischen Reihe in derselben Weise berechnet und auch hier die Schwankung nachweisen können, ferner tritt sie in der Beobachtungsreihe von Julius Schmidt, der jüngsten von allen, deutlich zutage, und Plafmann

<sup>1)</sup> Untersuchungen über den Lichtwechsel des Granatsterns „Cephei“. Von Dr. Jos. Plafmann. Münster i. W. 1904.

fortgesetzte Beobachtungen, die die eigene Farbe schon auf die doppelte Länge der früheren Vorlage ausgedehnt haben, lassen das Fortbestehen des Gesetzes erkennen. Kleine Rötten und konträre Beobachtungen von Hida, Goro, Hartung, u. Stoppel u. a. befähigen mehr oder weniger gut die aus den größeren gezogenen Ergebnisse.

Die Untersuchungen Dr. Pfaffmann geben die Beobachtungen und Rechnungen, welche zu dem Nachweise der doppelten oder dreifachen Periodizität im Lichtwechsel des Granatsterns führen, in großer Vollständigkeit mit den nötigen Erläuterungen wieder. Gabelst hat ihn dabei der Gedanke, daß ein Zeitsystem, dessen Lichtschwankungen in Mitteleuropa ohne große Lücken verfolgt werden können, trotz der Geringfügigkeit derselben doch die Theorie der ersten Veränderlichen fast eine bessere Handhabe finden kann, als selbst ein Objekt wie Mira Ceti, wo man mit starker Verunsicherung, aber auch mit großen Untersuchungen der Beobachtungen durch Sonne und Mond zu rechnen hat.

Dr. Pfaffmann gibt in seiner Arbeit eine eingehende kritische Behandlung der Beobachtungsreihen, besonders von Argander, J. Schmidt, Ed. Hida und seiner eigenen, außerdem der Beobachtungen von Farkas, Goro, Backhaus, O. u. Stoppel und anderer. Die Folgerungen, welche er zieht, sind nachstehend:

1. Die größte in den 160, 600 und 700 Jahren von Argander festgestellte Helligkeit des Granatsterns beträgt etwa 3,7, die kleinste 4,7 Größenklassen der Potsdamer Skala. Für die Zeit von 1671 bis 1888 ist dies nicht zu zweifeln, weil die Beobachtungen von Schmidt für die Abtönung absoluter Helligkeiten nicht brauchbar ist. In der Zeit von 1888 bis 1909 hat die Helligkeit sehr mehr derselben Extreme gehabt wie bei

Argander, das folgt aus den Vorlesungen Beobachtungen unter Berücksichtigung des systematischen Fehlers in der Klassifizierung.

2. Es besteht ein Lichtwechsel von langer Periode, die zu Arganders Zeiten 400 bis 480 Tage betrug, von aber auf etwa 1800 Tage angewachsen ist. Die Amplitude dieses Wechsels betrug damals und heute etwa eine halbe Größenklasse. Da der Maximum verschiedene Höhen erreichte, und zwar vermutlich in Abhängigkeit von einer größeren Periode, wächst die Schwankung im ganzen auf eine volle Klasse an.

3. Neben dem großen Perioden besteht eine kleinere, die um 1868 etwa 60<sup>d</sup> betragen hat, von 1872 bis 1876 etwa 90<sup>d</sup> mit progressiver Verlängerung von 1888 bis 1909 noch genau 90<sup>d</sup>. Ihre Amplitude ist von der Größenordnung der photosynthetischen Stufe. Zur Zeit von Schmidt beobachtete, und auch heute scheinen zwei oder mehr Wellen neben dieser Schwankung zu bestehen, von denen bald diese, bald jene deutlicher erkennbar ist. Die kleinen Variationen klagen nach Amplitude und Epoche von den großen ab, und die Abhängigkeit ist wohl einfach physikalisch zu erklären.

4. Die Beobachtung größerer Beobachter zeigt auch beim Granatstern ziemlich konstante systematische Unterschiede, es wird daher unter geübigen Vorzeichenaufrufen erlaubt sein, gleichzeitig mit denselben größere Beobachtungsreihen solcher von Klassifizierung zu kombinieren. Die Beobachtung ausgebildeter Beobachter verleiht dem systematischen Schwankungen, die über den weiten Lichtwechsel des Granatsterns nicht ganz verdecken.

Neben fortgesetzten Beobachtungen der Helligkeit nach Arganders Methode hält Pfaffmann viel mehr eine genau geordnete Untersuchung des Sterns für wichtig.



## Die Tätigkeit des astrophysikalischen Observatoriums in Potsdam im Jahre 1903.

**E**s ist bereits gilt Geh. Rat Prof. Vogel in der V. d. A. G. einen Überblick der Tätigkeit des seiner Leitung unterstellten Kgl. astrophysikalischen Observatoriums in Potsdam. Wir entnehmen denselben das Nachfolgende.

Das photographische Objektiv des großen Refraktors von 80 cm Öffnung ist von seinem Verfertiger Dr. Scheibel einigen Reflektionen unterworfen, wodurch eine wesentliche Verheerung der Strahlenverteilung im Brennpunkt erzielt wurde. An diesem Instrumente konnte Prof. Hartmann in 30 Wochen im zusammen 64 Abenden beobachten, und zwar wurden total mit Unterstützung von Dr. Lohndorff 136 Sternspektren mit Spektrograph I und 75 Sternspektren mit Spektrograph III aufgenommen. Infolge der ungünstigen Witterung gelangten Prof. Hartmann nur 2 Aufnahmen des Spektrums der Nova Geminorum mit 3. Sept. bzw. 1. Okt. 40 Mr. Belichtungszeit. Von dem Stern, welchem Prof. Seelig als Nova oder Veränderliche angesetzt hatte, fand sich zwei stück, von Prof. Hartmann mit dem 80 cm-Refraktor angefertigte Aufnahmen vor, aus denen er ableiten konnte, daß es sich um einen Veränderlichen handelte. Von den Sternspektren hat Prof. Hartmann 13 beobachtet, darunter insbesondere die Aufnahmen von «Corona», wobei die schon im vorigen Jahre von ihm verwandte Verengerlichkeit der Radialgeschwindigkeit dieses Sterns bestätigt wurde.

Die von den Professoren Wising und Scheibel gemeinsam unternommene Untersuchung über die Radialgeschwindigkeit heliener Nebel mit Hilfe des 80 cm-Refraktors ist im September 1903 zum Abschluß gebracht worden, nachdem im Laufe des Jahres noch an 23 Abenden Beobachtungen angestellt worden waren. Die Bearbeitung des gewonnenen Materials ist vollendet, und es hat sich dabei herausgestellt, daß die

von den Beobachtern erzielte Genauigkeit der Endwerte der von Koller errechnen gleichkommt, und daß eine gute Übereinstimmung zwischen den neuen Messungen und den Koller'schen vorhanden ist.

Mit dem Spektrographen IV sind am 12. u. 13. Oktober von Dr. Eberhard und Dr. Lohndorff an 67 Abenden im ganzen 208 Sternspektrogramme erhalten worden. Vom 1. Juli bis zum 15. Oktober wurde eine Phase in diesen Arbeiten eintreten, die infolge eines Kurzschlusses innerhalb der Feuerstraße die Hitzvermittlung des Spektrographen unterbroch in Tätigkeit gebracht war, wodurch der Apparat längere Zeit auf etwa 60° erhitzt wurde.

Von dem mit Spektrograph IV erhaltenen Platten hat Dr. Eberhard 74 bearbeitet, darunter die Spektrogramme von  $\gamma$  Cygni.

Prof. Vogel hat das recht mit dem Spektrographen IV erzielten Beobachtungsmaterial auch im vergangenen Jahre weiter besonders zu Untersuchungen benutzt, die sich auf die Ergründung der Beschaffenheit der Atmosphäre verschiedener Sterne richtet und zu einem gewissen Abschluß konnte er zur Untersuchungen bringen über das Verhalten der Magnetspektren 14431 und 14352 in Spektren der verschiedenen Klassen. Es erhebt ihm von Wichtigkeit, im Anschluß an die gründlichen und mit großer Umsicht von Prof. Hartmann in Gemeinschaft mit Dr. Eberhard über das Schwingen- und das Magnetspektrum im vergangenen Jahre zu Ende geführten Laboratoriumsarbeiten das Verhalten der genannten beiden Linien in Sternspektren eingehender zu studieren, als das bisher an der Hand der weniger vollkommenen Spektrogramme möglich war. Bekanntlich war von verschiedenen Astrophysikern, selbst (vor 11 Jahren) von Prof. Schuster, der Versuch gemacht worden,

aus dem Verlaufe gerade dieser beiden Linien Schlüsse über die Temperatur der Sternatmosphäre zu ziehen. Hatten nun schon die Abhandlungen von Prof. Hartmann und Dr. Eberhard über den Versuche im Laboratorium die Grundlagen für sonstige Temperaturbestimmungen vollkommen gestellt, so haben die Untersuchungen Prof. Vogls an Sternspektren dargetan, daß eine der Hypothese entsprechende Veränderung der beiden  $H\gamma$ -Linien 14481 und 4752 in dem verschiedenen Spektraltypen überhaupt nicht vorhanden ist.

Bei der in grosser Zahlbeobachtungen erfolgten Durchsicht der von Dr. Eberhard und Dr. Leubsdorff angefertigten Platten hat sich herausgestellt, daß  $\beta$  Arctis,  $\alpha$  Ursae majoris und  $\epsilon$  Ursae majoris höchstwahrscheinlich zu dem System mit variabler Radialgeschwindigkeit gehören.

Am Schlusse des Jahres fand Prof. Vogl Gelegenheit, sich mit dem Doppelsysteme, dem  $\beta$  Aurigae befassen, der zu besichtigen, was ihm durch die zahlreichen von Dr. Eberhard und Dr. Leubsdorff mit dem Spektrographen IV angefertigten Spektrogramme möglich war.

Die durch die Vervollkommenung der Spektroapparate ermöglichte Verbesserung der Untersuchungen an den Sternspektren hatte schon vor einigen Jahren Prof. Hartmann, Dr. Eberhard und Prof. Vogl darauf geführt, daß in den Rowland'schen Wellenlängenbestimmungen systematische Fehler vorhanden sein müßten, besonders in der Spektralgegend von 14410 und 14430. Prof. Hartmann hat nun auf Grund einer umfassenden Untersuchung der Rowland'schen Werte in einer Abhandlung, betitelt: «Eine Revision des Rowland'schen Wellenlängensystems», den zur Verbesserung desselben erforderlichen Weg aufgezeigt.

Prof. Wilsing hat den großen Spektroapparat für terrestrische Untersuchungen einer Prüfung unterworfen und Versuche mit dem Eisenpektrum in Luft

bei einem Manometerdruck von 40 Atmosphären angestellt. Kapazitär, Selbstinduktion und Faradayringe wurden, ausserdem aus innerlich reiner Quecksilber, verwendet. Es wurden scharfe Aufnahmen vom Eisenpektrum, wenn der Funke in Wasserstoff übersprang, bei einem Drucke von 71 Atmosphären angefertigt, sodass auch solche bei Entzündungen unter Wasser. Als Ergebnis der bis jetzt vorliegenden Untersuchungen stellte sich in Übereinstimmung mit Humphreys und Wobler heraus, daß die Linienverschiebungen im Eisenpektrum dem Drucke proportional sind, und daß für verschiedene Linien der Betrag der Verschiebung ein merklich verschiedener ist. Die Erklärung dieser Beibugung genügt, um die von physikalischen Ursachen hervorgerufenen Verschiebungen der Wellenlängen von den nach dem Dopplerschen Prinzip folgenden Verschiebungen trennen zu können.

Für die von Prof. Lokat unternommenen Untersuchungen von Metallspektren gelangte ein neues Rowland'sches Gitter zur Verwendung, welches sich als sehr gut erweist. Es wurden mit Hilfe desselben die Spektren einiger seltenen Erden, insbesondere Manganen aufgenommen.

Prof. Müller hat die Untersuchungen über die terrestrischen Linien im Sonnenspektrum nach der Cornu'schen Methode mit Hilfe des grossen Gitterspektrographen während des ganzen Jahres eifrig fortgesetzt; es sind im ganzen über 120 Aufnahmen gelungen, von denen ungefähr 50 zum Ausdrucken geeignet sind. Hierbei ist namentlich das Spektrum zweiter Ordnung benutzt worden, weil dieses am feinsten strukturiert ist und die schwachen Linien zeigt.

Die bisherigen Aufnahmen erlauben den Saue des Spektrums von 13400 bis zur B-Gruppe. Unbegrenzte Vermehrung hinsichtlich der für die Aufnahmen am zweckmässigen zu verwendenden Platten und der passenden Farbstoffe für die Empfindlichmachung derselben für verschiedene Spektralpartien führen

zu verhältnismäßig günstigen Resultaten, so konnte z. B. von der B-Gruppe bei zweifachigem Spalt schon bei einer Expositionszeit von 15 Minuten eine gute Aufnahme erhalten werden. Von Wichtigkeit ist auch die Verwendung von passendem Film von dem Spalt, um die störenden Überlagerungen des Spaltstrahls beseitigen zu können. Die Benutzung von gelbem oder rotem Glas vor dem Spalt erwies sich weniger günstig als die Anwendung von Flüssigkeiten, die in beträchtlicher Konzentration in Glasküvetten vor dem Spalt gebracht werden konnten.

Die Arbeiten mit dem Glimmerpolarographen erlitten mehrmals eine unheimliche Unterbrechung dadurch, daß die Verwitterung des Hochleistungsagats unter der Einwirkung des Raschens aus dem sauren Schmelzen sehr bald Schaden erlitt und einer Erneuerung bedurfte. Es wurde schließlich dadurch Abhilfe geschafft, daß der Spiegel von Prof. Löhrer mit einer ganz dünnen Schicht von Zaponlack überzogen wurde, wodurch sich die Verwitterung vermindert gehalten. Noch besser wird man demartige Störungen vermeiden können, wenn man Metallspiegel statt des verwitterten Glasagats verwendet. Versuche mit einem von der chemischen Fabrik Kahlbaum in Berlin gelieferten Spiegel aus einer besonders Metallgehalt haben uns sehr günstige Resultate gezeigt. Die Reflexionsfähigkeit ist zwar etwas geringer als bei einem verwitterten Glasagat, aber die Einwirkung von Witterung, Rasch usw. ist fast ganz unschädlich.

Mit dem planparallelen Aussetzen der Aufnahmen ist noch nicht begonnen worden, versucht wurden die Platten nur vorläufig durchzusehen, um zu beobachten, ob die fernstrahligen Linien leicht beobachtbar sind, und in welchen Teilen des Spektrums sie vorkommen. Diese Gegenstände sollen dann bei verschiedenen Sonnenhöhen und Luftmassen noch weiter studiert werden. In einigen Fällen im Blau und

Oran sind fernstrahlige Linien beobachtet worden, die bisher noch nicht bekannt zu sein scheinen. Von mehreren beobachtet gelungenen Aufnahmen sind durch den unglücklichen Fall positive Glasvergrößerungen, sowie einige vergrößerte Papierkopien angefertigt worden, um zu sehen, ob die Aufnahmen sich zur Reproduktion in größerem Maßstabe eignen. Die Nephelogen-Problem sind durchaus befriedigend gelöst.

Beobachtungen am großen Planeten. Prof. Löhrer hat am Planeten Mars in den Monaten März bis Mai an 24 Abenden beobachtet und besondere Positionbestimmungen des nördlichen Polsfelds angefertigt. Jupiter wurde an 26 Abenden von August bis Dezember eingeklebt, und es konnten zahlreiche Messungen an seiner Oberfläche, gebildet, darunter auch an dem namentlich seit 25 Jahren vorhandenen großen Fleck, vorgenommen werden. Saturn konnte zwar an 10 Abenden im Juli und August beobachtet werden, doch gelang es, wahrscheinlich infolge des hohen Standes des Planeten, nicht, das von ihm umlaufenden hellen Fleck zu sehen.

Phänomene. Die phänomenische Durchmusterung des nördlichen Himmels, die von Prof. Möller und Prof. Kempf in Göttingen angefertigt wird, ist tätig gefördert worden.

Der Venedigerhof X Person, dessen Verstecktheit von nahezu 10 Jahren eckelnd, und der selbst regelmäßig verfolgt worden ist, blieb während des ganzen Jahres 1920 im Heiligkeitsministerium. Wenn der Aufstieg zum Maximum ebenso schnell erfolgen sollte, als im Jahre 1898, würde sich bereits ein Anzeichen der Heiligkeit erweisen sein. Leider sind in den letzten Monaten wegen der Unruhe der Witterung keine Beobachtungen ausführbar gewesen.

Die Untersuchungen über die Heiligherforschung an der Nova Perse haben Prof. Möller und Prof. Kempf weitergeführt. Es ist namentlich alles überhaupt

verwendbare Beobachtungsresultat über Farbe und Helligkeit der Nova zusammengetragen und soweit gründet, daß ein ungefährer Überblick über das Wert der einzelnen Reihen hat gewonnen werden könnte. Die erhaltene Bearbeitung des gesamten, recht ungleichartigen Materials wird noch Bagen Zeit erfordern.

Der im Jahr 1903 als veränderlich erkannt Stern W Ursae maxima mit der außergewöhnlich kurzen Periode von 8 Stunden ist weiter verfolgt worden. Eine auf Grund der neueren Beobachtungen und mit Berücksichtigung der Lichtgleichung vorgenommene Neubestimmung der Periode hat den Wert  $4^h 0^m 13.8^s$  geliefert, der sehr wenig von dem zuerst abgelesenen Werte abweicht und wahrscheinlich schon innerhalb  $\pm 0.2^s$  richtig sein dürfte.

Der Veränderliche ST Herculis, dessen Entdeckung Prof. Müller und Prof. Kimpf gemacht, wurde von ihnen im Laufe des Jahres 72 mal beobachtet. Die Helligkeitsänderungen bewegen sich zwischen den Größen 15 und 8.5. Ein Maximum trifft sich für April 20 und ein Minimum für September 8; die Fortsetzung eines zweiten Maximums für das Ende des Jahres 1903 oder des Anfang des Jahres 1904 ist durch die ungenügende Wirkung verzögert worden.

Prof. Müller ist im Auftrage der Astronomischen Gesellschaft damit beschäftigt, in Gemeinschaft mit Herrn Prof. Hörbig in Bamberg einen neuen Katalog der veränderlichen Sterne herauszugeben. Die im Jahre 1903 für diese Untersuchungen ausgeführten Vorarbeiten bestehen in Sammel- und Zusammenstellen der Literatur über die Veränderlichen, wobei Prof. Müller von verschiedenen Mitarbeiterinnen unterstützt worden ist. Diese Arbeit ist nunmehr in der Hauptarbeit begründet, so daß die eigentliche Arbeit in diesem Jahre wohl beenden können.

Dr. Luckendorff hat alle vorhandenen Helligkeitsbeobachtungen des Veränderlichen  $\epsilon$  Aurigae einer Diskussion unter-

zogen. Dasselbe gilt es der Erkenntnis einer 27tägigen Periode der Helligkeitsschwankungen dieses Sterns sowie der Abgleichsänderungen der Lichtkurve. Ferner hat Dr. Luckendorff eine Anzahl von photometrischen Messungen an  $\beta$  und  $\gamma$  Persei, die von Prof. Vogel in den Jahren 1868 bis 1874 in Leipzig und Böhmen gemacht worden waren, bearbeitet.

Sonnenscheinflecke: Die regelhaften Auftritten der Sonne am Fleckensatzfeld traten im Jahre 1903 auf 38. An 18 Tagen wurden keine Auftritte gemacht, da die Sonne fleckenlos war.

Der Spektroheliograph wurde Ende März an dem Grubbechen Refraktor aufgestellt, die Beobachtungen erlitten jedoch sehr bald auch wegen Regen durch die Erkrankung von Prof. Kimpf eine sehr lange Unterbrechung und konnten erst Ende August wieder aufgenommen werden. Von da an und bis Mitte November, wo der Apparat wieder abgenommen werden mußte, 74 Aufnahmen erhalten werden.

Photographische Himmelskarte. Zu Anfang Oktober sind die Messungen für die Himmelskarte wieder aufgenommen worden, denen Dr. Schweydar einen Teil seiner Arbeitszeit widmen konnte. Im Jahr sind 4 Platten mit 1600 Sternen aufgenommen worden.

Vermischte Beobachtungen und Untersuchungen. Prof. Schuster hat seine Untersuchungen über die Temperatur der Sonne fortgesetzt. Derselben erfahren eine gute wissenschaftliche Förderung dadurch, daß von der Königlich-Preussischen Akademie der Wissenschaften zu Berlin eine größere Geldsumme zur Verfügung gestellt wurde, so daß Prof. Schuster die Messung der Strahlungsenergie der Sonne an einem hochgelegenen Punkte weiterführen können. Prof. Schuster hat sich in dem Zeitraum 3 Wochen, von Ende Juni bis Mitte Juli, auf der 2100 m hohen Spitze des Gomer Quir im Kanton Valais aufgehalten und dieselbe, vom Wetter sehr begünstigt, an 14 Tagen

Berücksichtigung erhalten. Im Anschluß an diese Untersuchungen hat Prof. Schmeier umfangreiche Arbeiten im Laboratorium ausgeführt, die sich mit der Absorptionseigenschaft durch Kohlendioxid, Wasserdampf und Wasser betrafen. Die Messungen hinsichtlich der Kohlendioxid- und absorptionsvermögensvermögen lieferten: für die des Wasserdampf betreffenden, diese besonders Schwerglasen zugemischtes, sind auch einige Beobachtungen erforderlich.

Durch das Eingeständnis der Herren Direktor Hagen und Prof. Karlsson von der Physikalisch-Technischen Reichsanstalt wurde es Prof. Schmeier ermöglicht, mit deutschen Apparate, mit welchen die Stellung der Sonne ge-

massen worden war, auch die Lage des schwarzen Körpers bei 20 Temperaturen von 1680° zu ermitteln.

Prof. Lohse hat an 52 Abenden mit dem 30 cm Halbkreis Doppelkorn gemessen, und zwar erstreckten sich seine Messungen auf 45 Objekte. Besonders eingehend wurde 78 Objekte verfolgt, und es wurden von diesem System an 12 Abenden 43 Messungen erhalten.

Von den an photographischen Reliabilen erhaltenen Aufnahmen des Sternhakens im Hirkulien (Messier 13) hat Dr. Lohndorf zwei ausgewiesen. Die Messungsergebnisse waren zu Ende 1903 beendet, doch wird die Reduktion der Messungen nach Hagen's Zähl in Anspruch nehmen.

## Verwahrung.

In Jahrbuch des Jahres (1904) habe ich unter dem Titel «Kometa-sterne» und einen Fehler hingewiesen, der sich in einem Bericht von Leo Brenner, «Direktor der Manns-Sternwarte» befindet. Daraus konnte ich am Ende der Aufsätze die Bemerkung hinzufügen, daß dieser Herr eine Berichtigung bringen würde.

Diese sogenannte Berichtigung ist eingeleitet in Nr. 17 der von Brenner redigierten «Astronomischen Rundschau» (Seite 185—189) unter dem Titel «Meteorische und Kometen» erschienen.

Leider muß ich aber an dieser Stelle konstatieren, daß besonders von Lügen und Entstellungen ist.

Ich werde die betreffenden Punkte der Reihe nach besprechen, mit Ignorierung der persönlichen bewußten Brenners gegen mich.

1. Brenner stellt zunächst seine Verwechslung der Begriffe «Aufleuchtungsprodukte des Kometen» und «Schwachsichthens» als «kleinen» fest.

Dies ist durchaus falsch. Prof. Schmeier stellt die Untersuchung vielmehr für so wichtig, daß er die

in seinen Worten «Entwurf einer astronomischen Theorie der Sternhaufen» ein ganzes Kapitel (B. Kap.) widmet. Natürlich wäre es für Brenner vorzuziehen, wenn der Irrtum nur klein wäre, ich wollte jedoch lieber auch nicht, daß man in der Wissenschaft, der p. Brenner angehört, weil, dem Nichtschleppstern vor dem Lichtsternprinzip den Vorrang gibt, was Brenner unendlich geht.

2. Brenner behauptet, er habe die betreffende falsche Darstellung 1896 für sein im «Buch für Alle» erschienenen Plauderwerk niedergeschrieben, die Organismus Schmeier'sche von ihm aber erst gegen Ende des vorigen Jahrhunderts zugesandt worden. Er hätte beim Durchlesen desselben nicht mehr gewußt, was er einige Jahre vorher niedergeschrieben.

Mögen wir an, Brenner habe die Originalarbeit gegen Ende des Jahres 1899 erhalten, wenn er jene letzten Zeilen 1896 niederschrieb, so liegen zwischen beiden Ereignissen drei Jahre. Brenner muß nun die betreffende Mittheilung 1896 außerordentlich flüchtig durchgesehen

haben, wenn man so wichtiger Unterschied zwischen Größtentheile und kleineren Kometa. Man kann wohl ausnahmsweise Sätze und Behauptungen sagen, aber der Sinn der Theorie muß doch im Größtentheile bleiben, wenn sollte denn sonst das Kometa nützen?

Die Bemerkung Brenners, er habe jene Behauptung „vergessen“, (?) ergibt aber deutlich, wie handwerkertüchtig dieser vorgeht. Sobald er ein für eine populäre Pseudonotiz ausgesprochen hat, hat sie keine Festigkeit mehr für ihn! Die Anzahl seiner historischen Anschuldigungen ist übrigens Legion!

Man möchte sich aber auf folgendes beziehen:

Leo Brenner hat die betreffende Pseudonotiz seinem 1899 erschienenen Buche „Späterginge durch das Himmelsreich“ abgedruckt. In diesem Buche befindet sich auf Seite 248 folgende Anmerkung:

„Die Kometenschweife besitzen aus Sternschuppen, wie in einem späteren Kapitel gezeigt werden wird.“

Diese Bemerkung hat Leo Brenner etwa 1899 niedergeschrieben. Da er am gegen Ende 1899 vor dem Werke Schiaparellis Kometa steht, so merkwürdig ist die Jahre, wie denn er spricht, auf höchstens zwei. Das ist ein ziemlich kleiner Zeitraum, um den Sinn einer Theorie zu vergreifen.

Ferner möchte ich noch bemerken: Umstößler an die Behauptung Brenners, Schiaparelli hätte die Meteortheorie für die various gegangenen Massen der Kometenschweife, schließen sich in dem Brennerschen Werke 4 Folgerungen an, die direkt dem Originalwerk Schiaparellis entsprechen sind.

Da nun Brenner behauptet, das Originalwerk habe er bei Abfassung des betreffenden Artikels nicht gesehen, so möchte ich wissen, welchem Buche er diese 4 Schlußfolgerungen entnommen hat, denn im Litzrow und Schottien,

da er als seine Quelle angibt, findet er sich nicht.

3. Brenner behauptet, Litzrow habe Schiaparelli aufgefunden und die Meteortheorie ebenfalls für Teilchen der Kometenschweife gehalten. Ich habe im „Sinn“ (Heft 6 dieses Jahrgangs) das Original betrachtet und wäre begierig, zu erfahren, auf welchem Ausspruch Litzrows sich Brenner stützt und wo derselbe zu finden ist.

4. In meinem Aufsatz „Kometenabergläube“ (sicht „Kometenabergläube“, wie Brenner seine Leser glauben machen möchte) habe ich einige Stellen aus dem Werke „Le Stelle Cadenti“ entnommen. Brenner behauptet nun, dieses Werk sei das Original, er hält also den „Entwurf einer astronomischen Theorie der Sternschuppen“ für die deutsche Übersetzung desselben.

Das ergibt wieder die korrekte Unterschrift Brenners. Denn der 1871 erschienene „Entwurf“ ist das Originalwerk Schiaparellis. „Le Stelle Cadenti“ ist erst 1873 erschienen.

5. Brenner behauptet, ich hätte den aufgedeckten Fehler nicht selbständig gefunden, sondern sei erst kurzlich von dritter Seite darauf aufmerksam gemacht worden. Dem gegenüber muß ich erwähnen, daß ich schon 1899 meinen Vater auf diesen Fehler aufmerksam gemacht habe und daß ihm mein Vater daraufhin in der Wiener Zeitung gerügt hat, allerdings ohne Nennung des Namens „Brenner“ und ohne genaue Titelangabe des Buches. Deshalb hat auch Brenner, obwohl ihm diese Note bekannt wurde, es vorgezogen, damals seinen Fehler mit Selbstzweifeln zu übergehen.

6. Brenner behauptet, er würde in dem Werke „Neu Späterginge durch das Himmelsreich“ benützt haben, wenn man ihn auf den Fehler aufmerksam gemacht hätte. Das ist eine direkte Lüge. Man hat ihn aufmerksam gemacht und er hat trotzdem nicht Berichtigt (s. Nr. 5).

2. Brenner behauptet, niemals ein Werk seines Vaters gelesen zu haben. Um diesen Ausspruch zu illustrieren, las er eine Gegenübersetzung von

Rudolf Feil:  
«Stern und Menschen»  
1882

... ein gewisses Verhältnis, das sich einer Paß und Heimaltschein in Kreuz und Quer am Himmel herumtreibt.

Im Jahre 1888 erschien auch ein Komat, und was für ein Unglück geben die Berichtstäter als Folge davon auf Nichts Geringeres, als daß es Westfalen alle Katsen brack worden

Je sagte die Seelst hat first — groß ist durch einen Komaten schlachtet worden, und der Engländer Whiston will in seinem Werk »A new theory of the earth« hauptsache beweisen, daß sie durch denselben auch veranlaßt worden sei. ... Dieser Komat soll danach, weil er der Erde sehr nahe stand, die unterhalb der Erdoberfläche befindlichen Ozeane angezogen haben, wie der Mond es auch in kleinstem Maße bezüglich der Meeresfluten vollführt. ... Außerdem hätte die irdische Atmosphäre, welche sich in dem Schwall des Komaten befand, aus diesem so viel Puschigkeit gezogen, daß es einer 45 Tage und Nächte langen Regens bedurfte, um derselben wieder los zu werden. Hiermit waren also alle Erscheinungen der Seelst, wie sie aus die Bibel erzählt, vollkommen erklärt, so vollkommen, als wäre Herr Whiston dabei Schwimmmeister gewesen

Man vergleiche hierzu folgende Behauptung Brenners:

«Dasselbe gilt von ... seinem Zweck, wir hatten niemals ein Buch seines Vaters zu Gesicht bekommen. Woher auch! Es hatte uns um Zeit und Geld beißig, die auf solchen Zeug verdonnert worden wären ...

Brenner urteilt also über den Inhalt der Bücher seines Vaters, ohne, seiner eigenen Behauptung nach, die Werke

Selbst folgen, die einen Artikel meines Vaters und einen Aufsatz Brenners zitiert worden sind.

Leo Brenner:  
»Spaziergänge durch die Himmelstasche«  
1888

... was sie gegenüber über Heimaltschein, der himmlischen Vagabunden wissen.

... ganz von 1888 den »Tod vieler Katsen in Westfalen« veranlaßt habe

Bei solchen Anschauungen kann es natürlich auch nicht wundern, daß nach 1896 der »Gefährte« Whiston ein Werk veröffentlichte, in welchem er hauptsache beweisen, daß der große Komat von 1888 — der Seelst veranlaßt habe! Der Komat zog die Gewässer des letzten der Erde an, welche die Erdoberfläche durchzogen, während gleichzeitig die irdische Atmosphäre aus dem Schwall des Komaten so viele Puschigkeit zu sich zog, daß es einer 45 Tage und Nächte langen Regens bedurfte, um denselben (man beachte das ungewöhnlichen Kasus »denselben« statt »dieser«) wieder los zu werden. Whiston erklärt dabei alle Erscheinungen der Seelst (ist es groß), wie sie die Bibel erzählt, so vollkommen, als wäre er dabei Schwimmmeister gewesen ...)

zu kommen. Und doch hätte er begehrt, was gerade aus dem oben zitierten Werk »Stern und Menschen« lernen können, wie man popular-wissenschaftliche Stützen schreiben muß.

Ich will am nachfolgenden eine kleine Übersicht aus den beiden Werken Brenners »Spaziergänge durch die Himmelstasche« und »Neu Spaziergänge durch die Himmelstasche« geben, um zu zeigen, wie sehr derselben Willens

der damals schon Stührgesee Leo<sup>1</sup>  
Brenner seine Plaudereien hält.

Da heißt es z. B.:

„Nun wird mir ein Leser eingewandt:  
wenn die Welt wirklich unbegrenzt  
ist, wo kann ja dann noch kein Ding  
am Ende haben? Und wir sehen doch,  
daß alles ein Ende hat (insbesondere  
die Welt, die Ihnen jetzt besetzt)...“  
(Nur Sp. d. d. H., Seite 30.)

„Wie Herre der Schöpfung natür-  
lich — und es diesen schon ich selbst-  
verständlich auch das wahre Geschicht,  
weil es gewöhnlich Hosen folgt (auch  
wenn es nicht gerade mäßig)...“ (Nur Sp.  
d. d. H., S. 34.)

„Der Herr Professor schließt nach  
einem Diamantstein unter Absicht  
der Luft bis zur Schmelzhitze des Sol-  
cens. Zu unserem Erstaunen wurde  
er dabei schwarz (nicht der Professor,  
sondern der Diamant)...“ (Sp. d. d. H.,  
S. 386—387.)

„Hübsche Cato. Der mit einer  
blauen Schwergewandter beehrte Leser  
dürfte wohl schwerlich auf die Idee  
verfallen, daß ich unter diesem Titel  
einen über die Besuche der unermess-  
ten ihres feldischen Schwergewandter be-  
richten will. Es würde mir das auch  
sehr schwer fallen, weil ich nie das  
sagenhaft kometische Vorgehen des  
Brenners einer Schwergewandter kenne,  
denn so vornehm wie ich doch bei  
aller dem Gekörten nachgezogenen Zu-  
ständigkeit, daß ich mit dem Harnen  
wurde, bis meine gelbem über bezeugen-  
reuter das Zeitliche gesegnet habe.“  
(N. Sp. d. d. H., S. 123.)

Ferner finden sich in den Worten  
Brenners folgende Ausdrücke:

„sagends die Rutenmeln in den  
Zehungen“, „solange die Mautkorn  
auf dem Schwindel reinfällt“, „nach-  
dem das Geld herrenlos war...“

S. Brenner vermischt sich durch  
den Harnen auf die Tatsache, daß jeder  
Harnen einem vom Harnen.

Ich muß ihm also noch andere seiner  
Fehler bezeichnen.

a) Auf Seite 282 der „Stührgesee“  
durch das Harnenrechtli-Badet sich fol-  
gende Ausdrucksweise: „Wie schon  
dem erzählt, kreuzt die Erde alljähr-  
lich um 27. November die ehemalige  
Erdhülle des Bids-Kometen. Es hat  
im Jahre 1872 gleichzeitig dem Professor  
der Sternkunde von Göttingen, dem  
berühmten Klinkerfuss, und dessen  
Schüler, dem Dr. Wilhelm M. Meyer,  
ist, daß der außerordentliche Stern-  
schuppenfall am 27. November jensei  
Jahre mit dem verschollenen Bids-  
Kometen gleiche Bahn habe. Um sich  
zu verlässern, telegraphierte Klinker-  
fuss selbst nach Madrid, um dort an  
einer bestimmten Stelle des südlichen  
Himmels nachsehen zu lassen. Das  
Ergebnis war, daß es außer Zweifel  
stand, daß die Erde mitten durch die  
Reihe des Bids-Kometen gegangen war,  
ohne daß wir es gahel haben.“

Sowohl Brenner. Derselbe scheint  
also der Ansicht zu sein, daß das von  
Poggendorff beobachtete Objekt mit dem  
bei Sternschuppenstürmen identisch  
gewesen sei. Nun ist aber von Poggendorff  
gesagt worden, daß bei der Entdeckung  
Poggendorff der Zufall eine eigentümliche  
Rolle gespielt hat und daß das vorhin  
beobachtete Objekt in gar keiner Ver-  
bindung mit dem belasteten Kometen  
steht. Auch war der Poggendorff Komet  
durchaus nicht mit dem Sternschuppen-  
stürmen vom 27. November identisch.

Ausdrückliche Rechnungen über diesen  
Gegenstand hat C. Bruns in der  
Wochenschrift der Astronomischen  
Gesellschaft, Band 8, Heft 1, gegeben.

Der genannte Zusammenhang ist  
dem „Dreier der Maxen Sternkunde-  
gesellschaft unbekannt und so behauptet  
er nicht, die Beobachtung Poggendorff  
habe den Beweis geliefert, daß die Erde  
mitten durch die Reihe des Bids-Kometen  
gegangen ist, während in Wirklichkeit  
die Wirkungen Poggendorff für die  
Frage der Identität des Kometen und  
des Sternschuppenstürmens keine Be-  
deutung haben, da es sich um ver-  
schiedene Objekte handelt.



b) Neue Spiegelspiege durch das Himmelsbuch, Seite 12b.

„Um aber wieder auf den Kernpunkt der Anfrage zurück zu kommen, will ich<sup>1)</sup> gleich bemerken, daß ich nach welchem Nachdenken auf die Vermutung verfallen bin, daß die Meteoriten — den kleinen Planeten — entstammen.“

Die Hypothese vom außerirdischen Ursprung der Meteoriten und ihre Beziehungen zu den „kleinen Gestirnen“ in unserem Sonnensystem wurde bereits vor mehreren Jahrzehnten von Herrn O. Tschermak aufgestellt (Vergl. Tschermak, Die Bildung der Meteoriten und der Vulkanismus, Innesen und vollständig der betriebsame „Director der Wiener Sternwarte“ erwiderte, er habe Tschermaks Arbeit gar nicht gelesen, da ihm bei seiner überausmäßigen Arbeitslast kein Raum geblieben sei).

Die Hypothese der Meteoriten- und Abhandlungen zu lesen. Ich will ihm deshalb die Quelle angeben, aus der er „dieses verlässliche Nachrichten“ auf die Vermutung über die Herkunft der Meteoriten gekommen ist. Es sind die beiden Aufsätze „Das Rätsel der Kometen“ von Charles d'Arles und „Über die Entstehung von Kometen und Meteoriten aus Planeten“ von Dr. E. Abbe. Beide Abhandlungen sind im Jahrgang 1891 des „Globe“ erschienen und daß Herr Gopercio-Broner diesen nicht gelesen habe, dürfte er wohl kaum behaupten. Wenn der Leser aber diese beiden Aufsätze durchgeht, so wird er sofort erkennen, wie durch verlässliche Nachrichten“ auf die obige Hypothese gekommen ist, Broner-Gopercio oder d'Arles und Prof. Abbe!

c) Die Auseinandersetzung über eine etwaige nähere Begrenzung des Weltalls auf Seite 1—9 der „Neuen Spiegelspiege“ zeigt die philosophische Unkenntnis Broners. Er scheint nicht darüber zu wissen, daß der „Raum“ nur eine Form der Anschauung ist. Er sagt auf Seite 13 wörtlich:

„... denn wenn die Weltall irgend o begrenzt wäre, was wäre dann hinter dieser Grenze?“

Er will also den Beweis dadurch führen, daß wir uns hinter dieser Grenze nicht denken können. Da jedoch mit dieser Grenze auch unsere Anschauungsformen notwendigerweise aufhören müßte, so ist es klar, daß dieser Beweis kein Beweis ist. Broner will also nicht, daß nach Kant der Raum überhaupt nur eine Vorstellung ist, aber dennoch keine Realität besitzt!

Jedenfalls ist der obige Beweis Broners einfach lächerlich und beweist nur, daß der Herr „Director“ von der Erkenntnistheorie nicht den geringsten Schimmer hat. Worauf?

d) Bezeichnend für die Art und Weise, wie Broner vorgeht, ist ferner folgender Umstand:

In den „Antworten der Redaktion“ (Nr. 17 der Rundschau) will er eine nach seiner Auffassung Zurecht erhalten haben, deren Abdruck er mit Prof. E. W. (Wien) bespricht.

Ich glaube gern, daß Broner sehr viel davon gelernt ist, den Anschein zu erwecken, als ob der Director der Wiener Sternwarte, Prof. Dr. Edmund Weiss, der Abdruck der hier Zurecht an.

Ich habe jedoch von diesem Herrn eine sehr lebenswichtige Brief, der mit folgenden Worten schließt:

„Ich bin wohl nicht, wenn ich annehme, daß Sie ein Sohn von Rudolf Falt sind und von ihm die Erde und das Interesse an der Sternkunde geerbt haben, und wünsche Ihnen von Herzen recht viele und schöne Erfolge auf der Bahn, die Sie sich gewählt haben.“

Hieraus ist wohl klar, daß unter dem in Broners Zurecht angegebenen Initialen E. W. nicht Prof. Weiss verstanden werden kann.

Ob sich hinter dieser Anfrage überhaupt ein Wiener Professor verbirgt, dessen Name ebenfalls der Anfrage

<sup>1)</sup> Leo Broner.

bekanntes E. W. aufweist, oder ob Brenner das Wort nicht vielmehr fälschlich hat, um mit einem bestimmten Namen zu imponieren, überlasse ich der Beurteilung des Lesers.

8. Brenner fordert nach auf, ihn zu verklagen. Das hat er schon mehreren gegenüber getan, so z. B. dem Herrn «Koschitz» gegenüber. Brenner läßt sich dadurch gedocht, daß das zuständige Gericht das Traister Schrengericht ist und sich demgemäß vor Verjährung des Klagerrechts dort die Klage erheben müßte.

10. Wenn Herr Brenner ferner Ausdrücke wie «Schwänke», «Bettge» usw. eingesetzt hat, so möchte ich ihn auf folgenden Ratkommen machen:

In einem populären Werkem wird meistens von Frau Manora, der Eigentümerin der Manora-Sterzwarte, gesprochen.

Nachdem aber wird gesagt, daß Frau Manora die Gattin Brenners ist, daß er sehr also von der eigenen Frau zum Direktor hat ernennen lassen!

Brenner hat sogar darauf mit köstlicher Naivität hervor, seine Stellung sei unbedenklich. Soll ihn etwa seine eigene Frau bedrücken?

Das schmeckt aber ist, daß besagte Frau Manora im Jahre 1900 in einem dem Vermerk «Verbindlich» tragenden Zerkatze die «zahlreichen Freunde des Herrn Brenner» herzlich auffordert, sich an der Feier des 25jährigen Schriftstellerjubiläum desselben durch Einreichung von Zuschriften und Geldbeiträgen (= auch Briefmarken aller Lapidar werden angenommen-) zu beteiligen.

Als dann diese sehr sonderbare Manipulation durch Herrn Prof. Gurlal von der Münchener Sternwarte, in No 88 der «Beilage zur Allgemeinen Zeitung» (München) gerügt wurde, erhielt dieser folgende Zuschrift:

«Herr Herr!

Studien Sie nicht, daß von der gemeinen Natur keine ganz vollkommenen Schöpfungen gemacht ist, die vollkommen ist? Frau, die Sie so sehr geliebt ist, so bedauernd!

Fräulein Manora-Gorowitz»

Und auch Herr Brenner verhielt sich nicht seiner Erklärung über «götterhafte Angeln einer gemeinen Natur auf eine wertlose Frau» — auf die von oben, die sie kennen, hochgeschätzte Frau Manora (sic!) Ausdruck zu verleihen.

Dabei hat er aber wohlweislich verschwiegen, daß die «hochgeschätzte Frau Manora» seine Ehefrau ist, daß die Angeln in der «Beilage zur Allgemeinen Zeitung» nicht gegen diese, sondern gegen ihn selbst gerichtet waren.

Ob hinsichtlich der Leistungen der Brennerschen Rascherei über das Verhalten der «Frau Manora» zu dem «Direktor» Herrn Brenner vollständig zu klären ist, weiß ich nicht, ich bezweifle es jedoch stark. Diese Dame wird sehr wohl auch noch weiterhin «als das Schriftstellern-Gepens die Gattin und Hausfrau und wiederum des berühmten «Direktors» Brenner Brodgern und Glimmern einer Doppelkassette erweisen (4. Beilage zur Allgemeinen Zeitung: 1900, No 88).

Aus diesen Beispielen ersieht man wohl zur Genüge, was man von dem ehrenwerten Ehepaar zu halten hat. Prof. Dr. Gurlal (München) schreibt in No 115 der «Beilage z. Allg. Ztg.» (1900) über diese Pöbel wörtlich:

«Herr Brenner will von der Frau Manora offenbar unangelegentliches gewordenes Betteln seiner Frau natürlich nicht gewollt haben, was aber sich fälschlich auf Eklisme und Gelderwerb gerichteten öffentlichen Treiben und einiger Zeit verfußt hat, wird das Wort dieser Versicherung vollkommen zu widerlegen waren. Späher ist».

Brenner wird, nachdem ihm die Spalten der «Allgemeinen Nachrichten» gesprochen worden sind, wohl noch einige Zeit das Gebot der populärwissenschaftlichen Literatur anzuheben müssen, lange wird man denken und zugleich überflüssiges Treiben aber nicht mehr denken, wie er selbst sehr gut weiß oder doch wissen könnte. Habent sua fabula.

Schöneberg-Berlin Otto Faltb

## Vermischte Nachrichten.

**Neubildung auf dem Mond.** Prof. Wilhelm H. Pickering macht die Mitteilung, daß von ihm auf der inneren Fläche der Weißbergs Platte eine Neubildung konstatiert worden ist. Er sah dort am 18. Juli ein helles, dünnnes Objekt von etwa 3000 m im Durchmesser, das in der Zeit von 21. bis 26. Juli nicht gesehen worden war. Am 2. August erschien an Stelle des hellen Flecks ein dunkler, kugelförmiger Schatten, ähnlich einem Krater mit einem Durchmesser von ungefähr 3000 m, und schließlich wie notwendig durch ein großer weißer Fleck. Das Objekt befindet sich in der Nähe eines sehr kleinen schon früher bekannten Kraters, der in der Pickeringischen Spezialkarte der Fläche des Plato, welche auf Tafel Xb des „Saturn“, Jahrgang 1891, reproduziert ist, die Nummer 3 trägt. Ein Telegramm vom 22. August bestätigt die Wahrnehmung und enthält die Angabe, daß der neue Krater einen Durchmesser von etwa drei englischen Meilen (ungefähr 3000 m) zeigt, und daß die helle Fläche auch seit dem 2. August merklich verkleinert habe. Weitere Beobachtungen werden folgen, wie es sich mit diesem Krater verhält, nach den Wahrnehmungen aller früheren Sternengraphen ist ein ähnliches Objekt ebenfalls dort nicht sichtbar gewesen.

**Einfluß des Mondes auf die Niederschläge.** Guido Lamprecht (Hannov.) hat eine Untersuchung darüber angestellt. Unterzucht man, sagt er,<sup>1)</sup> den Einfluß der synodischen Bewegung des Mondes auf das Wetter oder den der atmosphärischen Parameter für sich, so findet er sehr im Durchschnitt der

Jahreszeit gleich Null! Dagegen zeigt er sehr klar Erwasen groß, wenn man die Neumonde und Vollmonde trennt, je nachdem sie mit der Erde der zusammenfallen oder nicht.

Um monatliche Wetterbeobachtungen nach dieser zusammengeordneten Periode zu gruppieren, hat er die einzelnen Beobachtungen des Mondes in jedem dieser Mondjahre nach Mondzeiten angeordnet und dann für den Anfang des Monats ihren Unterschied gebildet. Es wurden also die Beobachtungen geordnet nach Zeitreihen der Differenz: Mittlere Annahme (M) der Winkel Erde—Mond in der elliptischen Mondbahn von der Erde als geozentrischer Mittlere Phase (Winkel) Erde—Mond von der Richtung Erde—Sonne ab gemessen. Bei 0.00 dieser Periode fällt also die Erde mit dem Neumond, bei 0.25 auf das letzte Viertel, bei 0.50 auf das Vollmond, bei 0.75 auf das erste Viertel. Die Dauer dieser Doppelperiode beträgt 41 1/2 Tage.

Lamprecht benutzt nur die monatlichen Niederschlagssummen 1. von 42 norddeutschen Stationen in den 36 Jahren von 1857 bis 1894 und 2. von durchschnittlich 96 Stationen auf Java und Madag. in den 24 Jahren von 1879 bis 1902. Diese niederländischen Beobachtungen umfassen die ungefähre Niederschlagsmenge von 1900 Metzen! In jeder Monatsreihe wurde endlich die halbe Anzahl mit den größten Summen als auf, die andere Hälfte als trocken bezeichnet, um den Einfluß der Jahreszeiten möglichst auszuschalten.

Das Ergebnis ist folgendes:

Zustand der Mondperiode		1.	2.	3.	4.	5.	6.	7.	8.	9.	10.	11.	12.
		Vollmond-Erde						Neumond-Erde					
Norddeutschland: Zahl der trocknen Monate		23	21	20	19	15	13	20	27	34	23	20	
" " " " " " "		23	25	23	25	20	17	19	16	14	22	18	
Java " " " " " " "		13	13	18	15	18	18	12	11	16	21	15	
" " " " " " "		18	15	17	16	15	15	15	13	11	8	10	

<sup>1)</sup> Naturw. Wochenblatt 1894, Nr. 52.  
(Sonn. 1894, Heft 12.)

Die Zahlen bezeugen folgendes: In Nordamerika ist wie auf Java 92, abgesehen von anderen Ursachen, Trockenheit zu erwarten, wenn die Ernte der Maisen dem Neumond näher liegt als dem Vollmond (Späts 10. Zeile der Tabelle 34-44, Java 1. Zeile 21-8), umgekehrt Nasse, wenn die Ernte dem Vollende näher liegt als dem Neumond (4. bis 7. Zeile der Tabelle Nord 75-105, Java 45: 30). Diese Regel gilt für alle Länder, wo der Mais geerntet beim höchsten Sonnenstände fällt.

Formel, sagt Lamprecht, ist deutlich zu erkennen, warum man keinen Einfluß des Mondes auf den Niederschlag feststellen kann, wenn man nur den synodischen, oder nur den moonatlichen Monat allein untersucht, denn die Stellung Vollmond—Ernte (= Neumond—Ernte) entspricht in Mittel mehr Niederschlag, die Stellung Vollmond—Ernte (= Neumond—Ernte) mehr Trockenheit, und das gleicht sich gerade aus, wenn man diese von mir geordneten Stellungen nicht untersucht.

Der Planet Erde, welcher seit 18 Jahren nicht mehr gesehen worden ist, wurde im vergangenen Jahre auf der Sternwarte in Washington photographisch gesucht. Allen nach diese Auskragungen und verglichen genau mit der Planet muß noch vorläufig verloren gegeben werden. Dieses Verschwinden ist um so merkwürdiger, als der Planet, ob zwar sehr lichtschwach, sich doch so weit von der Erde entfernt haben kann, daß sich in einem Streifen des Himmels verweilt, der sehr häufig photographisch aufgenommen worden ist. Entdeckt wurde Erde möglich am 14. Sept. 1866 von Frierer südlicher in Berlin, selbst gesehen 1866.

Photographische Untersuchung des Spektrums des Planeten Jupiter. Während der Planet Jupiter

in den letzten Monaten des verflochtenen Jahres in günstiger Position sich befand, gelang es Herrn Hülshaus auf der Sternwarte von Marston mit dem großen Fraunhofer und einem passenden Spektrographen am 29. Dezember und ferner am 2., 11., 26. und 28. Januar bei Expositionen von 30 Minuten gut vorverarbeitete Photographien des Planetenspektrums und zum Vergleich am 28. Januar ein Mondspektrum zu erhalten. Der Spektrograph war so montiert, daß sein Spalt nach allen Richtungen eingestellt werden konnte, und besonders in den drei Stellungen parallel zur Verbindungslinie der Jupiterpole, parallel zum Äquator des Planeten und 45° zu diesen beiden Stellungen. Die erhaltenen Bilder wurden viermal vergrößert, und nach einem besonderen Verfahren konnten in aufeinanderfolgenden Positionen der relativen Intensitäten verschiedener Teile eines Klichs verliert und hierdurch die schwächeren Details des Bildes leicht sichtbar gemacht werden.

Die erhaltenen Spektren zeigen deutlich fünf der Jupiteratmosphären eigenständige Absorptionsstreifen, die liegen bei  $\lambda$  416, 607, 600, 578 und 513 und entsprechen dem Strahl, der Koffer im Ultraviolett beschrieben. Ferner sind die dem Spektrum des Wasserdampfes entsprechenden Strahlen und der Strahl  $\alpha$  besonders scharf. Alle Absorptionsstreifen sind vollständig viel intensiver in dem Teile des Spektrums, der von dem stählernen Äquator des Planeten Jupiter herrührt, welcher im diesem Jahre sehr hell und stark war.

Die hier spektroskopisch gewonnenen Resultate bestätigen die von den Astronomen eingeführten Oberflächeneigenschaften, sowie die aus denselben abgeleiteten Schlüsse zunächst, daß die Atmosphären der Hauptplaneten des Sonnensystems in großen Zügen derjenigen der Erde ähnlich sind und denselben Hauptbestandteile enthalten wie diese. Die schwachen, neuen Strahlen, welche im Jupiterspektrum sich zeigen, und das Vorkommen des Strahls  $\lambda$  416,

5. Compt. rendus 1866. t. CXXXVIII, p. 1071-1075.

der schon lange im Spektrum der oberen Planeten gefunden war, zeigen, daß Krater in der Atmosphäre dieser Welten ein Gas vorhanden ist, das in denen der unteren Planeten nicht oder nur in sehr geringen Mengen existiert. Hiermit ist eine weitere Verwandtschaft zwischen den oberen Planeten, außer den bereits bekannten, zu vermehren.

Voll hat die Absicht, diese Studie auf dem Mondlande mit dem dort aufgestellten großen Fernrohr fortzusetzen.<sup>1)</sup>

Der 9. Saturnmond (Phoebe). Im Jahre 1898 hat Prof. William H. Pickering aus einer gewissen Prüfung der am 14stägigen Bruce-Teleskop aufgenommenen Photographien der Umgebung des Saturn gefunden, daß dieser Planet außer den bekannten 8 Satelliten noch von einem sehr hellleuchtenden Trabanten begleitet wird, dessen Umlaufdauer nahezu  $1\frac{1}{2}$  Jahre beträgt. Dieses Ergebnis ist von den meisten Astronomen als nicht sehr sicher betrachtet worden, auch vertrat es seitdem nicht weiter über den 9. Saturnmond. Jetzt macht Prof. Edward C. Pickering die Mitteilung, <sup>2)</sup> daß die weitere Untersuchung zahlreicher Photographien dazu geführt hat, die Existenz dieses Trabanten zu bestimmen. Auf 11 photographischen Aufnahmen, welche auf der Arequipa-Station von Prof. Frost erhalten wurden, konnte der Lauf dieses Satelliten während der Zeit vom 15. April bis zum 9. Juni 1894 verfolgt werden, so daß die Existenz dieses Mondes nicht nur gesichert ist, sondern auch eine gewisse Ephemeride seiner Bewegung aufgestellt werden konnte. Weitere Beobachtungen über diesen Mond wird Prof. Pickering in Kürze veröffentlichen.

Die Hilla-Expedition nach Chile, deren wiederholt im „Reich“ gedacht worden, hat bereits die ersten Ergebnisse ihrer Arbeiten in Gestalt von Spektraufnahmen südlicher Sterne

nach Mount Hamilton zugesandt. Als Frucht dieser Aufnahmen ist die Entdeckung mehrerer spektroskopischer Doppelsterne zu betrachten. Tafel XII gibt eine Ansicht des prominenten Observatoriums der Expedition auf dem Gipfel des San Cristobal, zwei Meilen nördwestlich von der Stadt Santiago. Die Station liegt in 3600 Fuß Höhe über dem Seesspiegel, während Santiago in 1600 Fuß Seehöhe liegt.

Die Abhängigkeit des täglichen Ganges der siderographischen Elemente in Bararta vom Sonnen-Eckstandsstand ist von Prof. J. Lauer nachgewiesen worden.<sup>3)</sup>

Auf Grundlage des am magnetisch-meteorologischen Observatorium in Bararta gewonnenen 15jährigen Beobachtungsmaterials hat er die Änderung des täglichen Ganges der drei Komponenten mit dem Pivotsande der Sonne sowohl im Jahresmittel als auch in den einzelnen Monaten untersucht. Es hat zwar Prof. Ad. Schmidt schon vor 16 Jahren eine dreibändige Untersuchung veröffentlicht,<sup>4)</sup> welche da er hierbei nur 7½jährige Beobachtungen von Wien und 4½jährige von Baku verwendet konnte, so schon zu zeigen, daß jetzt vorhandene reichhaltigere Beobachtungsmaterial zu diesem Zwecke zu verwenden. Da die Publikation des oben genannten Observatoriums auch die Amplituden und Phasenwinkel der ersten zwei Glieder der Besenstichs Formel erfüllt, so hat Lauer diese Größen als Funktionen der Sonnenzeitlichen Rektaschulen ausgedrückt. Dabei ergab sich, daß sie nicht einfach proportional der Rektaschulen gesetzt werden können, sondern daß diese Abhängigkeit etwas komplizierter ist.

Durch diese Arbeit werden die von Ad. Schmidt gewonnenen Resultate vollständig beseitigt und es wird gezeigt, daß mit wachsender Pivotschule nicht nur die Amplituden, sondern auch die Phasenwinkel geändert werden (für

<sup>1)</sup> Nature, Nachrichten, XIX. Jahrg., Seite 420.

<sup>2)</sup> Astr. Nachr. Nr. 2363.

<sup>3)</sup> Wiener Akad. Anzeigen 1900, S. 190.

20\*

schritten werden können). Aus diesen Grunde ist der zu verschiedenen Zeiten zu neuen und darunter Orte oder auch an verschiedenen Punkten errichtete tägliche Gang nur dann vorzuziehen, wenn er auf eine bestimmte Periode reduziert werden kann, was auf dem in der Abhandlung angegebenen Weg leicht durchzuführen ist.

Das sehr wichtige Ergebnis, daß bei größeren Fleckenstände die den täglichen Gang hervorbringende Ursache nicht einfach eine Verdickung ist, ist, sondern daß einer größeren Flecken-Frequenz ein optischer täglicher Gang entspricht, ein Resultat, das nach Ad. Schmidt gefunden und bestätigt hat, gab dem Verfasser Veranlassung, diesen Gang für das Jahr 1893, in welchem die Relativzahl den größten Wert während der ganzen Beobachtungsperiode (1884 bis 1898) erreicht hat, zu berechnen.

Eine eingehendere Diskussion der gewonnenen Ergebnisse scheint aus dem angelegten, wenn auch für andere Orte ähnlicher Untersuchungen vorzuziehenden werden.

**Uranienberg und Sjörensberg.** Die scharfe Mißbilligung, die der soeben in Lund abgefaßten Astronomenkongress über den gegenwärtigen Zustand der Reinen auf Hven aussprach, hat wieder die Aufmerksamkeit auf die berühmten Reinen Tycho Brahe gelenkt. Uranienberg und Sjörensberg besitzen nicht solchen Ruf, daß Fürsten und Gelehrte aus ganz Europa nach Hven kamen, um diese Werke zu sehen und die wissenschaftliche Tätigkeit des Erbauers kennen zu lernen. Dennoch waren im halben Jahrhundert nach dem Tode Tycho Brahes die angestammten Reinen vom Erdboden verschwunden und kaum noch Spuren davon zu sehen. Lange Jahre hindurch hat sich niemand um die Güter gekümmert, bis 1879 der schwedische Pastor Eckdahl die erste Ausgrabung veranstaltete, worauf Bischof Pass in Lund eine Beschreibung der Ruinenstelle gab. Anlaßlich des 300.

jährigen Tycho Brahes, 1901, nahm auch die schwedische Akademie der Wissenschaften der Sache an, indem sie auf Hven eine übermäßige Ausgrabung der Reinen veranlassen ließ.

Sowohl Uranienberg wie Sjörensberg waren nach der Ausgrabung im Jahre 1901 wieder mit Sand bedeckt worden, um die Reinen zu schützen, doch hatte man sie gelegentlich den Besuchern der Astronomen in Lund wieder freigelegt. Das Schloß Uranienberg war mit Wällen versehen, von denen sind noch Reste vorhanden, im übrigen ist der Grund des Erdgeschosses da, umgep, was von Uranienberg übrig blieb. In der südlichsten Ecke entdeckte man einen Keller, der als Schließgefängnis diente, und im nördlichen Flügel liegt Tychos Brunnen, der noch heutigen Tages den Bewohnern der Nachbarschaft Wasser liefert. An der Warte Sjörensberg umgibt insbesondere die unterirdischen Krypten Bewanderung. Diese unterirdischen Störwerke lag nach Tychos Angabe 70 Schritte von Uranienberg entfernt und es sind noch so erhebliche Überreste vorhanden, daß sich auf Grund dieser und der Beschreibungen und Zeichnungen Tychos über die Instrumente und Krypten ganz Sjörensberg wiederstellen ließ. Möglicherweise führt der Umstand, daß die Astronomen auf dem letzten Kongress in Lund ihre entsprechende Mißbilligung über die Verwahrlosung der Reinen ausgesprochen haben, endlich eine Wendung zum Besseren herbei.

**Unterstützung astronomischer Untersuchungen.** Das Komite der k. k. Akademie der Wissenschaften zur Verwaltung der Erbschaft Uffizi hat in seiner Sitzung vom 29. April beschlossen, Prof. Dr. Eugen Rörig v. Oppolzer in Innsbruck zur Ausführung von astronomischen und astrophotographischen Untersuchungen eine Subvention von 30000 Kronen zu bewilligen.

# Astronomischer Kalender für den Monat Dezember 1904.

Monat- Tag	Sonne				Mond			
	Mittlerer Berliner Mittag				Mittlerer Berliner Mittag			
	Zeitgl. M. L. — W. L.	Schraumboden	Declination		Schraumboden	Declination		Stand im Meridian
1	h m s	h m s	° ' "	h m s	h m s	° ' "	h m s	
2	— 20 47 11	18 28 32.0	— 23 47 7.9	62 58 27.9	+	3 12 37.9	18 47.0	
3	— 20 34.00	18 30 32.0	21 58 18.4	63 30 49.99	—	3 59 17.9	18 33.6	
4	— 20 20.59	18 32 32.0	20 8 8.9	64 02 37.9	+	4 46 7.7	18 20.2	
5	— 20 08.04	18 34 32.0	19 18 27.3	64 34 30.99	—	5 32 59.9	18 7.7	
6	— 19 55.10	18 36 34.07	17 51 59.0	65 06 35.0	+	6 19 54.7	17 54.7	
7	— 19 42.12	18 38 34.19	16 59 51.0	65 38 35.0	—	7 06 57.7	—	
8	— 19 29.11	18 40 34.36	15 58 16.3	66 10 35.0	+	7 53 58.0	8 10.0	
9	— 19 16.08	18 42 34.50	14 52 38.0	66 42 35.0	—	8 40 58.0	1 10.0	
10	— 19 03.04	17 5 34.60	13 42 48.0	67 14 35.0	+	9 27 58.0	1 10.0	
11	— 18 50.00	17 7 34.74	12 34 39.0	67 46 35.0	—	10 14 58.0	2 40.0	
12	— 18 36.56	17 9 34.85	11 28 30.0	68 18 35.0	+	11 01 58.0	3 40.0	
13	— 18 23.51	17 11 34.93	10 24 30.0	68 50 35.0	—	11 48 58.0	4 40.0	
14	— 18 10.46	17 13 35.00	9 22 30.0	69 22 35.0	+	12 35 58.0	5 40.0	
15	— 17 57.41	17 15 35.05	8 22 30.0	69 54 35.0	—	13 22 58.0	6 40.0	
16	— 17 44.36	17 17 35.09	7 24 30.0	70 26 35.0	+	14 09 58.0	7 40.0	
17	— 17 31.31	17 19 35.12	6 28 30.0	70 58 35.0	—	14 56 58.0	8 40.0	
18	— 17 18.26	17 21 35.14	5 34 30.0	71 30 35.0	+	15 43 58.0	9 40.0	
19	— 17 05.21	17 23 35.15	4 42 30.0	72 02 35.0	—	16 30 58.0	10 40.0	
20	— 16 52.16	17 25 35.16	3 52 30.0	72 34 35.0	+	17 17 58.0	11 40.0	
21	— 16 39.11	17 27 35.16	3 04 30.0	73 06 35.0	—	18 04 58.0	12 40.0	
22	— 16 26.06	17 29 35.16	2 18 30.0	73 38 35.0	+	18 51 58.0	13 40.0	
23	— 16 13.01	17 31 35.16	1 34 30.0	74 10 35.0	—	19 38 58.0	14 40.0	
24	— 16 00.00	17 33 35.16	9 42 30.0	74 42 35.0	+	20 25 58.0	15 40.0	
25	— 15 47.00	17 35 35.16	8 54 30.0	75 14 35.0	—	21 12 58.0	16 40.0	
26	— 15 34.00	17 37 35.16	8 08 30.0	75 46 35.0	+	21 59 58.0	17 40.0	
27	— 15 21.00	17 39 35.16	7 24 30.0	76 18 35.0	—	22 46 58.0	18 40.0	
28	— 15 08.00	17 41 35.16	6 42 30.0	76 50 35.0	+	23 33 58.0	19 40.0	
29	— 14 55.00	17 43 35.16	6 02 30.0	77 22 35.0	—	24 20 58.0	20 40.0	
30	— 14 42.00	17 45 35.16	5 24 30.0	77 54 35.0	+	25 07 58.0	21 40.0	
31	— 14 29.00	17 47 35.16	4 48 30.0	78 26 35.0	—	25 54 58.0	22 40.0	

## Planetenkonstellationen 1904.

Dezember	Tag	Planet	Ort
1	24	Mars	in Konstellation des Steinbock, mit dem Monde, Betöschung
2	25	Mars	in großer südlicher Helixkonstellation des Steinbock
3	26	Venus	in großer südlicher Helixkonstellation des Steinbock
4	27	Merkur	in Konstellation des Steinbock, mit dem Monde
5	28	Venus	in Konstellation des Steinbock, mit dem Monde
6	29	Merkur	in Konstellation des Steinbock, mit dem Monde
7	30	Venus	in Konstellation des Steinbock, mit dem Monde
8	31	Merkur	in Konstellation des Steinbock, mit dem Monde
9	1	Venus	in Konstellation des Steinbock, mit dem Monde
10	2	Merkur	in Konstellation des Steinbock, mit dem Monde
11	3	Venus	in Konstellation des Steinbock, mit dem Monde
12	4	Merkur	in Konstellation des Steinbock, mit dem Monde
13	5	Venus	in Konstellation des Steinbock, mit dem Monde
14	6	Merkur	in Konstellation des Steinbock, mit dem Monde
15	7	Venus	in Konstellation des Steinbock, mit dem Monde
16	8	Merkur	in Konstellation des Steinbock, mit dem Monde
17	9	Venus	in Konstellation des Steinbock, mit dem Monde
18	10	Merkur	in Konstellation des Steinbock, mit dem Monde
19	11	Venus	in Konstellation des Steinbock, mit dem Monde
20	12	Merkur	in Konstellation des Steinbock, mit dem Monde
21	13	Venus	in Konstellation des Steinbock, mit dem Monde
22	14	Merkur	in Konstellation des Steinbock, mit dem Monde
23	15	Venus	in Konstellation des Steinbock, mit dem Monde
24	16	Merkur	in Konstellation des Steinbock, mit dem Monde
25	17	Venus	in Konstellation des Steinbock, mit dem Monde
26	18	Merkur	in Konstellation des Steinbock, mit dem Monde
27	19	Venus	in Konstellation des Steinbock, mit dem Monde
28	20	Merkur	in Konstellation des Steinbock, mit dem Monde
29	21	Venus	in Konstellation des Steinbock, mit dem Monde
30	22	Merkur	in Konstellation des Steinbock, mit dem Monde
31	23	Venus	in Konstellation des Steinbock, mit dem Monde

Planeten: Ephemeriden.

Mittlere Berliner Zeit.							Mittlere Berliner Zeit.						
Jahre 1910	Schwanzes			Deklination			Jahre 1910	Schwanzes			Deklination		
	h	m	s	°	'	"		h	m	s	°	'	"
<b>Merkur</b>													
Dec. 1	14	1	24.89	—20	46	20.9	Dec. 1	14	1	24.89	—20	46	20.9
10	14	00	0.50	20	34	28.5	10	14	00	0.50	20	34	28.5
15	14	00	16.91	20	32	42.7	15	14	00	16.91	20	32	42.7
20	14	01	19.00	20	40	50.0	20	14	01	19.00	20	40	50.0
25	14	01	5.70	20	40	55.9	25	14	01	5.70	20	40	55.9
30	14	01	47.03	—20	42	12.7	30	14	01	47.03	—20	42	12.7
<b>Venus</b>													
Dec. 1	17	39	44.90	—40	34	11.9	Dec. 1	17	39	44.90	—40	34	11.9
10	17	35	42.80	39	55	42.4	10	17	35	42.80	39	55	42.4
15	17	31	13.91	39	39	49.0	15	17	31	13.91	39	39	49.0
20	17	28	4.00	39	7	1.9	20	17	28	4.00	39	7	1.9
25	17	24	14.70	38	51	58.9	25	17	24	14.70	38	51	58.9
30	17	22	44.03	—38	34	12.9	30	17	22	44.03	—38	34	12.9
<b>Mars</b>													
Dec. 1	12	34	44.90	—8	0	14.9	Dec. 1	12	34	44.90	—8	0	14.9
10	12	45	12.91	3	4	31.9	10	12	45	12.91	3	4	31.9
15	12	55	32.00	4	35	52.9	15	12	55	32.00	4	35	52.9
20	13	4	52.00	8	15	14.9	20	13	4	52.00	8	15	14.9
25	13	34	52.70	9	14	12.9	25	13	34	52.70	9	14	12.9
30	13	24	9.00	—7	12	78.9	30	13	24	9.00	—7	12	78.9
<b>Jupiter</b>													
Dec. 1	1	37	47.1	+8	34	38.3	Dec. 1	1	37	47.1	+8	34	38.3
10	1	15	52.00	9	42	25.9	10	1	15	52.00	9	42	25.9
15	1	17	52.00	+9	10	3.0	15	1	17	52.00	+9	10	3.0

Mittlere Berliner Zeit.							Mittlere Berliner Zeit.						
Jahre 1910	Schwanzes			Deklination			Jahre 1910	Schwanzes			Deklination		
	h	m	s	°	'	"		h	m	s	°	'	"
<b>Merkur</b>													
Dec. 1	14	1	24.89	—20	46	20.9	Dec. 1	14	1	24.89	—20	46	20.9
10	14	00	0.50	20	34	28.5	10	14	00	0.50	20	34	28.5
15	14	00	16.91	20	32	42.7	15	14	00	16.91	20	32	42.7
20	14	01	19.00	20	40	50.0	20	14	01	19.00	20	40	50.0
25	14	01	5.70	20	40	55.9	25	14	01	5.70	20	40	55.9
30	14	01	47.03	—20	42	12.7	30	14	01	47.03	—20	42	12.7
<b>Venus</b>													
Dec. 1	17	39	44.90	—40	34	11.9	Dec. 1	17	39	44.90	—40	34	11.9
10	17	35	42.80	39	55	42.4	10	17	35	42.80	39	55	42.4
15	17	31	13.91	39	39	49.0	15	17	31	13.91	39	39	49.0
20	17	28	4.00	39	7	1.9	20	17	28	4.00	39	7	1.9
25	17	24	14.70	38	51	58.9	25	17	24	14.70	38	51	58.9
30	17	22	44.03	—38	34	12.9	30	17	22	44.03	—38	34	12.9
<b>Mars</b>													
Dec. 1	12	34	44.90	—8	0	14.9	Dec. 1	12	34	44.90	—8	0	14.9
10	12	45	12.91	3	4	31.9	10	12	45	12.91	3	4	31.9
15	12	55	32.00	4	35	52.9	15	12	55	32.00	4	35	52.9
20	13	4	52.00	8	15	14.9	20	13	4	52.00	8	15	14.9
25	13	34	52.70	9	14	12.9	25	13	34	52.70	9	14	12.9
30	13	24	9.00	—7	12	78.9	30	13	24	9.00	—7	12	78.9
<b>Jupiter</b>													
Dec. 1	1	37	47.1	+8	34	38.3	Dec. 1	1	37	47.1	+8	34	38.3
10	1	15	52.00	9	42	25.9	10	1	15	52.00	9	42	25.9
15	1	17	52.00	+9	10	3.0	15	1	17	52.00	+9	10	3.0

Mittlere Berliner Zeit.							Mittlere Berliner Zeit.						
Jahre 1910	Schwanzes			Deklination			Jahre 1910	Schwanzes			Deklination		
	h	m	s	°	'	"		h	m	s	°	'	"
<b>Merkur</b>													
Dec. 1	14	1	24.89	—20	46	20.9	Dec. 1	14	1	24.89	—20	46	20.9
10	14	00	0.50	20	34	28.5	10	14	00	0.50	20	34	28.5
15	14	00	16.91	20	32	42.7	15	14	00	16.91	20	32	42.7
20	14	01	19.00	20	40	50.0	20	14	01	19.00	20	40	50.0
25	14	01	5.70	20	40	55.9	25	14	01	5.70	20	40	55.9
30	14	01	47.03	—20	42	12.7	30	14	01	47.03	—20	42	12.7
<b>Venus</b>													
Dec. 1	17	39	44.90	—40	34	11.9	Dec. 1	17	39	44.90	—40	34	11.9
10	17	35	42.80	39	55	42.4	10	17	35	42.80	39	55	42.4
15	17	31	13.91	39	39	49.0	15	17	31	13.91	39	39	49.0
20	17	28	4.00	39	7	1.9	20	17	28	4.00	39	7	1.9
25	17	24	14.70	38	51	58.9	25	17	24	14.70	38	51	58.9
30	17	22	44.03	—38	34	12.9	30	17	22	44.03	—38	34	12.9
<b>Mars</b>													
Dec. 1	12	34	44.90	—8	0	14.9	Dec. 1	12	34	44.90	—8	0	14.9
10	12	45	12.91	3	4	31.9	10	12	45	12.91	3	4	31.9
15	12	55	32.00	4	35	52.9	15	12	55	32.00	4	35	52.9
20	13	4	52.00	8	15	14.9	20	13	4	52.00	8	15	14.9
25	13	34	52.70	9	14	12.9	25	13	34	52.70	9	14	12.9
30	13	24	9.00	—7	12	78.9	30	13	24	9.00	—7	12	78.9
<b>Jupiter</b>													
Dec. 1	1	37	47.1	+8	34	38.3	Dec. 1	1	37	47.1	+8	34	38.3
10	1	15	52.00	9	42	25.9	10	1	15	52.00	9	42	25.9
15	1	17	52.00	+9	10	3.0	15	1	17	52.00	+9	10	3.0

Mittlere Berliner Zeit.							Mittlere Berliner Zeit.						
Jahre 1910	Schwanzes			Deklination			Jahre 1910	Schwanzes			Deklination		
	h	m	s	°	'	"		h	m	s	°	'	"
<b>Merkur</b>													
Dec. 1	14	1	24.89	—20	46	20.9	Dec. 1	14	1	24.89	—20	46	20.9
10	14	00	0.50	20	34	28.5	10	14	00	0.50	20	34	28.5
15	14	00	16.91	20	32	42.7	15	14	00	16.91	20	32	42.7
20	14	01	19.00	20	40	50.0	20	14	01	19.00	20	40	50.0
25	14	01	5.70	20	40	55.9	25	14	01	5.70	20	40	55.9
30	14	01	47.03	—20	42	12.7	30	14	01	47.03	—20	42	12.7
<b>Venus</b>													
Dec. 1	17	39	44.90	—40	34	11.9	Dec. 1	17	39	44.90	—40	34	11.9
10	17	35	42.80	39	55	42.4	10	17	35	42.80	39	55	42.4
15	17	31	13.91	39	39	49.0	15	17	31	13.91	39	39	49.0
20	17	28	4.00	39	7	1.9	20	17	28	4.00	39	7	1.9
25	17	24	14.70	38	51	58.9	25	17	24	14.70	38	51	58.9
30	17	22	44.03	—38	34	12.9	30	17	22	44.03	—38	34	12.9
<b>Mars</b>													
Dec. 1	12	34	44.90	—8	0	14.9	Dec. 1	12	34	44.90	—8	0	14.9
10	12	45	12.91	3	4	31.9	10	12	45	12.91	3	4	31.9
15	12	55	32.00	4	35	52.9	15	12	55	32.00	4	35	52.9
20	13	4	52.00	8	15	14.9	20	13	4	52.00	8	15	14.9
25	13	34	52.70	9	14	12.9	25	13	34	52.70	9	14	12.9
30	13	24	9.00	—7	12	78.9	30	13	24	9.00	—7	12	78.9
<b>Jupiter</b>													
Dec. 1	1	37	47.1	+8	34	38.3	Dec. 1	1	37	47.1	+8	34	38.3
10	1	15	52.00	9	42	25.9	10	1	15	52.00	9	42	25.9
15	1	17	52.00	+9	10	3.0	15	1	17	52.00	+9	10	3.0

Mittlere Berliner Zeit.							Mittlere Berliner Zeit.						
Jahre 1910	Schwanzes			Deklination			Jahre 1910	Schwanzes			Deklination		
	h	m	s	°	'	"		h	m	s	°	'	"
<b>Merkur</b>													
Dec. 1	14	1	24.89	—20	46	20.9	Dec. 1	14	1	24.89	—20	46	20.9
10	14	00	0.50	20	34	28.5	10	14	00	0.50	20	34	28.5
15	14	00	16.91	20	32	42.7	15	14	00	16.91	20	32	42.7
20	14	01	19.00	20	40	50.0	20	14	01	19.00	20	40	50.0
25	14	01	5.70	20	40	55.9	25	14	01	5.70	20	40	55.9
30	14	01	47.03	—20	42	12.7	30	14	01	47.03	—20	42	12.7
<b>Venus</b>													
Dec. 1	17	39	44.90	—40	34	11.9	Dec. 1	17	39	44.90	—40	34	11.9
10	17	35	42.80	39	55	42.4	10	17	35	42.80	39	55	42.4
15	17	31	13.91	39	39	49.0	15	17	31	13.91	39	39	49.0
20	17	28	4.00	39	7	1.9	20	17	28	4.00	39	7	1.9
25	17	24	14.70	38	51	58.9	25	17	24	14.70	38	51	58.9
30	17	22	44.03	—38	34	12.9	30	17	22	44.03	—38	34	12.9
<b>Mars</b>													
Dec. 1	12	34	44.90	—8	0	14.9	Dec. 1	12	34	44.90	—8	0	14.9
10	12	45	12.91	3	4	31.9	10	12	45	12.91	3	4	31.9
15	12	55	32.00	4	35	52.9	15	12	55	32.00	4	35	52.9
20	13	4	52.00	8	15	14.9	20	13	4	52.00	8	15	14.9

Sonnenbedeckungen durch den Mond für Berlin 1910

Anfangstag	Stern	Größe	Totale mittlere Zeit		Anfang mittlere Zeit	
			h	m	h	m
December 1	α Virginis	4.5	19	59.4	27	4.7
" 10	γ Tauri	4.0	7	57.2	9	58.4
" 20	β <sup>2</sup> Cass	4.2	18	34.9	33	12.3
" 30	Antares	3.0	12	58.9	34	34.0
" 30	α Tauri	1.9	14	59.4	37	5.4
" 30	δ Leonis	4.5	9	57.2	39	29.9

Lage und Größe des Sonnenfleckes nach Beer

December 9.	Große Achse der Ringflecke: 80" 10". Kleine Achse: 10". Erhebungswinkel der Erde über der Ringflecke: 52° 54' 20".	
December 8.	Mittlere Scheitel der Elipsen: Scheitel " " " Halbmesser der Sonne Parallaxe " "	10° 17' 3.43" 10° 17' 30.95" 17' 34.15" 0.84"



Stellungen der Jupitermonde im December 1894.

I.



r  
s

II.



d r  
s s

III.



r  
s

IV.

Keine  
deutl.



Vollstreuung  
Monde

Stellungen von J<sup>1</sup> für den Anblick im astronomischen Fernrohr.

Tag	West.	Ost.
1	1 30' - 2 5'	5
2	2 1 5	6
3	3 5 10	7
4	4 8 15	8
5	5 16 20	9
6	6 24 25	10
7	7 32 30	11
8	8 40 35	12
9	9 48 40	13
10	10 56 45	14
11	12 04 50	15
12	13 12 55	16
13	14 21 00	17
14	15 29 05	18
15	16 37 10	19
16	17 45 15	20
17	18 53 20	21
18	20 01 25	22
19	21 09 30	23
20	22 17 35	24
21	23 25 40	25
22	24 33 45	26
23	25 41 50	27
24	26 49 55	28
25	27 58 00	29
26	29 06 05	30
27	30 14 10	31
28	31 22 15	1
29	32 30 20	2
30	33 38 25	3
31	34 46 30	4

**Ercheinungen der Jupitermonde.** Die nächsten Angaben über die Erscheinungen der Jupitermonde beziehen sich auf mittleren Zeit von Greenwich. Die Trabanten sind der Helligkeitsgrade ihres Abstandes vom Jupiter nach mit 1 bis IV bezeichnet. Die vor größeren Nummern stehen die Bezeichnungen des Mondes mit Bezug auf den Jupiter für den Augenblick der Verfinsternung III, oder des Winternachmittags (VI bis I nicht angegeben, so kann der Ausfall aus dem Schatten nicht beobachtet werden. Ferner bedeutet bei den nachfolgenden Zeitangaben

- Ec D das Verschwinden des Trabanten im Schatten des Jupiter
- Ec E den Austritt des Trabanten aus dem Schatten des Jupiter
- Oc D das Verschwinden des Trabanten hinter der Jupiterschleife
- Oc E den Wiederaustritt des Trabanten von der Jupiterschleife
- Tc I den Eintritt des Trabanten vor die Jupiterschleife
- Tc E den Austritt des Trabanten aus der Jupiterschleife
- Sc I den Eintritt des Trabanten vor die Jupiterschleife
- Sc E den Austritt des Trabanten von der Jupiterschleife

Es sind nur diejenigen Erscheinungen der Jupitermonde aufgeführt, welche sich abspielen, wenn Jupiter im Greenwich über und die Sonne unter dem Horizont steht. Um die Momente dieser Erscheinungen nach meridianischer Zeit zu finden, hat man nur nötig, 1<sup>h</sup> zu den angegebenen Zeitpunkten zu addieren.

December 2. I Oc. D. 11<sup>h</sup> 12<sup>m</sup>. December 4. I Sc. E. 10<sup>h</sup> 32<sup>m</sup>. December 5. III Ec. D. 1<sup>h</sup> 31<sup>m</sup> 21<sup>s</sup>. December 6. II Sc. E. 11<sup>h</sup> 10<sup>m</sup>. December 6. II Oc. D. 1<sup>h</sup> 31<sup>m</sup>. December 10. II Sc. E. 1<sup>h</sup> 10<sup>m</sup>. December 11. I Sc. I. 10<sup>h</sup> 22<sup>m</sup>. December 12. I Sc. II. 11<sup>h</sup> 41<sup>m</sup> 30<sup>s</sup>. December 13. I Tr. E. 1<sup>h</sup> 30<sup>m</sup>. December 15. II Sc. I. 1<sup>h</sup> 20<sup>m</sup>. III Tr. E. 1<sup>h</sup> 10<sup>m</sup>. December 16. I Tr. I. 1<sup>h</sup> 10<sup>m</sup>. December 18. II Sc. E. 1<sup>h</sup> 10<sup>m</sup>. I Ec. E. 1<sup>h</sup> 20<sup>m</sup> 20<sup>s</sup>. December 19. II Tr. I. 1<sup>h</sup> 22<sup>m</sup>. December 20. III Oc. II. 10<sup>h</sup> 20<sup>m</sup>. December 21. I Sc. I. 11<sup>h</sup> 41<sup>m</sup>.

### Stellungen der Saturnmonde. (Erklärung S. 24)

Zeiten der helischen Elongationen im December 1904

Tethys. December 2. 11<sup>h</sup> 15<sup>m</sup>. December 4. 11<sup>h</sup> 15<sup>m</sup>. December 6. 10<sup>h</sup> 15<sup>m</sup>. December 8. 10<sup>h</sup> 15<sup>m</sup>. December 10. 10<sup>h</sup> 15<sup>m</sup>. December 12. 10<sup>h</sup> 15<sup>m</sup>. December 14. 10<sup>h</sup> 15<sup>m</sup>.

Mimas. December 2. 10<sup>h</sup> 15<sup>m</sup>. December 4. 10<sup>h</sup> 15<sup>m</sup>. December 7. 10<sup>h</sup> 15<sup>m</sup>. December 10. 10<sup>h</sup> 15<sup>m</sup>. December 12. 10<sup>h</sup> 15<sup>m</sup>. December 14. 10<sup>h</sup> 15<sup>m</sup>. December 16. 10<sup>h</sup> 15<sup>m</sup>.

Encke. December 2. 10<sup>h</sup> 15<sup>m</sup>. December 4. 10<sup>h</sup> 15<sup>m</sup>. December 10. 10<sup>h</sup> 15<sup>m</sup>. December 12. 10<sup>h</sup> 15<sup>m</sup>. December 14. 10<sup>h</sup> 15<sup>m</sup>.

Titan. December 2. 11<sup>h</sup> 15<sup>m</sup>. December 4. 11<sup>h</sup> 15<sup>m</sup>. December 6. 11<sup>h</sup> 15<sup>m</sup>. December 8. 11<sup>h</sup> 15<sup>m</sup>. December 10. 11<sup>h</sup> 15<sup>m</sup>. December 12. 11<sup>h</sup> 15<sup>m</sup>.

Japetus. December 4. 11<sup>h</sup> 15<sup>m</sup>.

Mehrere größere und kleinere

## *astronomische Fernrohre*

sind sehr preiswürdig zu verkaufen. Beifolgende wollen sich wegen weiterer Mittheilungen an mich wenden.

Prof. Dr. Hermann J. Klein in Köln-Lindenthal.



Samuel P. Hays

Observations of the Moon-Expedition and San Francisco

Table III

Im modernen Vertriebssystem sind es gerade die Produkt-Manager, die zu sterben.

1000

**Unternehmens- und Mitarbeiterentwicklung**

100

[!\[\]\(e78f798d4ea5c530c9db49e7d26e6b95\_img.jpg\)](#)
[!\[\]\(034433b90593e82e5460e34e3ed48e9b\_img.jpg\)](#)
[!\[\]\(5f24500834b50a8307ffe63e419281a9\_img.jpg\)](#)

© 2004 Blackwell Publishing Ltd, *Journal of Internal Medicine* 255: 111–118

Das Jahrbuch der Fortschritte der Mathematik und Geographie hat sich durch seinen sorgfältig ausgewählten Inhalt, sowie durch die hohen Leistungen hervorragender Talente eine günstige Stellung erworben und wird den zukünftigen Fortschritten der naturwissenschaftlichen Forschung, sowie allen Forschern und Verehrern der physikalischen Erdkunde mit der Versicherung anvertraut, daß es auch in Zukunft bestehen wird.

■ Bei Abschluss der ersten Runde (R1) wird ein Ausscheidungsspiel bewirkt und werden sich anschließend direkt in die Vorqualifikation ■

**Table 1**

### Für Freunde astronomischer Beobachtung

100

## Teoría, metodología, técnicas

Year	2000	2001	2002	2003	2004
Number of cases	10	15	20	25	30
Percentage of cases	10.0%	15.0%	20.0%	25.0%	30.0%

**Faculty of Electrical, Electronic and Information Engineering**

**24. Nguyen, P. "Economic Development Policy in South Vietnam: 1954-1975." *Journal of Development Economics* 1978, 10: 1-15.**

[illegible]

**Zu beziehen durch jede Buchhandlung**

111

## Freunde der Himmelsbeobachtung

10

**Professor Dr. Hermann J. Behr**

**Handliche Skizze 1** – 4. Klasse vermittelt dem Kind spielerisch die Grundstruktur der Mathematik, die Zahlbeziehung und die Rechenarten, welche im Fortschritt wichtiger Fähigkeiten enthalten sind, sowie die wichtigsten Rechenarten und die Rechenarten.

### With a well-hellohem and a standard Text

in Kanton und in Bayern. Text von Peter. Original-Gesamtheit

Figure 1: A schematic diagram of the experimental setup. It shows a participant sitting at a table, looking at a screen. The screen displays a target (a small circle) and a starting point (a larger circle). A hand is shown moving from the starting point towards the target. The diagram is labeled 'Figure 1' and includes a caption below it.

—+— 500. 1000. 1500. 2000. 2500. 3000. 3500. 4000. 4500. 5000. 5500. 6000. 6500. 7000. 7500. 8000. 8500. 9000. 9500. 10000. 10500. 11000. 11500. 12000. 12500. 13000. 13500. 14000. 14500. 15000. 15500. 16000. 16500. 17000. 17500. 18000. 18500. 19000. 19500. 20000. 20500. 21000. 21500. 22000. 22500. 23000. 23500. 24000. 24500. 25000. 25500. 26000. 26500. 27000. 27500. 28000. 28500. 29000. 29500. 30000. 30500. 31000. 31500. 32000. 32500. 33000. 33500. 34000. 34500. 35000. 35500. 36000. 36500. 37000. 37500. 38000. 38500. 39000. 39500. 40000. 40500. 41000. 41500. 42000. 42500. 43000. 43500. 44000. 44500. 45000. 45500. 46000. 46500. 47000. 47500. 48000. 48500. 49000. 49500. 50000. 50500. 51000. 51500. 52000. 52500. 53000. 53500. 54000. 54500. 55000. 55500. 56000. 56500. 57000. 57500. 58000. 58500. 59000. 59500. 60000. 60500. 61000. 61500. 62000. 62500. 63000. 63500. 64000. 64500. 65000. 65500. 66000. 66500. 67000. 67500. 68000. 68500. 69000. 69500. 70000. 70500. 71000. 71500. 72000. 72500. 73000. 73500. 74000. 74500. 75000. 75500. 76000. 76500. 77000. 77500. 78000. 78500. 79000. 79500. 80000. 80500. 81000. 81500. 82000. 82500. 83000. 83500. 84000. 84500. 85000. 85500. 86000. 86500. 87000. 87500. 88000. 88500. 89000. 89500. 90000. 90500. 91000. 91500. 92000. 92500. 93000. 93500. 94000. 94500. 95000. 95500. 96000. 96500. 97000. 97500. 98000. 98500. 99000. 99500. 100000. 100500. 101000. 101500. 102000. 102500. 103000. 103500. 104000. 104500. 105000. 105500. 106000. 106500. 107000. 107500. 108000. 108500. 109000. 109500. 110000. 110500. 111000. 111500. 112000. 112500. 113000. 113500. 114000. 114500. 115000. 115500. 116000. 116500. 117000. 117500. 118000. 118500. 119000. 119500. 120000. 120500. 121000. 121500. 122000. 122500. 123000. 123500. 124000. 124500. 125000. 125500. 126000. 126500. 127000. 127500. 128000. 128500. 129000. 129500. 130000. 130500. 131000. 131500. 132000. 132500. 133000. 133500. 134000. 134500. 135000. 135500. 136000. 136500. 137000. 137500. 138000. 138500. 139000. 139500. 140000. 140500. 141000. 141500. 142000. 142500. 143000. 143500. 144000. 144500. 145000. 145500. 146000. 146500. 147000. 147500. 148000. 148500. 149000. 149500. 150000. 150500. 151000. 151500. 152000. 152500. 153000. 153500. 154000. 154500. 155000. 155500. 156000. 156500. 157000. 157500. 158000. 158500. 159000. 159500. 160000. 160500. 161000. 161500. 162000. 162500. 163000. 163500. 164000. 164500. 165000. 165500. 166000. 166500. 167000. 167500. 168000. 168500. 169000. 169500. 170000. 170500. 171000. 171500. 172000. 172500. 173000. 173500. 174000. 174500. 175000. 175500. 176000. 176500. 177000. 177500. 178000. 178500. 179000. 179500. 180000. 180500. 181000. 181500. 182000. 182500. 183000. 183500. 184000. 184500. 185000. 185500. 186000. 186500. 187000. 187500. 188000. 188500. 189000. 189500. 190000. 190500. 191000. 191500. 192000. 192500. 193000. 193500. 194000. 194500. 195000. 195500. 196000. 196500. 197000. 197500. 198000. 198500. 199000. 199500. 200000. 200500. 201000. 201500. 202000. 202500. 203000. 203500. 204000. 204500. 205000. 205500. 206000. 206500. 207000. 207500. 208000. 208500. 209000. 209500. 210000. 210500. 211000. 211500. 212000. 212500. 213000. 213500. 214000. 214500. 215000. 215500. 216000. 216500. 217000. 217500. 218000. 218500. 219000. 219500. 220000. 220500. 221000. 221500. 222000. 222500. 223000. 223500. 224000. 224500. 225000. 225500. 226000. 226500. 227000. 227500. 228000. 228500. 229000. 229500. 230000. 230500. 231000. 231500. 232000. 232500. 233000. 233500. 234000. 234500. 235000. 235500. 236000. 236500. 237000. 237500. 238000. 238500. 239000. 239500. 240000. 240500. 241000. 241500. 242000. 242500. 243000. 243500. 244000. 244500. 245000. 245500. 246000. 246500. 247000. 247500. 248000. 248500. 249000. 249500. 250000. 250500. 251000. 251500. 252000. 252500. 253000. 253500. 254000. 254500. 255000. 255500. 256000. 256500. 257000. 257500. 258000. 258500. 259000. 259500. 260000. 260500. 261000. 261500. 262000. 262500. 263000. 263500. 264000. 264500. 265000. 265500. 266000. 266500. 267000. 267500. 268000. 268500. 269000. 26950



**G. & S. Merz**  
Optisches Institut  
von **Oskar Schneider & Franz Schneider**  
München, Maximilianstr. 11.

**Fernrohre**  
zu astronomischem  
und terrestrischem Gebrauch.

Besondere Vorzüge: große Vergrößerung.

**3 zoll. Handfernrohr von Reinhold A. H.**  
mit 16 Brennpunkten und 3 astronomischen Okularen (24, 36, 48) ist für 90 Lt. zu verkaufen. Instrument ist sehr wenig gebraucht. Optisch vorzüglich.  
Anfragen bezieht die Expedition dieses Blattes.

Ebenso größere und kleinere

## **astronomische Fernrohre**

sind sehr preiswürdig zu verkaufen. Reflektoren wollen sich wegen ständiger Mängelungen so nicht verkaufen.

**Prof. Dr. Hermann J. Klein in Ebn-Lindenthal.**

Verlag von **Edward Kietzsch Meyer** in Leipzig

Sehr zu empfehlen:

## **Die Wunder des Erdballes.**

Allgemeine verständliche Darstellungen

Entstehung und Ergebnisse der physikalischen Erdkunde.

Von **Professor Dr. Hermann J. Klein.**

Sehr, vorzüglich und höchst interessant.

21 Bogen mit 4 Color. Preis 4 Mark. Gebunden Preis 7 Mark.

Der Verfasser, ein Forscher wie ein Meister der Darstellung, weckt Interesse, gibt in diesem Werke zum ersten Male eine sehr interessante, sehr kurze, sehr interessante Schilderung aller Dinge, was die Wissenschaft bezüglich des Erdballes angeht. Es ist ein sehr interessantes, sehr interessantes Buch, das von einem sehr erfahrenen Forscher verfasst wurde, aber mit dem vollkommensten Verstande verfasst wurde. Es ist groß und wichtig in der Auffassung, wie die Natur wirkt, wie sie ist und das Ganze sehr interessant, sehr schön, das man nicht leicht mit einem

**zu beziehen durch jede Buchhandlung.**



Herausgegeben unter Mitwirkung  
 hervorragender  
 Fachkenner und wissenschaftlicher Schriftsteller  
 von  
**Prof. Dr. Hermann J. Klotz in Köln-Museenthal.**

Neuer Band XXXVII. 1910

II. Heft.



Verlag von  
**Edward Belserich Mayer**  
 Leipzig, Hauptplatz 18.

## Inhalt des fünften Heftes.

	Seite
Die 26. Versammlung der Astronomischen Gesellschaft . . . . .	241
Die Sonnenfleckendichtigkeit im Jahre 1898 . . . . .	244
Kalium- und Wasserstoffspektra in der Sonnenatmosphäre. (Hilfen Teil II.) . . . . .	246
Die Meteoritenammlung der Kgl. Universität zu Berlin . . . . .	248
Ergebnisse der U. S. Milne-Expedition nach der südlichen Hemisphäre . . . . .	253
Die Position der Ebene der Milchstraße . . . . .	256
Verschiede Nachrichten . . . . .	257
Der 4. Saturnmond (Phoebe)	
Fouriergel	
Helios Meteor	
Doppelsterne messungen am städtigen Observatorium der Technischen Schule.	
Über die Theorie der Bewegung bewegter Körper	
Ein neues Verfahren zum Vergleich photographischer Sternenspektren.	
Schicksal des dritten Jupitermondes für das bloße Auge	
Aus Theorie und Praxis der täglichen telegraphischen Zeitvermittlung im Deutschen Reich	
Der Einfluss einer totalen Sonnenfinsternis nach Ansicht der Ägypter im 15. Jahrhundert.	
Astronomischer Kalender für den Monat Januar 1898 . . . . .	261
Stellungen der Jupitermonde im Januar 1898 . . . . .	262
Stellungen der Jupitermonde . . . . .	264
Stellungen der Saturnmonde . . . . .	266

LEIPZIG, Neudruck 18.

**Edvard Heinrich Mayer,**  
Verlagsbuchhandlung.

# SIRIUS.

Zeitschrift für populäre Astronomie.

Centralorgan für alle Freunde und Förderer der Himmelskunde.

Herausgegeben

unter Mitwirkung hervorragender Fachlehrer und astronomischer Schriftsteller

von Prof. Dr. Hermann J. Klein in Köln.

November 1904.

„Wissen und Erleben“ und die Frucht und die  
Bereicherung der Menschheit.“ Ernst.

Jeden Monat 1 Mark. — Jährlich 12 Mk.

Verlag von EDUARD HEINRICH MAYER in Leipzig.

**INHALT:** Die 20. Versammlung der Astronomischen Gesellschaft. S. 241. — Die Sonnenfleckentätigkeit im Jahre 1903. S. 264. — Kälte- und Wärmeverhältnisse in der Sonnenatmosphäre. Oberr. Teil S. 265. — Die Sonnenatmosphäre der Kgl. Universität in Berlin. S. 266. — Ergebnisse der El G. Alkanon Expedition nach der südlichen Hemisphäre. S. 267. — Die Position der Uraus der Milkenstraße. S. 268. — Vermischte Nachrichten. S. 269. — Astronomischer Kalender. S. 271. — Leistungen der Japansreise im Jahre 1903. S. 272. Zeichnungen der Japansreise im Jahre 1903. S. 273.

## Die 20. Versammlung der Astronomischen Gesellschaft.

**I**n 5. September begann in Lund die 20. Tagung der Astronomischen Gesellschaft in der Aula des Universitätsgebäudes. Die Versammlungen wurden zunächst mittels des Königs von Schweden durch den Bischof von Lund begrüßt, dann durch den Rektor der Universität und den Bürgermeister der Stadt. Der Vorsitzende, Prof. Dr. von Seeliger, dankte unter Hinweis darauf, daß zum zweiten Male die Astronomische Gesellschaft ihre Tagung auf schwedischem Boden habe und ihr Mitbegründer und langjähriger Vorsitzender, der leider inzwischen verstorben Prof. Gylden, dem Schwedenlande angehört, ebenso Prof. Duner, der derzeit Mitglied der Versammlung ist. Von letzterem waren auswendig die Herren v. Seeliger (München), Wirtz (Wien), Bruen (Leipzig),

Müller (Potsdam), Hyrén (Pulkowa) und Duner (Lunds). Der Zahl der Mitglieder der Gesellschaft ist von 371 auf 326 gesunken. Es wurde zunächst mitgeteilt, daß aus der Lundsmannschen Stiftung für die definitive Bahnbestimmung von Kometen der Periode 1766 bis 1866 im ganzen 5 Preise verliehen worden seien, an Strömberg (Karl), Krog (Mährisch-Odra), Peck (Synnau), V. St. v. A., Bernhard Cohn (Sindburg), Harnik (Wien). Von den durch Lindemann gestifteten Exemplaren der Bonner Durchmusterung zur Belohnung besonderer Arbeiten erhalten je eines Schwab (Göttingen), De Graaf (Hamburg) und Linder (Lyon). Herr Lindemann hat nun seiner 1870 Mark gestiftet als Preis für die Vorüberrechnung des Heliosischen Komets, dessen Wiederrichtung



1912, höchstens 1961 zu erwarten ist. Es wird die Berechnung der Vorratsberechnung bis zum 31. Dezember 1908 an den Vorstand der Astronomischen Gesellschaft (Leipzig) verlangt. Nyström berichtet über den Stand des großen von der Gesellschaft unternommenen, der Durchbeobachtung der Sonne bis zur 9. Größe. Der erste Teil, enthaltend die Sterne vom  $+80^{\circ}$  bis  $-2^{\circ}$  Größe der Deklination, ist erschienen, bei auf nur an der Sternwarte Göttingen in Auftrag bei mittlerer Zone ( $+70^{\circ}$  bis  $+35^{\circ}$ ). Von der Fortsetzung nach Süden ist der Teil der v. Kall zwischen Privatsternwarten in Wien beobachteten Zone  $-6^{\circ}$  bis  $-18^{\circ}$  erschienen, die anderen Teile, an denen in Stralburg, Washington, Cambridge (V. St. u. A.) und Alger gearbeitet wird, sind in gutem Fortschritt. Das zweite große Unternehmen der Gesellschaft, die Herbeiführung eines Katalogs der vollständigen Sonne, ist, wie Müller berichtet, soweit gefördert, daß Probe-drucke vorgelegt werden konnten.

Wolf (Wien) berichtet, daß von den seit für 1903 und 1904 erwarteten periodischen Kometen nur einer beobachtet worden konnte, der Komet Brooks, und daß auch dieser sehr schwach gewesen war. Alle anderen stiegen für die Beobachtung zu gering, weil der Sonne zu nahe. Für die nächsten zwei Jahre sind sechs Kometen zu erwarten, von denen die Auffindung des Enkeschen zweifellos sehr bestimmte, von zwei andere liegt vermessen, den Kometen Tempel 1 und Pons, so die Wiederentdeckung dagegen kaum zu erhellen. Sehr wahrscheinlich ist sie aber für die Kometen Wolf und Finlay. Der Halley'sche Komet von 75½ Jahren Umlaufzeit wird, gemäß jener die Vorratsberechnung durch den Leidenamer-Preis geschätzt ist, zweifellos sehr früh gefunden werden. Von den nur einmal sichtbar gewordenen Kometen, die nicht in oppositioneller Bahn die Sonne umkreisen, sind Beobachtungsbefehle aus allgemeinen in gutem Fortschritt.

Nachmittag wurde von den Teilnehmern der Tagung die Sternwarte besucht. Ebenso wurde das physikalische Kabinett besucht. Den Tag beschloß ein von Mitgliedern der Stadt und der Universität Lund im Grand Hotel gegebenes Festessen. Ein Album ständlicher Mitglieder der Gesellschaft, das dem Photographen eingesandt haben (100 von 1900), selbst lauten topographischen Notizen an von der Stockholm-Verlagsbuchhandlung Hæger-W. Tullberg für den Kongress hergestellt) wurden.

Am zweiten Tage verbreiteten sich Prof. Brechinger (Berlin) über die Notwendigkeit der Herstellung ständlicher Logarithmentafeln, bei denen der trigonometrische Teil der Logarithmen der Sonne von für jede stündliche Sekunde enthalten soll. Die Kosten dieses Tabellenwerkes würden sich auf etwa 50000 Mark belaufen und wären vollständig durch die internationale Association der Akademien aufzubringen. Prof. Albrecht (Potsdam) sprach über die von Kometen entfaltete Anomalie der Pulshöhen-Schwankungen und über bestimmte Vermutungen in Lagerbestimmungen mittels drahtloser Telegraphen. Prof. Wolf (Potsdam) bemerkte hierzu, daß ähnliche Ergebnisse auch durch Gewitter verursacht würden, er habe auf seiner Station Göttingen nach Vorläufen registriert können. Die gleichzeitigen Aufzeichnungen solcher Gewittererregungen an vielen Stationen würden später ebenfalls Lagerbestimmungen in beträchtlicher Wiederholung erlauben. Schorr (Potsdam) bemerkte, daß auch für die Abgabe von Zeitzeichen an Schiffe, die auf der Fahrt begriffen sind, die drahtlosen Telegraphen eine wichtige Rolle spielen würde und daß eine solche Station für Hamburg geplant sei.

Falke (Wien), der Entdecker vieler kleinen Planeten, sprach über das Projekt zur bequemen Auffindung dieser lichtschwachen Objekte Sternkarten handlichen Formats zu publizieren, welche die Sonne bis zur 15. Größe enthalten

sollen. Die obigen Aufnahmen, die sich meistens innerhalb eines Orbits von 5<sup>h</sup> zu beiden Seiten der Elipsen hatten sollen, bei Wolf (Herschel) größtenteils schon gemacht. Die Vermutung begreife das Plus freudig und wünscht nur eine ähnliche Ausdehnung desselben auch auf weiter von der Elipsen liegende Regionen des Himmels.

Prof. Wolf zeigte in der Nachmittags-sitzung im Hörsaal des physiologischen Instituts mittels Projektion die von ihm am Königsbild Observatorium erhaltenen prachtvollen Aufnahmen von Nebel-Necken. Prof. Wolf machte darauf aufmerksam, daß die Nebel häufig von sehr stromlinienförmig umgeben sind. Er erklärt dies dadurch, daß diese Nebel in Bewegung begriffen sind, die Sterne in sich auflösen und also hinter sich oder bei Zusammenziehung rings um sich keine Sterne zurücklassen. Prof. von Siedler (München) konnte diese Ansicht nicht bestätigen, sondern denkt an die Existenz dunkler kosmischer Staubmassen von geringer Ausdehnung; kleinere Partien derselben im Lichte, so entsteht ein Nebelfleck und der ihn umgebende noch dunklere Partien rufen eben den Eindruck der stromlinienförmigen hervor, da die hinter ihnen stehenden Sterne abgeblendet werden und nur die wenigen vordere sichtbar bleiben. Auf die Beantwortung eines Mitgliedes, daß ja das Spektroskop entscheiden könne, ob Gas oder Staubmassen (schwebende Körper) vorliegen, erwiderte Siedler, daß wir die Verhältnisse, unter denen diese kosmischen Substanzen stehen, in keiner Weise im Laboratorium nachahmen können, und Hartmann (Potsdam) führte zur Befriedigung aus, daß er vor wenigen Tagen einen neuen aus dem Radium gewonnenen Körper, das Eranthium, habe untersuchen können, der alle bisherigen spektroskopischen Annahmen über den Harnstoff werfe, indem er, im weißen Pulver, kein kontinuierliches Spektrum zeige, sondern genau wie die Gase nur drei helle Linien und zwar eine im Blau,

umweit der Wasserstofflinie F, aber nicht bei der Linienack, und zwei schwächeren im Gelb und Gelb, diese Linien sind bei jetzt noch unbekannt.

Happinger (Wien) hat Untersuchungen angestellt, um die Tachung des Becken-schen Komets 1845 mechanisch zu erklären und mit dem damals und 1892 beobachteten Bahnstückchen der beiden Teile die Masse derselben zu ermitteln. Es muß eine Anziehung beider Teile aufeinander angenommen werden, außerdem die Annahme gemacht werden, daß der 1852 in der Bahn vorangehende Teil im Jahre 1845 die nachfolgende gewesen sei und umgekehrt. Zwischen den einzelnen Erscheinungen von 1852 an sei dann natürlich eine normale Beschleunigung der Bewegung anzunehmen. Charlier (Lund) erklärte diese durch frühere unbeschädigte Ablosungen von Kometenkernen. Dadurch erklärt der Hauptteil des Komets einen Stoß, der seine Bewegung beschleunigt. Wenn der Erscheinende Komet, dessen Wiederkehr sich schon häufig selbst Bewegungsbeschleunigungen gezeigt habe, so müßte das nicht von dem sogenannten wiederkehrenden Komet her, sondern ebenfalls von unbekannt gebliebenen Ablosungen. Dadurch wird der Komet natürlich immer kleiner und so erklärt sich schließlich das Verschwinden vieler Kometen.

Am 1. September fand ein Ausflug nach der im Sande belagerten Insel Hyen statt, auf welcher vor mehr als drei Jahrhunderten Tycho Brahe seinen Uraniborg und Stjerneborg nachrichten-Von ihnen sind nur sehr geringe Reste vorhanden.

Am 8. September fand die Wahl des nächsten Versammlungsortes statt, es fiel auf Jona. Rydberg (Lund) sprach über Modifikation des Newtonschen Gravitationsgesetzes, Charlier (Lund) über Kosmogonie gewisser Nebelent-wicklungen, Koderitz (Wien) über das Projekt eines astrophysikalischen Observatoriums auf dem Semmering und eine neue Auswertungsgeschichte der

Spektroskopier. Kowalew (Moskau) teilt mit, daß der Stern  $\gamma$  Größe „Cassiopeja eine abnormale Eigenbewegung gleich dem Sirius zeigt, die also auf einen bis jetzt unbekannten Begleiter hinweist. Derselbe konnte jedoch im 18-fachen Reflektor zu Potsdam nicht gesehen werden. Schaller (Hamburg) vertrat sich über die bestirnte Annahme, daß die Sonnenatmosphäre schon in geringer Höhe über dem Sonnenrande unveränderlich dünn sei, sondern diese Schlußfolgerung auf dem Durchgang von Kometen durch die Sonnenatmosphäre in weitem hunderttausend Kilometern von der Sonnenoberfläche ohne merkliche Störung ihrer Bewegung beruht. Jans Kometen seien vielmehr sichtlich erst nach ihrem Durchgange durch die Sonnenatmosphäre verändert worden, so daß, bis auf einen, von ihrer Bahn nichts bekannt sei und bei dem man fügen die vorher angestellten Beobachtungen keinen sichern Schluß zu, ob die Bahn wirklich keine Änderung durch die Sonnenatmosphäre erfahren habe. Schwarzschild (Göttingen) berichtet über ein Unternehmen dänischer Sonnenwarte, die Sterne bis zur 7.5 Größe nach ihrer photographischen Größe zu bestimmen. Diese photographischen Größen sind von den optischen oft be-

trächtlich verschieden, da die blauweißen Sterne sterben, die roten aber nicht auf die Platte überwiegen. Für die Temperaturen der Sterne, aus den Messungen des Vorragenden unter Zugrundelegung des Wienschen Strahlungsgesetzes, teilt derselbe einige Werte mit. Danach haben

	aus mittlerer Temperatur von
die weißen Sterne	11000°
• gelblichweißen Sterne	9000°
• weißgelben Sterne	7000°
• gelben Sterne	5000°
• rotgelben Sterne	3500°

Gelbstroten und roten Sterne kommen nicht mehr auf die Platte.

Hartig (Hamburg) berichtet über von ihm während der letzten Tage im Land ausgeführte Beobachtungen des veränderlichen Sterns UZ Cygni, der seiner ersten Hauptmaxima noch ein sekundäres zeigt, das alle 31 Tage wiederkehrt und vom Vortragenden in den März Tagen des 5., 6 und 7. September festgelegt worden konnte. Die Ursache der beiden Minima liegt nach Hartigs Annahme in der Rotation des birnenförmig gestülpten leuchtenden Sternes. Wenn derselbe aus der Breite Seite zuseht, zeigt er sich im hellsten Lichte, während die umförmig hellen Minima durch die beiden vordem Seiten erzeugt werden.

## Die Sonnenfleckenhäufigkeit im Jahre 1903.

 Prof. A. Woll veröffentlicht als Fortsetzung dessen Prof. R. Wolf begründeten Reihe die Ergebnisse seiner Untersuchungen über die Fleckenhäufigkeit der Sonne im Jahre 1903,\*) der folgenden entnehmen ist.

Auf der Sternwarte in Zürich sind im Jahre 1903 an 281 Tagen von Assistent Dröger Beobachtungen über die Häufigkeit der Sonnenflecken in unveränderter Art und mit denselben Instrumente wie

bevor gemacht worden. Daraus hat Prof. Woll die vor 19 Jahren begonnenen korrespondierenden Zählungen mit dem Hüllensatz von verschiedener Stärke in 132 Tagen fortgesetzt zu dem Zwecke, den mit der Fleckenzahl wahrscheinlich veränderlichen Einfluß der optischen Kraft des Beobachtungsinstrumentes zu verfolgen. Zur Vervollständigung der beiden entsprechenden Reihen konnten ferner noch 18 weitere benutzt werden, von denen die meisten von zuverlässigen Sonnenbeobachtern angestellt worden waren, während einige andere bereits publiziert vorliegen.

\*) Astronom. Mittheilungen No. XCV Zürich 1904.

In der folgenden Tabelle wird die Monats- und Jahresmittel zusammengefaßt, wie sie aus der Gesamtheit aller Beobachtungen hervorgehen.

Monatliche Flieken-Beobachtungen im Jahre 1903

1903	Wochen- Tage	Fl. hoch Tage	Wochen- Tage
Januar	31	0	6.3
Februar	28	0	17.8
März	31	10	13.5
April	30	3	26.7
Mai	31	6	16.6
Juni	30	6	16.3
Juli	31	8	27.9
August	31	8	20.8
September	30	10	11.1
Oktober	31	4	20.9
November	30	8	40.5
Dezember	31	1	45.6
Jahr	365	45	14.4

„Das defizitäre Jahresmittel“, sagt Paul Welter, „steht sich auf  $r = 24.4$  und ergibt somit gegen 1902 ( $r = 5.9$ ) eine Zunahme von 18.4 Einheiten, die in Verbindung mit der raschen Abnahme der Zahl der fliekenfreien Tage von 291 auf 45 das erwirkte steileste Ansteigen der Tätigkeit bestätigt. Innerhalb kann man diese Zunahme, wenn man mit dem durchschnittlichen Verlaufe des aufsteigenden Zweiges der 11-jährigen Fliekenkurve gegenüberstellt, nach nicht als eine starke bezeichnen. Von der Spitzezeit des letzten Minimumjahres 1904 ( $r = 27.7$ ) aus gerechnet, beträgt die Gegenzunahme bis 1903 nur 31.7, und diese ist für ein zweites Jahr nach dem Minimum so auffallend gering, daß sie in einer Vergleichung mit den entsprechenden Verhältnissen in früheren Perioden auffordert, auch wenn es noch verfrüht erscheinen mag, schon jetzt eine Vermutung über den Verlauf der gegenwärtigen Periode und namentlich über die Höhe des kommenden Maximums daraus zu knüpfen. Zieht man nur die sieben letzten Perioden in

Betracht, so deren sowohl hohe, als mittlere und niedere Maxima vorkommen, und bildet in jeder von ihnen je für das erste und zweite Jahr nach dem Minimum die Überschüsse der betreffenden jährlichen Inkremente über diejenige des Minimumjahres selbst, so erhält man die nachstehenden Zahlen-  
gruppen:

	1	2		1	2
	3	5.2		6	1.6
	2	2.6		8	1.7
Min 1923	1.8	6.7	Min 1907	7.1	20.2
1924	4.5	14.6	1908	20.3	66.6
1925	16.6		1909	22.9	
Min 1913	4.5	4.7	Min 1918	3.4	2.6
1914	17.7	17.5	1919	6.8	20.9
1915	26.4	40.4	1920	22.1	
Min 1941	10.7	4.8	Min 1936	8.3	0.6
1942	15.8	29.4	1937	7.1	20.3
1943	40.1		1938	26.6	
Min 1926	4.5	16.5	Min 1904	3.7	2.5
1927	22.8	60.3	1905	5.0	23.7
1928	54.6		1906	24.4	

Daraus geht hervor, daß die auf den Minimum von 1901 bezogene Zunahme der Reifezahl von 1903 kleiner ist als alle entsprechenden Steiger in den übrigen Dreier-Gruppen, mit einziger Ausnahme von 1923 bis 1925. Vergleicht man nun mit dieser Tatsache die einzelnen Fliekenkurven, die den genannten Minima folgen, so dürfte sich mit einiger Wahrscheinlichkeit vermuten lassen, daß der auf 1901 folgende sich etwa dessen von 1923 bis 1925, 1876 bis 1888 und 1889 bis 1901 nähert, d. h. verhältnismäßig sich verhalten und kein hohes Maximum erreichen werde, falls nicht die nächsten Jahre nach dem unerwarteten plötzlichen Anstieg der Kurve bringen, wie er z. B. im Jahre 1947 neuerdings ganz allmählichen langsam Aufsteigenden folgte. Jedenfalls aber ist es vorläufig wenig wahrscheinlich, daß das kommende Maximum sich dem ähnlich wie jene von 1897 und 1870 gestaltet, die beide den vorangehenden Minima in der kurzen Zeit von 3 bis 4 Jahren folgten und wo in beiden Fällen das Aufsteigen der Kurve

vom Minimum zum Maximum mit starken, nahe konstanten täglichen Oscillationen sich vollzieht.

Die Fleckenkurve zeigt während des Jahres 1903 schon ein sehr viel bewegteres Bild als im vorigen Jahre. «Wie weit Null reicht, geschieht es nur einmal nur für wenige Tage. Die Zonen sind interessanter, stark, in drei Erhebungen von längerer Dauer, deren jede eine Gruppenabfolge von Gruppen darstellt. Die erste Gruppe trat im April auf, die zweite von Juni bis August, die dritte von Oktober bis Dezember, dazwischen lagen zwei Intervalle geringerer Tätigkeit im Mai und September. Die dritte, letzte Gruppe schwindet. maxima beginnt Anfang Oktober mit einem plötzlichen rapiden Steigen, verursacht durch die bekannte große Fleckengruppe, die am 5. Oktober ent-

trat, und der sodann eine Reihe weiterer ebenfalls stark entwickelter Tätigkeitsherde folgte.

Vergleicht man aber die einzelnen sekundären Maxima in Bezug auf ihre zeitliche Lage innerhalb der Rotationsperioden, so denen sie gehören, so bemerkt man, daß sie von Ende März an fast regelmäßig mit geringen Abweichungen je auf dieselbe Rotationsphase der Sonne und zwar nahe auf die Anfangsphasen der einzelnen Rotationsperioden fallen, und daß sie nur nach und nach gegen das Ende des Jahres hin sich gegen diese etwas verschieben. Daraus ist zu schließen, daß diese sekundäre Maxima einer überwiegenden und ungewöhnlich lange andauernden Konzentration der Tätigkeit auf einem begrenzten Gebiete der Fleckenzonen zuzuschreiben sind.

## Kalzium- und Wasserstofflockeln in der Sonnenatmosphäre nach den Untersuchungen von G. E. Hale und F. Ellerman.

(Phys. Zeit. 28.)

**F**ür zu den Beobachtungen verwendete Apparat oder Spektroskopograph besteht ein solches Spektroskop, welches eine sehr kräftige Dispersion gibt. Das Spektroskop besitzt zwei bewegliche Spalte, den einen in der Brennebene des Kollimators, den anderen in der Brennebene des Beobachtungsfokusses, die senkrecht zu dem Rotations in der Längsrichtung des Spektrums bewegt werden können. Die photographische Kamme befindet sich unterhalb des zweiten Spaltes und kann derselben so positioniert werden, daß die empfindliche Schicht des Spaltkammes kreuzte berührt.

Wie es aus den Resultaten dieser Untersuchung ersichtlich wird, befinden sich die Kalzium- und Wasserstofflockeln in der Photosphäre der Sonnenatmosphäre in höheren Schichten als die dichten Kalzium- und Wasserstoffwolken. Es ist dann vorstellbar, mit

dem Namen «Flockeln» die Dämpfe zu bezeichnen, die sich von den «Flocken» erheben, welche über oder unter jenen liegen. Die Flockeln sind die Erhöhungen in der Photosphäre, die durch direkte optische und photographische Beobachtungen gesehen werden können und die sich durch das charakteristische Spektrum kennzeichnen. Die Flockeln dagegen sind die Gase und Dämpfe, die in größeren Höhen liegen, die durch direkte Beobachtungen nicht gesehen werden können, aber durch spektroskopographische Photographien nachgewiesen werden können. Zu den Flockeln gehören alle hellen oder dunklen Dämpfe, die ohne Unterschied einer Höhe sich auf die Sonne projizieren. Das heißt, eine Flockel kann sich in der absorbierenden Schicht, in der Chromosphäre oder in der Protuberanz der Sonne befinden. Die Formen der Kalzium- und Wasserstofflockeln

unterscheiden sich voneinander, so daß man sie als Kohlen- und Wasserstoff-Flackeln unterscheiden kann.

Zur Untersuchung der Flackeln ist eine Methode zur Vertheilung der einzelnen Durchschnitte der Gase und Dämpfe in verschiedenen Höhen über der Photosphäre zu photographiren erlaubt.

Es ist bekannt, daß die Spektrallinien der Dämpfe zu bestimmten Punkten, die mit dem Spalt senkrecht zur Längsrichtung des Funkens erzeugt wird, verschiedenen Breiten haben, je nachdem sie den mittleren oder äußeren Punkten des Funkens gehören. In der Mitte des Funkens sind die Metalldämpfe dicht und darum der zugehörigen Teile der Spektrallinien breiter. In den äußeren Partien sind die Dämpfe verhältnismäßig dünner und darum diese Teile der Linien enger. Die Breite der durchscheinenden Teile der Linien ändert sich mit der Dichte der Dämpfe. Es ist oft möglich, noch eine schmale schwarze Linie in der Mitte der hellen zu beobachten, die durch den kalten dünnen Dampf in den äußeren Schichten des Funkens gebildet ist.

Ähnliche Verhältnisse entstehen auf der Sonne. Die H- und K-Linien der Kaliumdämpfe zeigen im Sonnenspektrum charakteristische Strukturen, bestehend aus drei Teilen: aus einem breiten dunklen Bande, das als  $H_2 K_2$  bezeichnet werden mag, aus einer verhältnismäßig schmalen hellen Linie, die sich oft in Mitte des dunklen Bandes befindet,  $H_1 K_1$ , und aus einer noch schmaleren dunklen Linie, die sich selten in der hellen befindet,  $H_3 K_3$ . Das diffuse dunkle Band  $H_2 K_2$  wird durch die dichten Dämpfe, die sich in unmittelbarer Nähe der Photosphäre befinden, gebildet. Im allgemeinen, wenn es mit Finsternisbeobachtungen bekannt ist, liegen die dichten Kaliumdämpfe so niedrig in der Chromosphäre, daß sie nicht sehr prägnant am Rande der Sonne beobachtet werden können. Die helle Linie  $H_1 K_1$ , wie es aus Spektralbeobachtungen der Chromosphäre ersichtlich ist, gehört zu Dämpfen, die

sich am Sonnenrande hell projizieren, obgleich sie nicht die höchsten Teile der Chromosphäre erreichen. Die dunkle Linie  $H_2 K_2$  ist durch die höheren Dämpfe gebildet, die sich in höchsten Teilen der Chromosphäre befinden.

Es ist klar, daß, wenn der zweite Spalt des Spektroheliographen auf das äußerste Ende der Linie  $H_2 K_2$  eingestellt wird, so kann er das Licht nur von den Dämpfen erhalten, die dicht genug sind, um so beide Linien zu bilden. Die dünnsten Dämpfe in höheren Höhen erzeugen enger Linien und folglich werden sie die Licht durch den zweiten Spalt nicht. Wenn der Spalt die Linie näher der Mitte schneidet, so daß die Linie  $H_2 K_2$  im Spalte sich befindet, so bekommt er das Licht von den hellen Dämpfen, die noch genug dicht sind, um eine Linie von der kleineren Breite zu bilden und die sich in größeren Höhen befinden. Schneidet der Spalt die Mitte der Linie, so bekommt er in den Höhen, wo die Linie  $H_2 K_2$  genug stark ist, dagegen  $H_1 K_1$  unendlich schwach, das schwache Licht von den dünnsten Dämpfen, die sich in noch größeren Höhen befinden.

Es folgt daraus, daß, wenn der erste Spalt des Spektroheliographen durch den ganzen Sonnenbildchen verschoben wird, so liefern die drei Photographien nacheinander folgende Durchschnitte der Flackeln in verschiedenen Höhen über der Photosphäre.

Qualitativen Untersuchungen zeigen die Photographien der niedrigsten Durchschnitte eine Menge verhältnismäßig kleiner aber sehr dunkler Elemente an der Basis der Kohlen-Flackeln, an die sich in den Photographien der höheren Durchschnitte mehr ausgedehnte, größere Flächen bedeckende Gebilde angeschlossen. Aus mehreren Photographen, die bei sehr günstigen atmosphärischen Verhältnissen erhalten wurden, ergibt sich, daß wahrscheinlich die Kohlen-Flackeln aus einer Menge von Gas- und Dampfarten bestehen, die sich unterscheiden, sobald sie die größeren Höhen

erschaffen und in vielen Fällen in ihren höchsten Tönen auch hervortreten ausstrichen.

Bei Anwendung des Spektrohelioskopes zum Photographieren der Flacke anderer Gase als Kalium ist es unbedingt notwendig, daß das Spektrum dieser Gase durch starke Dispersion auch so weit gestreckt werden, daß sie den zweiten Spalt ganz bedecken werden. Wenn das nicht der Fall ist, so wird das Licht vom kontinuierlichen Spektrum von beider Seiten der dunklen Linie zur photographischen Platte durchdringen und es wird die kleine Menge dieses Lichtes ausreichen, um den Effekt, hervorgerufen durch die Intervallenänderung der dunklen Linie, ganz zu verdecken. Denn obwohl diese Linie nur durch Kontakt dunkel ist, so ist doch ihr Licht viel schwächer als das des kontinuierlichen Spektrums, auf welchem sie liegt.

Die mit dem Wasserstoffgas  $H_2$ ,  $H_2$ ,  $H_2$  gemachten Photographien zeigen große dunkle Gebilde, die den hellen mit Kaliumlinien  $H_1$ ,  $H_2$  erzeugten ähnlich sind, obwohl sie auch von ganz in manchen Fällen durch andere Formen unterbrochen. Mehrere solcher Photographien führen zu dem Resultate, daß ohne Zweifel im allgemeinen die Wasserstoffflacke dunkel und den hellen

Kaliumflacke ähnlich sind, doch können sie auch von letzteren oft unterbrochen. Da die Wasserstoffflacke hauptsächlich erzeugter Natur sein, so ist die Temperatur des Wasserstoffgases, das für das Lichtstrahlung maßgebend ist, durch heftige Strömung so weit herabgesunken, daß sie sich von der Temperatur der umgebenden Wasserstoffgasströmung unterscheidet, abstrahiert dieser normalen Temperatur liegt. Daraus erscheinen die Wasserstoffflacke im allgemeinen dunkel. Man könnte aber erwarten, daß in sehr kalten Regionen der Sonnenoberfläche die hellen Wasserstoffflacke erscheinen werden. Und wirklich ist es möglich, in unmittelbarer Nähe der Flacke die hellen Wasserstoffflacke nachzuweisen, die in größeren Entfernungen dunkel erscheinen. <sup>9</sup>

Aus dem Vergleich der Photographen, bei der der Spalt auf die Wellenlänge  $\lambda = 3840$  in der mittleren Linie der dunklen Linie  $H_1$ , mit der, wo er auf  $\lambda = 3888.5$  in der hellen Linie  $H_2$  eingestellt war, ist es ersichtlich, daß in den unteren Schichten die hellen Kaliumkomplexe große Partien der Flacke bedecken, und in den höheren Schichten die dunklen Kaliumkomplexe über dem Halbschatten und Schatten der Flacke sich erheben. F. D.

## Die Meteoritensammlung der Kgl. Universität in Berlin.



Die Sammlung gehört gegenwärtig zu den bedeutendsten ihrer Art. Prof. C. Klein hat über dieselbe wiederholt in der Preuss. Akademie der Wissenschaften berichtet. Von Bedeutung für den Ausbau dieser Sammlung wurde die Ansicht, den Prof. C. Klein den wichtigsten europäischen Sammlungen abzusuchen. In einem so vorläufigen Bericht hebt er die wichtigsten Vervollständigungsgegenstände der Sammlung hervor und macht interessante Bemerkungen über den Stand der ausländischen Meteor-

itensammlungen. Nach seiner Angabe weist die in Paris im Musée d'histoire naturelle (Jardin des Plantes) aufgestellte Sammlung der Meteoriten gegenwärtig zu 600 Nummern auf, darunter die Fischelücke von Javina, Estherville, La Celle, Cochrane, Chacras, Colson, Dublin, Almans und viele andere. Die Sammlung ist im großen nach dem Deutschen System und im kleinen nach natürlichen Gruppen, reperiordiert

<sup>9</sup> The Astron. Journ. January 1904.

durch einzelne hervorragende Typen, aufgestellt. Aus der Sammlung hat Prof. Klein für die British Sammlung: Noddy (1871), Trogus (1867), Agouti (1823) und Lanius (1872) im Tausch erworben.

Von Paris wandte er sich nach London. Hier konnte er zur die Sammlung des British Museum, Natural History, betheiligen, da die Sammlungen des Museum of Practical Geology in Jernsey Street in Herabsetzung begeben waren.

Das British Museum, sagt Prof. C. Klein, hat an Ende seines herrlichen Mineraliensaal, wohl des schönsten der Welt, in einem Quartall seine hervorragende Meteoritenammlung aufgestellt. Nach dem Katalog von 1894 waren es 426 Lokaltäten, die zwischen unter der unmittelbaren und engeren Leitung von Prof. Fletcher, dem Nachfolger von Kühn, Winkhaus und Haskelgne, wohl sehr angewachsen sein mochte.

Die Aufstellung ist nach der Fallweise erfolgt oder, wenn diese nicht bekannt sind, geographisch geordnet. Viele hervorragende Stücke sind vorhanden, darunter das leider stark abgetriebene Eisen von Chondowen, Australien, mit 3731 kg Gewicht.

Aus dem British Museum erhielt Berlin im Tausch: Stargoty (1865), Bester (1892), Aahres (1896) und Ladrans (1898).

Auf der Rückreise besuchte der genannte Forscher auch Brüssel und besah die belgischen Meteoriten in der Agouti Museum.

In Herbst reiste er nach Wien, Budapest und Prag.

In Wien, sagt er, ist zur Zeit die größte Meteoritenammlung vorhanden, und es wird kaum möglich sein, daß eine andere dieselbe, sammtlich aus Lehrschaften, Schörschel und Grödic der Stücke anlangt, erreichen wird. — Der neueste Katalog von Schweth (Annalen des k. k. naturhistorischen

Museum 1893, Bd. XVIII) zählt 566 Lokaltäten, die sich in der Folge wohl noch vermehren werden.

Die Sammlung zählt im Hofmuseum eines gutten Saal ein.

Die große Vitrine ist für die Eisenmeteoriten bestimmt, darunter sind sammtlich hervorgehoben: Sabin Mill, Koberid, Hox River Meteor, Eilbogen (mit durch unterliche Abzug entzodenen Widmannstättenschen Figuren), Brown, Haskelgne, Muzgill, Quana und viele andere.

Die zweite große Vitrine enthält die Steinmeteoriten mit Korymbus, Laidlitzky, Tostalla, Estherville Chalk, Moss-Melton, Wörs, Polack, Sauer, Eagle Sabin usw.

Im ausgestell sind Yonadega mit 908 kg Gewicht, nach Chondowen in London das größte und schwerste Eisen in Europa, danach Confusio und Casson Dublo, ferner zwei Platten des Eisens mit größten Lamellen von Mount Joy.

Die Meteoritenammlung in Wien veranlaßt die Beschreibung von Schweth, von Widmannstätt, Fiedler, Hosman, von Haskelgne, Tschernak, welche sammtlich Metalle sind nach dem Bericht.

Die Aufstellung wie nach dem Ros-Tschernak-Brunschs System erfolgt, von dem jetzt, aus Gründen der Vereinfachung, wieder in etwas abgewichen worden ist.

Aus dem Wiener Hofmuseum erhielt Berlin im Tausch: Stargoty (1865), Bester (1892), Aahres (1896) und Ladrans (1898).

Ein Besuch in Budapest hat Prof. Klein die schone und in den Studien wichtigste Meteoritenammlung studiert. Sie steht jetzt unter Prof. Krenner und hatte im Jahre 1886 254, jetzt etwa 360 bis 374 Fundorte. Da in ihr die Sammlungen des Flotten Labarant, von v. Haskelgne (Haskel) und des vom Kaiser v. Braun (Wien) zugekauften Forschungsmuseum aufgezogen sind, so ist ihr schöner Bestand erklärlich. Sie ist nach dem Brunschs System aufgestellt.









of Nakhairich.  
Sondieringen Bulfinch 1881 (1891) Tage  
Springe Farn 1891. Nakhairich 1891.  
Kuhling: Das Grahnd 1891.  
J. 1881 am Nakhairich  
Farn 1891.  
Nakhairich Grahnd, Tarn 1891  
Nakhairich, Alon Tarn 1891.

of Nakhairich.  
Sondieringen Bulfinch 1881 (1891) Tage  
Springe Farn 1891. Nakhairich 1891.  
Kuhling: Das Grahnd 1891.  
J. 1881 am Nakhairich  
Farn 1891.  
Nakhairich Grahnd, Tarn 1891  
Nakhairich, Alon Tarn 1891.

45. Nach nicht bestimmten Daten  
Nakhairich 1891. Apollon 1891

## Ergebnisse der D. G. Milkschen Expedition nach der südlichen Hemisphäre.

**D**ie Observatorien der auf Kosten von D. G. Milk durch die Licht-Sternwarte nach Chile entsandten astronomischen Forschungsexpedition wurde auf dem Gipfel des Cerro San Gabriel in Santiago de Chile errichtet und vom 1903 während des Winters der südlichen Hemisphäre. Die Beobachtungen begannen am 11. September jenseit Jahres. Genauere Beobachtungen des Observatoriums, der Instrumente und Beobachtungsmethoden sind erst zu erwarten, aber schon jetzt veröffentlichte die Licht-Sternwarte einige Ergebnisse, welche durch die Expedition erzielt wurden? Bemerkung mag dazu werden, daß die spektroskopischen Aufnahmen, um die es sich hauptsächlich handelt, mit einem Spektroskop von 94 cm Öffnung und einem kostbaren Drei-Prismen-Spektrographen erhalten wurden und daß sie bezüglich ihrer Genauigkeit vollständig sind das ausgezeichneten Spektrogramme, welche mit dem Milk-Spektrographen auf Mount Hamilton gewonnen wurden. Im ganzen wurden bis zum 1. Juni 1904 nicht weniger als 300 veröffentlichte Aufnahmen gemacht.

Folgende Sterne haben sich dabei als solche mit veränderlicher Eigenbewegung, oder als spektroskopische Doppelsterne erwiesen:

$\alpha$  (Sondieringen)  $\alpha = 5^h 22^m 2^s = 42^\circ 15'$

Datum	radiale Geschwindigkeit
1903 September 26	+ 1.4 km
Oktober 21	+ 26.1 "
1904 Januar 17	+ 26 "
21	+ 26.5 "

$\alpha$  (Vektoringen)  $\alpha = 5^h 56^m 3^s = 40^\circ 32'$

Datum	radiale Geschwindigkeit
1904 Januar 21	+ 3 km
März 5	+ 15.7 "
26	+ 15 "

$\gamma$  (Carnes)  $\gamma = 6^h 42^m 5^s = 40^\circ 33'$

Dies ist ein veränderlicher Stern, dessen Lichtperiode nach W. Roberts 35-523 Tage beträgt. Auch ist nach demselben Beobachter der Lichtwechsel unregelmäßig. Die spektroskopischen Aufnahmen ergaben:

Datum	radiale Geschwindigkeit
1904 April 25	+ 10 km
30	+ 21 "
Mai 8	+ 15 "

$\epsilon$  (Perseus)  $\epsilon = 15^h 45^m 40^s = 57^\circ 31'$

Ebenfalls ein veränderlicher, aber von regelmäßigen Lichtwechsel und einer Periode von 6.691 Tagen

Datum	radiale Geschwindigkeit
1904 Mai 12	+ 48.5 km
Juni 5	+ 25 "
21	+ 26.5 "

$\epsilon$  (Sagittarius)  $\epsilon = 18^h 3^m 2^s = 27^\circ 49'$

Datum	radiale Geschwindigkeit
1902 August 17	+ 74 km (oben links, auf dem Stern)
1904 Mai 12	+ 14.5 "
Juni 5	+ 21.1 "

$\epsilon$  (Centaur)

Beobachtungen der radialen Geschwindigkeiten der beiden Komponenten ergeben folgendes:

$\alpha$ , Centaur (schwächerer Komponente).

Datum	radiale Geschwindigkeit
1904 Februar 25	+ 19.50 km
April 4	+ 19.00 "
Juni 13	+ 19.50 "

<sup>1)</sup> Liek-Observatory Bulletin No. 55.

$\alpha_1$  Centauri

Datum	radiale Geschwindigkeit
1884 Februar 21	— 24.00 km
März 4	— 24.20 "
Juni 23	— 24.50 "

Außer diesen Aufnahmen wurde am 29. Mai mit einer kurzen Kometen photographiert, die für  $\alpha_1$  Centauri bestimmt ist. Die Negative sind eingipflig, da die Spalten überexponiert erschienen; jedoch ergeben die Messungen folgende Resultate:

Datum	radiale Geschwindigkeit
1884 Mai 29 $\alpha_1$ Centauri	— 23.75 km
$\alpha_2$	— 25.20 "

Dies stimmt gut mit den obigen Angaben überein. Man erkennt aus den Messungen, daß die beiden Komponenten von  $\alpha$  Centauri eine verschieden schnelle Bahnbewegung besitzen. Die Differenzen der Geschwindigkeit beider Sterne sind:

Datum	Differenz der radialen Geschwindigkeit
1888 Februar 21. Im 25	2.12 km
März 4	2.64 "
Juni 23	4.00 "

Diese Unterschiede können aber herrühren, daß entweder die radiale Bahnbewegung der beiden Komponenten ungleich ist oder wenigstens einer der beiden Sterne für sich wiederum einen spektroskopischen Doppelsystem bildet. Nimmt man die erste Hypothese an und annimmt, daß die wahre Bahn des Doppelsystems  $\alpha$  Centauri genau bekannt ist, so läßt sich aus dieser und den radialen Geschwindigkeiten die Parallaxe von  $\alpha$  Centauri leicht berechnen. Nach Roberts sind folgende die wahrscheinlichsten Elemente der Bahn von  $\alpha$  Centauri:

Zeit des Periheliums	$T = 1875.378$
Umlaufdauer	$P = 49.37$ Jahre
Exzentrizität der Bahn	$e = 0.5865$
Neigung " "	$i = 79^\circ 21' 30''$
Halbmajorer Radius der Bahn	$a = 25'' 5' 50''$
Halbe große Achse der Bahn	$a = 1370''$
Entfernung des Periheliums vom Frühlings	$\varpi = 52^\circ 9' 50''$

Aus diesen Bahnelementen ergibt sich unter Benutzung der oben angegebenen Differenzen in der Radialgeschwindigkeit der beiden Sternkomponenten als Parallaxe von  $\alpha$  Centauri der Wert  $\pi = 0.77''$  und dementsprechend der mittlere Distanz  $s$  der beiden Komponenten in Kilometern  $s = 1.45 \times 10^6$  oder 3150 Millionen Kilometer. Die Masse beider Sterne wird  $= 1.9$  Sonnenmassen. Aus drei Beobachtungen haben Oll und Ellis die Parallaxe von  $\alpha$  Centauri zu  $\pi = 0.75 \pm 0.01''$  bestimmt, ein Wert, der nurmehr auf einem ganz andern Wege der selben Herleitung fähig. Infolge der sehr unruhigen Bahn sind beide Komponenten im Perihelium nur wenig voneinander entfernt als bei uns Sonne und Saturn, im Apastron dagegen ist ihre Entfernung größer als der Entfernung des Neptun von der Sonne. Die oben genannte zweite Hypothese zur Erklärung des Unterschiedes der radialen Bahnbewegungen der beiden Komponenten, also die Annahme, daß einer derselben ein spektroskopischer Doppelsystem ist, ist in sich selbst für sich zwar wenig wahrscheinlich, doch kann sie nicht ohne weiteres abgewiesen werden. Denn die bisherigen Untersuchungen haben ergeben, daß unter den Fixsternen von  $\beta$  wenigstens einer regelmäßige Radialbewegung besitzt, groß genug, um mit den richtigen heutigen Spektrographen erkannt zu werden. Nimmt man dieses Verhältnis an, so ergibt sich, daß die Wahrscheinlichkeit, daß bei diesem optischen Doppelsystem wenigstens einer der beiden Komponenten auch noch ein spektroskopischer Doppelsystem ist, etwa über 7% ist. Mag diese nun größer oder kleiner sein, Tatsache ist, daß eine Anzahl optischer Doppelsysteme auch bei einer ihrer Komponenten veränderliche Radialbewegung zeigt, so daß diese wiederum als spektroskopischer Doppelsystem anzusehen ist, so bei  $\epsilon$  Ursa majoris,  $\alpha$  Centauri,  $\alpha$  Pegasi und andern. Dies muß zur Vorsicht mahnen

gegenüber der Bestimmung von Sternparallaxen aus Beobachtungen der nächsten Geschwindigkeit, die sich nur über einen kleinen Zeitraum erstrecken. Berechnungen dieser Art sind in gleicher Weise aber auch anwendbar auf die alte Methode der direkten Messung von Fixsternparallaxen, da die Distanzen der letzten unserer spektroskopischen Doppelsterne von fixer Größe sind wie diejenigen der Endsterne.

Schließlich faßt W. H. Wright, der den obigen Bericht befreit, die Vorteile der spektroskopischen Methode der Parallaxenbestimmung von Fixsternen ganz allgemein anwendbar in die folgenden Sätze zusammen:

- I. Sie bedarf keiner Voraussetzung über die Entfernung der Vorstehenden.

2. Die Genauigkeit der Bestimmung ist bis zu einem gewissen Grade unabhängig von der Entfernung der Sterne.

3. Die Größe, von deren Ermittlung die Parallaxen abhängt, werden durchgängig von einer geringeren Ordnung sein, als der wahrscheinlichste Fehler der Messungen.

Der hellere der beiden Sterne von  $\alpha$  Centaur zeigt ein Spektrum vom Typus des Sonnenpektrums; im Spektrum der lichtschwächeren Komponente sind die Enkelstern viel stärker hervortretend und die Kalium-Absorption ist außerordentlich stark. Nach Roberts sind die Massen beider Sterne nahezu gleich, das Verhältnis ist 51 : 49 zu Gunsten des helleren Sternes.

## Die Position der Ebene der Milchstraße.

**49** Prof. Simon Newcomb hat kürzlich eine wichtige Untersuchung veröffentlicht. Es ist, sagt er, eine bekannte Tatsache, daß die Himmelskörper in der Richtung der Pole der Milchstraße am dichtesten stehen, und daß die Zahl der sichtbaren Sterne rasch abnimmt, wenn man sich von der Richtung gegen die Milchstraße bis zum Intervall des Milchstraßen-gürtels entfernt. Die Sternedichte scheint gleichmäßig zu sein, aber in der Milchstraße selbst steigt sie an. Die Sterne stehen also in Gruppen. Die Hauptaufgabe der vorliegenden Untersuchung ist die Bestimmung der Hauptebene der Milchstraße und der Entfernung der Pole, ob die nicht zu dieser gehörigen Sterne in der Richtung gegen die Ebene denselben dichter stehen oder in Bezug auf irgend eine andere Ebene. Prof. Newcomb geht von keiner Hypothese über die wirkliche Dichte der Sternanordnung im Raum aus, sondern betrachtet lediglich die scheinbare Verteilung der Sterne am Himmelsgewölbe. Wir denken

uns, sagt er, eine beliebige Ebene durch unsere Standpunkte gelegt, die den Aufhängepunkt der Koordinaten bildet, und diese Ebene senkrecht in den Raum hineinverlängert. Ebenfalls senkrecht dazu die Himmelskugel in einem größten Kreise. Die sichtbarste Entfernung eines Sterns von dieser Ebene wird der Stern seines Wirklichseins von dem erwähnten größten Kreise sein. Bildet man die Summe der Quadrate dieser Summe für das ganze betrachtete System der Sterne, so wird der Wert dieser Summe nach anderer anderer Lage, die wir jener Ebene zuweisen. Die Hauptebene der Sternedichte wird weiter hinweg sein, für welche die resultierende Summe der Quadrate am kleinsten ist. Die Ausführung dieser Rechnungen führt auf eine kühne Aussage, denn drei Wurzeln die drei Hauptachsen des betreffenden Sternsystems bezeichnen und zwar entspricht die kleinste der Ebene der Verteilung, während die andere Ebenen rechtwinklig dazu stehen. Wenn das betrachtete Sternsystem auf einem größten Kreise liegt, so wird der Wert

der kleinsten Winkel der Gleichung gleich null. In Anwendung dieses Gedankenganges auf die Milchstraße entsteht eine Schwierigkeit dadurch, daß letztere zwischen dem Sternhaken Aster und Schwan eine große Trennung oder Bifurkation zeigt. Prof. Newcomb betrachtet deshalb zwei Fälle, indem er einmal den abgetrennten Zweig der Milchstraße mit in Rechnung zieht, in dem zweiten Falle ihn dagegen unberücksichtigt läßt. In keinem von beiden Fällen findet sich jedoch, daß die mittlere Ebene der Milchstraße genau einen größten Kreis des Himmelsgewölbes darstellt, und daraus folgt weiter, daß unsere Erde nicht im Mittelpunkt der Milchstraßengalaxie sich befindet. Prof. Newcomb geht dann zur Untersuchung des Sternes oder Gürtels hellster Sterne über, welchen nennt Sir John Herschel erkannte und der später von Gould ebenfalls hervorgehoben wurde. Dieser Gürtel geht sich in einen größten Kreis über den Himmel, welcher die Ebene der Milchstraße unter einem Winkel von etwa 20° schneidet. Aus der Berechnung der scheinbaren Lage im Himmelsgewölbe von 36 hellen Sternen mittelwärtlich großsternartigen findet Prof. Newcomb, daß dieser Gürtel die Milchstraßenebene unter einem Winkel von 10° kreuzt. Dann untersucht er weiter, ob sich die Sterne im ausschließlich 25-Gürtel um eine Hauptebene gruppieren, heutzutage diejenigen bis 25 Gültel, dann alle hellen Sterne, und zuletzt schreite er die Untersuchung auch auf die Sterne des 5-Spektaltypus zu, welche unter der Bezeichnung Sterne des Wolf-Rayet-Typus zusammengefaßt werden. Die nachstehende Tabelle enthält die Ergebnisse dieser Rechnung, indem sie die Position der Pole der Hauptebene, um welche sich die be-

treffenden Sterne gruppieren, angibt. Die entsprechende Hauptebene liegt also am Himmel in einem größten Kreis, der über 90° von dem zugehörigen Polquadrant entfernt ist.

	Polquadrant	
	Rechte ascension	Declination
Ebene der Milchstraße ohne Berücksichtigung der Trennung im Schwan	192.0°	+ 51.7°
Ebene der Milchstraße einschließlich der Trennung	191.1	+ 51.6
Große Sternengürtel nach Gould	171.2	+ 51.0
Densität in 25-Sternen ausweicher Eigenbewegung	179.6	+ 54.6
Ebene der Sterne bis 25 Gültel	161.2	+ 52.4
Ebene der Sterne bis 15 Gültel	160.5	+ 51.5
Ebene aller hellen Sterne	160.8	+ 51.5
Ebene der Sterne des 5 Typus	160.8	+ 50.7

Aus einer Prüfung der Sternrechnungen der Milchstraßenregionen schließt Prof. Newcomb, daß, wenn die galaktischen Agglomerationen außer Betracht bleiben, die Zusammenfassung der hellsten Sterne um ihre Hauptebene keine größer radial als bei zufälliger Gruppierung, und daß immer noch eine Zunahme des Sternreichtums des Himmelsgewölbes von den Polen gegen die Ebene der Milchstraße hin stattfindet, etwa bei zwei doppelten Beträge des in den Milchstraßenpolen beobachtenden.

## Vermischte Nachrichten.

**Der  $\delta$ -Saternusmond (Phobos)** ist von Barnard am 40-Zollor der Yerkes-observatorien aufgesucht worden. Am 8. August wurde nahe beim Stern  $\delta$  Minor Sternchen 15.5 bis 16. Größe gesehen, dessen Position  $15^{\text{h}} 0^{\text{m}} 21^{\text{s}}$   $\delta = 16^{\circ} 36' 4''$ . Am 3. September konnte dieses Sternchen nicht wieder gefunden werden. Nach der Eigenbewegung des  $\delta$ -Saternusmondes, welche auf der Harvardsternkarte vom 1. berechnet war, sollte dieser am 8. August in folgender Position stehen: AR —  $21^{\text{h}} 21^{\text{m}} 9^{\text{s}}$   $\delta = -16^{\circ} 36' 4''$ . Es kann daher kein Zweifel sein, daß Prof. Barnard den neuen Saternusmond tatsächlich und zuerst durch Ocularbeobachtung an diesem Objekt gesehen hat.<sup>1)</sup> Am 12. September gelang dem vierstündigen Beobachtung dieses überaus hellstehenden Satelliten. Seine Helligkeit wurde dem Mal gleich der eines Sterns 16.7 Größe geschätzt.<sup>2)</sup>

**Feuerkugel.** Am 30. September wurde ungefähr  $7^{\text{h}} 43^{\text{m}}$  ME Z. geg. die Feuerkugel nieder, etwa  $\frac{1}{2}$  Jupiterhellheit,  $\frac{1}{2}''$  südlich von Saturn, in gleicher Höhe mit Saturn beginnend, schwach südliche Richtung, fast senkrecht, etwa unter  $86^{\circ}$  gegen den Horizont geragt. Dauer etwa 1 $\frac{1}{2}$  Sek. Licht rötlichgrün. Sie verschwand kurz oberhalb des Horizonts.

Hauskirchen, F. Wolfahrtmann.

**Helles Meteor.** Hier Basaltfist Eggenstein schneit hat Eggenstein: Am 20. August d. J. abends  $7^{\text{h}} 57^{\text{m}}$  meteorologische Zeit geschah ich unter AR  $20^{\text{h}} 4^{\text{m}} \delta = 3^{\circ}$  folgenden Vorgang: Im angegebenen Zeitpunkt wurde ich wie durch einen unvorseherlich auftretenden Blitzstrahl plötzlich aufgeschreckt, und ich gewahrte zwischen  $\alpha$  Aquila und Saturn am oben angegebenen Orte (andere

Orientierung waren noch nicht zu sehen) ein vollkommenes rundes Meteor von blendend gelber Farbe strahlend wie ein granitiger Stern (verfälscht fand ich sekundär heller als Venus). In der nächsten Sekunde vollständig schon außer der Helligkeit ab, und es erschien ohne eine Spur von Schwelbeldung, überhaupt ohne jegliche weitere Folgeerscheinung. Eine schon mit befindliche Person sagte mich sofort, ob es denn soeben nicht geblitzt habe.

Seit Jahren beobachte ich den geländeten Himmel und habe herfür häufig Gelegenheit Meteor zu sehen, auch als aber etwas Ähnliches in dieser Form.

Ich schätze aus dieser Erscheinung als eine Feuerkugel mit einer Bahn durch (in vollständig gerader Linie) gegen den Beobachter.

**Doppelsterneentdeckungen am 40-zölligen Refraktor der Yerkesobservatorien.** In den Jahren 1903 und 1904 hat S. W. Burnham eine große Anzahl von Doppelsterneentdeckungen angestellt, die sich auf solche Paare bezogen, welche lange nicht beobachtet worden sind. Diesem gehören meist den Katalogen von Herschel und South an, besitzen sich aber auch viel Doppelsterne, die in Cincinnati und Cambridge (N.-A.) gefunden worden sind, auch einige neue Paare hat Burnham bei dieser Gelegenheit entdeckt, obgleich er nicht beabsichtigte nach neuen Doppelsternen zu suchen. Im ganzen ist dadurch die Anzahl der von ihm selbst entdeckten und meist sehr schwachen Doppelsterne auf 1368 gestiegen. Von den neu entdeckten sind folgende mit Hauptsternen die dem bloßen Auge sichtbar sind, bemerkenswert:

$\beta$  1295  $\delta$  Camelopardalis

$(\alpha = 4^{\text{h}} 36^{\text{m}} 27^{\text{s}} \delta = +53^{\circ} 14')$

Der Hauptstern ist  $\delta$  Größe und hat einen Begleiter  $T$ . Größe ist  $d = 0.25''$

<sup>1)</sup> Astr. Nachr. No. 3038

<sup>2)</sup> Astr. Nachr. No. 3066

<sup>3)</sup> University of Chicago. The Decennial Publications. Vol. VII.



$p = 140,8^{\circ}$  (1904,90). Ein von Strom  
entdeckter Begleiter steht in  $d = 1,54^{\circ}$   
 $p = 268,7^{\circ}$ , ein anderer in  $d = 23,26^{\circ}$   
 $p = 212,6^{\circ}$ , letzterer wurde von Barn-  
ham am 26. Zöller entdeckt.

$f$  1008 38 Sagittae

( $\alpha = 15^{\circ} 43' 43'' = 38^{\circ} 4' = -22^{\circ} 15'$ ).

Der Hauptstern ist 6, der Begleiter  
15. Größe. Parallaxen-Messungen er-  
gaben für 1901,18 folgende Stellung  
des Begleiters:

$d = 21,45^{\circ}$   $p = 246,6^{\circ}$

$f$  1303 54 Aquarii

( $\alpha = 22^{\circ} 20' = 3^{\circ} 4' = -17^{\circ} 46'$ ).

Von Herschel und South als Doppel-  
stern erkannt, A 5, B 6. Größe. Barn-  
ham entdeckte noch 2 Begleiter C und  
D (19,9 und 13,9 Größe) und gibt folgende  
Messungen:

A und B 1906,75  $d = 6,43^{\circ}$   $p = 309,4^{\circ}$

B - C 1901,20 46,66 139,1

C - D 1901,28 1,63 101,4

C und D bilden die sehr schwierig zu  
messende Paar.

Über die Theorie der Strahlung  
bewegter Körper hat Dr. F. Hasen-  
höhl mathematische Untersuchungen an-  
gestellt<sup>1)</sup>.

Befindet sich ein warmer Körper von  
bestimmter Temperatur im Vakuum,  
so herrscht in demselben ein bestimmter  
Strahlungsanstand. Bewegt sich nun  
dieser Körper mit konstanter Geschwin-  
digkeit durch den Äther, so muß an  
der einen Seite dieses Hochraumes be-  
stimmte Arbeit gegen den Druck der  
Strahlung geleistet werden. Diese Arbeit  
verwandelt sich in Strahlungsenergie,  
welche dem Hochraum durchströmt und  
an der andern Seite denselben wieder in  
mechanische Arbeit verwandelt wird. Da  
die Fortpflanzungsgeschwindigkeit der  
Strahlung endlich ist, wird immer ein  
bestimmter Betrag solcher Energie im  
Hochraum vorhanden sein. Und zwar  
ist diese Energie nicht von Wärme-  
zustand der Begrenzungsflächen des Hoch-  
raumes geführt, sondern aus der Arbeit

entstanden, die nötig war, damit solchen  
Körper eine Beschleunigung zu erteilen  
und die sich nur Arbeit gegen den ge-  
wöhnlichen Trägheitswiderstand addiert.  
Da diese Energie in erster Annäherung  
dem Quadrat der Geschwindigkeit pro-  
portional ist, vergrößert sie schließlich  
die kinetische Energie des bewegten  
Systems. Es liegen hier dasselben Ver-  
hältnisse vor, die bei der Bewegung  
eines Elektrons zur Bildung des Be-  
griffes elektromagnetische Masse ge-  
führt haben. Man könnte also auch  
hier von einer elektrom. Masse  
sprechen, die sich zur gewöhnlichen  
Masse addiert und die durch die Strahlung  
bedingt ist.

Ein neues Verfahren zum Ver-  
gleich photographischer Sternauf-  
nahmen. Vor mehr als drei Jahren  
hat Dr. Puffrich (Jena) die Methode  
des stereoskopischen Vergleichs zweier  
photographischer Sternaufnahmen an-  
gegriffen, um mittels desselben die Auf-  
findung von neuen Planeten, veränder-  
lichen Sternen, Fixsternparallaxen usw.  
zu erleichtern, je viel zu ermöglichen.  
Die großen Vorzüge dieses Verfahrens  
mit Hilfe des Stereoskopierens sind  
dem Leser aus den Arbeiten von Prof.  
M. Wolf (Heidelberg) bekannt. Dr. Puff-  
rich hat nun auf der jährlich statt-  
gefundenen Versammlung der Deutschen  
Astronomischen und Astr. in Berlin ein  
überwiegend von ihm gefundenes Ver-  
fahren veröffentlicht, welches die an-  
gegebene Zwecke noch viel umfassender  
und einfacher zu erreichen gestattet.  
Er zeigt, daß die angegebenen Vorzüge  
durchaus nicht an das Stereoskopische  
Schar gebunden sind. Sein neues Ver-  
fahren gründet sich auf die optische  
Vereinigung der beiden auf dem Stereo-  
komparator kopierten Sternaufnahmen in dem  
genauemem Okular zweier Mikroskope.  
Die Bilder können daher nicht allein  
in beliebiger Ober- und Nebeneinander-  
legung gleichzeitig betrachtet werden,  
es lassen sich auch, und das ist das  
Wunderliche der neuen Methode, in

<sup>1)</sup> Wiener Anst. Anzeiger 1906, S. 226

nacher Aufeinanderfolge einzeln betrachten. Hierbei kommen dann die Ungehörigkeiten der beiden Punkte durch Hin- und Herbewegungen der Skiere und ihrer Ränder beim ihr plötzlichen Auftreten im Gesichtsfeld in weit schärferer Weise zur Geltung wie im stereoskopischen Sehen, etwa nach Art des Winkens der Leuchttürme am Meer, bzw. des Aufsteigens der Raketenwälder in Städten usw. Im übrigen bleibt die Errichtung des Stereoskopapparates unverändert, das Stereoskopglock und das monokulare Vergleichsokularglock und austauschbar, so daß jetzt auch diejenigen Personen, die nicht stereoskopisch sehen können, erkrankte sind, das Stereoskopglock unter Zuhilfenahme der vorliegenden sogenannten Winkermethode mit Vorteil für die genannten Zwecke zu verwenden.

Die Anwendbarkeit der vorliegenden Methode liegt natürlich nicht auf dem Vergleich zweier Stereoplatten beschränkt. Sie eignet sich in hohem Maße auch für den Vergleich von Maßstäben und Geographiken zur Erkennung und Messung etwaiger Verwölkungsfehler, so wie ganz allgemein zur genauen Prüfung der Identität von Münzen, Papierschulden und Dokumenten, für welche bisher die stereoskopische Methode in erster Linie in Vorschlag gebracht worden ist. Über eine in der Ausführung begriffene Spezialanordnung nach diesem Verfahren für die Untersuchung von Spiegeln und Maßstäben wird später berichtet werden.

Weshalb das vorliegende Verfahren für alle diese Aufgaben den Vorrang vor der stereoskopischen Methode verdient, ergibt sich aus dem Umstande, daß im stereoskopischen Sehen nur diejenigen Bildpunktverrückungen als Teilnahmefaktoren in die Erscheinung treten, die in der Richtung der Verbindungsline der beiden Augen gelegen sind, während das vorliegende Verfahren auf jede beliebig positionierte Differenz in gleicher Weise reagiert.

**Sichtbarkeit des dritten Jupitermondes für das bloße Auge.** Bekanntlich ist die Frage noch strittig, ob es möglich ist, einen der Jupitermonde mit unbewaffnetem Auge zu erkennen. Diese Tatsache, die von niemand mit sehr scharfen Augen begabten Menschen erachtet wird, ist jetzt durch Dr. J. Möller (Erfeld) bestätigt worden. Derselbe schreibt an den A. N. folgendes:

„Am 1. November 1903 sah ich an Bord eines Segelschiffes im Stillen Ozean auf 15° Nordbreite und 132° Westlänge am 7 Uhr (ca. 16° Ozeanzeit) ein schwaches Sternchen links neben Jupiter. Bevor ich mich eines anderen Schiffmannes davon beschuldigen konnte, sah ich mit dem Fernrohrpaß ein Astrot des Jupiter naheliegender vorderer Offizier mir an, daß er ein Sternchen links vom Jupiter sehe. Forquie und Naillac Almaraz hielten keinen Zweifel daran, daß es sich um den dritten Tritonen handle. Dem auf der andern Seite weiter entfernt stehenden vorderen Beobachter sah ich mit bloßem Auge nicht erkennen. Wir befanden uns in der Ozean zwischen einem ungewöhnlich ausgebreiteten Maßlängengrad und dem Bereich des erst in diesem Tage durchgebrochenen Nordostpassates, wo auch häufige Einführungen des Luft besonders durchsichtig zu sein pflegt.“

**Aus Theorie und Praxis der täglichen telegraphischen Zeitübermittlung im Deutschen Reich.**

„Jeden Morgen“, so las man vor kurzem in einer Anzahl deutscher Zeitungen, „am Sonntag um 7, im Winter um 8 Uhr, wird vom Haupttelegraphenamt in Berlin über ganz Deutschland durch ein Signal die genaue mitteleuropäische Zeit übermittelt. In der übrigen Sommerzeit zu Berlin am Endeplatz ist eine ebenfalls richtig gehende Normalzeit. Hauptwerte und Haupttelegraphenamt sind durch diese Lösungsmittel verbunden, der auf beiden Stellen in einem Messapparat ruht. Neben diesem Apparat in der Zeitstunde sehen wir zwei ge-

volligen Regulator, der mit der Stern-  
weite nicht unmittelbar verbunden ist.  
Die Kontrolle und Regulierung dieser  
Normaluhr erfolgt durch eine Anzahl  
Punkte, dann durch vollständiges Nieder-  
drücken der Mörsele, worauf die  
Sternweite den ertrockenen Unterschied  
des Haupttelegraphenwerts tele-  
graphisch mittheilt. Es versteht sich nur  
um Bruchtheile einer Sekunde. Nach  
dieser Normaluhr wird am Punkt 7  
oder 8 Uhr früh das Umranschen über  
ganz Deutschland gegeben. Im Haupt-  
stad sind alle Apparate mit Beamtens be-  
setzt, 10 Minuten vor 7 ertönt von einem  
an der Normaluhr stehenden Beamtens  
ein lautes Klingelzeichen, 5 Minuten  
später nach ein längeres Klingelzeichen  
analogisch zum Aufpassen. Der Be-  
trieb wird auf allen Linien eingestellt.  
Punkt 7 Uhr, auf der Sekunde, ertönt  
die Glocke, sämtliche Mörsele werden  
untergedrückt und bleiben in dieser  
Stellung eine Minute lang. Der Strom  
elektrischer Beamtens des Haupttele-  
graphenwerts fließt nun durch alle  
Leitungen durch das ganze Reich, überall  
durch Anzeichen des Beamtens genau die  
Zeit von 7 bis 7 Uhr anzeigend. Ein  
übermäßiges Klingelzeichen, der Beam-  
te ist gelöst. Alle Taster sind in Be-  
wegung und durch ganz Deutschland  
geht ein telegraphischer Mangengräß  
an Zeichen, daß man auf dem Posten  
war.

Der Verfasser dieser schönen Schil-  
derung hat auch aber nur über die eine  
Seite dieses Zeitpunktes beleuchten lassen,  
nämlich über die am Zeitpunkt in  
Berlin; die andere oder der letzte Glied  
der Kette kennt er weniger genau oder  
vielleicht gar nicht. Dieses letzte Glied  
wird gebildet durch die großen Stations-  
uhren an den Bahnhöfen, die dem  
Publikum die Zeit anzeigen sollen.  
Wer nun meinen sollte, diese Angaben  
seien auch bei all Bruchtheile der Se-  
kunde oder auch nur auf Sekunden  
genau, würde sich einen großen Täu-  
schung hingeben. Denn die die Zeit-  
angabe, selbst an den Hauptstationen,

bei so einem äußeren Uhrblättern gelangt  
nicht so noch durch die Hände von  
Stationenbeamtens gehen, die weniger ge-  
übt sind. So kommt es denn, daß  
selbst an einem der Hauptbahnhöfe  
Deutschlands die Zeitangaben auf den  
dort befindlichen großen Uhrblättern  
nach den eigenen Aussagen des mit  
der Regulierung beauftragten Beamtens  
durchgängig um 5, 10 u. 15 Sekunden  
und selbst noch mehr unrichtig sind!

Der Haß auf einer totalen Sonnen-  
finsternis nach Ansicht der Ärzte  
des 17. Jahrhunderts. Unter der  
Überschrift „Comitium medicorum“  
erschien bei O. Hagenbader in Am-  
berg am 25 Juli des Jahres 1642 ge-  
druckt mit kaiserlicher Bewilligung  
folgendes: „Wie man sich bey der den  
12. August d. d. schwebenden Sonnen-  
finsternis zu verhalten habe. Die Er-  
fahrung wird zeigen, daß auch in Be-  
gehung dieser Finsternis der Luft allezeit  
und wenig bedacht wird, daraus denn  
folgende allertand Ungeluckheiten, so-  
wohl Menschen als unversehrlichen  
Thieren auf dem Feld zuwachsen than.,  
daranhero rathen wir wohl, daß man  
sich zu solcher Zeit bedient verhalte  
und ein paar Tag zuvor in Essen  
und Trinken mäßig verhalte,  
zum Andern: man nehme Emmeu-  
Pillen, zum dritten: man lege diesen  
Tag mit gelässigen Werken und Betten,  
man verheiß, daß weder Menschen noch  
Vieh unter den bösen Himmel gehn,  
oder man verl durch die Fenster herliche  
mit selbstem Zeit allerschreiben zugemacht  
seyn sollen, hinaus an die Finsternis  
sich, nach daß man selbigen Tage kein  
Wasser in's Haus bringe, sondern  
durch vollständige Finsternis selbigen  
Tage alles allert wird, man solle auch  
bis auf die Nacht festes, damit dem  
Leib kein gefährliche Allertien zu-  
wachsen werde, man solle das Vieh nicht  
vorlaufferkung des Heudans in's Waid  
treiben, sondern in's Haus selbigen (17)  
beykommen haben, wenn der Viehstall  
erfolgen than.“

# Astronomischer Kalender für den Monat Januar 1905.

Sonnen				Mond			
Mittern. Berliner Mittag				Mittern. Berliner Mittag			
$\gamma$	Zeitp. M.L. — W.L.	Rektaszension	Declination	Rektaszension	Declination	Mond im Meridian	
0	0 00 00	18 47 14 90	-22 3 39 9	18 3 39 00	-22 32 16 0	11 30	
1	0 00 07	18 48 38 91	-22 27 38 0	18 12 32 30	-22 33 48 7	10 30	
2	0 01 14	18 50 11 92	-22 21 37 0	18 53 27 49	-22 35 20 0	9 30	
3	0 02 20	18 51 43 93	-22 15 36 0	19 34 23 08	-22 36 52 0	8 30	
4	0 03 26	18 53 15 94	-22 9 35 0	20 15 18 27	-22 38 24 0	7 30	
5	0 04 32	18 54 47 95	-22 3 34 0	20 56 13 46	-22 39 56 0	6 30	
6	0 05 38	18 56 19 96	-21 57 33 0	21 37 8 65	-22 41 28 0	5 30	
7	0 06 44	18 57 51 97	-21 51 32 0	22 17 53 84	-22 43 00 0	4 30	
8	0 07 50	18 59 23 98	-21 45 31 0	22 58 49 03	-22 44 32 0	3 30	
9	0 08 56	19 00 55 99	-21 39 30 0	23 39 44 22	-22 46 04 0	2 30	
10	0 09 52	19 02 27 00	-21 33 29 0	24 20 40 41	-22 47 36 0	1 30	
11	0 10 48	19 04 00 01	-21 27 28 0	25 01 36 60	-22 49 08 0	0 30	
12	0 11 44	19 05 32 02	-21 21 27 0	25 42 32 79	-22 50 40 0	0 30	
13	0 12 40	19 07 04 03	-21 15 26 0	26 23 28 98	-22 52 12 0	0 30	
14	0 13 36	19 08 36 04	-21 9 25 0	27 04 24 17	-22 53 44 0	0 30	
15	0 14 32	19 10 08 05	-21 3 24 0	27 45 20 36	-22 55 16 0	0 30	
16	0 15 28	19 11 40 06	-21 0 23 0	28 26 16 55	-22 56 48 0	0 30	
17	0 16 24	19 13 12 07	-20 54 22 0	29 07 12 74	-22 58 20 0	0 30	
18	0 17 20	19 14 44 08	-20 48 21 0	29 48 8 93	-22 59 52 0	0 30	
19	0 18 16	19 16 16 09	-20 42 20 0	30 28 5 12	-23 01 24 0	0 30	
20	0 19 12	19 17 48 10	-20 36 19 0	31 09 1 31	-23 02 56 0	0 30	
21	0 20 08	19 19 20 11	-20 30 18 0	31 50 0 50	-23 04 28 0	0 30	
22	0 21 04	19 20 52 12	-20 24 17 0	0 30 56 69	-23 06 00 0	0 30	
23	0 22 00	19 22 24 13	-20 18 16 0	1 11 52 88	-23 07 32 0	0 30	
24	0 22 56	19 23 56 14	-20 12 15 0	1 52 48 07	-23 09 04 0	0 30	
25	0 23 52	19 25 28 15	-20 6 14 0	2 33 44 26	-23 10 36 0	0 30	
26	0 24 48	19 27 00 16	-20 0 13 0	3 14 40 45	-23 12 08 0	0 30	
27	0 25 44	19 28 32 17	-19 54 12 0	3 55 36 64	-23 13 40 0	0 30	
28	0 26 40	19 30 04 18	-19 48 11 0	4 36 32 83	-23 15 12 0	0 30	
29	0 27 36	19 31 36 19	-19 42 10 0	5 17 28 02	-23 16 44 0	0 30	
30	0 28 32	19 33 08 20	-19 36 9 0	5 58 24 21	-23 18 16 0	0 30	
31	0 29 28	19 34 40 21	-19 30 8 0	6 39 20 40	-23 19 48 0	0 30	
32	0 30 24	19 36 12 22	-19 24 7 0	7 20 16 59	-23 21 20 0	0 30	
33	0 31 20	19 37 44 23	-19 18 6 0	8 01 13 18	-23 22 52 0	0 30	
34	0 32 16	19 39 16 24	-19 12 5 0	8 42 9 37	-23 24 24 0	0 30	
35	0 33 12	19 40 48 25	-19 6 4 0	9 23 5 56	-23 25 56 0	0 30	
36	0 34 08	19 42 20 26	-19 0 3 0	10 04 52 15	-23 27 28 0	0 30	
37	0 35 04	19 43 52 27	-18 54 2 0	10 45 48 34	-23 29 00 0	0 30	
38	0 36 00	19 45 24 28	-18 48 1 0	11 26 44 53	-23 30 32 0	0 30	
39	0 36 56	19 46 56 29	-18 42 0 0	12 07 41 12	-23 32 04 0	0 30	
40	0 37 52	19 48 28 30	-18 35 59 0	12 48 37 31	-23 33 36 0	0 30	
41	0 38 48	19 49 59 31	-18 29 58 0	13 29 33 50	-23 35 08 0	0 30	
42	0 39 44	19 51 31 32	-18 23 57 0	14 10 30 69	-23 36 40 0	0 30	
43	0 40 40	19 53 03 33	-18 17 56 0	14 51 26 88	-23 38 12 0	0 30	
44	0 41 36	19 54 35 34	-18 11 55 0	15 32 23 07	-23 39 44 0	0 30	
45	0 42 32	19 56 07 35	-18 5 54 0	16 13 19 26	-23 41 16 0	0 30	
46	0 43 28	19 57 39 36	-18 0 53 0	16 54 15 45	-23 42 48 0	0 30	
47	0 44 24	19 59 11 37	-17 54 52 0	17 35 11 64	-23 44 20 0	0 30	
48	0 45 20	20 00 43 38	-17 48 51 0	18 16 7 83	-23 45 52 0	0 30	
49	0 46 16	20 02 15 39	-17 42 50 0	18 57 4 02	-23 47 24 0	0 30	
50	0 47 12	20 03 47 40	-17 36 49 0	19 38 40 21	-23 48 56 0	0 30	
51	0 48 08	20 05 19 41	-17 30 48 0	20 19 36 40	-23 50 28 0	0 30	
52	0 49 04	20 06 51 42	-17 24 47 0	21 00 32 59	-23 52 00 0	0 30	
53	0 50 00	20 08 23 43	-17 18 46 0	21 41 29 18	-23 53 32 0	0 30	
54	0 50 56	20 09 55 44	-17 12 45 0	22 22 25 37	-23 55 04 0	0 30	
55	0 51 52	20 11 27 45	-17 6 44 0	23 03 21 56	-23 56 36 0	0 30	
56	0 52 48	20 12 59 46	-17 0 43 0	23 44 18 15	-23 58 08 0	0 30	
57	0 53 44	20 14 31 47	-16 54 42 0	24 25 14 34	-23 59 40 0	0 30	
58	0 54 40	20 16 03 48	-16 48 41 0	25 06 10 53	-24 01 12 0	0 30	
59	0 55 36	20 17 35 49	-16 42 40 0	25 47 7 12	-24 02 44 0	0 30	
60	0 56 32	20 19 07 50	-16 36 39 0	26 28 3 31	-24 04 16 0	0 30	
61	0 57 28	20 20 39 51	-16 30 38 0	27 09 29 50	-24 05 48 0	0 30	
62	0 58 24	20 22 11 52	-16 24 37 0	27 50 26 09	-24 07 20 0	0 30	
63	0 59 20	20 23 43 53	-16 18 36 0	28 31 22 28	-24 08 52 0	0 30	
64	0 60 16	20 25 15 54	-16 12 35 0	29 12 18 47	-24 10 24 0	0 30	
65	0 61 12	20 26 47 55	-16 6 34 0	29 53 15 06	-24 11 56 0	0 30	
66	0 62 08	20 28 19 56	-16 0 33 0	30 34 11 25	-24 13 28 0	0 30	
67	0 63 04	20 29 51 57	-15 54 32 0	31 15 7 44	-24 15 00 0	0 30	
68	0 64 00	20 31 23 58	-15 48 31 0	31 56 3 63	-24 16 32 0	0 30	
69	0 64 56	20 32 55 59	-15 42 30 0	32 37 0 22	-24 18 04 0	0 30	
70	0 65 52	20 34 27 60	-15 36 29 0	33 17 56 41	-24 19 36 0	0 30	
71	0 66 48	20 35 59 61	-15 30 28 0	33 58 53 00	-24 21 08 0	0 30	
72	0 67 44	20 37 31 62	-15 24 27 0	34 39 49 19	-24 22 40 0	0 30	
73	0 68 40	20 39 03 63	-15 18 26 0	35 20 45 38	-24 24 12 0	0 30	
74	0 69 36	20 40 35 64	-15 12 25 0	36 01 41 57	-24 25 44 0	0 30	
75	0 70 32	20 42 07 65	-15 6 24 0	36 42 38 16	-24 27 16 0	0 30	
76	0 71 28	20 43 39 66	-15 0 23 0	37 23 34 35	-24 28 48 0	0 30	
77	0 72 24	20 45 11 67	-14 54 22 0	38 04 30 54	-24 30 20 0	0 30	
78	0 73 20	20 46 43 68	-14 48 21 0	38 45 27 13	-24 31 52 0	0 30	
79	0 74 16	20 48 15 69	-14 42 20 0	39 26 23 32	-24 33 24 0	0 30	
80	0 75 12	20 49 47 70	-14 36 19 0	40 07 19 51	-24 34 56 0	0 30	
81	0 76 08	20 51 19 71	-14 30 18 0	40 48 16 10	-24 36 28 0	0 30	
82	0 77 04	20 52 51 72	-14 24 17 0	41 29 12 29	-24 38 00 0	0 30	
83	0 78 00	20 54 23 73	-14 18 16 0	42 10 8 48	-24 39 32 0	0 30	
84	0 78 56	20 55 55 74	-14 12 15 0	42 51 4 67	-24 41 04 0	0 30	
85	0 79 52	20 57 27 75	-14 6 14 0	43 32 4 86	-24 42 36 0	0 30	
86	0 80 48	20 58 59 76	-14 0 13 0	44 13 1 05	-24 44 08 0	0 30	
87	0 81 44	20 60 31 77	-13 54 12 0	44 54 0 24	-24 45 40 0	0 30	
88	0 82 40	20 62 03 78	-13 48 11 0	45 34 56 43	-24 47 12 0	0 30	
89	0 83 36	20 63 35 79	-13 42 10 0	46 15 53 02	-24 48 44 0	0 30	
90	0 84 32	20 65 07 80	-13 36 9 0	46 56 49 21	-24 50 16 0	0 30	
91	0 85 28	20 66 39 81	-13 30 8 0	47 37 45 40	-24 51 48 0	0 30	
92	0 86 24	20 68 11 82	-13 24 7 0	48 18 41 59	-24 53 20 0	0 30	
93	0 87 20	20 69 43 83	-13 18 6 0	48 99 38 18	-24 54 52 0	0 30	
94	0 88 16	20 71 15 84	-13 12 5 0	49 00 34 37	-24 56 24 0	0 30	
95	0 89 12	20 72 47 85	-13 6 4 0	49 41 30 56	-24 57 56 0	0 30	
96	0 90 08	20 74 19 86	-13 0 3 0	50 22 26 75	-24 59 28 0	0 30	
97	0 91 04	20 75 51 87	-12 54 2 0	51 03 22 94	-25 01 00 0	0 30	
98	0 92 00	20 77 23 88	-12 48 1 0	51 44 18 13	-25 02 32 0	0 30	
99	0 92 56	20 78 55 89	-12 42 0 0	52 25 14 32	-25 04 04 0	0 30	
100	0 93 52	20 80 27 90	-12 35 59 0	53 06 10 51	-25 05 36 0	0 30	
101	0 94 48	20 81 59 91	-12 29 58 0	53 47 7 10	-25 07 08 0	0 30	
102	0 95 44	20 83 31 92	-12 23 57 0	54 28 3 29	-25 08 40 0	0 30	
103	0 96 40	20 85 03 93	-12 17 56 0	55 09 29 48	-25 10 12 0	0 30	
104	0 97 36	20 86 35 94	-12 11 55 0	55 50 26 07	-25 11 44 0	0 30	
105	0 98 32	20 88 07 95	-12 5 54 0	56 31 22 26	-25 13 16 0	0 30	
106	0 99 28	20 89 39 96	-12 0 53 0	57 12 18 45	-25 14 48 0	0 30	
107	0 100 24	20 91 11 97	-11 54 52 0	57 53 15 04	-25 16 20 0	0 30	
108	0 101 20	20 92 43 98	-11 48 51 0	58 34 11 23	-25 17 52 0	0 30	
109	0 102 16	20 94 15 99	-11 42 50 0	59 15 7 42	-25 19 24 0	0 30	
110	0 103 12	20 95 47 00	-11 36 49 0	59 56 3 61	-25 20 56 0	0 30	
111	0 104 08	20 97 19 01	-11 30 48 0	60 37 0 20	-25 22 28 0	0 30	
112	0 105 04	20 98 51 02	-11 24 47 0	61 17 56 39	-25 24 00 0	0 30	
113	0 106 00	20 100 23 03	-11 18 46 0	61 98 52 58	-25 25 32 0	0 30	
114	0 106 56	20 101 55 04	-11 12 45 0	62 39 49 17	-25 27 04 0	0 30	
115	0 107 52	20 103 27 05	-11 6 44 0	63 20 45 36	-25 28 36 0	0 30	
116	0 108 48	20 104 59 06	-11 0 43 0	64 01 41 55	-25 30 08 0	0 30	
117	0 109 44	20 106 31 07	-10 54 42 0	64 42 38 14	-25 31 40 0	0 30	
118	0 110 40	20 108 03 08	-10 48 41 0	65 23 34 33	-25 33 12 0	0 30	
119	0 111 36	20 109 35 09	-10 42 40 0	66 04 30 52	-25 34 44 0	0 30	
120	0 112 32	20 111 07 10	-10				



# Stellungen der Jupitermonde im Januar 1905.

I.



$\delta$   
r

III.



$\delta$  r  
r

II.



$\delta$  r  
r

IV.

Keine  
Orbit.



Veränderung  
Mondes

Stellungen am 1. für den Anblick im astronomischen Fernrohr

Tag	West.	Ost.
1	2 12	1 12
2	1 12	2 12
3	1 12	1 12
4	2 12	1 12
5	1 12	2 12
6	1 12	2 12
7	2 12	1 12
8	1 12	2 12
9	1 12	2 12
10	2 12	1 12
11	1 12	2 12
12	1 12	2 12
13	2 12	1 12
14	1 12	2 12
15	1 12	2 12
16	2 12	1 12
17	1 12	2 12
18	1 12	2 12
19	2 12	1 12
20	1 12	2 12
21	1 12	2 12
22	2 12	1 12
23	1 12	2 12
24	1 12	2 12
25	2 12	1 12
26	1 12	2 12
27	1 12	2 12
28	2 12	1 12
29	1 12	2 12
30	1 12	2 12
31	2 12	1 12









Verlag von Eduard Heinrich Mayer in Leipzig.

Buchern erschienen und ist durch alle Buchhandlungen zu beziehen

## Kosmischer und irdischer Vulkanismus.

Vergleichende Untersuchungen über das vulkanische Problem.

Von

Prof. Dr. Hermann J. Klein.

gr. 8°. 21 B. mit 1 Color. und 8 Stahlst. im Text. Preis 20 Mark.

Der Kern dieser Abhandlung, welche die Geographie, Geophysik und Geologie in gleicher Weise berührt ist, ist die Darstellung der Ursache, weshalb die Vulkane des Meeres in Form des von denjenigen der Erde verschieden sind, und deren Beziehungen über das Wesen des indischen Vulkanismus.

Verlag von Eduard Heinrich Mayer in Leipzig.

Buchern erschienen und ist durch alle Buchhandlungen zu beziehen

Das

## Wesen der Elektrizität und des Magnetismus.

In geschichtlicher Darstellung erzählt

von Carl Neumann, Leipzig 1890.

Mit 21 Abbildungen im Text. Doppel-leinwand, 8°, Bogen 48, 8°. Preis Mk. 1.80.

Für jeden Schüler, der sich über Elektrizität und Magnetismus orientieren will, von weitgeschätztem Interesse.

Verlag von Eduard Heinrich Mayer in Leipzig.

Im November u. s. erscheint

## Astronomische Abende.

Allgemein verständliche Unterhaltungen über Geschichte  
und Ergebnisse der Himmelsforschung.

Von Prof. Dr. Hermann J. Klein.

Sechste, umgearbeitete, wesentlich vermehrte, illustrierte Auflage.

Mit 16 Bogen mit 16 Tafeln in Schwarz- und Farbdruck.

Preis 2 M. 80 Pf. Original-Einband 4 M. 50 Pf.

Die Abende stellen die drei Vorträge, die Herr Klein, dem berühmten Sternwarten-Direktor, im Winter 1890/91 in der Sternwarte in Leipzig gehalten hat, als einen Teil der astronomischen Unterhaltungen dar, die er in der Sternwarte in Leipzig gehalten hat, und die er in der Sternwarte in Leipzig gehalten hat, und die er in der Sternwarte in Leipzig gehalten hat.

Die Abende stellen die drei Vorträge, die Herr Klein, dem berühmten Sternwarten-Direktor, im Winter 1890/91 in der Sternwarte in Leipzig gehalten hat, und die er in der Sternwarte in Leipzig gehalten hat, und die er in der Sternwarte in Leipzig gehalten hat.

Die Abende stellen die drei Vorträge, die Herr Klein, dem berühmten Sternwarten-Direktor, im Winter 1890/91 in der Sternwarte in Leipzig gehalten hat, und die er in der Sternwarte in Leipzig gehalten hat, und die er in der Sternwarte in Leipzig gehalten hat.

Zu beziehen durch jede Buchh.



Herausgegeben unter Mitwirkung  
 hervorragender  
 Fachmänner und astronomischer Schriftsteller  
 von  
**Prof. Dr. Hermann J. Klotz in Köln-Glionsdal.**

—\*— F. V. DEBEL —\*—

12. Heft.



Edward Heineke Verlag  
 Leipzig, Hauptstadt 12.

## Inhalt des zwölften Heftes.

	Seite
Das Universum und die neuen physikalischen Anschauungen . . . . .	269
Die Ausdehnungen der magnetischen Störme 1875 bis 1895 zu dem Sonnen- Seelen nach den Aufzeichnungen am Kgl. Observatorium zu Göttingen . . . . .	269
Prof. William H. Pickering's Untersuchungen über den Hinförmigen Erreiterstrom. (Folien Tafel XIV und XV). Von Dr. Kuhn . . . . .	272
Die erteilbare Halbkugel von Hohlkugeln und Stacheln . . . . .	275
Das Spektrum der Stern Perseus und seine Struktur nach den photo- graphischen Aufnahmen in Göttingen . . . . .	281
Verschiedene Nachrichten . . . . .	282
Die Beziehung zwischen dem Spektrum von Sonnenflecken und Stern.	
Reicher Strahlungsspektrum.	
Messungen von 120 neuen Doppelsternen	
Ein veränderlicher oder neuer Stern im Pegasus.	
Anrechnung	
Fremden für Freunde der Himmelsbeobachtung	
Jahresentscheidender Kalender für den Monat Februar 1904 . . . . .	285
Stellungen der Jupitermonde . . . . .	287
Ercheinungen der Jupitermonde . . . . .	288

LEIPZIG, Hofplatz 18.

**Eduard Heinrich Mayer,**  
Verlagsbuchhandlung.

# SIRIUS.

Zeitschrift für populäre Astronomie.

Centralorgan für alle Freunde und Förderer der Himmelskunde.

Herausgegeben

unter Mitwirkung hervorragender Fachkünstler und wissenschaftlicher Schriftsteller

von Prof. Dr. Hermann J. Klein in Köln.

December 1904.

„Wissen und Erleben sind die Frucht und die  
Bewährung der Menschheit.“ — Kierkegaard.

Jeden Monat 1 Heft. — Jährlich 12 Mk.

Verlag von EDUARD HEINRICH MAYER in Leipzig.

**INHALT:** Das Universum und die neuen physikalischen Anschauungen. S. 201. — Die Beziehungen der magnetischen Stürme 1873 bis 1903 zu den Sonnenflecken nach den Aufzeichnungen im Ryl. Observatorium zu Greenwich. S. 209. — Paul Wilhelm H. Finsen'sche Untersuchungen über den Mineralien-Einstoffwechsel. Von Dr. Klein. (Meyers Zeit. XIV a. 22.) S. 231. — Das uralte Heiligtum von Schifferden auf Seraphim. S. 275. — Das Spektrum der Nova Foron und eines Meteor, nach den photographischen Aufnahmen in Chicago. S. 281. — Vermischtes Nachrichten. S. 282. — Astronomischer Kalender. S. 283. — Sitzungen der Gesellschaft im Februar 1904. S. 292. — Erscheinungen der Jupitermonde im Februar 1904. S. 304.

## Das Universum und die neuen physikalischen Anschauungen.

**F**ür den Gang der physikalischen Forschungen nach nur oberflächlich verfolgt hat, kann nicht zweifelhaft sein, daß sich ein gewaltiger Umschwung der Anschauungen über das Wesen der Materie vollzogen, ja teilweise schon vollzogen hat. Besonders der sogenannte Äther, dessen Dasein nur hypothetisch angenommen war, beginnt eine Rolle zu spielen, die ihm ehemals niemand ernstlich beigelegt haben würde. Liegt abgeworfene Ansichten, wie z. B. die, daß die Sonne unendlich kleiner Partikelchen ununterbrochen in den Weltraum ausstößt, sind, allerdings modifiziert, nicht nur wieder aufgenommen, sondern werden als Folgerungen aus exakten Beobachtungen aufgestellt. Physikalische Realitäten, wie sich in letzter Zeit, und was als Scherz betrachtet wurde,

stellt sich unter den neuen Gesichtspunkten in Gestalt von ponderablen Realitäten dar. In dieser Beziehung sind die Ausführungen von allgemeinem Interesse, welche (Haupt)Prof. A. J. Hallour bei Eröffnung der Versammlung der British Association in Cambridge in glänzender Darstellung der vorerwähnten Forschungen vorföhrte. Er schilderte u. a. die Anschauungen, welche etwa 100 Jahre nach Newton's Auftreten, also um die Mitte des 18. Jahrhunderts, herrschten und diejenigen, die gegenwärtig im Vordergrund stehen.

Ein Hauptbesitzer der vorerwähnten Epochen der Durchschnitts-Naturforscher, sagt Hallour, würde eine Vorstellung vom physikalischen Universum haben polymiert haben, daß dasselbe aus verschiedenen Arten wichtiger Materie be-

nale, die, in verschiedenen Kombinationen durch den Raum verläuft, ein sehr mannigfaltiges Aussehen darbieten. Unter dem Einfluß der chemischen Affinität und der Temperatur veränderte sie ihr Aussehen, unterliegt den Bewegungsgesetzen und behält trotz ihres Masse unangetastet bei. Dabei wirkte sie in den verschiedenen Abständen nach dem ertösenden Gesetze der Anziehungskraft auf andere materielle Massen. Dieser ponderablen Materie wirkte er wahrscheinlich die unponderable Wärme beizugefugt haben, die danach als in den Elementen gestreut wurde, zugleich mit den beiden elektrischen Fluiden und den körperlichen Emanationen, welche nach Newtons Hypothese das Licht bilden sollten.

In dem so verpostulierten Universum war die Fortverleitung die wichtigste Form der Wirkung zwischen seinen Bestandteilen. Vom Prinzip der Erhaltung der Energie in irgend welcher allgemeinen Form war keine Abkang, Elektricität und Magnetismus, obwohl bereits Gegenstände wichtiger Untersuchungen, spielten keine große Rolle, demnächst war ein kleiner Ather erforderlich, um die Mechanik des Universums zu vervollständigen.

So würde unser Naturforscher von damals gesprochen haben, aber kurze Zeit darauf wurde diese Vorstellung des Weltbaues schwer erschüttert. Es trat Young auf und begründete die Wellentheorie des Lichtes und mit ihr den Glaube an ein atomistisches Medium, durch welches Schwingungen fortgepflanzt werden können. Diese Entdeckung involvierte aber mehr als das Erutti der Lichttheorie Newtons, denn hier hatte man die erste außerordentliche Entföhrung eines neuen und gewaltigen Bestandtheils in das wissenschaftliche Weltbild. Der unendliche Raum, sparsam besetzt mit Sonnen und Trabanten, die umhauen oder im Entziehen begriffen sind, hoberte genügendes Material für den Mechanismus der Himmelskörper, wie ihn sich Laplace vorgestellt. Der

unendliche Raum, erfüllt mit einem kontinuierlichen Medium, war demnach nicht Neuen und versprach neue Entföhrungen. Es konnte nicht angenommen werden, daß der Ather nur existiere, um durch die intermolekularen Repression die Schwingungen zu leiten, welche zufälligen optischen Nerven des Menschen erzeugen. Ursprünglich war er da, um diese Function zu erfüllen, konnte er doch nicht auf diese beschuldet bleiben.

Wenn wir das Jahrhundert überspringen, das 1664 von 1864 trennt, und versuchen, in Umrissen das Weltbild zu zeichnen, wie es jetzt sich einigen Föhren der heutigen Forschung darstellt, so finden wir, daß es in der Zwischenzeit nicht nur durch weitreichende Entdeckungen, wie die Zusammensetzung der gasförmigen Materie aus Atomen und Molekeln, die kirchliche Theorie der Erde und der Ozeane von der Erhaltung und Zerstörung der Energie, umgestaltet wurde, sondern auch durch den immer wichtigeren Anteil, den die Elektricität und der Ather in jeder Darstellung der letzten physikalischen Realität einnehmen.

Elektricität war den Naturforschern des Jahres 1700 nicht mehr als die geheimnißvolle Ursache einer unbedeutenden Erscheinung. Man wußte, und seit lange, daß Dinge wie Bernstein und Glas elektrisch werden können, konnte Gegenstände anziehen, die ihnen nicht gebracht worden. Das war etwa 50 Jahre, bevor die Wirkungen der Elektricität im Gewitter erkannt wurden, etwa 100 Jahre, bevor sie in der Form des Stromes entdeckt wurde, etwa 120 Jahre, bevor sie mit dem Magnetismus in Verbindung gebracht, etwa 170 Jahre, bevor sie mit Licht und Athertheorie verknüpft ward.

Heute gibt es Forscher, die die Materie der täglichen Erfahrung als bloßen Schein betrachten, dessen physikalische Bausteine die Elektricität ist, welche annehmen, daß das elementare Atom des Chemikers, selbst wenn jenseits der

Chemie direkter Wahrnehmung, nur ein zusammenhängendes System von Untertheorien ist, die ihrerseits nicht elementare Materie, sondern Elektrodynamik selbst sind, daß diese Systeme sich unterscheiden in der Anzahl der Monaden, die sie enthalten, in deren Anordnung und Bewegung untereinander und zum Äther, daß von diesen Untertheorien alle die mannigfachen Qualitäten dessen abhängen, was bisher als materiell und elementar Atome betrachtet wurden, daß darüber, während in den meisten Fällen diese Atomsysteme der Gleichgewichts während Perioden ausreicht haben können, welche selbst, mit astronomischen Vorgängen wie die Abkühlung einer Sonne verglichen, fast ewig dauern könnten, nicht weniger dem Gesetze der Änderung unterworfen sind wie die Himmelskörper selbst.

Von zwei Jahrhunderten schon die Elektrodynamik nur eine wissenschaftliche Spielerei. Jetzt glauben viele, daß sie die Realität ist, von welcher die Materie nur das widerstehendere Ausdrück bildet. Nur ein Jahrhundert ist es her, daß der Äther einer der Bestandtheile des Universums festgesetzt worden, jetzt scheint es möglich, daß er der Stoff ist, aus dem dieses Universum gleichsam aufgebaut ist. Nach der Schöpfung, die mit dieser Anschauung von der physischen Welt verknüpft sind, es scheint nicht weniger überraschend. Man pflegte z. B. zu sagen, daß Materie eine ursprüngliche Eigenschaft der Natur ist, einer Erklärung weder fähig noch bedürftig; ihrer Natur nach wesentlich unveränderlich, weder einer Verwitterung noch einer Verwundung unterworfen unter der Beanspruchung irgend welcher Kräfte, denen sie unterworfen werden könnte, unveränderlich geknüpft an oder identifiziert mit jedem materiellen Bruchstück.

Auf Grund der neuen Theorien müssen diese Anschauungen aber verändert werden. Materie, was immer, ein Aetherial der Materie an sich zu sein, rührt jetzt nur her von der Beziehung

zwischen den elektrischen Monaden, aus denen die Materie zusammengeartet ist, und dem Äther, in dem sie getaucht und wie carboniert, unveränderlich zu sein, ändert sie sich, wenn sie sich mit großen Geschwindigkeiten bewegt, mit jedem Wechsel ihrer Geschwindigkeit.

Verleibt aber die ausdrückliche Änderung in unserem Bilde des Universums, die von dieser neuen Theorie gebildet wird, findet sich in einer anderen Richtung. Wir alle schenken heutzutage Interesse an den allgemeinen herrschenden Anschauungen über den Ursprung und die Entwicklung der Sonne mit ihren zugehörigen Phänomenen und der allmählichen Zerstörung der Energie, welche während dieses Verfallungsprozesses einen großen Teil der Form von Licht und Strahlung der Wärme abgeben. Verfolgen man diese Theorie, so wird klar, daß die jetzt sich färbende glühende Sterne eine Metamorphose darstellen zwischen dem Nebeln, aus denen sie entstanden, und der Erstarrung, für welche sie bestimmt sind. Was sollen wir denken von der unerschöpflichen Menge von Himmelskörpern, bei denen dieser Prozeß schon beendet ist? Nach der gewöhnlichen Anschauung müssen wir annehmen, daß sie in einem Zustande sich befinden, in dem die Möglichkeiten innerer Bewegung erschöpft sind. Da der Temperatur des interstellaren Raumes müsste ihre kondensierenden Elemente starr und unfähig sein, chemische Action und mechanische Bewegung müssen gleich unmöglich sein, und ihre erschöpfte Energie könnte keine Erneuerung erfahren, wenn sie nicht plötzlich verfügbar würde durch irgend einen kosmischen Zusammenstoß, oder wenn sie in andere Regionen wandern, die unbesetzt werden durch plündernde Sonnen. Diese Anschauung muß jedoch gründlich umgestaltet werden, wenn wir die elektrische Theorie der Materie annehmen. Wir können dann nicht länger annehmen, daß, wenn die innere Energie einer Sonne so weit als möglich in Wärme verwandelt ist

bei so durch Zusammenstoßung unter der Macht der Gravitation oder durch chemische Reaktionen zwischen einem Elementen oder durch irgend eine Kraft zwischen den Atomen), und wenn diese durch den unendlichen Raum streut worden ist, wie sollten und der Zeit überdies erst, ihr ganzes Energie erschöpft sein werde. Im Gegenteil, diese verlorene Menge würde absolut unbedeutend sein, verglichen mit der, welche in den einzelnen Atomen aufgespeichert zurückbleibt! Das System würde als Ganzes handhert, aber der Reichtum seiner individuellen Bestandteile kann verändert sein. Sie würden nebeneinander liegen, ohne Bewegung, ohne chemische Affinität, aber jedes einzeln, obwohl unfähig in seinen äußeren Beziehungen, wäre der Schauplatz heftiger Bewegungen und wichtiger innerer Kräfte.

Oder, geben wir denselben Gedanken eine andere Form. Wenn das glühende Erbeben eines steten Sterns in dem telekopischen Felde des Astronomen Kunde gibt, daß er, und vielleicht im ganzen Universum er alles, Zeugn ist von dem Einflusse einer Welt, dann müssen die gewaltigen Kräfte, durch welche diese weit entferntere Tragödie sich abspielt, sicherlich Erkenntnis erwecken. Dennoch würden nicht nur die Glieder eines jeden einzelnen Atomsystems ihr relatives Wagn unbedeutet verfolgen, während die Atome selbst häufig zueinander gerannt würden in dem flammenden Dampf, sondern die Kräfte, durch welche eine solche Welt erschaffen wird, sind lächerlich unbedeutend im Vergleich mit denen, durch die jedes Atom dreifachen zusammengehalten wird.

Chemische Affinität und Kohäsion und nach dieser Theorie selbst weiter als die geringen zurückbleibenden Wi-

kungen der inneren elektrischen Kräfte, welche das Atom in seiner Existenz erhalten. Die Gravitation, obwohl sie die gestaltende Kraft ist, welche die Nebelflocke zu organisierten Systemen von Sonnen und Trabanten konzentriert, ist unbedeutend, verglichen mit den Anziehungen und Abstoßungen, die uns zwischen chemisch geladenen Körpern bekannt sind, während diese wiederum nur Unbedeutendheit herabsetzen neben den Anziehungen und Abstoßungen zwischen den elektrischen Molekülen. Die ungeheuerlichen Molekülbewegungen, welche die Wärme hervorrufen, von der die ganze Möglichkeit organischer Leben absolut abhängen scheint und mit deren Umwandlungen die angewandten Wissenschaften sich gegenwärtig so lebhaft beschäftigen, können nicht realisiert sein, da die kinetische Energie, die in den Molekülen selbst aufgespeichert ist. Dieser wunderbare Mechanismus scheint außerhalb des Reiches unserer sinnlichen Interessen. Wir leben wozu? nur an einem Saume. Er verleiht uns keinen Nutzen. Es wird nicht unsere Mähen trösten, wir können ihn nicht an unsere Wagen scheren. Dennoch sagt er deswegen nicht weniger die größte Vorstellbarkeit ist. Der Sternenhimmel hat seit undenklichen Zeiten die Vorstellung und die Bewunderung der Menschen erweckt. Aber wenn der Staub unter unseren Füßen wirklich zusammengedrückt ist aus zähllosen Systemen, dann Elemente ewig in schärfer Bewegung sind und dennoch durch unendliche Zirkel der Gleichgewichtsmacht erhalten, so können wir schwermütig fragen, daß die Wunder, die wir direkt sehen, nicht wert sind, verwendet zu werden, als diejenigen, welche die jüngsten Entdeckungen uns befähigen, dankt zu stehen.



# Die Beziehungen der magnetischen Stürme 1875 bis 1903 zu den Sonnenflecken nach den Aufzeichnungen am Kgl. Observatorium zu Greenwich.

 Eine wichtige Untersuchung über diesen Gegenstand hat E. Walter Alexander veröffentlicht.<sup>1)</sup> Er beschreibt dabei nach dem Vorgange von Ellis als große magnetische Stürme oder Störungen diejenigen, bei welchen die Deklinationsabweichungen mehr als  $1^{\circ}$  betragen, als aktive diejenigen, bei welchen sie sich zwischen  $1^{\circ}$  und  $30^{\circ}$  bewegen, als mäßige die von  $30^{\circ}$  bis  $10^{\circ}$ , als kleinste solche unter  $10^{\circ}$ . In analoger Weise wurde dabei auch die magnetische Horizontalkraft berücksichtigt. In der 29 Jahre umfassenden Beobachtungszeit laßen 19 große magnetische Stürme (Störungen) aufgeführt sein. Alle ohne Ausnahme traten zu Zeiten auf, als auf der Sonne Flecken vorhanden waren, deren Ausdehnung mehr als 1000 Millionstel der sichtbaren Scheibe umfaßten, oder als aus früher sehr großer Gruppe in verhältnißmäßig Genuß auf die Mitte der Sonnenscheibe zurückgedrängt war.

Mit einer einzigen Ausnahme begannen alle magnetischen Stürme mit einer ungenau charakterisirten Bewegung der Magnetnadeln, die zwar gewöhnlich nur von mäßiger Größe war, aber sich durch das Plötzlichkeit auszeichnete. Set eonset sich gleichmäßig in den Aufzeichnungen der Deklination, der Horizontalkraft, der Vertikalkraft und der Erdströmung bemerkbar, aber der auffallendste Charakter der Bewegung war ihre Plötzlichkeit. Nimmt man das Augenblick dieser schnellen charakteristischen Bewegung als den Beginn des Sturmes, so ergibt sich, daß die 19 Stürme nicht sichtbar wurden, wenn ein großer Flecken irgendwo auf der Sonnenscheibe sich befand, sondern

wenn die bedeutendste sichtbare Gruppe (auch wohl eine bestimmte Gebirgsart, dessen Position mit Bezug auf die angewandte Merke (den antiken Meridian) der Sonne in bekannter bester Stellung  $15^{\circ}$  E., in letzter westlicher Stellung  $47^{\circ}$  W., im Mittel  $31^{\circ}$  W. war.

Aus den Zusammenstellungen des Beobachtungsmaterials ergibt sich Nachstehendes:

1. Es besteht ein tatsächlicher Zusammenhang zwischen großen Sonnenflecken und großen magnetischen Stürmen. Dies zeigt sich, a) indem in jedem Falle ein großer Sturm zusammenfiel mit dem Vorübergang eines großen Fleckens oder einer Fleckengruppe, b) durch die Konsequenz der größten Stürme mit der Zeit der Sichtbarkeit der größten Flecke, c) dadurch, daß keine bedeutenden Stürme vorkommen waren in der Zeit zwischen den beiden großen Fleckengruppen des 3. bis 15. September 1885 und des 4. bis 16. Oktober 1903. Das Erscheinen einer sehr großen Gruppe von Flecken nach einem Intervall von mehr als 5 Jahren wurde dagegen beantwortet durch eine magnetische Störung, die größer war als irgend eine in der Zwischenzeit.

2. Es existiert ein wirkliches, aber nur ungefähr Zusanmenhang zwischen der Größe des Fleckens und der Stärke des magnetischen Sturmes. Dies zeigt sich durch das entsprechende Verhalten von 7 unter den 19 größten Stürmen mit 7 unter den 19 größten Flecken in einer Periode von über 28 Jahren. Dieses Verhalten in einer so langen Periode ist bei weitem zu hoch, um vom Zufall abzuhängen. Von den 19 Fleckengruppen fallen die 9 größten ebenfalls zusammen mit einem großen oder aktiven magnetischen Sturm.

<sup>1)</sup> Monthly Notices Royal Soc. Ser. 1904 Vol. LXV p. 288 ff.

3. Die Flächenausdehnung der Fleckengruppe ist keineswegs ein genaues Maß für den Grad oder die Stärke der magnetischen Störung. Dies ergibt sich daraus, daß der 19 größte Sonnenfleck statlich korrespondierte mit 7 großen, 7 aktiven, 2 mildigen, 2 kleineren und 1 fehlenden magnetischen Störung.

4. Die größte Stärke begann nicht in einer beliebigen Epoche des Vorübergehens diese großen Flecke durch die Sonnenscheibe, sondern während der Periode von 3 Tagen, die anlang 34 Stunden, bevor der Zenith der Fleckengruppe den mittleren Meridian der Sonnenscheibe erreichte, und endigte 80 Stunden nach dieser Zeit, der heißt der Zeitraum 26 Stunden, nachdem der Fleck die Zenithstunde erreicht bzw. überschritten hatte.

Die vorgedachten Tatsachen, sagt Maunder, sind, soweit sie richtig, in vollkommener Übereinstimmung mit den Tatsachen, die in der besprochenen Abhandlung des Hrn. W. Sedgwick tabellarisch zusammengestellt sind. Die Schlussfolgerung ist in ihrer Fassung: Man hat behauptet, daß, wenn die wirklich der Zeit der Zusammenkunft bestehende zwischen einem besonders großen Sonnenfleck und einem großen magnetischen Sturm, dieser Zusammenkunft sich jedesmal zeigen müßte. Jeder große Fleck auf der Sonne müßte beantwortet werden durch einen großen magnetischen Sturm auf der Erde, und jeder große magnetische Sturm müßte erfüllt zusammenfallen mit dem Erscheinen irgend eines großen Sonnenflecks, kerner müßte die Häufigkeit des Sturmes eine bestimmte Beziehung haben zu der Ausdehnung des Flecks. Diese Beziehung ist wirklich vorhanden, aber nur, wenn wir das Mittel einer Anzahl von Beispielen betrachten, wie gilt nicht allgemein für jedes einzelne Fall.

Die Sonnenfleckengruppe, die den mittleren Meridian am 12. Oktober 1803 berührte, war eine der 6 oder 7 größten Gruppen, die in den letzten 30 Jahren

gesehen wurden. Der magnetische Sturm, der in dieser Zeit eintrat, war jedoch ein aktiver, nicht ein großer. Der Sonnenfleck vom 31. Oktober war ein großer, aber nicht von außerordentlichen Dimensionen, denn er umfaßte weniger als ein Drittel der Größe von dem des 12. Oktobers. Gleichzeitigkeit mit seinem Vorübergehen durch den mittleren Meridian zeigte sich aber der große magnetische Sturm, der während der letzten 30 Jahre aufgezählt worden, vielleicht der größte, der überhaupt in Gesehener bestanden ist. Man hätte erwarten sollen, daß die Umgekehrte eingetruft wäre, nämlich daß der größte Fleck dem größten Sonnensturmgebrechen hätte und der kleinste dem schwächsten.

Ein solche Erwartungserfüllungsmasse, obschon sie natürlich ist, eine Reihe von Voraussetzungen, von denen einige nur geringe Berechtigung haben. Sie lautet z. B. an, daß die Wirkenszeit eines Flecks im größten ist in dem Moment, wo er seine größte Ausdehnung erreicht, ferner, daß sein Einfluß gleich groß ist nach allen Richtungen, daß er nicht derartig wie eine Richtung gibt in den Krisen oder Erscheinungen, welche von der größten Region der Sonne ausgehen, von der der Fleck das oberste Zeichen ist. Diese Voraussetzung stützt sich aber auf keine genügende Unterlage, wenn sie nicht überhaupt gleichmäßig selbständig ist.

Wenn wir die Sonnenkorona betrachten, erkennen wir sofort, daß sie nicht symmetrisch um die Sonne verteilt ist und ebenso wenig genau in derselben Ausdehnung nach allen Richtungen gleichmäßig abstrahlt. Welche Vorstellung wir uns auch von ihrer Natur bilden, wir sind verpflichtet, die Stellen, welche sie ausstrahlt, als wesentliche Kräftefelder zu betrachten, wie sagen Gebiete an, wo die Tätigkeit größer ist als in den benachbarten jenseits Flächen. Die Sonnenfleckensätze der letzten 8 Jahre werden besonders lehrreich in diesem Punkte. Die Korona

von 1896, wie sie sowohl von der George Hadon-Powells Expedition nach Novaya Semlja, als auch durch Korotkiy und Hantzky von der russischen Expedition photographirt wurden, zeigt eine große Ähnlichkeit, deren Ursache sich gegenseitig erklären lassen, bis sie sich verbindet, um einen langen, geraden Strahl zu bilden. Solche Sonnenflecken von 1888 sind nicht weniger als vor solcher Erscheinung gesehen worden, von denen dies deutlich war, und alle anderen in gewissen Stadien von ungleicher Länge. Der Haupt wurde bis auf eine Entfernung von der Sonnenmitte photographirt, die nicht weniger als 4 Millionen Meilen beträgt. Bei den beiden folgenden Erscheinungen, (1890 und 1891) wurden denselben Eigenschaften wahrgenommen, obwohl die langen Strahlen nicht bis zur Entfernung wie 1888 photographirt wurden. Daß solche Ausbreitungen nicht vor 1896 photographirt wurden, rührt zweifellos von dem Umstand her, daß keine genügendes Expositoren und Gesichtsfelder angewendet wurden, um sie zu sehen.

Wenn wir voraussetzen, daß die Wirkung einer Sonnenstörung nach unten etwa in derselben Weise sich fortpflanzt wie diese langen Koronastrahlen, mit andern Worten! daß diese Wirkung am größten ist in irgend einer Richtung, die nicht gerade radial zu sein braucht (da die größten Koronastrahlen es auch nicht sind), so wird dies die am vorwiegende Schwingungsbewegung bedingen. Die Intensität irgend eines von einer Sonnenstörung herrührenden magnetischen Störms würde dann von zwei Faktoren abhängen: 1. von der wirklichen Größe der Störung selbst und zudem von dem Abstand der Erde von der Richtung der maximalen Wirkung. Wir müssen finden, wie das auch der Fall ist, daß, wenn der Durchschnitt aus einer großen Zahl von Fällen

genommen wird, die Häufigkeit der magnetischen Störme und ihre Intensität der Größe der Sonnenflecke entsprechen, aber gleichzeitig auch, wie es wirklich der Fall ist, daß ein großer Spielraum von Ungleichmäßigkeiten in dem speziellen Verhalten vorhanden sein muß. In vollkommenster Übereinstimmung mit dieser Ansicht steht, daß wir in der Tat beim Beginn der 79 unternachten großen Störme finden, daß der bedeutendsten Flecken auf der Sonne sehr in einem bestimmten begrenzten Gebiete auf der Oberfläche gefunden wurde. Wenn der Einfluß des Flecks genau gleich verteilt wäre über die ganze Kugel, deren Mitte er bildet, so es schwer zu verstehen, warum diese Beziehung sich zeigt.

In den vorstehenden Bemerkungen habe ich mich ganz auf die Flecke beschränkt. Wir haben gegenwärtig kein genügendes Material für eine flüchtige Diskussion der Flecke, Protuberanzen oder Flecken. Gewöhnlich sehen wir Protuberanzen nur rund um den Rand der Sonne, Flecke nur in der Mitte derselben, und von den Flecken haben wir noch nicht genug Beobachtungen, Flecke anderwärts sehr viel, wo sie existieren, in jedem Teile der umringelten Hemisphäre, und unsere Kenntnis derselben kann eine ziemlich vollständig ergänzt werden. Ferner sind die vor verschiedenen Reihen von Erscheinungen sehr unabhängig, sondern voneinander abhängig, und bezüglich der ersten drei wissen wir, daß sie ihrer Variationen im Verlaufe eines Sonnenzyklus in wesentlicher Übereinstimmung durchgehen. Gegenwärtig weiß, was auch in der Zukunft der Fall sein dürfte, die Flecken die am leichtesten zu beobachtenden und am vollständigsten beobachteten von allen verschiedenen Erscheinungen, die aus einem Maßstab der Sonnenfähigkeit lehren können.

# Prof. William H. Pickering's Untersuchungen über den Mondkrater Eratosthenes.

Von Dr. Klotz.

(größen Teil XIV und XV).

**E**iner des großen Mondkraters (Ringschtraps) nennt Eratosthenes eine hervorragende Stelle am Südpol bei zunehmendem Monde, nach dem ersten Viertel, das gewaltige Hochland der Apenninen mit seinen harnäuslichen Klippen und dem strengen Abhang gegen das Mare Imbrium hin aus der Mondsicht herausgehoben ist, sieht man, gewissermaßen als südlichen Schlußstein derselben, einen mächtigen Ringwall. Es ist der Krater Eratosthenes, 21 Meilen im Durchmesser und im Innern sehr tief, während der Wall nach außen hin nur einen 1000 m über die umgebende Fläche emporragt. Der Wall selbst ist schmal, wird aber unten von großen Terrassen umlagert und trägt auf seiner Oberfläche einen Cyclus, der bis zu 500 m über den höchsten Punkt des inneren Kraters emporragt. In der Mitte des letzteren erhebt sich ein unansehnliches Zentralgebirge, in welches man vornehmlich 3 Gipfel unterscheiden kann.

Prof. William H. Pickering hat von diesem Ringschtraps gelegentlich seiner Mondstudien auf jamaika eine Anzahl Photographien genommen, welche das Aussehen desselben von der Zeit zum nach Sonnenstehung über ganz Oegred bis fast zum Sonnenuntergang dort darstellten, außerdem hat er Zeichnungen desselben ausgeführt, die eine Menge Details enthalten. Auf Tafel XIV und XV sind einige derselben reproduziert. In diesen Darstellungen ist Süd oben, Nord unten, Ost rechts und West links. Außerdem ist bei jeder Darstellung die Anzahl der Tage angegeben, die verlossen sind seit dem Sonnenstehung für den Krater. Der Stern gibt für diesen Krater auf, wenn die Lichtgrenze des zunehmenden Mondes bei 11° Süd Länge liegt, was

nicht im Meridian desselben, wenn die Lichtgrenze bei 91° Süd Länge angekommen ist, und so geht für Eratosthenes weiter, sobald die Lichtgrenze 91° Süd Länge erreicht hat.

Die Photographien tragen in Intervallen von etwa 1 Tag die Veränderungen im Aussehen des Eratosthenes von der Erde aus betrachtet und gewähren davon also eine nennlich ständige Folge. Man überzeugt sich, daß der allgemeine Umriss des Kraters auch bei keiner Beobachtung, also im Vollmond, noch hervorstechend ist, nicht das Ganze ist dann von so vielen hellen und dunklen Flecken überzogen, daß die Hauptlinien des Ranges nicht mehr zu erkennen sind. Mit diesen Flecken und der Beschreibung der Veränderungen ihres Aussehens beschäftigt sich nun Prof. William Pickering hauptsächlich, und gibt unter stetem Hinweis auf die photographischen Aufnahmen eine Charakterisierung der Änderungen im Aussehen dieser Flecke. Nachdem ich vor mehr als 17 Jahren auf die Wichtigkeit einer solchen systematischen Verfolgung der Änderungen, welche viele dunkle und helle Flecke der Mondkrater zeigen, hingewiesen und einige Beobachtungen darüber veröffentlicht habe,<sup>1)</sup> ist es jetzt zum ersten Male, daß von einem anderen Beobachter, wie Prof. William Pickering ist, solche Untersuchungen an einem Mondkrater veröffentlicht werden.<sup>2)</sup> Er stützt seine Beschreibung auf die besprochenen Photographien des Eratosthenes, und diese haben zweifellos den Vorrang, daß die dunklen und hellen Flecke hier von der individuellen Auffassung des

<sup>1)</sup> U. J. Sept. 1867, S. 121, über die dunklen Flecke beim Hygiea.

<sup>2)</sup> Annals of Harvard College Observatory 1894. Vol. LIII. No. IV.

Beobachtungen dargestellt sind, wie bei Zeichnungen natürlich auch der Fall sein kann. Dagegen haben die Photographen des Meeres, daß sie alles Detail nur sehr schwachem wiedergeben, den Eindrucken etwa so, wie man den am Fernehorst sehen wird, wenn das Okular nicht sehr empfindlich ist. Wie groß dieser Nachteil für die Erkennung des feinen Details ist, erkennt man beim Vergleich der sehr detaillierten Zeichnungen der Wilkes und Menes Entdeckungen im Eozäthemen, welche Prof. Wilkes Faltungen von einem großen Fernehorst gesehen hat. Von dem Kaurauk ferner Wilkes (Prof. Pickering nennt sie Kanäle), welche z. B. die Zeichnung vom 23. August 1861 vorführt, enthält die unter einem noch gründlicheren Betrachtungswinkel aufgenommenen Photographie vom 26. März keine Spur, und ein Vergleich der feinen Zeichnungen vom 1. und 28. August mit den unter fast gleichem Betrachtungswinkel aufgenommenen Photographien vom 5. März und 3. April 1861 zeigt dies noch deutlicher. Gleichwohl ist auch das Studium dieser Photographien mit Bezug auf die optischen Änderungen im Aussehen der größeren dunklen Flecke von hohem Interesse.

Was die Wilkes anbetrifft, die Prof. Pickering im Eozäthemen entdeckt hat, und die er als Kanäle bezeichnet, so zählt er von diesen 4 Systeme auf, zwei große und zwei kleine. Jedes derselben, sagt er, zeigt einen unregelmäßigen See (Lage), von dem aus drei oder mehr Kanäle in verschiedenen Richtungen divergieren. Der größte dieser Seen liegt östlich von Zentralgebirge des Eozäthemen, und 3 Kanäle gehen von ihm aus. Der zweitgrößte liegt an dem nördwestlichen Abhänge des Zentralgebirges und von ihm zweigen ebenfalls 3 Kanäle ab. Ein dritter am Ende eines Hügelzuges zeigt 4 oder 5 auslaufende Kanäle und einen fast horizontalen Weg. Viertes dem Lapus sein auf dem Meer. Ein vierter See ist klein und sehr fern am äußersten

Nordende der inneren Kanaltfläche, und wegen eines kleinen Kanals gehen von ihm aus. Ihn umgibt ein etwas verschwommener dunkler Ring, der teilweise durch die Seen und Kanäle der oben erwähnten beiden ersten Systeme gebildet wird. Diese Kanalsysteme scheinen fast völlig unabhängig von der Konfiguration der Oberfläche zu sein; besonders ist der zentrale See auf dem Gipfel eines Berges, besonders in der Tiefe eines Tiefs. Die Kanäle können teilweise von einem Abhänge herab, durchkreuzen von Tal und steigen an einem anderen Abhänge hinauf. Im allgemeinen sind sie durch ihre geringe Entwicklung fast gleichzeitig sichtbar, aber meistens in zwei Pforten zeigt sich eine progressive Sichtbarkeit und zwar in einem davon in der Richtung tangential zu einem See, in der andern radial gegen einen See hin, in beiden Pforten war die Richtung radialwärts.

Prof. Pickering schreibt die von ihm wahrgenommenen Veränderungen einer Vegetation auf dem Monde zu. Er bemerkt, daß allerdings Wasser in diesem Zustande nicht existieren kann unter einem Luftdruck von weniger als 46 mm, und daß ein solcher Luftdruck auf dem Monde nicht angenommen werden darf, dennoch aber kleine Wasser unter dem Boden vorhanden sein, dort zurückgehalten durch Capillarschwärze. Wie auf der Erde Pflanzen in trockenem Boden leben können, indem sie aus diesem die vorhandene Feuchtigkeit entnehmen, so können solche auch auf dem Monde wachsenden, angepasst den niedrigen Luftdruck. Daß die geringe Schwärze, welche er als Vegetation bezeichnet, zusammen mit tiefen Rillen selbst hat Prof. Pickering am Krater Proctus wahrscheinlich gehalten, und dieses hat er die Überzeugung ausgesprochen, daß ein dunkler Vegetationsfleck teilweise auf einer Fläche des Mondes erscheint, die vordem von Eis bedeckt war, nämlich im Rinde. Endlich be-

kennt an, daß verschiedene Vegetationsflächen in dem nämlichen Krater zu verschiedenen Zeitpunkten erschienen und wieder verschwinden, wie er solchen an Alphonsus erkannt habe. Es sei also nicht Neitz, was der Krater Ervathaus darstelle, sondern es sei nur deshalb interessant, weil die Veränderungen hier in so großem Maße stattfinden, daß sie photographisch fixiert werden könnten.

Alles, was von einem so ausgezeichneten Beobachter und vorzüglichem Selbstopographen wie Prof. Pickering bezüglich der Mondkornstrukturen behauptet wird, verdient sicherlich die höchste Beachtung. Alles in Bezug auf Kenntnis der dunklen Flecke des Mondbodens und deren Veränderungen während des Mondtags gibt er außer Prof. Pickering und mir zur Zeit keinen Astronomen, der über hinreichende eigene Erfahrungen auf diesem Gebiete verfügt. Ich darf daher nicht mit meiner Meinung zurückhalten, die sehr von der oben erwähnten Anschauung Prof. Pickering's abweicht. Auf Grund vieljähriger Studien an dunklen Mondflecken kann ich nicht anders als die Ansicht aussprechen, daß jene Veränderungen im Ton und der Ausdehnung der dunklen Mondflecke vom Stande der Sonne, d. h. dem Beobachtungswinkel abhängen. Unmittelbar in der Dunkelheit des Bodens stellen sich sehr verschieden dar, je nachdem der Stand der Sonne über denselben oder den Abhängen von Gebirgserhebungen resp. Vertiefungen ist. Deshalb verhalten dieselben auch auf dem Monde während jeder Lunation in der gleichen Weise. In meiner oben erwähnten Abhandlung über „Die dunklen Flecke in der Nähe des Pygmaeus“ habe ich dies in ausführlicher Weise an der Hand meiner

eigenen und identischer bekannt gewordener fremder Beobachtungen ausführlich gezeigt.

Was die Venus Seen und Kanäle anbelangt, welche Prof. Pickering entdeckt hat, so habe ich der ersten für kleinere Krater und die anderen für Risse, die letzten Ströme aber für Auswurfspalten in bestimmter Richtung des Grunde der Umrand, daß sich diese Ströme und auch die kleinen Risse in kleinen Kratern kreuzen oder von einem ausgeben, spricht meiner Meinung nach dafür, daß die vulkanische Erregungswelt. Auch die dunklen Flecke sind nach meiner Meinung Produkte vulkanischer Eruptionen. Ich habe dies an dem dunkelsten Fleck im Alphonsus so weit nachgewiesen, als dieses überhaupt möglich ist und auch für andere Mondformationen das Gleiche wahrscheinlich gemacht.<sup>1)</sup> Sollte man über Vegetation auf dem Monde annehmen — nämlich nur eine sehr niedrige, wie solche Prof. Pickering offenbar im Auge hat — so würde ich hinweisen auf die Oegend, welche die Rife des Herodotus umschreibt. Dort ist zur Zeit des Vollmondes eine äußerst lebhaft schwebend grünliche Färbung zu erkennen und die Fläche außerdem mit zahlreichen hellen Punkten besetzt. Das war schon 1838 zu sehen, wie Grassmann bemerkt, und ist so geblieben bis zum heutigen Tage.<sup>2)</sup> Es gibt auf der ganzen Mondoberfläche keine Oegend, in welcher eine spezifische Färbung so deutlich erkennbar ist als in der angegebenen Landschaft.

<sup>1)</sup> Spher. 1852. S. 138 und 14, welche mehrere Ränder des Kraters der „Wochenstern“ hat angenommen.

<sup>2)</sup> Vossel Klein, Färbung am Sternenschein. I. Aufl. S. 207 ff.

## Die scheinbare Helligkeit von Nebelflecken und Sternhaufen.

**D**as Auffinden von Nebelflecken und Sternhaufen im Fernrohr ist einfach sehr schwierig, weil die Angaben der Beobachter über die scheinbare Helligkeiten dieser Objekte meist sehr voneinander abweichen. Der alte Hirschel hat die Nebelflecke, welche er entdeckte und beobachtete, nach ihrer Helligkeit in glänzende, lichtschwache und sehr lichtschwache unterteilt, also diese Unterscheidung ist nicht nur sehr willkürlich, sondern vor allen Dingen für die Anschauung dieser Objekte auch unzulänglich. Ein Nebel, der in einem großen, lichtstarken Teleskop, wie demjenigen Hirschels, und von einem scharfsichtigen Beobachter als glänzend beschrieben wird, ist in einem kleinen Instrumente vielleicht sehr lichtschwach, möglicherweise ganz unsichtbar. Auch die geringe Durchsichtigkeit der Luft spielt in dieser Richtung eine große Rolle. Sonst kann man nicht leicht verstehen, welche Nebelflecke in einem Teleskop von gewisser Größe sichtbar sind, weil ein vergleichbares Kriterium für ihre scheinbare Helligkeit fehlt. Später hat zuerst Versuche angestellt, die Helligkeiten vieler Nebelflecke am großen Wiener Refraktor mit demjenigen kleiner Sterne zu vergleichen. Er fand, daß die in Hirschels Übersetzung als sehr hell bezeichneten Nebel etwa der Helligkeit von Stern 8 Größe vergleichbar sind, die hellen Nebel der Sterne 9, Größe, ziemlich helle Nebel Sterne 10 Größe,mäßig helle den Sternen 11. Größe usw. Sehr schwache Nebel sind Sterne 16. Größe vergleichbar. J. Holmström hat die Größenzahl einer großen Zahl von Nebelflecken in Größenklassen durch Vergleich mit bestimmten Fixsternen bestimmt und auch eine Anzahl Sternhaufen hierbei berücksichtigt. Bestimmungen nach dieser Richtung hin sind, streng genommen, nur bei nördlichen Nebeln auszuführen sicher, aber auch bei solchen von langgestreckter

Gestalt geben die inneren Anhaltspunkte zur Beurteilung. Die Bestimmungen der Holmströms beruhen fast hauptsächlich auf denjenigen Nebelflecken, welche in dem Katalog von Messier aufgeführt sind, also auf der hellsten, dann auch auf solchen, welche in der Bonner Durchmusterung des Himmels vorkommen. Dabei ist die nördliche Himmelskugel möglichst erschöpfend berücksichtigt, vom südlichen Himmels dagegen sind die Objekte von  $15^{\circ}$  süd. Deklination ab weniger vollständig, weil sie bereits in zu geringer Höhe für MittelEuropa stehen. Die Beobachtungen wurden an einem 6zölligen Refraktor und einem  $1\frac{1}{2}$ zölligen Sucher angestellt. Nachher sind folgen die von Dr. Holmström erhaltenen Resultate. Die Objekte sind hier nach Sternbildern geordnet, und letztere in alphabetischer Reihenfolge ihrer lateinischen Benennungen aufgeführt. Die Bestimmungen der einzelnen Objekte bilden deren Nummern im Neuen General-Katalog der Nebelflecke, dann auch die des Monnierischen Verzeichnisses. Die Rechtsanweisung und Deklination ( $\delta$ ) bezieht sich auf 1900, H bezeichnet die von Dr. Holmström angegebene Helligkeit der Objekte in Sterngrößen.

### Andromeda

$$203 = 0^{\circ} 35' = \delta + 41^{\circ} 8'.$$

Der Begleiter des großen Andromeda-Nebels.  $H = 92$ .

$$221 = 0^{\circ} 37' = \delta + 40^{\circ} 49'.$$

Der große Andromeda-Nebel.  $H = 13$ .

$$225 = 0^{\circ} 37' = \delta + 40^{\circ} 19'$$

Ersteinst im kleinen Fernrohr als nebliger Stern.  $H = 63$ .

$$1642 = 23^{\circ} 21' = \delta + 41^{\circ} 50'.$$

Ein Spindelnebel,  $30''$  an Durchmesser,  $H = 78$ .

### Aquarius.

$$4865 = 20^{\circ} 45' = \delta - 12^{\circ} 35'.$$

Nebel 2 im Durchmesser, von W. Hirschel in Sterne verlegt.  $H = 43$ .

$$7049 = 20^{\circ} 54' = \delta - 11^{\circ} 45'.$$

Spindelnebel.  $H = 13$ .

1495  $\alpha$  21<sup>h</sup> 38<sup>m</sup>  $\delta$  — 1° 16'.  
Runder Nebel 5' bis 6' groß H=6.8.  
7192  $\alpha$  23<sup>h</sup> 35<sup>m</sup>  $\delta$  — 12° 54'.  
Kleiner Nebel mit Kern. H=10.

#### Aquila

4786  $\alpha$  18<sup>h</sup> 46<sup>m</sup>  $\delta$  — 6° 23'.  
Sternhaufen, von Kirch und Messier  
zweit beobachtet. H=6.1.

#### Argo.

5408  $\alpha$  7<sup>h</sup> 32<sup>m</sup>  $\delta$  — 14° 18'.  
Sternhaufen, schon mit bloßem Auge  
erkennbar. H=5.

5437  $\alpha$  7<sup>h</sup> 37<sup>m</sup>  $\delta$  — 14° 34'.  
Sternhaufen, sehr beim vortretenden.  
H=9.0.

5446  $\alpha$  7<sup>h</sup> 37<sup>m</sup>  $\delta$  — 17° 56'.

Ein planeterischer Nebel. H=8.8.

5447  $\alpha$  7<sup>h</sup> 43<sup>m</sup>  $\delta$  — 23° 36'.

Großer Sternhaufen. H=7.

5457  $\alpha$  7<sup>h</sup> 49<sup>m</sup>  $\delta$  — 26° 8'.

Kleiner Sternhaufen. H=8.4.

#### Auriga.

1902  $\alpha$  5<sup>h</sup> 21<sup>m</sup>  $\delta$  + 35° 13'.  
Großer Sternhaufen, 15' im Durch-  
messer. In ihm sind mindestens drei  
Gruppen zu unterscheiden, deren durch-  
schnittliche Helligkeit 8 Größe. Der  
Helligkeitsdruck des ganzen Haufens  
kann beträchtlicher als 7 Größe.

1903  $\alpha$  5<sup>h</sup> 25<sup>m</sup>  $\delta$  + 34 30'.

Mehrere Sterne in einem Nebel, der  
Ganze wie ein verwaschener Stern  
9-6 Größe.

3968  $\alpha$  5<sup>h</sup> 30<sup>m</sup>  $\delta$  + 34° 4'.

Sternhaufen 6' im Durchmesser, von  
Messier entdeckt. Der hellste Stern  
3-8 Größe. Der Gesamteindruck des  
Haufens zwischen H=6.5 und 7.8.

2094  $\alpha$  5<sup>h</sup> 46<sup>m</sup>  $\delta$  + 32° 30'.

Von Messier entdeckter sehr zentraler  
Haufen von Sternen, der hellste 9-5 Gr.

Der ganze Haufen. H=6.6 bis 7.8.

2281  $\alpha$  6<sup>h</sup> 42<sup>m</sup>  $\delta$  + 41° 15'.

Ein Haufen Sterne 8. bis 9. Größe  
auf einer Fläche von 30' Durchmesser  
stehend, dem bloßen Auge sichtbar.  
H=6.5.

#### Bootes.

3481  $\alpha$  14<sup>h</sup> 8<sup>m</sup>  $\delta$  + 54° 50'.

Von Messier entdeckter Sternhaufen, 6'  
bis 8' im Durchmesser. H=9.0 bis 9.5.

3490  $\alpha$  14<sup>h</sup> 1<sup>m</sup>  $\delta$  + 39° 8'.

Gedüngter, reicher Sternhaufen, einem  
großen, milken Nebel ähnlich. H=8  
bis 9.

#### Camelopardus.

1802  $\alpha$  3<sup>h</sup> 59<sup>m</sup>  $\delta$  + 62° 31'.  
Mit bloßem Auge erkennbar. H=5.5.

2404  $\alpha$  7<sup>h</sup> 27<sup>m</sup>  $\delta$  + 65° 48'.  
Ausgedehnter, heller Nebel. H=7.7  
bis 9.4.

#### Cancer.

2426  $\alpha$  8<sup>h</sup> 34<sup>m</sup>  $\delta$  + 20° 20'.

Der sogenannte Krabbe. H=6.1.

2429  $\alpha$  8<sup>h</sup> 49<sup>m</sup>  $\delta$  + 12° 11'.

Sternhaufen. H=6.5.

#### Cancer ventrali.

4111  $\alpha$  12<sup>h</sup> 2<sup>m</sup>  $\delta$  + 63° 30'.

Kleiner, heller Nebel nahe bei einem  
Stern 2. Größe. H=9.5.

4214  $\alpha$  12<sup>h</sup> 11<sup>m</sup>  $\delta$  + 36° 53'.

Nebel 2' im Durchmesser. H=8.2.

4414  $\alpha$  12<sup>h</sup> 22<sup>m</sup>  $\delta$  + 31° 40'.

Länglicher Nebel, in der Mitte so hell  
als am Stern 10-5 Größe. H=9.2.

4449  $\alpha$  12<sup>h</sup> 23<sup>m</sup>  $\delta$  + 44° 30'.

Ungestaltiger Nebel, 3' bis 4' lang.  
H=8.1.

4480  $\alpha$  12<sup>h</sup> 26<sup>m</sup>  $\delta$  + 42° 12'.

Doppelstern, der größtenteils H=9, der  
andere H=11.

4616  $\alpha$  12<sup>h</sup> 37<sup>m</sup>  $\delta$  + 33° 6'.

Sehr langer, schmaler Nebel. H=8.8  
bis 9.5.

4784  $\alpha$  12<sup>h</sup> 48<sup>m</sup>  $\delta$  + 41° 40'.

Stern mit Nebel 2 bis 3' groß. H=7.8.

4800  $\alpha$  12<sup>h</sup> 50<sup>m</sup>  $\delta$  + 47° 4'.

Von W. Herschel entdeckter kleiner  
Nebel. H=10<sup>1</sup>/<sub>2</sub>.

5006  $\alpha$  13<sup>h</sup> 5<sup>m</sup>  $\delta$  + 37° 36'.

Nebel 2 bis 4' lang, 1' breit. H=8.1.

5038  $\alpha$  13<sup>h</sup> 5<sup>m</sup>  $\delta$  + 37° 8'.

Nebel 2' lang, 1 1/2' breit. H=9.6.

5084  $\alpha$  13<sup>h</sup> 11<sup>m</sup>  $\delta$  + 42° 34'.

Nebel 2' bis 3' groß. H=8.2.

5204  $\alpha$  13<sup>h</sup> 28<sup>m</sup>  $\delta$  + 47° 43'.

Der berühmte Spindelstern. H=7.7.

5272  $\alpha$  13<sup>h</sup> 38<sup>m</sup>  $\delta$  + 38° 53'.

Sternhaufen 4' bis 5' Durchmesser.  
H=8-6.



# Canis major.

2252  $\alpha$  6<sup>h</sup> 43<sup>m</sup>  $\delta$  — 39° 35'.

Sternhaufen, sehen dem Melken Auge schillernd.  $H=5$ .

2249  $\alpha$  7<sup>h</sup> 13<sup>m</sup>  $\delta$  — 15° 27'.

Sternhaufen 3' im Durchmesser mit einem Stern 9.6 Größe in der Mitte. Das Ganze  $H=9.2$ .

# Capricornus.

1095  $\alpha$  21<sup>h</sup> 35<sup>m</sup>  $\delta$  — 23° 30'.

Fach kegelförmiger Sternhaufen. 1½' groß.  $H=8.5$ .

# Castorjja.

7755  $\alpha$  23<sup>h</sup> 52<sup>m</sup>  $\delta$  + 56° 10'.

Großer Sternhaufen, um Stern 16 Gr. und kleineren bestand, 10 bis 15 Durchmesser.  $H$  ca. 9.

498  $\alpha$  1<sup>h</sup> 27<sup>m</sup>  $\delta$  + 68° 11'.

Sterngruppe, in höherem Instrumenten als Nebelchenmasse.  $H=7\frac{1}{2}$ .

642  $\alpha$  1<sup>h</sup> 39<sup>m</sup>  $\delta$  + 67° 44'.

Ziemlich großer Sternhaufen mit Stern 9, bis 10 Größe.  $H$  zwischen 7½ und 8.

# Cepheus.

7444  $\alpha$  23<sup>h</sup> 29<sup>m</sup>  $\delta$  + 61° 3'.

Sterngruppe, 3' bis 5' im Durchmesser.  $H=7.5$ .

# Crius.

107  $\alpha$  0<sup>h</sup> 30<sup>m</sup>  $\delta$  — 6° 57'.

Nebel von 2' Durchmesser.  $H=16.2$ .

661  $\alpha$  1<sup>h</sup> 26<sup>m</sup>  $\delta$  — 7° 27'.

Nebel von 1' Durchmesser.  $H=0\frac{1}{2}$ .

888  $\alpha$  1<sup>h</sup> 28<sup>m</sup>  $\delta$  — 7° 53'.

Kleiner Nebel bei einem Stern 6 Gr.  $H=18$ .

648  $\alpha$  2<sup>h</sup> 25<sup>m</sup>  $\delta$  — 1° 33'.

Schwacher Nebel, gleich einem verwichenen Stern.  $H=11\frac{1}{2}$ , bis 12.

1045  $\alpha$  2<sup>h</sup> 30<sup>m</sup>  $\delta$  — 0° 20'.

Kleiner heller Nebel, vor einem Stern 9.5 Größe.  $H=8.7$ .

# Coma Berenices.

4647  $\alpha$  12<sup>h</sup> 5<sup>m</sup>  $\delta$  + 39° 6'.

Nebel von 2½' bis 3' Durchmesser.  $H=8.4$ .

4891  $\alpha$  12<sup>h</sup> 13<sup>m</sup>  $\delta$  + 38° 44'.

Kleiner Nebel von 1' Durchmesser.  $H=9.4$ .

4978  $\alpha$  12<sup>h</sup> 15<sup>m</sup>  $\delta$  + 39° 50'.

Am Rande verwaschener Nebel, 7' groß.  $H=9.1$ .

4781  $\alpha$  12<sup>h</sup> 18<sup>m</sup>  $\delta$  + 38° 23'.

Nebel von 4 bis 5' Durchmesser.  $H=9.5$  bis 10.

4888  $\alpha$  12<sup>h</sup> 20<sup>m</sup>  $\delta$  + 18° 48'.

Nebel, 2½' bis 3' Durchmesser, mit dunklerem Zentrum, 10. Größe.  $H=8.8$ .

4884  $\alpha$  12<sup>h</sup> 21<sup>m</sup>  $\delta$  + 18° 48'.

Kleiner und schwächer als der vorhergehende.  $H$  kaum 10.

4885  $\alpha$  12<sup>h</sup> 23<sup>m</sup>  $\delta$  + 17° 38'.

Nebel von 1 bis 2' Durchmesser.  $H=9.6$ .

4884  $\alpha$  12<sup>h</sup> 26<sup>m</sup>  $\delta$  + 26° 20'.

Nebel von 2' Durchmesser.  $H=9.2$ .

4889  $\alpha$  12<sup>h</sup> 31<sup>m</sup>  $\delta$  + 26° 31'.

Nebel, 5' lang, 1½' breit.  $H=9\frac{1}{2}$ .

4848  $\alpha$  12<sup>h</sup> 31<sup>m</sup>  $\delta$  + 26° 32'.

Nebelscheib, 10' lang.  $H=9.2$  bis 9.5.

4718  $\alpha$  12<sup>h</sup> 46<sup>m</sup>  $\delta$  + 16° 3'.

Nebel, 7 bis 15' lang, 3' breit.  $H=8.7$ .

4895  $\alpha$  12<sup>h</sup> 52<sup>m</sup>  $\delta$  12° 13'.

Länglicher Nebel, 3 bis 4' groß.  $H=8.5$ .

4822  $\alpha$  13<sup>h</sup> 5<sup>m</sup>  $\delta$  + 18° 42'.

Nebel von 3' Ausdehnung.  $H=8.6$ .

# Corvus.

4612  $\alpha$  13<sup>h</sup> 19<sup>m</sup>  $\delta$  — 18° 13'.

Nebel von 1½' Durchmesser.  $H$  nahe = 8.5.

# Cygnus.

688  $\alpha$  18<sup>h</sup> 15<sup>m</sup>  $\delta$  + 46° 39'.

Haufen von Sternen 10 und schwächerer Größen, 5' im Durchmesser.  $H=8.9$ .

6820  $\alpha$  18<sup>h</sup> 30<sup>m</sup>  $\delta$  + 39° 57'.

Sternhaufen von 3 Durchmesser.  $H=8.5$ .

6824  $\alpha$  19<sup>h</sup> 42<sup>m</sup>  $\delta$  + 30° 17'.

Ein Nebelstern von ½' Durchmesser.  $H=8.4$ .

6865  $\alpha$  20<sup>h</sup> 20<sup>m</sup>  $\delta$  + 36° 12'.

Gruppe von 5 hellen Sternen.  $H=7$  bis 7½.

7077  $\alpha$  21<sup>h</sup> 3<sup>m</sup>  $\delta$  + 61° 50'.

Wolke phasenreicher Nebel.  $H=8.5$ .

7052  $\alpha$  21<sup>h</sup> 28<sup>m</sup>  $\delta$  + 47° 54'.

Sehen dem bloßen Auge schillernde Sternhaufen mit einem Stern 9.5 Gr.  $H=10$ .

# Delfinaus.

4898  $\alpha$  20<sup>h</sup> 18<sup>m</sup>  $\delta$  + 19° 47'.

Planetischer Nebel.  $H=10.5$ .

4884  $\alpha$  20° 29'  $\delta$  + 7° 4'  
Kugelförmiger Sternhaufen, 1 bis 1½,  
groß. H=88.

#### Draco.

5222  $\alpha$  13° 45'  $\delta$  + 60° 41'.  
Nebel, 1" Durchmesser, mit hellem Kern.  
H=95.

5466  $\alpha$  15° 4'  $\delta$  + 56° 8'.  
Nebel, 1½" Durchmesser, nahe bei dem  
Stern 53. Größe. H=163.

5833  $\alpha$  17° 50'  $\delta$  + 10° 18'.  
Nebel, 3 lang, ½" breit mit 2 Kernen,  
einem Stern 3. Größe vorwiegend.  
H=93.

5846  $\alpha$  17° 50'  $\delta$  + 60° 30'.  
Planetenartiger Nebel, ½" im Durchmesser.  
H=76.

6042  $\alpha$  18° 23'  $\delta$  + 74° 31'.  
Schwarzer Nebel, von Teufel entdeckt,  
2½" lang, 1½" breit. H=10½.

#### Eridanus.

1008  $\alpha$  4° 18'  $\delta$  — 12° 50'.  
Sehr kleiner Nebel. H=83.

#### Gemini.

2188  $\alpha$  6° 1'  $\delta$  + 34° 23'.  
Sternhaufen, mit bloßem Auge erkenn-  
bar, darin 2 Sterne 4. und 5½. Größe.  
H=55.

3496  $\alpha$  7° 23'  $\delta$  + 21° 7'.  
Ein Stern 9. Größe mit Nebelhülle von  
30" Durchmesser.

#### Heracles.

8008  $\alpha$  16° 36'  $\delta$  + 36° 39'.

Der große Sternhaufen. H=53.

8290  $\alpha$  16° 00'  $\delta$  + 23° 58'.

Sehr kleiner planetarischer Nebel, wie  
im Fildern. H=84.

8223  $\alpha$  16° 44'  $\delta$  + 43° 43'.  
Nebelscheibe, 1½" Durchmesser, mit  
heller Scheibe. H=86.

8841  $\alpha$  17° 34'  $\delta$  + 43° 15'.

Großer Sternhaufen. H=82.

#### Hydra.

3283  $\alpha$  10° 20'  $\delta$  — 10° 8'.  
Großer planetarischer Nebel, fast ½"  
im Durchmesser. H=72.

4968 12° 34'  $\delta$  — 26° 12'.  
Runder Sternhaufen, 3" Durchmesser.  
H=82.

5298  $\alpha$  13° 31'  $\delta$  — 28° 21'.  
Deutlicher Nebel, für unsern Breit-

weite des Seils. Starke sehr un-  
scharf. H=95.

#### Leo major.

3505 2105  $\alpha$  9° 21'  $\delta$  + 21° 56'.  
Nebel, 3 lang, 1½" breit. H=90. Bildet  
mit einem höchst lichtschwachen Ob-  
jekt einen Doppelnebel.

3251  $\alpha$  10° 29'  $\delta$  + 12° 13'.  
Nebel von 2" Durchmesser. H=96.

3568  $\alpha$  10° 42'  $\delta$  + 13° 21'.  
Nebel von vorwiegend, aber heller und  
größer, 4" Durchmesser. H=87.

3775  $\alpha$  10° 43'  $\delta$  + 13° 8'.  
Ein Doppelnebel, der südliche H=90,  
der nördliche H=95.

3438  $\alpha$  10° 46'  $\delta$  + 13° 54'.  
Nebel von 1" Durchmesser. H=95.

4665  $\alpha$  10° 55'  $\delta$  + 14° 26'.  
Nebel von ½" Durchmesser. H=95.

5020  $\alpha$  11° 14'  $\delta$  + 9° 30'.  
Nebel, 4 lang, 1" breit. H=93.

5647  $\alpha$  11° 15'  $\delta$  + 13° 32'.  
Mondartiger 5 langer Nebel. H=86.  
In der Nähe ein anderer. H=89.

5658  $\alpha$  11° 15'  $\delta$  + 10° 54'.  
Kleiner starreriger Nebel. H=97.

5840  $\alpha$  11° 15'  $\delta$  + 3° 47'.  
Nebel, 1 bis 1½" lang. H=10.

5460  $\alpha$  11° 39'  $\delta$  + 11° 54'.  
Sehr lichtschwacher Nebel, den man  
höher für veränderlich hält. H=11  
bis 12.

5540  $\alpha$  11° 36'  $\delta$  + 12° 21'.  
Nebel von 1 bis 2" Durchmesser. H  
=93.

#### Leo minor.

8498  $\alpha$  14° 46'  $\delta$  + 33° 48'.  
Langgestreckter schwacher Nebel, 5" lang.  
H=92.

#### Lepus.

1904  $\alpha$  5° 28'  $\delta$  — 24° 30'.  
Runder Sternhaufen, 2 bis 3" im Durch-  
messer. H=84.

#### Libra.

4991  $\alpha$  15° 12'  $\delta$  — 38° 38'.  
Einzelne Nebelflock, in Wirklichkeit ein  
kugelförmiger Sternhaufen. H kaum  
=10.

5904  $\alpha$  15° 14'  $\delta$  + 2° 37'.  
Kugelförmiger Sternhaufen, 5" Durch-  
messer, mit heller Mitte. H=62.

Lyra.

2555  $\alpha$  34° 15'  $\delta$  + 34° 37'.  
Nebel von  $\frac{1}{2}$  Durchmesser, H=18.

Lyra.

4789  $\alpha$  35° 50'  $\delta$  + 32° 54'.  
Der hellste Ringnebel H=14  
bis 10.

4778  $\alpha$  35° 13'  $\delta$  + 30° 9'.  
Gedüngter Sternhaufen, 2 bis 2½  
Durchmesser, H=5.5.

Monoceros.

2221  $\alpha$  64° 54'  $\delta$  + 8° 49'.  
Der Vorderste R mit hellem Nebel-  
haufen H=9.7.

2222  $\alpha$  64° 58'  $\delta$  — 6° 12'.  
Sternhaufen mit 2 etwa 8' voneinander  
abstehenden Paaren. Die nördliche  
mit einem Stern 8.5 und 2 Sternen  
8.9 Größe, die südliche mit einem  
hellen Stern 7.8 Größe. Das Ganze  
H=6.5.

2248  $\alpha$  67° 3'  $\delta$  — 5° 39'.  
Mit bloßem Auge sichtbarer Sternhaufen,  
H=5.5.

Opticulus.

4077  $\alpha$  164° 21'  $\delta$  — 11° 50'.  
Nebel 2 bis 3' Durchmesser, in Wirk-  
lichkeit ein kugelförmiger Sternhaufen.  
H=9.8.

4235  $\alpha$  164° 42'  $\delta$  — 1° 48'.  
Kugelförmiger Sternhaufen, 3½ bis 4'  
Durchmesser, H=5.7.

4236  $\alpha$  164° 47'  $\delta$  — 21° 1'.  
Nebelfleck, H=9.7.

4264  $\alpha$  164° 53'  $\delta$  — 3° 57'.  
Kugelförmiger Sternhaufen, 3 bis 4' im  
Durchmesser, H=6.8.

4278  $\alpha$  165° 56'  $\delta$  — 26° 7'.  
Kugelförmiger Sternhaufen, H=4.6.

4290  $\alpha$  165° 58'  $\delta$  — 24° 37'.  
Kugelförmiger Sternhaufen, 4 im Durch-  
messer, H=9 bis 10.

4296  $\alpha$  164° 50'  $\delta$  — 22° 36'.  
Nebel, in Wirklichkeit Sternhaufen.  
H=9.3.

4294  $\alpha$  173° 4'  $\delta$  — 35° 25'.  
Kleiner, kugelförmiger Sternhaufen H  
= 6.4.

4895  $\alpha$  173° 13'  $\delta$  — 18° 39'.  
Kugelförmiger Sternhaufen, 2 bis 3' im  
Durchmesser, H=7.5.

4948  $\alpha$  173° 18'  $\delta$  — 17° 43'.

Kugelförmiger Sternhaufen H=6.5.

4408  $\alpha$  173° 32'  $\delta$  — 3° 31'.

Kugelförmiger Sternhaufen, 4 bis 5' im  
Durchmesser, H=7.8.

4494  $\alpha$  173° 55'  $\delta$  — 18° 0'.

Großer, wenig dichter Sternhaufen.  
H=6½, bis 7½.

4472  $\alpha$  184° 7'  $\delta$  + 6° 30'.

Planetischer Nebel, wie ein matter  
Flecken erscheinend H=6.2.

Orion.

4788  $\alpha$  13° 2'  $\delta$  — 3° 20'.

Schwacher Nebel, 1½ bis 2' groß,  
schon dem bloßen Stern H=10.5.

2995  $\alpha$  15° 42'  $\delta$  + 0° 1'.

Zwei Sterne 9.5 und ein Stern 11. Gr.  
in Nebel gehüllt, H=10.0.

2094  $\alpha$  64° 8'  $\delta$  + 12° 50'.

Sehr gedüngter Sternhaufen, 4 Durch-  
messer, H=9.0.

Pegasus.

7004  $\alpha$  215° 25'  $\delta$  + 11° 43'.

Sternhaufen, schon dem bloßen Auge  
sichtbar, als nebeliger Fleck H=5.6.

3331  $\alpha$  215° 31'  $\delta$  + 53° 54'.

Nebel, 1 bis 2' lang, schmal, H=9.3.

2848  $\alpha$  215° 58'  $\delta$  + 15° 34'.

Nebel, 2' lang, in der Mitte heller.  
H=10.2.

Perseus.

440 442  $\alpha$  15° 36'  $\delta$  + 50° 4'.

Doppelnebel, Gesamtlänge 4', H=6.4.

443 444  $\alpha$  15° 12'  $\delta$  + 56° 41'.

Die beiden größten Sternhaufen 5 und  
2, H=4.3 und 4.2.

3023 24° 34'  $\delta$  + 38° 30'.

Schwacher Nebel bei einem Stern 6.7  
Größe, H=9.2.

1009  $\alpha$  25° 35'  $\delta$  + 42° 27'.

Der zweitgrößte Sternhaufen im Perseus  
mit Sternen 6. Größe und darunter, 7  
im Durchmesser.

Perseus.

624  $\alpha$  15° 31'  $\delta$  + 15° 18'.

Schwacher Nebel, 5' lang, H=9.5.

479  $\alpha$  15° 44'  $\delta$  + 5° 20'.

Ein Stern 9.7 Größe mit leichtschwächerem  
Nebel, 1' Durchmesser.

# Sagitta.

6555  $\alpha$  18<sup>h</sup> 49<sup>m</sup>  $\delta$  + 18° 30'.  
Sternhaufen von 2' Durchmesser. H = 9.0.

# Sagittarius.

6551  $\alpha$  17<sup>h</sup> 54<sup>m</sup>  $\delta$  — 23° 3'.  
Sterngruppe in der Nähe der Triel-Nebel. Leichter H = 6.0.

6552  $\alpha$  17<sup>h</sup> 54<sup>m</sup>  $\delta$  — 24° 23'.  
Großer Nebel in einem unbestimmten Sternhaufen, begleitet von einem anderen rechten Sternhaufen. H = 8.

6553  $\alpha$  17<sup>h</sup> 59<sup>m</sup>  $\delta$  — 22° 30'.  
Wenig dichter Sternhaufen. H = 7.

6554  $\alpha$  18<sup>h</sup> 11<sup>m</sup>  $\delta$  — 18° 27'.  
Sternhaufen, dem bloßen Auge sichtbar. H = 5.

6555  $\alpha$  18<sup>h</sup> 18<sup>m</sup>  $\delta$  — 24° 58'.  
Kugelförmiger Sternhaufen, 2' Durchmesser. H = 8.5.

6557  $\alpha$  18<sup>h</sup> 25<sup>m</sup>  $\delta$  — 32° 15'.  
Nebelzone, in Wirklichkeit kugelförmiger Sternhaufen. H = 9.0.

6558  $\alpha$  18<sup>h</sup> 25<sup>m</sup>  $\delta$  — 25° 34'.  
Nebel, in Wirklichkeit kugelförmiger Sternhaufen. H = 9.3.

6559  $\alpha$  18<sup>h</sup> 30<sup>m</sup>  $\delta$  — 20° 56'.  
Kugelförmiger Sternhaufen, 5 bis 6 Durchmesser. H = 8.2.

6561  $\alpha$  18<sup>h</sup> 31<sup>m</sup>  $\delta$  — 32° 28'.  
Kugelförmiger Sternhaufen. H = 9.5.

6562  $\alpha$  18<sup>h</sup> 38<sup>m</sup>  $\delta$  — 14° 20'.  
Kleiner planarischer Nebel, 20' im Durchmesser. H = 8.8.

6564  $\alpha$  20<sup>h</sup> 9<sup>m</sup>  $\delta$  — 25° 1'.  
Kleiner kugelförmiger Sternhaufen, 1 bis 2' im Durchmesser. H = 8.9.

# Scorpius.

6565  $\beta$  18<sup>h</sup> 19<sup>m</sup>  $\delta$  — 23° 44'.  
Kugelförmiger Sternhaufen, in welchem 1850 ein neuer Stern erschien. H = 7.5.

6571  $\alpha$  19<sup>h</sup> 18<sup>m</sup>  $\delta$  — 28° 17'.  
Sternhaufen. H = 1.8.

6566  $\alpha$  18<sup>h</sup> 55<sup>m</sup>  $\delta$  — 29° 14'.  
Kugelförmiger Sternhaufen. H = 8.8.

6570  $\alpha$  17<sup>h</sup> 34<sup>m</sup>  $\delta$  — 32° 18'.  
Sternhaufen, 40 groß, mit mehreren hellen Sternen 7 bis 8 Größe. H = 5 bis 6.

6572  $\alpha$  17<sup>h</sup> 47<sup>m</sup>  $\delta$  — 34° 47'.  
Großer, größtenteils Sternhaufen, der

in die Stern 6.6 und mehrere Sterne bis 8 Größe. H = 5.0.

# Scutum.

6581  $\alpha$  18<sup>h</sup> 13<sup>m</sup>  $\delta$  — 17° 48'.  
Sternhaufen von 8 Durchmesser. H = 8.5.

6582  $\alpha$  18<sup>h</sup> 14<sup>m</sup>  $\delta$  — 17° 30'.  
Sternhaufen von 5 Durchmesser. H = 7.5.

6584  $\alpha$  18<sup>h</sup> 14<sup>m</sup>  $\delta$  — 16° 16'.  
Halber Nebel, 5' lang, 2 bis 4 breit, H = 3.

6594  $\alpha$  18<sup>h</sup> 49<sup>m</sup>  $\delta$  — 6° 30'.  
Sternhaufen von 2' Durchmesser, mit einem Stern 6.6 Größe in kleinen Fernrohren von Nebel umgeben.

6704  $\alpha$  18<sup>h</sup> 56<sup>m</sup>  $\delta$  — 5° 19'.  
Dicht gedrängter Sternhaufen. H = 9.0.

6712  $\alpha$  18<sup>h</sup> 48<sup>m</sup>  $\delta$  — 8° 50'.  
Nichtiger Sternhaufen, 2 bis 3' im Durchmesser. H = 9.0.

# Serpens.

6825  $\alpha$  16<sup>h</sup> 23<sup>m</sup>  $\delta$  + 4° 30'.  
Großer Sternhaufen. H = 5.

# Scutum.

1115  $\alpha$  19<sup>h</sup> 0<sup>m</sup>  $\delta$  — 7° 14'.  
Länglicher Nebel mit halber Mitte, 2' lang,  $\frac{1}{2}$  breit. H = 9.0.

# Taurus.

6834  $\alpha$  4<sup>h</sup> 3<sup>m</sup>  $\delta$  + 30° 31'.  
Ein Stern 8. Größe, von neuem Nebel umgeben.

6835  $\alpha$  5<sup>h</sup> 29<sup>m</sup>  $\delta$  + 21° 57'.  
Derogonische Krib-Nebel. H = 9.5 bis 9.

# Triangulum.

176  $\alpha$  14<sup>h</sup> 20<sup>m</sup>  $\delta$  + 30° 4'.  
Großer, aber matter Nebel, fast 30' im Durchmesser, heller in der Mitte. Mit bloßem Auge von Holz gesehen. H = 3.

# Ursus major.

2848  $\alpha$  9<sup>h</sup> 15<sup>m</sup>  $\delta$  + 51° 34'.  
Nebel,  $4\frac{1}{2}$  lang,  $1\frac{1}{2}$  breit, mit hellen Kern. H = 9.6.

5631 5634  $\alpha$  9<sup>h</sup> 43<sup>m</sup>  $\delta$  + 66° 32'.  
Zwei längliche Nebel, der eine H = 8, der andere H = 8.3.

5667  $\alpha$  11<sup>h</sup> 9<sup>m</sup>  $\delta$  + 59° 34'.  
Planetischer Nebel,  $2\frac{1}{2}$  Durchmesser. H = 9.0.

4883  $\alpha$  12<sup>h</sup> 43<sup>m</sup>  $\delta$  + 62° 18'.  
 Kleiner Nebel, 1' groß, H=16 $\frac{1}{2}$ .  
 4884  $\alpha$  12<sup>h</sup> 50<sup>m</sup>  $\delta$  + 62° 27'.  
 Schwacher Nebel. H=9 $\frac{1}{2}$ .  
 4885  $\alpha$  12<sup>h</sup> 52<sup>m</sup>  $\delta$  + 62° 42'.  
 Dem vorhergehenden folgend. H=10 $\frac{1}{2}$ .  
 4886  $\alpha$  12<sup>h</sup> 58<sup>m</sup>  $\delta$  + 45° 5'.  
 Als Stern 9.5 Größe in der Bonner  
 Durchmusterung. Nebel, 1 $\frac{1}{2}$ ' bis 2' groß.  
 H=19.0  
 4887  $\alpha$  12<sup>h</sup> 3<sup>m</sup>  $\delta$  + 65° 44'.  
 Nebel, 2' lang,  $\frac{1}{2}$ ' breit. H=9.8.  
 4888  $\alpha$  12<sup>h</sup> 14<sup>m</sup>  $\delta$  + 47° 52'.  
 Langer, schwacher Nebel mit Kern, 18 Gr.  
 H=9.8.  
 4889  $\alpha$  12<sup>h</sup> 36<sup>m</sup>  $\delta$  + 62° 10'.  
 Nebel 4' lang, 1' breit, H=9.0 bis 9.1.  
 Virgo.  
 4890  $\alpha$  12<sup>h</sup> 9<sup>m</sup>  $\delta$  + 55° 20'.  
 Nebel, 2' lang,  $\frac{1}{2}$ ' breit. H=10.  
 4891  $\alpha$  12<sup>h</sup> 11<sup>m</sup>  $\delta$  + 13° 42'.  
 Nebel, 5' lang, 2' breit. H=9.6.  
 4892  $\alpha$  12<sup>h</sup> 16<sup>m</sup>  $\delta$  + 12° 58'.  
 Nebel, 2 $\frac{1}{2}$ ' bis 3' groß. H=9.6.  
 4893  $\alpha$  12<sup>h</sup> 17<sup>m</sup>  $\delta$  + 5° 2'.  
 Vorwölkender Nebel, 4 bis 5' lang.  
 H=9 bis 10.  
 4894  $\alpha$  12<sup>h</sup> 34<sup>m</sup>  $\delta$  + 15° 28'.  
 Nebel, 2 $\frac{1}{2}$ ' bis 4' groß, mit zentraler  
 Verdichtung. H=10.  
 4895  $\alpha$  12<sup>h</sup> 21<sup>m</sup>  $\delta$  + 13° 38'.  
 Nebel, 3 $\frac{1}{2}$ ' lang. H=9.8.  
 4896  $\alpha$  12<sup>h</sup> 23<sup>m</sup>  $\delta$  + 13° 18'.  
 Zwei Nebel, 2' und 1 $\frac{1}{2}$ ' Durchmesser.  
 H=9.4 und 9.6.  
 4897  $\alpha$  12<sup>h</sup> 35<sup>m</sup>  $\delta$  + 8° 35'.  
 Nebel, 3 $\frac{1}{2}$ ' lang. H=9.5.

4898  $\alpha$  12<sup>h</sup> 26<sup>m</sup>  $\delta$  + 12° 53'.  
 Nebel, 2 bis 3' groß, mit heller Mitte.  
 H=9.  
 4899  $\alpha$  12<sup>h</sup> 27<sup>m</sup>  $\delta$  + 14° 58'.  
 Nebel mit Kern, 4 lang. H=9.8.  
 4900  $\alpha$  12<sup>h</sup> 33<sup>m</sup>  $\delta$  + 3° 14'.  
 Kleiner Nebel mit heller Mitte. H=10 $\frac{1}{2}$ .  
 4901  $\alpha$  12<sup>h</sup> 36<sup>m</sup>  $\delta$  + 13° 7'.  
 Kleiner Nebel, 2' groß. H=9.  
 4902  $\alpha$  12<sup>h</sup> 37<sup>m</sup>  $\delta$  + 13° 43'.  
 Nebel mit Kern, 5' lang, 1 $\frac{1}{2}$ ' breit.  
 H=10.  
 4903  $\alpha$  12<sup>h</sup> 39<sup>m</sup>  $\delta$  + 12° 22'.  
 Nebel, 1 $\frac{1}{2}$ ' lang. H=8.8.  
 4904  $\alpha$  12<sup>h</sup> 35<sup>m</sup>  $\delta$  + 11° 41'.  
 Schwacher Nebel, 2' lang. H=6.7.  
 4905  $\alpha$  12<sup>h</sup> 32<sup>m</sup>  $\delta$  + 12° 12'.  
 Nach Schönfeld 2 langes Nebel. H=9.2.  
 4906  $\alpha$  12<sup>h</sup> 38<sup>m</sup>  $\delta$  + 12° 8'.  
 Heller Nebel, von einem schwächeren  
 begleitet. H=8.5.  
 4907  $\alpha$  12<sup>h</sup> 43<sup>m</sup>  $\delta$  + 5° 19'.  
 Nebel, 2' lang, 1' breit. H=9.2.  
 4908  $\alpha$  12<sup>h</sup> 44<sup>m</sup>  $\delta$  + 8° 7'.  
 Nebel, 4 bis 1 $\frac{1}{2}$ ' lang. H=9.4.  
 4909  $\alpha$  12<sup>h</sup> 47<sup>m</sup>  $\delta$  + 2° 36'.  
 Nebel mit schwachem Kern. H=10.  
 4910  $\alpha$  12<sup>h</sup> 1<sup>m</sup>  $\delta$  + 7° 29'.  
 Schwacher Nebel, 3' groß. H=10.2.  
 4911  $\alpha$  12<sup>h</sup> 34<sup>m</sup>  $\delta$  + 5° 32'.  
 Kleiner Sternhaufen, kugelförmig, 1'  
 Durchmesser. H=9.7.  
 Vulpecula.  
 4912  $\alpha$  12<sup>h</sup> 55<sup>m</sup>  $\delta$  + 22° 17'.  
 Der sogenannte Doppel-Nebel. H  
 zwischen 7 und 7 $\frac{1}{2}$ .

## Das Spektrum der Nova Persei und seine Struktur, nach den photographischen Aufnahmen in Glasgow.

 Das Spektrum davon Dr. Anderson  
 zu Edinburgh am 3. Februar 1901  
 entdeckte. neuen Sterns im Perseus ist  
 auf der Sternwarte zu Glasgow während  
 der Zeit vom 3. März 1901 bis zum  
 Januar 1902 photographisch auf-  
 genommen worden. Die Untersuchung  
 siehe 1904, Heft 21.

und Auswertung dieser Aufnahmen  
 hat Prof. Dr. L. Becker (Glasgow) zu  
 interessantesten Ergebnissen geführt, die  
 er vor kurzem veröffentlichte.<sup>1)</sup>

<sup>1)</sup> Transactions of the Royal Society of  
 Edinburgh 1906, Vol. XL, Part 2, No. 26.

Der Spektrograph von 50 mm Öffnung war in Verbindung mit einem Spektroskop von 510 mm Öffnung auf 4,50 m Brennpunkt, das auf einem alten Stuhl montiert war. Die Distanz der beiden Wasserstofflinien  $H\beta$  und  $H\gamma$  betrug auf der Platte 59 mm. Die Aufnahmen und Ausmessungen geschahen mit aller erforderlichen Sorgfalt, so daß das Ergebnis ein hoher Grad von Sicherheit zuzuschreiben ist.

Aus den früheren Aufnahmen gewinnt man den Eindruck, daß das Spektrum der Nova aus einer Anzahl heller Streifen oder Bündel von ungleicher Länge besteht, die gegen die beiden Enden in Lichtschwächen wurden, aber einander überlagern, so daß eine Reihe von sehr hellen und weniger hellen Stellen (Maxima und Minima des Lichtes) entstehen. In der Nähe der Wellenlänge 4500 tritt die Intensität gegen die weniger beschriebene Seite des Spektrums hin nach ab, und diese Bande erscheint als abgegrenzt. Die Mitten der hellsten Stellen der 3 Banden fallen zusammen mit den 3 Wasserstofflinien  $H\beta$ ,  $H\gamma$  und  $H\delta$  zusammen, und auf zwei photographischen Platten von 18 und 25 März erscheint jede der hellen Banden von einer dunklen Fraunhoferischen Linie durchzogen. Auf den auch dem 1. August 1901 erhaltenen Platten sind die hellen Banden voneinander getrennt, namentlich zwei deren Mitten nahe mit den Hauptlinien im Spektrum der

Mittelstrecke zusammen fallen, haben ungefähr die gleiche Länge und rufen den Eindruck eines Linienspektrums hervor, in welchem die Linien zu Bündeln verknüpft sind. Prof. Becker hat die Intensitäten und Positionen der Hauptlinien des Spektrums bestimmt und kommt zu folgenden Ergebnissen:

1. Das Spektrum der Nova ist ein Linienspektrum, in welchem aber jede Linie zu einem Streifen (Bande) verknüpft ist, dessen Breite proportional der Wellenlänge und unabhängig von dem Elemente ist, dem sie angehört. Die Position der Maxima und Minima der Helligkeit oder der Umkehrungen der Linien blieb während der Zeit vom März 1901 bis November 1902 unverändert.

2. Die Intensitätskurve des Spektrums im März und April entspricht derjenigen der Wasserstoff- und Heliumlinien, und mehrere derselben haben während der angegebenen Zeit ihre Intensität verändert. Es ist wahrscheinlich, daß das Spektrum dem Wasserstoff und Helium angehört.

3. Vom 3. August 1901 bis zum Ende 1902 entsprechen die Banden des Lichtes des Spektrums der planetarischen Nebel, und ihre relativen Intensitäten nähern sich denjenigen des normalen Nebelspektrums. Das Spektrum des März und April war wahrscheinlich während der ganzen Beobachtungsperiode schwach vorhanden.

## Vermischte Nachrichten.

Die Beziehung zwischen den Spektren von Sonnenflecken und Sonnenf. (Da die Periode, in der in South Kensington dauernd Beobachtungen über die vorbereiteten Spektroskopien der Sonnenflecken gemacht worden, aus zwei Maxima und drei Minima der Sonnenaktivität besteht, sehen wir

Norman Lockyer an der Zeit, die Resultate einer Diskussion zu unterrichten, um die chemische Ursache für die Veränderung der Linien beim Übergang von der Photosphäre zu den Kernen der

<sup>1</sup> Proceedings of the Royal Society 1904, vol. LXIII, p. 52.

Sonnenflecken zu ermitteln. Mit dieser Arbeit beschäftigt, hat er nun der Öffentlichkeit vor der Publikation der ganzen Arbeit veröffentlicht.

Seit 1884, wo zum letzten Male eine Diskussion der Ergebnisse der verschiedenen Linien veröffentlicht wurde, sind nahezu 10 000 Beobachtungen von Linien in den Spektren der Sonnenflecken zu South Kensington gemacht worden. Eine Analyse dieser Linien betrafte ihres Ursprungs stetig, daß die in der Periode 1892 bis 1900 vorzugsweise veränderlichen Elemente Vanadium und Titan waren.

Die große Bedeutung des Vanadiums und Titans in den Spektren der Sonnenflecken ist auch von Peter Curtis bei seinen Beobachtungen des Spektroskopiers H—D zu Storyhurst nachgewiesen worden.

Während der oben erwähnten Untersuchung ist die Temperaturerhöhung der Sonne festgelegt worden durch die Vergleichung der relativen Intensitäten der roten und der ultravioletten Enden der Spektren der Sonne, die in verschiedenen Positionen der Temperaturkurve liegen; darunter befinden sich Capella und Arcturus, welche zu demselben Typus (dem „Achtartypus“) gehören. Es war gefunden, daß das Spektrum von Capella im Durchschnitt weiter im Ultraviolet sich erstreckt als das des Arcturus, während der rote Teil im letzteren entschieden stärker ist. Der herrschende Annahme gemäß ist also die durchschnittliche Temperatur von Arcturus wahrscheinlich merklich niedriger als die der Capella. Norman Lockyer untermauerte nun, ob eine chemische Veränderung diese Temperaturabnahme begleite, und ob die dringende Änderung in irgend einer Weise verbunden sei mit der Änderung beim Übergang vom Photosphären- zum Sonnenfleckenspektrum.

Der Vergleich zeigte, daß gewisse Linien relativ stärker wurden, beim Übergange vom Spektrum der Capella zu dem des Arcturus. Es wurden dann

ähnliche Vergleicheungen des Sonnen-spektrums mit den Spektren von Capella und Arcturus gemacht und hieraus folgende Schlüsse gezogen: 1. Die Absorptionen von Capella und der Sonne sind identisch; 2. obwohl im allgemeinen dasselbe Linien in dem Spektrum der Sonne und des Arcturus vorkommen, sind in letzterem viele Linien dennoch verhältnismäßig intensiver als im ersten. Endlich gehören in der großen Mehrzahl dieser Fälle die so verstärkten Linien wahrscheinlich dem Vanadium und Titan an.

Daraus schließt Lockyer, daß zwar die Temperaturerhöhung der Sonne Arcturus in eine höhere Temperaturstufe stellt als Capella und also auch die der Sonne, daß aber der aus einem Studium der Linienabsorptionen bei Arcturus und des Sonnenflecken sich ergebende Beweis sehr deutlich darauf hinweist, daß die Temperatur der abschließenden Atmosphäre von Arcturus eine derselbe ist wie die der Sonnenfleckensonne.

**Reicher Sternschrapnellfall.** Von zuverlässiger Seite wird uns aus Wien berichtet, daß in der Nacht vom 20. zum 21. Oktober und ebenso in der darauffolgenden Nacht ein außergewöhnlich reicher Sternschrapnellfall wahrgenommen worden sei. Die Sternschrapnell sollten zahlreich wie Schmetterlinge erschienen sein. Es könnte sich möglicherweise um Meteore des sogenannten Oriondeschenwaders handeln.

**Messungen von 155 neuen Doppelsternen** veröffentlicht R. A. Allen<sup>1)</sup>, wozu die Zahl der von ihm aufgefundenen Objekte dieser Klasse auf 800 steigt. Sie wurden mit dem 12- und 36 Zoll der Lick-Sternwarte entdeckt. Nur 2 von den 155 Paaren haben Distanzen des Begleiters von mehr als 3", bei 116 ist die Distanz unter 2", bei 13 unter 0.25". Die Komponenten von 36 Paaren mit Distanzen von 2" bis 5.2" sind sehr an Helligkeit

verschieden. Das Verzeichniß enthält 5 Sterne heller als 3. Größe, die also dem bloßen Auge sichtbar sind, bei 3 Paaren, die schon bekannt waren, wurde je noch ein anderer Begleiter entdeckt, nämlich bei den Doppelsternen  $\gamma$  1905,  $\alpha$  2168,  $\delta$  1543,  $\epsilon$  2027 und einem unbekannten, von Hogg entdeckten Doppelstern. Die Doppelsterne 7. Größe und darüber sind folgender

$$\alpha = 6^h 10^m 40^s \quad \delta = 4^{\circ} 02'$$

$$A = 5.5, B = 5.5 Gr.$$

$$1904.05 \quad d = 0.25'' \quad p = 156.2^{\circ}$$

$$A \quad 477.$$

$$\alpha = 11^h 3^m 27^s \quad \delta = + 25^{\circ} 12'$$

$$A = 6.5, B = 14.5 Gr.$$

$$1904.40 \quad d = 4.76'' \quad p = 243.6^{\circ}$$

$$512.$$

$$\alpha = 15^h 28^m 12^s \quad \delta = + 50^{\circ} 26'$$

$$A = 6.0, B = 7.4 Gr.$$

$$1904.54 \quad d = 0.10'' \quad p = 68.2^{\circ}$$

$$513.$$

$$\alpha = 15^h 28^m 25^s \quad \delta = + 47^{\circ} 16'$$

$$A = 6.5, B = 1.3 Gr.$$

$$1904.58 \quad d = 0.27'' \quad p = 273.8^{\circ}$$

$$555.$$

$$\alpha = 20^h 23^m 1^s \quad \delta = + 50^{\circ} 1'$$

$$A = 6.5, B = 8.9 Gr.$$

$$1904.52 \quad d = 0.21'' \quad p = 313.9^{\circ}$$

Ein veränderlicher oder neuer Stern in Pegasus. A. Stanley Wilkins in Hove (Sussex, England) hat am 20. Septbr. auf einer photographischen Platte einen Stern 9. Größe erhalten, der folgende Position zeigt (für 1905.0):

$$\alpha = 22^h 21^m 15^s \quad \delta = + 29^{\circ} 59' 23''.$$

Dieser Stern findet sich auch auf 11 Platten, die in der Zeit vom 27. Sept. 1899 bis 16. Januar 1904 aufgenommen waren, obgleich diese Sterne bis 11. Größe und noch schwächer enthalten. Im Fernrohr zeigt er am 2. October eine seltene seltliche Färbung

Da der Stern weder in der Bonner Durchmusterung noch in anderen Sternverzeichnissen vorhanden, auch auf einer Aufnahme der Harvardsternkarte von 1900, Sept. 24, welche Sterne 15. Größe enthält, fehlt, so handelt es sich um einen Veränderlichen von langer Periode und starker Lichtschwankung oder um einen neuen Stern (Neow).

Prof. E. Pickering von der Harvard Sternkarte telegraphierte am 2. October an die Zentralstelle: »Gemitt dem Spektrum H $\beta$  der Stern ein Veränderlicher von langer Periode.«

F. Gutz, Assistent am Astrophysikalischen Observatorium Klingenberg (Hesselsberg), teilt mit, daß der Stern sich auf zwei Aufnahmen, die dort am 5. und 6. August dieses Jahres erhalten wurden, befindet und etwas schwächer als 9. Größe ist. Auf einer Platte vom 14. November 1903, die deutlich Sterne 11. Größe enthält, ist der Stern nicht mehr wahrzunehmen, vielleicht hat sich eine Spur davon verlesen.

**Anzeige.** Auf der S. 241 des *Zeitschr.* genanntes Astronomer wurde auch des Herrn v. Flörsch und Dr. Seltingen willen der Vorstand der Astronomischen Gesellschaft die S. 241 ersuchte Aufzeichnung für angehörte wissenschaftliche Arbeiten verliehen.

**Fernrohre für Freunde der Himmelsbeobachtung.** Aus dem Lagerhaus des »Stern« sind mehrere größere und kleinere sehr gut erhaltene Fernrohre zum Verkauf angeboten worden. Freunden der Himmelsbeobachtung, welche die Anschaffung eines solchen Instrumentes beabsichtigen und sich darüber an mich wenden, bin ich zu jeder gewünschten Auskunft gern bereit. Dr. Klein.



# Astronomischer Kalender für den Monat Februar 1905.

		Sonnen			Mond			
		Mittlere Berliner Mittag.			Mittlere Berliner Mittag.			Mond im Meridian
Tag	Jr.	Zeitp. N. L. — W. L.	Rektascension	Declination	Rektascension	Declination		
h	m	s	h	m	s	h	m	s
1	00	43.45	20 37 58.58	-27 52 57.9	20 39 13.78	-28 52 50.9	22	50.0
2	01	43.43	20 37 47.78	-27 53 58.8	20 38 4.43	28 51 53.6	23	50.8
3	02	43.38	20 37 47.45	-27 54 59.8	20 37 55.81	28 51 57.3	—	—
4	03	43.30	20 37 47.50	-27 55 59.9	20 37 54.05	28 51 55.8	+	15.8
5	04	43.18	20 38 49.98	-27 56 59.9	20 37 54.8	28 51 53.6	0	18.0
6	05	43.03	20 39 52.05	-27 57 59.9	20 37 55.85	28 51 51.3	1	42.3
7	06	42.45	20 40 54.18	-27 58 59.8	20 38 55.85	28 51 50.0	2	50.0
8	07	42.24	20 41 56.25	-27 59 59.8	20 39 13.59	—	3	5.3
9	08	42.00	20 42 58.33	-28 00 59.8	20 39 30.83	+	4	50.3
10	09	41.73	20 43 59.98	-28 01 59.7	20 39 47.8	0 39 50.0	5	32.3
11	10	41.43	20 44 59.81	-28 02 59.7	20 39 59.88	0 39 51.3	6	36.8
12	11	41.10	20 45 59.84	-28 03 59.8	20 39 16.91	0 39 50.8	7	3.8
13	12	40.75	20 46 59.98	-28 04 59.9	20 39 32.9	0 39 51.6	8	55.6
14	13	40.38	20 47 59.98	-28 05 59.9	20 39 48.88	0 39 50.8	9	41.3
15	14	40.00	20 48 59.88	-28 06 59.8	20 39 59.88	0 39 50.8	10	39.0
16	15	39.59	20 49 59.81	-28 07 59.8	20 40 16.87	0 39 51.3	11	31.8
17	16	39.55	20 50 59.81	-28 08 59.8	20 40 32.89	0 39 51.3	12	59.8
18	17	39.48	20 51 59.81	-28 09 59.8	20 40 48.88	0 39 51.3	13	38.6
19	18	39.38	20 52 59.81	-28 10 59.8	20 40 59.88	0 39 51.3	14	38.8
20	19	39.25	20 53 59.81	-28 11 59.8	20 41 16.87	0 39 51.3	15	38.8
21	20	39.10	20 54 59.81	-28 12 59.8	20 41 32.89	0 39 51.3	16	38.8
22	21	38.93	20 55 59.81	-28 13 59.8	20 41 48.88	0 39 51.3	17	38.8
23	22	38.75	20 56 59.81	-28 14 59.8	20 41 59.88	0 39 51.3	18	38.8
24	23	38.55	20 57 59.81	-28 15 59.8	20 42 16.87	0 39 51.3	19	38.8
25	24	38.33	20 58 59.81	-28 16 59.8	20 42 32.89	0 39 51.3	20	38.8
26	25	38.10	20 59 59.81	-28 17 59.8	20 42 48.88	0 39 51.3	21	38.8
27	26	37.85	21 00 59.81	-28 18 59.8	20 43 59.88	0 39 51.3	22	38.8
28	27	37.58	21 01 59.81	-28 19 59.8	20 44 16.87	0 39 51.3	23	38.8
29	28	37.28	21 02 59.81	-28 20 59.8	20 44 32.89	0 39 51.3	24	38.8
30	29	36.95	21 03 59.81	-28 21 59.8	20 44 48.88	0 39 51.3	25	38.8
31	30	36.60	21 04 59.81	-28 22 59.8	20 45 59.88	0 39 51.3	26	38.8
32	31	36.23	21 05 59.81	-28 23 59.8	20 46 16.87	0 39 51.3	27	38.8
33	32	35.85	21 06 59.81	-28 24 59.8	20 46 32.89	0 39 51.3	28	38.8
34	33	35.45	21 07 59.81	-28 25 59.8	20 46 48.88	0 39 51.3	29	38.8
35	34	35.03	21 08 59.81	-28 26 59.8	20 47 59.88	0 39 51.3	30	38.8
36	35	34.60	21 09 59.81	-28 27 59.8	20 48 16.87	0 39 51.3	31	38.8
37	36	34.15	21 10 59.81	-28 28 59.8	20 48 32.89	0 39 51.3	32	38.8
38	37	33.68	21 11 59.81	-28 29 59.8	20 48 48.88	0 39 51.3	33	38.8
39	38	33.20	21 12 59.81	-28 30 59.8	20 49 59.88	0 39 51.3	34	38.8
40	39	32.70	21 13 59.81	-28 31 59.8	20 50 16.87	0 39 51.3	35	38.8
41	40	32.18	21 14 59.81	-28 32 59.8	20 50 32.89	0 39 51.3	36	38.8
42	41	31.65	21 15 59.81	-28 33 59.8	20 50 48.88	0 39 51.3	37	38.8
43	42	31.10	21 16 59.81	-28 34 59.8	20 51 59.88	0 39 51.3	38	38.8
44	43	30.53	21 17 59.81	-28 35 59.8	20 52 16.87	0 39 51.3	39	38.8
45	44	30.00	21 18 59.81	-28 36 59.8	20 52 32.89	0 39 51.3	40	38.8
46	45	29.45	21 19 59.81	-28 37 59.8	20 52 48.88	0 39 51.3	41	38.8
47	46	28.88	21 20 59.81	-28 38 59.8	20 53 59.88	0 39 51.3	42	38.8
48	47	28.30	21 21 59.81	-28 39 59.8	20 54 16.87	0 39 51.3	43	38.8
49	48	27.70	21 22 59.81	-28 40 59.8	20 54 32.89	0 39 51.3	44	38.8
50	49	27.08	21 23 59.81	-28 41 59.8	20 54 48.88	0 39 51.3	45	38.8
51	50	26.45	21 24 59.81	-28 42 59.8	20 55 59.88	0 39 51.3	46	38.8
52	51	25.80	21 25 59.81	-28 43 59.8	20 56 16.87	0 39 51.3	47	38.8
53	52	25.13	21 26 59.81	-28 44 59.8	20 56 32.89	0 39 51.3	48	38.8
54	53	24.45	21 27 59.81	-28 45 59.8	20 56 48.88	0 39 51.3	49	38.8
55	54	23.75	21 28 59.81	-28 46 59.8	20 57 59.88	0 39 51.3	50	38.8
56	55	23.03	21 29 59.81	-28 47 59.8	20 58 16.87	0 39 51.3	51	38.8
57	56	22.30	21 30 59.81	-28 48 59.8	20 58 32.89	0 39 51.3	52	38.8
58	57	21.55	21 31 59.81	-28 49 59.8	20 58 48.88	0 39 51.3	53	38.8
59	58	20.80	21 32 59.81	-28 50 59.8	20 59 59.88	0 39 51.3	54	38.8
60	59	20.03	21 33 59.81	-28 51 59.8	21 00 16.87	0 39 51.3	55	38.8
61	60	19.25	21 34 59.81	-28 52 59.8	21 00 32.89	0 39 51.3	56	38.8
62	61	18.45	21 35 59.81	-28 53 59.8	21 00 48.88	0 39 51.3	57	38.8
63	62	17.63	21 36 59.81	-28 54 59.8	21 01 59.88	0 39 51.3	58	38.8
64	63	16.80	21 37 59.81	-28 55 59.8	21 02 16.87	0 39 51.3	59	38.8
65	64	15.95	21 38 59.81	-28 56 59.8	21 02 32.89	0 39 51.3	60	38.8
66	65	15.08	21 39 59.81	-28 57 59.8	21 02 48.88	0 39 51.3	61	38.8
67	66	14.20	21 40 59.81	-28 58 59.8	21 03 59.88	0 39 51.3	62	38.8
68	67	13.30	21 41 59.81	-28 59 59.8	21 04 16.87	0 39 51.3	63	38.8
69	68	12.38	21 42 59.81	-29 00 59.8	21 04 32.89	0 39 51.3	64	38.8
70	69	11.45	21 43 59.81	-29 01 59.8	21 04 48.88	0 39 51.3	65	38.8
71	70	10.50	21 44 59.81	-29 02 59.8	21 05 59.88	0 39 51.3	66	38.8
72	71	9.53	21 45 59.81	-29 03 59.8	21 06 16.87	0 39 51.3	67	38.8
73	72	8.55	21 46 59.81	-29 04 59.8	21 06 32.89	0 39 51.3	68	38.8
74	73	7.55	21 47 59.81	-29 05 59.8	21 06 48.88	0 39 51.3	69	38.8
75	74	6.53	21 48 59.81	-29 06 59.8	21 07 59.88	0 39 51.3	70	38.8
76	75	5.50	21 49 59.81	-29 07 59.8	21 08 16.87	0 39 51.3	71	38.8
77	76	4.45	21 50 59.81	-29 08 59.8	21 08 32.89	0 39 51.3	72	38.8
78	77	3.38	21 51 59.81	-29 09 59.8	21 08 48.88	0 39 51.3	73	38.8
79	78	2.30	21 52 59.81	-29 10 59.8	21 09 59.88	0 39 51.3	74	38.8
80	79	1.20	21 53 59.81	-29 11 59.8	21 10 16.87	0 39 51.3	75	38.8
81	80	0.08	21 54 59.81	-29 12 59.8	21 10 32.89	0 39 51.3	76	38.8
82	81	0.00	21 55 59.81	-29 13 59.8	21 10 48.88	0 39 51.3	77	38.8
83	82	0.00	21 56 59.81	-29 14 59.8	21 11 59.88	0 39 51.3	78	38.8
84	83	0.00	21 57 59.81	-29 15 59.8	21 12 16.87	0 39 51.3	79	38.8
85	84	0.00	21 58 59.81	-29 16 59.8	21 12 32.89	0 39 51.3	80	38.8
86	85	0.00	21 59 59.81	-29 17 59.8	21 12 48.88	0 39 51.3	81	38.8
87	86	0.00	22 00 59.81	-29 18 59.8	21 13 59.88	0 39 51.3	82	38.8
88	87	0.00	22 01 59.81	-29 19 59.8	21 14 16.87	0 39 51.3	83	38.8
89	88	0.00	22 02 59.81	-29 20 59.8	21 14 32.89	0 39 51.3	84	38.8
90	89	0.00	22 03 59.81	-29 21 59.8	21 14 48.88	0 39 51.3	85	38.8
91	90	0.00	22 04 59.81	-29 22 59.8	21 15 59.88	0 39 51.3	86	38.8
92	91	0.00	22 05 59.81	-29 23 59.8	21 16 16.87	0 39 51.3	87	38.8
93	92	0.00	22 06 59.81	-29 24 59.8	21 16 32.89	0 39 51.3	88	38.8
94	93	0.00	22 07 59.81	-29 25 59.8	21 16 48.88	0 39 51.3	89	38.8
95	94	0.00	22 08 59.81	-29 26 59.8	21 17 59.88	0 39 51.3	90	38.8
96	95	0.00	22 09 59.81	-29 27 59.8	21 18 16.87	0 39 51.3	91	38.8
97	96	0.00	22 10 59.81	-29 28 59.8	21 18 32.89	0 39 51.3	92	38.8
98	97	0.00	22 11 59.81	-29 29 59.8	21 18 48.88	0 39 51.3	93	38.8
99	98	0.00	22 12 59.81	-29 30 59.8	21 19 59.88	0 39 51.3	94	38.8
100	99	0.00	22 13 59.81	-29 31 59.8	21 20 16.87	0 39 51.3	95	38.8
101	100	0.00	22 14 59.81	-29 32 59.8	21 20 32.89	0 39 51.3	96	38.8
102	101	0.00	22 15 59.81	-29 33 59.8	21 20 48.88	0 39 51.3	97	38.8
103	102	0.00	22 16 59.81	-29 34 59.8	21 21 59.88	0 39 51.3	98	38.8
104	103	0.00	22 17 59.81	-29 35 59.8	21 22 16.87	0 39 51.3	99	38.8
105	104	0.00	22 18 59.81	-29 36 59.8	21 22 32.89	0 39 51.3	100	38.8
106	105	0.00	22 19 59.81	-29 37 59.8	21 22 48.88	0 39 51.3	101	38.8
107	106	0.00	22 20 59.81	-29 38 59.8	21 23 59.88	0 39 51.3	102	38.8
108	107	0.00	22 21 59.81	-29 39 59.8	21 24 16.87	0 39 51.3	103	38.8
109	108	0.00	22 22 59.81	-29 40 59.8	21 24 32.89	0 39 51.3	104	38.8
110	109	0.00	22 23 59.81	-29 41 59.8	21 24 48.88	0 39 51.3	105	38.8
111	110	0.00	22 24 59.81	-29 42 59.8	21 25 59.88	0 39 51.3	106	38.8
112	111	0.00	22 25 59.81	-29 43 59.8	21 26 16.87	0 39 51.3	107	38.8
113	112	0.00	22 26 59.81	-29 44 59.8				

# Planeten-Ephemeriden.

Merkur Berliner Zeitg.								Merkur Berliner Zeitg.													
Jahr 1906	Febr.	1	Rechnungen			Declination			Jahr 1906	Febr.	1	Rechnungen			Declination						
			h	m	s	°	'	"				h	m	s	°	'	"				
Merkur																					
1906	Febr.	1	19	58	44.58	—10	0	34	1906	Febr.	1	19	58	44.58	—10	0	34				
		2	20	15	33.43	—11	18	53.6			2	20	15	33.43	—11	18	53.6				
		3	20	43	28.37	—12	50	52.6			3	20	43	28.37	—12	50	52.6				
		4	21	10	23.34	—13	28	52.6			4	21	10	23.34	—13	28	52.6				
		5	21	38	20.69	—14	02	52.6			5	21	38	20.69	—14	02	52.6				
Venus																					
1906	Febr.	1	0	0	32.30	+	6	46	28.8	1906	Febr.	1	0	0	32.30	+	6	46	28.8		
		2	0	0	30	28.8	+	7	28			47.8	2	0	0	30	28.8	+	7	28	47.8
		3	0	0	28	7.91	+	8	18			28.7	3	0	0	28	7.91	+	8	18	28.7
		4	0	0	26	42.97	+	9	25			27.8	4	0	0	26	42.97	+	9	25	27.8
		5	0	0	24	58.47	+	10	45			26.9	5	0	0	24	58.47	+	10	45	26.9
Mars																					
1906	Febr.	1	14	30	59.27	—18	18	17.9	1906	Febr.	1	14	30	59.27	—18	18	17.9				
		2	14	41	52.97	—18	18	53.8			2	14	41	52.97	—18	18	53.8				
		3	14	45	48.88	—18	18	58.4			3	14	45	48.88	—18	18	58.4				
		4	14	51	45.88	—18	18	57.7			4	14	51	45.88	—18	18	57.7				
		5	14	57	42.88	—18	18	57.9			5	14	57	42.88	—18	18	57.9				
Jupiter																					
1906	Febr.	1	0	54	48.86	+	8	47	17.4	1906	Febr.	1	0	54	48.86	+	8	47	17.4		
		2	0	54	47.89	+	9	24	28.9			2	0	54	47.89	+	9	24	28.9		

## Stärkerbedeckungen durch den Mond für Berlin 1906

Planet	Jahr	Größe	Eintritt		Austritt	
			h	m	h	m
Februar 12.	47. Tauri	4.0	9	27.8	2	47.6
„ 13.	47. Tauri	4.0	9	28.4	2	48.8
„ 14.	Antares	4.0	9	42	2	49.1
„ 14.	14. Tauri	1.6	7	48.8	9	58.9
„ 21.	γ Regni	3.3	12	57	11	59.1

## Lage und Größe der Schattenringe im Monat Februar 1906 nicht im Nordhörn.

Februar 1.	Mittlere Scheitel der Elipse	12° 37' 4.87"
Schattens	„ „	22° 20' 37.32"
Hilfswinkel der Sonne	„ „	16° 13.42'
Parallax	„ „	0.59"

# Stellungen der Jupitermonde im Februar 1905.

I.



r

II.



d

r

III.



d

r

IV.

Klein  
dieser



Verkleinerung  
Piondes.

Stellungen am 24. für das Aethi in astronomisches Fernrohr

Tag	West.	Öst.
1	10h 10m	10h 10m
2	10h 10m	10h 10m
3	10h 10m	10h 10m
4	10h 10m	10h 10m
5	10h 10m	10h 10m
6	10h 10m	10h 10m
7	10h 10m	10h 10m
8	10h 10m	10h 10m
9	10h 10m	10h 10m
10	10h 10m	10h 10m
11	10h 10m	10h 10m
12	10h 10m	10h 10m
13	10h 10m	10h 10m
14	10h 10m	10h 10m
15	10h 10m	10h 10m
16	10h 10m	10h 10m
17	10h 10m	10h 10m
18	10h 10m	10h 10m
19	10h 10m	10h 10m
20	10h 10m	10h 10m
21	10h 10m	10h 10m
22	10h 10m	10h 10m
23	10h 10m	10h 10m
24	10h 10m	10h 10m
25	10h 10m	10h 10m
26	10h 10m	10h 10m
27	10h 10m	10h 10m
28	10h 10m	10h 10m
29	10h 10m	10h 10m
30	10h 10m	10h 10m

**Erscheinungen der Jupitermonde.** Die stündlichen Angaben über die Erscheinungen der Jupitermonde beziehen sich auf mittlere Zeit von Greenwich. Die Tabellen sind der Reihenfolge ihres Abendens vom Jupiter nach III IV V bezichnet. Die vier größeren Planeten zeigen die Stellung jedes Mondes mit Bezug auf den Jupiter für den Augenblick der Verhinderung III oder des Wiedererscheinens (I) bei r nicht angegeben, so kann der Eintritt aus dem Schatten nicht beobachtet werden. Ferner bedeutet bei den nachfolgenden Bezeichnungen:

- Es D das Verschwinden des Trabanten im Schatten des Jupiter
- Es R den Austritt des Trabanten aus dem Schatten des Jupiter
- Os D das Verschwinden des Trabanten hinter die Jupiterschibe
- Os R das Wiedererscheinen desselben neben der Jupiterschibe
- Tr i den Eintritt des Trabanten vor die Jupiterschibe
- Tr E den Austritt des Trabanten aus der Jupiterschibe
- Sh i den Eintritt des Trabantenrückens auf die Jupiterschibe
- Sh E den Austritt des Trabantenrückens aus der Jupiterschibe

Es sind nur diejenigen Erscheinungen der Jupitermonde aufgeführt, welche sehr auffällig, wenn Jupiter in Greenwich War und die Sonne unter dem Horizont steht. Um die Momente dieser Erscheinungen nach weltzeitlicher Zeit zu finden, hat man nur nötig, 14 zu den angegebenen Zeitpunkten zu addieren

Februar 1. II. Tr. I. 14 10<sup>m</sup>. II. Tr. E. 14 10<sup>m</sup>. II. Sh. I. 14 10<sup>m</sup>. Februar 2. II. Es. R. 14 14 10<sup>m</sup>. Februar 4. I. Tr. I. 14 14 10<sup>m</sup>. I. Sh. I. 14 14 10<sup>m</sup>. Februar 5. I. Os. D. 14 10<sup>m</sup>. 6. Es. R. 14 14 10<sup>m</sup>. Februar 6. I. Sh. I. 14 10<sup>m</sup>. I. Tr. E. 14 10<sup>m</sup>. I. Sh. E. 14 10<sup>m</sup>. Februar 7. I. Es. R. 14 10<sup>m</sup>. 17. Februar 8. II. Tr. I. 14 10<sup>m</sup>. Februar 10. II. Es. R. 14 10<sup>m</sup>. Februar 11. III. Sh. I. 14 10<sup>m</sup>. III. Sh. E. 14 10<sup>m</sup>. Februar 12. I. Os. D. 14 10<sup>m</sup>. Februar 13. I. Tr. I. 14 10<sup>m</sup>. I. Sh. I. 14 10<sup>m</sup>. I. Tr. E. 14 10<sup>m</sup>. I. Sh. E. 14 10<sup>m</sup>. Februar 14. I. Es. R. 14 10<sup>m</sup>. 15. Februar 15. II. Os. D. 14 10<sup>m</sup>. Februar 16. III. Tr. I. 14 10<sup>m</sup>. III. Tr. E. 14 10<sup>m</sup>. Februar 17. II. Sh. E. 14 10<sup>m</sup>. Februar 18. I. Tr. I. 14 10<sup>m</sup>. I. Sh. I. 14 10<sup>m</sup>. Februar 19. I. Os. D. 14 10<sup>m</sup>. I. Es. R. 14 10<sup>m</sup>. 17. Februar 20. I. Sh. E. 14 10<sup>m</sup>. Februar 21. II. Os. D. 14 10<sup>m</sup>. I. Es. R. 14 10<sup>m</sup>. 17. Februar 22. I. Sh. E. 14 10<sup>m</sup>. Februar 23. II. Os. D. 14 10<sup>m</sup>. Februar 24. III. Tr. I. 14 10<sup>m</sup>. Februar 25. II. Sh. I. 14 10<sup>m</sup>. II. Tr. E. 14 10<sup>m</sup>. II. Sh. E. 14 10<sup>m</sup>. Februar 26. I. Os. D. 14 10<sup>m</sup>.

Seine und seine Monde sind im Januar, Februar und März 1905 nicht sichtbar.

Nachstehende größere und kleinere

## *astronomische Fernrohre*

sind sehr preiswürdig zu verkaufen. Reflektanten wollen sich wegen ständiger Mittheilungen an mich wenden.

**Prof. Dr. Hermann J. Eisin in Köln-Lindenthal.**

Verlagsgesellschaft Prof. Dr. Hermann J. Eisin in Köln-Lindenthal — Druck von Otto Lenz in Leipzig. 204

Abgegeben am 26. November 1904



Fig. 1.  
28 August 1961, 10 Tage  
127

Strass 1961



Fig. 2  
28 August 1961, 8-9 Tage  
128

Tafel XIV

Anzeichen des Mandibulären Erweichens  
nach Zeichnungen von Prof. William H. Pickering

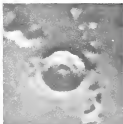


Fig. 2  
20 Mikr. (200.00 Torr  
10°)



Fig. 3  
20 Mikr. (200.00 Torr  
50°)

Seite 1983

Feld 20

Analyse des Kristallin Einschlusses  
nach photographischem Aufheben von Prof. Willem H. Pedersen



**G. & S. Merz**

Optisches Institut

verm. Winkelschilder & Fraunhofer  
München, Theresienstr. 31.

## Fernrohre

zu astronomischem  
und terrestrischem Gebrauch.

Bestens Proben gratis auf Verlangen.

Verlag von Eduard Heinrich Mayer in Leipzig.

## Stern-Atlas

für

**Freunde der Himmelsbeobachtung.**

Von

Professor Dr. Hermann J. Klein.

Erfahrungen

Sammtliche Sterne 1—4. Größe zwischen dem Nördpol und 14 Grad nördlicher  
Declination, die Nebulleiden und Sternhaufen, welche in Fernrohren sichtbar  
werden, alldieser sind, sowie Specialkarten besonders interessanter Sternsysteme.

**Mit ausführlichem erläuterndem Text.**

16 Karten und 16 Bogen Text je Folio Original-Gussdruck.

Preis 14 Mark.

— Zu beziehen durch jede Buchhandlung. —

Verlag von Eduard Heinrich Mayer in Leipzig.

welches enthalten, und ist durch alle Buchhandlungen zu beziehen.

Das

## Wesen der Elektrizität und des Magnetismus.

In geschichtlicher Darstellung erzählt

von Carl Neumann, Leipzig, Berlin.

Mit 26 Abbildungen im Text. Doppel broch., 4<sup>te</sup> Bogen gr. 8<sup>te</sup>. Preis Mk. 4.00.

Für jeden Gebildeten, der sich über Elektrizität und Magnetismus orientieren  
will, von ungewöhnlichem Interesse.

In ganz wenigen Exemplaren sind folgende Jahrgänge des „Stern“  
noch zu haben und von der Verlagsbuchhandlung zum Ankaufspreis von Mk. 4.—  
pro Band zu beziehen:

1874, 1875 1877—1879, 1880—1886, 1888, 1889—1890.













3 2044 077 086 932







3 2044 077 086 582















3 2044 077 068 932